

รหัสโครงการ SUT 7-719-43-12-47



รายงานการวิจัย

ประสิทธิภาพการผลิตปิโตรเลียมจากหินคาร์บอนเนต

Petroleum Production Efficiency in Carbonate Rock

ได้รับทุนอุดหนุนการวิจัยจาก
มหาวิทยาลัยเทคโนโลยีสุรนารี

ผลงานวิจัยเป็นความรับผิดชอบของหัวหน้าโครงการวิจัยแต่เพียงผู้เดียว

รหัสโครงการ SUT 7-719-43-12-47



รายงานการวิจัย

ประสิทธิภาพการผลิตปิโตรเลียมจากหินคาร์บอน

Petroleum Production Efficiency in Carbonate Rock

ผู้วิจัย

นายเกรียงไกร ไตรสาร

สาขาวิชาเทคโนโลยีชีรภ์

สำนักวิชาชีวกรรมศาสตร์

มหาวิทยาลัยเทคโนโลยีสุรนารี

ได้รับทุนอุดหนุนการวิจัยจากมหาวิทยาลัยเทคโนโลยีสุรนารี ปีงบประมาณ พ.ศ. 2543-2544

ผลงานวิจัยเป็นความรับผิดชอบของหัวหน้าโครงการวิจัยแต่เพียงผู้เดียว

มิถุนายน 2547

กิตติกรรมประกาศ

การวิจัยครั้งนี้ได้รับทุนอุดหนุนการวิจัยจากมหาวิทยาลัยเทคโนโลยีสุรนารี ประจำปีงบประมาณ 2543 และ 2544 ซึ่งงานวิจัยนี้สามารถสำเร็จลุล่วงไปได้ด้วยดี โดยได้รับความช่วยเหลือจาก อาจารย์ ดร. จงพันธ์ จงลักษณ์ และ พศ.ธารา เล็กอุทัย ที่ให้คำปรึกษาและอ้างอิงในงานวิจัย คุณกิติกานต์ มูลา นักศึกษาปริญญาเอกทุนกาญจนภิเษก ที่กรุณาเรียนเรียงบทการวิเคราะห์ที่นิบบังให้ผู้ช่วยวิจัยทั้งระดับปริญญาตรีและระดับบัณฑิตศึกษาที่ช่วยงานวิจัยนี้โดยเฉพาะคุณแม่นวด แห่งขัน และคุณปริญญา นรพัตร์ ที่ได้ช่วยงานวิจัย Reservoir Simulation กองเชื้อเพลิงธรรมชาติ กรมทรัพยากรธรรมชาติ (ปัจจุบันเปลี่ยนเป็น กรมเชื้อเพลิงธรรมชาติ กระทรวงพลังงาน) เจ้าหน้าที่ฯ กรมเชื้อเพลิงธรรมชาติที่กรุณาให้ใช้โปรแกรม Black Oil Work Bench ในการทำ Reservoir Simulation ตลอดจนช่วยแนะนำให้คำปรึกษาและข้อมูลต่าง ๆ

ขอขอบพระคุณทุกท่านที่ปราภคถอยในบทอ้างอิงและสุดท้ายขอบคุณมหาวิทยาลัยเทคโนโลยีสุรนารีที่ให้ทุนวิจัยและสนับสนุนงานวิจัยเป็นอย่างดีทุก ๆ ด้าน

ผู้วิจัย

กันยายน 2547

บทคัดย่อ

งานวิจัยนี้ได้รับทุนวิจัยการสนับสนุนจากคณาจารย์ พนักงาน ตลอดจนห้องปฏิบัติการ ของมหาวิทยาลัยเทคโนโลยีสุรนารี อีกทั้งได้รับความช่วยเหลือ อนุเคราะห์จากเจ้าหน้าที่กองเชื้อเพลิง ธรรมชาติในการใช้โปรแกรมคอมพิวเตอร์ จุดประสงค์ของงานวิจัยนี้คือ เก็บรวบรวมข้อมูลการสำรวจ และผลิตปีโตรเลียมในภาคตะวันออกเฉียงเหนือของประเทศไทยตั้งแต่ต้นจนถึงปัจจุบัน ศึกษาและคาดการณ์ประสิทธิภาพการผลิตปีโตรเลียมในแหล่งก๊าซธรรมชาติในภาคตะวันออกเฉียงเหนือ การสำรวจปีโตรเลียมในภาคตะวันออกเฉียงเหนือของประเทศไทยไม่ประสบความสำเร็จมากนัก พนแหล่งก๊าซธรรมชาติเพียงสองแหล่งเท่านั้น ในอดีตที่ผ่านมาการคาดการณ์ประสิทธิภาพในการผลิตปีโตรเลียมไม่สามารถทำได้อย่างถูกต้องและเพียงพออาจเนื่องจากข้อมูลที่มีจำกัดและปกปิดตามสัญญาสัมปทาน ฉะนั้น งานวิจัยนี้จึงจำเป็นต้องศึกษาการกระจายตัวเรื่อง ค่าความพรุน และค่าการซึมผ่านได้ของหินปูน ค่าความพรุนและการซึมผ่านได้จำนวนหนึ่งถูกรวบรวมมาจากข้อมูลการสำรวจและผลิตปีโตรเลียม เอกสารวิชาการต่าง ๆ ที่มีอยู่ มีการเก็บตัวอย่างหิน かる์บอนเอนแทกกว่า 30 ตัวอย่างมีวิเคราะห์ในห้องทดลองพบว่ามีความพรุนเฉลี่ย 4% และความซึมผ่านได้อยู่ 0.5 มิลลิเมตรซึ่ง มีวิเคราะห์อัตราเสี่ยงในการลงทุนสำรวจปีโตรเลียมในบริเวณภาคตะวันออกเฉียงเหนือได้ผลลัพธ์เป็น 7% และโอกาสพบแหล่งก๊าซธรรมชาติขนาด 255 พันล้านลูกบาศก์ฟุต มีการจำลองแหล่งปีโตรเลียม 4 ขนาดคือมีก๊าซในแหล่งเป็น 250 279 303 และ 622 พันล้านลูกบาศก์ฟุต มีการพัฒนาโปรแกรมคอมพิวเตอร์คำนวณแหล่งปีโตรเลียมแบบถังเดียวชั้นมาก เพื่อคำนวณเบริญเทียนผลกระทบจากการคำนวณที่ใช้โปรแกรมสำเร็จรูปได้ผลใกล้เคียงกัน ผลการศึกษาวิเคราะห์ทางเศรษฐศาสตร์ปีโตรเลียมทั้ง 4 แหล่งได้ผลคือ สามารถผลิตก๊าซธรรมชาตินานประมาณ 20 ปี มีประสิทธิภาพในการผลิตร้อยละ 80 อัตราการคืนทุนร้อยละ 18-20 สำหรับแหล่งก๊าซธรรมชาติที่มีก๊าซ 250 พันล้านลูกบาศก์ฟุตจะสามารถผลิตก๊าซเริ่มต้นวันละ 90 ล้านลูกบาศก์ฟุตไปนาน 2 ปี จากนั้นอัตราการผลิตจะค่อย ๆ ลดลงปีละ 16% จนถึงปีที่ 20 ปีสุดท้ายจะผลิตด้วยอัตราวันละ 5 ล้านลูกบาศก์ฟุต อัตราการคืนทุนร้อยละ 20 ประ โยชน์ที่ได้จากการวิจัยนี้คือ ได้มีกรับปรุงและพัฒนาความรู้ในด้านการจำลองคอมพิวเตอร์แหล่งปีโตรเลียม ความสามารถในการใช้โปรแกรมคอมพิวเตอร์สำเร็จรูปในการศึกษาและคาดการณ์ประสิทธิภาพการผลิตแหล่งปีโตรเลียม และบางทีอาจกระตื้นและสนับสนุนให้มีการลงทุนในกิจการปีโตรเลียมในภาคตะวันออกเฉียงเหนืออีกด้วย

Abstract

SUT budget, laboratories, and personnel supported this project with the assistance from DMR personnel for data and reservoir simulation. The objective of the research is to study compile all information in petroleum exploration and production in the northeastern part of Thailand and estimate the petroleum production efficiency in carbonate rock reservoir, specially for gas reservoir in the northeast of Thailand. The petroleum exploration and development in the northeastern part of Thailand has been not quite successful, only two commercial gas fields in carbonate reservoir were discovered. In the past, the petroleum production efficiency estimation could not be performed accurately and sufficiently enough due to the data from the concessionaire is limited and confidential. Therefore, it is necessary to study the distribution of porosity and permeability in carbonate rock. The porosity and permeability data has been compiled from literature reviews such as concessionaire results, technical, and conference papers. More than 30 carbonate rock samples were collected from the fields to measure the porosity and permeability in SUT laboratory and the average porosity and per ability were found at 4% and 0.5 md. The exploration in the NE area was 7% risk, the FASPU program was run and resulted as the most likely potential reservoir gas inplace at 255 Bcf. Four gas inplace size models of 250,279,303 and 622 Bcf. were simulated for economic evaluation aspect. The economic study results were indicated that the gas reservoirs could be produced for 20 years with the recovery of 80% and the return on investment of 18-20% The tank model reservoir program was developed to compare the reservoir simulation results. For the 250 Bcf gas inplace model reservoir simulation, the gas production rate is started with 90 MMSCF/D and lasted for two years then declined about 16% per year until ended at the 20th year, with the final rate of 5 MMSCFD. The economic analysis of the production of this case was done and given 20% rate of return with PIR of 1. The benefit of this study will improve the knowledge of reservoir simulation model including the ability to use the software for petroleum production efficiency approximation and probably promote the petroleum activities in the area

สารบัญ

หน้า

กิตติกรรมประกาศ	๑
บทคัดย่อภาษาไทย	๒
Abstract	๓
สารบัญ	๔
สารบัญตาราง	๘
สารบัญรูป	๙

บทนำ

ความเป็นมาและความสำคัญของปัจจุหา	๑
วัตถุประสงค์	๑
วิธีดำเนินงานวิจัย	๒
ขอบเขตของงานวิจัย	๒
ประโยชน์ที่คาดว่าจะได้รับ	๒
หน่วยงานที่นำผลการวิจัยไปใช้ประโยชน์	๓

บทที่ 1 บทนำและธรณีวิทยาภาคตะวันออกเฉียงเหนือ

1.1 บทนำ	๔
1.2 ตำแหน่ง	๕
1.3 ลักษณะภูมิประเทศ	๕

บทที่ 2 ธรณีวิทยาและการเกิดธรณีผิวโลกบริเวณภาคตะวันออกเฉียงเหนือ

2.1 ธรณีวิทยาทั่วไป	๑๒
2.2 การเกิดของการแปรสัณฐานของเปลือกโลกเขตนี้ (Regional Plante Tectonic Development)	๑๒

หน้า

บทที่ 3 ครอบโครงสร้างชั้นหิน	
3.1 บทนำ	19
3.2 การก่อตัวของโครงสร้าง	19
3.3 การพัฒนาและการเปลี่ยนลักษณะของโครงสร้าง	22
3.4 ชั้นพื้นฐานที่ไม่ต่อเนื่องของของแข็ง โกร唆 (ก้อนชุด โกร唆)	23
บทที่ 4 ลักษณะโครงสร้างและการวิวัฒนาการของแข็ง	
4.1 บทนำ	24
4.2 การวิวัฒนาการของแข็ง	24
4.3 ลักษณะเฉพาะของโครงสร้าง	26
บทที่ 5 การเกิดตะกอนหินชั้นและการลำดับชั้นหิน	
5.1 ชั้นหินก้อนยุคคลาสโอดเนียน	28
5.2 ลำดับหินชุดก้อนยุคvariสกาน	29
5.3 ลำดับหินชุดก้อนอินโธซีเนียน I	29
5.4 ลำดับหินชุดก้อนอินโธสีเนียน II	32
5.5 ลำดับหินชุดก้อนยุคการเกิดเทือกเขาหิมาลัย	37
บทที่ 6 การวิเคราะห์แผ่นหินบาง	
6.1 การจำแนกหินปูน	41
บทที่ 7 ผลการสำรวจปีโตรเลียมในภาคตะวันออกเฉียงเหนือ	
7.1 บทนำ	50
7.2 ประวัติการสำรวจ	50

บทที่ 8 ศักยภาพทางปีโตรเลียม

8.1 อัตราความเสี่ยงในการสำรวจ	73
8.2 แหล่งปีโตรเลียมที่ยังไม่มีการค้นพบ	77

บทที่ 9 การทดลองให้ห้องปฏิบัติการ

9.1 จุดประสงค์	78
9.2 การเก็บหินตัวอย่าง	78
9.3 การเตรียมหินตัวอย่าง	78
9.4 การวัดค่าความพรุน	78
9.5 การวัดค่าการซึมผ่าน (permeability) ของหินตัวอย่าง	83
9.6 การสร้างแบบจำลองแหล่งปีโตรเลียม	90

บทที่ 10 แบบจำลองคอมพิวเตอร์แหล่งปีโตรเลียม

10.1 ทฤษฎี	92
10.2 การเตรียมข้อมูลสำหรับทดลองผลิตด้วยคอมพิวเตอร์	110
10.3 แบบจำลองแหล่งปีโตรเลียม (Simulation Model)	114

บทที่ 11 แหล่งปีโตรเลียมแบบถังเดียว

11.1 ทฤษฎี	118
11.2 พื้นฐานของแหล่งจำลองแบบถังเดียว	118
11.3 ประโยชน์ของแบบจำลอง Tank Model	122
11.4 การเตรียมข้อมูลที่จะ Input ของ Tank Model	123
11.5 ข้อมูลที่ใส่ในแบบจำลอง Tank Model	124
11.6 ผลของการทดลองผลิตโดยแบบจำลอง Tank Model	125
11.7 สรุป	125

บทที่ 12

12.1 จุดประสงค์	133
12.2 แผนการสำรวจและพัฒนาแหล่งปิโตรเลียม	133
12.3 สมมุติฐานในการศึกษาเศรษฐศาสตร์	136
12.4 คำอธิบายตารางเศรษฐกิจ	139
12.5 สรุปผลวิเคราะห์เศรษฐศาสตร์สำหรับแหล่งก๊าซแบบจำลอง Model kk60 (239 BCF)	140
12.6 สรุปผลการวิเคราะห์เศรษฐกิจปิโตรเลียม Model kk65 (260 BCF)	142
12.7 ผลวิเคราะห์เศรษฐกิจปิโตรเลียมของแหล่งจำลอง 225 BCF และ PP new (558 BCF)	144
12.8 สรุปผลวิเคราะห์เศรษฐกิจปิโตรเลียมเบริยบเทียบขนาดแหล่งจำลอง ขนาดต่าง ๆ กัน	146

บทที่ 13

13.1 สรุป	148
13.2 ข้อเสนอแนะในการวัดค่า Porosity และ Permeability	151
13.3 ข้อเสนอแนะในการทดลองผลิตด้วยแบบจำลองคอมพิวเตอร์ (Simulation)	151
13.4 ข้อแนะนำในการสร้างแบบจำลองแหล่งก๊าซในภาคตะวันออกเฉียงเหนือ	152
13.5 ข้อเสนอแนะในการนำผลการทดลองผลิต (Simulation Results) ไปใช้ในกิจกรรมสำรวจและผลิตปิโตรเลียม	153

บรรณานุกรม	154
------------------	-----

ภาคผนวก

ภาคผนวก ก GLOSSARY TERMS OF EVALUATION	157
ภาคผนวก ข POROSIMETER OPERATION	161

អ្នក

ភាគធម្មនគក ៩ OVERBURDEN Poro-Permeable Cell Operation	165
ភាគធម្មនគក ១០ Pressure Distribution of Project KK60	171
ភាគធម្មនគក ១១ Pressure Distribution Graph of Project KK60	212
ភាគធម្មនគក ១២ Permeability Distribution of Each Layer	253
ភាគធម្មនគក ១៣ (1) Tops Structure of Each Layer in Project PPNEW	260
ភាគធម្មនគក ១៤ (2) Vertical Thickness of Each Layer in Project PPNEW	271
ភាគធម្មនគក ១៥ (3) Vertical Net Thickness of Each Layer in Project PPNEW	282
ភាគធម្មនគក ១៦ Data Input in Simulation Model	293
ភាគធម្មនគក ១៧ The Work Plan and Basic Costs	299
ភាគធម្មនគក ១៨ Tank Model Calculation Form by Using VISUAL BASIC 6.0	303
ភាគធម្មនគក ១៩ The Locations of Rock Samples	328
ភាគធម្មនគក ២០ Economic Analysis	349
បរាជវត្ថិជ្រើសរើស	362

สารบัญตาราง

ตารางที่

หน้า

5.1 การคำนวณระบบชี้อของชั้นหินชุดหัวยันด้าดจากผู้ประพันธ์หลายคนเปรียบเทียบกัน	36
6.1 แสดงรายละเอียดการจำแนกหินปูนแบบ Dunham (1962)	41
7.1 อัตราการไหลของหลุมน้ำพอง 1-6	53
7.2 สรุปผลการเจาะปิโตรเลียมในภาคตะวันออกเฉียงเหนือของประเทศไทย	66
7.3 เป้าหมายการเจาะสำรวจและผลการเจาะสำรวจปิโตรเลียมในภาคตะวันออกเฉียงเหนือ	71
8.1 อัตราเสี่ยงของแหล่งที่ประสนผลสำเร็จ	74
8.2 อัตราเสี่ยงของแหล่งที่ไม่ประสนผลสำเร็จ	75
8.3 อัตราเสี่ยงของโครงสร้างที่ยังไม่ได้ทดสอบ	75-76
8.4 สรุปตัวแปรทางธรณีวิทยาที่ใช้ในการคำนวณ	77
9.1 ตำแหน่งและคำอธิบายลักษณะหินตัวอย่างจากสนาม	80
9.2 ปริมาณของลูกเหล็กอ้างอิง (matrix cup billets) ที่ใช้ในการวัดของเครื่อง Porosimeter	83
9.3 ผลการวัดค่าความพรุนจากเครื่อง porosimeter ชุดที่ 1	86
9.4 ผลการวัดค่าความพรุนจากเครื่อง porosimeter ชุดที่ 2	87
9.5 ผลการวัดค่าการซึมผ่านได้ (permeability) ของหินตัวอย่าง	89
10.1 ข้อมูลที่ต้องการในการศึกษาแบบจำลองคอมพิวเตอร์	113
10.2 รูปร่างพื้นที่และจำนวนกริดบล็อกในแต่ละชั้น	117
11.1 ผลอัตราการผลิตความดันแหล่งก๊าซและปรับนักเวลา	130
11.2 แสดงอัตราการผลิตและปริมาณการผลิตรวมของหลุมผลิต 4 หลุม	131
12.1 อัตราการผลิตรวมจากห้องห้าหลุมที่ได้จากการทดสอบผลิตจากแหล่งจำลองคอมพิวเตอร์	135
12.2 สรุปการวิเคราะห์เศรษฐศาสตร์ Model KK60 (239 BCF)	142
12.3 สรุปการวิเคราะห์เศรษฐศาสตร์ปิโตรเลียมของโครงการ KK65	144
12.4 ผลวิเคราะห์เศรษฐกิจปิโตรเลียมแหล่ง 225 BCF	145
12.5 ผลวิเคราะห์เศรษฐกิจปิโตรเลียมแหล่ง Ppnew (486 BCF)	146

สารบัญภาพ

รูปที่

หน้า

1.1 แผนที่ตำแหน่งภาคตะวันออกเฉียงเหนือ	7
1.2 แผนที่แสดงเขตจังหวัดในภาคตะวันออกเฉียงเหนือ	8
1.3 แผนที่แสดงหน่วยภูมิประเทศสำคัญในภาคตะวันออกเฉียงเหนือ	9
2.1 บริเวณรอยต่อของเปลือกโลกในภาคตะวันออกเฉียงเหนือของประเทศไทย	14
2.2 รูปตารางการเรียงลำดับชั้นหินของที่รากสูงโกราช	15
3.1 ส่วนประกอบธรณีพื้นผิวของที่รากสูงโกราช	20
3.2 แองย์อยในที่รากสูงโกราช	21
5.1 แสดงลำดับชั้นหินหน่วยต่าง ๆ ของที่รากสูงโกราชและการก่อตัวของ โครงสร้างหินเหล่านี้	29
5.2 แสดงลำดับชั้นหินของที่รากสูงโกราชและเหตุการณ์การเคลื่อนตัวของ เปลือกโลกที่เกี่ยวข้องกัน	31
5.3 การเปลี่ยนแปลงลำดับชั้นหินและสภาพแวดล้อมการตกตะกอนของหินชุดสารบุรี	35
5.4 การแบ่งลำดับชั้นหินชุดหัวยหินตามข้อมูลหลุมเจาะ	36
6.1 แสดงภาพถ่ายด้วยกล้อง (a) Cross polar และ (b) Cathodoluminescence (CL) ของตัวอย่างหินปูนจากจังหวัดสารบุรีด้วยกำลังขยาย 5 เท่า แสดงหินปูนชนิด Packstone-Grainstone ซึ่งประกอบด้วยชาnofolith จำพวก Fusulinid และ Foraminifera	42
6.2 แสดงภาพถ่ายด้วยกล้อง (a) Cross polar และ (b) Cathodoluminescence (CL) ของตัวอย่างหินปูนจากจังหวัดสารบุรีด้วยกำลังขยาย 10 เท่า แสดงหินปูนชนิด Grainstone มีลักษณะ crystalline texture, calcite plagioclase ประกอบด้วย 5-10% dolomite (สีแดงในรูป b) นอกจากนี้ยังแสดงการเกิดผลึกของ calcite จากกล้อง CL	43

6.3 แสดงภาพถ่ายด้วยกล้อง (a) Cross polar และ (b) Cathodoluminescence (CL) ของตัวอย่างหินปูนจากจังหวัดสระบุรี ด้วยกำลังขยาย 5 เท่า แสดงหินปูนชนิด Packstone มี micritic supported และ เศษซากของ fusulinid ในรูป (b) แสดง calcite cavity และ dolomite (สีแดง).....	44-45
6.4 แสดงภาพถ่ายด้วยกล้อง (a) Cross polar และ (b) Cathodoluminescence (CL) ของตัวอย่างหินปูนจากจังหวัดเพชรบูรณ์ ด้วยกำลังขยาย 5 เท่า หินปูนชนิด Packstone แสดงการ deformation และ เม็ด volcanic quartz สีน้ำเงิน ในรูป CL.....	46
6.5 แสดงภาพถ่ายด้วยกล้อง (a) Cross polar และ (b) Cathodoluminescence (CL) ของตัวอย่างหินปูนจากจังหวัดเลย ด้วยกำลังขยาย 5 เท่า หินปูนชนิด Grainstone แสดง crystalline frament ของ transported foraminifera และ calcite plagioclase ในรูป CL แสดง bright luminescence ของ sparitic texture และ dull crystalline fragment ของ plagioclase.....	47
6.6 แสดงภาพถ่ายด้วยกล้อง (a) Cross polar และ (b) Cathodoluminescence (CL) ของตัวอย่างหินปูนจากจังหวัดนครราชสีมา ด้วยกำลังขยาย 5 เท่า หินปูนชนิด Packstone แสดง crystalline frament ของ fusulinid bioclast กับ foraminifera และ calcite plagioclase ในรูป CL แสดง 1-2 % clay mineral (blue spot).....	48
6.7 แสดงภาพถ่ายด้วยกล้อง (a) Cross polar และ (b) Cathodoluminescence (CL) ของตัวอย่างหินปูนจากจังหวัดลพบุรี ด้วยกำลังขยาย 5 เท่า หินปูนชนิด Wackstone แสดง calcite plagioclase ใน micritic matrix supported ในรูป CL แสดง 5 % dolomite (reddish orange).....	49
7.1 ตำแหน่งหลุมเจาะสำรวจและประเมินผลในแต่ละที่ราบสูงโกรราช.....	51
7.2 แสดงแผนที่โครงสร้างแหล่งก๊าซน้ำพอง.....	54
7.3 แสดงลำดับชั้นหินแต่ละที่ราบสูงโกรราช.....	55
7.4 ภาคตัดขวางโครงสร้างน้ำพอง.....	56
7.5 ภาคตัดขวางโครงสร้างภูมิศาสตร์.....	57
7.6 แสดงภาคหน้าตัดเส้น Seismic บริเวณหลุมเจาะดาวเรือง -1	58

รูปที่	หน้า
7.7 ลักษณะลำดับชั้นหินแนวตั้งของที่ราบสูงโคราชประเทศไทย	58
7.8 แสดงลำดับหินจากการหยั่งธารณีหลุมเจาะดาวเรือง-1 ที่ราบสูงโคราช	59
7.9 แผนที่แสดง Play concept ของหลุมสำรวจในที่ราบสูงโคราชาคาดวันออกเลี้ยงเนื้อของประเทศไทย	62
7.10 รูปแบบโครงสร้างปิโตรเลียมในภาคตะวันออกเฉียงเหนือ	72
9.1 เครื่องเจาะหินตัวอย่าง (Coring Machine)	80
9.2 หินตัวอย่างรูปทรงกรวยของเส้นผ่าศูนย์กลาง 1.5 นิ้ว ยาว 1 นิ้ว	80
9.3 เครื่องมือ porosimeter ใช้วัดค่าความพรุน (porosity) ของหินตัวอย่าง	81
9.4 รูปจลุกเหล็ก (Billet) และระบบอักขอดlong (Chamber)	82
9.5 เครื่องมือ Overburden Poro-perm Cell ที่ใช้วัดค่าการซึมผ่าน ได้ (permeability) ของหินตัวอย่าง	88
9.6 เครื่องมือวัด Permeability ที่ผลิตขึ้นเอง	90
10.1 แสดงขั้นตอนแผนกิจกรรมการปฏิบัติในการทำแบบจำลองคอมพิวเตอร์แหล่งปิโตรเลียม	94
10.2 การสมดุลมวลสารของน้ำมันการไหลเชิงเส้น (Linear system)	95
10.3 การสมดุลของมวลก๊าซในหน่วยส่วน	97
10.4 ขั้นตอนการหาค่าตอบจากสมการการไหล	103
10.5 กำหนดสมการเริ่มต้นของความดันที่ระดับเวลาขั้นที่ 1	107
10.6 แสดงในเห็นรูปแบบ Matrix ของความดันแบบ IMPES	108
10.7 ผลของการคำนวณเพื่อเสริจสิ่งช่วงเวลาที่กำหนด	109
10.8 สรุปขั้นตอนคำนวณแบบ IMPES	110
10.9 แบบจำลองแหล่งปิโตรเลียม	116
11.1 แสดงความดันลดลงเมื่อไหลผ่านอุปกรณ์การผลิตของของไหล	118
11.2 ภาพแสดงรูปร่างของแบบจำลองแหล่งก๊าซแบบ Tank Model 3 มิติ	125
11.3 แสดงผังการคำนวณของ Tank Model	129
11.4 แสดงอัตราการผลิตก๊าซธรรมชาติ ปริมาณการผลิตก๊าซรวมและความดันในแหล่งก๊าซ ประเมินกับเวลาการผลิต	132

รูปที่

หน้า

12.1 แสดงความสัมพันธ์ระหว่างอัตราการผลิตกับเวลา 136

บทนำ

ความเป็นมาและความสำคัญของปัญหา

พัฒนาจากปี โตรเลียมถือได้ว่าเป็นปัจจัยที่สำคัญสูงสุดปัจจัยหนึ่งในการพัฒนาเศรษฐกิจของประเทศไทย การสำรวจและพัฒนาแหล่งปี โตรเลียมในประเทศไทยประสบผลสำเร็จพอสมควร ดังจะเห็นได้ว่า เราสามารถผลิตปี โตรเลียมได้ถึง 30% ของปริมาณการใช้ปี โตรเลียมภายในประเทศลดการพึ่งพาปี โตรเลียมจากต่างประเทศ และสร้างเสถียรภาพความมั่นคงในด้านการจัดหาพลังงานเพื่อพัฒนาเศรษฐกิจและสังคมของประเทศไทย

แต่ว่าการสำรวจและพัฒนาแหล่งปี โตรเลียมในภาคอีสานยังไม่ประสบผลสำเร็จเท่าที่ควร เพราะมีการกันพนและผลิตปี โตรเลียมที่จำกอน้ำพอง ที่จังหวัดขอนแก่นเพียงแห่งเดียว ซึ่งถือว่าน้อยมากเมื่อเปรียบเทียบกับแหล่งปี โตรเลียมที่กระจัดกระจายอยู่ทั่วภาคอีสาน ซึ่งส่วนใหญ่เป็นปี โตรเลียมในแหล่งหินปูนยุคเพอร์เมียน ความเข้าใจถึงปริมาณช่องว่างหรือความพรุน (porosity) และความสามารถให้ปี โตรเลียมไหลผ่าน (permeability) ของหินปูนยุคเพอร์เมียนยังไม่ชัดเจน ทำให้ไม่สามารถคาดการประศิทธิภาพการผลิตได้ใกล้เคียงกับความจริง อีกทั้งข้อมูลวิเคราะห์ของบริษัทเอสโซ่ฯ ซึ่งเป็นบริษัทผู้รับสัมปทานแหล่งก๊าซน้ำพองมีจำกัด และถือเป็นข้อมูลลอกปิด

ผลการศึกษาครั้งนี้จะทำให้ทราบปริมาณช่องว่าง (porosity) และความสามารถให้ปี โตรเลียมไหลผ่าน (permeability) ของหินปูนยุคเพอร์เมียนในภาคตะวันออกเฉียงเหนือ ซึ่งจะทำให้สามารถคำนวณปริมาณสำรองและประสิทธิภาพการผลิตปี โตรเลียมในแหล่งที่พบแล้ว และหาศักยภาพปี โตรเลียมในแหล่งที่จะสำรวจต่อไปได้ดีขึ้น

วัตถุประสงค์

เพื่อให้ทราบค่าความพรุน (porosity) และค่าความไหลผ่านได้ (permeability) ของหินปูนยุคเพอร์เมียนในภาคตะวันออกเฉียงเหนือ เพื่อคำนวณปริมาณสำรองและประสิทธิภาพในการผลิตก๊าซแหล่งน้ำพองเป็นข้อมูลพื้นฐานทางศักยภาพ ปริมาณ และประสิทธิภาพการผลิตปี โตรเลียมในภาคตะวันออกเฉียงเหนือ เพื่อฝึกฝนนักวิชาการใหม่ๆ ให้มีประสิทธิภาพในด้านวิจัย เปรียบเทียบการวัดค่า porosity กับ permeability ที่วัดได้จากการทดลองและกับการใช้แบบจำลองคอมพิวเตอร์ (simulation) เพื่อส่งเสริมให้บริษัทนำมันต่างชาติเข้ามาสำรวจและพัฒนาปี โตรเลียมในภาคตะวันออกเฉียงเหนือมากขึ้น

วิธีดำเนินงานวิจัย

รวบรวมข้อมูลเกี่ยวกับลักษณะของหินคาร์บอนเนตยุคเพอร์เมียนที่เคยมีผู้ศึกษาทดลอง และวิจัยมาก่อน การรวบรวมข้อมูลเกี่ยวกับผลการเจาะสำรวจ และผลิตปิโตรเลียมในภาคตะวันออกเฉียงเหนือ วิเคราะห์ข้อมูลเพื่อนำมาใช้ในการวิจัยเก็บตัวอย่างหินที่เป็น Outcrops อย่างน้อย 10 ตัวอย่าง และเข้มตัวอย่างหินที่เป็นแท่งหินจากกรณทรัพยากรธรรมี 6 ตัวอย่าง และเตรียมตัวอย่างศึกษาคุณสมบัติทางฟิสิกส์จากหินแผ่นบาง วิเคราะห์หินตัวอย่างเพื่อหา Porosity Permeability และ Fluid Saturation ในห้องปฏิบัติการ 16 ตัวอย่าง วิเคราะห์และประเมินผลข้อมูลจากห้องปฏิบัติการเพรียบเทียบกับผลจาก Logs และผลการวิเคราะห์จากบริษัทผู้รับสัมปทานปิโตรเลียม สร้างแบบจำลองคอมพิวเตอร์โดยป้อนข้อมูลเข้าคอมพิวเตอร์ ตรวจสอบค่า Porosity และ Permeability เก็บตัวอย่างหินเพื่อนำมาทำแบบจำลองแหล่งกักเก็บปิโตรเลียมในห้องแล็บ ทดลองทางประสีทธิภาพในการผลิตปิโตรเลียมใช้ข้อมูลสร้างแบบจำลองคอมพิวเตอร์แหล่งกักเก็บปิโตรเลียม(Reservoir Simulation) ทดลองผลิตทางประสีทธิภาพการผลิต โดยใช้ข้อมูลการผลิตแหล่งน้ำพองเป็นต้นแบบประเมินผล สรุปและเขียนรายงานฉบับสมบูรณ์

ขั้นตอนของงานวิจัย

นำตัวอย่างหินที่ชั้นหินปูนยุคเพอร์เมียนในบริเวณที่มี Outcrops และหินตัวอย่างที่จะสำรวจโดยบริษัทผู้รับสัมปทานในภาคตะวันออกเฉียงเหนือ

ประโยชน์ที่คาดว่าจะได้รับ

ข้อมูลที่ได้ใช้ทางปริมาณสำรวจ อัตราการผลิต ประสีทธิภาพ และเวลาที่ใช้ผลิตปิโตรเลียม จากแหล่งหินปูนในภาคตะวันออกเฉียงเหนือที่พบแล้วและที่จะพบตรวจสอบปริมาณสำรวจและทางประสีทธิภาพ อัตราการผลิต และระยะเวลาการผลิตแหล่งก๊าซน้ำพอง ข้อมูลที่ได้จะมีประโยชน์ในการวางแผนการจัดหาแหล่งพลังงาน เพื่อพัฒนาอุตสาหกรรมและเศรษฐกิจในภาคตะวันออกเฉียงเหนือ และของประเทศซึ่งและส่งเสริมให้บริษัทค้างชาติเข้ามาลงทุนสำรวจ และพัฒนาแหล่งปิโตรเลียม ในภาคตะวันออกเฉียงเหนือมากขึ้น ประสบการณ์ในการเพรียบปรับผลการทำแบบจำลอง การทดสอบ กับการทำแบบจำลองคอมพิวเตอร์ ตลอดจนการใช้อุปกรณ์ห้องปฏิบัติการและซอฟแวร์คอมพิวเตอร์ ทำให้ได้ความรู้ด้านคุณสมบัติต่างๆ ของแหล่งกักเก็บปิโตรเลียมมากขึ้น

หน่วยงานที่นำผลการวิจัยไปใช้ประโยชน์

สาขาวิชาเทคโนโลยีธรณี สำนักวิชาวิศวกรรมศาสตร์ มหาวิทยาลัยเทคโนโลยีสุรนารี สามารถนำผลวิจัยนี้มาประกอบการเรียนการสอนในวิชา Petroleum Reservoir Technology และ Petroleum Production Technology ทั้งระดับปริญญาตรีและปริญญาโท

กรมทรัพยากรธรรมชาติ เพื่อนำผลวิจัยมาหาศักยภาพและประสิทธิภาพในการผลิตปิโตรเลียม บริเวณตะวันออกเฉียงเหนือ

บริษัทบ้านมันที่ผลิตปิโตรเลียมในภาคตะวันออกเฉียงเหนือ คือ บริษัทเอสโซ่ฯ นำผลวิจัย ตรวจสอบกับข้อมูลของตนเพื่อหาปริมาณสำรอง คาดการณ์และประสิทธิภาพการผลิต ก๊าซเหล่าน้ำพอง

บริษัทบ้านอื่นๆ ที่สนใจเข้ามาสำรวจหาปิโตรเลียมในภาคตะวันออกเฉียงเหนือ นำผล วิจัยมาประเมินศักยภาพของแหล่งปิโตรเลียม

บทที่ 1

บทนำและธรณีวิทยาภาคตะวันออกเฉียงเหนือ

1.1 ບກນໍາ

ปีโตรเลียมเป็นแหล่งพลังงานสำคัญในการพัฒนาเศรษฐกิจและสังคมของประเทศไทย ปัจจุบันความต้องการใช้ปีโตรเลียมได้เพิ่มขึ้นอย่างรวดเร็ว สืบเนื่องมาจาก การขยายตัวทางเศรษฐกิจทั้งด้านการเกษตร และอุตสาหกรรมอย่างต่อเนื่อง เราสามารถผลิตปีโตรเลียมได้เพียงร้อยละ 50 ของปีโตรเลียมที่ใช้ในประเทศไทย การสำรวจและผลิตปีโตรเลียมในประเทศไทยนับว่าประสบความสำเร็จพอสมควร แต่ก็ไม่เพียงพอต่อการใช้ในประเทศ อย่างไรก็ตามยังสามารถลดการพึ่งพาการนำเข้าปีโตรเลียมในระดับหนึ่ง ผลการความสำเร็จนี้ทำให้เกิดความมั่นคงในการจัดหาพลังงานเพื่อพัฒนาเศรษฐกิจของประเทศไทยเป็นอย่างมาก

การสำรวจและพัฒนาแหล่งปีโตรเลียมในภาคตะวันออกเฉียงเหนือคุณมี่อนไม่ค่อยประสบความสำเร็จมากนัก มีการพนแหล่งก๊าซธรรมชาติที่มีสมรรถนะเชิงพาณิชย์เพียง 2 แหล่งคือ แหล่งก๊าซน้ำพองที่อ่าวกอนน้ำพองจังหวัดขอนแก่น ซึ่งขณะนี้กำลังผลิตโดยบริษัท เอสโซ่ โกรุชอิงค์ เพื่อใช้ผลิตไฟฟ้าและแหล่งภูมิคุณ ซึ่งขณะนี้กำลังเตรียมการพัฒนาโดยบริษัท อะเมอร์ราดานาสเปรย์เทียนกับพื้นที่ที่กว้างใหญ่และมีโครงสร้างชั้นหินได้ค่อนมากรายในบริเวณนี้ หินที่เป็นแหล่งปีโตรเลียมส่วนใหญ่เชื่อว่าเป็นหินคาร์บอนเดยุคเบอร์เมียน ความพรุนและความสามารถซึมผ่านของหินคาร์บอนเดยุคเบอร์เมียนมีค่าน้อย จึงทำให้ยากต่อการคาดการณ์ระยะทางและการสำรวจหาแหล่งปีโตรเลียม นอกจากนั้นข้อมูลวิเคราะห์โดยบริษัท เอสโซ่ฯ ผู้รับสัมปทานแหล่งก๊าซน้ำพองมีจำกัดคือต้องปกปิดตามสัญญาสัมปทาน

อนาคตของการผลิตน้ำมันและกําชาธรรมชาติจะประสบความสำเร็จยิ่งขึ้นอยู่กับเทคโนโลยีการจำลองจำลองแหล่งกําเนินทางธรณีวิศวกรรมแหล่งกําเนินและแบบจำลองคอมพิวเตอร์ การจำลองแหล่งปิโตรเลียมอย่างเข้มข้น มีความจำเป็นต่อการบริหารจัดการแหล่งปิโตรเลียม การบริหารจัดการแหล่งปิโตรเลียมคือการตรวจสอบหาสภาวะที่ดีที่สุดในการหาดูดกำไรสูงสุดในการผลิตปิโตรเลียมจากแหล่งที่ดีที่สุด การจำลองแหล่งปิโตรเลียมด้วยคอมพิวเตอร์เป็นองค์ประกอบที่สำคัญในการพัฒนาและผลิตปิโตรเลียมให้มีประสิทธิภาพสูงสุด การจำลองแหล่งปิโตรเลียมทางคอมพิวเตอร์ที่นิยมใช้ในอุตสาหกรรมทั่วไปที่มีความจำถูกอยู่ที่ขนาดและความซับซ้อนของปัญหาที่สามารถแก้ไขได้ ข้อมูลและรายละเอียดของแหล่งปิโตรเลียมมีความจำเป็นต่อการทดลองผลิตด้วยแบบจำลองคอมพิวเตอร์ ในทางจินตนาการข้อมูลลักษณะของแหล่งกําเนินและข้อมูลมาตราสารเกี่ยวกับคุณสมบัติและลักษณะของที่นิยมและของไทย ควรนำมามีใช้ในการทดลองผลิตด้วยแบบจำลองคอมพิวเตอร์

งานวิจัยนี้จะเป็นประโยชน์ต่อการพัฒนาทรัพยากรของประเทศไทย โดยจะประเมินประสิทธิภาพในการผลิตปีโตรเลียมจากหินคาร์บอนเนต นอกจากนี้ยังรวมรวมข้อมูลต่าง ๆ เกี่ยวกับแหล่งปีโตรเลียมในหินคาร์บอนเนต จากผลการศึกษา การทดลอง และผลวิจัยที่มีอยู่ถึงปัจจุบัน

ข้อมูลจากการสำรวจและผลิตปีตอระเลี่ยมทั้งหมดในภาคตะวันออกเฉียงเหนือที่ทำได้จะถูกนำไปในแบบจำลองคอมพิวเตอร์ ตัวอย่างหินทรายตัวอย่างจากภาคสนามถูกนำมาวัดหาค่าความพรุนและความไอลด์เพนซ์ (Porosity and Permeability) ในห้องปฏิบัติการของมหาวิทยาลัยเทคโนโลยีสุรนารี และประเมินประสิทธิภาพการผลิตปีตอระเลี่ยมจากหินคาร์บอนเนต

จุดประสงค์ของงานวิจัยนี้เพื่อหาค่าความพรุน ค่าความซึมผ่านได้และประสิทธิภาพการผลิตปีตอระเลี่ยมจากหินคาร์บอนเนตในภาคตะวันออกเฉียงเหนือของประเทศไทย นอกจากนั้น ยังคำนวณหาปริมาณสำรองและคาดการณ์ประสิทธิภาพในการผลิตปีตอระเลี่ยมของแหล่งที่คาดว่าจะพบในบริเวณนี้

งานวิจัยนี้ได้รับการสนับสนุนทุนวิจัยจากมหาวิทยาลัยเทคโนโลยีสุรนารี 2 ปี งบประมาณคือ ปีงบประมาณปี 2544 จำนวน 71,000 บาท และปีงบประมาณ 2545 จำนวน 157,000 บาท มีการออกภาคสนามบริเวณจังหวัดสาระบุรี เลย ขอนแก่น และเพชรบูรณ์ เพื่อเก็บหินตัวอย่างกว่า 30 ตัวอย่างมาจะเป็นหินตัวอย่างเพื่อวิเคราะห์หาค่าความพรุนและความซึมผ่านได้ในห้องปฏิบัติการของมหาวิทยาลัยเทคโนโลยีสุรนารี

การวิเคราะห์แบบจำลองคอมพิวเตอร์ได้ใช้ออยล์แบล็ค (Black oil) ที่ก่อเชื้อเพลิงธรรมชาติ กรณทรัพยากรธรรมชาติ (ปัจจุบันเป็นกรรมเชื้อเพลิงธรรมชาติ กระทรวงพลังงาน) รายงานฉบับนี้แบ่งออกเป็น 2 ส่วน ส่วนแรกเป็นธรณีวิทยาและส่วนที่สองเป็นวิศวกรรมปีตอระเลี่ยม

1.2 ตำแหน่ง

ภาคตะวันออกเฉียงเหนือของประเทศไทยอยู่ระหว่างละติจูดที่ $14^{\circ}00' - 18^{\circ}00'$ เมดีโอ ลองติจูดที่ $101^{\circ}15'30'$ ตะวันออกดังแสดงในรูปที่ 1.1 ครอบคลุมพื้นที่ 168,859 ตารางกิโลเมตร ด้านทิศเหนือและทิศตะวันออกติดชายแดนประเทศไทย ทิศใต้ติดชายแดนประเทศกัมพูชา ภาคตะวันออกเฉียงเหนือแบ่งเขตการปกครองออกเป็น 19 จังหวัดดังแสดงในรูป 1.2 มีเส้นทางถนนหลวงเป็นเครื่องข่ายติดต่อกันได้ทุกอำเภอทุกจังหวัด มีเส้นทางรถไฟจากกรุงเทพฯ มาที่นครราชสีมาจากนั้นแยกขึ้นเหนือถึงจังหวัดหนองคายและแยกไปตะวันออกถึงจังหวัดอุบลราชธานี

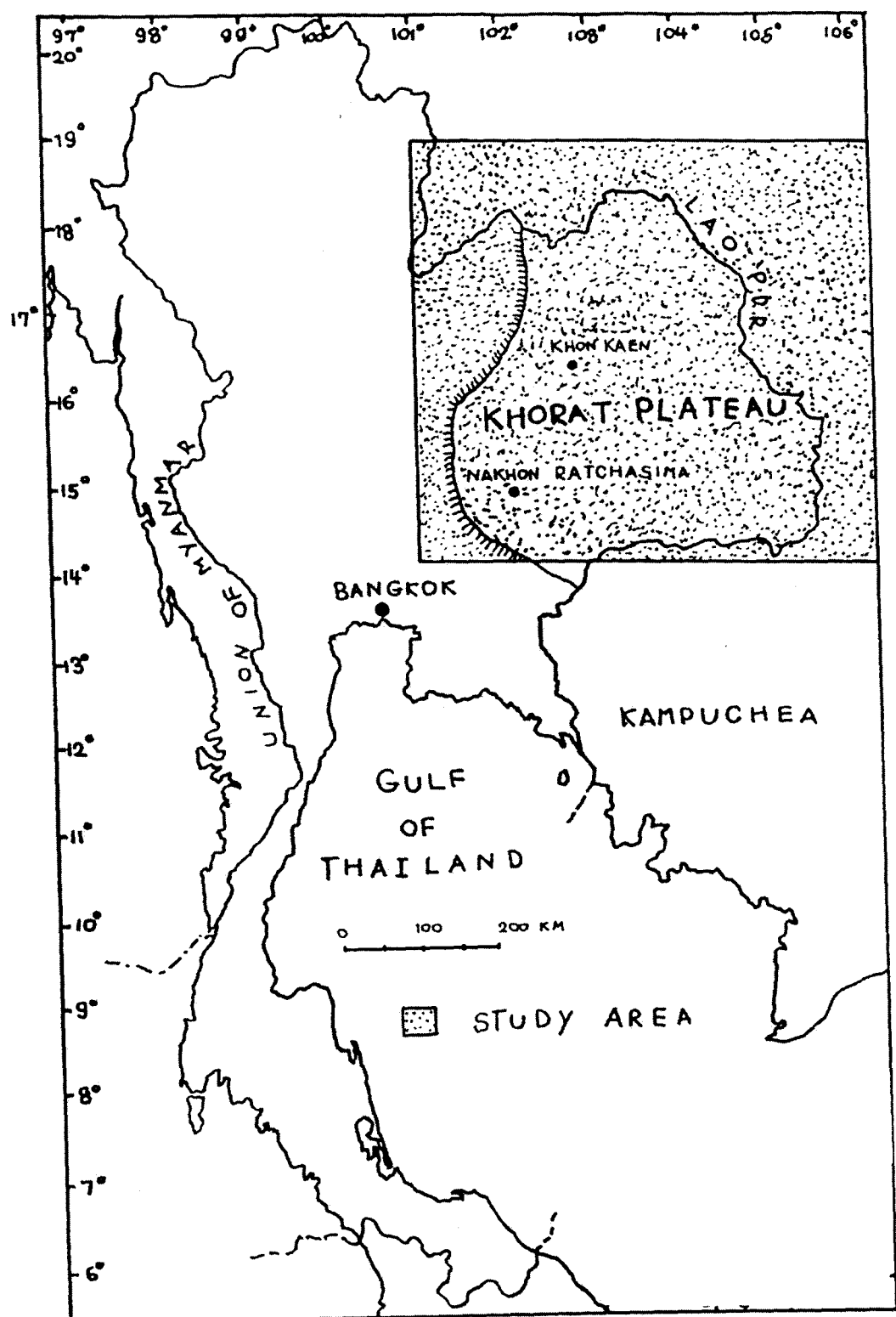
1.3 ลักษณะภูมิประเทศ

ภาคตะวันออกเฉียงเหนือมีภูมิประเทศเป็นที่ราบสูงล้อมรอบด้วยภูเขาทางด้านตะวันตกและทางตอนใต้ ภูมิประเทศค่อนข้างราบ ลาดต่ำไปทางคุ่มแม่น้ำโขง เกิดเป็นที่ราบสูงโคราช (Khorat Plateau) ที่ราบสูงกระชาดตัวขึ้นเหนือและไปทางตะวันออกข้ามแม่น้ำโขงสู่ประเทศลาว สภาพธรณีวิทยาของภาคตะวันออกเฉียงเหนือประกอบไปด้วย 5 ส่วนใหญ่ ๆ ดังแสดงในรูป 1.3 คือ

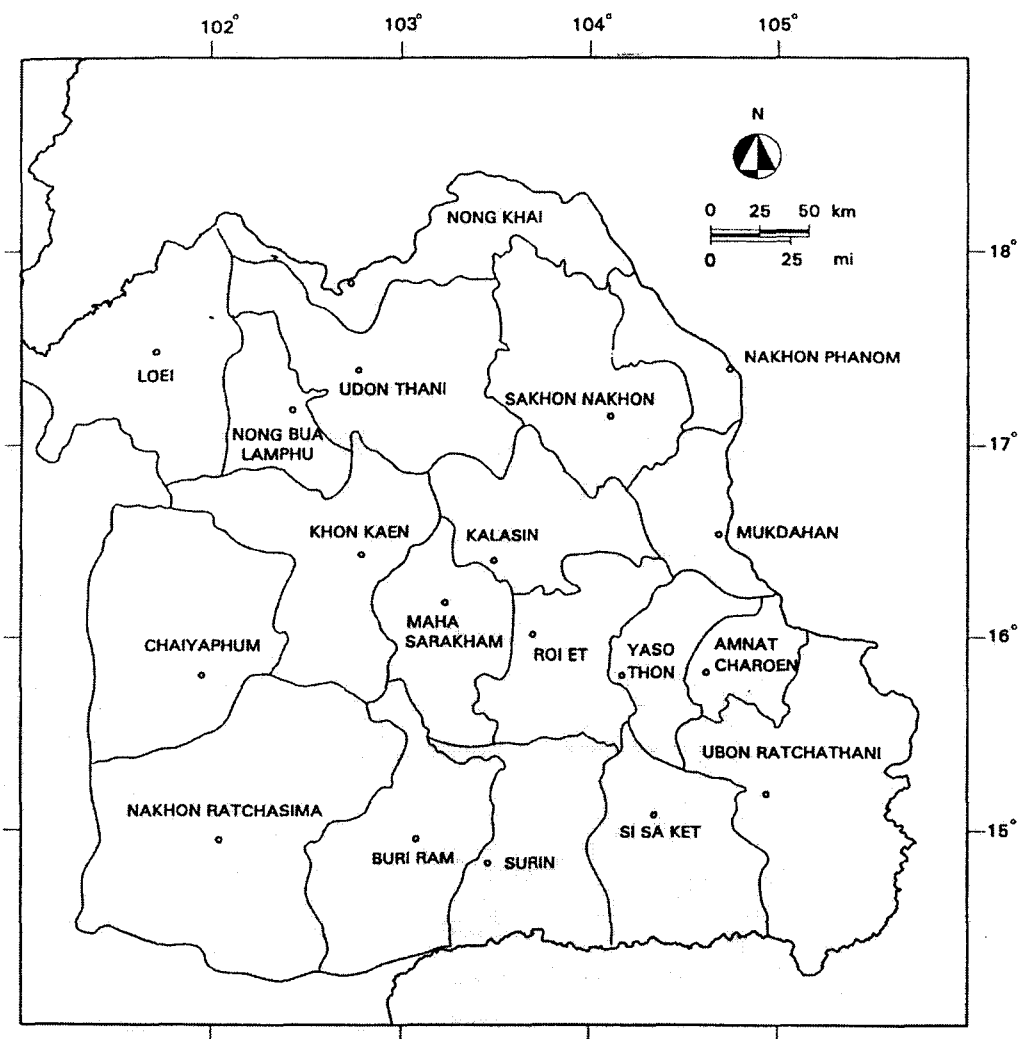
1. เทือกเขาเพชรบูรณ์และคงพญาเย็น

2. เทือกขาสันกำแพงและดวงรัก
 3. เทือกขาภูพาน
 4. แองโกราช
 5. แองสกูลนกร

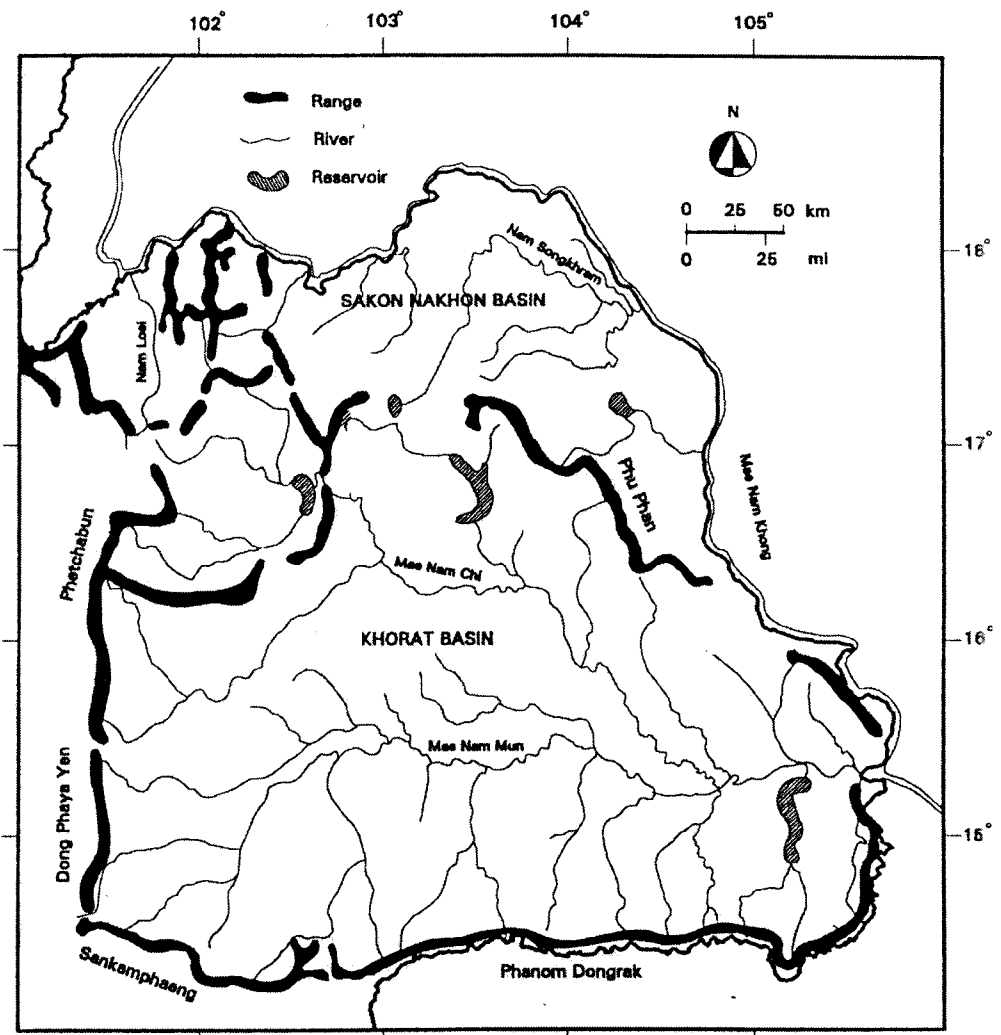
เทือกเขาเพชรบูรณ์และคงพญาเย็น เริ่มจากตอนเหนือของจังหวัดเลยถึงตอนใต้ของ
จังหวัดนครราชสีมา ขอบเขตด้านตะวันตกแยกเทือกเขาเหล่านี้ออกจากบริเวณภาคกลางของประเทศไทย
ลักษณะเด่นของเทือกเขาเพชรบูรณ์และคงพญาเย็นคือ ด้านบนเทือกเขาจะเป็นเนินรับ
สูงโดยเฉพาะที่ภูเรือและภูกระดึงในจังหวัดเลย



รูปที่ 1.1 แผนที่ดำเนินการทดสอบอุณหภูมิเฉลี่ว์



รูปที่ 1.2 แผนที่แสดงเขตจังหวัดในภาคตะวันออกเฉียงเหนือ



รูปที่ 1.3 แผนที่แสดงหน่วยภูมิประเทศสำคัญในภาคตะวันออกเฉียงเหนือ

เทือกเขาสันกำแพงและคงรักอู่ทางตะวันตกไปถึงทิศใต้ของแม่น้ำมูลที่จังหวัดอุบลราชธานี เทือกเขานห่าวนี้เกิดเป็นกำแพงลาดชันทางตอนใต้และค่อยลดความชันลงไปทางทิศเหนือ มีเนินภูเขาไฟ (Basaltic hill) เป็นหย่อมๆ ทางตอนเหนือที่ลาดชันในจังหวัดบุรีรัมย์ ศรีสะเกษและอุบลราชธานี

เทือกเขากูพานแยกแยะสกلنกรออยู่ตอนเหนือและแองโกราชอยู่ตอนใต้ เทือกเขาริมจากจังหวัดอุบลราชธานี ผ่านสกلنกร ก้าฬสินธุ์ มุกดาหาร และไปสิ้นสุดใกล้แม่น้ำโขงที่จังหวัดอุบลราชธานี เทือกเข้าประกอบไปด้วยเนินเขาเล็กๆ ที่สูงขึ้นจากที่ราบมีระดับความสูงประมาณ 300-500 เมตร จากระดับน้ำทะเล

ແອ່ງ ໂຄງຮວາງຕັວອູ້ທຳກອນໄດ້ຂອງເຖິງເຖິງເຖິງພານແລະກັດເຊະ ໂດຍຮຽບແມ່ນໍ້າມູລແລະໜີ້
ເມື່ອແອ່ງຕະກອນແມ່ນໍ້າທີ່ໄຫຍ້ທີ່ສຸດຂອງປະເທດ ໂດຍມີຮັບຄວາມສູງຮ່ວງ 120-170 ມີຕຣ ຈາກຮັບນໍ້າທະເລ
ແມ່ນໍ້າທີ່ສອງພບກັນທີ່ຈັງຫວັດອຸນລາວຈານີ ແລະ ໄກລອງໄປສູ່ແມ່ນໍ້າໂຈງໝາຍແດນໄທຍ-ລາວ

ແອ່ງສກລນຄຣວາງຕັວໄປທາງເໜືອຂອງເຖິງເຖິງພານແລະຂໍຍາຍຕັວໄປລຶງແມ່ນໍ້າໂຈງ ມີຮັບ
ຄວາມສູງຮ່ວງ 140-180 ມີຕຣຈາກຮັບນໍ້າທະເລ ປະກອບຄົວຍແມ່ນໍ້າລຳຫາຣເຕີກ ၅ ນາກນາຍ ເຊັ່ນ ແມ່ນໍ້າ
ສັງຄຣາມ ຜົ່ງຮະບາຍລົງສູ່ແມ່ນໍ້າໂຈງເຊັ່ນເດີຍກັນ

บทที่ 2

ธรณีวิทยาและการเกิดธรณีผิวโลกบริเวณภาคตะวันออกเฉียงเหนือ

2.1 ธรณีวิทยาทั่วไป

ธรณีวิทยาแห่งประเทศไทยประกอบไปด้วยหินอายุตั้งแต่ยุคพรีแคมเบรียน (Precambrian) ถึงยุคควอเทอร์นารี (Quaternary) ที่นิ่งเหล่านี้เพรียบเทียบต่อเนื่องอยู่ระหว่างพื้นที่วีป 2 แผ่น ที่ก่อกำเนิดมาจากก้อนวนาน แผ่นนานาไทยอยู่ทางตะวันตกและแผ่นอินโดไชนาอยู่ทางตะวันออก แผ่นที่วีปทั้งสองต่อ กันเนื่องจากการชนกันของพื้นที่วีปในยุคไทรแอสซิก ตอนปลาย (Late Triassic) หลังการชนมีทะล เกิดขึ้นอีกเป็นหย่อม ๆ เป็นแหล่งระหว่างภูเขาต่าง ๆ ตามด้วยการตกร่องตะกอนทางทะเลในยุคไทรแอสซิก ในแอ่งเหล่านี้ การตกร่องตะกอนแดงพื้นที่วีป (Red bed) และกลุ่มชุดหินโกรชาพร้อมพากเกลือหินในภาค ตะวันออกเฉียงเหนือ

ตะกอนยุคเทอร์เชียรี (Tertiary sediments) เกิดขึ้นตามรอยแทกระหว่างแอ่งเหล่านี้และ ตะกอนยุคควอเทอร์นารี (Quaternary sediments) กีดกตะกอนของภูเขาต่างๆ ตามแม่น้ำ เช่นเดียวกับตาม บริเวณชายฝั่งของคาบสมุทรของประเทศไทย หินแกรนิตในประเทศไทยแบ่งออกเป็น 3 แนว ได้แก่ ตะวันตก ตอนกลาง และตะวันออก หินแกรนิตชนิดแอลลอยู่ทางตะวันตก และตอนกลาง ส่วนชนิด ไออุ่นอยู่ทางชายตะวันออก นอกจากนั้นยังมีหินอัคนี (Volcanic rocks) 3 แนวใหญ่ๆ ในประเทศไทยมีชื่อ เรียกว่า เชียงของ-ตาก เลย-จันทรบุรี และหินมะชอลท์ยุคชีโน โซอิก ประเทศไทยซึ่งตั้งอยู่บนรอยต่อของ พื้นที่วีปทั้งสองที่ประกอบไปด้วยการเปลี่ยนแปลงหลากหลายขั้นตอนและหลากหลายอายุนี้ สามารถนับเป็น ปรากฏการณ์ที่น่าสนใจในการสืบค้นและศึกษาของภาคพื้นเอเชียตะวันออกเฉียงใต้ ความเข้าใจถึงการ วางแผนของชั้นหินและการเปลี่ยนแปลงของเปลือกโลกบริเวณนี้เป็นสะพานเชื่อมความเชื่อมโยงในธรณีเอเชีย และแปซิฟิกตอนใต้ และได้ให้หลักฐานสำคัญในการเชื่อมความสัมพันธ์ทางธรณีวิทยาในบริเวณพื้นภาค นี้อีกด้วย (GEOTHAI'97, book1.P2)

ผลการสำรวจธรณีฟิสิกส์และห้องเจาะปีโตรเลียมจากที่ราบสูงโกรชาชิบายถึงการปราศ ของแอ่งโกรงสร้างได้ดินยุคพาลีโโซโซอิกและไทรแอสซิกที่ความลึกต่าง ๆ พร้อมทั้งชั้นหินที่โผล่ผิวดินที่ คล้ายกันที่เพรียบเทียบอย่างกว้างขวางตรงบริเวณแนวเทือกคด โถงเลย-เพชรบูรณ์ไปทางทิศตะวันตก ลำดับ ของชั้นตะกอนในบริเวณโกรชาประกอบไปด้วยรอยทຽดเริ่มต้น ซึ่งเป็นชั้นของตะกอนยุคอาชาร์บอน- ไฟอร์รัสถึงยุคไทรแอสซิกและส่วนบนลงของลำดับตะกอนยุคอาชาร์ไทรแอสซิกถึงครีเทเชียส (herein termed the “post-Indosinian”) ลำดับตะกอนทั้งสองถูกแยกกันโดยรอยพุพังที่ไม่ต่อเนื่องอินโดจีน (Indosinian Unconformity) ซึ่งเป็นตัวแสดงถึงการชนกันครั้งสำคัญของพื้นที่วีปอินโดจีนและพื้นที่วีป ข้างเคียงหิน ยุคเบอร์เมียนของประเทศไทยส่วนใหญ่เป็นหินปูนยุคอาชาร์เปอร์เมียนตอนต้นถึง

ตอนกลางและสามารถแบ่งเป็น ส่องกลุ่มใหญ่ๆ คือ หินปูนคาร์สติก (Karstic limestones) ทางตะวันตกของคาบสมุทรรัฐกินนามกลุ่มราชบูรีของแผ่นดินไทย ในขณะที่อีกกลุ่มคือหินปูนที่มีริชั่นซิลิกาและเชิร์คแทรกรอยู่ทางทิศตะวันตกและทิศใต้ของที่ราบสูงโคราช ซึ่งรัฐก็ได้ในชื่อหินกลุ่มสารบูรีของแผ่นดินที่วีปอินโอดจีน

หินคาร์บอนเนตกลุ่มราชบูรีประกอบด้วยแผ่นหินคาร์บอนเนตที่รุกเข้าไปโดยตัดกับภูมิประเทศแบบคีบหน้าในบริเวณสภาพแวดล้อมน้ำตื้น โดยมีการจัดลำดับตั้งแต่แผ่นรายตรงบริเวณสันดอนเปิด (Open shoal) ไปถึงน้ำที่ตื้นกว่า แผ่นรายด้านในและเป็นแผ่นรายในเขตทะเลสาบปีด Protected Lagoon (Dawson and Racy, 1991). การต่อเนื่องของลำดับชั้นดินประกอบไปด้วยชั้นหินที่เป็นแผ่นตะกอนไปจนถึงแผ่นหินปูน (limestone) แผ่นใหญ่ (Massive) ที่มีหินเชิร์คเป็นปูม ๆ พร้อมโดยโลมิคิกไลมสโตน วางตัวอยู่บนหินดินดานและหินทรายซิลิกา

หินกลุ่มสารบูรีโดยทั่วไปมักหมายถึง หินคาร์บอนเนตของยุคเบอร์เมียนตอนกลางในรอยโค้งและรอยแตกเพชรบูรณ์ (fold and thrust fault) ลักษณะของหินคาร์บอนเนตเป็นตัวแทนของแองเพี้ยน แองเพี้ยนเล็ก ๆ ลานรายต่าง ๆ ที่เป็นลานด้านในและลานจำกัดพื้นที่ และตะกอนที่เกิดในสิ่งแวดล้อมที่เป็นทะเลเป็นแห่ง ๆ ความสมมัพน์เฉพาะระหว่างการตัดตะกอนตามลักษณะสภาพแวดล้อมที่ต่างกันสามารถแยกออกเป็นชั้นหินบรรพกาลตามตำแหน่ง จากยุคดั้งเดิมยุคกลางเปอร์เมียนพื้นรายคาร์บอนเนตด้านตะวันตก พื้นรายตอนกลางที่มีการตัดกันระหว่างแองซิลิกา คาร์บอนเนตตอนกลาง และพื้นรายคาร์บอนเนต ซิลิกาด้านตะวันออก และเป็นที่ประจักษ์ว่าลักษณะหินที่เป็นคาร์สติก (karstic) ควรบ่อนหนามีศักยภาพด้านเศรษฐกิจทั้งที่อยู่ทางด้านตะวันตกและตะวันออกของรอยโค้งของเปลือกโลกส่วนนี้

หินปูนยุคเบอร์เมียน ซึ่งเป็นผลมาจากการตัดตะกอนที่เกิดชั้นใหม่และเปลี่ยนไปเป็นหินปูนโดยไม่ที่เกิดใหม่ งานนี้หินปูนชุดหลังก็เกิดขึ้นตามด้วยการเคลื่อนตัวของเปลือกโลก หินปูนที่ถูกกระทำโดยการแทรกซ้อนของหินแกรนิตและการเคลื่อนตัวของเปลือกโลกเป็นผลทำให้เกิดเป็นหินอ่อนที่มีคุณค่าทางเศรษฐกิจ

2.2 การเกิดของการแปรสัณฐานของเปลือกโลกชนิดนี้ (Regional Plante Tectonic Development)

เปลือกโลกของเอเชียตะวันออกเฉียงใต้ได้แสดงให้เห็นมาตลอดว่าเป็นหินเกิดจากส่วนประกอบของมวลรวมคาร์บอนเนตก่อตัวจากการแยกตัวของพื้นแผ่นดินใหญ่ก่อนคราวนานและรวมตัวกันระหว่างมหาภูมิภาคโอโซอิกและเมโซโซอิก (Metcalfe, 1988) เป็นที่เข้าใจตรงกันว่าเปลือกโลกเหล่านี้เชื่อมต่อ กันอีกรั้งในยุคไทรแอสซิกตอนหลัง

แผ่นทวีปอินโอดจีนเชื่อมต่อกันแผ่นทวีปจีนให้ในตะวันออกเฉียงเหนือที่รอยต่อของมาช่องดานและໄปที่แผ่นทวีปดานไทย (Sibumasu) ในทางตะวันตกตามรอยเทือกเขาบันน่า-อุตรดิตถ์ หินแกรนิตที่ผลลัพธ์พืดินยุคพรีแคมเบรียนในมวลหินสูงภายในรอยโค้งคด Truong Son (Annamitic) ของทะเลจีน

ใต้โดยการแพร่ขยายของผิวโลกภาคพื้นทวีป รอยต่อระหว่างแผ่นพื้นอินโดจีนและมาเลเซีย

รอยต่อถูกวิเคราะห์จากหินโ碌ลังแสดงในรูป 2.1 ตำแหน่งของมันบ่งชี้โดยสายแร่หินแปรออกพิโอไโลท์ บริเวณรอยแตกย้อนมุน (Thrust) ที่ซ้อนกัน รอยเลื่อนหลัก และรอยโถ้งของหินอัคคี แกรนิตที่สอดแทรกขึ้นมา เวลาของการซนกันของเปลือกโลกถูกจำกัด โดยอายุของแร่ออกพิโอไโลท์ก่อน ชน และอะตอมของชาตุเดียวกันสัมพันธ์ระหว่างแร่หินแปรและหินอัคคี ในบางบริเวณหลักฐานเหล่านี้ อาจเบาบางทำให้เกิดความไม่แน่ใจในอายุและตำแหน่งรอยต่อของชั้นหิน

การเกิดแองในบริเวณนี้ถูกควบคุมโดยรอยแตก การเคลื่อนตัว การซนกันและประวัติ ก่อนซนกันของส่วนที่แยกตัวออกจากของพื้นทวีปใหญ่ก่อนด้วนๆ เมื่อพื้นทวีปเหล่านี้ได้มات่อกันกับแผ่น ทวีปญี่ปุ่น การเคลื่อนตัวไปทางเหนือของชั้นหินได้รวมถึงมหาสมุทรที่เปิดและปิดลับกันของ มหาสมุทรเทราيان (Tethyan) ผลการวิเคราะห์ประวัติธรรมนีแปรสัมฐานของปัจจุบันในที่ราบสูงโคราชได้ สรุปตามรูปที่ 2.2

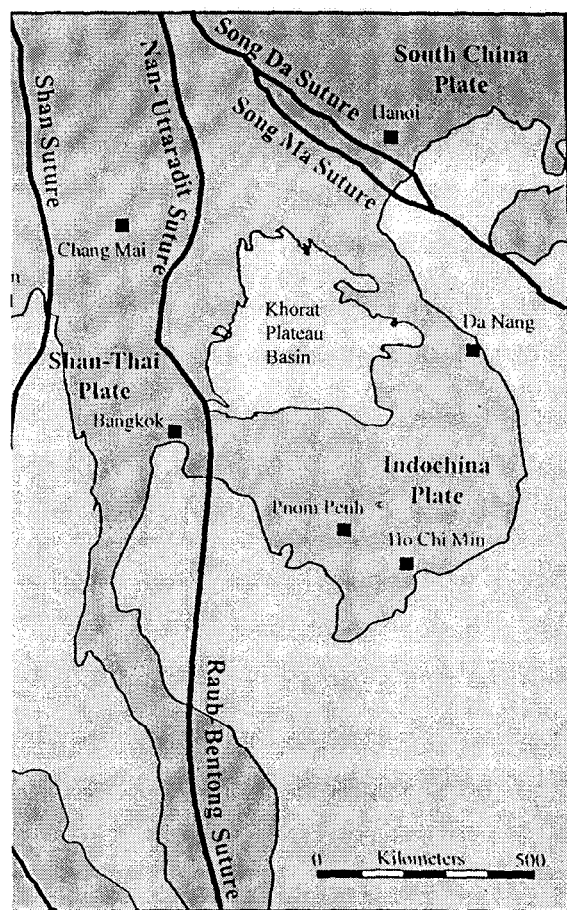
ประวัติศาสตร์อันซับซ้อนของบริเวณนี้ถูกสรุปสั้น ๆ จากหลักฐานและผลวิเคราะห์ของ ธรณีแปรสัมฐานหลักที่มีผลต่อภาคตะวันออกเฉียงเหนือของประเทศไทยสามารถสรุปได้ดังนี้

2.2.1 รอยแยกจากด้านหน้าของพื้นทวีปใหญ่ก่อนด้วนๆ

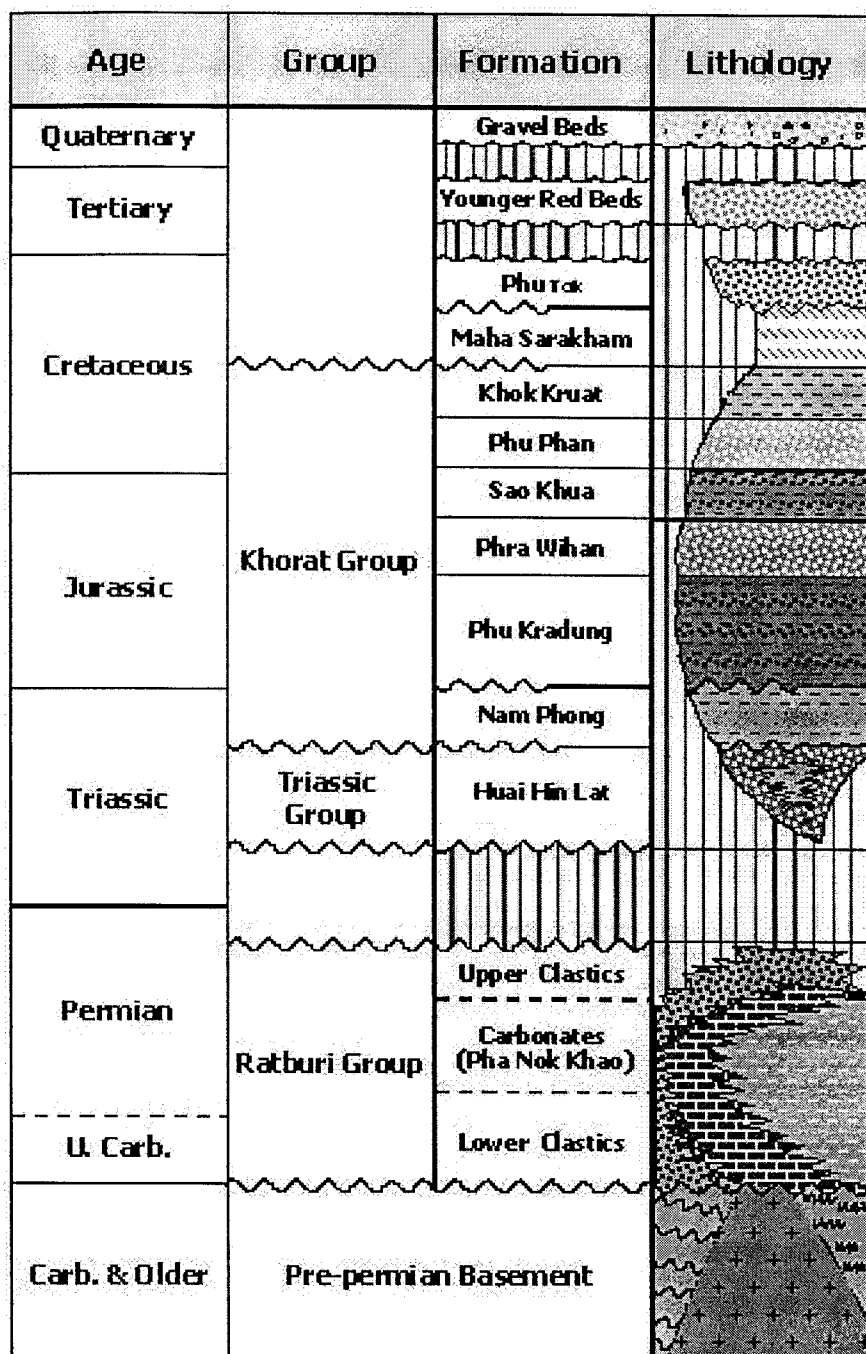
ภาวะแม่เหล็กบรรพกาลและข้อมูลกลุ่มสัตว์ที่มีชีวิต (Metcalfe, 1988) ได้นงชี้ว่าการ แยกตัวเกิดขึ้นในยุคดีโวนีyen เมื่อ 5 ส่วนแผ่นดินรวมถึงแผ่นอินโดจีนและแผ่นจีนตอนใต้แยกตัวออก จากพื้นทวีปใหญ่ก่อนด้วนๆ

2.2.2 ระยะการยึดตัวและแยกตัวออกห่าง

การขยายตัวและแยกตัวของแผ่นทวีปเกิดขึ้นจากยุคดีโวนีyenถึงยุคเปอร์เมียนตอนปลาย ของเขตของรอยต่อซองมา (Song Ma) เข้าใจว่าเกิดขึ้นในยุคการบอนนิเฟอร์รัสตอนต้น (Metcalfe, 1996) เป็นผลมาถึงรอบชั้นไม่ต่อเนื่องการบอนนิเฟอร์รัสตอนกลาง (Hutchison, 1989) หรือรอบต่อรอบกับส่วน โถ้งของมา (Mouret, 1994) และตามด้วยการขยายตัวต่อเนื่องด้วยการตอกตะกอนในพื้นที่ราบสูงโคราช (kojar et al., 1992) ซึ่งมีคุณเชื่อมากในเหตุการณ์หลังที่พุดถึงนี้



รูป 2.1 บริเวณรอยต่อของเปลือกโลก ในภาคตะวันออกเฉียงเหนือของประเทศไทย



รูป 2.2 ตารางการเรียงลำดับชั้นหินของที่ราบสูงโกรราช

2.2.3 การชนกันและต่อเชื่อมกัน

บุคไทรแอลซิคตองกลางเป็นเวลาของการรวมตัวและต่อเชื่อมกันที่สำคัญในบริเวณเขตนี้ด้วยอณาเขตของรอยต่อของดิน (Metcalfe, 1996) และรอยต่อที่ใกล้ไปประห่วงแผ่นทวีปประเทศไทยตองหนึ่งและแผ่นทวีปประเทศไทยต่อ (Metcalfe, 1996 ; Mouret, 1994) รอยต่อ่น่าน-อุตรดิตถ์ระหว่างตะวันตกของแผ่นทวีปอินโดจีนและแผ่นทวีปปาน-ไทยที่ขึ้นยันการบรรจบกันในเวลาหนึ่งเดียวกันจากผู้เขียนบทความหมายท่าม (เช่น Bunopas and Vella 1983 ; Cooper et al., 1989, Metcalfe, 1988) เมว่าเจ้าของบทความอื่นๆ บางท่ามได้ให้ความเห็นว่าเกิดขึ้นในช่วงอาเซียครั้นนีเฟอร์รัสดตองตันถึงจูแรซิคตองปลาย การชนกันเป็นผลมาจากการหมุนตัวตามเข็มนาฬิกาของแผ่นทวีปอินโดจีน (Mouret, 1994) บุคไทรแอลซิคตองกลางเป็นเวลาสำคัญของการอัดตัวยกขึ้นและการกัดกร่อน การเปลี่ยนลักษณะที่รุนแรงของชั้นหินในยุคนี้ได้จากการเปลี่ยนหมาด้วยข้อมูลจากภารสำราญธรรมพิสิกส์มาตั้งแต่ด้านจนถึงปัจจุบัน

2.2.4 การขยายตัว

การขยายตัวในบุคไทรแอลซิคตองปลายเป็นสาเหตุและก่อให้เกิดแห่งระหว่างภูเขาเป็นย่อง ๆ ภายในบริเวณที่รับสูงโครงสร้าง (Cooper et al., 1989; Sattayarale et al., 1989) ภูป่าร์อธินายาว่าการขีดตัวเกิดจากการหดตัวของเปลือกโลกที่นานมากขึ้นตามด้วยการบรรจบกันของรอยต่อ่น่าน-อุตรดิตถ์อย่างไรก็ตาม ถ้าการบรรจบกันของรอยต่อ่นี้ไม่ได้เกิดขึ้นก่อนกว่าเวลาผ่านไปมากกว่านี้ (เช่นเวลาอาเซียแรซิคตองปลาย) ดังนั้นการอธินายอย่างอื่นคือ แองเหล่านี้ก่อเกิดขึ้นจากการเลื่อนตัวด้านข้างด้วยแรงดึงดีนีอ่อน ที่มีสาเหตุมาจาก การชนกันระหว่างแผ่นอินโดจีนและแผ่นปาน-ไทย จากหลักฐานทางวิทยาศาสตร์และพืช การเลื่อนตัวเนื่องจากแรงดึงดีนีเป็นต้นกำเนิดของแหล่งเหล่านี้อยู่ก่อนสนอโดยนายแรม สัตยารักษ์ ผู้เชี่ยวชาญด้านธรณีปัตระเลี่ยม กรมทรัพยากรธรรมชาติฯ

2.2.5 การเชื่อมต่อ กัน

ก่อนการตะกอนอาบุก่อนถึงอาเซียครีเตเชียสของกลุ่มนหิน โกรามนีกรัฟที่เกิดแรงกดดันซึ่งทำให้เกิดรอยเลื่อนขึ้นอีกครั้ง เกิดการโถงคดและพื้นเกื้อบรับขึ้น เหตุการณ์ครั้งนี้ (Indosinian II) ปกติมีการทำลายอาบุกอยู่ในหินไทรแอลซิคตองปลาย Racey et al. (1996,1997) ได้ใช้ข้อมูลจากชั้นหินตะกอนของสัมภาระชีวิตแนะนำว่าอย่างนี้ไม่ต่อเนื่องที่พื้นชั้นหิน โกรามเกิดขึ้นในอาเซียแรซิคตองปลาย ซึ่งสัมพันธ์กับการบรรจบกันของรอยเชื่อมน่าน-อุตรดิตถ์ในอาเซียแรซิคตองปลาย ซึ่งสนอ Stokes et al (1996) โดยใช้ข้อมูลทางด้านตะวันตกของประเทศลาว การเชื่อมต่อ กันในอาเซียแรซิคก์ได้รับการสนับสนุนจากข้อมูลแร่ธาตุเดียวกันจากตัวอย่างหินแปรเพทายตลอดแนวเชื่อมในประเทศไทย ซึ่งบ่งชี้

อาชญากรรมที่สุดยุคกู้แรสติกตอนต้นจากการร่องรอยปราภูของแร่หินอัคนีอาชญากรรมสุดหินแอนฟิโลไดต์ (Athrendt et al., 1993)

2.2.6 การยุบตัวเนื่องจากความร้อนกรังแกร

แหล่งที่ระบุสูงโคราชเกิดขึ้นระหว่างยุคเมโซโซโคโลจิก เมื่อการยุบตัวอย่างสม่ำเสมอเกิดขึ้นเป็นอย่างมากของตะกอนเหนือของอินโดจีน แหล่งต่างๆ แสดงรูปลักษณะที่ยุบตัวลงอย่างยอดเยี่ยมโดยปราบจากผลกระทบตะกอนเนื่องจากการอยู่อาศัยใน ๑ หินชุดโคราชมีความหนามากที่สุดถึง 4200 เมตร ในบริเวณช่วงชั้นหินโคลงรูปประทุมของเทือกเขาพูพาน (Canham et al., 1996) การกำเนิดจากการยุบตัวเนื่องจากความร้อนและตามด้วยการเกิดรอยเลื่อนและการเพิ่มชั้นหินของเปลือกโลกถูกนำเสนอโดย Cooper et al. (1989)

2.2.7 การม้วนกลับกรังแกร

โครงสร้างคลื่นยาวซึ่งเป็นผิวส่วนใหญ่ของแหล่งที่ระบุสูงโคราชมีผลมาจากการผสานประสานกันของตะกอนหนาและบางของยุคครีเตเชียสตะกอนกลางและยุคเทอร์เชียร์ม้วนกลับ เหตุการณ์บริเวณหินยุคครีเตเชียสม้วนกลับมีอยู่น้อย เนื่องจากขาดการศึกษาข้อมูลจากภาคตะวันออกเฉียงเหนือของประเทศไทย (Saltayarak and Polachan, 1990) และประเทศไทย (Lovatt Smith et al., 1996) แสดงให้เห็นว่ามีโครงสร้างที่ม้วนกลับที่สำคัญเกิดขึ้นระหว่างปลายยุคครีเตเชียสและต้นยุคเทอร์เชียร์ การม้วนกลับนี้ให้เหตุผลถึงการเชื่อมกันระหว่างตะวันตกของพม่ากับจีน-ไทย ตามเขตรอยต่อฉาน และบรรจบกันในระหว่างต้นยุคครีตาเซียส (Metcalfe, 1996) และได้วางตัวทำให้ชั้นหินในบริเวณนี้อยู่ในสภาพกดดัน ลักษณะเฉพาะของการม้วนกลับนี้คือ การที่มีพื้นผิวนาน่าท่า ๆ กันตลอดความลึก 15 กิโลเมตร (Cooper et al., 1989) ซึ่งสนับสนุนระยะทางของการชนกันอันเนื่องจากแรงอัดของพื้นทวีป

2.2.8 การยุบตัวเนื่องจากความร้อนที่ 2

การแตกตะกอนของหินยุคปลายยุคครีเตเชียสหินชุดมหาสารคามและภูทอก เริ่มในแหล่งต่างๆ (แหล่งสักถนนคร โคราช และสาระบุรี) เป็นผลจากการม้วนกลับยุคครีเตเชียสตะกอนกลาง การสะสมตะกอนตะกอนกลางในยุคปลายครีเตเชียสก่อให้เกิดชั้นหินเหนือชั้นราบที่มีอยู่ทั่วประเทศไทย (Sattayarake and Polachan, 1990) และบริเวณเวียงจันทร์ (Lovatt Smith and Stoker, 1997) ลักษณะที่คล้าย ๆ กันของแหล่งต่าง ๆ ในแหล่งโคราชตอนต้น ๆ บ่งชี้ถึงขนาดการความร้อนที่ทำให้เกิดการยุบตัวของเปลือกโลก

2.2.9 การเกิดการยกตัวและม้วนกลับครั้งที่ 2 ในเขตนี้

จากการวิเคราะห์รอยแตกตัวของชั้นหินได้บ่งบอกถึง สภาวะความร้อนยุคพาลีโอลิเมร์ อายุระหว่าง 60-65 ล้านปี (ดันยุคเทอร์เชียร์) เหตุการณ์นี้บ่งบอกถึงการเกิดทับถมกันมากที่สุดในช่วงเวลา นี้ ประกอบส่วนใหญ่ของปลายยุคครีเตเชียสสูญชาล้างออกโดยสาเหตุจากการยกตัวของหินยุคเทอร์เชียร์ และโดยการกัดกร่อนพุพังการเกิดโครงสร้างการม้วนกลับเกิดขึ้นระหว่างยุคเทอร์เชียร์ (สัตยารักษ์ และ พลจันทร์, 1990) ถูกขับเคลื่อนโดยการชนกันระหว่างแผ่นทวีปอินเดียและยูโรเปและรอยปีดของทะเลเจ็น ได้นำไปสู่การเกิด บริเวณสภาวะความตึงเฉือน (พลจันทร์และสัตยารักษ์, 1989) (NW-SE transitesional stress regime) คล้ายกับการเกิดในช่วงยุคครีเตเชียสตอนกลางซึ่งมักจะถูกปฏิเสธต่อข้อเสนอแนะนี้บ่อย ๆ

ตอนหลังสุดของสภาวะกดดันที่เกิดขึ้นในยุคเทอร์เชียร์ได้รวมถึงการยกตัวและพุพังกัด กร่อนมากมาย บริมาณของการพุพัง ได้ขยายตัวและมีความแตกต่างกันอย่างมาก ในบริเวณที่มีการกัดเซาะ พุพังมาก เช่น รอยโค้งเพชรบูรณ์ ส่วนที่ยกขึ้นและส่วนตะกอนก่อนยุคในโคลลินเนียน ถูกชาล้างออกหมด กายในแอ่งที่รานสูง โกรราช ความพุพังประมาณ 3 กิโลเมตรในส่วนโค้งรูปประทุนกว่า (Anticlinorium) เทือกเขาภูพาน (Mouret et al, 1993) การจำลองการเคลื่อนไหวของวัตถุแสดงให้เห็นว่าความหนา 1 กิโลเมตร ได้ถูกชาล้างออกไปในบริเวณเมืองเรียงจันทร์ (Lovatt Smith et al 1996) ในทั้งสองบริเวณนี้ใน ส่วนที่เป็นหินครีเตเชียสตอนปลายไม่มีการเปลี่ยนรูปร่างของเปลือกโลก แสดงให้เห็นว่าการยกตัวได้ เกิดขึ้นเป็นทีๆ

อายุของการยกตัวยุคเทอร์เชียร์และการพุพังถูกสงสัยว่าจะเกี่ยวข้องกับการทรุดตัวคล้าย คีมของพื้นดินที่อยู่ใกล้กันทางภาคกลางและในอ่าวไทยไปทางตะวันตกและช่วงเบื้องของทะเลเจ็นตอนใต้ ไปทางตะวันออก การจำลองการเคลื่อนของเปลือกโลกเมื่อเร็ว ๆ นี้แสดงให้เห็นการรุกเข้าบ่าย่างต่อเนื่อง ของแผ่นอินโดจีนเข้าไปทางตะวันออกเฉียงใต้ในยุคโอลิโภชิต-ไมโอลิ (Hall, 1996) จะนั่นบ่งบอกอายุ ของการยกตัวและทรุดตัวครั้งนี้

บทที่ 3

กรอบโครงสร้างชั้นพื้น

3.1 บทนำ

โครงสร้างหลักของที่รำสูงโกราชวิ่งนานาไปกับรอยต่อทางตอนเหนือและทางตะวันตกของแผ่นทวีปอินโดจีน แนวม้วนกลับตะวันตกเฉียงเหนือและตะวันออกเฉียงใต้อบeyer เช่น แนวยกตัวของแม่น้ำและหนามเด็กในประเทศไทยและแนวโถงรูประทุนคว้าภูพานในประเทศไทยทางตัวนานาไปกับรอยต่อของมาไปพิศเหนือ รูปพื้นผิวธรณ์วิทยาส่วนต่าง ๆ ของที่รำสูงโกราชแสดงในรูป 3.1 มีร่องลึกเป็นจุดเด่นในส่วนตอนกลางและทางตะวันออกของแม่น้ำและถูกควบคุมโดยการขยายตัวของส่วนที่โถงและตอกตะกอนตอนกลางจากยุคดีโวนียนถึงปลายยุคไตรแอดซิก และถูกควบคุมโดยการโถงเนื่องจากแรงอัดและบีบหัวขึ้นถึงยุคธีโนโซอิกตอนต้น เกิดขึ้นพร้อมกับรอยเชื่อมน่าน-อุตรดิตถ์ทางตะวันตกและแนวโถงเพชรบูรณ์เหนือได้ ซึ่งมีการเคลื่อนไหวของผิวโลกและพุพังมาก แนวเหนือได้ควบคุมแม่น้ำคุกชุดเปอร์เมียนในทางตอนใต้ของเทือกเขาเพชรบูรณ์ ซึ่งเกิดขึ้นในบริเวณใหม่ของรอยต่อน่าน-อุตรดิตถ์รอบ ๆ แผ่นทวีปอินโดจีน มีหลักฐานว่าโครงสร้างที่เกิดขึ้นในแม่น้ำที่รำสูงโกราชถูกควบคุมโดยทิพน้ำที่รุนแรงด้านล่าง

3.2 การก่อตัวของโครงสร้าง

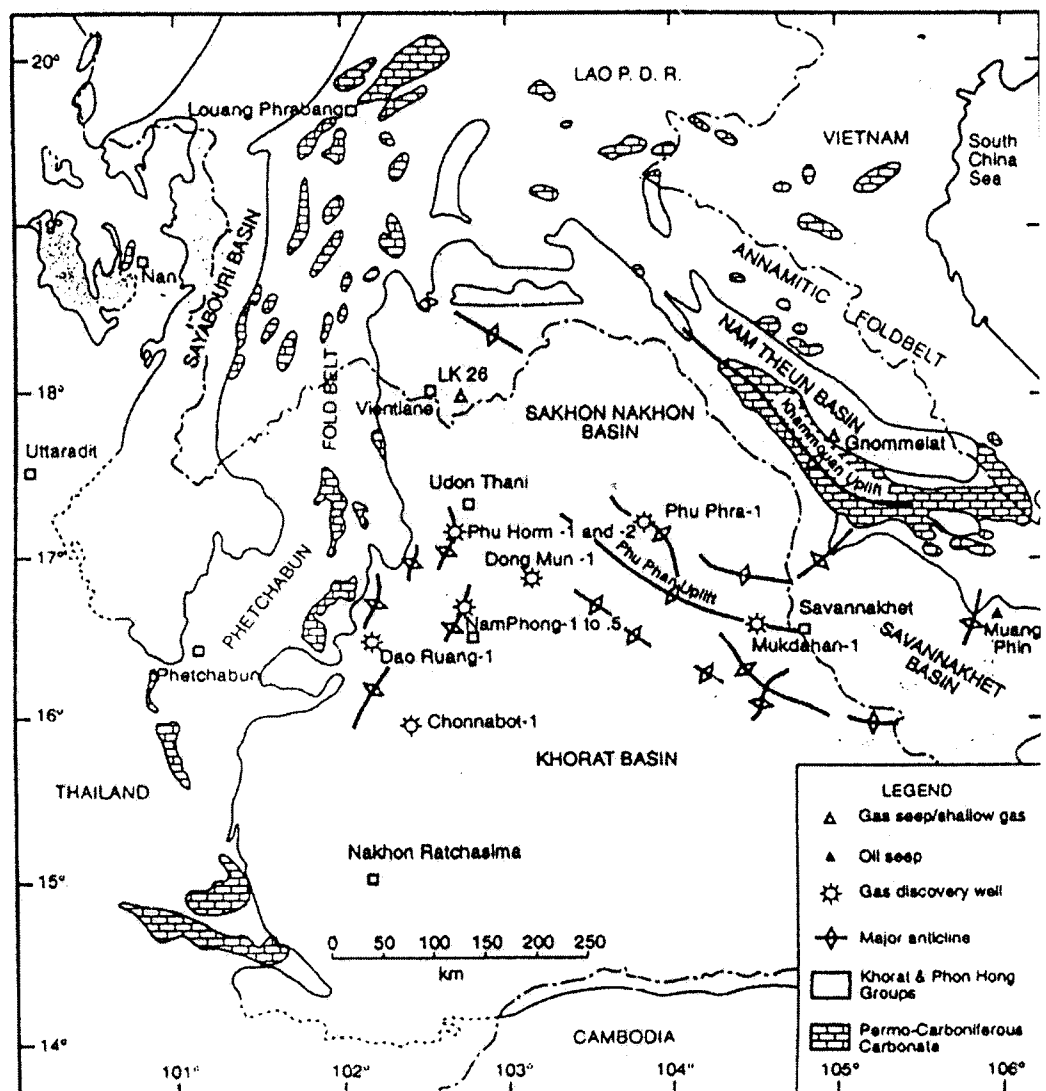
แจ้ง โกราชประกอบด้วยตะกอนอายุตั้งแต่ยุคแคมเบรียตอนบนถึงปัจจุบันและครอบคลุมจังหวัดเกือบทั้งหมดในภาคตะวันออกเฉียงเหนือยกเว้นจังหวัดเลยและเพชรบูรณ์ไปถึงประเทศไทยจังหวัดเวียงจันทน์และสุวรรณเขต แจ้ง โกราชสามารถแบ่งออกเป็นแอ่งย่อย 5 แอ่ง ดังแสดงในรูป 3.2

1) แอ่งย่อยอุบล

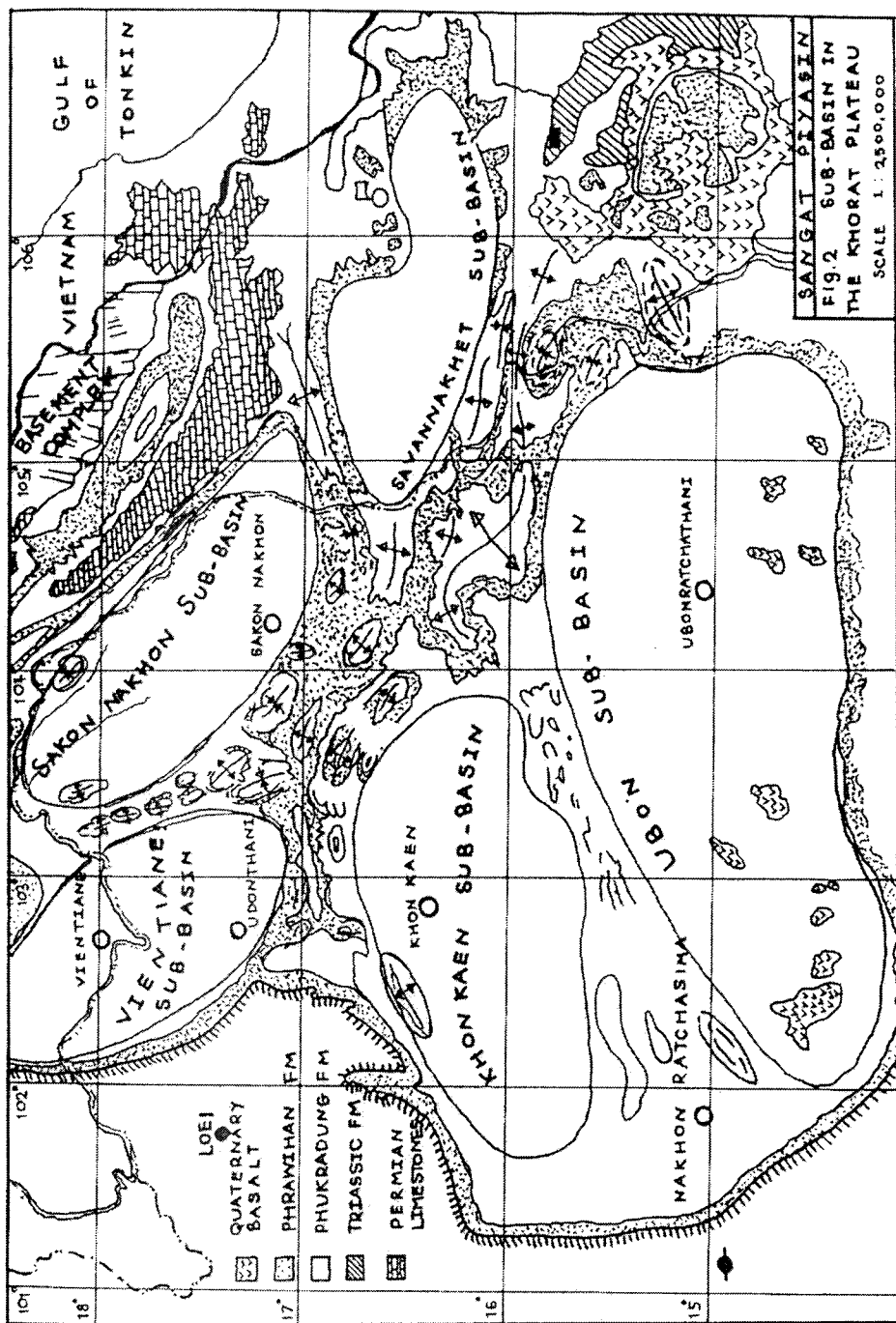
แอ่งย่อยอุบลเป็นแอ่งย่อยที่ใหญ่ที่สุดที่ตัดตัวออกจากตะวันตกไปตะวันออกครอบคลุมเขตจังหวัดนครราชสีมาตอนใต้ บุรีรัมย์ ศรีสะเกษ และจังหวัดอุบลราชธานี ความลาดของทิพน้ำที่รุนแรงลดลงจากตะวันตกไปตะวันออกส่วนลึกที่สุดของแอ่งอยู่ในเขตจังหวัดอุบลราชธานี

2) แอ่งย่อยขอนแก่น

แอ่งย่อยขอนแก่นอยู่ตอนเหนือของแอ่งอุบล ขวางและขนาดกันแอ่งอุบล มีสันเขาแคบเล็กๆ แยกแอ่งย่อยทั้งสองนี้ออกจากกัน แอ่งขอนแก่นครอบคลุมตอนเหนือของจังหวัดนครราชสีมา จังหวัดชัยภูมิและจังหวัดขอนแก่น โครงสร้างชนบทและแหล่งก๊าชนาพองต่างก็อยู่บนแอ่งย่อยนี้ ศูนย์กลางของการตอกตะกอนอยู่ตอนกลางของแอ่ง



รูป 3.1 ส่วนประกอบธรณีพื้นดินของที่ราบสูงโคราช



รูปที่ 2. แผนที่ของไทรบะน์ในที่ราบ KHORAT

3) แหล่งย่อยเวียงจันทร์

แหล่งย่อยเวียงจันทร์เป็นแหล่งขามมีแกนอยู่ในแนวประมาณตะวันตกเฉียงเหนือ ครอบคลุมจังหวัดขอนแก่นตอนบน จังหวัดอุดรธานี และจังหวัดหนองคาย ขยายข้ามแม่น้ำโขงไปสู่ประเทศลาว ครอบคลุมเวียงจันทร์และพื้นราบตอนเหนือของเวียงจันทร์ มีเทือกเขาภูพานแบ่งแหล่งเวียงจันทร์และแหล่งขอนแก่นออกจากกัน ศูนย์กลางการคุกตะกอนของแหล่งอยู่ต่างกลางแหล่ง

4) แหล่งย่อยสกลนคร

แหล่งย่อยสกลนครขามและขานานกับแหล่งเวียงจันทร์มีขนาดใกล้เคียงกับแหล่งเวียงจันทร์ ส่วนใหญ่ของแหล่งอยู่ในประเทศไทย ยกเว้นทางตะวันออกเฉียงใต้ที่ขยายเข้าไปในประเทศลาวที่เมืองตาเขต ปักด้านตะวันออกเฉียงเหนือของแหล่งขานานตามแนวแม่น้ำโขงและหินโผลซึ่งเป็นพินทรายพระวิหารที่ปราการอยู่ในแขวงลาดເອຍจากเทือกเขาภูพานไปสู่แม่น้ำโขง ก่อให้เกิดเป็นแหล่งที่มีขอบเขตเป็นร่องรอยเลื่อนตามแนวแม่น้ำโขง

5) แหล่งย่อยสุวรรณเขต

แหล่งย่อยสุวรรณเขตมีรูปป芽คล้ายไถ แกนของแหล่งอยู่ในแนวเกือบตะวันออก ตะวันตก บริเวณแหล่งทั้งหมดอยู่ในประเทศไทย เริ่มจากฝั่งแม่น้ำโขงที่จังหวัดสุวรรณเขตขยายไปทางตะวันออกถึงเมืองชีป่อนใกล้เขตแดนประเทศไทยเวียดนาม มีน้ำมันเชื้อสูตรดิน 10 กิโลเมตรทางตะวันตกของเมือง ชีป่อนตามถนนหลวงหมายเลข 9 แหล่งย่อยนี้ก่อเกิดโดยแรงอัดซึ่งเป็นผลมาจากการที่แผ่นทวีปอินเดียพลัดถอยแล่นทวีปเอเซียตะวันออกเฉียงใต้ (ขบวนการเกิดเทือกเขาหินลักษณะ รูปแบบทะเลข่าน้ำคึ่มและโคนเกลือถูกพบมากหมายในบริเวณนี้ ลักษณะแหล่งที่คล้ายกระดาษที่เกิดขึ้นก็เป็นผลมาจากการเคลื่อนตัวของแผ่นทวีป

3.3 การพัฒนาการและการเปลี่ยนลักษณะของโครงสร้าง

การเปลี่ยนลักษณะโครงสร้างชั้นหินยุคมีโซโซอิก 3 ครั้ง ประกอบไปด้วย

1) การเปลี่ยนลักษณะครั้งที่ 1 (F1) ; หินที่แก่ที่สุดถูกทำให้เปลี่ยนลักษณะในยุคครีเตเซียสตอนปลาย แกนแนวหินโดยที่อยู่ทางแนวเหนือได้บังนองถึงแรงกดอัดของการชนกันระหว่างแผ่นทวีปปานา-ไทยและแผ่นอินโดจีน (Bunopas et. al., 1983) ลักษณะชั้นนี้ ปราการให้เห็นได้ที่แนวเขาภูหลวงที่จังหวัดเลยและเขาภูเวียงที่จังหวัดขอนแก่น

2) การเปลี่ยนลักษณะครั้งที่ 2 (F2) ; ขบวนการเกิดเทือกเขาอะลากยันเป็นผลมาจากการชนกันระหว่างแผ่นทวีปอินเดียและแผ่นทวีปประเทศไทยในยุคเทอร์เชียร์ตอนล่างและก่อให้เกิดเทือกเขาภูพาน แสดงทิศทางแนวตะวันตกเฉียงเหนือ-ตะวันออกเฉียงใต้ที่เป็นผลมาจากการแรงกดดันในทิศทางนี้เปลี่ยนหินในที่ราบสูงโครงทางทิศตะวันตกลักษณะ F2 ของชั้นหินโดยรูปประทุนแหงภูเขียว ครียะเกยขอนแก่น และชั้นหินโดยรูปประทุนกว่าอุบลต่างก็ถูกเปลี่ยนลักษณะเดิมน้อยโดย F3

3) การเปลี่ยนลักษณะครั้งที่ 3 (F3) ; การเปลี่ยนแปลง F3 เกิดขึ้นในขั้นตอนสุดท้ายของ การเกิดเทือกเขาหิมาลัยัน ก่อให้เกิดการยกตัวเป็นโคนสูงขึ้นในยุคโน�กิน/ไฟลสติชิล แรงกดอัดในแนว ตะวันตกเฉียงเหนือ-ตะวันออกเฉียงใต้ เป็นสาเหตุที่ทำให้แกนแนวทิศ F-3 บานไปกับหินโถง รูปประทุนหงายกุ่มกว้าง

การพัฒนาการของโครงสร้างชั้นหินสามารถแบ่งออกเป็น 4 ขั้นตอน

1) หินยุคพาลิโอด็อก ; การเปลี่ยนลักษณะในยุคไตรแอลซิกตอนปลาย ก่อให้เกิด โครงสร้างที่ซับซ้อนมาก ตามทิศทางเหนือ-ใต้ ผลของการเปลี่ยนลักษณะที่เกิดขึ้นภายในหังไม่สามารถ แบ่งแยกได้

2) ยุคครีเตเซียส-เทอร์เรียร์ ; ชั้นหินสีแดง (Red Bed) ของที่ราบสูงโครงราษฎร์ ให้เห็น ถึงรอยเบิดของหินโถงคดต่าง ๆ ชั้นหินภูกระดึงและพระวิหารถูกเปลี่ยนลักษณะอย่างพลาสติกและรอย หินโถงเหล่านี้แบ่งแยกได้ชัดเจน ชั้นหินสีแดงของที่ราบสูงโครงราษฎร์ ให้เห็นถึงการเปลี่ยนลักษณะ 2 ครั้ง ที่แตกต่างกัน ครั้งแรกด้วยแรงอัดแนวเหนือ-ใต้ ก่อให้เกิดแนวหินคด โถงที่มีแกนอยู่ในแนว ตะวันออก-ตะวันตก ครั้งที่สองด้วยแรงอัดแนวตะวันออก-ตะวันตก ก่อให้เกิดแนวหินคด โถงที่มีแกนอยู่ ในแนวเหนือ-ใต้

3) การเลื่อนขึ้นลงของชั้นหินน้ำคุกทางตะวันออกเฉียงเหนือชั้นหินสีแดงของโครงราษฎร์จาก ที่เกิดแนวหินคด โถงแนวเหนือ-ใต้แล้ว ซึ่งคาดว่าอาจเกิดในยุคครีเตเซียสตอนปลายถึงต้นยุคเทอร์เรียร์

4) แนวเหนือ-ใต้ของแอ่งเพชรบูรณ์ที่ล้อมรอบด้วยรอยแยกที่ยังมีการเคลื่อนไหว

3.4 ชั้นหินพื้นฐานที่ไม่ต่อเนื่องของแอ่งโครงราษฎร์ (ก่อนชุดโครงราษฎร์)

ก. แนวโถงรูปประทุนภูพาน ; เป็นบริเวณที่มีการหลักลับอย่างรุนแรงและเกิดชั้นหิน ก่อนชุดโครงราษฎร์ รูปประทุนกว้างแนวตะวันตกเฉียงเหนือ-ตะวันออกเฉียงใต้

ข. บริเวณตะวันตก ; เป็นบริเวณรอยเลื่อนของลำดับชั้นหินก่อนชุดโครงราษฎร์แนวเหนือ-ใต้ ถึงแนวตะวันออกเฉียงเหนือทิศเหนือ ตะวันตกเฉียงใต้ทิศใต้

ค. แอ่งสกลนคร ; เป็นบริเวณที่แสดงให้เห็นพื้นราบไม่มีโครงสร้างซึ่งเป็นหินพื้นฐาน ไม่ต่อเนื่องของหินชุดโครงราษฎร์

ง. ตอนกลางของแอ่งโครงราษฎร์ ; เป็นบริเวณที่มีรอยแยกแนวตะวันตกเฉียงเหนือ-ตะวันออกเฉียงใต้

บทที่ 4

ลักษณะโครงสร้างและการวิวัฒนาการของแอ่ง

4.1 บทนำ

แอ่งโกราชวิวัฒนาการมาจากการเคลื่อนไหวของเปลือกโลก 6 ขั้นตอน ซึ่ง 4 ขั้นตอนจะเป็นเหตุการณ์ที่ก่อให้เกิดภูเขาต่าง ๆ การก่อภานิคภูเขาต่าง ๆ ของเวลาที่ต่างกันก่อให้เกิดโครงสร้างลักษณะหลากหลายโดยมีแบบและทิศทางของรอยเลื่อนและแนวหินคลังโถงที่ต่างกันหลายทิศทางเหตุการณ์เคลื่อนด้วยของเปลือกโลกเหล่านี้ได้แก่

- (1) การกำเนิดเทือกเขาบริสุทธิ์บนนิเฟอร์รัสตอนต้น ซึ่งจะเป็นผลมาจากการกดอัดของแผ่นทวีป
- (2) แยกทຽดตัวในยุคการบอนนิเฟอร์รัสตอนปลาย
- (3) การกำเนิดเทือกเขาอินโดนีเซียนยุคไตรแอลสติกตอนกลางเนื่องจากสาเหตุจากการกดดันจากแผ่นทวีป
- (4) การยุบเป็นห้องชั้นของแอ่งด้านในในช่วงปลายยุคไตรแอลสติกถึงต้นยุคเทอร์เชียร์ซึ่งเป็นการมุดดัลลงอย่างสม่ำเสมอ
- (5) การเกิดเทือกเขานี้อาจแรงกดดันของทวีปยุคต้นเทอร์เชียร์และ
- (6) การยกตัวและพุผังจากต้นยุคต้นเทอร์เชียร์ถึงปัจจุบัน

4.2 การวิวัฒนาการของแอ่ง

4.2.1 การกำเนิดเทือกเขาบริสุทธิ์ (*ช่วงเวลาที่ชั้นหินในยุคโปร์กิลิคการคโค้ก*) ยุคต้นการบอนนิเฟอร์รัส การกำเนิดเทือกเขาริ้งนีมีคันธูรุค่อนข้างน้อยอย่างไรก็ตามมีการรวมการเกิดรอยแตกช้อนมุมขนาดใหญ่พร้อมด้วย การเคลื่อนไหวทางภูเข้าไฟและการเกิดพลูตอน (โลดแข็งตัวจากมวลความร้อน) ในภาคตะวันออกเฉียงเหนือของประเทศไทย รอยแตกที่เกิดขึ้นในการกำเนิดเทือกเขาริ้งนี อาจคล้ายกับเป็นริเวณที่อ่อนที่สุดและเป็นตัวชักนำให้เกิดลักษณะชนิดรอยเลื่อนต่าง ๆ ในกระบวนการนี้อาจมีการยกตัวและพุผังจากต้นยุคต้นเทอร์เชียร์ถึงปัจจุบัน

4.2.2 การแยกตัวที่สำคัญและการกัดเซาะฐานแรงอีกรังยุคปลายการบอนนิเฟอร์รัสถึงยุคเบอร์เมียนตอนปลาย

Kojar et al. (1992) ได้อธิบายว่าการแตกแยกอาจเกิดขึ้นระหว่างปลายยุคคาร์บอนในฟอร์รัส เมื่อหินบริเวณนี้ควบคุมอยู่ท่างด้านหลังของส่วนโถงที่ขยายตัวออกไป การขยายตัวต่อเนื่องไปจนถึงยุคไทรแอสติกตอนกลาง อายุประมาณ 180 ล้านปี อย่างไรก็ตามการแยกตัวไว้ได้บรรเทาลงในระหว่างยุคเปอร์เมียนตอนปลายและกลับมาถูกกดเซาะอย่างรุนแรงใหม่อีกครั้ง ในดินยุคไทรแอสติก การกลับมาถูกกดเซาะรุนแรงอีกครั้ง ก่อให้เกิดการแตกตะกอนของชั้นหินในพื้นบริเวณในช่วงยุคไทรแอสติกตอนต้นถึงตอนกลางยุคชั้นตะกอนซิลิกาหยุคไทรแอสติก ได้สะสมในบางแองด์หิน ได้จากผลการเปลี่ยนหม้ายื่นมูลจากการสำรวจธรณีฟิสิกส์ (Seismic) ว่าหานาลีง 6000 เมตร

ในระหว่างยุคเปอร์เมียน ขนาดการแยกถูกพัฒนาจนเต็จสมบูรณ์ในส่วนหลังของส่วนโถงและปรากฏว่าประกอบไปด้วยแองลีครูปเกือกม้าหลัก 3 แองลีครูปนี้กินสูงของแองท์มั่นคงคือเนินคงมูล ศรีราชา และภูเขามูล

ที่ร่วนสูงเหล่านี้มีความจำเป็นต่อสิ่งมีชีวิตสำหรับการสะสมตัวของหินคาร์บอนเนต การแยกตัวขนาดใหญ่ยุคไทรแอสติกตะวันออกเฉียงเหนือ-ตะวันตกเฉียงใต้ในที่ที่แนวรอยเลื่อนปกติ แนวตะวันตกเฉียงเหนือ-ตะวันตกเฉียงใต้ปรากฏให้เห็น

4.2.3 การกำนิดเทือกเขาอินโดซีเนียนยุคไทรแอสติกตอนกลาง

ในระหว่างการก่อกำนิดเทือกเขาอินโดซีเนียนยุคไทรแอสติกตอนกลาง แองในทางตะวันออกเฉียงเหนือของประเทศไทยได้ร่องรับแรงกดดันที่รุนแรงจาก 2 ด้านคือ ทางตะวันตกและทางตะวันออกเฉียงเหนือซึ่งอาจเกิดจากการชนกันของแผ่นทวีปยุโรปและแผ่นทวีปอินโดจีนกับแผ่นยุโรปตะวันตกและแผ่นทวีปจีนได้ทางทิศตะวันออกเฉียงเหนือ หินอัคนีไโรไอคลีดและหินอัคนีระดับลีกิกิดชั้นในตอนนี้ รูปร่างของโครงสร้างมีสาเหตุมาจากการก่อกำนิดเทือกเขานี้ ส่วนใหญ่แล้วเป็นการโถงกลับทิศของแนวเลื่อนปกติ (reverse dip slip) และแนวเลื่อนตามแนวระดับ (strike-slip faults) ที่กลับมารุนแรงอีกครั้งของรอยเลื่อนปกติที่เกิดมา ก่อนหน้านี้ รอยเลื่อนกลับทิศเหล่านี้คือมาถูกกดกร่อนและทำให้เป็นพื้นราบ โดยเฉพาะหินคาร์บอนเนตยุคเปอร์เมียนถูกกดกร่อนอย่างรุนแรงถึงพุพังทั้งหมด พื้นที่เป็นบริเวณกว้างของคงมูลและศรีราชาถูกกดกร่อนในช่วงการก่อกำนิดเทือกเขารัตน์และพัฒนาเป็นชั้นหินที่ไม่ต่อเนื่องพื้นฐานของหินชุดโคราช

4.2.4 แองตรงกลางท้องชั้นยุคไทรแอสติกตอนบนถึงต้นยุคเทอร์เชียร์

หลังจากการก่อกำนิดเทือกเขายุคอินโดซีเนียนภาคตะวันออกเฉียงเหนือจะลงอย่างช้าๆ เนื่องจากการยุบตัวภายในเปลือกโลกเนื่องจากความร้อนภายในโลก ในระหว่างการยุบตัวครั้งนี้ชั้นหินสีแดง (red beds) หนาหนึ่งเดียวของชุดโคราชได้ตกตะกอนและสะสมตัวระหว่างยุคดันเทอร์เชียร์ยุคพาลี โอลิลและอีโซซิล ภาคตะวันออกเฉียงเหนือถูกแรงกดดันและหดย่นจากสองทิศทางคือ ทางตะวันออกเฉียงเหนือและทางตะวันตกอีกครั้งหนึ่ง ชั้นหินหายหินลาดถูกไทรแอสติกตอนต้นถูกวางตัวเหนือหินพื้นฐานของชุดโคราชที่ไม่ต่อเนื่อง (Unconformity) ซึ่งเชื่อว่าจะเป็นชั้นหินที่กักเก็บก้าชธรรมชาติที่พบในปัจจุบัน การเปลี่ยนรูปร่างของหินอันเนื่องจากการก่อกำนิดเทือกเขารัตน์ได้รวมถึง

การเกิดแนวโถงรูปประทุนค่าวัภพานและโครงสร้างทั้งหมดที่ม่องเห็นที่ผิวดิน และเปลี่ยนรูปร่างโครงสร้างเดิมและทำให้รอยเลื่อนเคลื่อนไหวอีกรั้ง

4.2.5 การก่อกำเนิดเทือกเขาด้านยุคเทอร์เชียร์(หินมาลัย)

ระหว่างยุคเทอร์เชียร์เพาลิโอซิลและอีโอซิต ภาคตะวันออกเฉียงเหนือของรัฐแรงกดดันและการหดตัวจากทั้งสองด้านคือทางตะวันออกเฉียงเหนือและทางตะวันตกอีกรั้งหนึ่ง เหตุการณ์นี้เกิดจากการดันทางด้านหลังส่วนโถงของแผ่นทวีปยอชณา ไทยทางด้านตะวันตกและการชนกันของแผ่นทวีปตะวันออกเฉียงใต้ถึงตะวันออกเฉียงเหนือของแผ่นทวีปจีน การเปลี่ยนรูปร่างจากการก่อกำเนิดเทือกเขาครั้งนี้รวมถึงการเกิดแนวโถงรูปประทุนค่าวัภพานและโครงสร้างทั้งหมดของโครงสร้างที่ปราကูให้เห็นที่ผิวดินและเปลี่ยนลักษณะโครงสร้างที่มีอยู่ก่อนโดยโถงกลับทิศและทำให้รอยเลื่อนเคลื่อนไหวอีกรั้งหนึ่ง

4.2.6 ยุคดันเทอร์เชียร์ถึงยุคการยกตัวและกัดกร่อนเมื่อเร็ว ๆ นี้

จากการก่อเนิดเทือกเขามาลัย การยกตัวขึ้นช้าๆ และถูกกัดกร่อนอย่างต่อเนื่องได้เกิดขึ้นในบริเวณนี้

4.3 ลักษณะเฉพาะของโครงสร้าง

ลักษณะเฉพาะของโครงสร้างที่เกิดขึ้นจากเหตุการณ์ครั้งนี้ได้รวมถึงรอยเลื่อนย้อนกลับด้านหน้าพื้นทวีปเกิดขึ้นพร้อมกับรอยเลื่อนและการแพร่ขยายของส่วนคลดโถงต่าง ๆ การแยกตัวของรอยเลื่อนข้อนมุนพร้อมกับส่วนคลดโถงที่เกิดขึ้น การกลับทิศของรอยเลื่อนปกติ ซึ่งทำให้เกิดการแพร่ขยายของแนวคลดโถงและโครงสร้างที่กลับทิศอย่างกว้างขวาง และแนวโถงที่ไม่กลมกลืนกันรวมถึงชั้นหินคินดานที่เกิดจากการกดดัน “ไม่มีหลักฐานแสดงให้เห็นปฏิกรณ์แบบขั้นชั้นจะเกิดขึ้นของเปลือกโลกครั้งนี้”

การเกิดโครงสร้างต่อเนื่องถูกสังเกตและคาดว่าจะเป็นผลมาจากการก่อกำเนิดเทือกเขารั้งนี้

การก่อกำเนิดเทือกเขาวาริสถานยุคการรั่นอนิเฟอร์รัสดอนดัน

- รอยเลื่อนปกติ

ยุคการรั่นอนิเฟอร์รัสด

- แอ่งรูปครั้งเกือกม้าของรอยเลื่อนปกติ ซึ่งเป็นขอบส่วนปีกทางทิศใต้และทิศตะวันออกเฉียงเหนือของล้านสูงคงมูลและศรีราชา ล้านคงมูลและศรีราชาถูกดัดแปลงโครงสร้างโดยการยึดตัวแนวตะวันตกเฉียงเหนือ-ตะวันออกเฉียงใต้ (NW-SE)

- แอ่งเกือกม้าเต็มรูป ซึ่งเป็นส่วนด้านตะวันออกของล้านภูเขามูล

ลานภูมิคัดแปลงโครงสร้างโดยการยึดตัวจากการพัฒนาร่องทะเลแนวหน้าได้

- การแยกตัว

การก่อกำเนิดเทือกเขาอินโดซีเนียนยุคไทรแอสซิกตอนกลาง

- รอยเดือนปีกดิ พร้อมกับรอยเลื่อนมุมที่คลิกคลับ (ภูเขียว)
- แผ่นดินด้านหน้าของรอยเดือนย้อนมุม
- การสะสมตัวของตะกอนในแอ่งเกือกม้า

การยุบตัวแบบห้องชั่งด้านในยุคไทรแอสซิกตอนบนถึงยุคด้านเทอร์เชียรี

- การยุบตัวและตกห้องชั่งด้านใน
- แนวโถงรูปประทุนเทือกเขาภูพาน

การเกิดเทือกเขายุคเทอร์เชียรีตอนด้าน

- แนวทิศเหนือ-ตะวันออกของส่วนหน้าชั้นหินคลอกลับทิศ
- แนวโถงรูปประทุนกว่าที่ลากน้อยแต่กว้าง การกลับมุมที่เกิดจากการรอยเลื่อนกลับมุมของ

แอ่งเกือกม้าที่ล้อมรอบด้วยแนวหินคลอกลับ

- การกลับมามาเคลื่อนไหวอีกรั้งของชั้นหินพื้นฐานที่หนา 100-1000 ฟุต อินโดไซเนียนรวมถึงรอยเลื่อนย้อนมุม (น้ำพอง)

- การกลับมาเติมเต็มอีกรั้งของแอ่งรูปเกือกม้า อินโดไซนาที่มีรอยเลื่อนย้อนมุมที่แยกออกมาซึ่งเป็นผลเนื่องจากการเกิดกระชาญตัวของรอยเลื่อนและรอยโถงคลองย่างกว้างขวาง เช่น ภูเขาโครงสร้างร่วมกุสินารายณ์ แนวโถงรูปประทุนกว่าภูคำแก้วในกลุ่มชุดโคราช ซึ่งเป็นบริเวณที่ยกตัวสูงขึ้น

บทที่ 5

การเกิดตะกอนหินชั้นและการลำดับชั้นหิน

การจำแนกลำดับชั้นหินของการต่อเนื่องของหินชั้นถูกกำหนดให้สัมพันธ์กับลักษณะโครงสร้าง และการวิวัฒนาการของมัน การลำดับการต่อเนื่องของชั้นหินในบริเวณที่ร่วนสูงโกราชมีอายุจากด้านบนมา�ุคพาลีโอโซอิกถึงมหาyuคชีโนโซอิก การกำหนดอายุตะกอนyuคพาลีโอโซอิกค่อนข้างเที่ยงตรง เนื่องจากสัตว์ทะเลที่มีอยู่มากมาย ลำดับตะกอนตามแนวดิ่ง สะท้อนให้เห็นถึงลักษณะต่าง ๆ หลากหลาย ตั้งแต่การตกตะกอนในทะเลถึงการตกตะกอนบนพื้นทวีป (ตั้งแต่ทะเลสาบไปถึงตะกอนแม่น้ำ) ชั้น ตะกอนที่หนาที่ทับถมกันของที่ร่วนสูงโกราช สามารถแบ่งออกเป็นหกกลุ่มใหญ่หรือหกกลุ่มลำดับ ตะกอน การแบ่งอยู่บนพื้นฐานการไม่ต่อเนื่องของพื้นผิวและอาจอ้างถึงการเปลี่ยนแปลงหน่วยชั้นหิน ของเปลือกโลก ทึ่งหกกลุ่มเรียงตามลำดับลึกลับกันดังนี้ (จากอายุอ่อนไปอายุแก่กว่า)

กลุ่มที่ 6 ชั้นลำดับหลังyuคเกิดเทือกเขาหิมาลัย	ชั้นหินท่าช้าง
กลุ่มที่ 5 ชั้นหินลำดับก่อนyuคเกิดเทือกเขาหิมาลัย	ชั้นหินภู拓
	ชั้นหินมหาสารคาม
	ชั้นหินชุดโกราช
กลุ่มที่ 4 ชั้นหินก่อนyuคอิน โโคชีเนียน II	ชั้นหินหัวหินลาด
กลุ่มที่ 3 ชั้นหินก่อนyuคอิน โโคชีเนียน I	ชั้นหินสารบุรี
	ชั้นหินวังสะพุง
กลุ่มที่ 2 ชั้นหินก่อนyuคาวาริสถาน	ชั้นหินปากชุม
กลุ่มที่ 1 ชั้นหินก่อนyuคพาลี โโคเนียน	ชั้นหินนาโน

5.1 ชั้นหินก่อนyuคพาลี โโคเนียน

ประกอบด้วยหินพื้นฐานหินแปรที่แยกออกจากชั้นหินที่ทับถมอยู่ด้านบนที่ไม่ใช่หินแปร อย่างชัดเจน

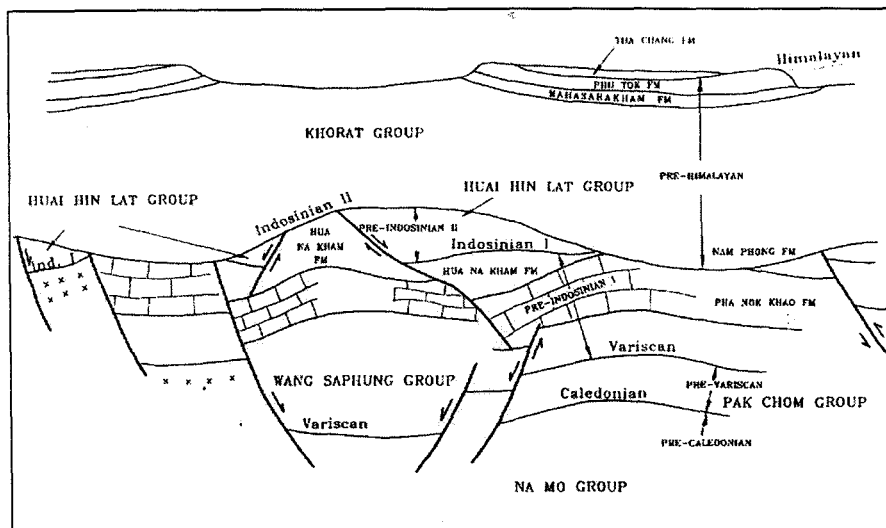
กลุ่มหินชุดนาโน

กลุ่มหินชุดนาโนก่อเกิดเป็นหินแปรพื้นฐานล่างสุด โคล่า ให้เห็นบริเวณจังหวัดเลยบนแคว ตะวันตกเฉียงเหนือของที่ร่วนสูงโกราช ซึ่งประกอบไปด้วยหินแปรเกรดต่ำ พากลักษณะหินชีสต์ตอนบน สีเขียว (เช่นหินชีสต์พิลไลท์ คลอไรท์ และเพลสเลติก หินทัพพ์ และหินควอร์ซซีไซท์เจียวนูนาน)

5.2 ลำดับหินชุดก่อนยุคควาริสกาน

ประกอบด้วยหินชุดปากชม ซึ่งวางตัวอยู่ด้านล่างของชั้นหินที่ไม่ต่อเนื่องยุคควาริสกาน การก่อกำเนิดเทือกเขาบุควาริสกานถูกกำหนดอาบุญชูในยุคการ์บอนีฟอเรร์สกอนดันถึงตอนกลาง หินชุดปากชม

หินกลุ่มชุดปากชมประกอบไปด้วยชั้นหินหลากหลาย (เช่น หินปูน lamastone หินเกร็ง แวก หินดินดาน หินกรวด และหินทัพพ์) หินชุดปากชมที่ไม่ต่อเนื่องวางตัวอยู่บนชั้นกลุ่มนาโน มันประกอบไปด้วยสัตว์มากมายที่ชีวบ่งบอกอาชีวะว่างบุคไชลูเรียนตอนปลายถึงบุคเชอร์กูโนเวียน (Serpukhovian) (Workman, 1975)



รูป 5.1 แสดงลำดับชั้นหินหน่วยต่างๆ ของที่ราบสูงโคราชและการก่อตัวของโครงสร้างหินเหล่านี้

5.3 ลำดับหินชุดก่อนอินโดซีเนียน I

หินชุดก่อนอินโดซีเนียน I เป็นส่วนหินที่ไม่สอดคล้องกันวางตัวอยู่บนหินลำดับชุดก่อน ยุคควาริสกาน มันอยู่ส่วนล่างของรอยหินไม่ต่อเนื่องของอินโดซีเนียน I ซึ่งถูกกำหนดอาชีวะว่างบุคไชลูเรียนถึงบุคไตรแอสติก มันสามารถแยกออกเป็นหินชุดวังสะพุงและสารบุรี เพอเรเมียนถึงบุคไตรแอสติก มันสามารถแยกออกเป็นหินชุดวังสะพุงและสารบุรี

5.3.1 หินชุดวังสะพุง

หินชุดวังสะพุงสอดคล้องและวางตัวอยู่บนหินแผ่นใหญ่บุคเพอเรเมียนชั้นหินผานเก้า ในบริเวณจังหวัดเลย กุ่มหินวังสะพุงที่ไม่สอดคล้องกันวางตัวอยู่บนหินชุดปากชมในหินที่โผล่ให้เห็น หินกลุ่มวังสะพุงประกอบด้วย หินชั้นคลาสติกชิลิก้า แทรกสลับกับหินคาร์บอนเตตาน้ำสโตนและหินภูเขาไฟ

5.3.2 หินชุดสาระบุรี

หินชุดสาระบุรีสามารถแบ่งออกเป็น 4 ส่วนย่อย ; ชั้นหินพาดava ห่านคำ พานกเค้า และชั้นหินน้ำดูก ชั้นหินเหล่านี้เป็นส่วนหนึ่งที่เกิดขึ้นและเป็นตัวแทนการตกตะกอนในสิ่งแวดล้อมที่ต่าง ๆ กัน ตั้งแต่ที่ร่วนป่าแม่น้ำ แผ่นร่วนสูงไทรปลึงแห้งทะเลลึกดังแสดงรูป 5.3 หินเหล่านี้ยกเว้นชั้นน้ำดูก ได้ถูกเจาะพบโดยกลุ่มสำรวจต่าง ๆ ในที่ร่วนสูงโคราช และชั้นหินชุดพาดava เป็นหินชั้นเดียวที่เป็นหิน กั้กเก็บที่กำลังผลิตก้าชาธรรมชาติอยู่ในบริเวณนี้

หินชุดน้ำดูก

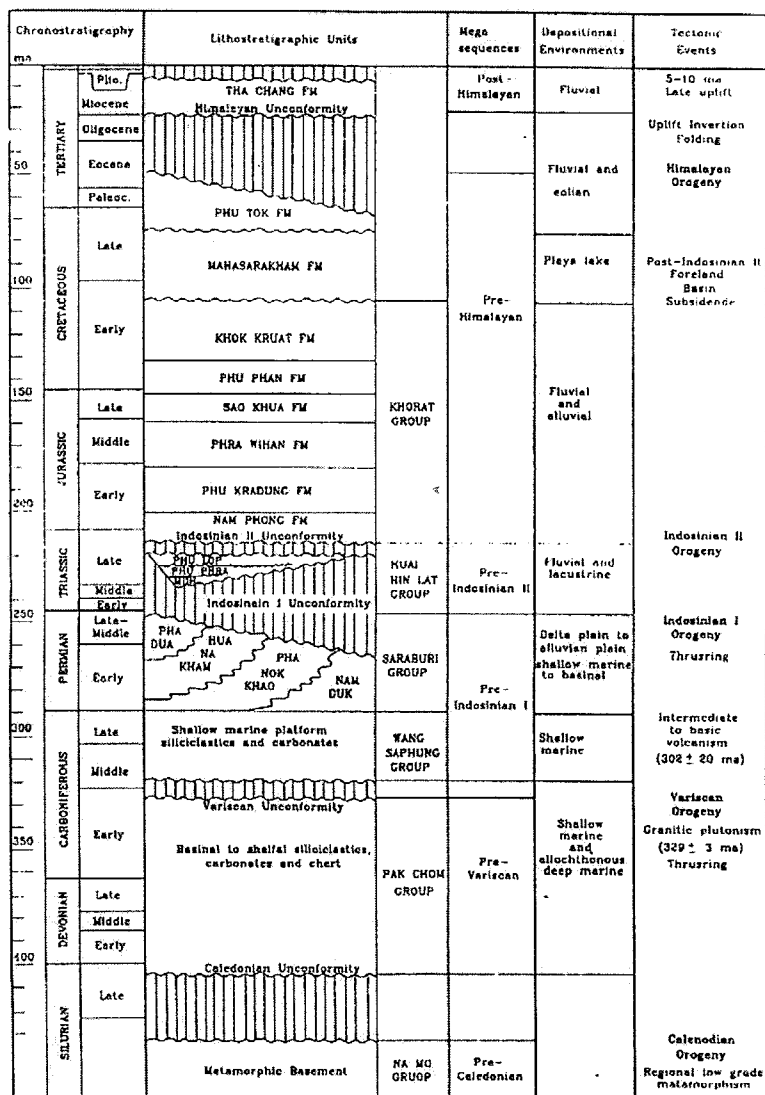
หินชุดน้ำดูกประกอบไปด้วย หินดินดานกันสมุทร หินชั้นน้ำหวาน และหินปูนไดอะเล หินเหล่านี้เป็นตัวแทนของการตกตะกอนในสิ่งแวดล้อมทะเลลึก มันจัดลำดับการเปลี่ยนแปลงจากทะเลลึกขึ้นมาขึ้นในร่วนทะเลตื้นของหินชุดหัวนาคำ มีอายุจากยุคเบอร์เมียนตอนต้นถึงตอนกลาง หินหน่วยนี้ ยังไม่มีการเจาะสำรวจพื้นด้วยกลุ่มสำรวจใด ๆ ในที่ร่วนสูงโคราช

หินชุดพาดava

หินชุดพาดava ส่วนใหญ่ประกอบด้วย หินมวลไทร และหินสีเทาของหินปูนไลม์สโตน และโคลไมท์ ชั้นบางของหินดินดานสีเทาและสีดำ มีหินเชิร์ตบาง ๆ เป็นก้อนอยู่เป็นช่อง ๆ หินชุดพา นกเค้ามีการศึกษาอย่างกว้างขวางจากหินโคลมมันเป็นตัวแทนของการตกตะกอนของหินในสิ่งแวดล้อม ของหินปูนทะเลน้ำตื้นจากพีคหินปูนใต้น้ำถึงด้านหลังของพีคหินสันดอน(back reef) บริเวณสิ่งที่มีชีวิต น้ำตื้น ทะเลสาบ บริเวณน้ำเขินน้ำลง และชายฝั่งทะเล มีกลุ่มสำรวจกว่า 10 กลุ่มในที่ร่วนสูงโคราชที่เจาะ ผ่านหินชุดพาดava

หินชุดพาดava ที่หลุมน้ำพอง 1A มีหินชุดหัวยหินลาควาวด้วยตัวอยู่ด้านบน ส่วนที่เป็น พื้นฐานสีเทาอยู่ติดกับหินสีเทาเข้ม คาร์บอนेटและมีไฟโรท์บง ๆ ของหินดินดานชุดวังสะพุง ส่วน ครึ่งล่างของหินปูนประกอบด้วย bazolithes ที่มีมากขึ้นและหินเข็นเมื่อยู่ด้านล่างของหินชุดวังสะพุง

หินชุดพาดava ส่วนใหญ่ประกอบด้วย หินปูนโคลนมากเนื้อแน่น (pack stone) ถึงเนื้อ ໄข (wackstone) สีเทาถึงดำประกอบกับมีส่วนของหินปูนเม็ดไทร (Grainstone) แทรกสลับอยู่ โดยปกติ หัวไประหินปูนพวกนี้จะมีเนื้อแน่นมีรูพรุน (porosity) ที่มองเห็นน้อย ยกเว้นหินปูนที่แปรสภาพเป็นโคลไมท์หรือส่วนที่เป็นหินซิลิกา ซ่องแทกและโพรงแทกในหินปูนมักถูกพากแคลไซท์และโคลนและ บางครั้งมีพากฟล็อกส์ปาร์เซ็กษาไปอุดตัน พากหินปูนโคลไมท์ที่มีรูพรุนมากกว่าพากหิน wackstone และ mudstone สีเทาอ่อนถูกเจาะพบที่ความลึก 540 ฟุต ใต้ส่วนบนสุดของหน่วยหินปูนมีความหนาประมาณ 780 ฟุต ก้าชาธรรมชาติที่แหล่งน้ำพองกีผลิตจากชั้นหินชุดนี้ ความหนาทั้งหมดของหินชุดพาดava ประมาณ 3,650 ฟุต มีอายุระหว่างยุคเบอร์เมียนตอนต้นถึงตอนกลาง



รูป 5.2 แสดงลำดับชั้นหินของที่ราบสูงโคราชและเหตุการณ์การเคลื่อนตัวของเปลือกโลกที่เกี่ยวข้องกัน

หินปูนส่วนลักษณะที่คล้ายกันนี้ถูกพบที่หลุมศรีชาตุ-1 ซึ่งมีความหนา 2,640 พุต หินปูนโดยโลไม่ในส่วนนี้มีความหนาถึง 1,400 พุตและเกิดที่ความลึก 700 พุตใต้ส่วนบนสุดของหน่วยหินปูนชากระสัตว์ฟูซูลินิดส์บ่งบอกอายุเมื่อนับที่หลุมน้ำพอง-1A

หินชุดผานกเค้าในที่ราบสูงโคราชประกอบด้วยหินชั้นที่เป็นเม็ดแทรกอยู่เป็นตัวแทนรอยต่อของลักษณะหินระหัวงหินชุดผานกเค้าและหินชุดหัวหินลาด

หินชุดหัวนาคำ

หินชุดหัวนาคำวางแผนตัวอยู่บนหินชุดผานกเค้าและถูกเรียกอย่างไม่เป็นทางการว่า “หินชั้นเม็ดส่วนบน” มันประกอบไปด้วยการแทรกสลับกันของหินทรายเป็นหินทราย หินดินดานและหินปูน ซากพืชซากสัตว์ที่อยู่กัน โครงสร้างตะกอนนักว่ามีการตกตะกอนในสิ่งแวดล้อมที่เป็นที่รกรากเด่นชัด ซากฟูซูลินิดส์จากหินปูนบ่งบอกอายุอยู่ระหว่าง กลายยุคถึงต้นยุคตอนปลายของยุคเบอร์มียน

หินชั้นเม็ดประกายให้เห็นและสำคัญมากขึ้นเป็นแนวไปทางทิศตะวันตก ดังนั้นหินชุดหัวนาคำของที่รกรากสูงโคราช ประกายให้ว่ามีอายุจากต้นยุคเบอร์มียน (เทียนเทากับฐานของหินชุดผานกเค้า) ที่บริเวณประเทศลาว ความสัมพันธ์ของหินหน่วยหินชุดหัวนาคำถูกกำหนดโดยแผนที่เป็นหินชุดอีเลิศ (Charoenpravat et al., 1984)

ตัวแทนหินชุดหัวนาคำประกายในหลุมเจาะโนนสูง-1 หรือชัตุ-1 และภูลุม-1 (Mouret, 1994); ส่องหลุมหลังประกายมีถ่านหินแทรกอยู่บ้างในหินหน่วยนี้

หินชุดปาดัว

หินโผล่ที่เป็นลำดับหินชั้นเม็ดละเอียดบาง ๆ พร้อมกับอิทธิพลของหินดินดานและหินทรายเป็นสีเท็บในบริเวณจังหวัดเลยถูกกำหนดลงในแผนที่ให้เป็นหินชุดปาดัว (โดย Chairangsree et al., 1990) มันมีอายุในยุคเบอร์มียนตอนปลายด้วยพวกซากพืช (Asama et al., 1968) ซึ่งวางแผนตัวอยู่บนหินชุดอีเลิศ ในได้ดินมีหลุมภูลุม-1 เท่านั้นที่จะผ่านหินชุดปาดัว มันมีความหนา 700 ฟุต วางตัวอยู่ใต้หินชุดภูลุม ส่วนที่เป็นวางแผนตัวอยู่บนหินชุดหัวนาคำ หินหน่วยนี้ประกอบด้วยหินส่วนใหญ่เป็นหินทรายเป็นและหินดินดานและบ่อຍรังมีหินทรัพและส่วนน้อยมีหินทราย ถ่านหินและหินปูนชั้นบาง ๆ (Mouret, 1994) ส่วนใหญ่ตะกอนอยู่ในสิ่งแวดล้อมที่เป็นปากแม่น้ำถึงที่ราบแม่น้ำพร้อมกับมีส่วนน้อยที่เป็นปากแม่น้ำตอนปลายถึงลักษณะปากอ่าว

5.4 ลำดับหินชุดก่อนอินโดสีเนียน II

5.4.1 หินชุดก่อนชุดโคราช

ลำดับหินชุดก่อนยุคเบอร์มี-การ์บอนิเฟอร์รัส

ในบริเวณจังหวัดเลยและจังหวัดบุรีชั่งมีลำดับหินอยู่ขอนแอ่ง โคราช หินที่เก่าที่สุดเป็นหินแปรที่เปลี่ยนมาจากหินชั้น หินไฟไลท์ ทรัฟ เฮิร์ต และหินปูนที่แปรสภาพ หินปูนมีชาภะการัง เพโต ไซท์ซึ่งมีอายุยุคโควเนียน (workman 1972) หินปูนชุดนี้ถูกพบที่ประเทศไทยตรงข้ามกับจังหวัดเลยและภาคตะวันออกเฉียงเหนือในประเทศไทย

ที่จังหวัดจันทรบุรีได้พบหินโผล่พวกไฟไลท์ เฮิร์ต ทรัฟ แต่ไม่พบซากพืชซากสัตว์ที่บ่งบอกอายุ หินเหล่านี้ก่อตัวและถูกปีกคุณด้วยหินปูนเบอร์มี-การ์บอนิเฟอร์รัส ในแอ่งโคราชใกล้กับเทือกเขาภูพานและแอ่งสกลนคร ผลการสำรวจธารน้ำพิสิ吉ส์แสดงถึงลักษณะลำดับตะกอนชั้นหินและหิน

ชั้นที่แปรสภาพก่อตัวขึ้นและถูกปอกลุบ โดยลำดับหินปูนเปอร์โน-คาร์บอนิเฟอร์รัส (Clade Mouret 1994)

หังหินชั้นที่แปรสภาพและหินอัคนีก่อตัวขึ้นและปีกดลุบด้วยลำดับชั้นหินเปอร์โน-คาร์บอนิเฟอร์รัส

ลำดับหินชุดเปอร์โน-คาร์บอนิเฟอร์รัส

มีหินอยู่ 3 หน่วยที่อยู่ในลำดับหินชุดเปอร์โน-คาร์บอนิเฟอร์รัส หน่วยล่างสุด ประกอบด้วยหินชั้นเม็ดตะกอนในสิ่งแวดล้อมที่เป็นพื้นทวีป ทะเลสาบ ลุ่มน้ำขังชายทะเล จัดลำดับไปถึงทะเลน้ำตื้นพร้อมด้วยหินปูนแทรกสลับบาง ๆ จนถึงหินตะกอนเม็ดละเอียด หินหน่วงต้องนิยามประกอบด้วยหินปูนที่ตกตะกอนในเนินรานหินปูนทะเลน้ำตื้น ความหนาเปลี่ยนไปเป็นที่ ๆ หินปูนที่ใหญ่และหนาของแผ่นรานหินปูนนี้ผลิตให้เกิดทางตะวันออกของแม่น้ำสกุลครรภ์ในจังหวัดคำนูล ประเทศไทย หินโพลีนนาคเล็กแต่แผ่นยากระกว้างโพล่าให้เห็นในบริเวณจังหวัดเลยในแอ่งโคราชหินพวนน้ำสูกพบที่ก้นหลุมเจาะน้ำพอง 1-A ในสูง -1 และหลุมภูบาน-1 หลุมเจาะเหล่านี้อยู่ในบริเวณที่ออกเขากุพาน

หน่วยหินที่อยู่บนสุดประกอบด้วยหินชั้นเม็ดละเอียดของหินตะกอนปากแม่น้ำไหหลวีป บางส่วนของหินหน่วยนี้ตกตะกอนในสภาวะจำถั้นที่มีสารอินทรีย์ปราณิษฐ์สูง (TOC) ส่วนของหินตะกอนแดง (redbeds) ที่เกิดรวมกับหินหน่วยนี้คือหินทราย หินโคลนที่ตกตะกอนในสิ่งแวดล้อมปากแม่น้ำสูกพบที่อำเภอคอนสาร จังหวัดชัยภูมิตะกอนส่วนหน้าปากแม่น้ำไหหลวีปประกอบด้วยหินปูนโคลนบิทูมินัสและหินดินดานแผ่นบาง

หันหินไม่ต่อเนื่องยุคไทรแอสสิก (Triassic Unconformity)

หลังจากการตกตะกอนของชั้นหินตะกอนยุคเปอร์เมียนบริเวณนี้ได้โผล่ขึ้นมาและซารฟีแอ่นตัวเททิสเกิดเป็นทะเล (Tethys Sea) เฉพาะตอนเหนือของประเทศไทย หินปูนยุคเปอร์เมียนถูกยกด้วยชั้นมาและกล้ายเป็นภูมิประเทศตะปูมตะป้ำพร้อมกับการเกิดการปะทุของภูเขาไฟ การปะทุของภูเขาไฟครั้งหนึ่งจะกระจายกว้างขวางในเวลาต่อมาถูกกลืนหายไปในห้วงเวลาที่ไม่สามารถจับต้องได้

ระหว่างปลายยุคไทรแอสสิก การเคลื่อนตัวด้านข้างเกิดขึ้นหลังจากการชนกันเรียบร้อยแล้วระหว่างแผ่นทวีปปานา-ไทยและอินโดจีน การเคลื่อนตัวด้านข้างนี้ก่อให้เกิดเป็นแอ่งครึ่งรูปเกือกม้าบนแผ่นดินยุคไตรแอสสิกและเป็นที่สะสมตัวของตะกอนซึ่งเป็นจุดเริ่มต้นของหินชุดโคราช

ลำดับชั้นหินไม่ต่อเนื่องก่อนยุคอินโดจีเนียน II วางตัวอยู่บนหินยุคก่อนวารีสกานหรือชั้นหินยุคก่อนยุคอินโดจีเนียน I มันถูกปิดทับด้วยหินชุดโคราชของลำดับชั้นหินยุคก่อนยุคเกิดที่ออกเขากุพาน

ที่มาลัย มันประกอบด้วยหินชั้นเม็ดแทรกสลับด้วยหินทินและถูกเรียกว่า “หินชุดหัวยหินลาด” ตลอดมา อาชญากรรมอยู่ในบุคคลายไตรแอลสติกดูได้จาก ชากรพิชและชากรสัตว์ทั้งที่มีกระดูกสันหลังและไม่มีกระดูกสันหลัง

5.4.2 หินชุดหัวยหินลาด

หินชุดหัวยหินลาดแบ่งออก ได้เป็น 5 หน่วย (Chonglakmani and Sattayorak, 1978) การแบ่งนี้อาศัยข้อมูลเฉพาะที่ปรากฏให้เป็นบนผิวดินเท่านั้น

หน่วยหินโพไฮ (Pho Hai)

หน่วยหินโพไฮเป็นหินอยู่ล่างสุดของหินชุดนี้มันประกอบไปด้วยหินภูเขาไฟ (เช่น หินทรพ หินกรวดภูเขาไฟ หินไรโอลาย และหินแอนดีไซท์) พร้อมด้วยการแทรกสลับด้วยหินราย หินโกลน และหินกรวด

หน่วยหินกรวดสามแก่น (Sam Khaen)

หินกรวดสามแก่นส่วนใหญ่เป็นลักษณะข้างเคียงกับหินโพไฮแต่ว่าวางตัวอยู่ด้านบนหินหน่วยโพไฮ ส่วนใหญ่ประกอบด้วยหินกรวดมีการแทรกสลับด้วยหินตะกอนเม็ดละเอียดกว่า

หน่วยหินคาดฟ้า (The Dat Fa Member)

หินหน่วยคาดฟ้า ประกอบด้วย หินดินดานสีเทาถึงดำมีคาร์บอนมากและก่อตัวเป็นชั้น ๆ ทึด และหินปูนเนื้อดิน มันมีชากรสัตว์และพืชที่บ่งบอกว่ามีอาชญากรรมอยู่ในบุคคลายภูค ไตรแอลสติก (นอร์เรียน)

หินหน่วยภูไฮ (The Phu Hi Member)

หินภูไฮประกอบด้วยหินราย หินดินดานสีเทา หินปูนเนื้อดิน พร้อมการแทรกสลับของหินกรวด

หินชุดอีโม (The I Mo Member)

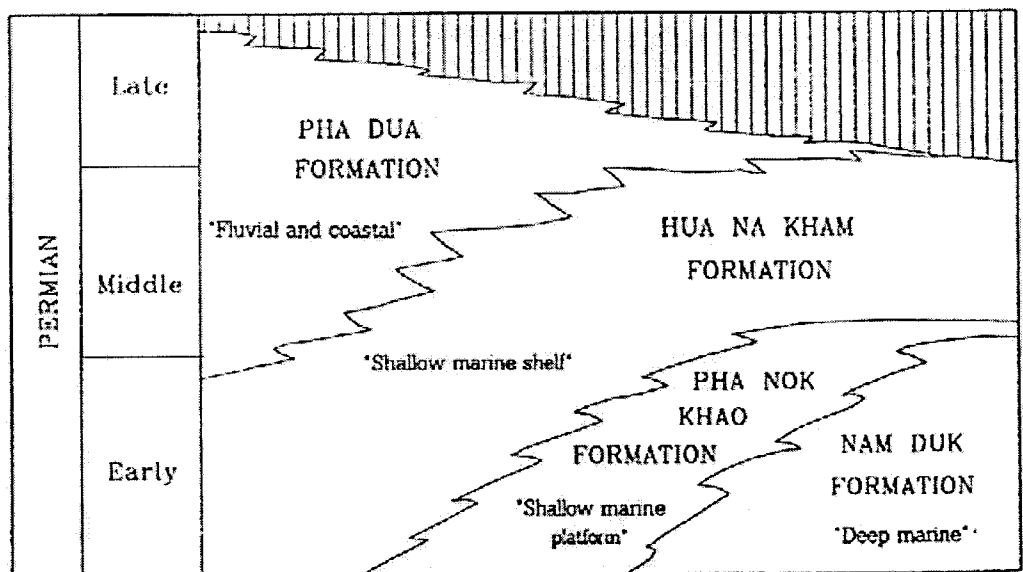
หินชุดอีโมประกอบด้วยหินราย หินดินดานสีเทา หินปูนสีเทา ร่วมกับหินภูเขาและหินอัคนีที่เกิดระดับลึก

ไม่มีชั้นหินไม่ต่อเนื่องถูกพบเห็นในการต่อเนื่องของหินชุดนี้บนผิวดินอย่างไรก็ตาม ข้อมูลจากหลุมเจาะในทางตอนเหนือของเอ่งโคราชบ่งบอกว่าหินชุดหัวยหินลาดเที่ยงเทากันชั้นหินไม่ต่อเนื่อง 2 ชั้นที่เกิดขึ้น ส่วนใหญ่ของหินชุดหัวยหินลาดถูกพิจารณาว่าเป็นลำดับหินทับถมภูคินโอดซีเนียน Mouret (1994) จากบริษัทโภแกลโคราช จำกัด แบ่งลำดับชั้นหินภูค ไตรแอลสติกออกเป็นหน่วยย่อยได้หินไม่ต่อเนื่องภูคินโอดซีเนียน II (โคราช) และเหนือหินชุดเปอร์เมียนสาระบุรีออกเป็นกลุ่มหินภูลัย และกลุ่มหินภูลินารายณ์ตามลำดับสืบเนื่องกัน โดยมีชั้นหินไม่ต่อเนื่องอยู่ตรงกลาง หินกลุ่มภูลินารายณ์ประกอบด้วยชั้นหินชุดภูพระและหินชุดภูน้อยตอนล่าง

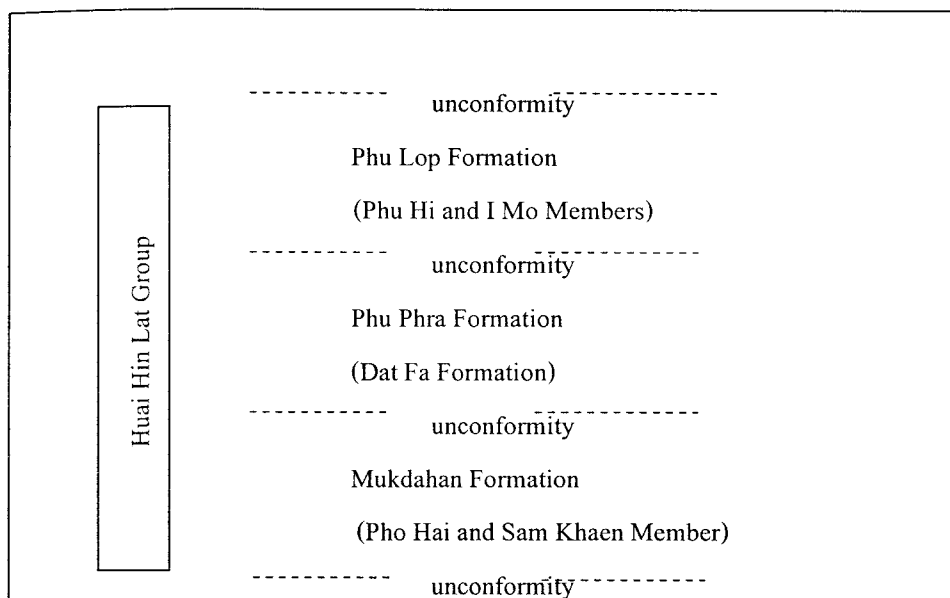
หินชุดกุสินารายณ์ได้รวมเอาลำดับหินทั้งหมดยกไตรแอลสิกในระหว่างชั้นหินใหม่ ต่อเนื่องยกอินโคนีเซียน II และยกอินโโคจีเนียน I (บริษัทญี่ปุ่นแคลปปิโตรเลียม จำกัด, 1994a และ 1994b) มันถูกแบ่งแยกชัดเจนในลำดับชั้นหินนี้ ระหว่างหน่วยตะกอนแม่น้ำตอนบน ตะกอนแม่น้ำตอนล่าง และหน่วยหินกรวดเหลี่ยมตามลำดับสืบเนื่อง หน่วยหินธารแม่น้ำตอนบนสามารถเชื่อมหลักฐานกับหินชุดภู ลง โดยอาศัยลักษณะและตำแหน่งของชั้นหิน หน่วยหินกรวดเหลี่ยมประกอบด้วยหินคำป่าไหลดตอนบน และหินชุดมุกดาวารตอนล่าง ลักษณะของชั้นหินเป็นตัวแทนการตกตะกอนของศ่ายหินที่เคลื่อนตัว และหินภูเขาไฟสลับกับการตกตะกอนในทะเลสาบตามลำดับ การกำหนดลำดับหินชุดหัวหินลาดโดยอาศัยข้อมูลจากหลุมเจาะแสดงในรูป 5.4 และลำดับชั้นหินของชุดหัวหินลาดโดยผู้แต่งหลายคนแสดงเปรียบเทียบในตาราง 5.1

หินชุดมุกดาวาร

หินชุดมุกดาวารเป็นหน่วยหินที่อยู่ล่างสุดของหินชุดหัวหินลาด ซึ่งถูกตั้งขึ้นจากการเจาะหลุมมุกดาวาร-1 ที่เจาะผ่านหินชุดนี้ 510 ฟุตของส่วนล่างสุดของหน่วยหินมันประกอบด้วยหินทรายภูเขาไฟสีเขียว สีเทาเขียว และหินกรวดทรายที่จัดขนาดเม็ดไม่มีและมีหินทรัพสีเขียว และหินดินดานทรัพแทรกสลับอยู่ ลำดับหินหน่วยนี้ถูกวิเคราะห์ว่าตกตะกอนในสั่งแวดล้อมกึ่งที่มีน้ำ เป็นตัวแทนของการเกิดปะการังเทียมที่มีส่วนประกอบเป็นหินภูเขาไฟ



รูป 5.3 การเปลี่ยนแปลงลำดับชั้นหินและสภาพแวดล้อมการตกตะกอนของหินชุดสารบุรี



รูปที่ 5.4 การแบ่งลำดับชั้นหินชุดหัวยหินลาดตามข้อมูลลุ่มเจ้า

ตาราง 5.1 การลำดับระบบชั้นของชั้นหินชุดหัวยหินลาดจากผู้ประพันธ์หลายคนเปรียบเทียบกัน

ESSO Inc.	TOTAL Ltd.	UNOCAL Ltd.	คร.งพันธ์ จงลักษณ์
Nam Phong Formation	Nam Phong Formation	Upper Nam Phong Fm.	Upper nam Phong Fm.
Huai Hin Lat Formation		Lower Nam Phong Fm.	Lower Nam Phong Fm.
Lower Huai Hin Lat Fm.	Phu Lop Group	Upper Fluvial	Phu Lop Formation
Indosinian Fill Sequence	Kunchinrai Group	Lower Fluvial	Phu Phra formation
	Phu Phra Formation		
	Phu Noi Formation	Breccia	Mukdahan Formation

หินตะกอนมีสีแดง สีลายเขียว ลายแดง และสีน้ำตาล บ่งบอกถึงการสภาวะสิ่งแวดล้อมที่มีการรวมตัวกับก้าชอกรชีเจนในที่มีอากาศน้อย (Sub-aerial) หินชุดนุกด้าหารสามารถเชื่อมสัมพันธ์กับหินโพไหและหินกรวดสามแก่นของหินที่โผล่ให้เห็น

หินชุดภูพระ

หินชุดภูพระเป็นแบบฉบับด้วยแทนของชุดหินที่พบที่หลุมเจาะภูพระ-1 ซึ่งเจาะผ่านชั้นหินหนา 970 ฟุต แต่ไม่ถึงส่วนล่างสุดของชั้นหิน มันประกอบไปด้วยลักษณะเด่นส่วนใหญ่เป็นดินดานสีเข้ม มีส่วนน้อยที่เป็นหินราย หินรายแบ่งและหินปูน ตะกอนชั้นหินเม็ดละเอียดແเต้งให้เห็นร่องรอยของตะกอนทะเลรายใกล้พื้นน้ำแข็งและตะกอนของชากรื้ห์ที่ทำให้เกิดถ่านหิน และมีหินรายที่ถูกอุดตันด้วยระแหงโคลน

หินส่วนนี้แสดงการเรียงลำดับเม็ดหินชั้นบนจากสิ่งแวดล้อม ทะเลลึก ทะเลสาบน้ำนิ่ง และทะเลสาบน้ำดีน์ กระสน้ำแรง มันก่อกำเนิดอยู่ตอนล่างของส่วนล่างสุดของหินชุดโคราช หินชุดภูพระสามารถอ่านว่าเป็นแบบฉบับของหินดินดานสีเข้มถึงดำ

ที่หลุมเจาะภูพระ -1, หินหน่วยนี้เชื่อมสัมพันธ์เป็นหินชุดภูพระหนา 380 ฟุต มันประกอบด้วยหินรายเม็ดละเอียดคละสีเป็นสีเทา สีเขียว และสีน้ำตาลแดง หินรายแบ่ง และหินรายสีน้ำตาลเทาถึงสีน้ำตาลแดง มีหินปูนหลักสีเทาอ่อนเป็นหย่อม ๆ มันเป็นตัวแทนของการตกตะกอนในสิ่งแวดล้อมทะเลสาบที่เป็นที่ราบลุ่มที่มีลักษณะทางธรณีวิทยา เช่น ลักษณะการเกิดจากทะเลสาบที่หินไม่เรียงลำดับวางแผนตัวอยู่บนชั้นหินนุกด้าหาร

หินชุดภูฉบับ

หินชุดนี้ถูกตั้งชื่อหลังจากการเจาะหลุมนูกลบ-1 ผ่านหินตะกอนແลงส่วนที่อยู่ใต้หินชุดโคราช และเป็นชั้นหินไม่เรียงลำดับที่วางตัวอยู่บนชั้นหินปูนป่าด้วยคุณภาพเมียนคงกลางถึงตอนปลาย (Mouret, 1994) มันประกอบด้วยหินรายแบ่ง และหินดินดานหนา 280 ฟุต มีหินรายบ้างเล็กน้อย

หินชุดภูฉบับหนาประมาณ 900 ฟุตที่หลุมนูกด้าหาร -1 มันประกอบด้วยหินรายสีขาวถึงเทาอ่อน เม็ดปานกลางถึงเม็ดใหญ่ หินรายแบ่งและหินดินดานสีน้ำตาลแดงพร้อมมีหินปูนสีเทาเขียวถึงสีขาวอยู่เป็นส่วนน้อย มันเรียงลำดับวางแผนตัวอยู่บนหินชุดภูพระ ลำดับชั้นหินเป็นตัวแทนการตกตะกอนในสิ่งแวดล้อมที่เป็นราบลุ่มที่โถงวัด แผ่นขยายช่องที่ราบลุ่มที่มีลักษณะทางธรณีวิทยา เช่น หินชุดภูฉบับสามารถเชื่อมสัมพันธ์กับทางโครงสร้างลำดับชั้นหินกับหินชุดหน่วยภูไหที่แสดงให้เห็นบนพื้นผิว

5.5 ลำดับหินชุดก่อนยุคการเกิดเทือกเขาหิมาลัย

5.5.1 หินชุดโคราช

หินชุดโคราชประกอบด้วยลำดับหินที่หนาเป็นหินดินเหนียวสีแดง หินรายแบ่ง หินราย และหินกรวด ชุดหินโคราชแบ่งออกเป็นหินหน่วยย่อยอีกคือ หินชุดน้ำพอง ภูกระดึง พระวิหาร เสาข้าว

ภูพาน และโภคกรวด หินชุดหัวข้อ หินลาด และมหาสารคามซึ่งก่อนหน้านี้ถูกจัดอยู่เป็นส่วนหนึ่งของหินชุดโกราช (Sattayarak et al., 1996)

หินชุดน้ำพอง

หินชุดน้ำพองส่วนใหญ่เรียงลำดับระหว่างหินดินเหนียวแคลไชต์ หินทรายแป้งแคลไชต์ และหินทรายเนื้อดินที่มีแคลไชต์ปน พร้อมมีร่องรอยหินผลึกแคลไชต์และแอนไฮไดต์ของหินกรวดตلوดหมวดนี้ หินดินเหนียวมีสีน้ำตาลสนิมถึงเทาเขียว และมีจุดดำง่ายๆ บ้าง มีความแข็งน้อยถึงปานกลาง เป็นหินก้อนใหญ่ ๆ เป็นบล็อก หินทรายแป้งมีสีน้ำตาลแดงถึงเทาเขียว ความแข็งปานกลางถึงแข็งมาก มีเนื้อดินและมีไม้มา และเป็นหินทรายแคลไชต์เป็นหย่อม ๆ ตلوดหมวดนี้ หินกรวดประกอบด้วยกรวดของหินเขียวหุนман หินเซริต์สีน้ำตาลและสีเทาและมีหินทรายเป็นสีน้ำตาลแดง การวางชั้นเฉียงระดับและวางชั้นตามพื้นราบถูกเห็นทั่วไปในชั้นหินทรายและหินกรวดชุดนี้

หินชุดน้ำพองวางตัวไม่เรียงลำดับอยู่บนหินชุดหัวข้อหินลาดบุก ไตรแอสติกตอนปลาย ชุดสาระบุรียุคเปอร์เมียนหรือหินชุดที่แก่กว่า มีหินปูนชั้นบาง ๆ เกิดขึ้นที่ หนา 1 ถึง 5 เซนติเมตร ของส่วนบนสุดของหินชุดน้ำพอง การตกตะกอนอยู่ในสิ่งแวดล้อมพื้นฐานที่เป็นพื้นทวีป ฐานของหินทรายและหินทรายแป้งเป็นตัวแทนของการตกตะกอนในสิ่งแวดล้อมที่เป็นธรรมชาติและเป็นตะกอนน้ำพา รูปพัดในขณะที่หินดินเหนียวแคลไชต์และแท่งท่ออยู่ตอนบนของชุดน้ำพอง อาจตกตะกอนในสภาพแวดล้อมที่แห้งแล้ง

หินชุดภูกระดึง

รอยต่อระหว่างหินชุดภูกระดึงและชุดน้ำพองที่อยู่ด้านล่างซึ่งวางตัวบนฐานที่เป็นหินทรายแป้งแคลไชต์สีม่วงแดง ซึ่งมีหินปูนบาง ๆ หนาถึง 5 เซนติเมตรอยู่ด้วย หินชุดภูกระดึง ส่วนใหญ่แล้ววางลำดับชั้นเม็ดหินระหว่างหินทรายแป้งแคลไชต์และหินดินเหนียว พร้อมด้วยส่วนน้อยที่เป็นหินทรายแทรกอยู่กับหินปูนชั้นบาง ๆ หินทรายแป้งมีสีแดงซึ่งน้ำตาลแดง เป็นหินเนื้อดินแข็งปานกลางถึงแข็งมาก บางแห่งมีร่องรอยของหินที่เป็นกรอบ หินดินเหนียวส่วนใหญ่มีสีน้ำตาลสนิมถึงเทาเขียว อ่อนถึงเนื้อแน่นมีแคลไชต์น้อยถึงมาก และสามารถคลายโดยง่าย หินทรายมีสีน้ำตาลซีด น้ำตาลแดง มีควรตัว และชั้นหินที่มีแรฟฟินม้าเฟลค์สปาร์ปนอยู่ มันมีลักษณะแข็งปานกลางถึงแข็งมาก เม็ดละเอียดถึงขนาดเม็ดปานกลางเม็ดกึ่งเหลี่ยม ถึงกึ่งกลม การเรียงลำดับเม็ดดีปานกลาง มีแคลไชต์และดินปนอยู่บ้าง ส่วนที่เป็นหินปูนมีสีน้ำตาลซีดถึงเทาเหลืองและมีไม้มาผสมอยู่

หินชุดพระวิหาร

ลักษณะหินตะกอนเปลี่ยนไปจากการให้ตะกอนก่อนหน้านี้ที่เป็นหินภูเขาไฟมาเป็นหินกรดอัคนีระดับลึก (พลูตอโนนิก) ตะกอนที่ให้ต่อแต่ละโคราชมีเพียงรายจากหินเบื้องล่างนุ่มนวล เช่นเดียวกัน ตกตะกอนในสภาพแวดล้อมธารน้ำพามีชั้นหินอยู่ 3 ชุด คือ พระวิหาร เสาร็ว และภูพาน หินชุดพระวิหารและภูพานมีชั้นหินคล้าย ๆ กัน มันคือหินทรายหินเบี้ยวนุ่มนวล (quartzitic) หินทรายกรวดปอกดี沙 ฯ และหินชุดเสาร็วประกอบด้วยชั้นหินทรายหินทรายเปลี่ยนดินดานและหินโคลน หินทรายเป็นหินจากภาครดซึ่งเดียวกัน แต่มีโครงสร้างเป็นดินเหนียวสีแดง ดินเหนียวสีแดงนี้ถูกพบในหินดินดานและหินโคลน ทำให้ชั้นหินเป็นสีน้ำตาลแดง ลำดับชั้นหินตกตะกอนในสภาพแวดล้อมที่เป็นธารน้ำพานและที่ราบนาท่อมถึงภาวะพหุสันฐาน (ตกผลึก) ที่เก็บจากส่วนฐานของหินชุดพระวิหารบ่งบอกถึงอายุยุคภูเรสสิกตอนปลายถึงต้นยุคคริสต์ศรีษะ (Racey, A. et al 1994)

หินชุดเสาร็ว

หินชุดเสาร็วเกือบหมดไม่เห็นจากการสำรวจธรณีฟิสิกส์ (Seismic) เพราะมีขนาดสะท้อนของคลื่นเสียงน้อยและไม่ต่อเนื่อง มันประกอบไปด้วยการสลับกันของหินทรายเปลี่ยนสีเทาแดงและสีน้ำตาลแดงกับหินทรายเม็ดละเอียดถึงเม็ดปานกลางสีเทาเหลืองและแดงซึ่งกับหินดินเหนียว และส่วนน้อยมีหินกรวดจากการขุดของหินปูน ในหน้าตัดที่หอยและเสาร็ว ที่จังหวัดอุดรธานี หินชุดเสาร็วมีความหนา 1680 พุต (Word and Bunnag, 1995)

หินชุดภูพาน

หินชุดภูพาน ถูกปรากฏบนหลักการสำรวจธรณีฟิสิกส์ด้วยแนวเครื่องหมายจาก การสะท้อนของคลื่นเสียงนานกัน 2 แนว ส่วนล่างอยู่บนหินชุดเสาร็วซึ่งมีความคงและพูพังเป็นลักษณะของหินกรวดที่มีหินทรายแทรก (Caliche) เป็นโครงสร้าง และมีหินดินเหนียวทรายเปลี่ยนสีแดงและหิน Caliche แทรกเป็นโครงสร้างอย่างปะป้าย

หินชุดโคลกรวดและชุดมหาสารคาม

หินชุดโคลกรวดรวมตัวกันอยู่ส่วนบนของหินชุดพระวิหาร ประกอบด้วย หินทราย หินกรวดที่มีปูมเล็ก ๆ แคลไซค์หินแทรกหลักสี หินกรวดเหล่านี้ถูกพัฒนาอย่างดีในชั้นหินทุกชั้นของหินชุดโคราช ยกเว้นชุดพระวิหารที่มีชาติพืชชาติสัตว์ถูกพบร่วงเป็นก้อนโกรนสาร์และปลาลงตามน้ำจืดซึ่งวิเคราะห์ว่ามีอายุยุคคริสต์ศรีษะตอนต้นถึงตอนปลาย (Aptain-Albain) ชั้นหินบาง ๆ ที่มีผลึกของยิบชัมกระჯัดกระจายถูกพบร่วงเขื่อนน้ำพองได้ชั้นหินชาติสัตว์ถูกพบร่องน้ำจืดในหินทรายเปลี่ยนแคลไซค์ต่อบนของการ

ตกละกอนในสภาวะสิ่งแวดล้อมที่เป็นลักษณะสามเหลี่ยมปากแม่น้ำในทะเลสาบสาบฝั่งทะเลมีน้ำเค็มอยู่ ก่อนและมีน้ำจืดรุกเข้ามาเป็นครั้งคราว

หินชุดมหาสารคามประกอบด้วย หินทรายมีหินเกลือและหินอี้เวพอร์ต มีหินชุดนี้ polled ให้เห็นบ้างแต่น้อย จากภาพตัดขวางของการสำรวจ Seismic ลุ่มบางคลาด-1 ชั้นหินชุดนี้ประกอบชั้น ของหินเกลือ 3 ชั้น มีหินดินเหนียวแทรกสลับอยู่ มีการแทรกซอนไม่ว่าแนวแกนอยู่เล็กน้อยของชั้นหิน แสดงให้เห็นการก่อกำเนิดอย่างไม่ต่อเนื่อง เกลือเริ่มตกละกอนตั้งแต่ยุคอาชู Albain (สัตยารักษ์ Sattayarak et al., 1991)

ลำดับหินชุดก่อนหินลักษณะประกอบด้วยหน่วยหินชั้นระหัวง่ายหินโคลนโคลีเซี่ยน II และชั้น หินไม่ต่อเนื่องยุคหิมาลัย การก่อกำเนิดเทือกเขาหิมาลัย เป็นสาเหตุให้เกิดไม่ต่อเนื่องในภาค ตะวันออกเฉียงเหนือของประเทศไทยถูกกำหนดอายุเป็นยุคครีเตเชียสตอนปลายยุคไปโอลีน ลำดับ หินก่อนการเกิดเทือกเขาหิมาลัยวางตัวอยู่บนลำดับหินก่อนอินโคลีเซี่ยน II หรือลำดับหินที่แก่กว่า มัน ประกอบด้วยหินชุดโกรราช หินชุดมหาสารคามและชุดภูทอก ตามลำดับการเกิดก่อนหลังหรือตัดกันมา ลำดับหินก่อนการเกิดเทือกเขาหิมาลัยนานากกว่า 16,400 พุต (5000 เมตร)

บทที่ 6

การวิเคราะห์แผ่นหินปูน

ตัวอย่างหินปูนที่เหลือจากการทดสอบอัตราการหลอมไอลได้นำมาวิเคราะห์ด้วยวิธีแผ่นหินปูนเพื่อศึกษาถึงคุณสมบัติทางศิลปาระบ纳ของหินปูน ในการศึกษาครั้งนี้ได้อ้างอิงการจำแนกชนิดของหินปูนตามแบบของ Dunham (1962) เพราะมีความนิยมและใช้กันอย่างแพร่หลายในการสำรวจปิโตรเลียมซึ่งจะได้อธิบายในรายละเอียดต่อไป การเตรียมตัวอย่างแผ่นหินปูนและกล้อง Microscope ได้รับความอนุเคราะห์จากห้องปฏิบัติการของสาขาวิชาเทคโนโลยีชีวภาพ มหาวิทยาลัยเทคโนโลยีสุรนารี จำนวนตัวอย่างมีจำนวนทั้งสิ้น 7 ตัวอย่างจากหินโ碌ล์ที่กระจายตัวครอบคลุมพื้นที่ทางด้านตะวันตกของที่ราบสูงโคราชประกอบไปด้วยจังหวัดเลย เพชรบูรณ์ ลพบุรี สระบูรี และนครราชสีมา

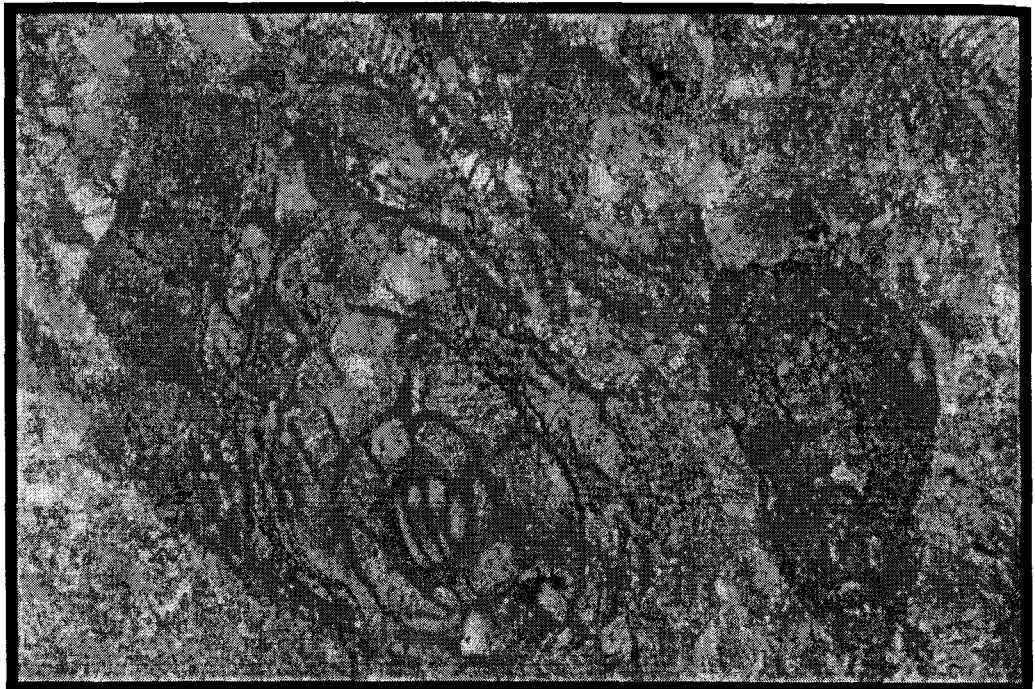
6.1 การจำแนกหินปูน

โดยทั่วไปเราจัดหินปูนให้อยู่ในประเภทหินตะกอน (Sedimentary Rocks) ซึ่งเกิดโดยกระบวนการทางเคมีของแคลเซียมคาร์บอนेट เราจึงมักเรียกชื่อหินปูนอีกอย่างหนึ่งว่า Carbonate Sedimentary Rocks ซึ่งในการจำแนกชนิดของหินปูนในทางศิลปาระบนาโดยทั่วไปได้รับความนิยมอยู่ 2 แบบด้วยกันคือ 1. แบบ Dunham (1962) และ 2. แบบ Folk (1959,1962) ซึ่งทั้ง 2 วิธี จำแนกโดยการใช้สัดส่วนของขนาดอนุภาคของคาร์บอนตั้งแต่ขนาดเล็กมาก (Very fine-grained carbonate หรือ "Mud") จนถึงขนาดใหญ่กว่า หรือ Allochems ซึ่งในส่วนของ Allochems ก็จะประกอบไปด้วย intraclasts, oolites, pelloids, และ เศษชิ้นส่วนของชากระดิกคำารพ ซึ่งพบเห็นได้ง่ายในหินปูน

ในการวิเคราะห์ครั้งนี้ได้เลือกใช้วิธีการจำแนกแบบ Dunham (1962) ตามรายละเอียดของตารางที่ 1

ตารางที่ 6.1 แสดงรายละเอียดการจำแนกหินปูนแบบ Dunham (1962)

Original components not organically bound together during deposition				Components organically bound during deposition	
Contains carbonate mud		No carbonate mud		Boundstone	
Mud supported		Grain supported			
< 10 % allochems	> 10 % allochems				
Mudstone	Wackestone	Packstone	Grainstone		



(a)



(b)

รูปที่ 6.1 แสดงภาพถ่ายด้วยกล้อง (a) Cross polar และ (b) Cathodoluminescence (CL) ของตัวอย่างหินปูนจากจังหวัดสระบุรีด้วยกำลังขยาย 5 เท่า แสดงหินปูนชนิด Packstone-Grainstone ซึ่งประกอบด้วยชาnofusulinid และ Foraminifera



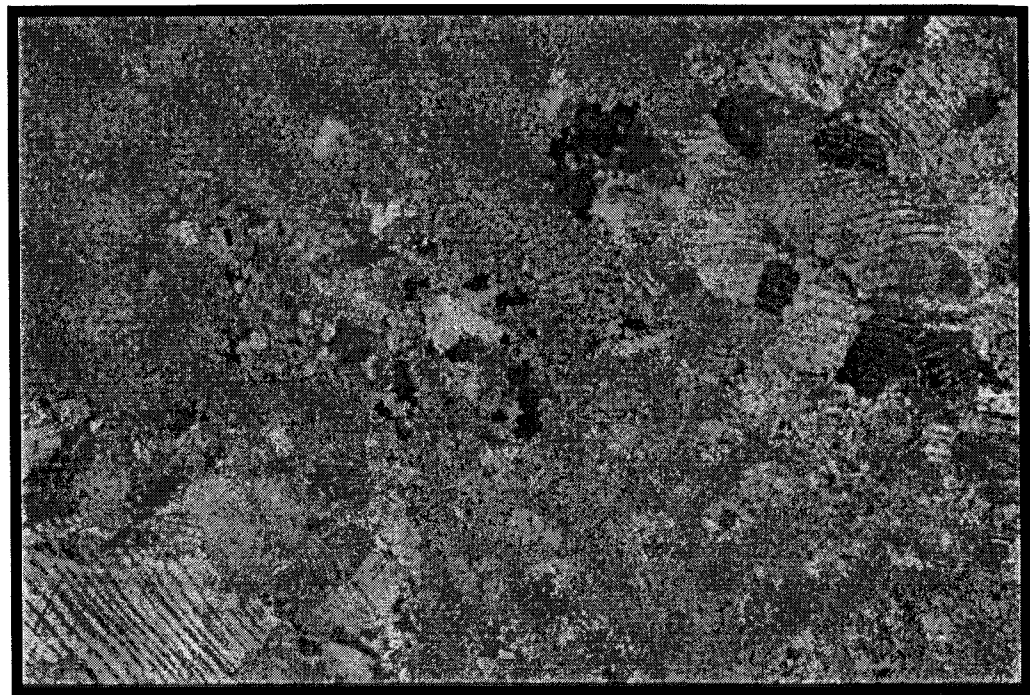
(a)



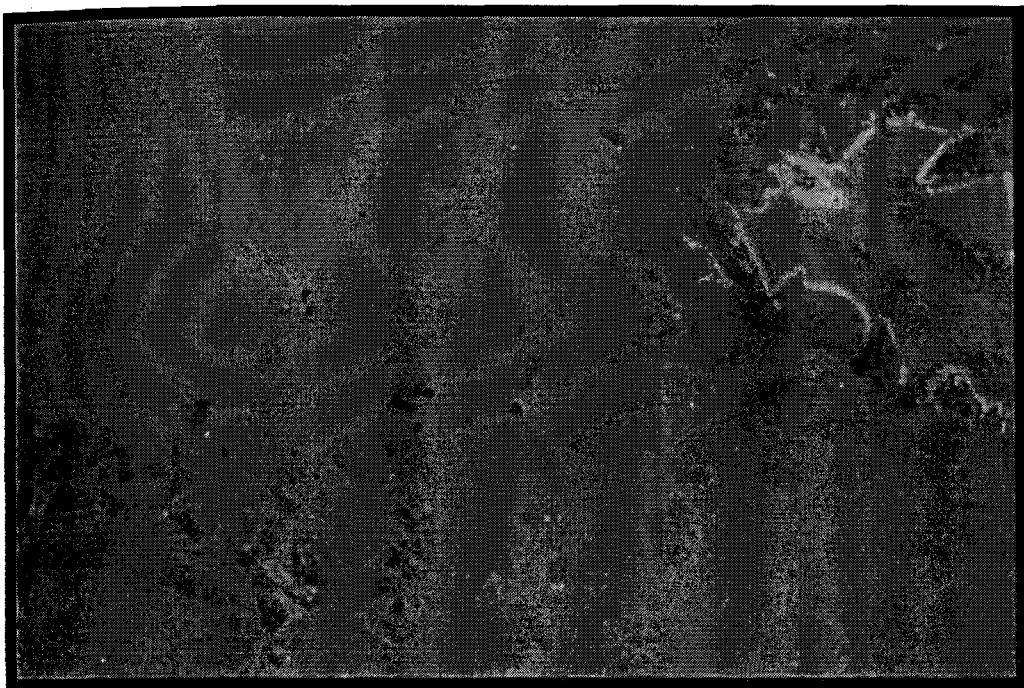
(b)

รูปที่ 6.2 แสดงภาพถ่ายด้วยกล้อง (a) Cross polar และ (b) Cathodoluminescence (CL) ของหินอ่อนหินปูนจากจังหวัดสระบุรีด้วยกำลังขยาย 10 เท่า แสดงหินปูนชนิด Grainstone มีลักษณะ crystalline

texture, calcite plagioclase ประกอบด้วย 5-10% dolomite (สีแดงในรูป b) นอกจากนี้ยังแสดงการเกิดผลึกของ calcite จากกล้อง CL

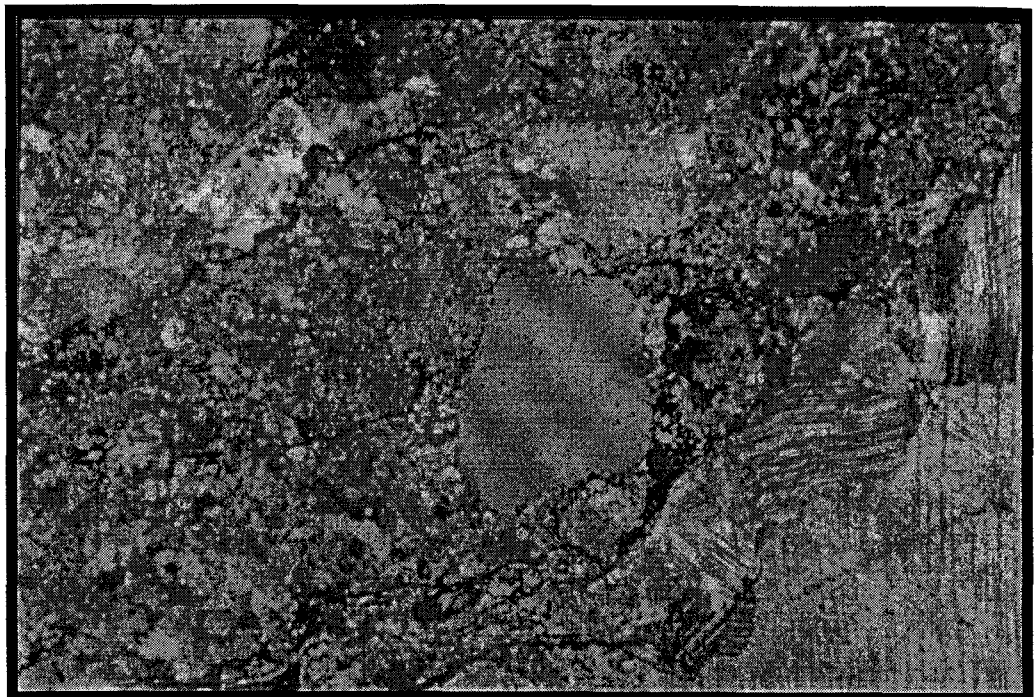


(a)

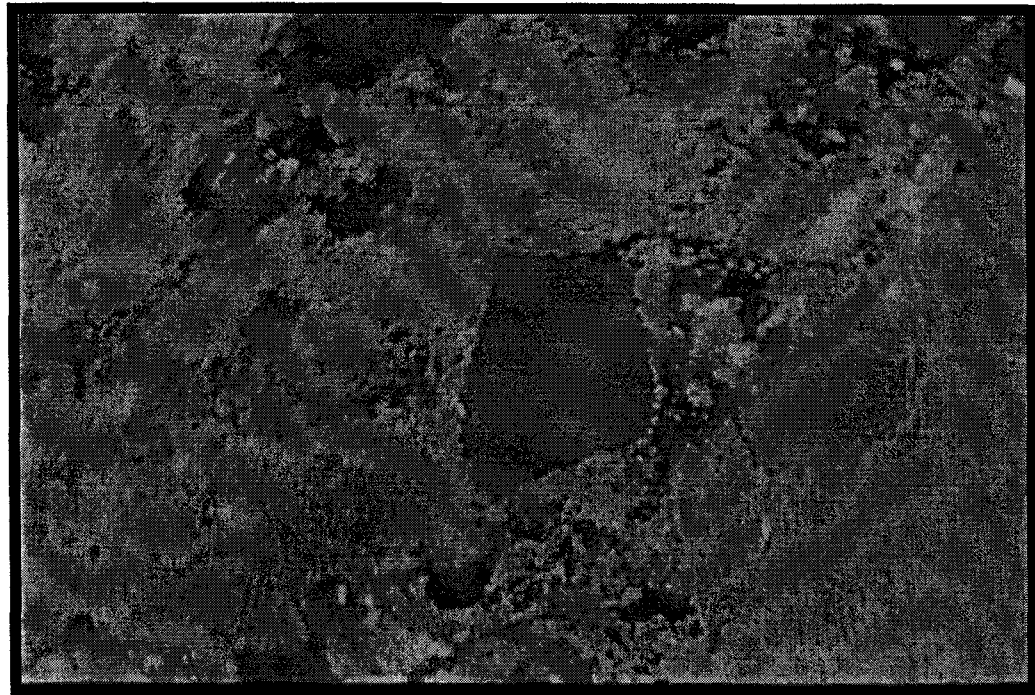


(b)

รูปที่ 6.3 แสดงภาพถ่ายด้วยกล้อง (a) Cross polar และ (b) Cathodoluminescence (CL) ของตัวอย่างหินปูนจากจังหวัดสระบุรี ด้วยกำลังขยาย 5 เท่า แสดงหินปูนชนิด Packstone มี micritic supported และเศษชากของ fusulinid ในรูป (b) แสดง calcite cavity และ dolomite (สีแดง)

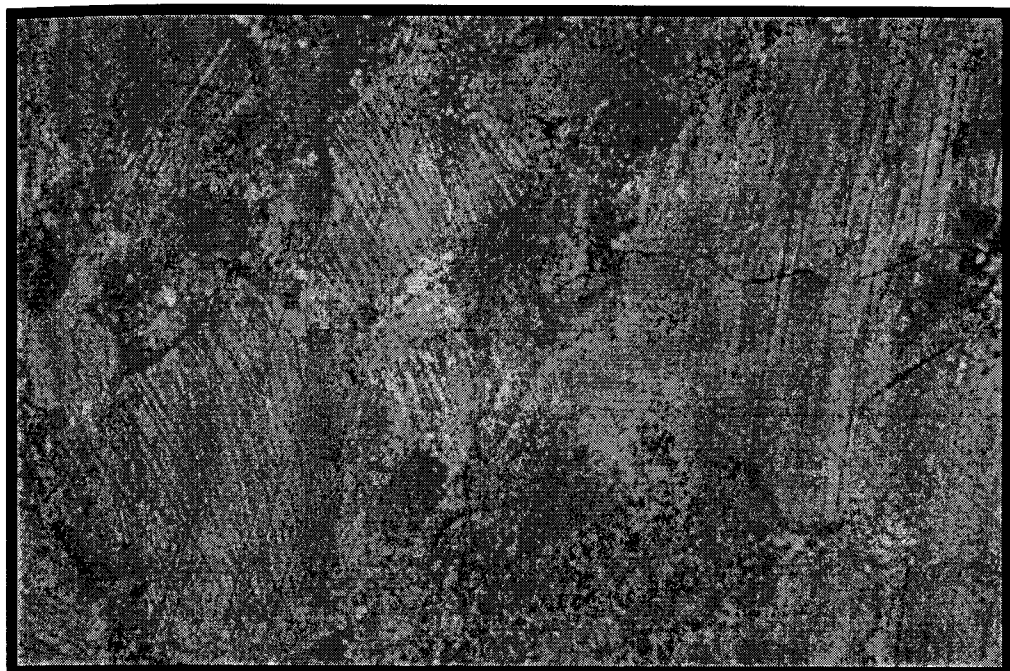


(a)

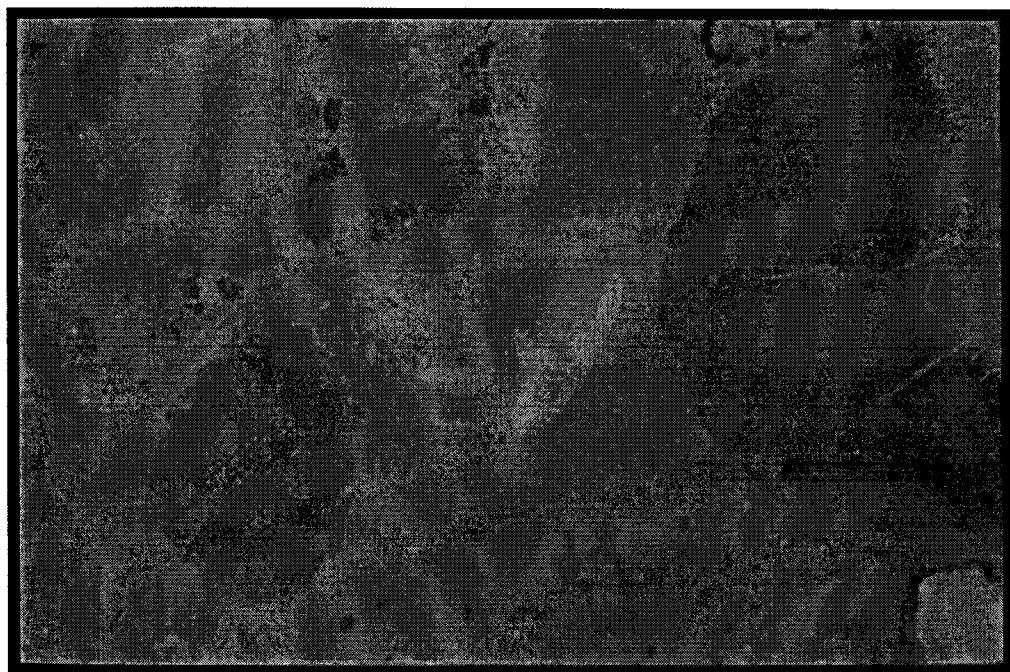


(b)

รูปที่ 6.4 แสดงภาพถ่ายด้วยกล้อง (a) Cross polar และ (b) Cathodoluminescence (CL) ของตัวอย่างหินปูนจากจังหวัดเพชรบูรณ์ด้วยกำลังขยาย 5 เท่า หินปูนชนิด Packstone แสดงการ deformation และเม็ด volcanic quartz สีน้ำเงินในรูป CL

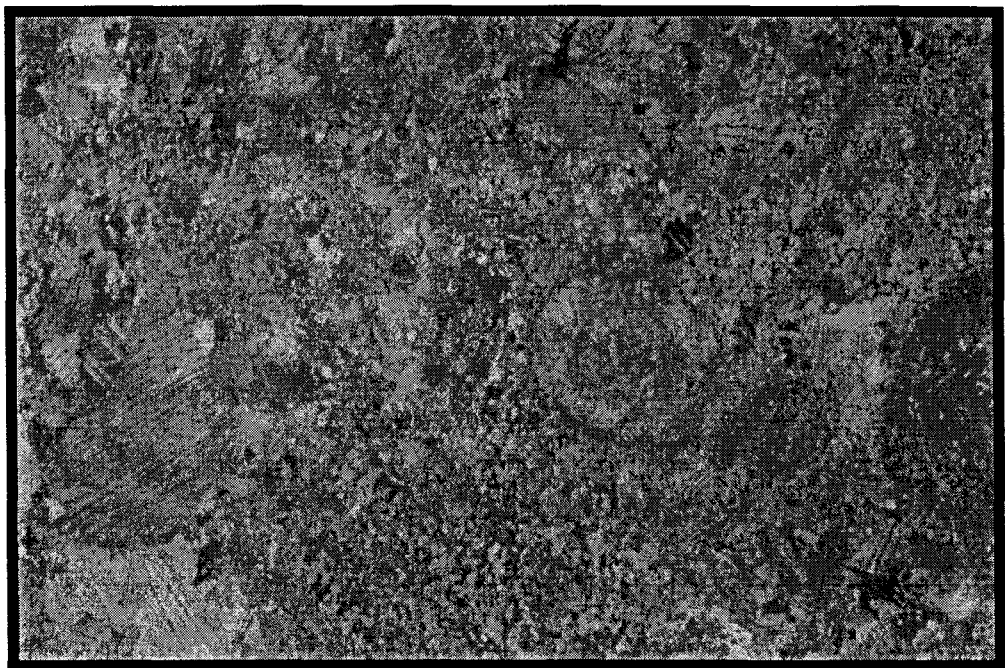


(a)

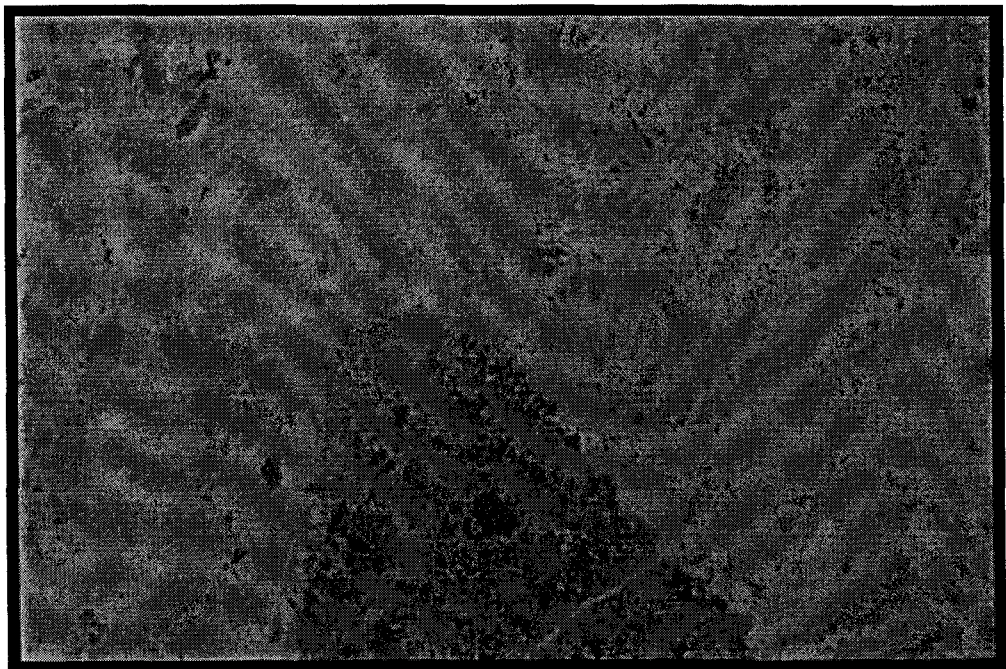


(b)

รูปที่ 6.5 แสดงภาพถ่ายด้วยกล้อง (a) Cross polar และ (b) Cathodoluminescence (CL) ของตัวอย่างหินปูนจากจังหวัดเลยด้วยกำลังขยาย 5 เท่า หินปูนชนิด Grainstone แสดง crystalline fragment ของ transported foraminifera และ calcite plagioclase ในรูป CL และ bright luminescence ของ sparitic texture และ dull crystalline fragment ของ plagioclase

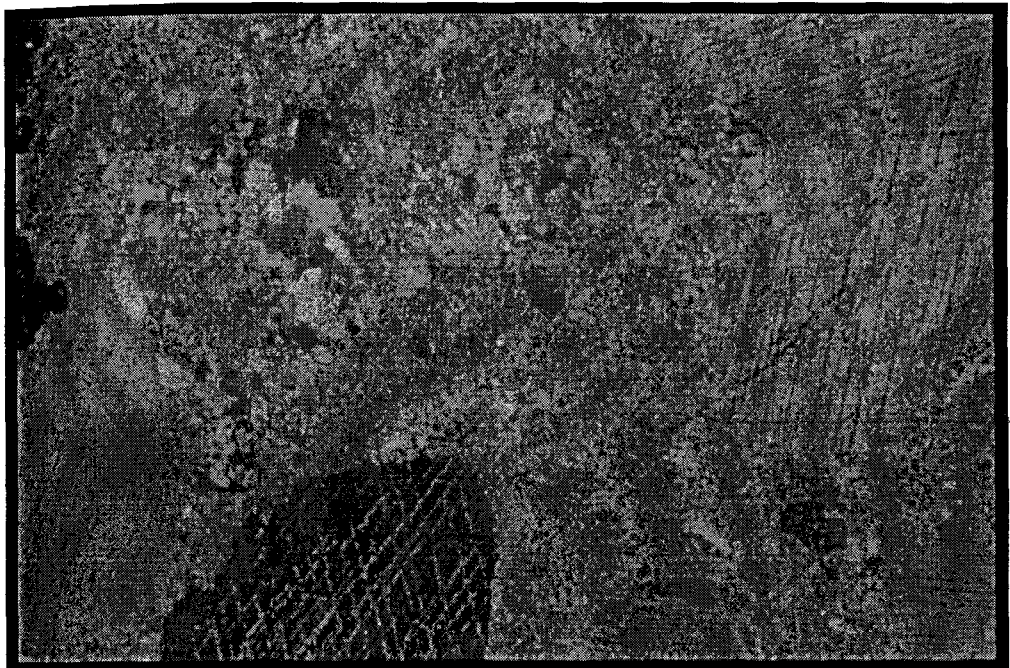


(a)

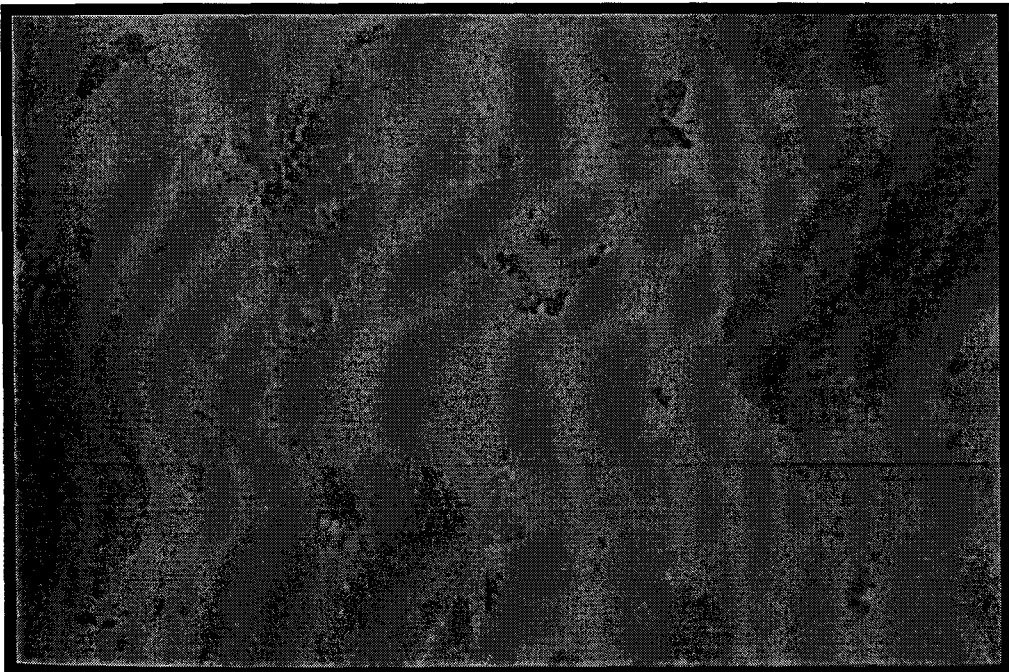


(b)

รูปที่ 6.6 แสดงภาพถ่ายด้วยกล้อง (a) Cross polar และ (b) Cathodoluminescence (CL) ของตัวอย่างหินปูนจากจังหวัดนครราชสีมาตัวบล็อกหมายเลข 5 เท่า หินปูนชนิด Packstone และ crystalline fragment ของ fusulinid bioclase กับ foraminifera และ calcite plagioclase ในรูป CL แสดง 1-2 % clay mineral (blue spot)



(a)



(b)

รูปที่ 6.7 แสดงภาพถ่ายคิวบิกถ้อง (a) Cross polar และ (b) Cathodoluminescence (CL) ของตัวอย่างหินปูนจากจังหวัดพบบuri ด้วยกำลังขยาย 5 เท่า หินปูนชนิด Wackstone แสดง calcite plagioclase ใน micritic matrix supported ในรูป CL แสดง 5 % dolomite (reddish orange)

บทที่ 7

ผลการสำรวจปีโครงการเดินทางในภาคตะวันออกเฉียงเหนือ

7.1 บทนำ

ภาคตะวันออกเฉียงเหนือของประเทศไทยมีพื้นที่ประมาณ 200,000 ตารางกิโลเมตร ซึ่งครอบคลุมที่ราบสูงโคราชและบริเวณเทือกเขาสูงที่เป็นร่องเข็มขัดหินดานโก้งเลย-เพชรบูรณ์ไปทางตะวันตก ที่ราบสูงโคราชประกอบด้วยลำดับหินหนานพื้นที่วีปีสีแดง redbeds (หินชุดโคราช) ยุคเมโซโซอิก วางตัวอยู่บนลำดับหินต่ำตระกอนในทะเลสาป หินปูนยุคเพอร์เมียนและหินชิลิกาทะเลน้ำตื้นรวมทั้งแกรนิตที่แก่กว่าและหินแปรที่เป็นหินพื้นฐานล่างสุด

7.2 ประวัติการสำรวจ

การสำรวจปีโครงการเดินทางในประเทศไทยใหม่เริ่มตั้งแต่ คศ. 1960 เมื่อรัฐบาลไทยหักชวนบริษัทค่ายประเทศไทยเข้ามาสำรวจปีโครงการเดินทางในประเทศไทย บริษัทญี่ปุ่นอยล์อฟคาลิฟฟอร์เนีย (ญูโนนแคลล) เป็นบริษัทแรกที่ได้สัมปทานการสำรวจในปี 1962 ภายใต้กฎหมายพระราชบัญญัติแร่ เพื่อสำรวจปีโครงการเดินทางในภาคตะวันออกเฉียงเหนือของประเทศไทยในปี ค.ศ. 1969 บริษัทได้พัฒนาสำรวจสนามแม่เหล็ก (Aeromagnetic) และวัดแรงโน้มถ่วง (Gravity) รวมกัน 2,700 กิโลเมตร สำรวจวัดความไหวสะเทือน (Seismic) 67 กิโลเมตร พระราชบัญญัติปีโครงการเดินทางประกาศใช้ครั้งแรกเมื่อปี ค.ศ. 1971 บริษัทเมอร์ริเดียน อยล์ได้รับสัมปทานแบ่งสัมปทานด้านตะวันออกของที่ราบสูงโคราชถัดไปจากแบ่งสัมภานของบริษัทญี่ปุ่นอยล์ฯ บริษัทเมอร์ริเดียนฯ ได้ทำการสำรวจวัดความไหวสะเทือน 48 กิโลเมตร

หุ่มสำรวจหุ่มแรกในที่ราบสูงโคราชคือหุ่มกุฉินารายณ์ -1 ซึ่งจะมาโดยบริษัทญี่ปุ่นอยล์ฯ ในปลายปี ค.ศ. 1971 ปรากฏว่าไม่พนบปีโครงการเดินทาง บริษัทฯ จึงคืนพื้นที่แบ่งสัมปทานในปีต่อมา เช่นเดียวกับบริษัทเมอร์ริเดียนอยล์ที่คืนพื้นที่แบ่งสัมปทานในปี ค.ศ. 1979 โดยไม่มีการเจาะสำรวจแต่เพียงอย่างใด

การสำรวจยุคที่สองในที่ราบสูงโคราชเริ่มอีกครั้งในปี ค.ศ. 1979 เมื่อบริษัทเอสโซ่ฯ ขอสัมปทานหลาแยกในบริเวณภาคตะวันออกเฉียงเหนือครอบคลุมบริเวณ 200,000 ตารางกิโลเมตร ซึ่งปัจจุบันบริษัทในเครือเอสโซ่ฯ (Exxon) ได้สำรวจวัดคลื่นไหวสะเทือนของชั้นหิน (Seismic) รวมกันได้ 27,000 กิโลเมตร ปี ค.ศ. 1981 บริษัทเอสโซ่ฯ ได้เจาะหุ่มสำรวจหุ่มแรกคือ หุ่มน้ำพอง-1 พบก้าชธรรมชาติแห้ง (Dry Gas) ในร่องแตกหินปูนยุคเพอร์เมียนทดสอบอัตราการไหลได้ 28 ล้านลบ.ฟุตต่อวัน แหล่งก๊าซน้ำพองที่อ่อนก่อน้ำพองจังหวัดขอนแก่นได้ผลิตก๊าซธรรมชาติมาถึงปัจจุบัน จาก ค.ศ. 1982-

1990 บริษัทเอสโซ่ฯ เจาะหลุ่มอิก 12 หลุม พนักงานธรรมชาติที่หลุมภูช่อน-1 (ซึ่งขณะนี้บริษัท Amerada Hess กำลังเจาะหลุ่มประเมินผลเพื่อประเมินทางปริมาณสำรอง) ที่หลุมชนบท-1 มีการสูญเสียบ่อกลอนวิเคราะห์มีก้าชอยู่ในโครงสร้าง เนื่องจากมีความดันสูง (20 ปอนด์ต่อแกลลอนของน้ำโคลน) บริษัทจึงปิดหลุม ที่หลุมคงมูล -1 มีการทดสอบอัตราการไหลของก้าชได้ แต่ก้าชก็หยุดไหลในที่สุด ไม่มีการพบปิโตรเลียมที่สำคัญในหลุมอื่นๆ

การสำรวจยุคที่สามเริ่มนั้นใน ค.ศ. 1991 หลายบริษัท เช่น ไทยเซลล์ฯ โทเทลฯ ได้สัมปทานในบริเวณภาคตะวันออกเฉียงเหนือมีการเจาะหลุ่มสำรวจทั้งหมด 7 หลุม แต่ก็ไม่พบปิโตรเลียม บริษัทเหล่านี้จึงคืนสัมปทานในปี ค.ศ.1994

การสำรวจยุคที่ 4 เริ่มนั้นในปี ค.ศ.1997 เมื่อบริษัททันห์ฯ เจาะสำรวจหลุ่มปากเซ-1 และบริษัทโนมูเมนห์ฯ เจาะหลุ่มสำรวจนาแซ-1 ในประเทศไทย แต่ก็ไม่พบปิโตรเลียมทั้งสองหลุม และไม่พบหินกักเก็บหินปูนยุคเพอร์เมียนที่หลุมปากเซ-1 ในภาคตะวันออกเฉียงเหนือของประเทศไทย บริษัททะเบียนรัฐราษฎร์ฯ เจาะหลุ่มชั้นบก-1 พนักษา ความดันสูงอยู่บ้างในหินหلامระดับหินปูนยุคเพอร์เมียนเป็นจำนวนมากพบว่ามีการผสมของหินชั้นที่ตกละกอนในทะเล แทนที่จะเป็นหินปูนแผ่นรายที่มีรอยแตก เมื่อทดสอบอัตราการไหลในหินยุคเพอร์เมียนและไทรแอสติกตอนปลายก็ไม่มีก้าชที่มีปริมาณมากพอ บริษัทเกรนเอ็นเนอร์จีเจาะหลุ่มศรีราชา-2 แห่งนี้ขึ้นไปทางความอุ่นของหินที่บริษัทเอสโซ่ฯ เจาะหลุ่มศรีราชา-1 ในปี ค.ศ. 1983 พนักงานธรรมชาติทดสอบแล้วให้ผลเพียงเดือนน้อย บริษัทฯ จึงต้องปิดหลุ่ม

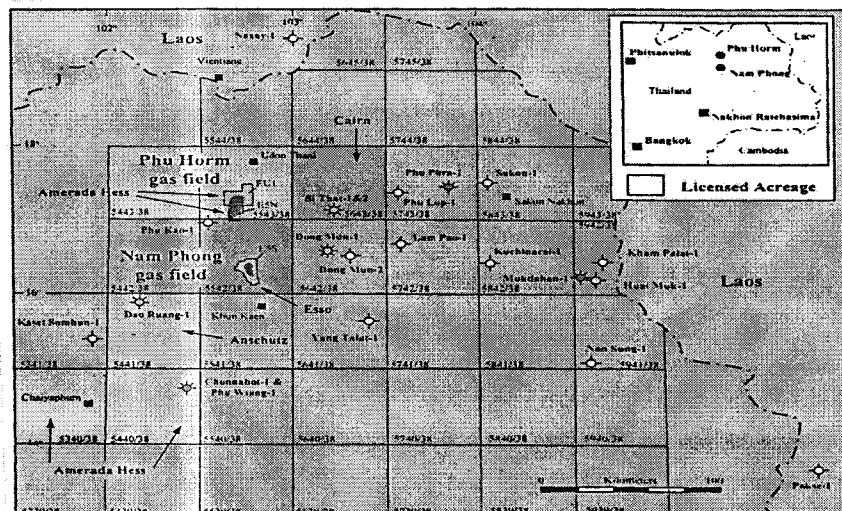


Figure 4 Locations of wells drilled in the Khorat Plateau Basin together with current licensed and open acreage. Note that 2 wells have been drilled in the Phu Horm Field and 8 to date (1 currently drilling) in the Nam Phong Field

รูปที่ 7.1 ตำแหน่งหลุ่มเจาะสำรวจและประเมินผลในแอ่งที่ราบสูงโคราช

ผลการสำรวจถึงปัจจุบันในภาคตะวันออกเฉียงเหนือทั้ง 17 โครงสร้างสามารถสรุปได้ดังนี้

7.2.1 โครงสร้างน้ำพอง

แหล่งน้ำพอง (รูป 7.2) ประกอบด้วยหินตะกอนบริเวณน้ำทะเลที่มีกำลังแรงมากถึงแรงปานกลางและถึงริมเนินสันดอนหินได้น้ำ และการตอกตะกอนเนินสันดอนบริเวณถึงบริเวณหินได้น้ำถึงบริเวณน้ำขึ้นน้ำลง เป็นหินปูนลักษณะส่วนใหญ่เป็นหินเนื้อแน่นไปถึงหินเนื้อเป็นเม็ด ๆ และมีหินปูนเนื้อมันและโคลนผสมอยู่ ลำดับหินแบ่งออกเป็น 8 อันดับตามรอยต่อที่เห็นจากการสำรวจ Seismic และการหั่นชิ้นหินหลุมเจาะ (Logging) 5 ชั้น (รูป 7.3, 7.4) อีก 3 ชั้นดูได้จากการหั่นชิ้นหินหลุมเจาะและแท่งหินตัวอย่างจากหลุมเจาะลำดับหินปูนแหล่งน้ำพอง กำหนดอายุประมาณ 263.5 ล้านปีอยู่ทางทิศใต้และมีอายุน้อยสุดอยู่ทางทิศเหนือของแหล่ง 259 ล้านปี ซึ่งมีการตอกตะกอนก่อนการกัดเซาะที่เกิดขึ้นในยุคการอัดด้วยโคดีนีียน

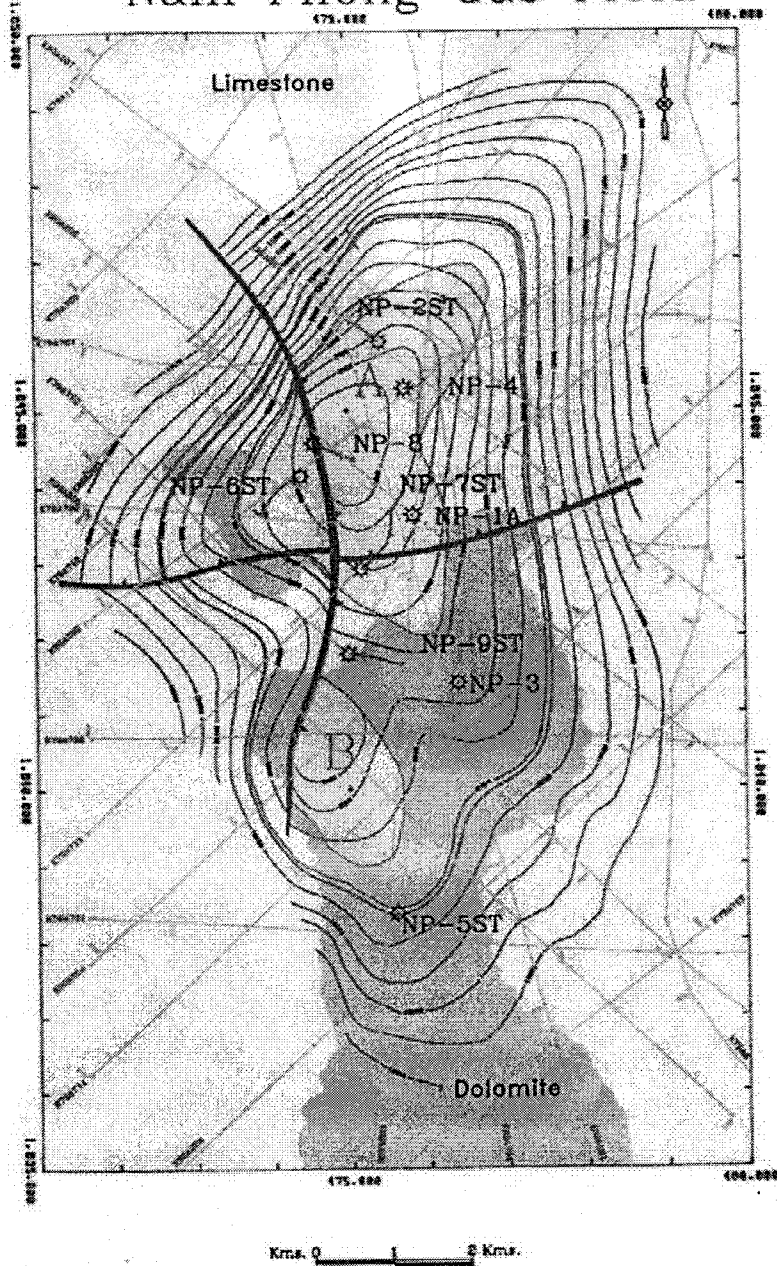
หลุมน้ำพอง -1 เป็นหลุมสำรวจหลุมแรกเจาะถึงความลึก 13,471 ฟุตในแปลงสัมปทานของบริษัทเอสโซ่-โครงราชอิง แปลง E-5 หลุมน้ำพอง-1 อยู่บนชุดบนสุดของส่วนโภคภูมิประทุน 80 ในลักษณะหินทรายพะวิหารยุคไตรแอลสสิก อาศัยข้อมูลจากการทดสอบอัตราการไหลและผลวิเคราะห์แท่งหินตัวอย่าง ส่วนของหินปูนที่มีรูพรุน เกิดขึ้นในหินปูนโดยไม่ลำดับที่มีอายุ 262-262.7 ล้านปี ผลการวิเคราะห์การกระจายตัว (Frequency distribution) แสดงให้เห็นว่าส่วนที่เป็นรูพรุน (porosity) สูงสุดอยู่ในส่วนที่เป็นการตอกตะกอนน้ำนิ่งและมีโคลนผสมอยู่มาก ร้อยละ 34-75 ของหินตัวอย่างที่วิเคราะห์จากหินลักษณะนี้มีความพรุนมากกว่า 5% ในขณะที่มีความพรุนเพียง 2-3% ในหินที่ตอกตะกอนในบริเวณน้ำที่มีพลังงานมาก ลักษณะหินปูนเม็ดก็มีความพรุนมากกว่า 5% เช่นเดียวกัน ความพรุนส่วนใหญ่อยู่ระหว่างเม็ดกลีบของหินปูนมากกว่าเป็นความพรุนระหว่างเม็ดหินหรือเม็ดดิน หลุมน้ำพองได้แสดงให้เห็นว่าลักษณะหินกักเก็บที่ดีในหินปูนบุคเพอร์เมี่ยนคือหินปูนโดยไม่ โดยเชื่อว่าหินปูนโดยไม่เป็นหินดันคำนวณและต่ำกว่าเปลี่ยนเป็นหินปูนโดยไม่ หินปูนที่ตอกตะกอนสันดอน (Shelf) และหินปูนพื้นหินประกอบด้วยหินที่มีลักษณะน้ำที่ต้องการมากกว่าการตอกตะกอนชนิดอื่น ๆ

อัตราการไหลของก้าชที่ดีจากหลุมน้ำพอง-1 และหลุมน้ำพอง -4 มาจากหินปูน ลำดับที่มีอายุอ่อนกว่า จากการวิเคราะห์แท่งหินตัวอย่างแสดงให้เห็นว่าอัตราการไหลนี้มาจากการอยุ่ตกเล็ก ๆ ในเนื้อหิน (Microfracture) มากกว่ามาจากรูพรุน โครงสร้างหิน (Matrix Porosity)

ตารางที่ 7.1 อัตราการไฟลของหกุนน้ำพอง 1-6

หกุน	ตำแหน่ง	ความลึก สุดท้าย (ฟุต)	ปริมาณ สำรอง (พันล้าน ลบ.ฟุต)	อัตราการไฟล (ล้าน ลบ.ฟุต/วัน)	หมาย เหตุ
น้ำพอง 1 (NP-1)	ละติจูด ลองติจูด	13,471	159	28 (จากชั้นความลึก 10,220-10,245)	
น้ำพอง 2 (NP-2)	2 กม. ที่มีเนื้อ หกุนน้ำพอง -1	13,035	33	22.9 ชั้นที่ 1 ; 11,544-11,738 ฟุต ; 1.4 ชั้นที่ 2 ; 9,665-10,183 ฟุต ; 21.5	
น้ำพอง 3 (NP-3)	2 กม. ที่ศีใต้หกุน น้ำพอง -1	11,715	38	8.2 ชั้น 1 ; 10,853-11,578.5 ฟุต ; 1.4 ชั้น 2 ; 10,650-10,498 ฟุต ; 21.5 ชั้น 3 ; 10,130-10,590 ฟุต ; 19.6	
น้ำพอง 4 (NP-4)	1.2 กม. ตะวันออก เฉียงใต้ หกุนน้ำ พอง -1	12,288	58	29.3 ชั้น 1 ; 9,406-10,043 ฟุต ; 29.3	
น้ำพอง 5 (NP-5)	5 กม. ที่ศีใต้ของ หกุนน้ำพอง -1	12,013		ไม่พบก้าชธรรมชาติ (หกุนแห้ง)	
น้ำพอง 6 (NP-6)	2 กม. ติดตะวันตก จากหกุนน้ำพอง 1	11,635	23	ชั้น 1 ; 10,050-10,143 ฟุต ; 15 MM SCF/D ชั้น 2 ; 10,638-10721 ฟุต ;	

Nam Phong Gas Field



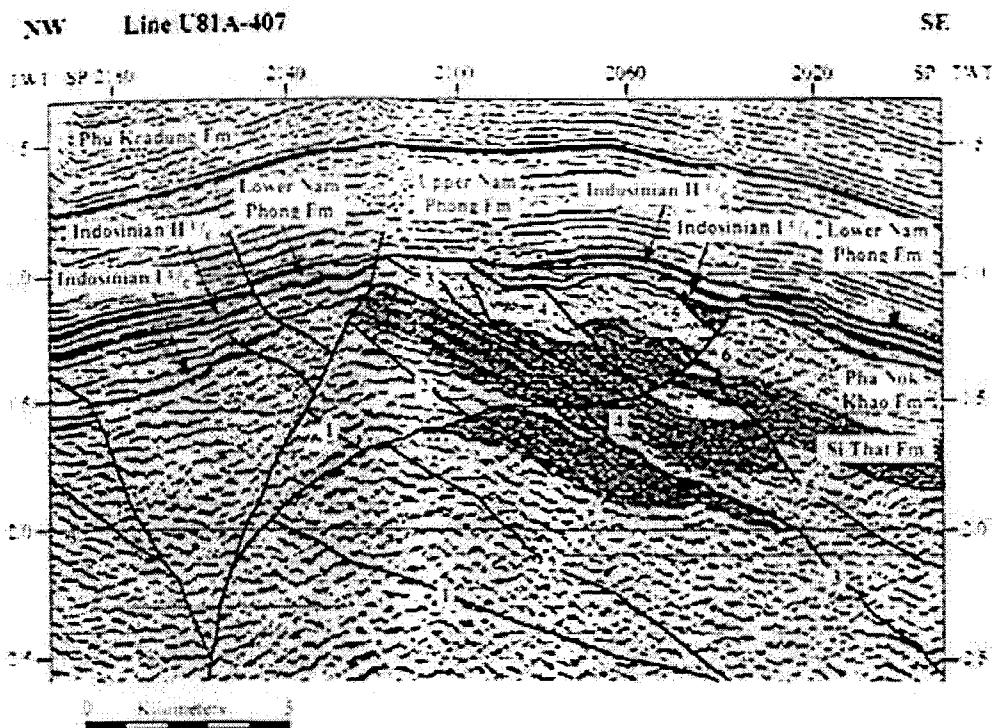
รูปที่ 7.2 แสดงแผนที่โครงสร้างแหล่งก๊าซน้ำพอง

CHRONOSTRATIGRAPHY		GROUP	FORMATION	LITHOLOGY	MAJOR TECTONIC EVENTS
Cretaceous	Late	Cenozoicized and younger	No Name	Phe Tok	Himalayan Orogeny Uplift and deep erosion, inversion of deep-seated structures to form long wavelength surface folds.
			Maha Surakhani		
			Khok Krut		
			Phe Phae		
			Sao Khua		
	Early	Khok	Paro Uraian		Mid-Cretaceous Event Uplift and erosion, Khorat basin becomes rimmed and situated with hyperhaline deposition. Initiation of the Phe Phae Uplift.
			Phu Kradung		
			Upper		
			Van Phuoc		
			Covered by Lam Phao		
Tertiary	Late	Khoratian	No Name	Upper	
			Kuchinara	Khao Yai	
	Middle	Chavaran	No Name	Khao Yai	
			Upper Classics		Indosinian II Orogeny Inversion and uplift of the entire basin with focal development of buttress folding and thin-skinned thrusting. "Buried hill" topography developed within general peneplain unconformity.
			Upper Classics		
Neogene	Late	Wardian to Sakmarian	Saraburi	Quartzite	Indosinian I Orogeny Inversion and uplift of the entire basin, deep erosion to form a near peneplain unconformity. Development of thick and thin skinned thrust systems within the Saraburi Group and possibly major strike-slip faults
			Saraburi	Shale	
	Early	Loei	Khao Yai	Shale	Mid-Carboniferous Orogeny Major thrusting and related fabric developed within basement in NE of the basin, effects possibly extend over the entire basin
D-S	Sedimentary				Break-up Unconformity Separation of Indochina Plate from Gondwanaland
SC	Metamorphic				
Comb	Igneous				

รูป 7.3 แสดงลำดับชั้นหินแห่งที่ราบสูงโกรกษา

7.2.2.2 ໂຄຮງສ້າງກູ່ອມ

หกุนภูมิ-1 อยู่ในอำเภอโนนสูงทางทิศใต้ไป 35 กิโลเมตรจากจังหวัดอุตรธานี อยู่ในแปลงสำรวจ EU-1 ของบริษัท เอสโซ่ อุดร จำกัด เริ่มสำรวจเมื่อวันที่ 4 กุมภาพันธ์ ค.ศ. 1983 เจาะถึงความลึกสุดท้าย 12,557 ฟุต พบรากชธรรมชาติ ธรณีสัณฐานวิทยาของแหล่งภูมิมีลักษณะใหญ่มีเส้นขอบเขตระดับต่างกันมากและมีโครงสร้างทางธรณีวิทยาเป็นรูปประทุนกว่า (รูป 7.4) ลักษณะประกอบจาก การสำรวจธรณีฟิสิกส์ (Seismic) และผลวิเคราะห์จากแท่งหินตัวอย่างที่ภูมิมีนกกว่าเป็นหินปูนที่ตกตะกอนในทะเลที่มีพลังงานน้ำปานกลางถึงมาก ตกตะกอนในบริเวณริมโขดหินได้น้ำ ลักษณะหินหินที่สังเกตจากแท่งหินตัวอย่างเป็นพากหินปูนซึ่งมีชากระดับต่ำและมีลักษณะเม็ดเล็ก ๆ ของหินปูนเนื้อแน่นและหินเม็ดมีการจัดลำดับตามรอยต่อชั้นหินจากการวิเคราะห์ผลการหยั่นธรณีหลุมเจาะ (รูป 7.5) มีอาชญากรรมในบุคเพอร์เมียนประมาณ 271-259.5 ล้านปี ในหกุนภูมิ-1 ทั้งสองหกุนลำดับหินที่อายุ 267 ล้านปี เป็นหินปูนผิดปกติโดยไม่ มีการเปลี่ยนเป็นโคโลไมท์สมบูรณ์ด้วย ตกผลึก และเปลี่ยนเส้นไปมาก จากลักษณะผิวของกรรมการตัดหิน

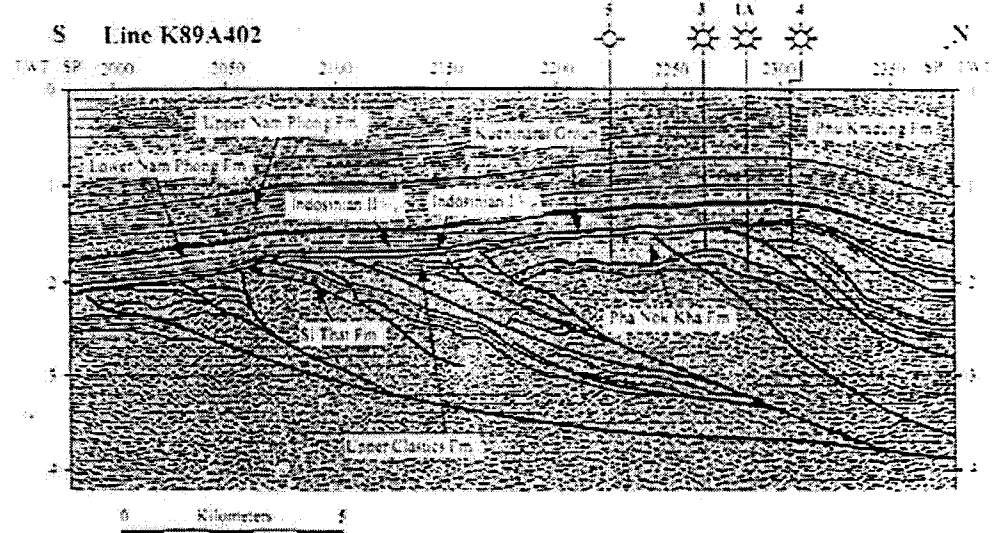


รูปที่ 7.4 ภาคตัดขวางโครงสร้างน้ำพอง

ความพรุน (porosity) ที่สำคัญเพียงหนึ่งเดียวและหายากคือรูพรุนซึ่งว่างระหว่างผลึก และเม็ดหินพร้อมกับรอยแตกในหินมีการทดสอบอัตราไหล 3 ครั้งและทดสอบระดับยาวยอิก 1 ครั้ง ครั้งแรกจากช่วงความลึก 8,413-8,820 ฟุต เปิดหลุมโซ๊คขนาด 32/64 นิ้ว วัดอัตราการไหลได้วันละ 3.9 ล้านลบ.ฟุต ความดันปากหลุม 735 ปอนด์ต่อตารางนิ้ว ครั้งที่ 2 ช่วงความลึก 7,964 – 8,073 ฟุต เปิดโซ๊คขนาด 24/46 นิ้ว วัดอัตราการไหลได้วันละ 2.42 ล้านลบ.ฟุต ความดันปากหลุม 787 ปอนด์ต่อตารางนิ้วทดสอบอัตราการไหลครั้งที่ 3 ที่ความลึก 7,780-8,093 ฟุต เปิดปากหลุมขนาด 32/64 นิ้ว วัดอัตราการไหลได้วันละ 4.08 ล้านลูกบาศก์ฟุต ความดันปากหลุม 671 ปอนด์ต่อตารางนิ้วในการทดสอบอัตราการไหลระดับยาวยในช่วงความลึก 7,780-8,413 ฟุต เริ่มน้ำ 8 กันยายน พ.ศ. 2527 (ค.ศ.1984) เปิดหลุมขนาด 2 นิ้วนาน 31 วัน วัดอัตราการไหลสุดท้ายได้วันละ 3.84 ล้านลบ.ฟุต เมื่อวันที่ 11 ธันวาคม 2527 เปิดหลุมไว้ชั่วคราวเพื่อรอการพัฒนาต่อไป การคำนวณปริมาณสำรองโดยวิธีแบบปริมาตรที่แหล่งภูมิที่เนื้องดันนี้ 22 พันล้านลบ.ฟุต ในพื้นที่ 640 เอเคอร์ (1 ตร.ไมล์) และทั้งโครงสร้างมี 200 พันล้านลบ.ฟุตจากการที่มีความพรุนรวมในเนื้อหิน (Matrix porosity) น้อย และการที่อัตราการไหลลดลงอย่างรวดเร็วของไทร์ว่าการไหลอาจมาจากรอยแตก (Fractures) ของหิน การที่มีความดันสูงผิดปกติอย่างที่สังเกตเห็น

อัตราการไหลครั้งที่ 3 ที่ความลึก 7,780-8,093 ฟุต เปิดปากหลุมขนาด 32/64 นิ้ว วัดอัตราการไหลได้วันละ 4.08 ล้านลูกบาศก์ฟุต ความดันปากหลุม 671 ปอนด์ต่อตารางนิ้วในการทดสอบอัตราการไหลระดับยาวยในช่วงความลึก 7,780-8,413 ฟุต เริ่มน้ำ 8 กันยายน พ.ศ. 2527 (ค.ศ.1984) เปิดหลุมขนาด 2 นิ้วนาน 31 วัน วัดอัตราการไหลสุดท้ายได้วันละ 3.84 ล้านลบ.ฟุต เมื่อวันที่ 11 ธันวาคม 2527 เปิดหลุมไว้ชั่วคราวเพื่อรอการพัฒนาต่อไป การคำนวณปริมาณสำรองโดยวิธีแบบปริมาตรที่แหล่งภูมิที่เนื้องดันนี้ 22 พันล้านลบ.ฟุต ในพื้นที่ 640 เอเคอร์ (1 ตร.ไมล์) และทั้งโครงสร้างมี 200 พันล้านลบ.ฟุตจากการที่มีความพรุนรวมในเนื้อหิน (Matrix porosity) น้อย และการที่อัตราการไหลลดลงอย่างรวดเร็วของไทร์ว่าการไหลอาจมาจากรอยแตก (Fractures) ของหิน การที่มีความดันสูงผิดปกติอย่างที่สังเกตเห็น

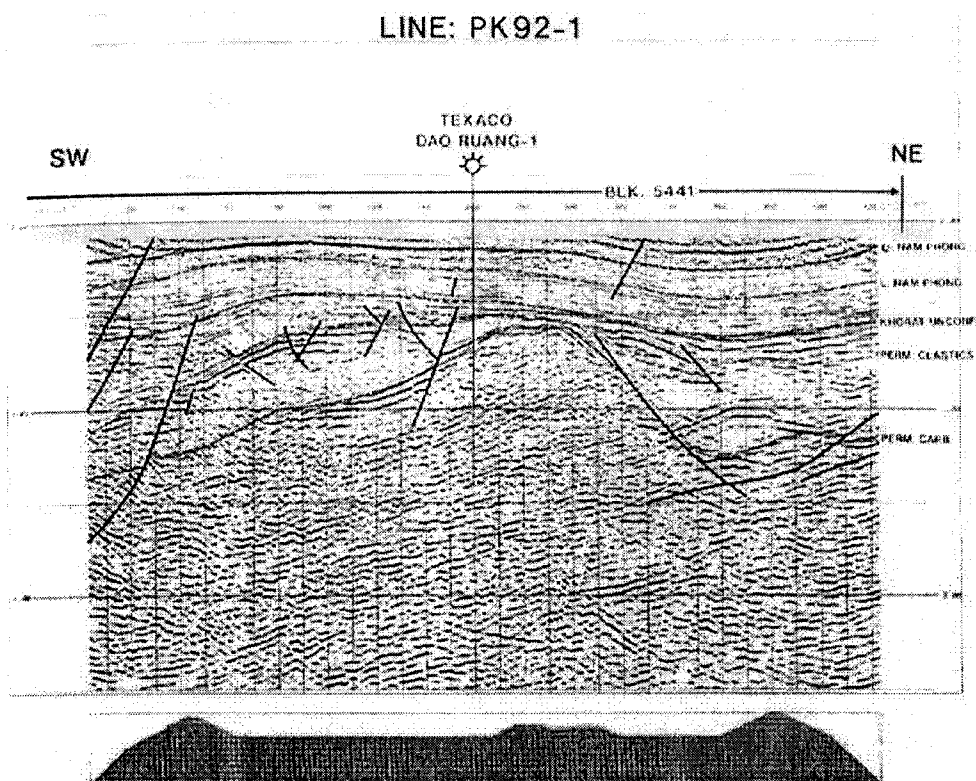
ที่เหลือน้ำพองและคงมูลอาจสามารถช่วยให้กองอัตราการไหลไว้ได้ถึงแม้จะมีความพรุนน้อยเหมือนที่แหล่งภูมิอ่อน



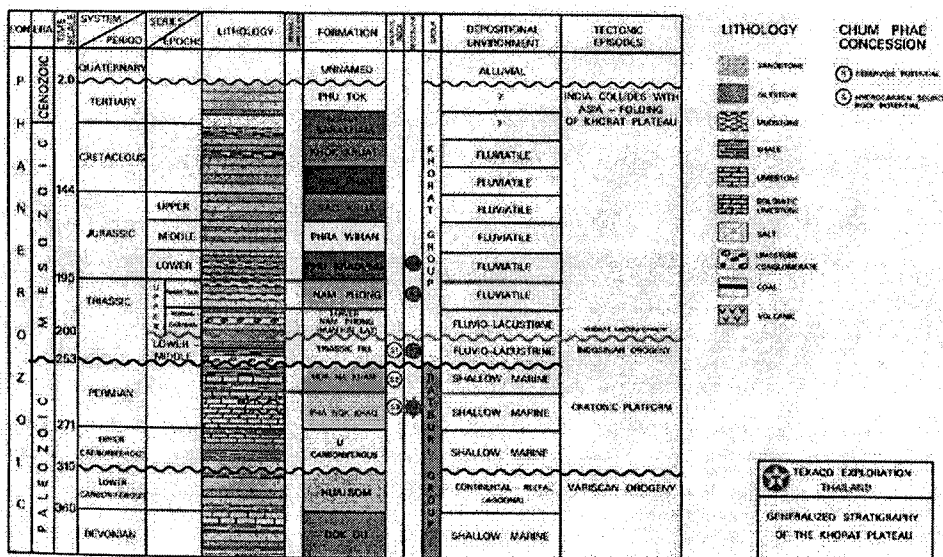
รูป 7.5 ภาคตัดขวาง โครงสร้างภูมิอ่อน

7.2.3 โครงสร้างอื่น ๆ

โครงสร้างดาวเรือง #1 เริ่มเจาะสำรวจในเดือนเมษายน พ.ศ. 2536 เจาะถึงความลึกสุดท้าย 7,950 ฟุต ปิดหลุมเดือนสิงหาคมปีเดียวกัน ตำแหน่งหลุมเจาะอยู่ในแปลงสัมปทาน 5441/32/A อำเภอภูเขียวจังหวัดชัยภูมิภาคตะวันออกเฉียงเหนือ แปลงสัมปทานอยู่ตอนกลางของแม่น้ำโคราช (รูป 7.6) แม่น้ำโคราชประกอบไปด้วยชั้นหินอาบุตังแต่ต้นพาลิโอโซอิก (Paleogjoic) ถึงปัจจุบันล่าสุดชั้นหินของที่ราบสูงโคราชโคราชของภาคตะวันออกเฉียงเหนือ ประเทศไทยโดยทั่วไปแล้วจะเป็นลำดับตามแนวลักษณะแสดงในรูป 7.7

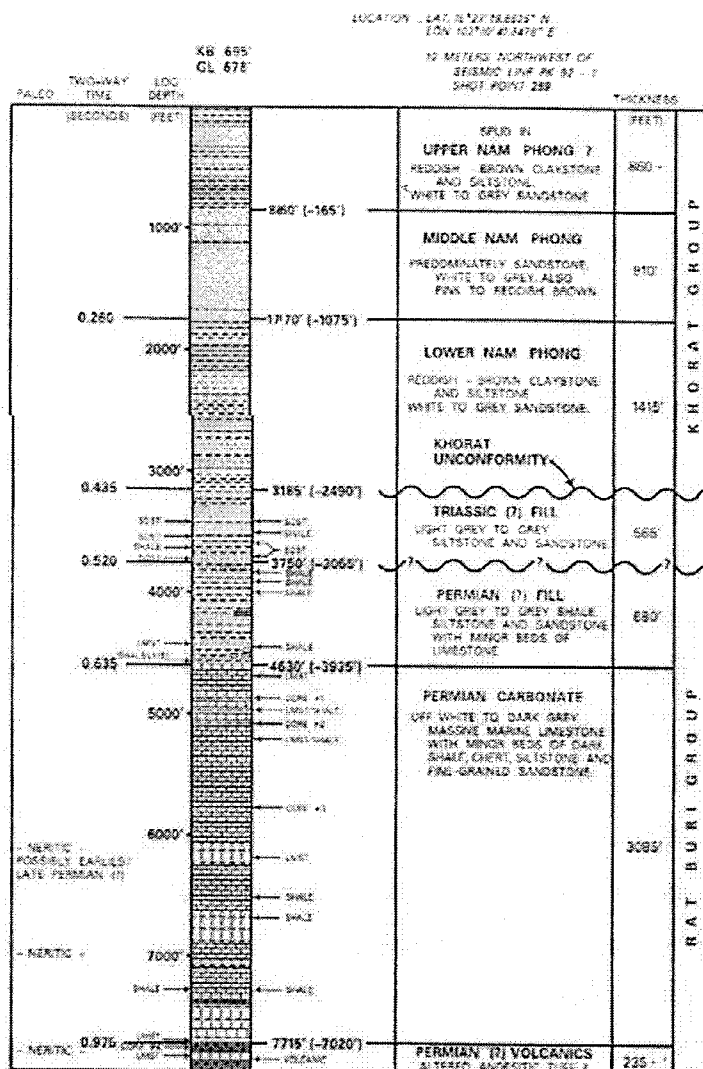


รูป 7.6 แสดงภาคหน้าด้าน Seismic บริเวณหมุนจากดาวเรือง-1



รูป 7.7 ลักษณะลำดับชั้นหินแนวดิ่งของที่ราบสูงโคราชประเทศไทย

เริ่มการเจาะสำรวจวันที่ 4 เมษายน 2536 ถึงความลึกสุดท้าย 7,950 ฟุต วันที่ 23 มิถุนายน 2536 การเจาะหลุมได้ผ่านชั้นหินภูกระดึงหรือตอนบนของชั้นหินน้ำพองจากผิวดินถึงความลึก 860 ฟุต ผ่านชั้นหินชุดน้ำพองตอนกลางจากความลึก 860 ฟุต ถึง 1,770 ฟุต ชั้นหินชุดน้ำพองตอนล่างจาก 1770-3,185 ฟุต ผ่านหินชุดก่อนโคราชุกไทรแอลสิกจาก 3,750 – 4,630 ฟุต หินปูนยุคเพอร์เมียนจาก 4,630 ฟุตถึงความลึก 7,715 ฟุต และบางที่อาจเป็นหินภูเขาไฟยุคเพอร์เมียนจากความลึก 7,715 ฟุต ถึงความลึกสุดท้าย 7,950 ฟุต (รูป 7.8)



รูป 7.8 แสดงลำดับหินจากการหยั่งชรพีหลุ่มเจาะดาวเรือง-1 ที่ร้าบสูงโกราก

มีก้าชธรรมชาติให้เห็นตลอดการเจาะผ่านชั้นหินปูนและหินภูเขาไฟยุคเพอร์เมียน มีการเจาะเก็บแท่งหินตัวอย่าง 4 ช่วงระดับความลึกในทั้งสองช่วงของหินปูนและหินภูเข้าไฟ แท่งหินตัวอย่างที่ 1 ช่วงความลึก 4,868 ถึง 4,887 ฟุต หินตัวอย่างช่วงที่ 2 ความลึก 5,057 – 5,087 ฟุต ช่วงที่ 3 ความลึก 5,772 – 5,800 ฟุต (แต่เก็บหินไม่ได้) ช่วงที่ 4 ความลึก 7,724-7,754 ฟุต (รูป 7.7) ตัวอย่างหินปูนจากเศษหินในขณะเจาะและจากแท่งหินตัวอย่างถูกวิเคราะห์และอธิบายโดยการศึกษาจากทำตัวอย่างหินบาง (Thin section) ตัวอย่างหินบางเหล่านี้ถูกเตรียมสีด้วยสารอลิชารินสีแดงเพื่อแยกหินปูนแคลไซต์กับโคลาโนท์และวิเคราะห์ด้านศิลารรมนาลักษณะหินทางปิโตรเลียมทั้งแบบใช้แสงโพลาไรส์และแสงรังสีเหนือม่วง (blue-light fluorescence) ผลวิเคราะห์ศิลารรมนาลักษณะหินจากหินตัวอย่างช่วงที่ 2 และเศษหินจากการเจาะสำรวจของช่วงที่เป็นหินปูนได้ขึ้นยังการศึกษารังนี้ หินถูกตรวจสอบเพื่อวิเคราะห์หาลักษณะเนื้อหิน บรรพชีวินวิทยา การก่อตัวใหม่ ชนิดของรูพรุน (Porosity) ความสำคัญสิ่งแวดล้อมบรรพชีวินและการปรากฏของสารประกอบไฮโดรคาร์บอน (ปิโตรเลียม)

ลักษณะหินปูนอย่างละเอียดได้อธิบายโดยใช้การบัญญัติคำศัพท์ของดันแ昏 (Dunham, 1962) ลักษณะหินปูนหน่วยเล็ก ๆ ประกอบไปด้วย หินปูนเนื้อละเอียดผลลัพธ์ของลักษณะหินปูนทรายเล็กขนาดเม็ดเดียว อย่างไรก็ตามจะมีลักษณะหินปูนเม็ด (packstone/grainstone) ปรากฏอยู่เป็นแห่ง ๆ ในหอุ่มเจาะ หินปูนเป็นลักษณะส่วนใหญ่ที่ปรากฏให้เห็นโดยมีหินดินดานแทรกสลับอยู่ข้างหินปูนโคลาโนท์ถูกพนบາงแต่น้อยในช่วงบางช่วงของหินปูน ไม่มีหินปูนโคลาโนท์ที่เป็นปริมาณมาก เมื่อตอนที่พบที่ห้องน้ำพอง -1A ของบริษัทเอสโซ่ฯ โคราซอร์ (Kozar et al, 1992) ซากศีกคำนรรพ์ที่เห็นได้แก่ แบรเชคโอลออด (brachiopods) พีชสาหร่าย หอยไครนอยด์ หอยอสตราคอด (astracods) ปะการัง (corals) ฟอร์ามินิเฟอร์รา (foramin fera) ก้าสโটออด (gastropods) ฟองน้ำ (sponge spicules) หอยเอชิโนดอร์ (echinoid spin) และแคลซิสเพียร์ (calcispheres) หลักฐานลักษณะธรรม์ปิโตรเลียมกึ่งขาดอากาศ (Subaerial) ที่ปรากฏไม่ถูกพัฒนาให้เห็นในหินตัวอย่างหอุ่มดาวเรือง -1 ลักษณะหินปูนเนื้อแน่นและเป็นเม็ด (packstone-grainstone) บ่งบอกถึงการเกิดในสิ่งแวดล้อมทะเลเปิดที่มีความแรงน้ำปานกลางถึงสูง ของผ่านรับหินปูน หินปูนบางส่วนถูกวิเคราะห์ว่าเป็นตัวแทนที่เกิดจากสิ่งแวดล้อมทะเลลังงานต่ำ น้ำขึ้นน้ำลงและการตกตะกอนของสิ่งที่มีชีวิตบริเวณทะเลสาบจำกัดบริเวณ (Baird, 1992) ความพรุนลำดับแรก (Primary Porosity) และอันดับสอง (Secondary Porosity) สามารถสังเกตเห็นได้จากตัวอย่างแท่งหิน แต่ความพรุนส่วนใหญ่โคนอุดซึ่งเม็นต์ด้วยแคลไซต์ ความพรุนจากรอยแตกเล็ก ๆ เป็นความพรุนหลักสำหรับสารประกอบไฮโดรคาร์บอน และภาพตัดขวางของรอยแตกเหล่านี้ เป็นตัวแทนถึงความซับซ้อนของผิวหินความพรุนระหว่างผลึกกลับกันเป็นส่วนน้อยของหินปูนส่วนนี้อันเนื่องจากไม่มีการแปรสภาพเป็นหินโคลาโนท์

การศึกษาชั้นหินของสิ่งที่มีชีวิตจากตัวอย่างหิน 11 ตัวอย่าง ทั้งจากเศษหิน (cuttings) จากการเจาะและแท่งหินตัวอย่าง (core) ของหินปูนแสดงให้เห็นสัตว์เซลล์เดียว ฟอเรมินิเฟอร์ (foraminifer) ปรากฏในหินตัวอย่างช่วงความลึก 5,061.1-5,085.5 ฟุต รวมทั้งพาก Modosaria sp., Pachyphellos sp., Globivalvulina sp., และ Orthovertella sp., ปัจงบอกอายุอยู่ในยุคปลายเพอร์เมียนตอนดันถึงยุคช่วงต้นเพอร์เมียนตอนกลาง ยุค Leonardian และ Guadalupian (Ingavat, 1988)

ความสมบูรณ์ของสารอินทรีย์ของหินปูนเพอร์เมียน และหินดินดานที่แทรกสอดกับอยู่ที่จะผ่านมีปานกลางถึงน้อย ปริมาณสารอินทรีย์ (TOC) ส่วนใหญ่มีน้อยกว่า 0.5% และมีมากขึ้นเล็กน้อย เมื่อเจาะลึกลงไปถึงความลึกสุดท้าย ปริมาณสารอินทรีย์ (TOC) มีปริมาณมากขึ้นตั้งแต่ความลึก 6000 ฟุต ขึ้นไปถึงความลึกสุดท้าย

หินปูนยุคเพอร์เมียนที่เจาะผ่านที่หลุมดาวเรือง-1 มีความพรุนเบื้องต้น (primary porosity) และความพรุนอันดับสอง (Secondary porosity) อยู่น้อยและถูกอุดตันด้วยสารแคลไซด์ดังผลวิเคราะห์ การศึกษาระบีปิโตรเลียมของชั้นหิน ความพรุนที่มากที่สุดที่วัดได้ในหลุมดาวเรือง-1 สูงถึง 16% มีความซึมผ่านໄ้ดี (Porosity) 5.8 milli-darey ในร้อยແຕກของชั้นหินที่มีแคลไซด์อุดตันอยู่ ข้อมูลจากการทดสอบอัตราการไหลดของก๊าซแห้ง (Dry Gas) จากรอยແຕກและรอยแตกเต็ก ๆ พวนนี้วัดได้ 146,000 ลบ. ฟุตต่อวัน การที่มีอัตราการไหลดต่ำแสดงให้เห็นว่าชั้นหินมีการซึมผ่านໄ้ดีต่ำหรือมีก๊าซกักเก็บอยู่น้อยเกินไปในบริเวณนี้ อาศัยข้อมูลจากการศึกษาระบีปิโตรเลียมที่มีประสิทธิภาพได้ถ้ามีความเหมาะสมด้านการความคันและอุณหภูมิ (Maturity)

โดยสรุปสามารถพูดได้ว่า ก๊าซที่พบที่หลุมดาวเรือง -1 มีสารตันกำเนิดและความเหมาะสมของการเกิด แต่ต้องการหินกักเก็บ เส้นทางการไหลดรวมกันและการกักเก็บปิโตรเลียมที่เหมาะสมเท่านั้น เหตุผลที่ไม่มีสมรรถนะเชิงพาณิชย์ที่หลุมดาวเรือง -1 คือคุณสมบัติของหินกักเก็บขาด รอยแตกที่เปิดและการกักเก็บไม่เป็นผลอันเนื่องจากหินปิคกันวางแผนตัวอยู่บนชั้นหินไม่ต่อเนื่องชุดโครงสร้างไม่มีหินปิคกันที่มีสำเร็จให้เห็นได้ที่ตำแหน่งหลุมดาวเรือง ความพรุนส่วนใหญ่ที่เกิดมากร่องถูกอุดด้วยแคลไซด์ อ漾ไร้กีตานข้อมูลจากการวัดความไหความสามารถของชั้นหิน และจากการหยั่งระบุอัลูมิเจาะช่วยชี้ให้เห็นว่ามีศักยภาพการเปลี่ยนสภาพเป็นหินโคลอไมท์ในส่วนบนของโครงสร้างในระหว่างยุคไทรassicถึงจรัสติกและอาจมีการพบไฮโดรคาร์บอนได้บ้าง

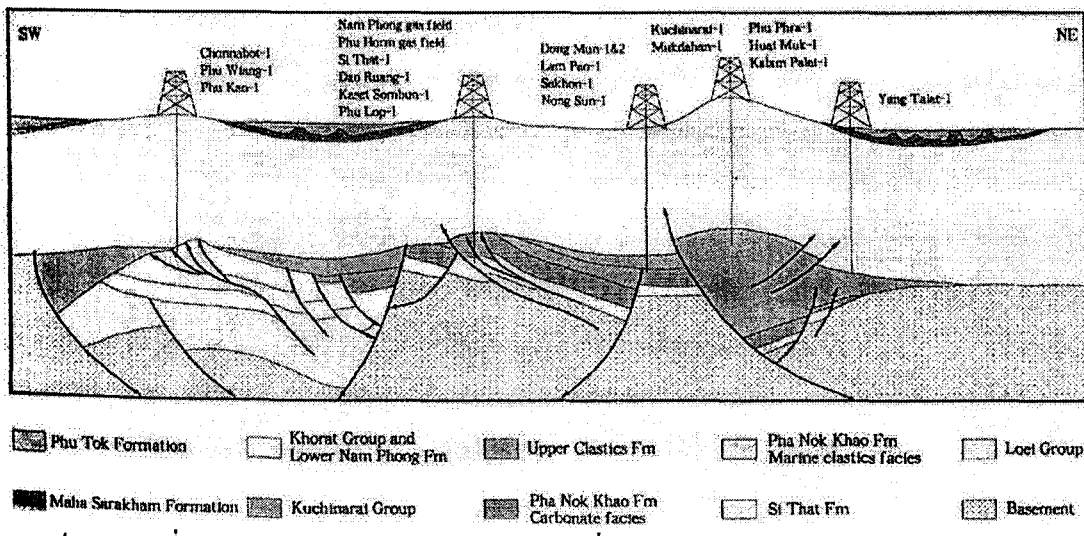
แหล่งคงมูล

แหล่งคงมูลอยู่ในพื้นที่อันกอท่าคัน โน จังหวัดกาฬสินธ์อยู่ห่างไปทางทิศใต้ของหมู่บ้านชุมชนชุมชนที่อยู่ในเขตติดต่อของโครงสร้างสูงแนววันดกเฉียงเหนือ-ตะวันออกเฉียงใต้ หลุมคงมูล-1 ซึ่งเจาะ

โดยบริษัทเอสโซ่ฯ เพื่อทดสอบแหล่งก๊าซที่อยู่ในหินกั้กเก็บแบบ Structural/Stratigraphic ของหินปูน ปะการัง (reef) ยุคเพอร์เมียน หดุมเจาะลึกถึงก้นหุบ 11,400 ฟุต เจาะพบหินปูนยุคเพอร์เมียนจากความลึก 8,876 ฟุตถึง 9,180 ฟุต มีการทดสอบอัตราการไหลของก๊าซเริ่มต้นได้ 24 ล้าน ลบ.ฟุตต่อวันและลดลงเหลืออัตราไหลสุดท้ายวันละ 4 ล้าน ลบ.ฟุตในเวลา 12 วัน เอสโซ่ฯ เจาะหดุมคงมูล-2 ห่างไปทางทิศตะวันออกของหดุมคงมูล-1 พน ก๊าซธรรมชาติในชั้นหินชุดผานกเด็ก้า แต่มีอัตราการไหลเพียงวันละ 0.13 ล้าน ลบ.ฟุต มีการทดสอบ DST-4 ชั้นบนสุดไม่มีก๊าซแต่มีน้ำไหลวันละ 1,600 บาเรล แสดงให้เห็นว่า หินปูนชุดผานกเด็ก้ามีคุณภาพหินกั้กน้ำที่ดีเพียงแต่ไม่มีก๊าซมาสะสมอยู่โดยสรุปแหล่งคงมูลมีก๊าซมาสะสมน้อยไม่มีสมรรถนะเชิงพาณิชย์

แหล่งครีราดุ

แหล่งครีราดุอยู่ในอำเภอครีราดุจังหวัดอุดรธานีห่างไปทางทิศตะวันออกเฉียงเหนือของแหล่งผลิตก๊าซนาน้ำพองประมาณ 70 กิโลเมตร บริเวณพื้นที่นี้เท้าใจว่าเป็นหินกลุ่มโกราชที่ถูกแรงกดดันให้เป็นโครงสร้างรูปประทุนคว่ำ (Anticline) ซึ่งมีแนวแกนอยู่ในทิศทางตะวันออกตะวันตก ให้ชั้นหินไม่ต่อเนื่องชุดโกราชถูกล้อมรอบโดยรอยเลื่อนข้อนมุนที่ถูกทำให้เคลื่อนตัวอีกครั้ง มีทิศทางเอียงของชั้นหิน (dip) ชั้น Clastics ยุคเพอร์เมียนลงไปทางเหนือ บริษัท เอสโซ่ อุดร อิงค์ ได้เจาะหดุมครีราดุ-1 ถึงความลึก 13,300 ฟุต ในหินชุดผานกเด็ก้าในปี พ.ศ.2526 (ค.ศ.1983) หินชุดผานกเด็ก้ามีศักยภาพเป็นหินกั้กเก็บไฮdrocarbonที่ดี ทดสอบอัตราการไหลมีน้ำวันละ 8,729 บาเรล บริษัท เครน เอ็นเนอร์จี ฟาร์อิสท์ ลิมิต เทพ นาเจาะหดุมสำรวจที่โครงสร้างอีกครั้งหนึ่งในปี พ.ศ. 2541 วัดอัตราการไหลน้ำวันละ 10,000 บาเรล และก๊าซแห้ง (Dry Gas) วันละ 1.5 ล้าน ลบ.ฟุต สรุปแล้วแหล่งครีราดุไม่มีก๊าซที่มีสมรรถนะเชิงพาณิชย์



รูป 7.9 แผนที่แสดง Play concept ของหดุมสำรวจในที่ราบสูง โกรากาคตะวันออกเฉียงเหนือของ

แหล่งชั้นบท-1

ตำแหน่งแหล่งชั้นบทอยู่ในเขตอ้าเกอชั้นบท อำเภอเวียงใหญ่และอำเภอเวียงน้อย จังหวัดขอนแก่น โครงสร้างประทุนคว่า (Anticline) ชั้นบทอยู่ในแนวเหนือ-ใต้ มีหินชุดโคราช แองคริง กีอกม้ารูปไข่ ซึ่งมีหินตะกอนยุคไตรแอลสติกวิวตัวอยู่บนหินปูนผานกเค้า ในปี พ.ศ. 2525 บริษัท เอสโซ่ โคราชฯ อิง เจาะหลุ่มชั้นบท-1 พบร่องหินที่มีช่องว่าง ความดันสูงให้ชั้นหินไม่ต่อเนื่องชุดโคราชที่ต้องใช้น้ำโคลนหนักถึง 19.5 ปอนด์ต่อแกลลลอน (ความดัน 10000 psi) หลุมเกิดการสูญเสียน้ำโคลน (lost circulation) และเกิดก้าชปะทุ (kick) ในขณะทดสอบอัตราการไหลแบบ DST มีก้าชแห้งขึ้นมาสู่พื้นผิว หลุมถูกปิดลง โดยสรุปว่า ไม่มีสมรรถนะเชิงพาณิชย์

ต่อมาบริษัท อะเมอร์ร่าดา เอส กลับมาเจาะหลุมภูเวียง-1 ที่โครงสร้างชั้นบท ใกล้หลุ่มชั้นบท-1 พบร่องความดันสูงหลายชั้น ความลึก แต่ชั้นหินกักเก็บยุคเพอร์เมียนที่เป็นเป้าหมาย กลับเป็นหินปูนน้ำทะเลเด็นแทนที่จะเป็นปูนที่มีช่องแตกที่เกิดจากลักษณะที่ยืนเข้าไปในทะเลตามที่คาดหวังไว้ การทดสอบอัตราการไหลของก้าชในชั้นหินยุคเพอร์เมียนและปลายยุคไตรแอลสติกไม่พบอัตราการไหลที่มีความสำคัญ

หลุมภูพระ-1

หลุมภูพระ-1 อยู่ทางตะวันออกของหลุมคริชาตุ-1 ไป 70 กิโลเมตรอยู่ในตอนใต้ของ อำเภอพร摊านิคม จังหวัดสกลนคร บริษัท เอสโซ่ อุดรฯ อิงค์ เจาะหลุมภูพระ-1 ถึงความลึก 8,760 ฟุต ผ่านหินชุดยุคไตรแอลสติก เพื่อทดสอบหินยุคไตรแอลสติกในแองคริงกีอกม้าที่โครงสร้างถูกกลับด้าน หลุมเจาะได้ เจาะผ่านชั้นหินดินดานที่ตกตะกอนในทะเลสาบที่หนา คงจะมีคุณสมบัติเป็นหินดันกำเนิด ปีตอเรเลียมที่ดี โดยมีความเข้มของสารอินทรี (total organic Carbon) 1.2-3.7% ในช่วงความลึก 1,800 ฟุต ถึงความลึกสุดท้าย 8,760 ฟุต มีก้าชแสดงให้เห็นบ้าง แต่ก็ไม่มีสมรรถนะเชิงพาณิชย์ หลุมถูกปิดลงโดย เป็นหลุมแห้งเพราะขาดหินกักเก็บที่มีคุณสมบัติที่ดีพอ

แหล่งเกย์ตรสมบูรณ์

หลุมเกย์ตรสมบูรณ์อยู่ในพื้นที่อำเภอเกย์ตรสมบูรณ์ จังหวัดชัยภูมิ โครงสร้างเกย์ตรสมบูรณ์เป็นโครงสร้างรูปประทุน (Anticline) มีแนวแกนแนวเหนือ-ใต้ หินชุดน้ำพองของหินโคราชเป็นหินที่แก่ที่สุดในบริเวณเขตอำเภอเกย์ตรสมบูรณ์หลุมเกย์ตรสมบูรณ์-1 เจาะโดยบริษัทเอสโซ่ โคราชฯ อิงค์ ถึงความลึกสุดท้าย 7,707 ฟุต พบร่องหินปูนเนื้อแน่น ไม่พบปีตอเรเลียมที่สำคัญ

หลุมโนนสูง-1

หลุมโนนสูง-1 อยู่ในส่วนที่อยู่ต่อวันออกสุดของเขตสัมปทานของบริษัท เอสโซ่ฯ โครงสร้างรูประทุน (Anticline) โนนสูงอยู่ห่างจากหลุมกุฉินารายณ์-1 ไปทางตะวันออกเฉียงใต้ 80 กิโลเมตร หลุมโนนสูง-1 เจาะผ่านหินดินเหนียวทะเลสาบยุคไตรแอลสิกจากความลึก 3,997 ฟุต ถึง 6,554 ฟุต และเจาะผ่านหินชั้นและหินปูนยุคเพอร์เมียน (Permian Clastics/Carbonate) จากความลึก 6,554 ฟุต ถึงความลึกสุดท้าย 14,138 ฟุต มีก๊าซแสดงให้เห็นบางแต่ไม่มีหินกักเก็บปิโตรเลียม (no reservoir)

ภูเก็ต-1

หลุมภูเก็ต-1 อยู่ห่างไปทางตะวันตกเฉียงใต้ของแหล่งก๊าซภูส่อง 25 กิโลเมตร หลุมถูกเจาะในโครงสร้างรูประทุน ภูเก็ตที่มีแนวแกนแนวหน้าอีกด้วย ใจกลางความลึกสุดที่อยู่ 8,350 ฟุต ผ่านหินกรคลสีแดงยุคไตรแอลสิกจากความลึก 4,700 ฟุต ถึง 7,700 ฟุต หินกรดหนึ่งปะกอบไปด้วยเศษหินของหินอัคนีและหินภูเขาไฟมีก๊าซแสดงให้เห็นบ้างแต่ไม่มีหินกักเก็บ (Reservoir) ที่มีคุณภาพดีพอ หินกุ่มนี้ประกอบด้วยหินเนื้อแน่นไม่มีแสดงให้เห็นว่าเป็นหินดันกำนิด (Source) ที่ดี

คำป่าหาlays-1

หลุมคำป่าหาlays-1 เจาะโดยบริษัทญี่โนแคลปปิโตรเลียมลิมิตेड ในปี ค.ศ.1993 หลุมอยู่ห่างจากจังหวัดมุกดาหารไปทางทิศตะวันตกเฉียงหน้าอีก 21 กิโลเมตรในอำเภอใหญ่ จุดประสงค์เพื่อทดสอบหาหินปูนแผ่นใหญ่ที่ก่อกำเนิดให้โครงสร้างประทุนคำป่าหาlaysแนวหน้าอีกด้วย หลุมเจาะถึงความลึก 8,927 ฟุตพบหินทรายสีน้ำตาลแดงแทรกสับกับหินดินดานคล้ายกับหินหน่วยหัวหินลาดที่ปราการอยู่ใต้หินชุดโคราชไม่พบหินปูนเพอร์เมียนเกิดร่วมอยู่ในที่นี่ แต่พบหินตะกอนสะสมจากแม่น้ำสีแดง (Redbeds) ยุคไตรแอลสิกปราการอยู่ หลุมถูกปิดและสღะหลุมทิ้งไว้

หลุมสกล-1

หลุมสกล-1 เป็นหลุมที่ 2 ที่เจาะโดยบริษัท ยูโนแคลปฯ ในปี ค.ศ.1993 อยู่ห่างจากตัวเมืองสกลนครไปทางตะวันตกเฉียงหน้าอีก 15 กิโลเมตร เป้าหมายอยู่ที่หินปูนเพอร์เมียนขนาดใหญ่ในโครงสร้างรูประทุนสกลที่มีแนวตะวันตกเฉียงหน้าอีก ตะวันตกเฉียงใต้ หินกุ่มน์ยุคไตรแอลสิกใต้หินชุดโคราชได้ตัดฐานของหินชุดโคราชให้บางลงไปทางตอนใต้ของพื้นที่ ในขณะที่หินกุ่มไทรแอลสิกลับหนาขึ้น ทางตอนใต้และแพร่ไปลึกรอยเลือนทางตอนใต้ของพื้นที่ ผลการเจาะสำรวจแสดงให้เห็นว่ามีการพับหินสีแดงหัวหินลาดอยู่ใต้ความลึก 11,603 ฟุตถึงความลึกสุดท้ายที่ 12,552 ฟุต ไม่มีก๊าซธรรมชาติที่สำคัญสำรวจพบในหลุมนี้

แหล่งมุกดาการ

โครงสร้างรูปประทุนคว้า (Anticline) แกนแนวตะวันตกเฉียงเหนือ-ตะวันออกเฉียงใต้มุกดาหารอยู่ห่างไปทางตะวันตกของตัวเมืองมุกดาหาร 20 กิโลเมตร หลุมมุกดาหาร-1 อยู่ห่างไปทางตะวันตกของหลุม หัวยมุก-1 ประมาณ 7 กิโลเมตร มีเยื่อหามายอยู่ที่หินทรายไทรแอสติก หลุมเจาะถึงความลึกสุดท้าย 7,515 ฟุต พบรหินตะกอนไทรแอสติกจากความลึก 5,712 ฟุตถึง 7,515 ฟุต มีก้าชให้เห็นตลอดช่วงหินไทรแอสติก มีการทดสอบอัตราการไหลแบบ DST ช่วงความลึก 5,776 ฟุต ถึง 6,649 ฟุต แต่ไม่มีก้าชไหลขึ้นมากจึงทำการปิดหลุมและสะละหลุมทิ้งไป หลุมหัวยมุก-1 เป็นหลุมแรกในโครงสร้างมุกดาหารเพาะทดสอบหินปูนยุคเพอร์เมียนที่อยู่ใต้โครงสร้างมุกดาหาร หลุมเจาะหินตะกอนแม่น้ำสีแดงยุคไทรแอสติกจากความลึก 6,198 ฟุตถึงความลึก 9,000 ฟุต ไม่พบหินปูนยุคเพอร์เมียน ถือว่าเป็นหลุมแห้งหลุมหนึ่ง

หน้า ๑

หลุมภูตพ-1 อยู่ทางตะวันออกของหลุมครีชาตุ-1 ไป 40 กิโลเมตรเจาะถึงความลึกสุดท้าย 7,907 ฟุต เพื่อหาหินปูนยุคเพอร์เมียนในโครงสร้างรูปประทุนคว่ำบุคคลาสโซอิซึ่น พบรหินปูนเพอร์เมียนจากความลึก 6,950 ฟุตถึง 7,907 ฟุต มีก้าชโซว์ตลดดชั้นหินปูน แต่ต้องปิดหลุมทิ้งไป เพราะคุณภาพของหินกักเก็บไม่ดี

ຄຳປາວ-1

โครงสร้างของหลุมน้ำอยู่ห่างไปทางทิศเหนือของเขื่อนลำปาวตอนเหนือของจังหวัดกาฬสินธุ์ หลุมน้ำอยู่ห่างไปทางทิศใต้ของหลุมภูแล-1 40 กิโลเมตร เจ้าโดยบริษัท ไทย เชลล์ฯ ในปี ค.ศ.1993 เพื่อทดสอบ bright spot ที่เห็นบนผลการสำรวจ Seismic บนโครงสร้างแนวเขากันปูนเพอร์ เมียนที่มีถาวรแนวตะวันตกเฉียงเหนือ-ตะวันออกเฉียงใต้ พบรหินปูนยุคเพอร์เมียนช่วงความลึก 10,669-11,191 ฟต. ไม่พบสารประกอบไฮโดรคาร์บอนที่สำคัญเชิงปิโตรและสัลเฟตมีลักษณะเป็นหลุมแห้ง

กุณิราษฎร์

โครงการสร้างกุนิราษณ์รูปวารีแนวตะวันตกเฉียงเหนือ-ตะวันออกเฉียงใต้ เป็นโครงสร้างประทุนค่าว่า (Anticline) อยู่ในพื้นที่อำเภอเขาวังจังหวัดกาฬสินธุ์ ระหว่างวิทยาผิดนิจนั้นแผ่นที่มีงอกกว่าบริเวณนี้ประกอบไปด้วยหินชุดภูกระดึงอยู่ต่อนกลางล้อมรอบด้วยหินทรายกัดกร่อนชุดพระวิหาร หลุ่มกุนิราษณ์-1 เจ้าโดยบริษัทไทยโนแคลฯ ในปี ก.ศ.1971 เป็นหลุมแรกระดับการสำรวจในภาคตะวันออกเฉียงเหนือถึงความลึกสุดท้าย 11,010 ฟุตลงไปในเยื่องตะกอนครึ่งเกือบม้าขุคไตรแอลสติกซึ่งประกอบด้วยหินตะกอนแม่น้ำสีแดง (ชุดหัวยินลาด) มีก้าชไขว้เล็กน้อย จึงเปิดหลุมและนับเป็นหลุมแห่ง

ชาตภูว (กุลพ)

โครงสร้างรูปประทุนคว่าภูวอยู่ห่างจากโครงสร้างภูพระไปทางทิศตะวันตกประมาณ 20 กิโลเมตร เป็นโครงสร้างหนึ่งที่ก่อกำเนินบนล้านขาภูพาน หลุนภูพ-1X เจาะสำรวจในปี ค.ศ.1984 ถึงความลึกสุดท้าย 7,905 ฟุต ในแผ่นรอยเดื่อนชัยมุม (thrust) ที่มีความเอียง (dip) ชั้นหินไปทางทิศตะวันออกเฉียงเหนือของหินปูนยุคเพอร์เมียน (หินชุดผานกเค้า) ซึ่งถูกปิดด้วยด้านบนด้วยหินชั้นสีแดง (Clastic rock) (ที่คาดว่ามีอายุอยู่ในยุคไทรแอสติก) ผลการสำรวจ Seismic ถูกวิเคราะห์ว่าทั้งโครงสร้างถูกทำให้โถงย้อนมุม ทำให้ยอดรออยโถงของโครงสร้างรูปประทุนชาตภูวไม่สมดุลย์ไม่พบปีโตรเลียม

ยางตลาด-1

โครงสร้างยางตลาด อยู่ในเขต♂อำเภอยางตลาดจังหวัดกาฬสินธุ์ริมแม่น้ำโขี้ราชเจ้าหลุนยางตลาด-1 ในปี ค.ศ.1983 ถึงความลึกสุดท้าย 14,000 ฟุต ได้แบ่งครึ่งเกือกมา มีหินตะกอนหัวหินตลาดอยู่มีหินพื้นฐาน (basement) เป็นหินแกรนิตหอยด้านล่าง ไม่พบหินปูนยุคเพอร์เมียน โครงสร้างนี้อยู่ลึกกว่าโครงสร้างน้ำพองและอยู่ห่างไปทางทิศตะวันออกเฉียงเหนือของประเทศไทย ประมาณ 100 กิโลเมตร

ตารางที่ 7.2 สรุปผลการเจาะปีโตรเลียมในภาคตะวันออกเฉียงเหนือของประเทศไทย

หุบ Well	ผู้รับ สัปทาน Operator	ตำแหน่ง Location	ระดับเหนือน้ำ ทะเล Elevation above MSL	วันเริ่มเจาะ/วัน เสร็จสิ้น (จำนวน วัน) Spud/Complete Date (Total days)	ความลึกสุดท้าย และอายุหินที่มี ความลึกสุดท้าย Total Depth & Age at TD	หมายเหตุ การพบปีโตรเลียม การ ทดสอบอัตราการไหล Remarks, Shows, Test
ฤทธิโนราษณ์-1 Kuchinarai-1	Union Oil	Lat: $16^{\circ} 42' 36''$ N Long: $104^{\circ} 04' 04''$ E X= 613 909 E Y= 1 847 639 N	GL = 587 Ft KB = 603 Ft	13 November 71 17 April 72 (157 Days)	11,010 Ft Late Triassic	เป็นหุบแห้ง ปีกหุบดาวร (สะหุบ) ไม่พบแก๊สที่สำคัญใด ๆ Dry, plugged and abandoned, no significant gas shows.
นำฟอง -1A Nam Phong-1A	Esso Khorat	Lat: $16^{\circ} 40' 38''$ N Long: $102^{\circ} 46' 22''$ E X= 475 822 E Y= 1 843 619 N	GL = 640 Ft KB = 622 Ft	12 April 81 15 February 82 (309 Days)	13,471 Ft Permian	พบแก๊ซธรรมชาติคลองอัตราการไหล Discovery 10,220' - 10,245' test gas 27.6 MMcf/d 10,778' - 10,880' test gas 9.7 MMcf/d water 100-500BPD 11,386' - 11,411' test gas 1.8 MMcf/d

หลุม Well	ผู้รับ สัปทาน Operator	ตำแหน่ง Location	ระดับเห็นน้ำ ทະเด Elevation above MSL	วันเริ่มเจาะ/วัน เสร็จดัน (จำนวน วัน) Spud/Complete Date (Total days)	ความลึกศูนย์ท้าข และอายุหินที่มี ความลึกศูนย์ท้าข Total Depth & Age at TD	หมายเหตุ การพบปีไอเครื่อง กาก ทดสอบอัตราการไหล Remarks, Shows, Test
ชอนบاث-1 Chonnabot-1	Esso Khorat	Lat: $15^{\circ} 52' 49''$ N Long: $102^{\circ} 26' 35''$ E X= 440 383 E Y= 1 757 203 N	GL = 697 Ft KB = 719 Ft	27 February 82 22 September 82 (219 Days)	11,814 Ft Permian	ปิดอุบการณ์ก้าชั่งขึ้นมาเมื่อวาน ล็อก Plugged and abandoned Gas kicks ; 4,677 Ft 10,707 Ft 11,814 Ft
เกษตรสมบูรณ์-1 Kaset Sombun-1	Esso Khorat	Lat: $16^{\circ} 12' 30''$ N Long: $101^{\circ} 55' 43''$ E X= 385 485 E Y= 1 792 085 N	GL = 823 Ft KB = 845 Ft	14 October 82 11 December 83 (81 Days)	7,707 Ft Pre-Permian	หลุมแห้ง ปิดอุบดาว ไม่พบ ปีไอเครื่อง Dry, plugged and abandoned, no significant shows
ยางตลาด-1 Yang Talat-1	Esso Khorat	Lat: $16^{\circ} 19' 47''$ N Long: $103^{\circ} 24' 49''$ E X= 544 162 E Y= 1 805 294 N	GL = 479 Ft KB = 501 Ft	14 February 83 1 July 83 (138 Days)	14,038 Ft Lower Carboni-ferous granite	หลุมแห้ง ปิดอุบดาว ไม่พบ ปีไอเครื่อง Dry, plugged and abandoned, no significant shows
ภูส่อง-1 Phu Horm-1	Esso Udon	Lat: $17^{\circ} 09' 38''$ N Long: $102^{\circ} 42' 47''$ E X= 469 494 E Y= 1 897 192 N	GL = 1,728 Ft KB = 1,750 Ft	4 February 83 28 June 83 (145 Days)	12,557 Ft Upper Carboni-ferous	พบก้าชธรรมชาติทดสอบอัตราการ ไหลวันละ 4 ล้าน กบ.ท.ต. Discovery Test 4 MMcf/d
ศรีชาติ-1 Si That-1	Esso Udon	Lat: $17^{\circ} 06' 33''$ N Long: $103^{\circ} 14' 47''$ E X= 526 215 E Y= 1 691 484 N	GL = 774 Ft KB = 796 Ft	9 July 83 30 December 83 (184 Days)	13,316 Ft Permian	ไม่มีปีไอเครื่องพัฒนามีการ ทดสอบอัตราการไหลให้ด้านในหลอด Plugged and abandoned 7,868' - 7,788' test 2692 BPD water 9,842' - 9,863' test 2219 BPD water 10,045' - 10,140' test 3818 BPD water
นำฟ่อง-2 Nam Phong-2	Esso Khorat	Lat: $16^{\circ} 41' 57''$ N Long: $102^{\circ} 45' 56''$ E X= 474 910 E Y= 1 846 176 N	GL = 573 Ft KB = 595 Ft	11 July 83 9 December 83 (189 Days)	13,035 Ft Permian	พบก้าชธรรมชาติทดสอบอัตราการ ไหลคือ Discovery 9,665' - 10,183' LTPT 17.7 MMcf/d 11,544' - 11,773' test gas 30 MMcf/d
ภูพระ-1 Phu Phra-1	Esso Udon	Lat: $17^{\circ} 14' 24''$ N Long: $103^{\circ} 50' 43''$ E X= 589 854 E Y= 1 906 143 N	GL = 1,137 Ft KB = 1,159 Ft	7 January 84 8 March 84 (62 Days)	8,760 Ft Permo-Triassic	ปิดอุบดาว (สลดอุบ) มีก้าชไขว้ เดือนก่อน Plugged and abandoned Gas shows

ห้อง Well	ผู้รับ สัปทาน Operator	ตำแหน่ง Location	ระดับเหนือน้ำ Elevation above MSL	วันเริ่มงาน/วัน เสร็จสิ้น (จำนวน วัน) Spud/Complete Date (Total days)	ความลึกศุภท้าย และอายุหินที่มี ความลึกศุภท้าย Total Depth & Age at TD	หมายเหตุ การพบปีໄຕเมือง การ ทดสอบอัตราการไหล Remarks, Shows, Test
โนนสูง-1 Non Sung-1	Esso Sakon	Lat: 16° 02' 37" N Long: 104° 35' 35" E X= 456 457 E Y= 1 773 668 N	GL = 501 Ft KB = 523 Ft	7 June 84 11 November 84 (157 Days)	15,000 Ft Permian	ไม่พบปีໄຕเมืองที่สำคัญ ปีค่าหุ้น ดาวร (สีละหมูม) Plugged and abandoned No significant shows
ภูช่อง-2 Phu Horm-2	Esso Udon	Lat: 17° 09' 19" N Long: 102° 43' 45" E X= 471 186 E Y= 1 896 612 N	GL = 1,312 Ft KB = 1,342 Ft	9 March 89 6 July 89 (119 Days)	11,998 Ft Permian	ปีค่าหุ้นดาวร ทดสอบอัตราการไหล มีก๊าซเหลืองข้อ ^ช Plugged and abandoned 8,530' - 8,818' test gas 0 Kcf/d 9,635' - 10,462' test gas < 1 Kcf/d 10,579' - 11,879' test gas 56Kcf/d
นำพอง-3 Nam Phong-3	Esso Khorat	Lat: 16° 39' 22" N Long: 102° 46' 43" E X= 478 382 E Y= 1 841 397 N	GL = 572 Ft KB = 603 Ft	15 July 89 10 November 89 (118 Days)	11,715 Ft Permian	พบก๊าซธรรมชาติเชิงพาณิชย์ ทดสอบอัตราการไหล ^ช 10,130' - 10,590' test gas 16.5 MMcf/d 10,650' - 10,670' test gas 1.5 MMcf/d , water 40BPD 10,650' - 10,798' test gas 3.8 MMcf/d , water 250BPD 10,738' - 10,798' test gas 5.7 MMcf/d , water 525BPD 10,853' - 11,049' test gas 1.4 MMcf/d , water 50BPD 10,853' - 11,570' test gas 4.1 MMcf/d , water 450BPD
นำพอง-4 Nam Phong-4	Esso Khorat	Lat: 16° 41' 32" N Long: 102° 46' 28" E X= 262 704 E Y= 1 846 683 N	GL = 585 Ft KB = 616 Ft	16 November 89 13 February 90 (90 Days)	12,288 Ft Permian	พบก๊าซธรรมชาติ ทดสอบอัตราการ ไหล อัตราการไหลลดลงอย่าง รวดเร็ว ในมีส่วนรอดูเชิงพาณิชย์ จึงปีค่าหุ้นดาวร Discovery 9,406' - 10,043' test gas 29.4 MMcf/d 10,633' - 10,535' test gas 0.17 MMcf/d 11,128' - 11,154' test water 350BPD 11,867' - 11,973' test gas 0.03 MMcf/d, water 2200BPD

អតុន Well	ផ្សេងៗ តំបន់ Operator	តំបន់ Location	រាល់បន្ទីនៅ ខាងតែ Elevation above MSL	វាន់រំលែក/វាន់ ឡើចិន (ចាំរាម សប្តាហិរញ្ញវត្ថុ) Spud/Complete Date (Total days)	គម្រោងតុកដាក់ និងអាយុទីនៃ គម្រោងតុកដាក់ Total Depth & Age at TD	អមាយហេតុ ការពារបិទ្ធនិយោក ការ កគសូបិទ្ធបារាង អាគត Remarks, Shows, Test
គងមុក-1 Dong Mun-1	Esso Khorat	Lat: $16^{\circ} 47' 37''$ N Long: $103^{\circ} 11' 52''$ E X= 307 967 E Y= 1 857 445 N	GL = 801 Ft KB = 832 Ft	18 February 90 12 May 90 (83 Days)	11,400 Ft Permian	បងក៉ាខរនមាតិតឹកនីយោក មិការ កគសូបិទ្ធបារាង អាគត និង អាគត ឯកអូមាណារ 8,876' - 9,180' test 10 MMcf/d decline 9,321' - 9,452' test 0.27 MMcf/d 26BWPD-both rates declining 9,669' - 9,870' test 0 MMcf/d 10,255' - 10,310' test 0 MMcf/d Extended test: 8,876' - 9,180' test 4.2 MMcf/d 4.8 BWPD-both rates declining
គងមុក-2 Dong Mun-2	Esso Khorat	Lat: $16^{\circ} 45' 42''$ N Long: $103^{\circ} 18' 27''$ E X= 319 633 E Y= 1 853 798 N	GL = 721 Ft KB = 752 Ft	17 May 90 8 August 90 (83 Days)	11,990 Ft Pre-Permian	បងក៉ាខរនមាតិតឹកនីយោក មិការ កគសូបិទ្ធបារាង អាគត និង អាគត ឯកអូមាណារ 9,064' - 9,456' test gas 0.13 MMcf/d water 1,614 BPD 9,557' - 10,000' test water 2,264BPD 9,988' - 10,000' test water 1,293BPD 10,300' - 10,432' test water 874BPD
ភុកកោ-1 Phu Kao-1	Esso Khorat	Lat: $16^{\circ} 59' 36''$ N Long: $102^{\circ} 33' 03''$ E X= 239 250 E Y= 1 880 304 N	GL = 711 Ft KB = 742 Ft	13 August 90 20 September 90 (38 Days)	8,350 Ft Permian	អតុនឡៅ ឯកអូមាណារ Dry, plugged and abandoned, no significant shows
ណាមោង-5 Nam Phong-5	Esso Khorat	Lat: $16^{\circ} 37' 31''$ N Long: $102^{\circ} 46' 19''$ E X= 262 342 E Y= 1 839 277 N	GL = 623 Ft KB = 654 Ft	20 September 90 21 December 90 (88 Days)	12,013 Ft Permian	អតុនឡៅ (ខ្លួន) Wet, plugged and abandoned
ណាមោង-6 Nam Phong-6	Esso Khorat	Lat: $16^{\circ} 40' 38''$ N Long: $102^{\circ} 45' 16''$ E X= 260 552 E Y= 1 845 047 N	GL = 637 Ft KB = 668 Ft	24 December 90 17 April 91 (115 Days)	11,635 Ft Permian	បងក៉ាខរនមាតិចិងបានិមិច្ឆ័យ កគសូបិទ្ធបារាង អាគត 10,050' - 10,143' test gas 14 MMcf/d water 101 BPD 10,126' - 10,721' test water 20 MMcf/d

ห้อง Well	ผู้รับ สั่งท่าน Operator	ตำแหน่ง Location	ระดับหนึ่งอ่น ทะเล Elevation above MSL	วันเริ่มงาน/วัน เสร็จสิ้น (จำนวน วัน) Spud/Complete Date (Total days)	ความลึกตื้ดท้ำบ และอายุหินที่มี ความลึกตื้ดท้ำบ Total Depth & Age at TD	หมายเหตุ การพบปีໄครเดือน ก้า ทดสอบอัตราการไหล Remarks, Shows, Test
ด้าวเรือง- Dao Ruang-1	Texaco	Lat: $16^{\circ} 27' 20''$ N Long: $102^{\circ} 10' 42''$ E X= 198 737 E Y= 1 821 284 N	GL = 678 Ft KB = 695 Ft	4 April 93 9 August 93 (127 Days)	7,950 Ft Permian	พบก๊าซธรรมชาติก่อสนับดูราก ไหล ก๊าซไม่มีสมรรถนะเชิงพาณิชย์ชั้นปีค หลุน $4,850'$ - $5,073'$ test gas 0.15 MMcf/d $5,750'$ - $5,775'$ test gas 0.07 MMcf/d $7,010'$ - $7,130'$ test gas 0.13 MMcf/d $7,725'$ - $7,810'$ test gas 0 MMcf/d
ภูลพ-1X Phu Lop-1X	Total Khorat	Lat: $17^{\circ} 11' 48''$ N Long: $103^{\circ} 34' 04''$ E X= 347 707 E Y= 1 901 711 N	GL = 700 Ft KB = 730 Ft	13 May 93 15 July 93 (65 Days)	7,907 Ft Permian	หลุมแห้ง ไม่พบปีໄครเดือน Dry, plugged and abandoned, no significant shows
คำป่าหาดใหญ่-1 Kham Palai-1	Unocal	Lat: $16^{\circ} 43' 35''$ N Long: $104^{\circ} 39' 30''$ E X= 463 584 E Y= 1 849 170 N	GL = 586 Ft KB = 618 Ft	24 June 93 3 September 93 (72 Days)	8,927 Ft Triassic	หลุมแห้ง ไม่พบปีໄครเดือน Dry, plugged and abandoned, no significant shows
คำป่าฯ-1 Lam Pao-1	Thai Shell	Lat: $16^{\circ} 50' 34''$ N Long: $103^{\circ} 35' 19''$ E X= 349 639 E Y= 1 862 554 N	GL = 548 Ft KB = 578 Ft	23 July 93 6 October 93 (75 Days)	11,191 Ft Permian	หลุมแห้ง ไม่พบปีໄครเดือน Dry, plugged and abandoned, no significant shows
สกอด-1 Sakon-1	Unocal	Lat: $17^{\circ} 16' 06''$ N Long: $104^{\circ} 03' 18''$ E X= 399 565 E Y= 1 909 332 N	GL = 529 Ft KB = 561 Ft	13 September 93 16 December 93 (105 Days)	12,552 Ft Triassic	หลุมแห้ง ไม่พบปีໄครเดือน Dry, plugged and abandoned, no significant shows
ห้วยมูก-1 Huai Muk-1	Unocal	Lat: $16^{\circ} 36' 10''$ N Long: $104^{\circ} 36' 11''$ E X= 457 665 E Y= 1 835 508 N	GL = 524 Ft KB = 556 Ft	23 December 93 11 March 94 (105 Days)	9,000 Ft Triassic	มีก๊าซไขว์แต่ไม่มีสมรรถนะเชิง พาณิชย์ มีก๊าซทกสอบดูราก แต่ไม่มีสมรรถนะเชิงพาณิชย์ Dry, plugged and abandoned, no significant shows

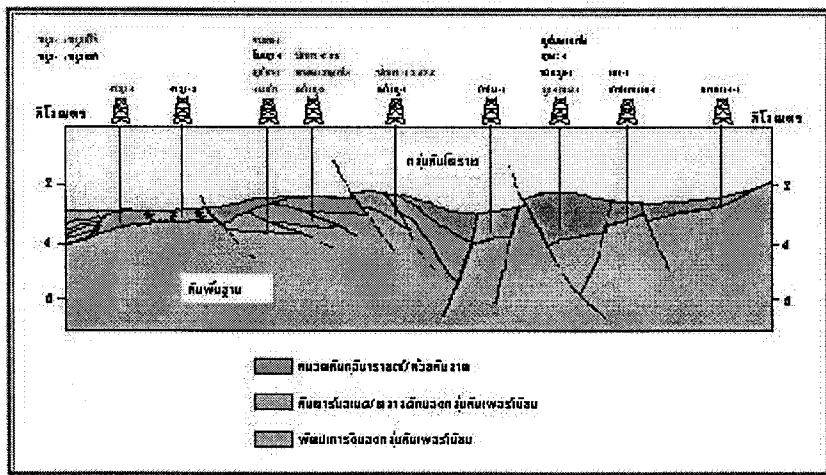
หุ่ม Well	ผู้รับสัปทาน Operator	ตำแหน่ง Location	ระดับเหนือน้ำ Elevation above MSL	วันเริ่มเจาะ/วันเสร็จสิ้น (จำนวนวัน) Spud/Complete Date (Total days)	ความลึกสุดท้าย และอายุหินที่มีความลึกสุดท้าย Total Depth & Age at TD	หมายเหตุ การพบปิโตรเลียม การทดสอบอัตราการไหล Remarks, Shows, Test
มุกดาหาร-1 Mukdahan-1	Unocal	Lat: $16^{\circ} 36' 48''$ N Long: $104^{\circ} 32' 41''$ E X= 451 47 E Y= 1 836 688 N	GL = 521 Ft KB = 553 Ft	25 April 94 18 June 94 (78 Days)	7,515 Ft Triassic	มีก๊าซทัดออกอัตราการไหลแต่ไม่มีสารระดับเชิงพาณิชย์ Discovery 5,776' - 6,649' test gas 0MMcf/d Dry, plugged and abandoned

ตารางที่ 7.3 เป้าหมายการเจาะสำรวจและผลการเจาะสำรวจปิโตรเลียมในภาคตะวันออกเฉียงเหนือ

Well	Primary Objective	Secondary Objective	Prospects	Results
Kuchinrai-1	Permian carbonate	Khorat clastics	NW-SE trending Kuchinrai anticline	No Permian carbonate, but Triassic redbeds.
Nam Phong-1A	1) Permian carbonate 2) Basal Korat clastics	Phu Kradung sandstone	N-S trending Nam Phong anticline coincident with Permo-Triassic paleo-anticline structure	Gas=28MMcf/d from fractured Permian dolomite. TD at carboniferous volcanic.
Chonnabot-1	1) Permian carbonate 2) Basal Korat clastics	1) Phra Wihan sandstone 2) Phu Kradung sandstone	N-S trending Chonnabot anticline	Loss circulation in limestone at TD. High pressure gas kick from base Khorat. Gas show from Phu Kradung sandstone.
Kaset Sombun-1	Permian carbonate reef	-	Reef buildup coincident with NE-SW trending Kaset Sombun snticline	No reef found and only the lower part of Permian carbonate present.
Yang Talat-1	1) Permian carbonate 2) Triassic clastics	Basalt Khorat clastics	Wedge-shaped stratigraphic trap (Pinch-out)	No Permian sequences, but Triassic red conglomerates.
Phu Horm-1	Permian carbonate	Basalt Khorat clastics	Tertiary anticline coincident with a Permian paleostructure	Gas=4 MMcf/d from fractured Permian dolomite.
Si That-1	Permian carbonate	-	NW-SE Si That anticline coincident with Permo-Triassic paleo-anticline structure	Penetrated Permian carbonates with good fractures, but the well is too low down-dip.
Nam Phong-2	Permian carbonate	Basalt Khorat clastics	N-S trending Nam Phong anticline coincident with Permo-Triassic paleo-anticline structure	Gas=17.7 MMcf/d from fractured Permian carbonate.
Phu Phra-1	Basal Korat clastics	1) Triassic clastics 2) Phu Kradung sandstone	NW-SE trending Phu Phra anticline	Gas show in Phu Kradung sandstone. Thick Triassic lacustrine sequence. TOC=1.2-3.7% but no reservoir rocks.
Non Sung-1	Permian carbonate	1) Upper Permian clastics 2) Triassic clastics 3) Basal Korat clastics	NW-SE Non Sung anticline	Penetrate Triassic, Permian clastics and carbonate, but tight.
Phu Horm-2	Permian dolomite	Basalt Khorat clastics	NW-SE Phu Horm anticline coincident with a Permian paleo high	Found Permian tight limestone. No dolomite.

Well	Primary Objective	Secondary Objective	Prospects	Results
Dong Mun-1	Permian reef	-	Structural high with reef form on platform margin	Gas=10 MMcf/d from Permian algal reef. Gas show in Phra Wihan / Phu Kradung sandstone and Khorat Basalt clastics.
Dong Mun-2	Permian reef	-	Structural high with reef form on platform margin	Water bearing. Good reservoir quality.
Phu Kao-1	Permian clastics	-	N-S trending Phu Kao anticline	Gas show. No reservoir quality section.
Dao Ruang-1	Permian carbonate	Triassic clastics	Structural stratigraphic trap, paleo-structural high	Non - reservoir quality section.
Phu Lop-IX	Permian carbonate	-	Permo-Triassic thrust- related anticline	Non - reservoir quality section.
Kham Palai-1	Permian carbonate	-	Large structure stratigraphic trap, N-S anticline rollover and E-W stratigraphic onlap / truncation, buried anticline	No Permian sections were encountered. TOC less than 1%. RO 1.1-1.3. TAI 3+-4 indicated overmature.
Lam Pao-1	Permian carbonate	-	Dip and fault-closed structure	No effective reservoir in Permian massive carbonate and no effective seal in upper Permian clastics.
Sakon-1	Permian carbonate	-	Buried hill	No Permian sections were encountered, but Triassic redbeds.
Huai Muk-1	Permian carbonate	Triassic clastics	Inversed structural anticline	No Permian sections were encountered, but Triassic redbeds.
Mukdahan-1	Triassic clastics	-	Inversed structural anticline	Gas show in Triassic sandstone.

รูปแบบโครงสร้างปิโตรลิฟฟิคในภาคตะวันออกเฉียงเหนือ



รูปที่ 7.10 รูปแบบโครงสร้างปิโตรลิฟฟิคในภาคตะวันออกเฉียงเหนือ

บทที่ 8

ศักยภาพทางปีโตรเลียม

8.1 อัตราความเสี่ยงในการสำรวจ

8.1.1 การวิเคราะห์ความเสี่ยงในการสำรวจ

จากโครงสร้างทั้งหมด 54 แห่งที่ปรากฏในรูปที่ 8.1 สามารถทำการประเมินอัตราการเสี่ยงในการสำรวจได้ 3 กลุ่มคือ กลุ่มที่ประสบความสำเร็จในการสำรวจ กลุ่มที่ไม่ประสบความสำเร็จ และ กลุ่มที่ยังไม่มีการทดสอบ

กลุ่มที่ประสบความสำเร็จประกอบไปด้วยโครงสร้างน้ำพองและภูมิป่า กลุ่มที่ไม่ประสบผลสำเร็จนี้ 14 โครงสร้าง กลุ่มนี้ยังไม่มีการทดสอบมี 38 โครงสร้าง

ตัวประกอบอัตราเสี่ยงแต่ละกลุ่มสรุปวิเคราะห์ไว้ในตารางที่ 8.1, 8.2, และ 8.3

การประเมินอัตราเสี่ยงของการสำรวจกลุ่มที่ประสบความสำเร็จ

โครงสร้างน้ำพองเป็นแหล่งก๊าซที่มีสมรรถนะเชิงพาณิชย์และได้ผลิตก๊าซธรรมชาติตั้งแต่ปี พ.ศ. 2533 (ค.ศ. 1990) จนถึงปัจจุบัน โครงสร้างแหล่งภูมิป่า ภาคว่าจะมีสมรรถนะเชิงพาณิชย์ เช่นเดียวกัน แต่ยังไม่มีการผลิต ขณะนี้บริษัท Amerada Hess กำลังเจาะหลุมประเมินผลเพื่อยืนยันปริมาณ สำรองก๊าซและจะพัฒนาแหล่งก๊าซต่อไป อัตราเสี่ยงโดยรวมของสองโครงสร้างนี้มีค่าเท่ากับ 0.07 ดังแสดงในตาราง 8.1

การประเมินอัตราเสี่ยงของการสำรวจของกลุ่มที่ไม่ประสบผลสำเร็จ

ถึงแม้ว่าองค์ประกอบส่วนใหญ่ที่แสดงในตาราง 8.2 มีความเป็นไปได้ค่อนข้างสูง แต่ไม่มี หินกั้กเก็บที่เป็นหินปูนยุคเบอร์เมียน ซึ่งเป็นเป้าหมายหลักของหุ่น กุนินารายณ์-1 ชนบท-1 ยางตลาด-1 ภูลพ-1 สะกอล-1 และหัวบุก-1 และการขาดการกักเก็บที่ดี (Seal) ในหุ่นลำปาว-1 ฉะนั้นจึงทำให้ผลคุณ ความเป็นไปได้รวมออกมาเป็นศูนย์ เพราะองค์ประกอบของหินกั้กเก็บกับการปิดกั้นปีโตรเลียมที่ดีมี ความเป็นไปได้เป็นศูนย์

การประเมินอัตราเสี่ยงในการสำรวจของโครงสร้างที่ยังไม่มีการทดสอบ

ปัญหาที่สำคัญของการสำรวจปีโตรเลียมในภาคตะวันออกเฉียงเหนือของประเทศไทย คือ ไม่มีหินกั้กเก็บหรือมีหินกั้กเก็บคุณภาพดีโดยเฉพาะหินปูนยุคเบอร์เมียน

ลักษณะและคุณสมบัติของเหล่งปิโตรเลียมและคุณสมบัติของหินกั้กเก็บหินปูนยุคเบอร์มีน สามารถสรุปได้ดังแสดงในตาราง 8.3

1. มีค่าความพรุนและการไอล่อ่านได้ (porosity & permeability) น้อย เป็นที่ทราบกันโดยทั่วไปแล้วมีค่าความพรุนอยู่ระหว่าง 0-18% เนลี่ยมล่าเวร์ปะร์มาณ 4%
2. หินปูนเหล่านี้ถูกฝังอยู่ในระดับลึกมีลักษณะเป็นตะปูนตะป่าหลากหันและถูกกัดกร่อนอย่างมาก
3. การไอล่อ่านได้ของหินปูนเหล่านี้ดูเหมือนจะมีไดก์ต่อเมื่อมีรอยแตกเล็ก ๆ ในชั้นหินหินชุดโคราชและหินดินเหนียวทະเลสาบยุคไทรแอสติกดูจะเป็นหินปิดกันที่ใช้ได้ถึงขั้นดี เป็นเหตุให้ความเป็นไปได้ (อัตราเสี่ยง) รวมของโครงสร้างที่ยังไม่มีการเจาะเป็น 0.05 หรือ 5% (ตาราง 8.3) อย่างไรก็ตามมีการเจาะหลุมสำรวจทั้งหมดประมาณ 20 หลุมในบริเวณนี้และพบเหล่งก้าชธรรมชาติเพียงสองแหล่งคือ แหล่งก้าชน้ำพองและแหล่งก้าชภูอยู่ต่ำกว่าระดับผิวน้ำเพียง 10%

ตาราง 8.1 อัตราเสี่ยงของเหล่งที่ประสบผลสำเร็จ

1. Trap, closure	0.8	ลำดับชั้นหินที่หนาสลับกันระหว่างหินทรายและหินดินดานชุดโคราช สามารถเป็นหินปิดกันที่ดีต่อหินกั้กเก็บยุคก่อนหินชุดโคราชที่เป็นรูปโฉมอยู่ด้านล่างของหินชุดโคราช
2. Reservoir, porosity	0.2	หินทรายและหินกรวดชุดหัวยหินลาดและหินปูนชุดพาณกเด้มีรอยแตกและการเปลี่ยนเป็นหินโดโลไมท์แสดงให้เห็นว่าเป็นหินกั้กเก็บที่ดี
3. Source, migration	0.7	หินดินดานทะเลที่แทรกสลับอยู่ในแหล่งหินกั้กเก็บชุดพาณกเด้ม เป็นลักษณะหินกำเนิดที่ดี
4. Seal	0.8	หินกลุ่มต่อนล่างของชุดโคราช หน่วยน้ำพอง และภูกระดึง ประกอบด้วยหินชั้นเนื้อแน่นที่ถูกอัดตันด้วยหินเนื้อดินและหินดินเหนียวเป็นตัวปิดกักที่ดี
5. Timing	0.8	การเกิดและการไอล่อ่านจากหินดันกำเนิดยุคเบอร์มีน ถูกคิดว่าเกิดขึ้นในหินหน่วยหัวยหินลาดที่ตอกตะกอนในปลายยุคไทรแอสติก (Kozaret al. 1992)
อัตราเสี่ยงรวม Overall Exp.Risk	0.07	

ตาราง 8.2 อัตราเสี่ยงของแหล่งที่ไม่ประสบผลสำเร็จ

1. Trap, closure	0.8	มีแบบปิดกันและล้อมรอบโครงสร้างปราภูมิให้เห็นหลายรูปแบบ
2. Reservoir, porosity	0.0	ไม่มีความพรุนและหินกักเก็บที่ดีปราภูมิ
3. Source, migration	0.7	มีพินตันกำเนิดที่ดีปานกลางถึงดีมากจากหินหน่วยหัวยหินลาดและหินยุคเบอร์เมียน
4. Seal	0.7	หินตะกอนทะเลสาบที่แพร่หลาข่ายอย่างกว้างขวางของหินส่วนล่างสุดของหินชุดน้ำพอง เชื่อว่าจะเป็นตัวปิดกันสำหรับการสะสมตัวของไฮโดรคาร์บอนที่ดีพอสมควรในบริเวณนี้
5. Timing	0.8	ช่วงการเคลื่อนที่มารวนกัน (หรือช่วงที่เกิด) ของไฮโดรคาร์บอนสูงสุดของหินตันกำเนิดยุคเบอร์เมียนถูกวิเคราะห์ว่าได้เกิดขึ้นจากผลของการกอนหัวยหินลาดในยุคไทรแอสติกตอนปลาย (Kozaret el., 1992)
อัตราเสี่ยงรวม Overall Exp.Risk	0	ผลคูณของตัวประกอนแต่ละตัวที่มีศูนย์อยู่ตัวหนึ่งทำให้อัตราเสี่ยงรวมเป็นศูนย์คือ ไม่มีโอกาสพบแหล่งปิโตรเลียมที่มีสมรรถนะเชิงพาณิชย์เลย

ตาราง 8.3 อัตราเสี่ยงของโครงสร้างที่ยังไม่ได้ทดสอบ

1. Trap, closure	0.8	มีแบบปิดกันหลายรูปแบบเกิดขึ้นให้เห็น
2. Reservoir, porosity	0.2	อาจมีหินที่มีความพรุนและเป็นหินกักเก็บที่ดีปราภูมิอย่างน้อย 20
3. Source, migration	0.7	หินหน่วยตอนบนของตะกอนทะเลน้ำตื้นยุคพาลีโอโซอิกและหินตะกอนทะเลสาบชุดก่อนหินชุดไฮดรากลูกิเคราะห์ว่าเป็นหินกำเนิดเมืองตันที่ดี
4. Seal	0.5	ลำดับหินตะกอนทะเลสาบส่วนล่างสุดของหินชุดน้ำพองเชื่อว่าเหมาะสมจะเป็นตัวปิดกันสำหรับการสะสมตัวของปิโตรเลียมที่ดีในบริเวณนี้

5. Timing	0.8	การปิดกันเกิดขึ้นก่อนการเคลื่อนตัวมาสะสมกัน เกิดการกักเก็บที่ได้ในโครงสร้างรูปประทุนในที่ราบสูงโคราชเกิดขึ้นในยุคคริเตเชียสตอนปลายถึงเทอร์เชียร์ตอนต้น (สัตยารักษ์, 1997)
อัตราเสี่ยงรวม Overall Exp.Risk	0.05	อัตราเสี่ยงรวมร้อยละ 5 หมายถึงมีโอกาสพบปีโตรเลียมเชิงพาณิชย์ร้อยละ 5 ในโครงสร้างเหล่านี้

8.1.2 การวิเคราะห์เศรษฐศาสตร์ของอัตราเสี่ยงสำหรับ

ในการวิเคราะห์เศรษฐศาสตร์อัตราเสี่ยงสำหรับประกอบไปด้วยตัวประกอบ อัตราเสี่ยงโอกาสความเป็นไปได้ การกระจายตัวของปริมาณสำรองและสถิติการเกิดปีโตรเลียม กำไรที่คาดว่าจะได้จากแหล่งปีโตรเลียมขนาดเฉลี่ยที่มีโอกาสพบได้คร่าวมีการวิเคราะห์และประเมินผลอุปกรณ์และค่าของ การเจาะสำรวจและเงินลงทุนที่สัมพันธ์กับอัตราเสี่ยงกิจกรรมที่ต้องประเมินและวิเคราะห์เช่นเดียวกัน

เพื่อวิเคราะห์ห้ามขาดของแหล่งกักเก็บที่ควรจะพบในบริเวณนี้ได้ใช้การคำนวณขนาดแหล่งกักเก็บโดยวิธีทางสถิติแบบ Monte Carlo Simulation โดยใช้ซอฟแวร์ที่เรียกว่า FASPU ข้อมูลจากหุ่นสำรวจปีโตรเลียมมากกว่า 10 หลุมถูกป้อนเข้าคอมพิวเตอร์ ความเป็นไปได้ของปริมาณสำรองขนาดต่าง ๆ ผลปรากฏว่าปริมาณก้าชที่คาดว่าจะพบที่ความเป็นไปได้ร้อยละ 95 (P_{95}) ความเป็นไปได้ร้อยละ 50 (P_{50}) และความเป็นไปได้ร้อยละ 5 (P_5) มีค่าเป็น 61, 254 และ 1066 พันล้านลูกบาศก์ฟุตตามลำดับ ซึ่งค่าที่จะนำมาประเมินค่าทางเศรษฐศาสตร์จะเป็นค่ากลางคือที่ความเป็นไปได้ร้อยละ 50 (P_{50}) โดยสมมติราคา ก้าชที่ 2.52 ต่อล้านบีทบู และอัตราดอกเบี้ยร้อยละ 7.25 (Discounted Rate) ประเมินผลทางเศรษฐศาสตร์โดยใช้เทคนิคสถิติ Monte Carlo ภายใต้กฎหมายพระราชบัญญัติปีโตรเลียม Thailand III ได้ผลสรุปดังต่อไปนี้

ค่าความคาดหวังเฉลี่ย

1. ปริมาณสำรอง	239 Bcf (พันล้าน ลบ.ฟต)
2. ราคา ก้าช	2.52 US\$/MMBTU
3. อัตราดอกเบี้ย (Discounted Factor)	7.25%
4. อัตราคืนทุน IRR (Internal Rate of Return)	18%
5. กำไรที่จะได้รับ	57 MM\$ (ล้านดอลลาร์สหรัฐ)
6. ทุนเจาะสำรวจ 1 หลุม (@ 10% risk)	11 MM\$
7. ทุนทั้งหมดอย่างน้อย (for 10% risk)	110 MM\$

สรุปคือบริษัทที่จะมาสำรวจในภาคตะวันออกเฉียงเหนือของประเทศไทยจะต้องมีทุนอย่างน้อย 110 ล้านดอลลาร์สหรัฐและเจ้าสำรวจแต่ละหุ้นไม่เกิน 11 ล้านเหรียญจึงเหมาะสมที่จะลงทุน (ที่อัตราเสี่ยง 10%) และเมื่อสำรวจพบแหล่งก๊าซก็จะได้กำไรคืนทุนในอัตราเร็วๆ ภายใน 18

8.2 แหล่งปิโตรเลียมที่ยังไม่มีการก้นพน

เพื่อประเมินปริมาณแหล่งปิโตรเลียมที่ยังไม่มีการกันพนในภาคตะวันออกเฉียงเหนือของประเทศไทย ข้อมูลจากหุ้นสำรวจทั้งหมด 15 หุ้น คือหุ้น ชนบท-1 ดาวเรือง-1 เกษตรสมบูรณ์-1 ในน้ำสูง-1 น้ำพอง-1 น้ำพอง-2 น้ำพอง-3 น้ำพอง-4 น้ำพอง-5 น้ำพอง-6 ภูเขื่อน-1 ภูเก้า-1 ภูพระ-1 สดุด-1 ศรีราชา-1 และบางคล้าด-1 ถูกรวบรวมเพื่อใช้ในการวิเคราะห์

ข้อมูลที่มีอยู่ประกอบไปด้วยตัวแปรทางธรณีวิทยา ทางวิศวกรรมปิโตรเลียม เช่น พื้นที่แหล่งปิโตรเลียม ความหนาของแหล่งปิโตรเลียม สัดส่วนปิโตรเลียม ความพรุนของหิน ความดันเริ่มน้ำ แหล่งก๊าซ อุณหภูมิแหล่งก๊าซ อัตราส่วนก๊าซและน้ำมัน ตัวประกอบเบรลี่ยนปริมาตรและความคงตัวของก๊าซเป็นต้น ถูกป้อนเข้าไปในคอมพิวเตอร์เพื่อคำนวณปริมาณก๊าซธรรมชาติที่คาดว่าจะพนในบริเวณนี้ โดยใช้โปรแกรม (Software) ชื่อ FASPU (Fast Appraisal System for Petroleum University version) program ผลปรากฏออกมาว่าโอกาสที่จะพนปริมาณก๊าซ 61, 225 และ 1066 พันล้าน ลบ. ฟุตเป็นร้อยละ 95 (P_{95}), 50 (P_{50}) และ 5 (P_5) ซึ่งเป็นปริมาณน้อยสุด ปานกลาง และมากสุดตามลำดับ ตัวแปรทางธรณีวิทยาและทางวิศวกรรมปิโตรเลียมเหล่านี้แสดงไว้ในตาราง 8.4

ตาราง 8.4 สรุปตัวแปรทางธรณีวิทยาที่ใช้ในการคำนวณ

Input Parameter	Minimun	Most likely	Maximun
Resource (Gas : BCF)	61	255	1066
Area of closure ($\times 1000$ acres)	6.3	8.5	10
Thickness (ft)	30	100	250
Porosity (percent)	3.8	8.8	23
Trap fill (percent)	40	60	80
Depth ($\times 1000$ feet)	7	9	11
HC saturation (percent)	62	77	90

บทที่ 9

การทดลองให้ห้องปูนบดติการ

9.1 จุดประสงค์

จุดประสงค์ในการทดลองในห้องปูนบดติการคือวัดค่าความพรุน (porosity) และค่าซึมผ่านได้ (Permeability) ของตัวอย่างหินโดยใช้เครื่อง porosimeter และเครื่อง overburden poro-perm ตามลำดับ

9.2 การเก็บหินตัวอย่าง

หินตัวอย่างมากกว่า 30 ก้อนถูกสุ่มเก็บจากภาคสนามหลาย ๆ ท้องที่ที่เป็นเป้าหมายที่มีหินปรากฏให้เห็น (outcrops) เช่น จากจังหวัดสารบูรี ลพบุรี และเพชรบูรณ์ เป็นต้น หินปูนที่เป็นเป้าหมายทั้งหมดในบริเวณนี้เป็นหินปูนบุกเบอร์เมียน หินปูน Limestone ส่วนใหญ่เก็บจากจังหวัดเพชรบูรณ์ ขอนแก่น และสารบูรี โดยเฉพาะบริเวณที่เขาสามโภชน์ ส่วนหินปูน Dolomite เก็บจากหินโผล่บริเวณเขาสามโภชน์และโกลด์เคียงเท่านั้น รายละเอียดการเก็บหินตัวอย่างแสดงในตาราง 9.1

9.3 การเตรียมหินตัวอย่าง

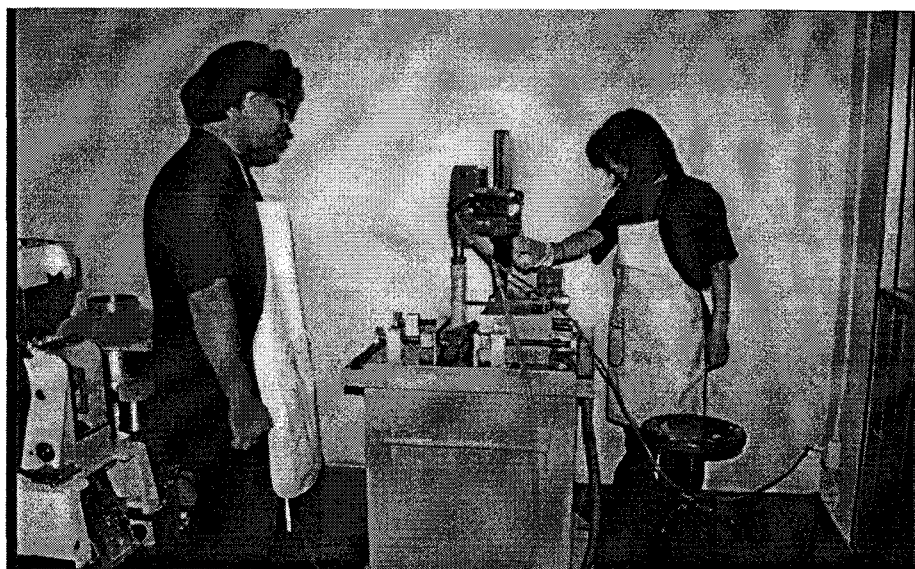
โดยใช้เครื่องเจาะหินตัวอย่าง (coring machine) เจาะเตรียมหินตัวอย่างให้อยู่ในรูปวงแหวนที่เหมาะสมในการวัดหาค่าต่าง ๆ ดังแสดงในรูป 9.1 รูปวงหินตัวอย่างเป็นทรงกระบอกยาว 2 นิ้ว และมีเส้นผ่าศูนย์กลาง 1.5 นิ้ว หินตัวอย่างเหล่านี้จะถูกอบในเตาอบอุณหภูมิประมาณ $50-60^{\circ}\text{C}$ เป็นเวลากว่า 24 ชั่วโมงหรือกระทั่งในหินตัวอย่างแห้งสนิท หินตัวอย่างบางส่วนแสดงให้เห็นในรูป 9.2

9.4 การวัดค่าความพรุน

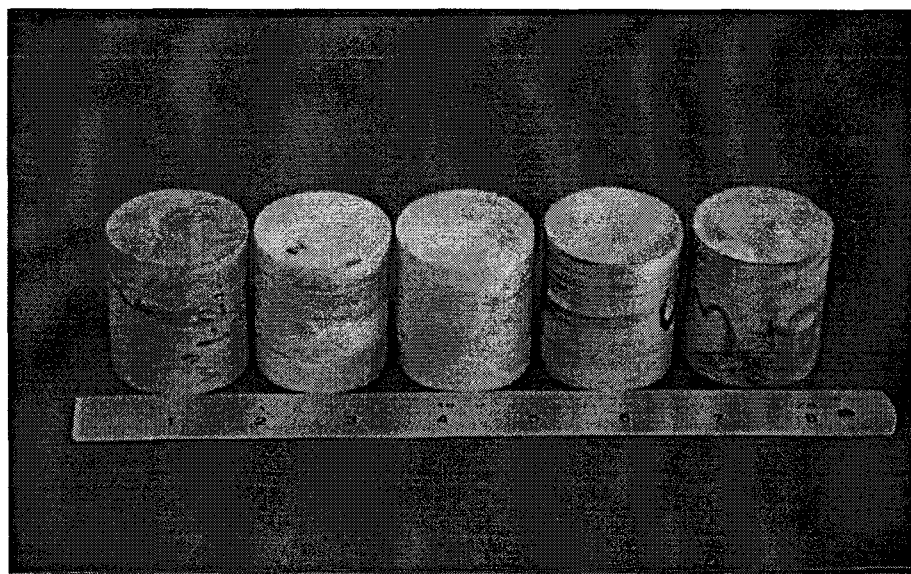
เครื่องมือ porosimeter เป็นเครื่องมือใช้วัดค่าความพรุนของหินตัวอย่าง ลักษณะเครื่องมือแสดงให้เห็นในรูป 9.3 การวัดค่าความพรุนจะต้องเกี่ยวพันกับการวัดคุณสมบัติทางฟิสิกส์ 3 อย่างคือ ปริมาตรเม็ดหิน ปริมาณรวม และปริมาณช่องว่างระหว่างเม็ดหิน ปริมาตรของเม็ดหินสามารถวัดได้จากการอัดก๊าซอีเลี่ยนเข้าไปช่องว่างของเม็ดหิน

ตาราง 9.1 ตำแหน่งและคำอธิบายลักษณะหินตัวอย่างจากสนาม

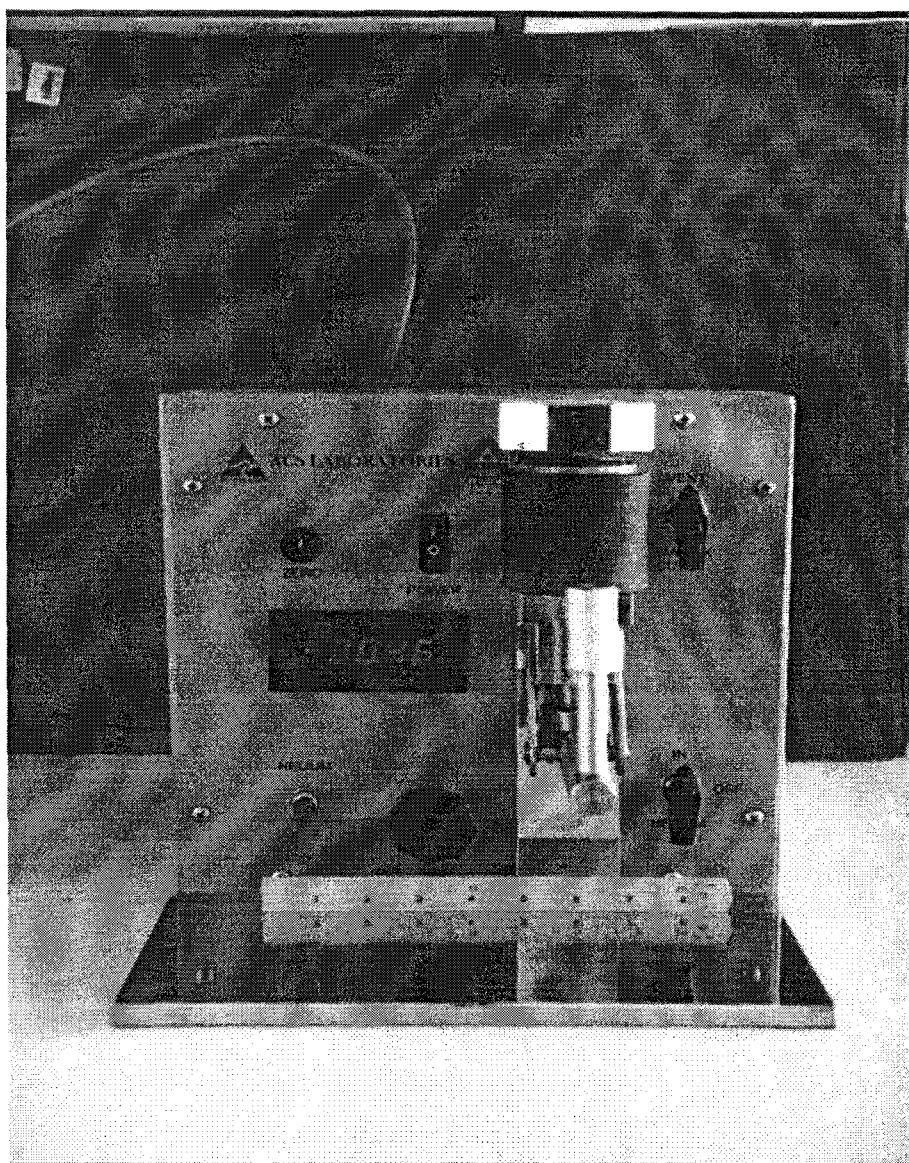
Collected Date	Stops	Outcrop	Field locations	Rock type	Fresh Color	Weathering Color
25/9/01	1	Road-cut	Kaeng Khoi, Saraburi province	Limestone	Dark Gray	Dark Gray
25/9/01	2	Mine	Khao Kho, Saraburi province	Limestone	Medium-Dark Gray	Light Gray
25/9/01	3	Mine	Kaeng Khoi, Saraburi province	Limestone	Dark Gray	Light Gray
25/9/01	4	Road-cut	Khao Kho, Saraburi province	Limestone	Light-Medium Gray	Light Gray
25/9/01	5	Mine	Khao Kho, Saraburi province	Limestone	Light Gray	Light Gray
25/9/01	6	Road-cut	Kaeng Khoi, Saraburi province	Limestone	Medium Gray	Light-Medium Gray
25/9/01	7	Road-cut	Muaklek, saraburi province	Limestone	Medium-Dark Gray	Light-Medium Gray
26/9/01	8	Mine	Pak Chong, Nakhon Ratchasima province	Limestone	Dark Gray	Medium Gray
26/9/01	9	Mine	Pak Chong, Nakhon Ratchasima province	Limestone	Medium Gray	Light-Medium Gray
26/9/01	10	Outcrop	Kaeng Khoi, Saraburi province	Limestone	Light Gray	Light Gray
29/9/01	11	Mine	Muang, Loei province	Limestone	Light Gray	Light Gray
29/9/01	12	Road-cut	Arawan, Loei province	Limestone	Medium Gray	Light Gray
29/9/01	13	Road-cut	78 km Chompae-Loamsak, Phetchabun province	Limestone	Light Gray	Light Gray
29/9/01	14	Road-cut	39 km Chompae-Loamsak, Phetchabun province	Limestone	Dark Gray	Dark Gray
30/9/01	15	Mine	Khao Somposhn, Chaibadal, Lopburi	Limestone	Light-Medium Gray	Light Gray
30/9/01	16	Outcrop	Muaklek, saraburi province	Limestone	Dark Gray	Dark Gray
30/9/01	17	Outcrop	Muaklek, saraburi province	Limestone	Light Gray	Light Gray



รูป 9.1 เครื่องเจาะหินตัวอย่าง (Coring Machine)



รูป 9.2 หินตัวอย่างรูปทรงกระบอก เส้นผ่าศูนย์กลาง 1.5 นิ้ว ยาว 1 นิ้ว

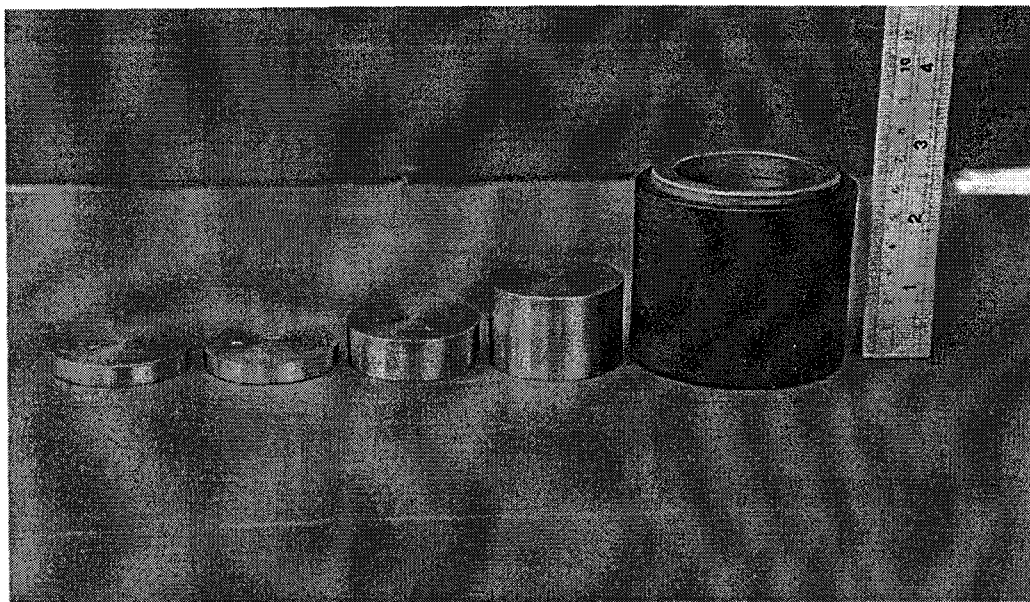


รูป 9.3 เครื่องมือ porosimeter ใช้วัดค่าความพรุน (porosity) ของหินตัวอย่าง

ไฮเดรียม (Helium) เป็นก๊าซเพื่อยและมีโนมเลกุลเล็กจะสามารถแทรกเข้าไปในช่องว่างเล็ก ๆ ระหว่างเม็ดหินได้ดีกว่าก๊าซชนิดอื่น ๆ ก๊าซไฮเดรียมจะไม่ทำปฏิกิริยาและไม่ถูกดูดซึมโดยหินตัวอย่าง จึงเหมาะสมสำหรับใช้ในการทดสอบหาค่าความพรุน ก่อนจัดทำความพรุนของหินตัวอย่างสูญเหล็ก (Billet) รูปทรงกระบอกที่รู้ปริมาตรแน่นอนจะถูกใส่ในระบบอุกเหล็ก (Chamber) และอัดก๊าซไฮเดรียมเข้าไป

เพื่อวัดปริมาตรของระบบอกเหล็กและปริมาตรระบบห้องก๊าซต่าง ๆ (Reference Volume) ที่ใช้ในการวัดจากนั้นค่อยนำตัวอย่างหินใส่ในระบบอกทดลอง อัดก๊าซอีเลี่ยมเข้าไปและเปิดวาล์วให้ก๊าซขยายตัวเข้าไปในระบบอกทดลองวัดความดันของก๊าซต่าง ๆ ไว้จากการอัดก๊าซ 2 ครั้ง และปล่อยให้ก๊าซขยายตัวเข้าไปในระบบอกทดลองวัดความดันหลังปรับตัวสมดุลย์แล้วจะสามารถคำนวณหาปริมาตรของระบบและปริมาตรของระบบอกทดลองโดยใช้กฎก๊าซขยายตัวของบอยล์ (Boyle's Law) การอัดก๊าซครั้งที่สามและปล่อยก๊าซขยายตัวเข้าไปในระบบอกที่มีตัวอย่างหินอยู่ ก๊าซอีเลี่ยมจะซึมเข้าสู่ช่องระหว่างเม็ดหินปริมาตรเม็ด (Grain Volume) หินที่อยู่ในระบบอกก็จะคำนวณได้จากกฎก๊าซขยายตัวของบอยล์ เช่นเดียวกัน

ปริมาตรหินรวม (Bulk Volume) จะสามารถคำนวณได้จากขนาดเส้นผ่าศูนย์กลางและความยาวของหินตัวอย่าง จากนั้นใช้ปริมาณรวมลบปริมาตรเม็ดหินก็จะได้ปริมาตรช่องว่าง (Pore Volume) ที่อยู่ระหว่างเม็ดหิน ค่าช่องว่างหารด้วยปริมาตรหินรวมก็จะได้ค่าความพรุน (porosity) เป็นค่าสัดส่วนถ้าคุณดูร้อยก็จะได้ค่าเป็นเปอร์เซ็นต์



รูป 9.4 รูปถุกเหล็ก (Billet) และระบบอกทดลอง (Chamber)

ตาราง 9.2 ปริมาณของลูกเหล็กอ้างอิง (matrix cup billets) ที่ใช้ในการวัดของเครื่อง Porosimeter

1" Billets	Billet Number	Volume (cm ³)
	1	4.63
	2	4.59
	3	9.22
	4	18.49
1 1/2 " Billets	Billet Number	Volume (cm ³)
	1	10.18
	2	10.2
	3	20.39
	4	40.74

ผลการวัดค่าความพรุนจากต่าง ๆ ที่ได้จากห้องปฏิบัติการ ได้แสดงในตารางที่ 9.3 และ 9.4

9.5 การวัดค่าการซึมผ่าน (permeability) ของหินตัวอย่าง

เครื่อง Overburden Poro-perm ซึ่งเป็นเครื่องมือที่ใช้วัดการซึมผ่าน (Permeability) ของหินตัวอย่าง แสดงอยู่ในรูปที่ 9.5 เครื่องมือนี้ออกแบบมาให้วัดได้ทั้งค่าความพรุน (porosity) และการซึมผ่านได้ (permeability) ของหินตัวอย่างภายใต้ความกดดัน (Overburden pressure) จาก 0-10,000 ปอนด์ต่อตารางนิ้ว (psi) โดยใช้น้ำหล่อรอบหัวไส้หินตัวอย่างและอัดอากาศเพื่อเพิ่มความดันในเซลล์ (Cell) เป็นการสร้างความดันรอบล้อมหินตัวอย่างคล้ายกับหินตัวอย่างอยู่ในสภาพใต้ดินที่มีความดันกดทับเนื่องจากน้ำหนักของหินที่อยู่ด้านบน (Overburden pressure)

การวัดค่าการซึมผ่านได้โดยใช้ก้าชในโตรเจนอัดผ่านเข้าไปในท่อ Upstream และเปิดวาล์วให้ผ่านหินตัวอย่างที่ห่อหุ้มด้วยท่อเพื่อกันไม่ให้ก้าชรั่วออกไป อัตราการไหลของก้าชผ่านหินตัวอย่างวัดได้โดยใช้ก้าชที่ออกจากการนับเวลาของอากาศไหลผ่าน ปริมาตรในหลอดแก้วที่รูปปิรามิดขั้นเวลาฟองอากาศไหลผ่าน ค่าการซึมผ่านของหินตัวอย่างสามารถคำนวณได้จากสูตรกฎของดาร์ซี (Darcy's Law) โดยใช้ค่าความดันด้านทาง (Upstream pressure) อัตราการ

ไอล (flow rate) ค่าความหนืด (viscosity) ความดันบรรยากาศ (atmospheric pressure) ความกว้างและพื้นที่หน้าตัดของหินตัวอย่าง

สูตรคำนวณ

$$K_{gas} = \frac{2000 \times BP \times \mu_{gas} \times ZQ \div L}{[(P_1 \times 0.06805 + BP)^2] \times A}$$

$$K_{gas} (\text{actual}) = K_{gas} (\text{apparent}) \times 0.9716^*$$

Where :

BP = Barometric pressure (atmospheres)

(BP millibars x 0.0009869 = BP atmospheres)

μ_{air} or μ_{N_2} = viscosity of gas (varies with temperature)* (centipoises)

Q = flow rate = $\frac{\text{flowvolume(cm}^3\text{)}}{\text{flowtime(sec)}T} = V$

L = length of plug (cm)

P₁ = upstream pressure (psig)

0.6805 = conversion factor for psi to atmospheres

A = cross sectional area of plug = $\pi \left(\frac{\text{diameter(cm)}}{2} \right)^2$

*0.9716 = conversion factor for the expansion of air due to saturation with water vapour in the bubble tube.

μ_{air} = $-8 \times 10^{-7} T^2 + 8 \times 10^{-5} T + 0.0171$

μ_{N_2} = $-8 \times 10^{-7} T^2 + 8 \times 10^{-5} T + 0.0158$

T = temperature ($^{\circ}\text{C}$)

สูตรคำนวณ

$$BV = (D/2)^2 \times L \times \pi$$

I. Pore volume determination

$$PV = BV - GV$$

The equations summary that are used for calculating the porosity values as follows;

Grain Volume

$$RV = V_{bil} / ((P_{ob}/P_b) - (P_{of}/P_f))$$

or if P_{ob} and $P_{of} = 100$ psi

$$RV = (P_f/100) \times ((P_b \times V_{bil}) / (P_f - P_b))$$

$$GV = V_{bil}^2 + ((P_{of}/P_f)RV) - ((P_{os}/P_s)RV)$$

Pore Volume

$$PV = BV - GV$$

Bulk Volume

$$BV = (D/2)^2 \times L \times \pi - \text{for whole core samples}$$

Porosity

$$\phi\% = PV/BV \times 100$$

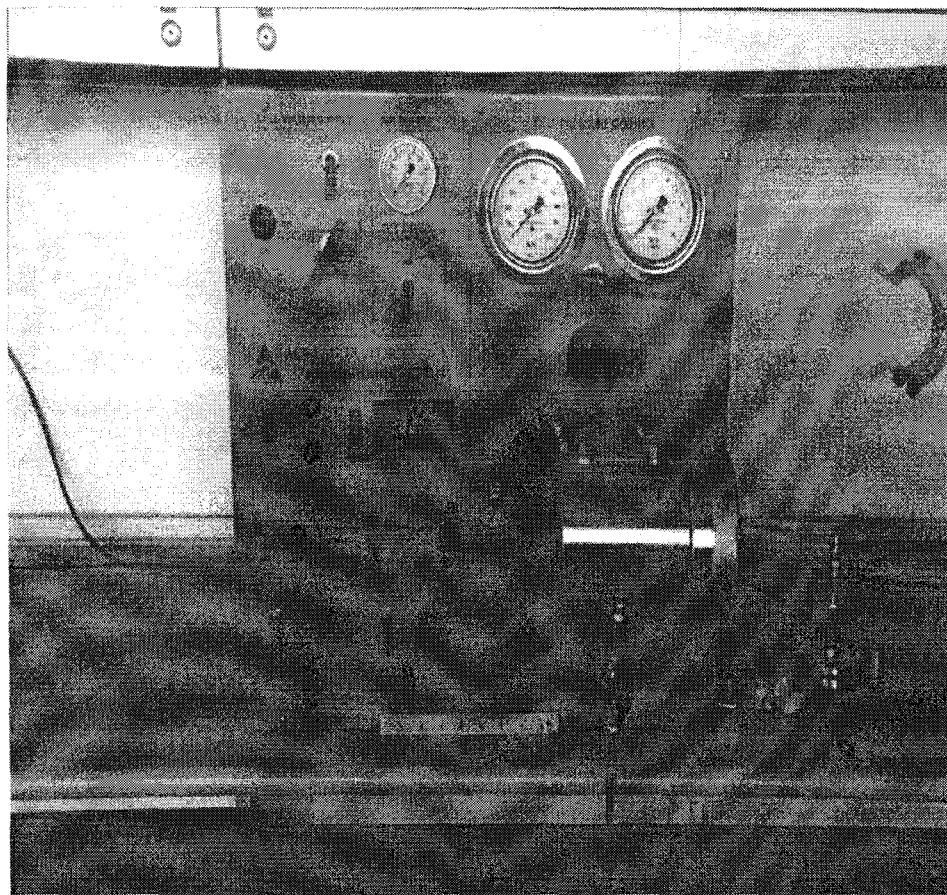
ตาราง 9.3 ผลการวัดค่าความพรุนจากเครื่อง porosimeter ชุดที่ 1

Sample Number	Field Location	Rock Type	Vol. Billet Removed (mm ³)	P _f (psia)	P _b (psia)	Dry Weight (mm)	P _{os} (psia)	P _s (psia)	Volume Removed (mm ³)	Temp (°C)	Length (mm)	Diameter (mm)	RV (mm ³)	GV (mm ³)	BV (mm ³)	PV (mm ³)	Porosity (%)	GD (g/cc)
1 1	Limestone	10.18	88.74	72.57	157.29	100.00	68.97	71.33	16	51.17	38.55	40.54	58.24	59.72	2.91	4.9	2.701	
2 1	Limestone	10.18	88.74	72.57	158.87	100.02	69.76	71.33	16	51.02	38.53	40.54	58.89	59.49	2.26	3.8	2.698	
3 1	Limestone	10.18	88.74	72.57	158.13	100.00	69.32	71.33	16	51.00	38.50	40.54	58.54	59.37	2.61	4.4	2.701	
4 1	Limestone	10.18	88.74	72.57	159.38	100.00	70.15	71.33	16	51.15	38.57	40.54	59.23	59.76	1.92	3.2	2.691	
5 1	Limestone	10.18	88.74	72.57	160.76	100.01	70.75	71.33	16	51.20	38.55	40.54	59.71	59.76	1.44	2.4	2.692	
6 1	Limestone	10.18	88.74	72.57	160.66	100.02	70.75	71.33	16	51.10	38.55	40.54	59.71	59.64	1.44	2.4	2.691	
7 1	Limestone	10.18	88.74	72.57	159.06	100.01	69.93	71.33	16	51.65	38.63	40.54	59.04	60.54	2.11	3.5	2.694	
8 1	Limestone	10.18	88.74	72.57	159.86	100.03	70.32	71.33	16	51.60	38.53	40.54	59.35	60.16	1.80	3.0	2.694	
9 1	Limestone	10.18	88.74	72.57	153.57	100.02	70.01	71.33	16	51.12	38.60	40.54	59.10	59.82	2.05	3.4	2.598	
10 1	Limestone	10.18	88.74	72.57	151.98	100.00	70.02	71.33	16	51.07	38.85	40.54	59.12	60.54	2.03	3.4	2.571	
11 2	Dolomite	10.18	87.65	72.46	166.94	100.00	70.41	71.33	18	52.17	38.40	42.56	59.44	60.42	1.71	2.8	2.808	
12 2	Dolomite	10.18	87.65	72.46	167.83	100.00	70.87	71.33	18	51.97	38.43	42.56	59.84	60.28	1.31	2.2	2.805	
13 2	Dolomite	10.18	87.65	72.46	165.26	100.01	69.63	71.33	18	51.30	38.27	42.56	58.76	59.01	2.39	4.0	2.812	
14 2	Dolomite	10.18	87.65	72.46	169.13	100.00	71.30	71.33	18	52.47	38.33	42.56	60.20	60.55	0.95	1.6	2.810	
15 2	Dolomite	10.18	87.65	72.46	165.68	100.03	69.87	71.33	18	51.27	38.40	42.56	58.96	59.38	2.19	3.7	2.810	
16 2	Dolomite	10.18	87.65	72.46	160.88	100.02	67.66	71.33	18	52.07	38.40	42.56	56.98	60.30	4.17	6.9	2.824	
17 2	Dolomite	10.18	87.65	72.46	164.04	100.02	69.15	71.33	18	50.70	38.37	42.56	58.33	58.62	2.82	4.8	2.812	
18 2	Dolomite	10.18	87.65	72.46	163.05	100.01	68.53	71.33	18	52.57	38.40	42.56	57.78	60.88	3.37	5.5	2.822	

Remark : In the field location block, number 1 is the area of Saraburi, Phetchabun provinces and khao Sompochn. Number 2 is the area near kho Sompochn.

ตาราง 9.4 ผลการวัดค่าความพรุนจากเครื่อง porosimeter ชุดที่ 2

Date	Sample number	Field location	Rock type	Length (mm)	Diameter (mm)	Total weight	Bulk volume mm ³	Porosity
10/5/01	#1	Amphur Nam Nao, Phetchabun	Limestone	51.17	38.55	157.28	59.72	4.90
10/5/01	#2	Amphur Nam Nao, Phetchabun	Limestone	51.17	38.55	157.29	59.72	4.90
10/5/01	#3	Amphur Nam Nao, Phetchabun	Limestone	51.17	38.55	158.87	59.49	3.80
10/5/01	#4	Amphur Nam Nao, Phetchabun	Limestone	51.17	38.55	158.13	59.37	4.40
10/5/01	#5	Amphur Nam Nao, Phetchabun	Limestone	51.17	38.55	159.27	59.58	3.40
10/5/01	#6	Amphur Nam Nao, Phetchabun	Limestone	51.17	38.55	160.28	59.82	2.70
10/5/01	#7	Amphur Nam Nao, Phetchabun	Limestone	51.17	38.55	160.00	59.95	2.90
10/5/01	#8	Amphur Nam Nao, Phetchabun	Limestone	51.17	38.55	160.12	59.95	2.90
10/5/01	#9	Khao Somposhn	Limestone	51.17	38.55	159.38	59.76	3.20
10/5/01	#10	Khao Somposhn	Limestone	51.17	38.55	160.76	59.76	2.40
10/5/01	#11	Khao Somposhn	Limestone	51.17	38.55	160.66	59.64	2.40
10/5/01	#12	Khao Somposhn	Limestone	51.17	38.55	159.06	60.54	3.50
10/5/01	#13	Khao Somposhn	Limestone	51.17	38.55	159.86	60.16	3.00
10/5/01	#14	Khao Somposhn	Limestone	51.17	38.55	153.57	59.82	3.40
10/5/01	#15	Khao Somposhn	Limestone	51.17	38.55	151.98	60.54	3.40
10/5/01	#16	Khao Somposhn	Limestone	51.17	38.55	160.25	60.11	2.90
10/5/01	#17	Khao Somposhn	Limestone	51.17	38.55	160.11	60.64	2.80



รูป 9.5 เครื่องมือ Overburden Poro-perm Cell ที่ใช้วัดค่าการซึมผ่านไส้ (permeability) ของหินตัวอย่าง

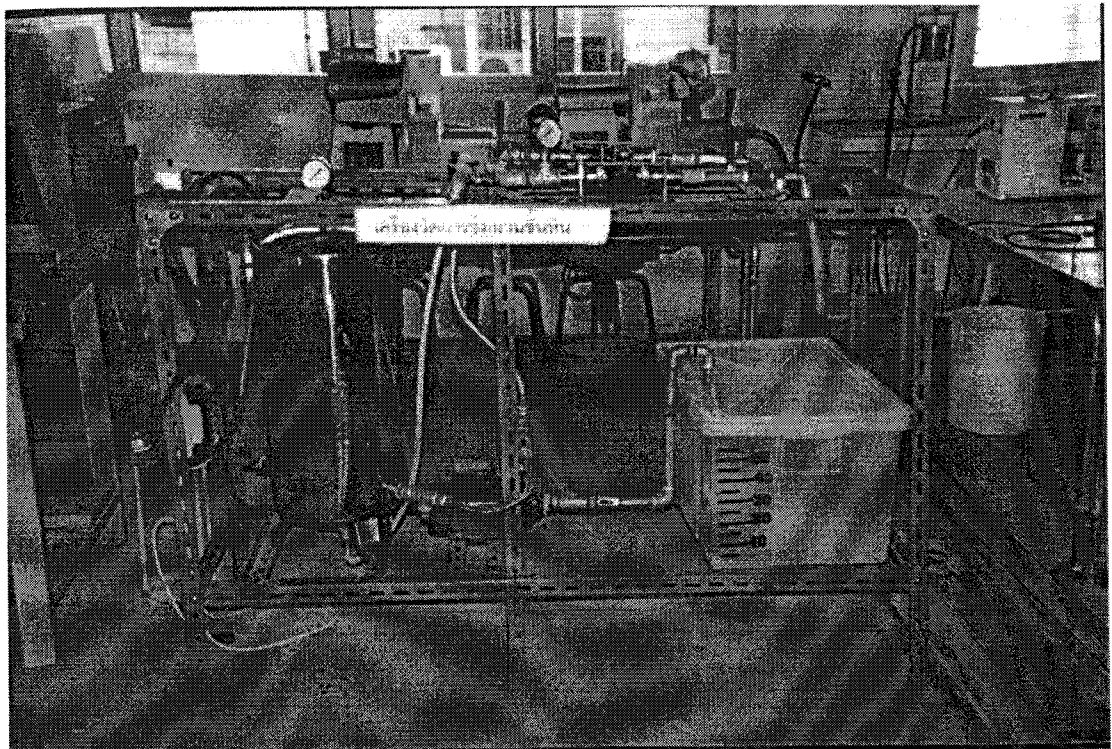
ผลการวิเคราะห์หาค่า permeability และดังตาราง 9.5

ตาราง 9.5 ผลการวัดค่าการซึมผ่านไนท์ (permeability) ของหินด้วยอุ่ง

Stop	L(cm)	D (cm)	A (cm^2)	Temp (°C)	μ_s	P _t	BP	V (cm^3)	Time(Sec)	Q (cm^3/Sec)	K(mD)	K _{actual} (mD)
1	5.005	3.835	11.55103	32	0.017541	58.08	982	0.1	226.29	0.000442	0.00027	0.000265
2	5.12	3.828	11.5089	28	0.017413	55.12	987	0.1	251	0.000398	0.00027	0.000267
3	5.215	3.812	11.41289	29	0.017447	58.17	984	0.1	240.51	0.000416	0.00026	0.000261
4	5.192	3.83	11.52093	28	0.017413	58.17	986	0.1	319.24	0.000313	0.00019	0.000194
5	4.977	3.833	11.53898	32	0.017541	58.33	982	0.1	429.75	0.000233	0.00014	0.000138
6	5.057	3.827	11.50289	27	0.017377	57.8	986	0.1	309.84	0.000323	0.00020	0.000197
7	5.035	3.833	11.53898	30	0.01748	57.78	983	0.1	239.66	0.000417	0.00026	0.000254
8	5.002	3.822	11.47285	30	0.01748	55.15	983	0.1	186	0.000538	0.00036	0.000353
9	5.068	3.823	11.47885	27	0.017377	55.45	987	0.1	67.13	0.00149	0.00100	0.000978
10	5.145	3.813	11.41888	28	0.017413	57.81	986	0.1	277.3933	0.00036	0.00023	0.000226
11	5.127	3.83	11.52093	27	0.017377	56.88	987	0.1	151.14	0.000662	0.00043	0.000420
12	5.223	3.827	11.50289	26	0.017339	57.8	988	0.1	217.3533	0.00046	0.00029	0.000289
13	5.145	3.82	11.46084	26	0.017339	57.78	987	0.1	257	0.000389	0.00024	0.000242
14	5.233	3.827	11.50289	26	0.017339	57.65	988	0.1	174.965	0.000572	0.00037	0.000362
15	5.123	3.825	11.49087	27	0.017377	57.88	987	0.1	270.92	0.000369	0.00023	0.000228
16	5.098	3.818	11.44885	27	0.017377	57.74	987	0.1	290.65	0.000344	0.00021	0.000213
17	5.043	3.828	11.5089	29	0.017447	57.81	983	0.1	427.98	0.000234	0.00014	0.000142

9.6 การสร้างแบบจำลองแหล่งปิโตรเลียม

เนื่องจากแหล่งกําชาธรรมชาติที่เป็นหินปูน มีค่า Porosity และ Permeability น้อยมากจนไม่สามารถจะสร้างแบบจำลองแบบย่อมาตราส่วนในห้องปฏิบัติการได้ หัวหน้าโครงการวิจัยจึงสร้างเครื่องมือวัด Permeability แทน ดังแสดงในรูปที่ 9.6 อย่างไรก็ตาม เครื่องมือที่ผลิตขึ้นมาเนี้ย ไม่สามารถวัดค่า Permeability ของหินปูนได้ เนื่องจากมีค่าน้อยเกินไป แต่สามารถวัดค่า Permeability ของหินทรายได้



รูปที่ 9.6 เครื่องมือวัด Permeability ที่ผลิตขึ้นเอง

สรุป

หินตัวอย่างกว่า 30 หินตัวอย่างที่เป็นหินปูน limestone และ dolomite เก็บจากชั้นหัวดงระบุรี เพชรบูรณ์ และลพบุรี วัดค่าความพรุน (porosity) โดยใช้เครื่องมือ porosimeter (Bolye' Law) หินปูน limestone มีค่าความพรุนเฉลี่ย 3.44% และหินปูน dolomite มีค่า porosity เฉลี่ย 3.95% ส่วนค่าการซึมผ่านได้ (permeability) วัดได้โดยใช้เครื่องมือ Overburden poro-perm ในช่วงแรกตัวอย่างหินส่วนใหญ่มีค่าการซึมผ่านได้น้อยมากเครื่องมือไม่สามารถวัดได้ ต่อมามีการปรับและนำหลอดวัดปริมาตรเล็ก

0.1 cc มาวัดสามารถรั่วได้แต่ค่าที่ออกมาน้อยเกินไป จึงสรุปว่าค่า permeability ที่รั่วได้ไม่ตรงกับค่าที่อยู่ในหินก้อนเก็บจริง ๆ อย่างไรก็ตามค่า permeability ที่ควรจะเป็นจริงซึ่งได้รวบรวมจากผลการทดสอบอัตราการไหลของเหลวที่พูนแล้วมีค่าอยู่ประมาณ 0.2-0.8 md จะนั่นค่า permeability ที่จะนำไปใช้ในการจำลองแบบคอมพิวเตอร์เหลวที่หล่อเข้ามาในหินนี้แทนค่าที่ได้จากการวัดและค่าที่ได้จากการทดสอบ ผลิตจำลองจากคอมพิวเตอร์ (reservoir simulation) ค่าความพรุนเฉลี่ยควรเป็น 0.6 md.

บทที่ 10

แบบจำลองคอมพิวเตอร์แหล่งปิโตรเลียม

10.1 ทฤษฎี

แบบจำลองคอมพิวเตอร์แหล่งปิโตรเลียม (Reservoir Simulation) ได้ใช้เทคนิคสร้างแบบจำลองทางคณิตศาสตร์และใช้คอมพิวเตอร์ช่วยในการคำนวนพุทธิกรรมการผลิตของแหล่งปิโตรเลียม (mathematical mode) การจำลองแหล่งปิโตรเลียมใช้โปรแกรมคอมพิวเตอร์ (Software) ช่วยคำนวนแบบจำลองคณิตศาสตร์ของลักษณะและผลการไหลของของไหหลังของไหแหล่งปิโตรเลียมจำลองให้ได้ผลลัพธ์ตามจริงดังการไหลในแหล่งปิโตรเลียมจริง ๆ

แบบจำลองคณิตศาสตร์คอมพิวเตอร์แหล่งปิโตรเลียมนี้นิยมใช้ทั่วไปและอย่างกว้างขวาง เพราะสามารถแก้ปัญหาต่าง ๆ ที่วิธีคำนวนแบบอื่น ๆ ทำไม่ได้ การจำลองแหล่งปิโตรเลียมแบบนี้สามารถอธิบายปริมาณการไหลของของไหหลาภานิดที่อยู่ในแหล่งปิโตรเลียมเดียวกัน ที่มีแผนการผลิตอย่างใดอย่างหนึ่งได้ นอกจากจะสามารถอธิบายลักษณะของแหล่งปิโตรเลียมได้แล้ว ยังสามารถใช้ผลิตตามความต้องการของตลาดใช้ในการวางแผนการลงทุนและใช้ตามกฎระเบียบของรัฐบาล ได้อย่างมีประสิทธิภาพ ตามที่ต้องการ อย่างไรก็ตามถึงแม้ว่าแบบจำลองคอมพิวเตอร์แหล่งปิโตรเลียมจะใช้แก้ปัญหาที่ยุ่งยาก ซับซ้อนได้ดี แต่ก็นิยมใช้แก้ปัญหาที่ง่าย ๆ เมื่อกัน เพราะการจำลองแหล่งปิโตรเลียมทางคอมพิวเตอร์ มักจะเป็นวิธีที่ดีที่สุด เพราะมันรวดเร็วกว่า ประหยัดกว่าและได้ผลที่สมจริงกว่าวิธีอื่น ๆ

การจัดประเภทแบบจำลองคอมพิวเตอร์แหล่งปิโตรเลียม

สามารถแบ่งประเภทแบบจำลองคอมพิวเตอร์แหล่งปิโตรเลียมเป็น

1. แบบจำลองแหล่งปิโตรเลียมของไหเหลวหนึ่งเดียว (ของเหลวหรือก๊าซ) (Single phase reservoir Simulator)
2. แบบจำลองแหล่งปิโตรเลียมของไหหลาภานิด (Multiphase Reservoir Simulator)
 - 2.1 แบบจำลอง Black-Oil
 - 2.2 แบบจำลองแปรผันส่วนประกอบของไห (Compositional Simulator)

การใช้แบบจำลองคอมพิวเตอร์แหล่งปิโตรเลียม

- ประเมินลักษณะของแหล่งปิโตรเลียม วิเคราะห์และทำให้เข้าใจถึงพุทธิกรรมของแหล่งปิโตรเลียม
- คาดการณ์ปริมาณการผลิตปิโตรเลียมกับระยะเวลาการผลิต

- ประมาณอายุการผลิตของแหล่งปิโตรเลียม
- ทำการประเมินผลกระทบเคลื่อนไหวของข้อมูล (Model sensitivity) เพื่อคาดประมาณค่าต่างๆ คือ
 - หากว่ามำเป็นที่จะต้องใส่ข้อมูลเพิ่ม
 - เปรียบเทียบจำนวนการผลิตที่แตกต่างกันหลายแบบ
 - วางแผนเพื่อพัฒนาแหล่งปิโตรเลียมและทางเลือกต่างๆ
 - เลือกจะออกแบบการพัฒนาแหล่งปิโตรเลียมที่ได้ประโยชน์สูงสุด

ประโยชน์ของการใช้แบบจำลองคอมพิวเตอร์แหล่งปิโตรเลียม

- รวบรวมข้อมูลทั้งหมดที่เกี่ยวข้องกับแหล่งปิโตรเลียมมาอยู่ในฐานข้อมูล กะทัดรัดเดียวทั้งหมด
- ให้โอกาสทดลองผลิตแหล่งปิโตรเลียมก่อนที่จะมีการผลิตจริง ๆ
- สามารถผลิตแหล่งปิโตรเลียมหลายครั้ง เพื่อตรวจสอบทางเลือกต่าง ๆ
- สามารถใช้เหมือนกับเครื่องมือบริหารจัดการสำหรับที่จะเลือกแผนการพัฒนาและวิธีการดำเนินการผลิตที่มีการเปลี่ยนแปลงได้
- แสดงให้เห็นข้อมูลพื้นฐานร่วมกันระหว่างบริษัทผู้ดำเนินการและหน่วยงานที่ควบคุมดูแลทรัพยากรปิโตรเลียม

ในงานวิจัยนี้ได้ใช้ซอฟแวร์ที่เรียกว่า “Black-oil” เป็นโปรแกรมคอมพิวเตอร์สร้างแบบจำลองและคำนวณพฤติกรรมต่าง ๆ ของแหล่งปิโตรเลียม

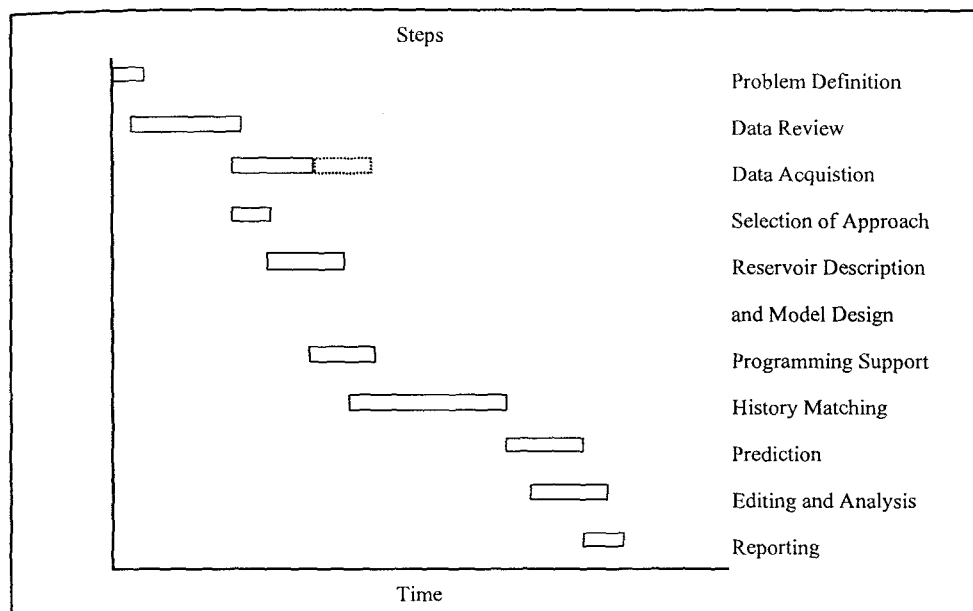
ประโยชน์ของโปรแกรมซอฟแวร์ “Black Oil Simulation”

ซอฟแวร์ที่นำมาใช้ในการศึกษาครั้งนี้เรียก “Work Bench” เป็นโปรแกรมคอมพิวเตอร์ที่จัดทำให้กองเชื้อเพลิงธรรมชาติ (ปัจจุบันเรียกว่า กรมเชื้อเพลิงธรรมชาติ) โดยบริษัท Schlumberger เป็นโปรแกรมที่ใช้ในการทำแบบจำลองแหล่งปิโตรเลียมที่เก็บข้อมูลของแหล่งปิโตรเลียมที่มีอยู่ในโลก หนึ่งชนิด หรือ สองชนิด หรือสามชนิดก็ได้ และมีลักษณะการイルทิศทางเดียว สองทิศทางหรือแม้แต่การイルแบบ 3 ทิศทาง (3-dimensions) ที่สามารถวิเคราะห์พัฒนาของแหล่งปิโตรเลียมได้

ซอฟแวร์ Black-Oil Simulators ซึ่งเป็นโปรแกรมคอมพิวเตอร์รุ่นแรกๆ ที่พัฒนาขึ้นมาใช้ในการจำลองแหล่งปิโตรเลียมกีบงคงนิยมใช้บ่อยมากจนถึงปัจจุบัน โปรแกรมคอมพิวเตอร์เหล่านี้สามารถจำลองการイルของน้ำมัน น้ำ และก๊าซ และสามารถใช้ได้สำหรับปริมาณก๊าซที่ละลายในน้ำมันที่เปลี่ยนแปลงไปตามความคัน แต่ไม่สามารถจำลองการเปลี่ยนแปลง ส่วนประกอบ (Composition) ในน้ำมันหรือก๊าซได้ เมื่อแหล่งจำลองแบบ Black-Oil Simulators ถูกใช้อย่างถูกต้อง ผู้ใช้สามารถเชื่อมั่นได้

ว่าผลการคำนวณออกแบบได้คำตอบที่เป็นจริงและเชื่อถือได้ ถ้าข้อมูลที่ใส่เข้าไปมีความสมบูรณ์และตรงกับความจริงอย่างสมเหตุสมผล

ในการทำกิจกรรมแบบจำลองคอมพิวเตอร์แหล่งปิโตรเลียมจะต้องมีการวางแผนและปฏิบัติตามแผนต่าง ๆ ดังแสดงในหน้าแผนการปฏิบัติตามรูป 10.1



รูป 10.1 แสดงขั้นตอนแผนกิจกรรมการปฏิบัติในการทำแบบจำลองคอมพิวเตอร์แหล่งปิโตรเลียม

Problem Definition กำหนดข้อปัญหา ขั้นแรกของการศึกษาคือ

กำหนดปัญหาพื้นที่ของแหล่งปิโตรเลียมร่วมทั้งปัญหาที่เกิดขึ้นในการดำเนินการ เพื่อที่จะทำเช่นนี้ จะต้องมีการรวบรวมข้อมูลเกี่ยวกับแหล่งปิโตรเลียมและสิ่งแวดล้อมในการดำเนินการให้เพียงพอที่จะปั่นชี้ว่าพื้นที่ของแหล่งปิโตรเลียมการผลิตและการดำเนินการ เช่นไร เป็นที่ต้องการในอนาคตและควรจะเกิดขึ้นเวลาใด และสิ่งเหล่านี้จะสามารถสนับสนุนอย่างไรต่อแผนการบริหารจัดการแหล่งปิโตรเลียม

Selecting the Study Approach การเลือกข้อมูลและวิธีการศึกษาหลังจากมีการกำหนดปัญหาลักษณะการไฟลของของไฟลแล้วจะต้องตัดสินใจว่าแหล่งจำลองประเภทไหนจะเหมาะสมกันแหล่งปิโตรเลียมนั้น ๆ มากที่สุด และสามารถแก้ปัญหาต่าง ๆ ได้ที่สุด และปกติแล้วก็ไม่จำเป็นหรือต้องตัดสินใจพยายามที่จะจำลองแหล่งปิโตรเลียมหมดทั้งแหล่ง ตัวประกอบที่จะมีผลต่อการเลือกวิธีการศึกษาและสร้างแบบจำลองประกอบไปด้วย

1. ความสามารถของคอมพิวเตอร์โปรแกรม ซอฟแวร์ที่มีอยู่ในการแก้ปัญหาต่าง ๆ ของกลศาสตร์แหล่งปิโตรเลียม

2. การเปลี่ยนแปลงที่จะต้องกระทำในการจำลองหุ่มผลิตและอุปกรณ์ต่าง ๆ
3. ชนิดและจำนวนที่จะทดลองผลิตในแบบจำลองเพื่อให้ครบตามจุดประสงค์ของการ

ศึกษาวิจัย

4. เวลา กำลังคน เครื่องคอมพิวเตอร์ และงบประมาณที่มีอยู่สำหรับการศึกษาวิจัย
5. ความจำเป็นและความสามารถในการตรวจสอบผลการจำลอง และ
6. ความพร้อมของทรัพยากรต่าง ๆ ที่อยู่ได้รอบที่ต้องการที่จะช่วยให้การศึกษาวิจัยสมบูรณ์ในขณะนี้

การรายงาน (Reporting) ขั้นตอนสุดท้ายของการศึกษาแบบจำลองคอมพิวเตอร์แหล่งปิโตรเลียมคือการรวบรวมผล สรุปเป็นรายงานที่ดัดเจน สั้น และกระทัดรัด แบบรายงานก็จะมีดังนี้ บันทึก บริบทที่สนับสนุน ระหว่างหน่วยงานอย่างสั้น ๆ สำหรับการศึกษานาคเล็ก ไปกระทั่งรายงานฉบับหนาที่สมบูรณ์ไปโดยรูปแสดงลึกลับ สำหรับการศึกษาแหล่งปิโตรเลียมขนาดใหญ่ ไม่ว่าจะเป็นรายงานแบบไหนขนาดไหน รายงานจะต้องกำหนดเป้าหมายของการศึกษา อธิบายการใช้แบบจำลอง และแสดงผล และสรุปผลโดยมีคำอธิบายครบถ้วนเหมาะสมกับเป้าหมายการศึกษาวิจัยนั้น ๆ

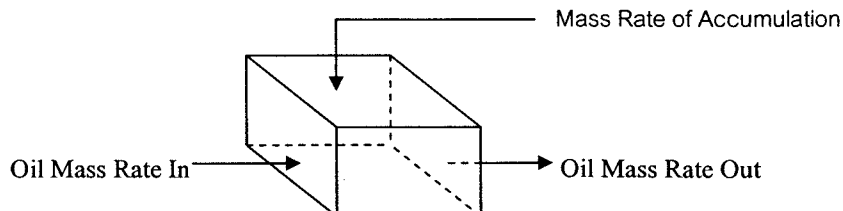
หลักการขั้นพื้นฐานของแบบจำลองคอมพิวเตอร์แหล่งปิโตรเลียม

- การได้มาของสมการการไหลของไอลหลายชนิด (Derivation of Multiphase Flow Equations)

สมการการไหลของไอล แต่ละชนิดถูกพัฒนาใช้เพียงเท่ากับเมื่อมีการไหลชนิดต่าง ๆ ชนิดเดียวที่จะชนิด

นำมันเริ่มจากหน่วยส่วนเล็ก ๆ (element) ในแหล่งปิโตรเลียมที่มีสมการการไหลของน้ำมันที่รวมสมการการไหลต่อเนื่อง (Continuity) สมการการไหลในช่องว่างหิน (Darcy Flow) และสมการสถานะของไอล (equation of state) เข้าด้วยกัน

การสมดุลย์ของสาร ใช้หน่วยปริมาตรต่อบาเรลของน้ำมันดังแสดงต่อไปนี้



รูปที่ 10.2 การสมดุลย์มวลสารของน้ำมันการไหลเชิงเส้น (Linear system)

การไหลดเชิงเส้น (Linear system)

มวลไหลดเข้า – มวลไหลดออก = มวลสะสมในหน่วยส่วน

$$\left(-A \frac{k_o}{\mu_o B_o} \frac{\partial P}{\partial x} \right)_x - \left(-A \frac{k_o}{\mu_o B_o} \frac{\partial P}{\partial x} \right)_{x+\Delta x} = V \left[\frac{\left(\frac{\phi S_o}{B_o} \right)^{n+1} - \left(\frac{\phi S_o}{B_o} \right)^n}{\Delta t} \right] \quad 10.1$$

เมื่อ

$$A = \Delta y \Delta z$$

$$V = \Delta x \Delta y \Delta z$$

ใส่ข้อกำหนดขนาดให้เล็กลงเข้าไปกลับคุณสมบัติ (10.1) เขียนเป็น

$$\frac{\partial}{\partial x} \left(\frac{k_o}{\mu_o B_o} \frac{\partial P}{\partial x} \right) = \frac{\partial}{\partial t} \left(\frac{\phi S_o}{B_o} \right) \quad 10.2$$

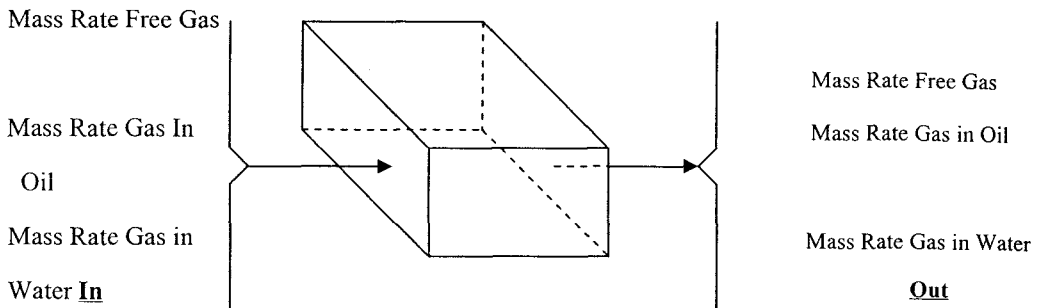
สำหรับการไหลดแบบรัศมี (radial system) สมการจะเขียนเป็น

$$\frac{1}{r} \frac{\partial}{\partial r} \left(r \frac{k_o}{\mu_o B_o} \frac{\partial P}{\partial r} \right) = \frac{\partial}{\partial t} \left(\frac{\phi S_o}{B_o} \right) \quad 10.3$$

ก๊าซ ; การสมดุลย์มวลสารของก๊าซจะต้องรวมเอา ก๊าซทึ้งหมดที่อยู่ในระบบคือ ก๊าซอิสระ ก๊าซที่ละลาย ในน้ำและน้ำมัน

มวลก๊าซไหลดเข้า – มวลก๊าซไหลดออก = มวลก๊าซสะสมในหน่วยส่วนก๊าซจากส่วนต่าง ๆ ที่อยู่ในระบบ ดังแสดงในรูป 10.3 เขียนอยู่ในรูปของมวลน้ำหนัก ดังนี้

$$\begin{aligned} & \left[-A \left(\frac{k_g}{\mu_g B_g} + \frac{R_{soko}}{\mu_o B_o} + \frac{R_{swkw}}{\mu_w B_w} \right) \frac{\partial P}{\partial x} \right]_x - \left[-A \left(\frac{k_g}{\mu_g B_g} + \frac{R_{soko}}{\mu_o B_o} + \frac{R_{swkw}}{\mu_w B_w} \right) \frac{\partial P}{\partial x} \right]_{x+\Delta x} \\ & \qquad \qquad \qquad \begin{array}{ccc} \text{Free} & \text{Gas} & \text{Gas} \\ \text{Gas} & \text{in} & \text{in} \\ & \text{oil} & \text{water} \end{array} \\ & = V \left[\frac{\phi \left(\frac{S_g}{B_g} + \frac{R_{so}S_o}{B_o} + \frac{R_{sw}S_w}{B_w} \right)^{n+1} - \left(\frac{S_g}{B_g} + \frac{R_{so}S_o}{B_o} + \frac{R_{sw}S_w}{B_w} \right)^n}{\Delta t} \right] \quad 10.4 \end{aligned}$$



รูป 10.3 การสมดุลของมวลก๊าซในหน่วยส่วน

เมื่อกำหนดส่วนให้เล็กเข้าไปดูศูนย์สมการจะเป็น

$$\frac{\partial}{\partial x} \left[\left(\frac{k_g}{\mu_g B_g} + \frac{R_{so} k_o}{\mu_o B_o} + \frac{R_{sw} k_w}{\mu_w B_w} \right) \frac{\partial P}{\partial x} \right] = \frac{\partial}{\partial t} \left[\phi \left(\frac{S_g}{B_g} + \frac{R_{so} S_o}{B_o} + \frac{R_{sw} S_w}{B_w} \right) \right] \quad 10.5$$

For a radial system the following equation is obtained:

$$\frac{1}{r} \frac{\partial}{\partial r} \left[r \left(\frac{k_g}{\mu_g B_g} + \frac{R_{so} k_o}{\mu_o B_o} + \frac{R_{sw} k_w}{\mu_w B_w} \right) \frac{\partial P}{\partial r} \right] = \frac{\partial}{\partial t} \left[\phi \left(\frac{S_g}{B_g} + \frac{R_{so} S_o}{B_o} + \frac{R_{sw} k_w}{B_w} \right) \right] \quad 10.6$$

น้ำ้า : ของไหลที่เป็นน้ำ้าก็เป็นเช่นของไหลอื่นที่จะต้องมาเปลี่ยนสมการการไหล สำหรับการไหล เชิงเส้น

$$\frac{\partial}{\partial x} \left[\frac{k_w}{\mu_w B_w} \frac{\partial P}{\partial x} \right] = \frac{\partial}{\partial t} \left[\phi \frac{S_w}{B_w} \right] \quad 10.7$$

สำหรับการไหลแบบรอบรัศมี

$$\frac{1}{r} \frac{\partial}{\partial r} \left[r \frac{k_w}{\mu_w B_w} \frac{\partial P}{\partial r} \right] = \frac{\partial}{\partial t} \left[\phi \frac{S_w}{B_w} \right] \quad 10.8$$

การขยายสมการในแบบของการไหลรอบรัศมี (Radial Form)

การทำให้สมการไหลของของไหลหลายชนิด (Unsteady-state) ของน้ำมัน ก๊าซ และน้ำในห้องว่างของหินได้โดยนำสมการของของไหลแต่ละชนิดมารวมกันเป็นสมการเดียวกัน ในการทำเช่นนี้ ข้อถังเกตและความต้านทานที่เป็นจริงจะต้องทำเข้ามาใช้

ความจริงข้อที่ 1 สัดส่วนของไหลแต่ละชนิดในห้องว่างของหินรวมกันเท่ากับ 1

$$S_o + S_g + S_w = 1 \quad 10.9$$

ดังนั้น

$$\frac{\partial}{\partial t} [S_o + S_g + S_w] = 0 \quad 10.10$$

ขัตตราการเปลี่ยนความดันต่อเวลาถึงวันน้อย เมื่อยกกำลังสองก็ยังน้อยเข้าใกล้ศูนย์

$$\left(\frac{\partial P}{\partial t} \right)^2 \approx 0 \quad 10.11$$

รวมสมการเหล่านี้อยู่ในรูปของการไฟลแบบรัศมีและคุณสมการ (10.3) ด้วย B_o

$$\begin{aligned} \frac{B_o}{r} \left[r \frac{k_o}{\mu_o B_o} \frac{\partial^2 P}{\partial r^2} + r \frac{\partial P}{\partial r} \frac{k_o}{\mu_o} \left(-\frac{1}{B_o^2} \right) \frac{\partial B_o}{\partial P} \frac{\partial P}{\partial r} + \frac{1}{r} \frac{k_o}{\mu_o B_o} \frac{\partial P}{\partial r} \right] \\ = \phi B_o \left(\frac{1}{B_o} \frac{\partial S_o}{\partial t} + \frac{S_o}{-B_o^2} \frac{\partial B_o}{\partial P} \frac{\partial P}{\partial t} \right) \end{aligned} \quad 10.12$$

ขยายโดย differentiation จะได้

$$\frac{k_o}{\mu_o} \frac{\partial^2 P}{\partial r^2} - \frac{k_o}{\mu_o B_o} \frac{\partial B_o}{\partial P} \left(\frac{\partial P}{\partial r} \right)^2 + \frac{1}{r} \frac{k_o}{\mu_o} \frac{\partial P}{\partial r} = \phi \left(\frac{\partial S_o}{\partial t} - \frac{S_o}{B_o} \frac{\partial B_o}{\partial P} \frac{\partial P}{\partial t} \right) \quad 10.13$$

Neglecting $\left(\frac{\partial P}{\partial r} \right)^2$ terms, Eq.(10.13) becomes

$$\frac{k_o}{\mu_o} \frac{\partial^2 P}{\partial r^2} + \frac{1}{r} \frac{k_o}{\mu_o} \frac{\partial P}{\partial r} = \phi \left(\frac{\partial S_o}{\partial t} - \frac{S_o}{B_o} \frac{\partial B_o}{\partial P} \frac{\partial P}{\partial t} \right) \quad 10.14$$

which is:

$$\frac{\partial}{\partial r} \left(\frac{1}{r} \frac{\partial P}{\partial r} \right) \frac{k_o}{\mu_o} = \phi \left(\frac{\partial S_o}{\partial t} - \frac{S_o}{B_o} \frac{\partial B_o}{\partial P} \frac{\partial P}{\partial t} \right) \quad 10.15$$

สมการก้าว (10.6) คูณด้วย B_g และขยายเป็น

$$\begin{aligned} \frac{B_g}{r} \left\{ r \left(\frac{R_{soko}}{\mu_o B_o} + \frac{R_{swkw}}{\mu_w B_w} + \frac{k_g}{\mu_g B_g} \right) \frac{\partial^2 P}{\partial r^2} + r \frac{\partial P}{\partial r} \left[\frac{k_o}{\mu_o} \left(\frac{1}{B_o} \frac{\partial R_{so}}{\partial P} \frac{\partial P}{\partial r} - \frac{R_{so}}{B_o^2} \frac{\partial B_o}{\partial P} \frac{\partial P}{\partial r} \right) \right. \right. \\ \left. \left. + \frac{k_w}{\mu_w} \left(\frac{1}{B_w} \frac{\partial R_s}{\partial P} \frac{\partial P}{\partial r} - \frac{R_s}{B_w^2} \frac{\partial B_w}{\partial P} \frac{\partial P}{\partial r} \right) \right] + \frac{\partial P}{\partial r} \left(\frac{R_{soko}}{\mu_o B_o} + \frac{R_{swkw}}{\mu_w B_w} + \frac{k_g}{\mu_g B_g} \right) \right\} = \phi B_g \left(\frac{S_o}{B_o} \frac{\partial R_s}{\partial P} \frac{\partial P}{\partial t} \right. \\ \left. + \frac{R_{so}}{B_o} \frac{\partial S_o}{\partial t} - \frac{R_{so} S_o}{B_o^2} \frac{\partial P}{\partial t} + \frac{S_w}{B_w} \frac{\partial R_{sw}}{\partial P} \frac{\partial P}{\partial t} + \frac{R_{sw}}{B_w} \frac{\partial S_w}{\partial t} + \frac{R_{sw}}{B_w} \frac{\partial S_w}{\partial t} - \frac{R_{sw} S_w}{B_w^2} \frac{\partial B_w}{\partial P} \frac{\partial P}{\partial t} \right) \end{aligned}$$

$$+ \frac{1}{B_g} \frac{\partial S_g}{\partial t} - \frac{S_g}{B_g^2} \frac{\partial B_g}{\partial P} \frac{\partial P}{\partial t} \Big) \quad 10.16$$

Collecting terms:

$$\begin{aligned} & \left(\frac{k_o R_{so} B_g}{\mu_o B_o} + \frac{k_w R_{sw} B_g}{\mu_w B_w} + \frac{k_g}{\mu_g} \right) \frac{\partial^2 P}{\partial r^2} + \frac{k_o B_g}{\mu_o B_o} \frac{\partial R_{so}}{\partial P} \left(\frac{\partial P}{\partial r} \right)^2 + \frac{k_w B_g}{\mu_w B_w} \frac{\partial R_{sw}}{\partial P} \left(\frac{\partial P}{\partial r} \right)^2 \\ & - \frac{k_o R_{so}}{\mu_o B_o^2} \frac{\partial B_o}{\partial P} \left(\frac{\partial P}{\partial r} \right)^2 - \frac{k_w B_g}{\mu_w B_w^2} \frac{\partial B_w}{\partial P} \left(\frac{\partial P}{\partial r} \right)^2 - \frac{k_g}{\mu_g B_g} \frac{1}{r} \frac{\partial B_g}{\partial P} \left(\frac{\partial P}{\partial r} \right)^2 \\ & + \left(\frac{k_o R_{so} B_g}{\mu_o B_o} + \frac{k_w R_{sw} B_g}{\mu_w B_w} + \frac{k_g}{\mu_g} \right) \frac{1}{r} \frac{\partial P}{\partial r} \\ & = \phi \left(\frac{S_o B_g}{B_o} \frac{\partial R_{so}}{\partial P} - \frac{R_{so} S_o B_g}{B_o^2} \frac{\partial B_o}{\partial P} + \frac{S_w B_g}{B_w} \frac{\partial R_{sw}}{\partial P} - \frac{R_{sw} S_w B_g}{B_w^2} \frac{\partial B_w}{\partial P} - \frac{S_g}{B_g} \frac{\partial B_g}{\partial P} \right) \frac{\partial P}{\partial t} \\ & + \phi \left(\frac{B_g R_{so}}{B_o} \frac{\partial S_o}{\partial t} + \frac{R_{sw} B_g}{B_w} \frac{\partial S_w}{\partial t} + \frac{\partial S_g}{\partial t} \right) \end{aligned} \quad 10.17$$

Neglecting $\left(\frac{\partial P}{\partial r} \right)^2$ terms in the above equation:

$$\begin{aligned} & \left(\frac{k_o R_{so} B_g}{\mu_o B_o} + \frac{k_w R_{sw} B_g}{\mu_w B_w} + \frac{k_g}{\mu_g} \right) \left(\frac{\partial^2 P}{\partial r^2} + \frac{1}{r} \frac{\partial P}{\partial r} \right) \\ & = \phi \left(\frac{S_o B_g}{B_o} \frac{\partial R_{so}}{\partial P} - \frac{R_{so} S_o B_g}{B_o^2} \frac{\partial B_o}{\partial P} + \frac{S_w B_g}{B_w} \frac{\partial R_{sw}}{\partial P} - \frac{R_{sw} S_w B_g}{B_w^2} \frac{\partial B_w}{\partial P} - \frac{S_g}{B_g} \frac{\partial B_g}{\partial P} \right) \frac{\partial P}{\partial t} \\ & + \phi \left(\frac{R_{so} B_g}{B_o} \frac{\partial S_o}{\partial t} + \frac{R_{sw} B_g}{B_w} \frac{\partial S_w}{\partial t} + \frac{\partial S_g}{\partial t} \right) \end{aligned} \quad 10.18$$

สมการนี้ (10.8) คูณด้วย B_w และขยายสมการเป็น

$$\frac{k_w}{\mu_w} \frac{\partial^2 P}{\partial r^2} + \frac{k_w}{\mu_w} \frac{\partial P}{\partial r} \frac{1}{r} = \phi \left(\frac{\partial S_w}{\partial t} - \frac{S_w}{B_w} \frac{\partial B_w}{\partial P} \frac{\partial P}{\partial t} \right) \quad 10.19$$

รวมสมการของน้ำมัน (10.14) และ (10.19) เข้าด้วยกันจะได้

$$\left(\frac{k_o}{\mu_o} + \frac{k_w}{\mu_w} \right) \left(\frac{\partial^2 P}{\partial r^2} + \frac{1}{r} \frac{\partial P}{\partial r} \right) = \phi \left[\frac{\partial S_o}{\partial t} + \frac{\partial S_w}{\partial t} - \left(\frac{S_o}{B_o} \frac{\partial B_o}{\partial P} \frac{\partial P}{\partial t} + \frac{S_w}{B_w} \frac{\partial B_w}{\partial P} \frac{\partial P}{\partial t} \right) \right] \quad 12.20$$

รวมสมการ (10.18) and (10.20) เข้าด้วยกันจะได้

$$\begin{aligned}
& \left(\frac{\partial^2 P}{\partial r^2} + \frac{1}{r} \frac{\partial P}{\partial r} \right) \left(\frac{k_o}{\mu_o} + \frac{k_w}{\mu_w} + \frac{k_g}{\mu_g} + \frac{k_o R_{so} B_g}{\mu_o B_o} + \frac{k_w R_{sw} B_g}{\mu_w B_w} \right) \\
&= \phi \left[\left(\frac{\partial S_w}{\partial t} + \frac{\partial S_o}{\partial t} + \frac{\partial S_g}{\partial t} \right) - \frac{S_o}{B_o} \frac{\partial B_o}{\partial P} \left(1 + \frac{R_s B_g}{B_{w_o}} \right) + \frac{S_o B_g}{B_o} \frac{\partial R_s}{\partial P} \right. \\
&\quad \left. - \frac{S_w}{B_w} \frac{\partial B_w}{\partial P} \left(1 + \frac{R_{sw} B_g}{B_w} \right) + \frac{S_w B_g}{B_w} \frac{\partial R_{sw}}{\partial P} - \frac{S_g}{B_g} \frac{\partial B_g}{\partial P} \right] \frac{\partial P}{\partial t} + \frac{R_{so} B_g}{B_o} \frac{\partial S_o}{\partial t} \\
&\quad \frac{R_{sw} B_g}{B_w} \frac{\partial S_w}{\partial t} \tag{10.21}
\end{aligned}$$

แต่ $S_g + S_o + S_w = 1$ 10.22

และ $\frac{\partial}{\partial t} (S_g + S_o + S_w) = 0$ 10.23

ด้านขวาของสมการ (10.21) ลดลงเหลือ

$$\begin{aligned}
RHS = & \phi \left[- \frac{S_o}{B_o} \frac{\partial B_o}{\partial P} \left(1 + \frac{R_{so} B_g}{B_o} \right) + \frac{S_o B_g}{B_o} \frac{\partial R_{so}}{\partial P} - \frac{S_w}{B_w} \frac{\partial B_w}{\partial P} \left(1 + \frac{R_{sw} B_g}{B_w} \right) \right. \\
& \left. + \frac{S_w B_g}{B_w} \frac{\partial R_{sw}}{\partial P} - \frac{S_g}{B_g} \frac{\partial B_g}{\partial P} \right] \frac{\partial P}{\partial t} + \frac{R_{so} B_g}{B_o} \frac{\partial S_o}{\partial t} + \frac{R_{sw} B_g}{B_w} \frac{\partial S_w}{\partial t} \tag{10.24}
\end{aligned}$$

แทนค่าสมการ 10.15 และ 10.19 ลงในสมการ 10.24 ด้านซ้ายมีอรวมอยู่ในเทอมของ $\frac{\partial}{\partial r} \left(\frac{1}{r} \frac{\partial P}{\partial r} \right)$ และ เทอม saturations ที่สัมพันธ์กับเวลา

$$\begin{aligned}
& \frac{1}{r} \frac{\partial}{\partial r} \left(r \frac{\partial P}{\partial r} \right) \left(\frac{k_o}{\mu_o} + \frac{k_w}{\mu_w} + \frac{k_g}{\mu_g} \right) + \left[\frac{R_{so} B_g}{B_o} \left(\frac{\partial S_o}{\partial t} - \frac{S_o}{B_o} \frac{\partial B_o}{\partial P} \frac{\partial P}{\partial t} \right) \right] \phi \\
&+ \left[\frac{R_{sw} B_g}{B_w} \left(\frac{\partial S_w}{\partial t} - \frac{S_w}{B_w} \frac{\partial B_w}{\partial P} \frac{\partial P}{\partial t} \right) \right] \phi = \phi \left(- \frac{S_o}{B_o} \frac{\partial B_o}{\partial P} + \frac{S_o B_g}{B_o} \frac{\partial R_{so}}{\partial P} \right. \\
&\quad \left. + \frac{S_w}{B_w} \frac{\partial B_w}{\partial P} + \frac{S_w B_g}{B_w} \frac{\partial R_{sw}}{\partial P} - \frac{S_g}{B_g} \frac{\partial B_g}{\partial P} \right) \frac{\partial P}{\partial t} + \frac{R_{so} B_g}{B_o} \frac{S_o}{B_o} \frac{\partial B_o}{\partial P} \frac{\partial P}{\partial t}
\end{aligned}$$

$$-\frac{S_w}{B_w} \frac{\partial B_w}{\partial P} \frac{R_{sw} B_g}{B_w} \frac{\partial P}{\partial t} + \frac{R_{so} B_g}{B_o} \frac{\partial S_o}{\partial t} + \frac{R_{sw} B_g}{B_w} \frac{\partial S_w}{\partial t} \quad 10.25$$

รวมรวมเทอมเหมือนในสมการ 10.25 และให้

$$ct = -\frac{S_o}{B_o} \frac{\partial B_o}{\partial P} + \frac{S_o B_g}{B_o} \frac{\partial R_{so}}{\partial P} - \frac{S_w}{B_w} \frac{\partial B_w}{\partial P} + \frac{S_w B_g}{B_w} \frac{\partial R_{sw}}{\partial P} - \frac{S_g}{B_g} \frac{\partial B_g}{\partial P} \quad 10.26$$

จะได้สมการ 10.25 เป็น

$$\begin{aligned} & \frac{1}{r} \frac{\partial}{\partial r} \left(r \frac{\partial P}{\partial r} \right) \left(\frac{k}{\mu} \right)_t + \phi \frac{R_{so} B_g}{B_o} \frac{\partial S_o}{\partial t} - \phi \frac{S_o B_g}{B_o^2} \frac{\partial B_o}{\partial P} \frac{\partial P}{\partial t} + \phi \frac{R_{sw} B_g}{B_w} \frac{\partial S_w}{\partial t} \\ & - \phi \frac{R_{sw} B_g}{B_w} \frac{S_w}{B_w} \frac{\partial B_w}{\partial P} \frac{\partial P}{\partial t} = \phi \left(c_t \frac{\partial P}{\partial t} - \frac{S_o}{B_o} \frac{\partial B_o}{\partial P} \frac{R_{so} B_g}{B_o} \frac{\partial P}{\partial t} \right. \\ & \left. - \frac{S_w}{B_w} \frac{\partial B_w}{\partial P} \frac{R_{sw} B_g}{B_w} \frac{\partial P}{\partial t} + \frac{R_{so} B_g}{B_o} \frac{\partial S_o}{\partial t} + \frac{R_{sw} B_g}{B_w} \frac{\partial S_w}{\partial t} \right) \end{aligned} \quad 10.27$$

เมื่อ $\left(\frac{k}{\mu} \right)_t = \frac{k_o}{\mu_o} + \frac{k_w}{\mu_w} + \frac{k_g}{\mu_g}$ ความสามารถเคลื่อนไหลด้วยหน่วย

รวมรวมเทอมเหมือนในสมการ 10.27 และหักลบเทอมเหมือนที่มีเครื่องหมายตรงข้ามกันจะได้สมการเป็น

$$\frac{1}{r} \frac{\partial}{\partial r} \left(r \frac{\partial P}{\partial r} \right) \left(\frac{k}{\mu} \right)_t = \phi c_t \frac{\partial P}{\partial t} \quad 10.28$$

และสุดท้ายเป็น

$$\frac{1}{r} \frac{\partial}{\partial r} \left(r \frac{\partial P}{\partial r} \right) = \left(\frac{\phi c_t}{k/\mu} \right)_t \frac{\partial P}{\partial t} \quad 10.29$$

สมการนี้สมนติว่าความสามารถเคลื่อนไหลดของของไหลดไม่เปลี่ยนแปลงไปตามระบบ รัศมี สมการ 10.29 เป็นสมการการไหลดแบบไม่คงตัวของของไหลด 3 ชนิดคือน้ำมัน ก๊าซ และน้ำ แบบรัศมี แก้สมการนี้จะได้ค่าของความดัน (pressures) ที่จุดต่าง ๆ บนแนวรัศมีในเวลาต่าง ๆ สมการนี้เป็นแบบฉบับพื้นฐานสำหรับวิเคราะห์ทำความดันของการไหลดของไหลดหลายชนิด

การกระจายในแบบแนวเส้นมิติเดียว ให้สมการแต่ละชนิดของของไอลเป็น

$$A_x \frac{\partial}{\partial x} \left(\frac{k_o}{\mu_o B_o} \frac{\partial \phi_o}{\partial x} \right) + q_o = V_R \frac{\partial}{\partial t} \left(\frac{\phi S_o}{B_o} \right) \quad \text{สำหรับน้ำมัน} \quad 10.30$$

$$A_x \frac{\partial}{\partial x} \left(\frac{k_w}{\mu_w B_w} \frac{\partial \phi_w}{\partial x} \right) + q_w = V_R \frac{\partial}{\partial t} \left(\frac{\phi S_w}{B_w} \right) \quad \text{น้ำ} \quad 10.31$$

$$A_x \frac{\partial}{\partial x} \left(\frac{k_g}{\mu_g B_g} \frac{\partial \phi_g}{\partial x} + \frac{R_{so} k_o}{\mu_o B_o} \frac{\partial \phi_o}{\partial x} + \frac{R_{sw} k_w}{\mu_w B_w} \frac{\partial \phi_w}{\partial x} \right) + q_g$$

$$= V_R \frac{\partial}{\partial t} \left[\phi \left(\frac{S_g}{B_g} + \frac{R_{so}}{B_o} + \frac{R_{sw} S_w}{B_w} \right) \right] \quad \text{ก๊าซ} \quad 10.32$$

เราสามารถรวมสมการเหล่านี้เข้าด้วยกันเพื่อให้ได้สมการการไอลในแหล่งกักเก็บเพื่อที่จะทำเช่นนี้ เราอาจจะต้องใช้เงื่อนไขช่วงอย่างเข้ามาช่วยคือ

เทอนพลังงานศักย์อาจเจียนในรูปของ

The potential terms are defined as:

$$\Phi_o = P_o + \rho_o gh \quad \text{สำหรับน้ำมัน} \quad 10.33$$

$$\Phi_g = P_g + \rho_g gh \quad \text{สำหรับก๊าซ} \quad 10.34$$

$$\Phi_w = P_w + \rho_w gh \quad \text{สำหรับน้ำ} \quad 10.35$$

เทอนความดัน Capillary Pressure เจียนเป็น

$$P_{cw} = P_o - P_w \quad 10.36$$

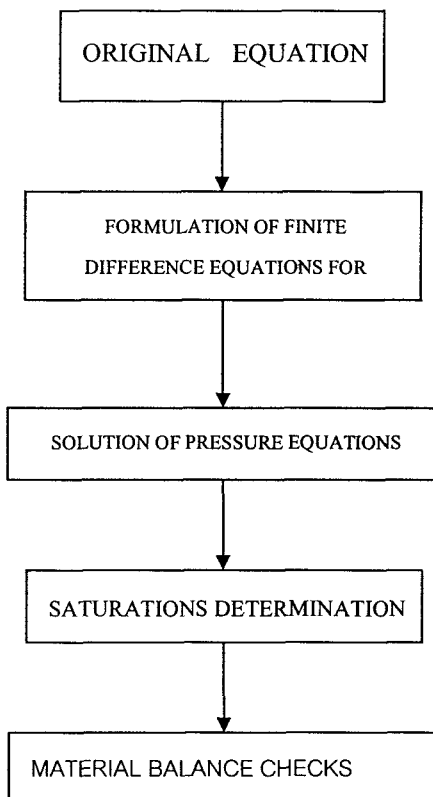
$$P_{cg} = P_g - P_o \quad 10.37$$

สมการ 10.30 ถึง 10.37 สามารถรวมกันได้โดยใช้สมการสัดส่วนของในผล 10.10 จะได้

$$A_x \frac{\partial}{\partial x} \left(\lambda_T \frac{\partial P_o}{\partial x} \right) + A_x \frac{\partial}{\partial x} \left(\lambda_g \frac{\partial P_{cg}}{\partial x} - \lambda_w \frac{\partial P_{cw}}{\partial x} \right) + A_x \frac{\partial}{\partial x} \left[\lambda_g \frac{\partial (\rho_g gh)}{\partial x} + \lambda_w \frac{\partial (\rho_w gh)}{\partial x} \right] = \beta_1 \frac{\partial P_o}{\partial t} + \beta_2 \quad 10.38$$

เมื่อ λ -variables เป็นเทอนความสามารถไอล β -variables เป็นพิจารณาชั้นของ PVT (pressure-volume-temperature) terms, and β -variables เป็นเทอนอัตราผลิต

สำหรับการไหล 2 มิติ สมการ สามารถขยายเพื่อรวมการไหลแนวทาง y เข้าด้วยกัน วิธีที่จะแก้สมการนี้ มี 2 วิธีพื้นฐาน แนวทางหนึ่งที่ใช้แก้สมการได้แสดงให้เห็นจากรูป ขั้นตอนการแก้ปัญหาต่อไปนี้



รูป 10.4 ขั้นตอนการหาค่าตอบจากสมการการไหล

Finite-Difference Analog

$$\begin{aligned}
 & A_x \frac{\partial}{\partial x} \left(\lambda_T \frac{\partial P_o}{\partial x} \right) + A_x \frac{\partial}{\partial x} \left(\lambda_g \frac{\partial P_{cg}}{\partial x} - \lambda_w \frac{\partial P_{cw}}{\partial x} \right) \\
 & + A_x \frac{\partial}{\partial x} \left(\lambda_g \frac{\partial (\rho_g gh)}{\partial x} + \lambda_o \frac{\partial (\rho_o gh)}{\partial x} + \lambda_w \frac{\partial (\rho_w gh)}{\partial x} \right) = B_1 \frac{\partial P_o}{\partial t} + B_2 \quad 12.39
 \end{aligned}$$

สมการ finite-difference 10.39 สามารถดำเนินต่อไปโดยแทนที่ด้วยสมการ differential equation ขั้นแรกสมมติว่าไม่ใช้การทำซ้ำ noniterative เพื่อหาค่าเทอม ความดัน สัดส่วนของไอลและความดันของเล็ก pressure, saturation, and capillary ซึ่งในกรณีนี้เราระบุได้ว่าสามารถใช้ระดับช่วงเวลาดังต่อไปนี้

$$\begin{aligned} A_x \frac{\partial}{\partial x} \left(\lambda_T^n \frac{\partial P_o^{n+1}}{\partial x} \right) + A_x \frac{\partial}{\partial x} \left(\lambda_g \frac{\partial P_{cg}}{\partial x} - \lambda_w \frac{\partial P_{cw}}{\partial x} \right)^n \\ + A_x \frac{\partial}{\partial x} \left(\lambda_g^n \frac{\partial (\rho_g gh)}{\partial x} + \lambda_o^n \frac{\partial (\rho_o gh)}{\partial x} + \lambda_w^n \frac{\partial (\rho_w gh)}{\partial x} \right) \\ = B_1 \frac{\partial P_o^{n+1}}{\partial t} + B_2^{n+1} \end{aligned} \quad 10.40$$

แต่ละเทอมข้างบนสามารถแยก differentiate ได้ สิ่งที่สำคัญที่สุดคือ เทอมแรกที่เป็นความดันของน้ำมันที่ระดับเวลา $(n+1)$ เมื่อทุกตัวอื่นอยู่ระดับเวลา n ต่างก็สมมติว่ารู้ค่าแล้ว สามารถรวมกลุ่มกัน และข้ายมาอยู่ด้านขวาเมื่อ

สมการแบบ finite-difference ของเทอมแรกด้านซ้ายของสมการ 10.40 จะเป็น

$$A_x \frac{\partial}{\partial x} \left(\lambda_T^n \frac{\partial P_o^{n+1}}{\partial x} \right) = A_x \left[\frac{\lambda_{T,i+\frac{1}{2}} \left(\frac{P_{o,i+1} - P_{o,i}}{\frac{\Delta x_i + \Delta x_{i+1}}{2}} \right) - \lambda_{T,i-\frac{1}{2}} \left(\frac{P_{o,i} - P_{o,i-1}}{\frac{\Delta x_i + \Delta x_{i-1}}{2}} \right)}{\Delta x_i} \right] \quad 10.41$$

สมการ 10.41 อยู่บนพื้นฐานที่พื้นที่ Ax คงตัว ถ้าพื้นที่เปลี่ยนแปลงได้ ค่าของ Ax ต้องเข้ามาอยู่ในวงเล็บดังนี้

$$\frac{\partial}{\partial x} \left(A_x \lambda_T^n \frac{\partial P_o^{n+1}}{\partial x} \right) = \frac{1}{\Delta x_i} \left[A_{x,i+\frac{1}{2}} \lambda_{T,i+\frac{1}{2}} \left(\frac{P_{o,i+1} - P_{o,i}}{\frac{\Delta x_i + \Delta x_{i+1}}{2}} \right) \right]$$

$$-A_{x_i-\frac{1}{2}} \lambda_{Ti-\frac{1}{2}} \left[\left(\frac{P_{oi} - P_{oi-1}}{\left(\frac{\Delta x_i + \Delta x_{i-1}}{2} \right)} \right) \right] \quad 10.42$$

เทอม mobility $\lambda_{Ti \pm \frac{1}{2}}$ ถูกประเมินค่าระหว่างเซลล์ที่อยู่ต่อกัน เมื่อการไหลเกิดขึ้น เทอมนี้ปักติ

ทั่วไปแล้วจะถูกเลือกจากค่าการเคลื่อนไหล (mobility) เซลต้นทางสมการ 10.41 และ 10.43 สามารถทำให้ง่ายขึ้นเพื่อให้ได้ค่าเทอมต่าง ๆ ที่รวมเข้าค่าการเคลื่อนไหลและขนาด (geometry) เข้าด้วยกัน และคงเทอมความดัน (pressure) ไว้ยกตัวอย่างทำด้านข้างของสมการให้ง่ายขึ้นและให้เท่ากับด้านขวาเมื่อเราจะได้

$$X_{i+\frac{1}{2}} (P_{oi+1} - P_{oi})^{n+1} - X_{i-\frac{1}{2}} (P_{oi} - P_{oi-1})^{n+1} = \frac{\partial P_{oi}^{n+1}}{\partial t} + C^n \quad 10.43$$

ในสมการ 10.43 เทอม X อยู่บนด้านซ้ายมือ ได้รวมเอาเทอม Mobility และ rock geometry เข้าด้วยกันและเทอม C^n บนด้านขวาของสมการ ได้รวมเอาค่าต่าง ๆ ที่ทราบค่าจากการคำนวณมาก่อนที่ระดับเวลา n เทอม derivative ของความดันเทียบกับเวลาสามารถเขียนได้เป็น

$$\frac{\partial P_{oi}}{\partial t} = \frac{P_{oi}^{n+1} - P_{oi}^n}{\Delta t^n} \quad 10.44$$

และเมื่อหันระดับเวลาใหม่ $(n+1)$ ค่าความดันที่ระดับเวลาใหม่ในสมการ 10.43 เปรี้ยญได้เป็น

$$X_{i+\frac{1}{2}} (P_{oi+1} - P_{oi})^{n+1} - X_{i-\frac{1}{2}} (P_{oi} - P_{oi-1})^{n+1} = \frac{P_{oi}^{n+1} - P_{oi}^n}{\Delta t_n} + C^n \quad 10.45$$

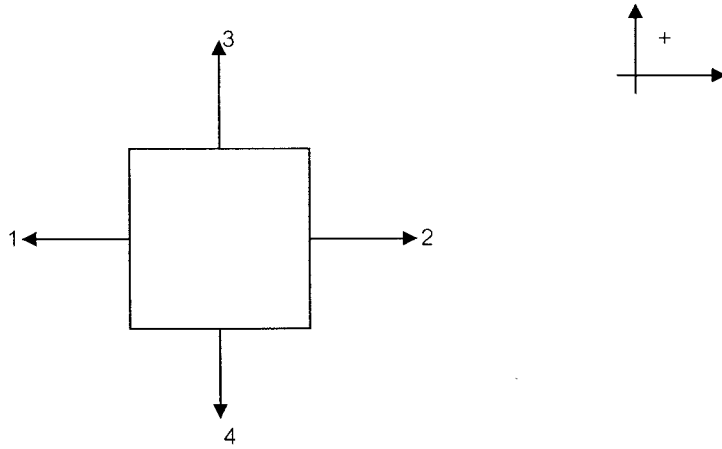
รวมเทอม $(n+1)$ เราจะได้

$$X_{i+\frac{1}{2}} P_{i+1}^{n+1} - \left(X_{i+\frac{1}{2}} + X_{i-\frac{1}{2}} + \frac{1}{\Delta t^n} \right) P_{oi}^{n+1} + X_{i-\frac{1}{2}} P_{oi-1}^{n+1} = -\frac{P_{oi}^n}{\Delta t^n} + C^n \quad 10.46$$

นี้คือสมการหนึ่งของความดันที่เป็น finite-difference เทียบกับสมการ partial differential ดังเดิมที่เขียนที่เซลหนึ่ง (i) ในแบบจำลอง สมการคล้ายกัน สามารถเขียนได้ทุก ๆ เซลในแบบจำลองและคำนวณค่าความดันทุกระดับเวลา $(n+1)$ ในการไหล 1 มิติ จะมีตัวไมร์รูค่าอยู่ 3 ค่าความดันซึ่งกันอยู่กันนั่งใน 2 มิติจะมีตัวไมร์รูค่าอยู่ 5 และใน 3 มิติจะมีตัวอยู่รูค่าอยู่ 7

สมการแบบ finite-difference ของความดัน pressure สามารถแก้สมการได้ด้วยวิธีการที่เหมาะสม เช่น ADIP, LSOR, SIP เพื่อจะได้ค่าการกระจายตัวของความดันและการกระจายตัวของพลังงานศักย์ (Potential) ที่สามารถคำนวณได้จากค่า Potential ค่าสัดส่วนของไหล (Saturation) ใหม่ ที่สามารถคำนวณได้ดังต่อไปนี้

Computation of Saturation at New Level



$$\left[\frac{S_o}{B_o} \right]^{n+1} = \left[\frac{S_o}{B_o} \right]^n + \frac{\Delta t}{\phi} \left[\frac{\partial}{\partial x} \left(\frac{k_o}{\mu_o B_o} \frac{\partial \phi_o}{\partial x} \right) \right] = \frac{S_o^n}{B_o} + \sum_i^4 \text{Flow Terms}$$

$$\frac{\left(\phi \frac{S_o}{B_o} \right)^{n+1} - \left(\phi \frac{S_o}{B_o} \right)^n}{\Delta t} = \frac{\partial}{\partial t} \left(\phi \frac{S_o}{B_o} \right) = \frac{\partial}{\partial x} \left(\frac{k_o}{\mu_o B_o} \frac{\partial \phi_o}{\partial x} \right) \quad 10.47$$

เมื่อจัดเรียงเทอมใหม่ค่า Saturation ใหม่ก็สามารถคำนวณได้

$$\left(\frac{S_o}{B_o} \right)^{n+1} = \left(\frac{S_o}{B_o} \right)^n + \frac{\Delta t}{\phi} \left[\frac{\partial}{\partial x} \left(\frac{k_o}{\mu_o B_o} \frac{\partial \phi_o}{\partial x} \right) \right] = S_o^n + \sum \text{Flux terms} \quad 10.48$$

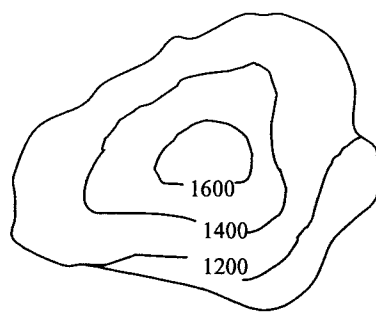
รูปที่ 10.5 ถึง 10.8 ได้สรุปวิธีการแบบ IMPES (Imdicit Pressure – Explicit Saturation) ความตันระดับเวลาเดิม สัดส่วนของไอลอญ์ระดับเวลาใหม่

ความดันระดับเวลาเดิม Saturation ระดับเวลาใหม่

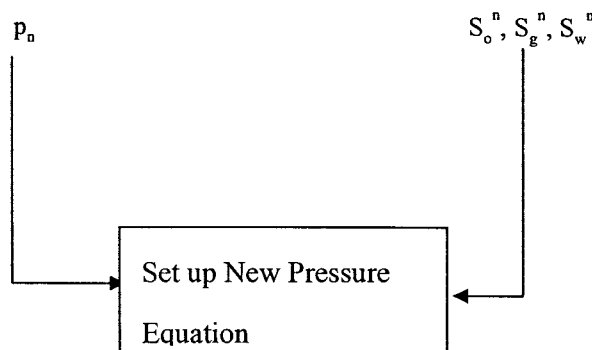
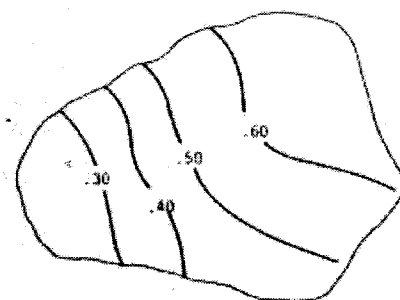
Start Time Step:

Time = t Step1

Old Pressure Distribution



Old Saturation Distribution



รูป 10.5 กำหนดสมการเริ่มต้นของความดันที่ระดับเวลาขั้นที่ 1

Time = t ขั้นที่ 2

$$\left[\begin{array}{c} \diagdown \\ \diagup \\ \diagdown \\ \diagup \\ \diagdown \\ \diagup \end{array} \right] * \left[\begin{array}{c} \{\} \\ P_i^{n+1} \\ \{\} \end{array} \right] = \left[\begin{array}{c} \{\} \\ RHS_i \\ \{\} \end{array} \right]$$

Solve For New Pressure : P^{n+1}

รูป 10.6 แสดงในเห็นรูปแบบ Matrix ของความดันแบบ IMPES

Time = $t + \Delta t$ ขั้นที่ 3

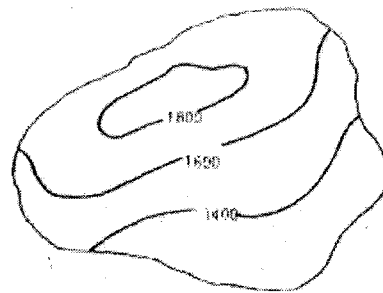
คำนวณค่า Saturations ใหม่โดยใช้การตับความดันใหม่

$$\rightarrow S_o^{n+1}, S_g^{n+1}, S_w^{n+1}$$

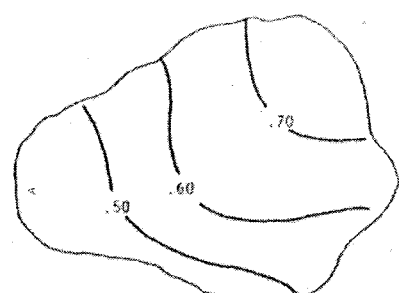
End Results

$$\text{Time} = t + \Delta t$$

New Pressure Distribution



New Saturation Distribution

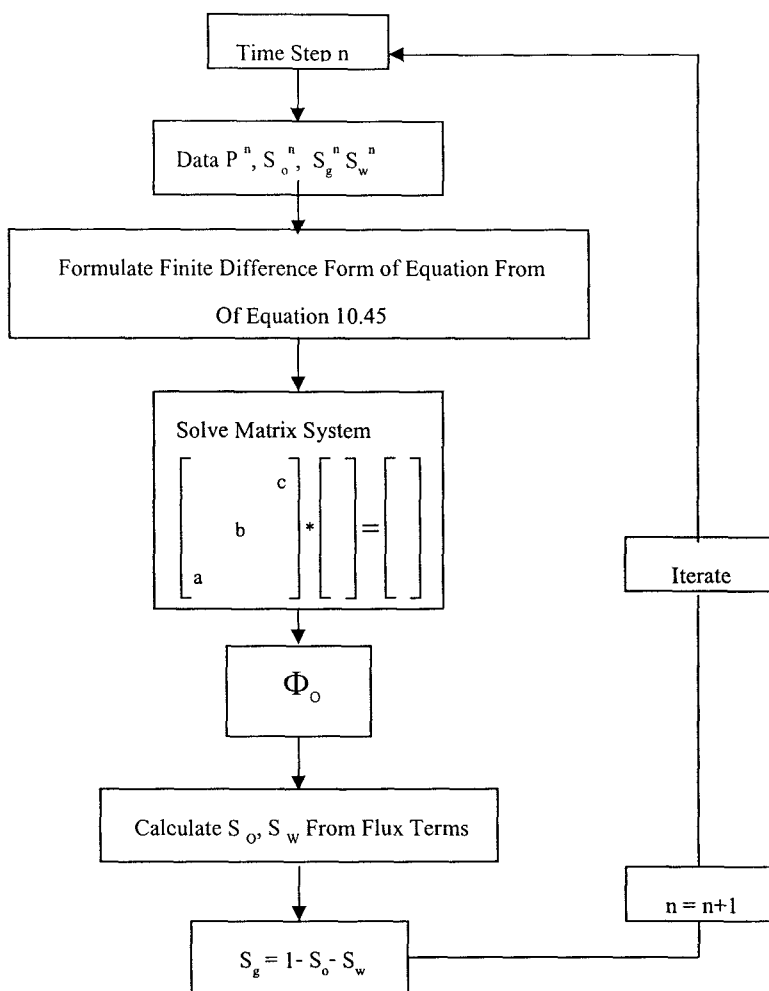


End
T
Step: F

$$S_o^{n+1}, S_g^{n+1}, S_w^{n+1}$$

รูป 10.7 ผลของการคำนวณเพื่อเสรีจสินช่วงเวลาที่กำหนด

Summary



รูป 10.8 สรุปขั้นตอนคำนวณแบบ IMPES

10.2 การเตรียมข้อมูลสำหรับทดลองผลิตด้วยคอมพิวเตอร์ (Reservoir Simulator)

ข้อมูลที่จำเป็นต่อการทดลองผลิตด้วยโปรแกรมคอมพิวเตอร์แบ่งเป็นกลุ่มได้ดังนี้

- ก. ข้อมูลของ流體 (Fluid Data)
- ข. ข้อมูลเกี่ยวกับหิน (Rock Data)
- ค. ข้อมูลการผลิต (Production Data)
- ง. ข้อมูลอัตราการ 流出 (Flow rate Data)
- จ. ข้อมูลเกี่ยวกับอุปกรณ์และการดำเนินการ (Mechanical and operation Data)

- ๙. ข้อมูลเศรษฐศาสตร์ (Economic Data)
- ๑๐. ข้อมูลอื่น ๆ ที่จำเป็น (Miscellaneous Data)

ข้อมูลของไอล (Fluid Data)

คุณสมบัติของไอลในแหล่งปิโตรเลียมจะต้องมีการประเมินหลาย ๆ ครั้งในขณะที่มีการทดลองผลิต (Simulation) ด้วยคอมพิวเตอร์ภายใต้การลดลงของพลังการผลิต (depletion) หรือภายใต้กลไกของการผลิตขั้นที่สอง (Secondary) หรือขั้นที่สาม (Tertiary)

คุณสมบัติของไอลที่ผันแปรตามความดัน ได้แก่

- ตัวประกอบเทียนปริมาณ (Formation volume factors)
- ความหนืดของของไอล (Fluid Viscosity)
- อัตราแก๊สละลายในน้ำมัน (Solution gas – oil Ratio)

คุณสมบัติเหล่านี้โดยทั่วไปแล้วจะได้จากห้องปฏิบัติการในการศึกษาตัวอย่างของไอล และตัวอย่างหิน ไม่คำนึงถึงวิธีการในการป้อนข้อมูลแต่การป้อนข้อมูลเกี่ยวกับน้ำมัน ก๊าซ และน้ำ จะต้องเป็นไปตามเมนูของโปรแกรมแต่ละโปรแกรมที่กำหนดให้ไว้

1. ค่าความกดได้ของน้ำมันที่ไม่อิ่มตัว (The under-saturated oil compressibility (back oil system only))
2. ค่าความชันของความหนืดของไอล (The under-saturated oil viscosity slope (back oil system only))
3. จุดความดันเริ่มน้ำก๊าซระเหย (Bubble point pressure (back oil and gas water system))
4. ความถ่วงจำเพาะ (Gravity (back oil and gas-water system))
5. ค่าความหนืดของน้ำ (Water viscosity (back oil gas-water system))
6. ค่าปรับปริมาตรของน้ำ (Water formation volume factor (black oil and gas-water system))

ข้อมูลของหิน

ข้อมูลต่าง ๆ ที่จำเป็นต่อการหาข้อมูลของหินแหล่งปิโตรเลียมเพื่อวิเคราะห์การไอล ตัวผ่านได้ (transmissibilities) ในระหว่างการทดลองผลิตจากคอมพิวเตอร์จะต้องใส่เข้าไปในโปรแกรมแบบใดแบบหนึ่ง ข้อมูลที่มีความจำเป็นเหล่านี้ได้แก่

1. ค่าความซึมผ่านได้ (Permeability) สามารถหาได้จากหลักการไอล
 - การวัดความดันเพิ่มหลังทดสอบอัตราการไอล (Pressure build up data (drill stem test))

- การวัดความดันที่ลดลงในขณะทดสอบอัตราการไอล (Pressure fall off data)
 - การวัดความดันอีกหลุมหนึ่งในขณะผลิต (Interference tests)
 - การทดสอบอัตราการไอล (Initial potential test)
 - การวิเคราะห์จากข้อมูลเก่า (Regression analysis (case history approach))
 - การวัดจากห้องปฏิบัติการ (Laboratory measurements)
2. ค่าความพรุน (Porosity) ปกติมักได้รับจาก
- การวัดคุณสมบัติของหลุมเจาะ (Logging data in the form of sonic/acoustic logs)
 - การวัดจากห้องปฏิบัติการ (Laboratory measurements)
 - ข้อมูลเผยแพร่ต่าง ๆ (Published correlations)
3. ความหนาของแหล่งปิโตรเลียม (Formation Thickness) ปกติจะได้รับจาก
- แผนที่ความหนาชั้นทินรวม (gross isopach map (must simulations usually use))
 - แผนที่ความหนาชั้นทินสุทธิ (net isopach map)
 - แผนที่แสดงความลึกของชั้นหิน (Structural contour map)
4. ระดับความลึกแหล่งที่มาของชั้นหิน ข้อมูลจากการhayั่งธารณิหลุมเจาะและการบันทึกในขณะการเจาะสำรวจ
5. ข้อมูลและแหล่งข้อมูลความสามารถในการถูกกดทับทั้งข้อมูลที่วิเคราะห์จากห้องปฏิบัติและจากเอกสารตีพิมพ์ต่าง ๆ
6. ความสามารถในการซึมผ่านได้สัมพัทธ์ (Relative Permeability) ซึ่งอาจได้มาจากการหนึ่งในหัวรีต่อไปนี้
- จากการวัดในห้องปฏิบัติการแบบการไอลคงตัว (Steady-state)
 - จากการวัดในห้องปฏิบัติการแบบการไอลไม่คงตัว (Unsteady-state)
 - คำนวณจากข้อมูลความดันในท่อเล็ก (Capillary Pressure)
 - คำนวณจากข้อมูลภาคสนาม
 - คำนวณจากสูตรดำเนิร์จที่มีการเผยแพร่
7. ความอิ่มตัวของไอลในหิน (Fluid saturation) ในแหล่งกักเก็บปิโตรเลียมจะมี 2 ระยะที่มีความสำคัญในการหาระดับความอิ่มตัวของของไอลคือ รอยต่อระหว่างกําชกับน้ำมันและรอยต่อระหว่างน้ำมันกับน้ำ การคำนวณระดับความอิ่มตัวของไอลในหินคำนวณจากตำแหน่งของชั้นหินในเซลล์เทียนกับระนาบดังกล่าว ส่วนความอิ่มตัวของของน้ำ (Connate Water) อาจวิเคราะห์จาก
- ตัวอย่างแท่งหิน (Core data)

- การหยั่งชรพีหลุมเจาะ (Electric logs)
- ความดันในรูเล็ก (Capillary pressure)

ข้อมูลการผลิต

ข้อมูลเกี่ยวกับการผลิตปิโตรเลียมที่มีความสำคัญในการบรรจุลงในโปรแกรมแต่ละหลุมมี

1. ปริมาณการผลิตน้ำมันกับระยะเวลา
2. ปริมาณการผลิตน้ำกับระยะเวลา
3. ปริมาณการผลิตก๊าซกับระยะเวลา
4. ความดันกับระยะเวลา

อัตราและดัชนีการผลิต

ข้อมูลอัตราการผลิตมีความจำเป็นที่จะป้อนเข้าไปในคอมพิวเตอร์ เพื่อคำนวณ
ความสามารถในการผลิตของหลุมผลิตในระบบข้อมูลเหล่านี้ได้แก่

1. ดัชนีการผลิต (Productivity index)
2. ดัชนีการอัดน้ำ (Injectivity index)
3. อัตราการไหลสูงสุด (Optimum flow rates)
4. อัตราลดสูงสุดที่กำหนด (Maximum allowable drawdowns)

การไหลของน้ำมันและก๊าซมักจะแสดงให้เห็น การเปลี่ยนแปลงของสัดส่วนก๊าซต่อน้ำมัน (gas-oil ratio) ความดันก้นหลุมและอัตราการไหล การเปรียบเทียบให้เข้ากันได้ที่พื้นผืนของความดันไหลกันหลุมกับอัตราการไหลและสัดส่วนก๊าซต่อน้ำมันมีความจำเป็นในการหาค่าตัวประกอบในการไหลต่าง ๆ ในหลุมในระหว่างการทดลองผลิตด้วยคอมพิวเตอร์

ตารางที่ 10.1 ข้อมูลที่ต้องการในการศึกษาแบบจำลองคอมพิวเตอร์

คุณสมบัติ (Property)	แหล่งข้อมูล (Source)
ความสามารถซึมผ่านได้ (Permeability)	การทดสอบอัตราการไหล ผลวิเคราะห์หิน ตัวอย่าง การใช้สูตรสำเร็จ และประสิทธิภาพ การไหลของหลุม (Pressure transient testing, core analyses, Correlation, Well performance)
ความพรุน ความสามารถถูกกดดัน (Porosity, Rock compressibility)	ผลวิเคราะห์หินตัวอย่างและการหยั่งชรพีหลุมเจาะ (Core analyses, Well logs)

คุณสมบัติ (Property)	แหล่งข้อมูล (Source)
ความซึมผ่าน ตัวพิทักษ์ และแรงดันรูเต็ก (Relative permeability and capillary pressure)	ผลวิเคราะห์การไอล์ฟงานแท่งหินตัวอย่างในห้องปฏิบัติการ (Laboratory core flow tests)
กรดจมตัวของไอล์ฟในหิน (Saturations)	การหยั่งหลุมเจาะ การวิเคราะห์แท่งหินตัวอย่าง และการทดสอบอัตราการไอล์ฟ (Well logs, Core analyses, Pressure cores, Single-well tracer test)
รอยเลื่อน ขอบเขต และรอยต่อของของไอล์ฟ (Faults, boundaries, Fluid contacts)	ผลสำรวจธรณีฟิสิกส์และการทดสอบอัตราการไอล์ฟ (Seismic, Pressure transient testing)
แหล่งน้ำขับดัน (Aquifers)	การสำรวจธรณีฟิสิกส์ การคำนวณการคงตัวของสาร การศึกษาผลการสำรวจเป็นบริเวณ (Seismic, Material balance calculations, Regional exploration studies)
รอยแยก ระยะห่าง และการวางตัว (Fracture spacing, orientation)	วิเคราะห์แท่งหินตัวอย่าง การหยั่งช่วงหลุมเจาะ การสำรวจธรณีฟิสิกส์และการทดสอบอัตราการไอล์ฟ (Core analyses, well logs, Seismic, Pressure transient tests, Interference testing)
การต่อเนื่อง (Connectivity)	ประสิทธิภาพการไอล์ฟของหลุม (Wellbore performance)
ตารางการไอล์ฟและความดัน (Rate and pressure data)	ลักษณะของแหล่งในอดีต (Field performance history)
ข้อมูลการเตรียมหลุมเพื่อการผลิต (Completion and work-over data)	รายงานหลุมเจาะและเตรียมหลุมผลิต (Completion and work-over report of wells)

10.3 แบบจำลองแหล่งปิโตรเลียม (Simulation Model)

ในการสร้างแบบจำลองแหล่งปิโตรเลียมสามารถแบ่งออกเป็น 3 ประเภทคือ

1. แบบจำลองทางฟิสิกส์ (Physical Models)

แบบจำลองเหล่านี้จะสร้างในห้องทดลองให้มีคุณสมบัติทางฟิสิกส์ให้เหมือนแหล่ง

ปิโตรเลียมจริงแต่ละย่อส่วนลงมาให้สามารถทดลองผลิตในห้องปฏิบัติการ

2. แบบจำลองเทียบเหมือน (Analog Models)

เป็นแบบจำลองที่ใช้การ ไอลเทียบเหมือนกับการ ไอลของของไอลผ่านชั้นหิน (Porous Media) เช่นการ ไอลของกระแสงไฟฟ้าในตัวนำ โดยทดลองวัดกระแสงไฟฟ้าเทียบเหมือนปริมาณของไอลความด้านทานเทียบเหมือนชั้นหิน ความต่างศักย์ เทียบเหมือนความดัน (Pressure) เป็นต้น

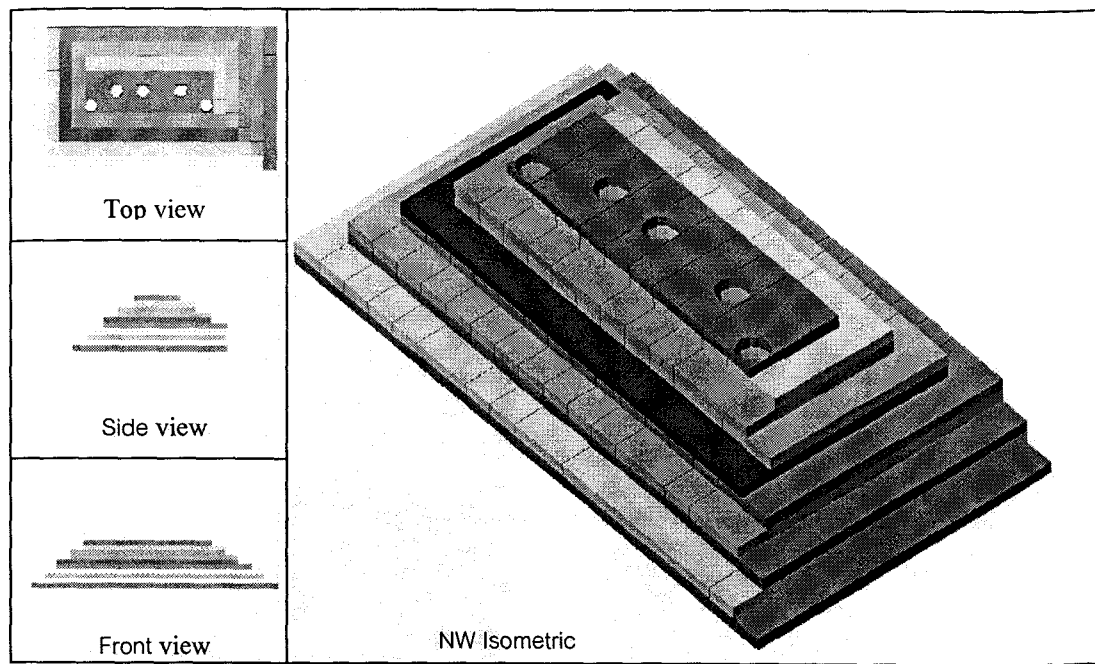
3. แบบจำลองทางคณิตศาสตร์ (Mathematical Models)

เป็นแบบจำลองที่ต้องใช้สมการทางคณิตศาสตร์หรือกลุ่มสมการต่าง ๆ มาคำนวณ และอธินายถึงการแสดงออกทางกายภาพของขบวนการผลิตภายในช่องทางการสืบศึกษา

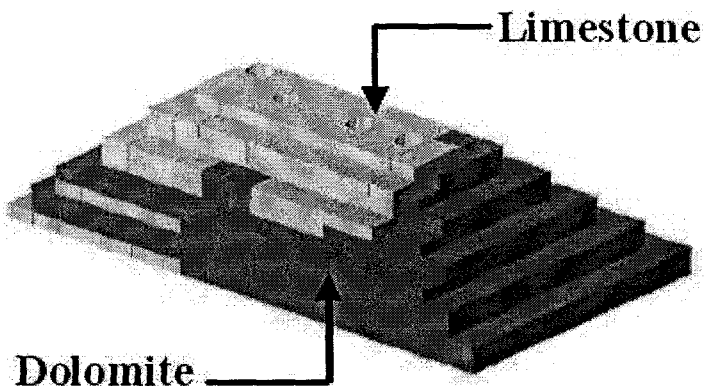
แบบจำลองเหล่านี้เป็นตัวแทนของการ ไอลของของไอลผ่านชั้นหิน จริง ๆ เหล่านี้เป็นสเกลห้องปฏิบัติการ เหล่านี้ไม่สามารถสังเกตเห็นได้สะดวกในการผลิตจากเหล่าจริง การทำเหล่านี้จำลองปีโตรเลียมต้องอยู่บนพื้นฐานข้อมูลทางธรรพวิทยา ปีโตรฟิสิกส์ และข้อมูลการผลิต

เหล่านี้จำลองส่วนใหญ่ที่ทดลองผลิตเหล่านี้เป็นแบบจำลองทางคณิตศาสตร์ แบบจำลองทางฟิสิกส์ในห้องปฏิบัติการมักจะใช้ศึกษาเบื้องต้นในขั้นตอนการผลิตปีโตรเลียมที่เฉพาะเจาะจง บางอย่าง ผลกระทบแบบจำลองทางฟิสิกส์จะนำไปพนวกกับแบบจำลองทางคณิตศาสตร์ใน สเกลเหล่านี้ ปีโตรเลียมจริงสำหรับขบวนการอุตสาหกรรมปีโตรเลียม

ในการศึกษาระบบที่นี้แบบจำลองเหล่านี้เป็นแบบจำลองมีขนาด $3.1 \times 6.1 \times 0.2$ ลูกบาศก์เมตร ครอบคลุมพื้นที่ประมาณ 20 ตารางกิโลเมตรประกอบด้วยความหนา 10 ชั้น แต่ละชั้นมีเซลล์ 200 เซลล์ แต่ละเซลล์เรียกว่า กริดบล็อก (grid block) มีขนาดพื้นที่ 310×310 ตารางเมตร กริดบล็อกทั้งหมดของแบบจำลองมี 200 กริดบล็อก มีหกุณผลิตปีโตรเลียมแนวตั้งทั้งหมด 5 หกุณ แต่ละหกุณจะอยู่ต่ำกัน กริดบล็อก (ตำแหน่งดังแสดงในรูปที่ 10.1) ความหนารวม (gross) ของหกุณผลิตทั้ง 5 หกุณในแต่ละชั้นหนา 65 ฟุต (20 เมตร) แต่ความหนาสุทธิจะอยู่ระหว่าง 20-26 ฟุต พื้นที่และจำนวนกริดบล็อกในแต่ละชั้นจะแยกและแสดงตั้งต่างๆ กัน สำหรับสุดของโครงสร้างเหล่านี้จะอยู่ที่ความลึก 8500 ฟุต และลึกลงที่ล่างสุดของโครงสร้างที่ความลึก 9,150 ฟุต



Reservoir Model Picture



รูป 10.9 แบบจำลองแหล่งน้ำหิน大理岩

ตาราง 10.2 รูปร่างพื้นที่และจำนวนกริดบล็อกในแต่ละชั้น

ชั้นที่ (Layer Number)	จำนวนกริดบล็อก (Number of gridblock)
1	30.0
2	42.0
3	49.0
4	57.5
5	64.0
6	70.5
7	84.5
8	94.5
9	101.5
10	116.0

บทที่ 11

แหล่งปิโตรเลียมแบบถังเดียว (TANK MODEL)

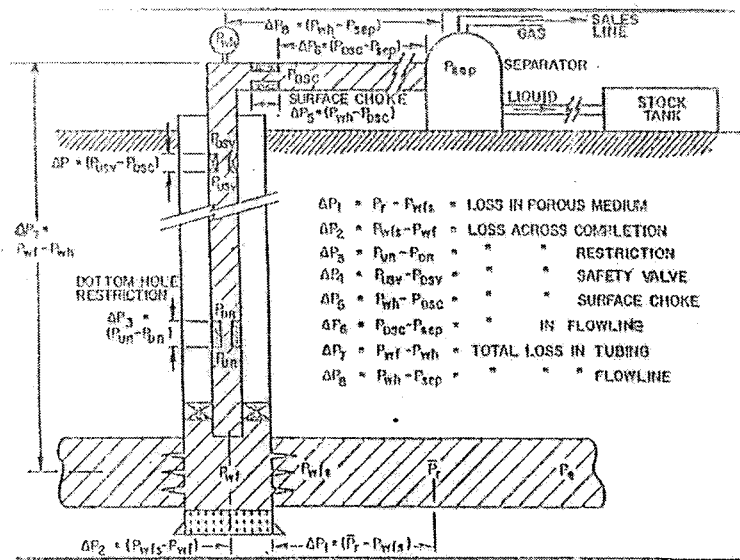
11.1 ทฤษฎี

การจำลองแหล่งปิโตรเลียมอาจสมมุติว่า ๆ ว่าเป็นแบบถังเดียว (Tank Model) ที่เอากำลังกักเก็บ ข้อมูลอุปกรณ์การผลิตจากก้านหลุ่มถึงปากหลุ่ม และเทคโนโลยีก้าวหน้าที่สามารถใช้ในการคำนวณในแบบจำลองเช่นนี้ประกอบไปด้วย สมการไหลในหินที่มีรูพรุน (Porous Media) สมการไหลผ่านท่อจากก้านหลุ่มขึ้นสู่พื้นผิว และสมการการคงตัวของสาร (Material Balance) แบบจำลองอย่างง่ายนี้สามารถใช้วิเคราะห์พฤติกรรม ความคันของแหล่งปิโตรเลียมที่เปลี่ยนไปเมื่อมีการทดลองผลิตปิโตรเลียม

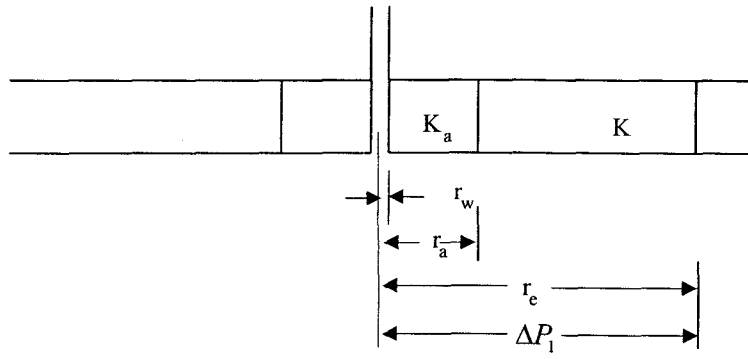
11.2 พื้นฐานของแหล่งจำลองแบบถังเดียว

1. การคำนวณความคันที่ลดลงในตัวกลางรูพรุน ΔP_1

Pressure Loss in Porous Media



รูปที่ 11.1 แสดงความคันลดลงเมื่อไหลผ่านอุปกรณ์การผลิตของของไหล



ในแหล่งปิโตรเลียมจำลองจะแบ่งออกเป็น 2 โซนที่มีค่าความซึมผ่านได้เป็น 2 ค่า
 K_a = ค่าซึมผ่านได้ (Permeability) ในโซนที่ทำ Acidizing รอบหุ้มผลิต
 K = ค่าซึมผ่านได้ในโซนที่เป็นแหล่งปิโตรเลียมดังเดิม
ฉะนั้นจึงต้องหาค่าซึมผ่านได้เฉลี่ยจากสมการ 11.1

$$K_{avg} = \frac{K_a K_a \ln \left(\frac{r_e}{r_w} \right)}{K_a \ln \left(\frac{r_e}{r_a} \right) + K \ln \left(\frac{r_a}{r_w} \right)} \quad 11.1$$

\therefore flow from $\bar{P}_r \rightarrow P_{wf}$

$$\bar{P}_r^2 - P_{wf}^2 = \frac{1424 q \mu Z T}{Kh} \left(\ln 0.472 \frac{r_e}{r_w} \right)$$

$$\bar{P}_r^2 - P_{wf}^2 = \frac{1424 q \mu Z T}{K_{avg} h} \left(\ln 0.472 \frac{r_e}{r_w} \right) \quad 11.2$$

q = อัตราการไหลของก๊าซ (พัน ลบ.ฟุต/วัน) (Gas Production Rate, MSCF/D)

μ = ค่าความหนืด (Viscosity, cp)

K_{avg} = ค่าความซึมผ่านได้เฉลี่ย (Average Permeability, md)

T = อุณหภูมิในแหล่งก๊าซ (Reservoir Temperature, °R ($460+^{\circ}\text{F}$))

h = ความหนาของแหล่งก๊าซ (Reservoir Thickness, ft)

Z = ค่าปริมาตรเบี่ยงเบนของก๊าซธรรมชาติ (Compressibility Factor)

ค่า Z จะเปลี่ยนไปตามความดันในแหล่งก๊าซดังต่อไปนี้ (สำหรับก๊าซแห้งที่มีน้ำเพียงเล็กน้อย)

มากกว่า 95%)

ถ้า Reservoir มีอุณหภูมิ 670°R จะมีค่า Z จะเป็น

Reservoir temperature is 670°R . Compressibility factor is following this:

$$\text{If } 100 < P \leq 1000 \quad Z = 0.97 - 0.00006(P - 500)$$

$$1000 < P \leq 1500 \quad Z = 0.94 - 0.00002(P - 1000)$$

$$1500 < P \leq 2000 \quad Z = 0.93 - 0.00002(P - 1500)$$

$$2000 < P \leq 2400 \quad Z = 0.92 - 0.000075(P - 2000)$$

$$2400 < P \leq 3000 \quad Z = 0.917 + 0.0000117(P - 2400)$$

$$3000 < P \leq 4000 \quad Z = 0.924 + 0.00004(P - 3000)$$

$$4000 < P \leq 5000 \quad Z = 0.964 + 0.000056(P - 4000)$$

$$5000 < P \leq 6000 \quad Z = 1.02 + 0.000067(P - 5000)$$

$$6000 < P \leq 7000 \quad Z = 1.057 + 0.00006(P - 6000)$$

Flowing temperature is 610°R . Compressibility factor is following this:

$$\text{If } 100 < P \leq 1000 \quad Z = 0.955 - 0.00005(P - 500)$$

$$1000 < P \leq 1500 \quad Z = 0.933 - 0.000092(P - 1000)$$

$$1500 < P \leq 2000 \quad Z = 0.884 - 0.000038(P - 1500)$$

$$2000 < P \leq 2400 \quad Z = 0.865 - 0.00002(P - 2000)$$

$$2400 < P \leq 3000 \quad Z = 0.855 + 0.000008(P - 2400)$$

$$3000 < P \leq 4000 \quad Z = 0.86 + 0.000055(P - 3000)$$

$$4000 < P \leq 5000 \quad Z = 0.915 + 0.000075(P - 4000)$$

$$5000 < P \leq 6000 \quad Z = 0.99 + 0.00008(P - 5000)$$

$$6000 < P \leq 7000 \quad Z = 1.07 + 0.00008(P - 6000)$$

2. Pressure Loss across Completion , ΔP_2 ΔP_3 and ΔP_4 ****Neglect

3. Pressure Loss in Vertical Flow Tubing, P_{wf} 

$$P_{wf}^2 = e^{-s} P_{wh}^2 - \frac{2.685 \times 10^{-3} f_f (\overline{ZTq})^2}{\sin \theta D^5} (1 - e^{-s})$$

For vertical flow $\theta = 90^{\circ}$, $\sin 90 = 1$

$$P_{wf}^2 = e^{-s} P_{wh}^2 - 2.685 \times 10^{-3} \frac{f_f (\bar{ZTq})^2}{D^5} (1 - e^{-s}) \quad 11.3$$

$$s = \frac{-0.0375 \gamma_g L}{\bar{ZT}} \quad 11.4$$

where f_f from Eq.5

$$\frac{1}{\sqrt{f_f}} = -4 \log \left\{ \frac{\epsilon}{3.7065} - \frac{5.0452}{N_{Re}} \log \left[\frac{\epsilon^{1.1098}}{2.8257} + \left(\frac{7.149}{N_{Re}} \right)^{0.8981} \right] \right\}$$

Then

$$f_f = \frac{1}{\left[-4 \log \left\{ \frac{\epsilon}{3.7065} - \frac{5.0452}{N_{Re}} \log \left[\frac{\epsilon^{1.1098}}{2.8257} + \left(\frac{7.149}{N_{Re}} \right)^{0.8981} \right] \right\} \right]^2} \quad 11.5$$

And

$$N_{Re} = \frac{20.09 \gamma_g q}{D \mu} \quad 11.6$$

γ_g = ความถ่วงจำเพาะของก๊าซและเทียบกับอากาศ (Specific Gravity of Gas)

μ = ความหนืดของก๊าซ (Viscosity, cp)

q = อัตราการไหลของก๊าซ (Gas Production Rate, MSCF/D)

D = เส้นผ่าศูนย์กลางของท่อผลิต (Tubing Diameter, in)

L = Tubing Length, ft

Z = Compressibility Factor

T = อุณหภูมิการไหลเฉลี่ย (Average Flowing Temperature, °R (460+°F))

$$= \frac{T_r + T_{wfs}}{2}$$

4. การไหลผ่านท่อผิวดิน

Flow through the surface pipe, $P_{wh} \rightarrow P_{sep}$

$$P_{sep}^2 = P_{wh}^2 - 1.007 \times 10^{-4} \frac{\gamma_g f_f \bar{ZTq}^2}{D_s^5} L_s \quad 11.7$$

D_s = เส้นผ่าศูนย์กลางท่อผิวดิน (Surface Pipe Diameter, in)

L_s = ความยาวท่อผิวดิน (Surface Pipe Length, ft)

ปกติความดันที่คัดลงเมื่อไอล์ฟ่านรูหัก (Completion) หรือวัลว์ (Safety Valve) ต่าง ๆ มักจะไม่คิดหรือคิดรวมเป็นความยาวของห้อผลิตที่เพิ่มขึ้นในข้อ 3

Gas Material balance equation

$$\frac{P}{Z} = -\frac{P_i}{Z_i G_p} + \frac{P_i}{Z_i}. \quad 11.8$$

Initial gas in place

$$G_i = \frac{43,560 A \varphi (1 - S_w) h}{B_g} \quad 11.9$$

Gas formation volume factor

$$B_g = 0.02829 \frac{ZT}{P}. \quad 11.10$$

Gas viscosity

$$\mu = 10^{-4} K \exp(x \rho_1^y). \quad 11.11$$

Where

$$K = \frac{(9.4 + 0.62M)T^{1.5}}{209 + 19M + T}, \quad 11.12$$

$$X = 3.5 + \frac{986}{T} + 0.01M, \quad 11.13$$

$$Y = 2.4 - 0.2X, \quad 11.14$$

$$M = 28.964 \gamma_g, \quad 11.15$$

$$\rho_1 = (1.4926 \times 10^{-3}) \frac{PM}{ZT}. \quad 11.16$$

11.3 ประโยชน์ของแบบจำลอง Tank Model

1. เตรียมข้อมูลที่จะ Input ง่าย
2. Tank Model จะมีประโยชน์มาก เมื่อต้องการคำนวณอย่างรวดเร็วมีเพียงพุทธิกรรมความดันเฉลี่ยของแหล่งปั๊มน้ำที่เป็นตัวประกอบที่สำคัญในการขบวนการทำงานหรือ

การตัดสินใจในการลงทุน

3. สมการหาอัตราการไหลและความดันของเหล่งก๊าซได้จากแบบจำลองนี้

11.4 การเตรียมข้อมูลที่จะ Input ของ Tank Model

ข้อมูลในการที่จะใช้ในโปรแกรม Tank Model ประกอบไปด้วย

ก. ข้อมูลแหล่งกักเก็บ (Reservoir data)

- ความดัน (Temperature)

- อุณหภูมิ (Pressure)

ข. ข้อมูลของไหล (Fluid data)

- ความถ่วงจำเพาะ (Specific gravity of gas)

ค. ข้อมูลของหิน (Rock data)

- ค่าการซึมผ่านหินแรกเริ่ม (Original reservoir permeability)

- ค่าการซึมผ่านหินหลังการละลายด้วยกรด (Acidizing zone permeability)

ง. ข้อมูลเกี่ยวกับท่อผลิตพิวดิน (Pipe data)

- ความยาวท่อผลิตพิวดิน (Surface pipe length)

- เส้นผ่าศูนย์กลางท่อผลิตพิวดิน (Surface pipe diameter)

- ความขรุขระสัมพัทธ์ของท่อผลิต (Pipe relative roughness)

จ. ข้อมูลท่อผลิตแนวตั้งจากก้นหุบ (Tubing data)

- ความยาวท่อ (Tubing length)

- เส้นผ่าศูนย์กลางท่อ (Tubing diameter)

ฉ. ข้อมูลอื่น ๆ (Other)

- ความหนาของแหล่งกักเก็บ (Reservoir thickness)

- รัศมีของแหล่งกักเก็บ (Reservoir radius)

- รัศมีของหุบเขา (Well radius)

- รัศมีของโซนที่จะละลายด้วยกรด (Acidizing zone radius)

- อุณหภูมิเฉลี่ยของการไหลของของไหล (Average flowing temperature)

- ความดันต่ำสุดที่อุปกรณ์แยกก๊าซกับน้ำ (Minimum separator pressure)

- ปริมาณก๊าซที่มีอยู่ในหิน (Gas in place)

11.5 ข้อมูลที่ใส่ในแบบจำลอง Tank Model

ก. ข้อมูลแหล่งกักเก็บ (Reservoir data)

- ความดันเริ่มต้นของแหล่งกักเก็บ (Reservoir temperature) = 6,500 psia
- อุณหภูมิแหล่งกักเก็บ (Reservoir temperature)= 670°R

ข. ข้อมูลของไอล (Fluid data)

- ความถ่วงจำเพาะของแก๊ส (Specific gravity of gas)= 0.59

ค. ข้อมูลชั้นหิน (Rock data)

- ความซึมผ่านได้เดิมของชั้นหิน (Original reservoir permeability) = 0.9 md
- ความซึมผ่านได้ในโซนที่ละลายด้วยกรด (Acidizing zone permeability) = 8 md

ง. ข้อมูลท่อพิวดิน (Pipe data)

- ความยาว (Surface pipe length)= 10,000 ft
- เส้นผ่าศูนย์กลาง (Surface pipe diameter)= 4.5 in
- ความขรุขระสัมพัทธ์ของท่อ (Pipe relative roughness)= 0.001

จ. ข้อมูลท่อผลิตแนวคั่ง (Tubing data)

- ความยาว (Tubing length)= 10,000 ft
- เส้นผ่าศูนย์กลาง (Tubing diameter)= 3.5 in

ฉ. ข้อมูลอื่น ๆ

- ความหนาชั้นกักเก็บ (Reservoir thickness)= 200 ft
- รัศมีของชั้นกักเก็บ (Reservoir radius)= 3,000 ft
- รัศมีหลุม (Well radius)= 0.5 ft
- รัศมีโซนที่ละลายด้วยกรด (Acidizing zone radius)= 50 ft
- อุณหภูมิไหลเฉลี่ย (Average flowing temperature)= 667°R
- ความดันต่ำสุดของอุปแยกของไอล (Minimun separator pressure)= 500 Psia
- ปริมาณแก๊สในชั้นหิน (Gas in place)= 60,000,000 MSCF

ช. ข้อกำหนดคุณภาพ (Performance)

- อัตราแก๊สสูงสุด (Maximum gas production rate)= 59 MMSCF/D
- อัตราแก๊สกำหนดเริ่มต้น (Constraint rate of gas production)= 23.6 MMSCF/D

รูปร่างของ Tank Model แหล่งกักเก็บแก๊สธรรมชาติแบบ 3 มิติ แสดงในรูปที่ 11.2 และโค๊ชในการทดลองผลิตโปรแกรม Tank Model แสดงไว้ใน Appendix 11

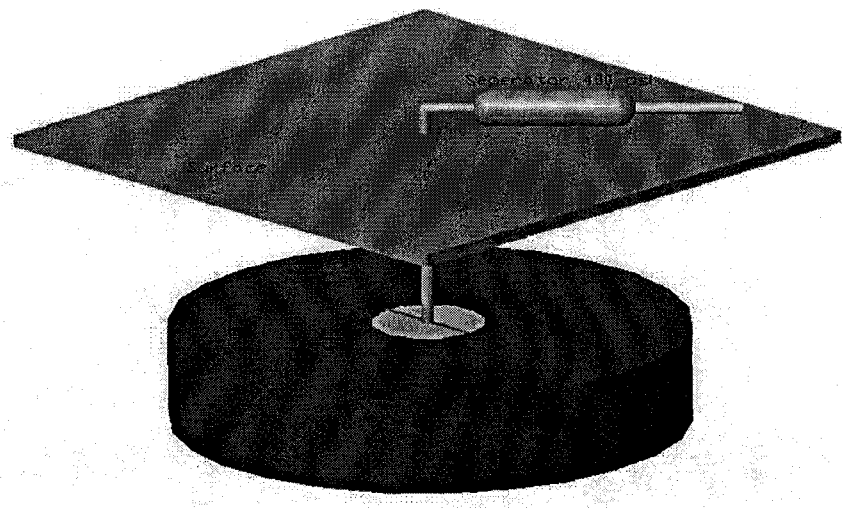
11.6 ผลของการทดลองผลิตโดยแบบจำลอง Tank Model (Result of reservoir tank model simulation)

ในการศึกษานี้แบบจำลอง Tank Model เป็นแหล่งกําชัชธรรมชาติคุณพื้นที่ 640 เอเคอร์ การทดลองผลิตแสดงไว้ในตารางที่ 11.1

Q_{max}	= อัตราการผลิตกําชสูงสุดของหุบ (Maximum Gas Production Rate, MMSCF/D)
Q	= อัตราการผลิตกําชที่เกิดขึ้นจากการทดลองผลิตในแต่ละปี (Gas Production Rate, $1^{st}, 2^{nd}, 3^{rd}, \dots, 20^{th}$ year, MMSCF/D)
P	= ความดันแหล่งกําชในแต่ละปีที่ลดลงตามเวลาที่เพิ่มขึ้น (Reservoir pressure at $1^{st}, 2^{nd}, 3^{rd}, \dots, 20^{th}$ year, Psia)

11.7 สรุป

แบบจำลองแบบ Tank Model มีประโยชน์ในการคำนวณหาอัตราการผลิตและปริมาณ พลังงานกําชที่ผลิตได้ ตัวนบนสุดของแหล่งกําชอยู่ที่ความลึก 8,500 ฟุต มีปริมาณกําช 60 พันล้าน ลบ.ฟุต ต่อหุบ อัตราการผลิตกําชวันละ 23.6 ล้าน ลบ.ฟุต (MMSCF/D) คงตัวอยู่นาน 2 ปี จากนั้นจะค่อยๆ ลดลงประมาณร้อยละ 15 ต่อปี จนถึงปีที่ 20 เป็นปีสุดท้ายของการผลิตที่อัตราการผลิตสุดท้ายวันละ 11 ล้าน ลบ.ฟุต อัตราการผลิตแต่ละปีแสดงในตารางที่ 11.1

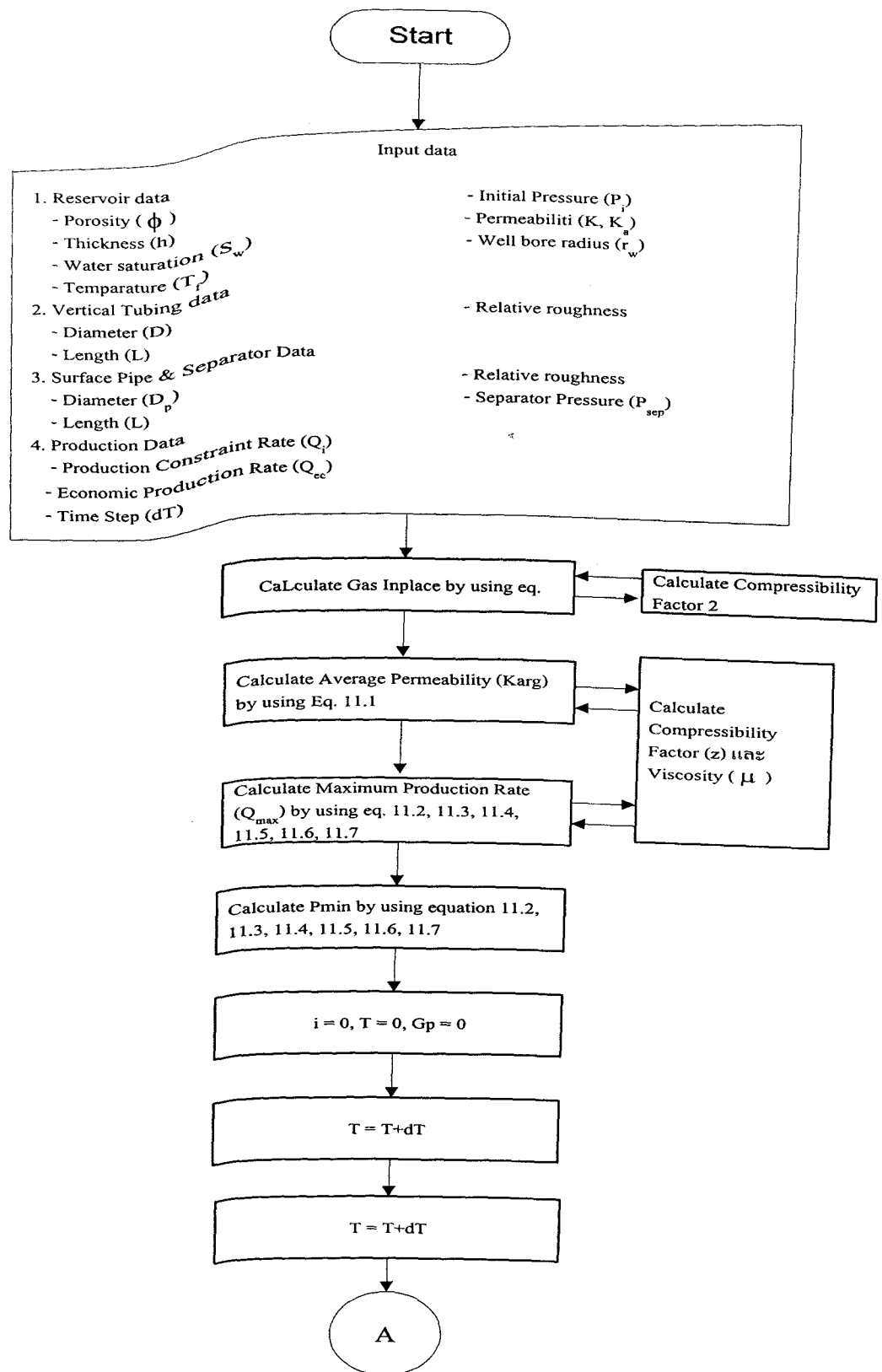


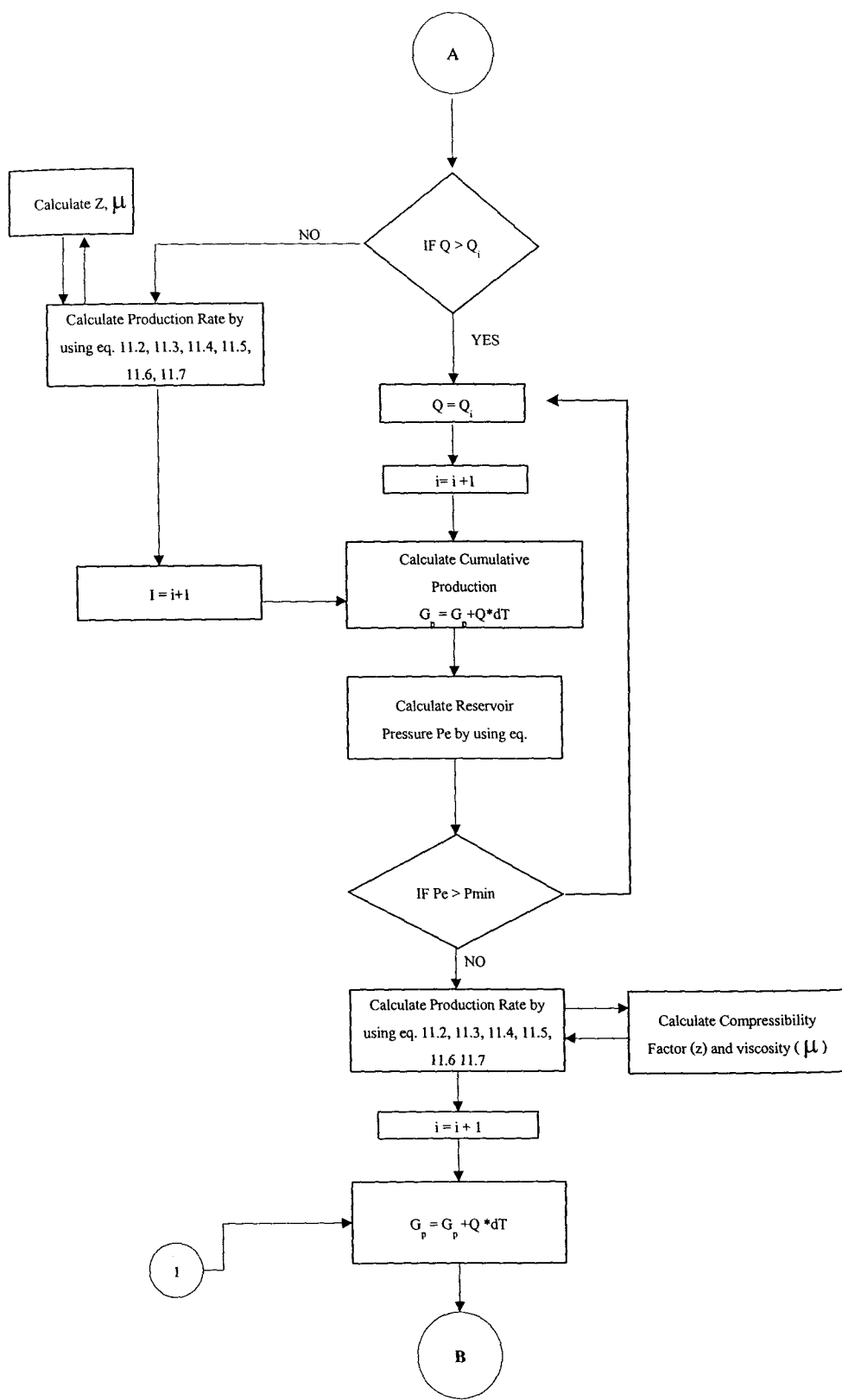
รูป 11.2 ภาพแสดงรูป่างของแบบจำลองแหล่งกําชแบบ Tank Model 3 มิติ

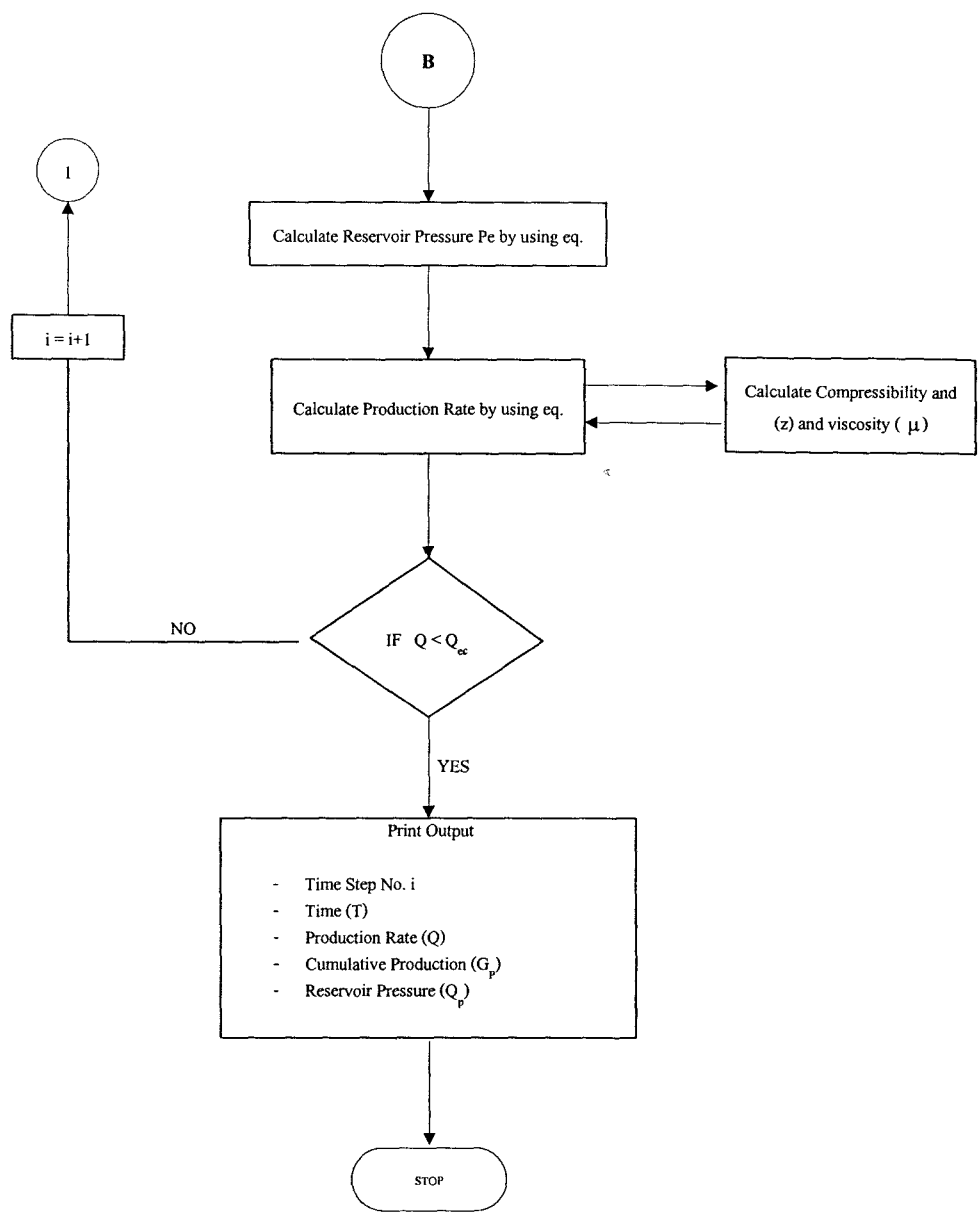
ถ้าแหล่งปิโตรเลียมมีปริมาณกําชทั้งหมด 240 พันล้าน ลบ.ฟุต กล่าวคือมีทั้งหมด 4 หลุม ซึ่งมีอัตราการผลิตรวมเริ่มต้นวันละ 94.4 ล้าน ลบ.ฟุต และอัตราผลิตสุดท้ายวันละ 4.4 ล้าน ลบ.ฟุต

ปริมาณการผลิตก๊าซรวม 201 พันล้าน ลบ.ฟุต คิดเป็นประสิทธิภาพร้อยละ 84 ดังแสดงในตาราง 11.2 ผลแสดงอัตราการผลิตและอัตราการผลิตรวมของกลุ่มผลิต 4 กลุ่ม

ผลที่ได้จาก Tank Model ใกล้เคียงกับ output จากการทำ Reservoir Simulation ใน Model ที่มีปริมาณก๊าซใกล้เคียงกัน แสดงให้เห็นว่าทั้ง Tank Model และ Reservoir Simulation ต่างได้ผลที่ถูกต้องและเหมาะสม







รูป 11.3 แสดงผังการคำนวณของ Tank Model

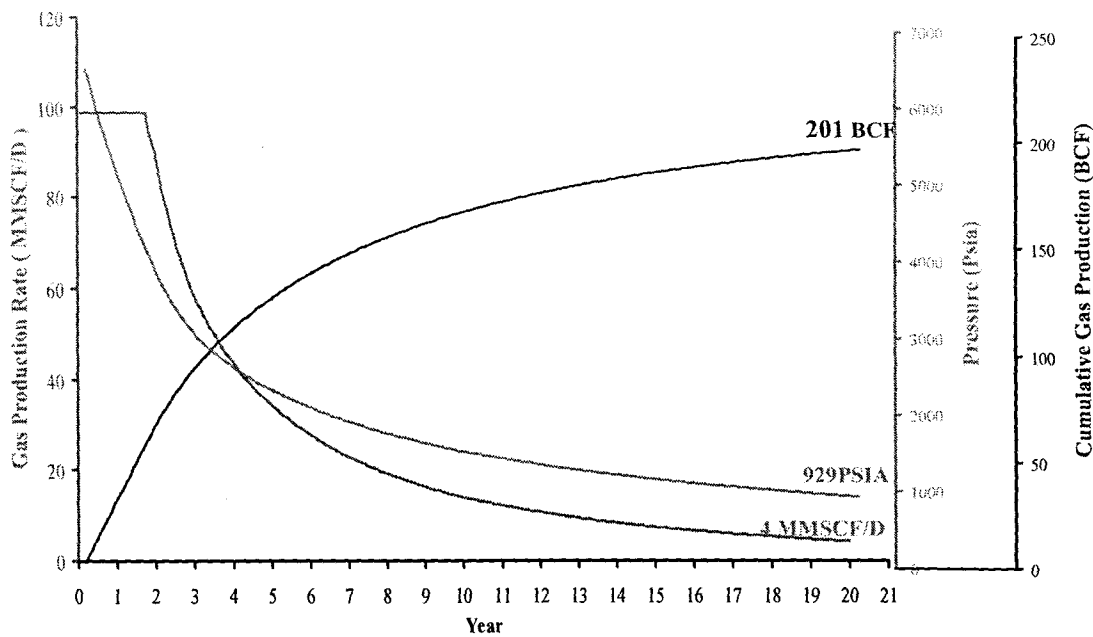
ตารางที่ 11.1 ผลอัตราการผลิตความดันเหล่งก๊าซเบร์สันกับเวลา

ปีที่ Time(year)	อัตราการผลิตก๊าซ (ล้าน ลบ.ฟุต/วัน) Gas production rate(MMSCF/D)	ความดัน (ปอนด์ ต่อ ตร.นิ้ว) Pressure (Psia)
1	23.6	4956
2	23.6	3769
3	15.0	3000
4	11.2	2590
5	8.8	2298
6	7.1	2072
7	5.8	1890
8	4.9	1739
9	4.1	1611
10	3.5	1501
11	3.1	1415
12	2.7	1336
13	2.4	1265
14	2.1	1202
15	1.9	1145
16	1.7	1094
17	1.5	1048
18	1.3	1006
19	1.2	964
20	1.1	929

ตารางที่ 11.2 แสดงอัตราการผลิตและปริมาณการผลิตรวมของกลุ่มผลิต 4 กลุ่ม

ปี	อัตราการผลิต (พันล้าน ลบ. ฟุต/วัน)	อัตราการผลิต ต่อปี (พันล้าน ลบ.ฟุต ต่อปี)	อัตราการผลิตรวม ต่อห้าม (พันล้าน ลบ.ฟุต)	อัตราการผลิต รวม 4 กลุ่ม (ล้าน ลบ.ฟุต/ปี)	อัตราการผลิต สะสม 4 กลุ่ม (พันล้าน ลบ.ฟุต)
	FLOW RATE MMSCF/D	YEARLY PRODUCTION MMMSCF	CUMULATIVE PRODUCTION MMMSCF	4 WELLS FLOW RATE MMSCF/D	CUMULATIVE PRODUCTION MMMSCF
1	23.6	8.61	8.61	94.4	34.46
2	23.6	8.61	17.23	94.4	68.91
3	15.0	7.04	24.27	60.0	97.09
4	11.2	4.78	29.05	44.8	116.22
5	8.8	3.65	32.70	35.2	130.82
6	7.1	2.90	35.61	28.4	142.42
7	5.8	2.35	37.96	23.2	151.84
8	4.9	1.95	39.91	19.6	159.65
9	4.1	1.64	41.56	16.4	166.22
10	3.5	1.39	42.94	14.0	171.77
11	3.1	1.20	44.15	12.4	176.59
12	2.7	1.06	45.21	10.8	180.82
13	2.4	0.93	46.14	9.6	184.54
14	2.1	0.82	46.96	8.4	187.83
15	1.9	0.73	47.69	7.6	190.75
16	1.7	0.66	48.34	6.8	193.38
17	1.5	0.58	48.93	6.0	195.71
18	1.3	0.51	49.44	5.2	197.76
19	1.2	0.46	49.90	4.8	199.58
20	1.1	0.42	50.32	4.4	201.26

Gas Production Rate, Pressure and Cumulative Gas Production VS Time



รูปที่ 11.4 แสดงอัตราการผลิตก๊าซธรรมชาติ ปริมาณการผลิตก๊าซรวมและ
ความดันในแหล่งก๊าซเปรียบเทียบเวลาการผลิต

บทที่ 12

การวิเคราะห์ทางเศรษฐศาสตร์

12.1 จุดประสงค์

ศึกษาและคำนวณระยะเวลาคืนทุน เงินผลลัพธ์ปัจจุบัน สัดส่วนกำไรต่อเงินลงทุน และอัตราการคืนทุนเพื่อวิเคราะห์และคาดการณ์ทางเลือกในการลงทุน วิธีการศึกษามีดังต่อไปนี้

1. การวิเคราะห์กระแสเงินเข้าออก
2. การวิเคราะห์รายได้รับที่เป็นเงินปัจจุบันและอัตราการคืนทุน
3. ระยะเวลาการคืนทุน
4. รายรับสุทธิ
5. การเปรียบเทียบอัตราการคืนทุนต่อการเดือดและการลงทุน

12.2 แผนการสำรวจและพัฒนาแหล่งปิโตรเลียม

แผนการสำรวจและพัฒนาแหล่งก๊าซธรรมชาติถูกกำหนดภายใต้กฎหมาย
พระราชบัญญัติปิโตรเลียม Thailand III ซึ่งแบ่งช่วงเวลาการสำรวจออกเป็น 3 ปี และต่อได้อีก 3 ปี
การผลิตมีช่วงเวลา 20 ปี และต่อได้อีก 10 ปี แต่สำหรับแผนการสำรวจและผลิตปิโตรเลียมของ
การศึกษารั้งนี้แบ่งการสำรวจของเป็น 4 ปี และการผลิตเป็น 20 ปี รวมทั้งหมดเวลา 24 ปี การ
วิเคราะห์เศรษฐศาสตร์ภายใต้ระบบสัมปทานของประเทศไทยมีสมมุติฐานและรายละเอียดแบ่ง
ออกเป็น ข้อสมมุติพื้นฐาน ราคาและสมมุติฐานอื่น ๆ

แผนการสำรวจและการผลิตก๊าซธรรมชาติมีดังนี้

ปีที่ 1 (คศ.2000) ; - สำรวจ Seismic แบบ 2 มิติ จำนวน 300 กิโลเมตร

- สำรวจธรณีวิทยา

ปีที่ 2 (คศ.2001) ; - สำรวจ Seismic แบบ 3 มิติ จำนวน 60 ตารางกิโลเมตร

- เจาะหลุมสำรวจ 1 หลุม

ปีที่ 3 (คศ.2002) ; - เจาะหลุมประเมินผล 3 หลุม

- ติดตั้งท่อส่งก๊าซเฟรสท์ 1 (4 กิโลเมตร)

ปีที่ 4 (คศ.2003) ; - เจาะหลุมผลิต 2 หลุม

- ติดตั้งท่อส่งก๊าซเฟรสที่ 2 (3 กิโลเมตร)

- ติดตั้งอุปกรณ์การผลิตต่าง ๆ

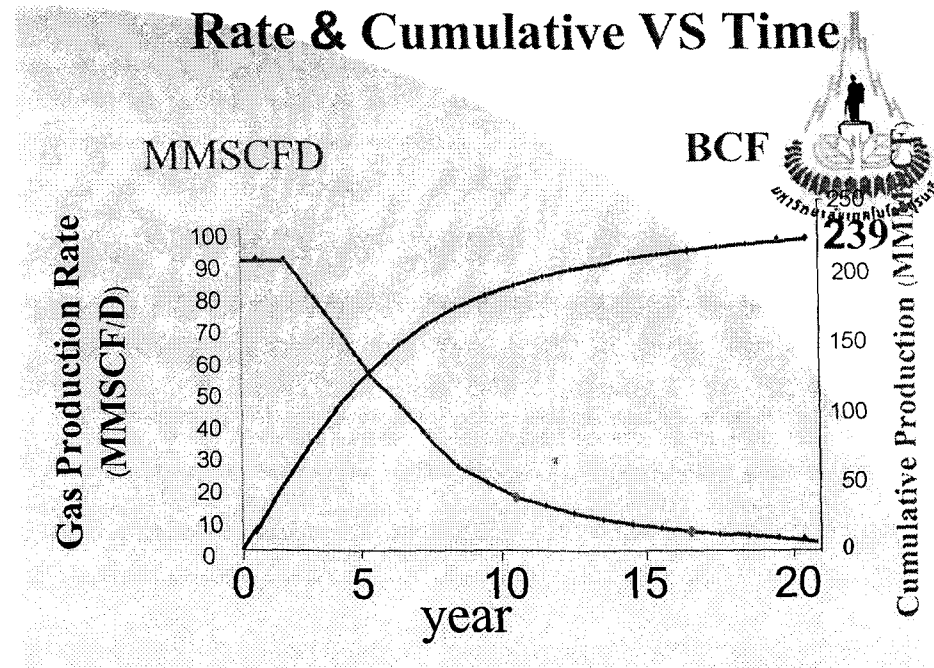
ปีที่ 5 (คศ.2004) ; - เริ่มผลิตก๊าซธรรมชาติและหุบผลิตในปีที่ 24 (คศ.2024)

มีหุบผลิตทั้งหมด 5 หุบ ในแหล่งลำดงก๊าซธรรมชาติในการศึกษานี้ อัตราการผลิตรวมทั้ง 5 หุบ ที่ได้จากการทดลองผลิตจากแบบจำลองคอมพิวเตอร์ (ในบทที่ 10) แสดงให้เห็นในตาราง 12.1 อัตราการผลิตก๊าซเริ่มต้นในปีที่ 5 ของโครงการวันละ 92 ล้าน ลบ.ฟุต คงตัวไปเป็นระยะเวลา 2 ปี จึงเริ่มลดลงเรื่อยๆ จนถึงปีที่ 20 ของการผลิตจึงหุบผลิตด้วยอัตราการผลิตสูดท้ายวันละ 5.4 ล้าน ลบ.ฟุต อัตราการผลิตที่ลดลงแสดงให้เห็นในรูปที่ 12.1 ปริมาณการผลิตก๊าซรวมได้ 239 พันล้านลูกบาศก์ฟุต ซึ่งเป็นผลมาจากการใส่ปริมาณก๊าซ ก๊าซในชั้นหินตามการศึกษา การประเมินศักยภาพของแหล่งปิโตรเลียมในภาคตะวันออกเฉียงเหนือ โดยใช้โปรแกรม FASPU (Fast Appraisal System of Petroleum Universal) โปรแกรม FASPU ได้แบ่งแหล่งปิโตรเลียมออกเป็นกลุ่มๆ ที่มีลักษณะทางธรณีปิโตรเลียมและแหล่งกักเก็บที่มีคล้ายๆ กัน คุณสมบัติเหล่านี้ ประกอบด้วยลักษณะแหล่งกักเก็บ (play attributes) ลักษณะโครงสร้างแหล่งกักเก็บ (prospect attributes) และขนาดปริมาณแหล่งกักเก็บ (hydrocarbon volume) คุณสมบัติลักษณะแหล่งกักเก็บ และโครงสร้างใช้วิเคราะห์ลักษณะทางธรณีวิทยาปิโตรเลียม ขนาดปริมาณแหล่งกักเก็บใช้วิเคราะห์ปริมาณของปิโตรเลียมที่สะสมตัว ลักษณะทางธรณีปิโตรเลียมประกอบไปด้วย (1) ด้านกำเนิดไฮdrocarbons (Source) (2). ระยะเวลาที่เกิดการกักเก็บ (3). การเคลื่อนไหสามารถตัวกันกับขนาดปริมาณของปิโตรเลียมที่เกิดขึ้น และ (4). สุดท้าย คุณสมบัติการเปลี่ยน (Facies) ของแหล่งกักเก็บที่บอกลักษณะขนาดของร่องว่าง (Porosity) และความสามารถให้ไหพลผ่านได้ (permeability) ซึ่งจะเป็นตัวควบคุมคุณภาพของแหล่งกักเก็บ ลักษณะโครงสร้างของแหล่งกักเก็บประกอบไปด้วย กลไกการเกิดการกักเก็บ (Trapping mechanism) ความพรุนที่มีผลต่อการผลิต (effective porosity) และปริมาณสะสมตัวของไฮdrocarbons (hydrocarbon accumulation) ลักษณะปริมาณไฮdrocarbons ประกอบไปด้วย พื้นที่โครงสร้าง (closure area) ความหนา (thickness) ความลึก (depth) ความอิ่มตัวของปิโตรเลียม (hydrocarbon saturation) ตัวส่วนการเติมเข้ามานี้ในแหล่งกักเก็บ (percent trapfill) และจำนวนแหล่งกักเก็บที่สามารถเจาะสำรวจได้ (number of drillable prospects) การกระจายตัวขององค์ประกอบเหล่านี้ได้ถูกคำนวณโดยใช้ความเป็นไปได้สะสมที่เจ็ดเพลคайл์ (Seventh factiles

100^{th} , 75^{th} , 50^{th} , 25^{th} , 5^{th} , 0^{th}) การกระจายของเจ็คเฟคไทร์เหล่านี้ถูกนำมาคำนวณปริมาณของไฮโดรคาร์บอนเป็นเจ็คเฟคไทร์เช่นเดียวกัน

ตารางที่ 12.1 อัตราการผลิตรวมจากทั้งห้าหมุนที่ได้จากการทดลองผลิตจากแหล่งกำลังคอมพิวเตอร์ตลอด 20 ปี ของการผลิต

ปีที่ (Year)	อัตราการผลิต (ล้าน ลบ.ฟุต/วัน) Production Rate (MMSCF/D)
1	92
2	92
3	78
4	66
5	55
6	48
7	40
8	34
9	27
10	22
11	18
12	15
13	13
14	11
15	10
16	8.45
17	7.10
18	6.60
19	6.0
20	5.40



รูปที่ 12.1 แสดงความสัมพันธ์ระหว่างอัตราการผลิตกับเวลา

อัตราการผลิตเริ่มต้นวันละ 92 ล้าน ลบ.ฟุต จะเริ่มลดลงในปีที่ 2 จนหยุดผลิตในปีที่ 20 ที่อัตราวันละ 5.4 ล้าน ลบ.ฟุต

12.3 สมมุติฐานในการศึกษาเศรษฐศาสตร์

สมมุติฐานในการศึกษาทางเศรษฐศาสตร์ภายในระบบสัมปทานตามพระราชบัญญัติปิโตรเลียม Thailand III (Department of Mineral Resources, 1999) มีข้อสมมุติฐาน แบ่งออกเป็น ราคาก๊าซธรรมชาติและราคานมูติอื่น ๆ ดังนี้

12.3.1 ราคานมูติพื้นฐาน

- | | |
|---|--------------------------|
| 1. จำนวนห้องสำรวจ (Number of exploration well) | 1 |
| จำนวนห้องประเมินผล (Number of appraisal well) | 3 |
| จำนวนห้องผลิต (Number of development well) | 2 |
| 2. ปริมาณสำรองก๊าซที่ขาย (Sale gas reserve (BCF)) | 239 พันล้าน ลบ.ฟุต (BCF) |

3. ค่าความร้อนของก๊าซธรรมชาติ(Gas heating value (BTU/SCF)) = 1,000
4. อัตราแลกเปลี่ยน (Exchange rate (Bath to US\$)) = 40
5. ค่าภาคหลวง (Sliding scale royalty(%)) = 10
6. ภาษีเงินได้ (Income tax (%)) = 50
7. อัตราดอกเบี้ย (Escalation factor (%)) = 7.25
8. ราคาอุปกรณ์ครุภัณฑ์ (Discount cost (%)) = 80
9. ราคาอุปกรณ์วัสดุ (Tangible cost(%)) = 20
10. ค่าเสื่อมราคา (Intangible cost (%)) = 20
11. ค่าภาคหลวงตามขั้นบัน្ត (Depreciation of Tangible cost(%))

ปริมาณการขายต่อปี (ล้าน ลบ.พูต)	อัตรา (%)
(Yearly sale volume (MMSCF))	(Rate %)
0 - 600	5.00
600 - 1500	6.25
1500 - 3000	10.00
3000 - 6000	12.50
> 6000	15 .00

อัตราการผลิตต่อเดือนคำนวณเปรียบเทียบกับอัตราการผลิตต่อวันของสำนักดิบ	อัตราค่าภาคหลวง (%)
อัตราการผลิตต่อวัน (บาร์เรล)	อัตราค่าภาคหลวง (%)
(Production Level)	(Rate)
0-2000 BPD	5.00
2000-5000 BPD	6.25
5000-10000 BPD	10.00
10000-20000 BPD	12.50
> 20000 BPD	15.00

การคำนวณอัตราการผลิตก๊าซธรรมชาติโดยเทียบปริมาณความร้อนที่เท่ากับน้ำมันก๊าซ 1 ลบ.ฟุต มีปริมาณความร้อนเท่ากับ 1000 บีทียู และใช้ก๊าซ 10 ล้าน BTU เท่ากับน้ำมัน 1 บาร์เรล (ตาม พรบ.ปีโตรเลียม)

ตัวอย่าง

$$200 \text{ BPD} \rightarrow 200 \frac{B}{D} \times \frac{30D}{1M} \times \frac{10 \times 10^6 \times \text{BTU}}{1B} \times \frac{1\text{SCF}}{1000 \text{ BTU}} = 600 \text{ MMSCF/M}$$

สมมติฐานอื่นๆ

1. ราคา ก๊าซคงตัวลดคลังสัญญาซื้อขาย
2. ราคาก่อสร้างเครื่องมือต่างๆ จะเพิ่มขึ้นร้อยละ 2 ต่อปี (ตามอัตราเงินเฟ้อ)
3. อัตราส่วนลดของเงินเท่ากับอัตราดอกเบี้ยเงินกู้ธนาคารคือ 7.25%
4. เริ่มผลิตก๊าซในปีที่ 5 ของโครงการ

ราคา

ราคาก่อสร้างต่างๆ ที่ใช้ในการศึกษาระบบนี้มีดังนี้

- ราคาก่อสร้างพื้นฐาน

1. การสำรวจ 2-D seismic (US\$/line km)	1,000
2. การสำรวจ 3-D seismic (US\$/sq km)	5,000
3. ค่าเช่าและพัฒนาหดลุ่มสำรวจ (ล้าน US\$/หดลุ่ม)	10
4. ค่าเช่าและพัฒนาหดลุ่มประเมินผล (ล้าน US\$/หดลุ่ม)	10
5. ค่าเช่าและพัฒนาหดลุ่มประเมินผล (ล้าน US\$/หดลุ่ม)	10
6. ค่าท่อ ก๊าซ (ล้านเหรียญอเมริกา/ กม. MMUS\$/km)	0.5
7. อุปกรณ์การผลิตและแยกก๊าซ (ล้านเหรียญ)	70
- ค่าใช้จ่ายในการดำเนินการ (ล้านเหรียญ)	400
- ราคาก๊าซ (เหรียญสหรัฐ/ล้าน BTU)	2.52

การผลิตและแผนการมีดังนี้

1. มีหดลุ่มผลิตทั้งหมด 6 หดลุ่ม

2. การผลิตกําชธรรมชาติเริ่มที่ปีที่ 5 ด้วยอัตราวันละ 92 ล้าน ลบ.ฟุต ติดต่อ กันสองปี จากนั้นจะค่อย ๆ ลดลงจนถึงปีที่ 20 ของการผลิตจึงหยุดผลิต
3. ปริมาณการผลิตรวมเป็น 220 พันล้าน ลบ.ฟุต คิดเป็น 80% ของปริมาณกําชเดิมที่อยู่ในหิน

12.4 คำอธิบายตารางเศรษฐกิจ

1. จำนวนเงินเข้า (รายได้) และเงินออก (รายจ่าย) คิดเป็นเงินทั้งปีตามพื้นฐานการศึกษาทางด้านเศรษฐกิจปีโทรศัพท์
2. ระยะเวลาการคืนทุนหาได้จาก เมื่อผลลัพธ์รวมเป็นเงินเริ่มเป็นบวก
3. คำนวณภัยเงิน ได้จากการคำนวณ
4. กำไรสุทธิหลังจากหักภัยแล้วได้ผลลัพธ์รวมของกระแสเงิน流ค่าอุปกรณ์วัสดุลินีเปลือง (Tangible cost)
5. ค่าอุปกรณ์วัสดุลินีเปลืองจะเท่ากับค่าเสื่อมราคาราวๆ ค่าดำเนินการ
6. ค่าเสื่อมราคาดีละ 20%
7. อัตราการคืนทุนคำนวณดังนี้

ตัวอย่างการคำนวณอัตราการคืนทุนของกําชปริมาณ 239 พันล้านลูกบาศก์ฟุต

1. การคำนวณเงินปัจจุบันสุทธิ (Net present value)

$$\text{คำนวณจากสูตร } NPV = A(1+i)^{-n}$$

เมื่อ A เป็นผลลัพธ์กระแสเงินในที่ที่ n

I เป็นอัตราลดลงหรืออัตราดอกเบี้ยของธนาคาร = 7.25%

A ปีที่ 23 (คศ. 2023) เท่ากับ 1.79 ล้านเหรียญ

$$\therefore NPV = 1.79(1+0.0725)^{-23} = 0.36 \text{ ล้านเหรียญ}$$

2. สัดส่วนกำไรต่อทุน PIR (Profit Investment Ratio)

$$PIR \text{ คือ } \text{กำไรสุทธิหารด้วยทุนรวม} = 155.80 / 143.30 = 1.09$$

3. อัตราการคืนทุน IRR (Internal Rate of Return)

ใช้วิธีลองผิดลองถูกค่าอัตราดอกเบี้ย I ที่ทำให้สมการข้างล่างเป็นศูนย์

$$0 = -C + A_1(1+I)^{-1} + A_2(1+I)^{-2} + \dots + A_n(1+I)^{-n}$$

C เป็นค่าเงินลงทุนเริ่มต้น

A เป็นผลลัพธ์รวมในแต่ละปี

I อัตราดอกเบี้ยเป็นจุดทศนิยม (ต่อ 100 ส่วน)

และสมมุติว่า I สองค่าที่ทำให้สมการเป็นบวกและเป็นลบก็อาจหา I ที่ทำสมการให้เป็นศูนย์ได้โดยวิธีเคลื่อน เช่น $I_1 = 0.923$ ทำให้สมการเป็น 0.01

$$I_2 = 0.1925 \text{ ทำให้สมการเป็น } -0.01$$

$\therefore I$ ทำให้สมการเป็นศูนย์ = IRR

$$\text{IRR} = [(NPV_{I=0.1923}/\{NPV_{I=1.923}-NPV_{I=0.1925}\})]^*$$

$$= 19.24\%$$

ผลการวิเคราะห์จากเศรษฐศาสตร์ด้วยวิธีที่กล่าวมาแสดงไว้ในตารางในภาคผนวก 12.1

12.5 สรุปผลวิเคราะห์เศรษฐศาสตร์สำหรับแหล่งก๊าซแบบจำลอง Model kk60 (239 BCF)

คือมีปริมาณสำรอง 239 พันล้าน ลบ.ฟุต

จากตารางวิเคราะห์เศรษฐศาสตร์ใน Appendix 12.1 แสดงให้เห็นเวลาดำเนินการทั้ง 24 ปี สรุปได้ดังนี้

(1) อัตราการผลิตของแบบจำลอง kk60 (239 BCF)

Year	1	2	3	4	5	6	7	8	9	10	11	12	13	14	15	16	17	18	19
Prod. Rate (MMCF/D)	92	92	77	65	54	44	34	27	21.5	17.5	14.4	12.3	10.4	8.8	7.55	6.5	5.7	5.17	4.1

- (2) ก๊าซเริ่มผลิตในปีที่ 5 ของโครงการด้วยอัตราวันละ 92 ล้าน ลบ.ฟุต นาน 2 ปี จึงเริ่มลดลงจนกระทั่งหยุดผลิตในปีที่ 25 ของโครงการ (ปีที่ 20 ของการผลิต) ด้วยอัตราการผลิตสุดท้ายวันละ 54 ล้าน ลบ.ฟุต
- (3) ผลิตก๊าซได้ปริมาณรวมทั้งหมด 239 พันล้าน ลบ.ฟุต คิดเป็นร้อยละ 87 ของปริมาณก๊าซที่มีอยู่ในแหล่งก๊าซ
- (4) ผลทางด้านเศรษฐกิจปัจจุบัน
 - รายได้จากการขายก๊าซ (Gross sale income)= 602.06 ล้านเหรียญสหรัฐ
 - เงินลงทุนทั้งหมด 241.74 ล้านเหรียญ แบ่งเป็น

- (1) ค่าใช้จ่ายในการสำรวจ 2.7 ล้านเหรียญ
- (2) ค่าใช้จ่ายในการเจาะหลุมผลิต อุปกรณ์การผลิตและแยกก๊าซ 133.5 ล้านเหรียญสหราชอาณาจักร
- (3) ค่าใช้จ่ายในการดำเนินการ (Operation Cost) 105.54 ล้านเหรียญสหราชอาณาจักร

- เงินที่รัฐบาลได้

- 1. ค่าภาพหลวง 34.51 ล้านเหรียญสหราชอาณาจักร
- 2. ภาษีเงินได้ร้อยละ 50 ของกำไร = 162.90 ล้านเหรียญ

- (5) จากปีที่ 1 ถึงปีที่ 4 ของโครงการ ผลลัพธ์ของกระแสเงิน (Net Cash Flow) ยังเป็นลบ เพราะยังไม่มีการผลิตมีเฉพาะค่าใช้จ่าย
- (6) เริ่มผลิตก๊าซในปีที่ 5 ของโครงการ (คศ.2004) อัตราวันละ 92 ล้าน ลบ.ฟต มีรายรับในการขายก๊าซในปีนี้ 84.62 ล้านเหรียญสหราชอาณาจักร แต่ก็ยังมีกำไร สะสมเป็นลบ -21.4 ล้านเหรียญ การผลิตยังคงตัววันละ 92 ล้าน ลบ.ฟต ไปถึงปีที่ 6 ในปีที่ 6 (ของโครงการหรือ คศ.2005) สามารถขายก๊าซได้ 169.29 ล้านเหรียญสหราชอาณาจักร ทำให้ผลลัพธ์รวมเริ่มเป็นบวก (ที่สิ้นปีที่ 6) 27.13 ล้านเหรียญ แสดงว่าสามารถคืนทุนได้ใน 6 ปีของโครงการหรือสิ้นปีที่ 2 ของการผลิต ก๊าซธรรมชาติ
- (7) อัตราการผลิตจะค่อย ๆ ลดลงจากปีที่ 7 ของโครงการหรือปีที่ 3 ของการผลิต (คศ.2006) ด้วยอัตราลดเหลือประมาณร้อยละ 15 ต่อปี จนกระทั่งถึงปีที่ 24 ของโครงการหรือปีที่ 20 ของการผลิตจึงหลุดผลิตด้วยอัตราการผลิตสุดท้ายวันละ 5.4 ล้าน ลบ.ฟต มีรายได้สะสม 325.81 ล้านเหรียญสหราชอาณาจักร และเมื่อหักภาษีเงินได้ร้อยละ 50 จะมีกำไรสะสม 155.8 ล้านเหรียญ และค่าใช้ตัวประกอบลงเงินเป็นเงินในปีเริ่มต้น (คศ.2000) ด้วยอัตราลดเท่ากับดอกเบี้ยธนาคารคือ 7.25% จะได้กำไรสุทธิ 59.62 ล้านเหรียญสหราชอาณาจักร
- (8) มีอัตราการคืนทุน (Internal Rate of Return) ร้อยละ 19.24 และมีสัดส่วนกำไรต่อเงินลงทุน (Profit Investment Ratio PIR) เท่ากับ 1.09

ตารางที่ 12.2 สรุปการวิเคราะห์เศรษฐศาสตร์ Model KK60 (239 BCF)

ปริมาณก๊าซผลิตได้ทั้งหมด 239 พันล้าน ลบ.ฟุต	ปริมาณก๊าซที่มีอยู่ในแหล่ง 279 พันล้าน ลบ.ฟุต
พื้นที่ระบบปีโตรเลียม 500 เอเคอร์	ปีที่เริ่มโครงการ ; คศ. 2000
ราคา ก๊าซตลาดโครงการ 2.52 เหรียญ/ปีที่ผลิต	ค่าความร้อนของก๊าซ (Gas Heating Value) 1,000 BTU ต่อ 1 ลบ.ฟุต
ค่าภาคหลวง 6.25%	อัตราแลกเปลี่ยน 40 บาท/เหรียญ
อัตราดอกเบี้ย 7.25%	อัตราเงินเพื่อ 7.25%
ก๊าซใช้เป็นเชื้อเพลิง 1%	ราคาก๊าซเพิ่มขึ้นปีละ 2%
อัตราคืนทุนก่อนเสียภาษี 29.75%	อัตราคืนทุนหลังเสียภาษี 19.24%
รัฐเก็บค่าภาคหลวงไม่ 34.51 ล้านเหรียญ	กำไรก่อนหักภาษี 325.81 ล้านเหรียญ
รัฐเก็บภาษีเงินได้ 162.90 ล้านเหรียญ	กำไรหลังหักภาษีเงินได้ 155.8 ล้านเหรียญ
ติดกำไรสูที่เป็นเงินที่ คศ.2000 59.62 ล้านเหรียญ	สัดส่วนกำไรต่อเงินทุนเริ่มต้น 1.09

12.6 สรุปผลการวิเคราะห์เศรษฐกิจปีโตรเลียม Model kk65 (260 BCF)

1. การผลิตเริ่มผลิตได้ในปีที่ 5 ของโครงการ (คศ. 2004) ด้วยอัตราการผลิตวันละ 92 ล้าน ลบ.ฟุต ผลิตคงตัวไป 2 ปี อัตราการผลิตจะเริ่มลดลงในปีที่ 3 ของการผลิตด้วยอัตราปริมาณร้อยละ 15 ต่อปี จนไปหยุดผลิตปีที่ 20 ของการผลิตด้วยอัตราผลิตวันละ 6.4 ล้าน ลบ.ฟุต

Year	1	2	3	4	5	6	7	8	9	10	11	12	13	14	15	16	17	18	19	20
Prod. Rate (MMCF/D)	92	92	82	72	60	51	44	37.5	31.5	27	22	18	15.4	13.4	11.8	11	9.2	8	7.2	6.4

2. สรุปผลกระแสเงิน

ค่าใช้จ่ายแบ่งออกเป็น

- ค่าสำรวจธรณีวิทยาและธรณีฟิสิกส์ = 2.7 ล้านเหรียญสหรัฐ
- ค่าเจ้าหนุนสำรวจ หลุมผลิต อุปกรณ์การผลิตและอุปกรณ์
แยกก๊าซ = 133.50 ล้านเหรียญสหรัฐ

- ค่าดำเนินการ = 115.4 ล้านเหรียญ

ผลลัพธ์การเงินแบ่งเป็น

- ค่าภาคหลวง = 37.88 ล้านเหรียญ

- ภาษีเงินได้ 50% ของกำไร = 182.43 ล้านเหรียญ

- กำไรหลังหักภาษี = 175.33 ล้านเหรียญ

3. ปีที่ 5 ของโครงการ (คศ.2004) ผลิตวันละ 92 ล้าน ลบ.ฟุต ทั้งปีขายก้าชได้ 84.62 ล้าน เหรียญสหรัฐ หักค่าใช้จ่ายในปีนี้เหลือ 48.8 ล้านเหรียญ หักลบยอดเงินสะสมรวมแล้วปัจจุบัน - 21.4 ล้านเหรียญ

4. ในปีที่ 6 ของโครงการ (คศ.2005) ยังคงผลิตก้าชวันละ 92 ล้าน ลบ.ฟุต ทั้งปีขายก้าชได้ 84.62 ล้านเหรียญ เมื่อหักค่าใช้จ่ายนำไปหักลบยอดสะสมรวมแล้วมีผลลัพธ์เป็นบวก 27.13 ล้าน เหรียญแสดงว่ามีการคืนทุนหมดแล้วในปีนี้

5. จากปีที่ 7-24 ของโครงการ (คศ.2006-2023) อัตราการผลิตลดลงเรื่อยๆ ประมาณร้อยละ 15 ต่อปี ทำให้รายได้จากการขายก้าชลดลงด้วยสัดส่วนคล้ายกัน แต่มีหักรายจ่ายแล้วก็ยังมีผลลัพธ์ เป็นบวกทุก ๆ ปี ได้ยอดกำไรสะสมรวมถึงปีสุดท้ายเท่ากับ 364.85 ล้านเหรียญสหรัฐ

6. เมื่อหักภาษีเงินได้แล้วจะมีกำไร 175.33 ล้านเหรียญสหรัฐ และถ้าลดส่วนเป็นเงินปัจจุบันที่ มีเริ่มต้นโครงการด้วยอัตราดอกเบี้ยร้อยละ 7.25 จะเป็นกำไร 66.18 ล้านเหรียญสหรัฐ

7. อัตราการคืนทุนของโครงการก้าชเป็นร้อยละ 20.3 และสัดส่วนกำไรต่อเงินลงทุนเป็น 1.22

14

ตารางที่ 12.3 สรุปการวิเคราะห์เศรษฐศาสตร์ปีโตรเลียมของโครงการ KK65

ปริมาณสำรองก๊าซธรรมชาติ 260 พันล้าน ลบ.ฟุต	ปริมาณก๊าซธรรมชาติในแหล่งกักเก็บริ่มดัน 303 พันล้าน ลบ.ฟุต
พื้นที่ระบบปีโตรเลียม 500 เอเคอร์	ปีที่เริ่มโครงการ คศ. 2000
ราคาก๊าซริ่มดัน 2.52 เหรียญ/ล้านบีทบู	อัตราแลกเปลี่ยน 40 บาท/1เหรียญ
ราคาก๊าซเพิ่มขึ้นปีละ 2%	ก๊าซใช้เป็นเชื้อเพลิง 1%
ค่าภาคหลวงร้อยละ 6.25	ภาษีเงินได้ร้อยละ 50
อัตราเงินเฟ้อร้อยละ 7.25	อัตราดอกเบี้ยร้อยละ 7.25
อัตราคืนทุนก่อนเสียภาษี 30.74%	อัตราคืนทุนหลังเสียภาษี 20.30%
รัฐได้ค่าภาคหลวง 37.88 ล้านเหรียญ	กำไรก่อนหักภาษี 357.75 ล้านเหรียญ
รัฐได้ค่าภาษีเงินได้ 182.43 ล้านเหรียญ	กำไรหลังหักภาษี 175.33 ล้านเหรียญ
กำไรคิดเป็นเงินที่ คศ.2000 66.18ล้านเหรียญ	สัดส่วนกำไรต่อเงินทุน = 1.22

12.7 ผลวิเคราะห์เศรษฐกิจปีโตรเลียมของแหล่งกำลัง 225 BCF และ PP new (558 BCF)

ในการศึกษาครั้งนี้ยังมีแบบจำลองอีก 2 แบบคือแบบจำลอง 225 BCF ที่มีปริมาณสำรอง 225 พันล้าน ลบ.ฟุต และแบบจำลอง Ppnew (558 BCF) มีปริมาณสำรองก๊าซ 558 พันล้านดังแสดงผลลัพธ์เบ็ดเตล็ดในภาคผนวกที่ 12

ตารางที่ 12.4 พลวิเคราะห์เศรษฐกิจปีโตรเลียมเหล่ง 225 BCF

ปริมาณสำรองก๊าซ 225 พันล้าน ลบ.ฟุต	ปริมาณก๊าซธรรมชาติในแหล่งกักเก็บเริ่มต้น 250 พันล้าน ลบ.ฟุต
พื้นที่ระบบปีโตรเลียมต่อหกูน 500 เอเคอร์	ปีที่เริ่มนับของโครงการ คศ. 2000
ค่าใช้จ่ายในการสำรวจธรณีวิทยาและธรณีฟลิกส์ = 2.55 ล้านเหรียญสหรัฐ	ค่าใช้จ่ายในการเจาะหกูน อุปกรณ์การผลิตและอุปกรณ์แยกก๊าซ 133.5 ล้านเหรียญ
ค่าใช้จ่ายในการดำเนินการ = 98.59 ล้านเหรียญ	อัตราดอกเบี้ย 40 บาท/เหรียญ
ราคา ก๊าซเริ่มต้น 2.52 เหรียญ/ล้านบีทีゆ	ความร้อนก๊าซ 1000 บีทีyu / 1 ลบ.ฟุต
ราคา ก๊าซเพิ่มขึ้นปีละ 2%	ก๊าซใช้เป็นเชื้อเพลิงร้อยละ 1
อัตราเงินเพื่อค่าใช้จ่าย 7.25%	อัตราดอกเบี้ยลดเป็นเงินปัจจุบัน 7.25% (ที่ คศ.2000)
ระยะเวลาของโครงการ 24 ปี	ระยะเวลาของการผลิตก๊าซธรรมชาติ 20 ปี
สามารถคืนทุนได้ในปีที่ 6 ของโครงการ	รัฐเก็บค่าภาคหลวงได้ 32.8 ล้านเหรียญ
กำไรก่อนหักภาษี = 292.43 ล้านเหรียญ	รัฐเก็บภาษีเงินได้ 149.76 ล้านเหรียญ
กำไรหลังหักภาษี = 142.67 ล้านเหรียญ	กำไรคิดเป็นเงินปัจจุบัน 55 ล้านเหรียญ
สัดส่วนกำไรต่อเงินลงทุน = 1.0	

ตารางที่ 12.5 ผลวิเคราะห์เศรษฐกิจปีต่อเดือนแหล่งทุน (533 BCF)

ปริมาณสำรองก๊าซ 533 พันล้าน ลบ.ฟุต	ปริมาณก๊าซธรรมชาติในแหล่งกักเก็บ เริ่มต้น 622 พันล้าน ลบ.ฟุต
พื้นที่ระบบปีต่อเดือนต่อหลุ่ม 640 เอเคอร์	ปีที่เริ่มต้นของโครงการ คศ. 2000
ค่าใช้จ่ายในการสำรวจธารณีวิทยาและธรณีฟิสิกส์ = 3.3 ล้านเหรียญสหรัฐ	ค่าใช้จ่ายในการเจาะหลุ่ม อุปกรณ์การผลิต และอุปกรณ์แยกก๊าซ 227.0 ล้านเหรียญ
ค่าใช้จ่ายในการดำเนินการ = 268.40 ล้านเหรียญ	อัตราแลกเปลี่ยน 40 บาท/เหรียญ
ราคา ก๊าซเริ่มต้น 2.52 เหรียญ/ล้านบีทีบูต	ความร้อนก๊าซ 1000 บีทีบูต/ 1 ลบ.ฟุต
ราคา ก๊าซเพิ่มขึ้นปีละ 2%	ก๊าซใช้เป็นเชื้อเพลิงร้อยละ 1
อัตราเงินเพื่อค่าใช้จ่าย 7.25%	อัตราดอกเบี้ยลดเป็นเงินปัจจุบัน 7.25% (ที่ คศ.2000)
ระยะเวลาของโครงการ 33 ปี	ระยะเวลาของการผลิต ก๊าซธรรมชาติ 29 ปี
สามารถดึงทุนได้ในปีที่ 8 ของโครงการ	รัฐเก็บค่าภาคหลวงได้ 83.98 ล้านเหรียญ
กำไรก่อนหักภาษี = 825.16 ล้านเหรียญ	รัฐเก็บภาษี 50% ของกำไร 412.58 ล้านเหรียญ
กำไรหลังหักภาษี = 407.02 ล้านเหรียญ	กำไรคิดเป็นเงินปัจจุบัน(ที่ คศ.2000) = 122.46 ล้านเหรียญ
สัดส่วนกำไรต่อเงินลงทุน = 1.67	

12.8 สรุปผลวิเคราะห์เศรษฐกิจปีต่อเดือนเปรียบเทียบขนาดแหล่งจัดการขนาดต่าง ๆ กัน เพื่อศึกษาแหล่งก๊าซที่มีขนาดปริมาณก๊าซธรรมชาติในแหล่งกักเก็บที่ต่างกันหลาย ๆ ขนาด เปรียบเทียบผลวิเคราะห์ทางเศรษฐกิจปีต่อเดือน หลุ่มผลิตแหล่งก๊าซชีงถูกสมมติให้มีพื้นที่ระบบปีต่อเดือนที่ต่างกันออกไป เพื่อให้ขนาดแหล่งกักเก็บใหญ่ขึ้นตามลำดับให้ได้ปริมาณก๊าซในแหล่งกักเก็บเป็นไปตามที่ต้องการ 4 ขนาดคือ 250, 279, 303 และ 622 พันล้านลูกบาศก์ฟุตคั่ง ผลเปรียบเทียบในตารางที่ 12.6

ตารางที่ 12.6 ผลวิเคราะห์เศรษฐกิจปีไตรเดือนเปรียบเทียบของ 4 ขนาดแหล่งกำเนิดธรรมชาติ

รายการ	ขนาดปริมาณก๊าซในแหล่งกักเก็บเริ่มต้น (พันล้าน ลบ.ฟุต)			
	250	279	303	622
1. ปริมาณสำรองก๊าซ (พันล้าน ลบ.ฟุต)	225	239	260	533
2. พื้นที่ระบบปีไตรเดือนต่อหกุน (ເອເຄອ້ງ)	500	500	500	640
3. ค่าใช้จ่ายในการสำรวจธรณีวิทยาและ ธรณีฟิสิกส์ (ล้านเหรียญสหรัฐ)	2.25	2.7	2.73	3.3
4. ค่าใช้จ่ายในการเจาะหกุนปีไตรเดือน อุปกรณ์การผลิตและอุปกรณ์แยกก๊าซ (ล้านเหรียญ)	133.5	133.5	133.5	227
5. ค่าใช้จ่ายในการดำเนินการ(ล้านเหรียญ)	98.59	105.54	115.4	268.4
6. ราคา ก๊าซเริ่มต้น (เหรียญ/ล้านบีทียู)	2.52	2.52	2.52	2.52
7. ราคา ก๊าซเพิ่มขึ้นปีละ (%)	2	2	2	2
8. อัตราเงินเพื่อค่าใช้จ่าย (%)	7.25	7.25	7.25	7.25
9. ระยะเวลาโครงการ (ปี)	24	24	24	33
10. ระยะเวลาของการผลิตก๊าซ (ปี)	20	20	20	29
11. สามารถคืนทุนได้ในปีที่ของโครงการ	6	6	6	8
12. รัฐเก็บค่าภาคหลวงได้ (ล้านเหรียญ)	32.8	34.51	57.88	83.98
13. กำไรก่อนหักภาษี (ล้านเหรียญ)	292.43	325.81	357.75	825.16
14. รัฐเก็บภาษีเงินได้ 50% (ล้านเหรียญ)	149.76	162.90	182.43	412.58
15. กำไรหลักหักภาษีเงินได้ (ล้านเหรียญ)	142.67	155.8	175.33	467.02
16. กำไรคิดเป็นเงินปัจจุบัน	55.0	59.62	66.18	122.46
17. อัตราการคืนทุน (%)	18.90	19.24	20.32	26.72
18. สัดส่วนกำไรต่อเงินทุน	1.0	1.09	1.22	1.67

ลักษณะของสร้างเกิดขึ้นพร้อมเหตุการณ์เหล่านี้ได้รวมทั้งรอยเลื่อนข้อนูนต่ำและรอยเลื่อนที่เกิดขึ้นพร้อมกับการขยายตัวของการคงต้องของชั้นหินและการกลับตัวของโครงสร้าง การคงต้องและความดันเกินที่ไม่สัมพันธ์กันของหินดินดาน

การศึกษาผลการเจาะสำรวจของบริษัทนำมันห่ายบริษัทรวมทั้งผลการวิเคราะห์สนับสนุนความเข้าใจลำดับชั้นหินบริเวณนี้ให้ดีขึ้น การแบ่งลำดับชั้นหินในบริเวณนี้ถูกกำหนดขึ้นโดยความสัมพันธ์กันของลักษณะ โครงสร้างและการพัฒนาของธรณีวิทยาแปรสภาพฐานของหินเหล่านี้ การต่อเนื่องกันของลำดับชั้นหินของที่ราบสูงโคราชมีอายุตั้งแต่ด้านบุคคลีโอโซอิกถึงบุคนีโอจิน การลำดับชั้นหินของแข็งโคราชสามารถแบ่งได้เป็น 2 ส่วนคือหินชุดก่อนโคราชและหินชุดโคราช หินชุดก่อนโคราชประกอบด้วยหินชุดซิลิซิคลาสติกบุคคลีโอโซอิกตอนบนและชุดหินปูนคาร์บอนेटทะลึ่งน้ำดีน์หินเหล่านี้ถูกเปลี่ยนรูปไปอย่างรุนแรง เนื่องจากการเคลื่อนที่ของเปลือกโลกบุคคลีโอโซอิก โคราช และไตรแอลสติก ในขณะที่หินชุดโคราชมีผลเพียงเล็กน้อยจากการก่อกำเนิดเทือกเขาหินมาลาบัน ด้วยเหตุผลนี้ทำให้หินชุดก่อนโคราชมีโครงสร้างซับซ้อนมากกว่าหินชุดโคราช ลำดับชั้นจะก่อนแสดงให้เห็นลักษณะการเปลี่ยนแปลงจากการตัดก่อนในสภาพแวดล้อมในทะเลลึกลักษณะที่เปลี่ยนไป

หินดันกำเนิดของหินชุดโคราช คาดว่าจะเป็นหินที่เกิดการตัดก่อนกับดินในทะเลสาบบุคคลีโอโซอิกตอนปลายและหินดินดานสีดำบุคคลีโอโซอิกเมียนตอนบน หินดันกำเนิดบุคคลีโอโซอิกและเพอร์เมียนต่างกันผ่านมัชมินวัย (post nature) ของการเกิดน้ำมันเป็นอย่างน้อย หินกักเก็บปีโตรเลียมจำกัดอยู่ในหินปูนคาร์บอนेटบุคคลีโอโซอิกเมียนโดยเฉพาะในช่องว่างระหว่างหลักหินที่เกิดขึ้นภายในห้องห้องและช่องว่างเล็กๆ ของหินโคลไม้มีที่

การสำรวจปีโตรเลียมในภาคตะวันออกเฉียงเหนือเริ่มนั้นใน พ.ศ. 2505 (คศ. 1962) เมื่อบริษัทบุคคลีโอโซอิก ออฟฟิศรีฟฟอร์เนย ซึ่งเป็นบริษัทต่างชาติบริษัทแรกที่ได้รับสัมปทานสำรวจปีโตรเลียมในภาคตะวันออกเฉียงเหนือภายใต้กฎหมายเหมือนอย่างที่ หลุมสำรวจปีโตรเลียมหลุมแรกในที่ราบสูงโคราชคือ หลุมกุฉินารายณ์-1 ซึ่งเจาะโดยบริษัท บุคคลีโอโซอิก ในปี พ.ศ. 2514 (คศ. 1971) แต่เป็นหลุมแห้งไม่พบปีโตรเลียมเชิงพาณิชย์ การสำรวจปีโตรเลียมบุคคลีโอโซอิกในปี พ.ศ. 2522 (คศ. 1979) เมื่อบริษัท เอสโซ่โคราชอิงค์ ได้สัมปทานภายใต้พระราชบัญญัติปีโตรเลียม และเจาะหลุมแรกในปี พ.ศ. 2524 คือหลุมน้ำพอง-1 พบแห่งก้าวแห่งหัตตราการ ให้ล้วนละ 28 ล้านลูกบาศก์ฟุต จากรอยแตกในหินการบอนเนตบุคคลีโอโซอิก จาก พ.ศ. 2525-2533 บริษัท เอสโซ่ฯ เจาะหลุมสำรวจอีก 12 หลุม มีเพียงหลุมภูมิ-1 (จังหวัดอุตรธานี) เท่านั้นที่พบก้าวธรรมชาติทดสอบอัตราการไหลได้ล้วนละ 4 ล้าน ลบ.ฟุต ที่เหลือเป็นหลุมแห้ง การสำรวจเพิ่มที่ 3 เริ่มในปี พ.ศ. 2534 เนื่องจากมีการก้นพบตระกอนทะเลสาบบุคคลีโอโซอิกที่อยู่ระหว่างบุคคลีโอโซอิกและหินชุดโคราช มีการเจาะหลุมสำรวจเพิ่มอีก 7 หลุม แต่ไม่พบปีโตรเลียมบริษัทผู้รับสัมปทานเหล่านี้จึงคืนพื้นที่ทั้งหมดในปี พ.ศ. 2537 (คศ. 1994)

บทที่ 13

สรุปและข้อเสนอแนะ

13.1 สรุป

ธรณีวิทยาของประเทศไทยประกอบด้วยหินอาชุดตั้งแต่มหาดูคพรีแคมเบรียนถึงยุคควอเทอร์นารี หินเหล่านี้แบ่งขยายตัวรอบคลุมอยู่บนพื้นที่วีป 2 แผ่นที่ก่อต้นจากแผ่นดินใหญ่ก่อนวนนา แผ่นด้านไทรอยู่ทางตะวันตกแผ่นอินโดไทร์อยู่ทางตะวันออก แผ่นที่วีปทั้งสองมาเข้ามีกันเนื่องจาก การชนกันของพื้นที่วีปในยุคไตรแอกซิก หลังการชนกันก็เกิดแข็งเป็นหินบอม ๆ อยู่ระหว่างที่ออกเข้าต่าง ๆ มีที่ออกเขากูขาไฟ 3 แนวหลักคือ เชียงของ-ตาก เลย-จันทบุรี และหินบะชอล์บุคชีโนโซอิก ความเข้าใจ ถึงการวางตัวของชั้นหินและการเปลี่ยนแปลงของเปลือกโลกบริเวณนี้ได้ให้สะพานเชื่อมโยงความเข้าใจ ในธรณีวิทยาของเอเชียตอนใต้และเอเชียแปซิฟิกเป็นอย่างดี ลำดับชั้นหินบริเวณนี้ประกอบไปด้วยลำดับ ของหินยุคการบอนิฟอร์ร์สถึงหินอาชูไทรแอกสิก ในช่วงเริ่มต้นตามด้วยหินยุคไตรแอกสิกตอนปลายถึง ยุคครีดิเซียส ทั้งสองกลุ่มหินลูกแยกโดยรอยหินไม่ต่อเนื่องอินโดโซนิก หินยุคเพอร์เมียนของประเทศไทย ส่วนใหญ่เป็นหินปูน (Limestone) อาชุดตั้งแต่ยุคเพอร์เมียนตอนต้นถึงเพอร์เมียนตอนกลาง สามารถ แบ่งเป็น 2 กลุ่มคือ ราชบุรี และสระบุรี

ที่ร้านสูงโคราชเป็นแหล่งทรงกลมที่มีขอบยกขึ้นรอบๆ คล้ายกระดาษแข็งขยายตัวเข้าไปถึง ประเทศไทย โครงสร้างแบ่งออกเป็น 5 องค์ประกอบคือ องค์บ่อขุนล องค์บ่อขุนแก่น องค์บ่อขุนเวียงจันทร์ องค์บ่อสกุลคร และองค์บ่อสุวรรณเขต องค์เหล่านี้เกิดขึ้นเนื่องจากแรงอัดที่มากปล่อยออกมานาน ที่วีปอินเดีย พลักดันแผ่นที่วีปออกจากภูมิสังฐานคล้ายแหล่งกำเนิดของโกรากชีมีผลมา จากการเคลื่อนตัวของแผ่นที่วีปอินเดียเข้าสู่เดียวกัน ที่ร้านสูงโคราชลูกกระทำเหล่านี้ได้มาจากหิน 3 เหตุการณ์ คือวิเคราะห์จากภาพถ่ายทางอากาศและภาพดาวเทียม LANDSAT-5 ที่เข้ากัน เส้นแนวโถงของ ครั้งแรกอยู่ในแนวเหนือใต้ในขณะที่แนวโถงของครั้งที่สองและครั้งที่สามสัมภพเห็นอยู่ในแนวตะวันตก เนียงหนึ่งและตะวันออกเฉียงหนึ่งตามลำดับในระหว่างยุคครีดิเซียสตอนปลายถึงยุคไพลส์โซนิค

ภาคตะวันออกเฉียงเหนือของประเทศไทยประกอบด้วยการแปรสัมฐานหลัก 6 ครั้ง ต่อเนื่องกัน ผลการแปรสัมฐานเหล่านี้เสริมกันให้เกิดลักษณะโครงสร้างเฉพาะประกอบด้วย รอยหักของชั้นหินหลายทิศทางและหักลักษณะ การยกตัวยุคการบอนิฟอร์ร์สตอนปลายเป็นเหตุการณ์หลัก แรกที่ชักนำให้เกิดการยุบตัวและพัฒนาต่อไป ฯ เกิดขึ้น การแตกตะกอนหินปูนยุคเพอร์เมียนเกิดขึ้นเป็น หย่อม ๆ บนรอยต่อของรอยแตกบนส่วนหลังบ้านของการยกตัว การกดดันของแผ่นที่วีปยุคอินโดซีเนียน และเทอร์เซียริตอนดัน เป็นผลทำให้เกิดชนิดโครงสร้างบ่อขุน ฯ มากมายส่วนใหญ่จะเป็นการโค้ง กลับตัวปกติ การโค้งกลับมุมย้อนที่รวมด้วยหินพื้นฐานด้านล่าง และการโค้งงอเนื่องจากแรงกดดัน แบบ

ในการศึกษาประเมินศักยภาพของโครงสร้างที่ขังไม่ได้สำรวจในโดยอาศัยการแบ่งกลุ่มโครงสร้างออกเป็น 3 กลุ่ม กลุ่มที่ประสบผลสำเร็จ กลุ่มที่ไม่ประสบผลสำเร็จ และสุดท้ายกลุ่มที่ขังไม่มีการทดสอบ การศึกษาความเสี่ยงในการสำรวจปิโตรเลียมในภาคตะวันออกเนื่องจากคำนวณออกมาได้เป็น 0.07 กล่าวคือการเจาะสำรวจในบริเวณนี้จะมีโอกาสประสบความสำเร็จอยู่ระดับ 7

การคาดการประสิทธิภาพในการผลิตปิโตรเลียมในแหล่งหินคาร์บอนเนตของภาคตะวันออกเนื่องของประเทศไทยกระทำได้ยากและไม่ต่างกับที่เป็นจริง ขณะนี้การศึกษาการกระจายตัวของความพรุน (Porosity) และความซึมผ่านได้ (Permeability) ในหินคาร์บอนเนตมีความจำเป็นในการศึกษารังนี้ ซึ่งมีการเก็บตัวอย่างหินครึ่งน้ำหนักจากจังหวัดสระบุรี ลพบุรี และเพชรบูรณ์ มาวัดค่าความพรุนและค่าซึมผ่านได้ในห้องปฏิบัติการของมหาวิทยาลัยเทคโนโลยีสุรนารี ผลการศึกษาได้ค่า Porosity เฉลี่ยเป็น 3.44% และ 3.95% ในหินปูนและหินโคลนโดยไม่ต้องคำนึงถึงหินที่ตามลำดับ ส่วนค่า Permeability ไม่สามารถวัดได้ในห้องปฏิบัติการ เพราะมีค่าน้อยมาก ขณะนี้ขออภัยค่า Permeability ที่นำมาใช้ในการทำแบบจำลองคอมพิวเตอร์ปิโตรเลียมได้มาจากห้องสืออ้างอิงต่าง ๆ ค่า Permeability ของหินคาร์บอนเนตที่เกิดขึ้นตามธรรมชาติแรกเริ่มนี่ค่าน้อยเกิดไปจนไม่สามารถผลิตก๊าซได้ เมื่อเจาะหุ้นผลิตเสร็จจึงต้องมีการละลายหินและทำให้หินแตกด้วยกรด (Acid Fracturing) ซึ่งจะทำให้ค่า Permeability เฉลี่ยมากขึ้นเป็น 0.65 มิลลิเมตรซึ่งทำให้สามารถผลิตก๊าซได้

ในการทำแบบจำลองคอมพิวเตอร์แหล่งก๊าซธรรมชาติครั้งนี้ให้มีขนาด $3.1 \times 6.2 \times 0.2$ ลูกบาศกิกิโลเมตร มีพื้นที่แหล่งปิโตรเลียมประมาณ 20 ตารางกิโลเมตร มีทั้งหมด 10 ชั้น แต่ละชั้นหนารวม (gross) 60 ฟุต หนาสุทธิ (Net) 18 ฟุต ขณะนี้ จะมีความหนารวมทั้งหมด 600 ฟุต หนาสุทธิรวม 180 ฟุต

ลักษณะของแหล่งก๊าซเป็นรูปประทุนกว้างซึ่งมีพื้นที่ฐานมากกว่ายอดบน แหล่งก๊าซแบ่งเป็นบล็อกขนาด $300 \times 300 \times 60$ ลูกบาศกิเมตร 10 ชั้น มีทั้งหมด 1097 บล็อก แหล่งจำลองมีหุ้นผลิตทั้งหมด 5 หุ้น ค่า porosity เฉลี่ย 0.03 (3%) ค่า permeability เฉลี่ยประมาณ 0.6 md แหล่งก๊าซจำลองถูกจำลองเป็น 4 ชุดคือ KK60 KKME KK65 และ PPnew ที่มีปริมาณสำรอง 239, 225, 260 และ 558 พันล้าน ลบ.ฟุต โดยมีก๊าซในแหล่ง 276, 250, 303 และ 650 พันล้านตามลำดับ หลังจากใช้คอมพิวเตอร์คำนวณการผลิตแหล่ง 4 แหล่งจะมีประสิทธิภาพในการผลิตร้อยละ 87, 86, 89 และ 86 ตามลำดับ

ในการศึกษาเศรษฐกิจปิโตรเลียมสำหรับแหล่งก๊าซที่มีก๊าซ 276 พันล้าน ลบ.ฟุต มีปริมาณสำรอง 239 พันล้าน ลบ.ฟุต การผลิตก๊าซเริ่มวันละ 92 ล้าน ลบ.ฟุตในปีที่ 5 ของโครงการ ผลิตด้วยอัตราคงที่ไป 2 ปี ในปีที่ 7 ของโครงการอัตราการผลิตก๊าซจะเริ่มลดลงปีละ 16% จนกระทั่งปีที่ 23 ของโครงการ เหลือการผลิตวันละ 5.4 ล้าน ลบ.ฟุต จึงหยุดผลิต ผลการคำนวณทางเศรษฐกิจปรากฏว่า

โครงการสามารถคืนทุนได้ภายในเวลา 2 ปี ของการผลิตก๊าซ ตลอดโครงการมีอัตราคืนทุนร้อยละ 19.24 ต่อปี สัดส่วนกําไรต่อเงินลงทุนเท่ากับ 1 จึงสรุปได้ว่าเป็นโครงการที่คุ้มกับการลงทุน

ชั่นเดียวกับแหล่งก๊าซที่มีปริมาณสำรอง 225, 260 และ 533 พันล้าน ลบ.ฟุต เมื่อ วิเคราะห์เศรษฐศาสตร์แล้ว ต่างก็สามารถคืนทุนได้ในปีที่ 2 ของการผลิตและมีอัตราคืนทุนร้อยละ 18, 20 และ 26 โดยมีสัดส่วนต่อเงินลงทุน 1, 1.2 และ 1.67 ตามลำดับ

ผลจากการวิเคราะห์ทางเศรษฐศาสตร์ของ Tank Model ในแหล่งที่มีปริมาณก๊าซเท่ากัน กําได้ผลออกมากล้า Ikejy กับผลจาก Reservoir Simulation

13.2 ข้อเสนอแนะในการวัดค่า Porosity และ Permeability

1. ข้อสังเกตในการตรวจสอบคุณสมบัติที่ต่างกันระหว่างหินปูน(Limestone) และหินโดโลไมท์ (Dolomite) ในสานานคือ

ก. ผลึก (Crystal)

ผลึกของหินโดโลไมท์จะก่อตัวเป็นรูปสี่เหลี่ยมขนมเปียกปูนคล้ายอาบน้ำ แต่ผลึกของหินปูนจะเป็นรูปสี่เหลี่ยมขนมเปียกปูนทั่ว ๆ ไป

ข. การทำปฏิกิริยา กับกรด

หินโดโลไมท์จะทำปฏิกิริยากับกรดน้อยกว่าหินปูน

ค. สี

หินโดโลไมท์จะมีสีออกโปรดังไสเป็นหย่อน ๆ มีแร่แมกนีเซียมและบิชั่นอยู่ข้างในในขณะที่หินปูนมีสีเทา

ง. เส้นบนหินโดโลไมท์จะมีลักษณะคล้ายหนังช้าง

2. เครื่องมือ Poro-Perm cell เป็นเครื่องมือวัด porosity และ permeability แต่ก็มีข้อจำกัด อัตราการไหลลดลง ไม่ได้ แต่อย่างไรก็ตามสามารถที่จะซื้อเครื่องวัดอัตราการไหลที่สามารถวัดละเอียดมาพ่วงก็จะสามารถวัดค่า Permeability ต่ำๆ ได้อีกทั้งความดันไฮดรอลิกในเครื่องนี้สามารถอัดได้สูงสุดเพียง 100 ปอนด์ต่อตารางนิวตัน (psi) เท่านั้น ถ้าสามารถหาเครื่องมือวัด Permeability ที่สามารถอัดแรงดันได้สูงกว่านี้ ก็อาจจะวัด permeability ที่มีค่าน้อย ๆ ได้ (คือที่น้อยกว่า 0.5 md ได้)

13.3 ข้อเสนอแนะในการทดลองผลิตด้วยแบบจำลองคอมพิวเตอร์ (Simulation)

1. คุณมือการใช้ Black Oil Simulation มีความสำคัญ ผู้วิจัยควรศึกษาและเรียนรู้ที่จะเข้าใจก่อน การใช้โปรแกรมทดลองผลิตด้วยคอมพิวเตอร์

2. ภาษา FORTRAN เป็นภาษาที่เขียนในโปรแกรมคอมพิวเตอร์ ผู้วิจัยควรมีพื้นฐานโปรแกรม FORTRAN

3. คำเตือนสำคัญที่แสดงบนจอคอมพิวเตอร์แทนเขียวเป็นการบอกข้อผิดพลาดที่เกิดขึ้นในขณะการเรียงลำดับตัวแปรในบล็อกต่าง ๆ ในแบบจำลอง คำเตือนนี้จะไม่เกิดขึ้นถ้าผู้ปฏิบัติใส่ตัวแปรต่าง ๆ ถูกต้อง และตามขั้นตอน ยกตัวอย่างเช่น “Net thickness set equal to thickness for 17 cells, Layers” or “TH set = to difference between HTOPs in 1 cell, layer 2” การแก้ปัญหาเกี่ยวกับความหนา (net thickness) ในแต่ละ Grid block ใหม่และใส่ตัวแปรเรียงลำดับแตก (array) อีกรังหนึ่ง

4. การเขียนแผนที่โครงสร้าง (structure contour interval) ด้วยมือจะมีความยากมาก จึงควรให้คอมพิวเตอร์ใส่เส้นระดับ (Contour) ให้โดยใส่ข้อมูลพิกัด x, y ลงไปในแผนที่คุณสมบัติของเส้นระดับ ระดับจะแสดงออกมาให้เห็นในแต่ละชั้นของแหล่งจำลอง

5. ในการศึกษานี้ให้มีหลุมผลิต 5 หลุมอัตราการผลิตเริ่มต้นที่วันละ 92 ล้านลูกบาศก์ฟุต การผลิตจะคงอัตราในปีที่ 2 ปีจึงเริ่มลดลงในปีที่ 3 แต่ถ้าหากผู้วิจัยท่านอื่นอัตราการผลิตเริ่มต้นลงต่ำกว่าวันละ 90 ล้านลูกบาศก์ฟุต อัตราการผลิตอาจรักษาการคงตัวไปนานเป็น 3-4 ปี จึงจะเริ่มลดลงและระยะเวลาของการผลิตก็จะยาวขึ้น

6. ผลการศึกษาแหล่งจำลองก๊าซธรรมชาตินี้สามารถนำไปอ้างอิงเพื่อประกอบการตัดสินใจในการลงทุนการสำรวจและผลิตปิโตรเลียมในบริเวณภาคตะวันออกเฉียงเหนือหรือบริเวณที่มีลักษณะทางธรณีที่คล้ายกันได้

7. ผลการทดลองผลิตแหล่งจำลองคอมพิวเตอร์ (Simulation results) จะมีประโยชน์ต่อการคาดการณ์อนาคตของธุรกิจสำรวจและผลิตปิโตรเลียมในภาคตะวันออกเฉียงเหนือของประเทศไทย

8. ผลการทดลองผลิตจากคอมพิวเตอร์ (Simulation results) จะถูกต้องหรือคล้ายของจริงหรือไม่ขึ้นอยู่กับข้อมูลที่ใส่เข้าไปและลักษณะของการสร้างแหล่งจำลองว่าตรงกับที่เป็นจริงหรือไม่อย่างไร

9. การคำนวนช้าๆ ด้วยมือมักจะเกิดความผิดพลาดได้ แต่การใช้คอมพิวเตอร์คำนวนจะได้ค่าที่ถูกต้องและละเอียดมากกว่าและใช้เวลาอ้อยกว่า

13.4 ข้อแนะนำในการสร้างแบบจำลองแหล่งก๊าซในภาคตะวันออกเฉียงเหนือ

ทั้งหมดของแหล่งก๊าซในภาคตะวันออกเฉียงเหนือมีหินกัลเกิลเป็นหินคาร์บอนेट การคาดการณ์การผลิตแหล่งแหล่งนี้จะยากและซับซ้อนเนื่องจากแหล่งปิโตรเลียมที่เป็นหินคาร์บอนเนตจะมีร่องแตก ถ้ำ ขนาดใหญ่ และลึกที่แตกต่างกัน และนอกจากนี้หินคาร์บอนเนตในภาคตะวันออกเฉียงเหนือมีทั้งเป็นหินปูนและหินโคลไมท์คละกันและมีคุณสมบัติที่คล้าย ๆ กันอยู่ หินโคลไมท์อาจมีรูแบบที่เหมือน

หินปูนแต่เมื่อมักนีซึมเป็นส่วนประกอบ จะนับว่าเป็นการยกหินโดยโลไม้ที่ออกจากหินปูนได้ ชัดเจน ค่า Permeability มักเป็นตัวแยกระหว่างหินโดยโลไม้ที่ออกจากหินปูนโดยมีค่า Permeability ในหินกากเก็บ โดยโลไม้ที่จะมีค่ามากกว่าในกากเก็บที่เป็นหินปูน

ข้อแนะนำในการสร้างแบบจำลองคอมพิวเตอร์ของแหล่งก๊าซธรรมชาติในภาคตะวันออกเฉียงเหนือมีดังนี้

1. ศึกษาพื้นที่ที่สนใจที่จะใช้ทำแหล่งจำลองให้ทราบถึงปัญหา ขบวนการ รายละเอียดของข้อมูล และ ประวัติการสำรวจที่ผ่านมาแล้ว เป็นต้น
2. ค่า Porosity ในหินภาคตะวันออกเฉียงเหนือไม่ค่อยแน่นอน ค่า Porosity จะมีค่ามากในหินที่มีร่อง แตก ฉะนั้นการวิเคราะห์หาค่า Porosity ในตัวอย่างหินจะมีความสำคัญ การใช้ค่า Porosity สูงเกินไป ในแหล่งจำลองคอมพิวเตอร์จะทำให้ผลลัพธามากผิดพลาด ควรใช้ค่าเฉลี่ยในการใส่เข้าไปในแหล่งจำลองคอมพิวเตอร์
3. ข้อมูลที่ครบถ้วนและสมบูรณ์ของแหล่งก๊าซในภาคตะวันออกเฉียงเหนือที่มีอยู่ทั้งหมด ควรถูกเก็บ รวบรวมและนำมาใช้ในการทำแหล่งจำลองเพื่อที่จะให้ผลของการทดลองผลิตออกมารองรับแหล่งจริง ๆ ที่ควรจะเป็นให้มากที่สุด

13.5 ข้อเสนอแนะในการนำผลการทดลองผลิต (Simulation Results) ไปใช้ในกิจกรรมสำรวจและผลิตปิโตรเลียม

1. ผลของการทดลองผลิต (Simulation Results) อาจนำมาประกอบการตัดสินใจในการลงทุน สำรวจและผลิตปิโตรเลียมในบริเวณภาคตะวันออกเฉียงเหนือของประเทศไทย
2. ผลของการทดลองผลิตจากแหล่งจำลองคอมพิวเตอร์ (Reservoir Simulation Results) สามารถนำมาใช้คาดการณ์กิจกรรมธุรกิจปิโตรเลียมในภาคตะวันออกเฉียงเหนือได้
3. การทดลองผลิตโดยใช้แบบจำลองคอมพิวเตอร์ (Simulation) คือการรวมรวมข้อมูลและสร้างแบบจำลองแหล่งปิโตรเลียมและใส่ข้อมูลเข้าไปในโปรแกรมคอมพิวเตอร์ จากนั้นก็ทดลองผลิต และเปรียบเทียบผลจากข้อมูลที่ผ่านมาของแหล่งจริง (History Match) และปรับข้อมูลที่เป็น Input ให้ถูกต้องยิ่งขึ้น โดยใช้ข้อมูลในอดีต (History) เพื่อปรับเพื่อคาดการณ์การผลิตในอนาคตให้ได้ผลอย่างถูกต้องสมเหตุสมผล

การทำแบบจำลองแหล่งปิโตรเลียมและทดลองผลิตควบคุมพิวเตอร์จะลดเวลาและค่าใช้จ่ายจากการที่จะทดลองผลิตจริง ๆ จากแหล่งใหม่ ๆ ดังนั้นอาจพิจารณาได้ว่า การจำลองคอมพิวเตอร์แหล่งปิโตรเลียม (Simulation) เป็นวิธีการอย่างหนึ่งที่มีประโยชน์ในการคาดการณ์การผลิตปิโตรเลียม ความถูกต้องเที่ยงตรงกับแหล่งจริง ๆ ขึ้นอยู่กับปริมาณและคุณภาพของข้อมูลที่จะใส่เข้าไปในโปรแกรมคอมพิวเตอร์

REFERENCES

- Assavapatchara, S., Charusiri, P. and Khantaprab, C. (1997). The Permian carbonate rocks in Thailand. In **The International Conference on Stratigraphy and Tectonic Evolution of Southeast Asia and the South Pacific** (p.139). Bangkok.
- Assavarittiiprom, V., Chaisilboon, B. and Polachan, S. (1995). Review on petroleum exploration in Northeastern Thailand. In **Proceedings of the International Conference on Geology, Geotechnology and Mineral Resources of Indochina (Geo-Indo'95)** (pp.541-550). Khon Kaen.
- Barnum, R.S. and Moore, K.S. (1985). **Results of Nam Phong 1A Production Tests, Korat Plateau, Thailand.** Exxon Production Research Company. (Unpublished manuscript).
- Bhattacharya, S. (1999). **Improved Oil Recovery in Mississippian Carbonate Reservoirs of Kansas** [on-line]. Available: http://www.kgs.ukans.edu/PRS/publication/OFR99_22/ discussion.html
- Booth, J.E. (1998). The Khorat Plateau of NE Thailand-Exploration History and Hydrocarbon Potential. In **Proceedings of the SEAPEX Exploration Conference** (pp.169-203). Singapore.
- Borns, D.j. (2001). **Development of a New-Generation Petroleum Reservoir Simulator** [on-line]. Available: http://www.energylan.sandia.gov/ngotp/news/mar/2001/march/mar_01.cfm.
- Calvin, C. M. and Robert L. D. (1989). **Reservoir Simulation.** USA: Society of Petroleum Engineer.
- Chierici, G. L. (1995). **Principles of Petroleum Reservoir Engineering.** Germany.
- Chinoroje, O. and Cole, M.R. (1995). Permian carbonates in the Dao Ruang-1 exploration well Implications for petroleum potential, Northeast Thailand. In **Proceedings of the International Conference on Geology, Geotechnology and Mineral Resources of Indochina (Geo-Indo'95)** (pp.563-576). Khon Kaen.
- Chonglakmani, C., Charoentitira ,T. and Liengjarern, M. (1995). Permian carbonates of Loei area, Northeastern Thailand. In **Proceedings of the International Conference on Geology,**

- Geotechnology and Mineral Resources of Indochina (Geo-Indo'95)** (pp. 577-587). Khonkean.
- Doscher, T.M., (1993). Petroleum reservoir model. In S.P. Parker(ed). **McGraw-Hill Encyclopedia of Engineering** (pp.893-895). USA: McGraw-Hill.
- Henry, B. C. (1997). **Modern Reservoir Engineering-A Simulation Approach**. New Jersey: Englewood Cliffs.
- John, R. F. (1997). **Principles of Applied Reservoir Simulation**. Texas: Houston.
- Kozar, M.G., Crandall, G.F., and Hall, S.E. (1992). Integrated Structural and Stratigraphic Study of the Korat Basin, Rat Buri Limestone (Permian), Thailand. In **Geologic Resource of Thailand: Potential for Future Development** (pp. 692-736). Bangkok.
- Kriangkri, T. (1987). **The Reserve, Energy Production and Production Natural Gas Rate Determination**. Institute of Engineering, Suranaree University of Technology. (Unpublished manuscript).
- Mineral Fuels Division. Department of Mineral Resources. Ministry of Industry.** (1999). **Petroleum Act and Petroleum Income Tax Act B.E. 1999_ Thailand III**. Bangkok.
- Piyasin, S. (1995). The hydrocarbon potential of Khorat plateau. In **Proceedings of the International Conference on Geology, Geotechnology and Mineral Resources of Indochina (Geo Indo'95)** (pp.551-562). Khon Kaen.
- Pradittan, S. (1995). Petroleum exploration in Northeastern Thailand: The revealed results and its potential. In **Proceedings of the International Conference on Geology, Geotechnology and Mineral Resources of Indochina (Geo-Indo'95)** (pp. 589-599). Khon Kaen.
- Roger, B. (2001). **Oil Technology: Reservoir Efficiency Processes** [on-line]. Available: http://fossil.energy.gov/techline/tl_baa2001_oil.shtml.
- Sattayarak, N. (1992). Petroleum Exploration Opportunities in Thailand. In **the National Conference on Geologic Resources of Thailand: Potential for Future Development** (pp. 668-675). Bangkok.

Sattayarak, N., Praditdan, S. and Chonglakmani, C. (1997). Stratigraphy and depositional environment of the upper Palaeozoic and Mesozoic sediments in the central and northeastern parts of Thailand. In **the International Conference on Stratigraphy and Tectonic Evolution of Southeast Asia and the South Pacific and the Associated Meeting of IGCP 359, IGCP 383 (Geo-Indo'97)** (pp. 7-14). Bangkok.

Shannon, P. (1988). **Fundamentals of Core Analysis and Special Core Analysis**. PTTEP Short Course: Bangkok. Thailand.

Wayne, A. (1999). **Carbonate Pore Facies as Predictors of Reservoir Recovery Efficiency** [on-line]. Available: <http://www.campublic.co.uk/science/publications/JconfAs/4/895.htm>.

Booth, John (2000). **PETROLEUM GEOLOGY OF THE KHORAT PLATEAU BASIN N.E. THAILAND**, .Amerada Hess Thailand, August 2000 DMR Presentation... (Unpublished manuscript).

Bhattacharya, S. (1999). **Improved Oil Recovery in Mississippian Carbonate Reservoirs of Kansas** [on-line]. Available: http://www.kgs.ukans.edu/PRS/publication/OFR99_22/discussion.html

Booth, J.E. (1998). The Khorat Plateau of NE Thailand-Exploration History and Hydrocarbon Potential. In **Proceedings of the SEAPEX Exploration Conference** (pp.169-203). Singapore.

Petroleum Act and Petroleum Income Tax Act B.E. 1999 Thailand III. Mineral Fuels Division. Department of Mineral Resources. Ministry of Industry.

ກາຄົມນວກ ກ

GLOSSARY TERMS OF EVALUATION

Amortization - An accounting term referring to the process of writing off the cost or value of an asset over its expected service life. Intangible assets such as acquisition cost for non producing properties, lease bonuses, title clearing expenditures, geological and geophysical cost are "written off" or "amortized" in amortization accounts. Tangible assets such as physical equipment or in-place reserves are written off through depreciation or depletion accounts.

Capital Expenditure (CAPEX) - An accounting term usually applied to expenditure on fixed assets i.e. items that have a life beyond the current year. The value of such items is usually depreciated over its life. Other items with short life, and expenses such as operating costs, are treated as revenue items and are deducted in full immediately.

Depreciation - An accounting and tax term for allocating a portion of tangible asset cost to a time period. Property, plant and equipment are depreciated, as well as all the costs of developing producing wells and related facilities. Commonly used depreciation methods include straight-line and accelerated depreciation methods such as declining balance or sum-of-the-year's digits.

Discount Cash Flow (DCF) - Cash flows are estimates of future payments and receipts - usually on an annual basis. These are generally calculated in **MOD** terms. The DCF method then takes account of the fact that we would prefer to have a "real" sum of money in our hands now rather than later, because if we did, it could be re-invested to make more money. Thus it "costs" us something to receive it later (opportunity cost). The converse is true of capital costs (they cost less tomorrow than today because - inflation apart - the money can be kept in use in our financial system earning money). The purpose of DCF is to measure this time effect on value and cost, and it is a separate process from looking at inflation effects. Discounting is the exact mathematical inverse of compounding.

Discount Rate - The rate used to discount fund flows in the DCF method and evaluation (e.g., for a discount rate of 5% , year n fund flow is divided by 1.05 to the (n-1) power). It should be chosen to represents the real rate of return the business can expect to make and as such represents the rate that can be expected by investing in other (or opportunity) projects. The following points need to be taken into account when choosing the discount rate:

1. Historic company earnings rates are a guide, but future opportunities may differ.

2. If most of a company's capital is borrowed, the rate should at least exceed the loan rate! Where a company's capital is from several sources sometimes an average cost of capital may be used to derive a minimum discount rate.

3. The relative risk of one business to another.

4. Future investment opportunities - limited, anticipated rate of return?

Expense or Expensed - A disbursement of outlay which is subtracted from current revenue. In book or taxable income computations, this may be either OPEX (e.g., salaries and wages) or expensed investments. The entire amount receives tax relief in the year the cost is incurred.

Income Tax - A monetary assessment levied by a government, based upon taxable income.

Intangible Assets (ICAP). Intangible assets are the class of assets that includes all types of minerals. No value may be established by direct inspection and the asset does not necessarily depreciate with time. It loses value only when produced and furthermore cannot be replaced. The exact differentiation between a tangible (capital) asset and an intangible asset is somewhat arbitrary. From a practical standpoint, such differentiation depends on the current applicable tax provisions governing a specific type of property. Evaluations should not rely solely on past evaluations since the laws regarding intangible assets change.

Internal Rate of Return (IRR or DCF-ROR) - The discount rate which sets the Present Value of a cash flow stream equal to zero.

Investment - An expenditure of funds to acquire physical or financial assets from which benefits are expected to occur for more than one year.

Operating Expense (OPEX) - Generally, a cost of conducting business activities or, specifically, cost directly involved with production or services.

Profit - An imprecise term generally perceived to reflect the financial return from an investment. Profit is commonly defined as the excess of revenues over all costs and is also considered to be equivalent to income.

Revenue- The amount received for the sale of production of manufactured products. Generally, the mathematical product of unit price and volume. The chief source of cash inflow in most investment evaluations.

Royalty - Royalty is the interest of a party owning minerals in the ground where another party (the working interest) has gained the right to capture such minerals under a lease agreement. Such royalty interest is normally free of all costs of capture except for special treating costs that might be specified in the lease or assignment. This term is often used as an abbreviation for the term landowner's royalty. There are many specific forms of royalty.

Sensitivity Analysis - An analytic procedure which quantifies the impact various items of cash flow have upon investment return.

Sliding Scale Royalty - A royalty varying in accordance with the amount of production, e.g., a 1/8 royalty if the production is 100 barrels per day or less, and 3/16 royalty if the production is greater than 100 barrels per day. Difficult problems of interpretation of the sliding scale royalty clause arise when government regulations on a unitization agreement limit production on the amount of oil allocated to a particular tract. See Chapter 6 (Norway).

Tangible - Refers to an asset having material substance, as for example, equipment. A property whose value can be determined by objective appraisal.

Taxable Income - The computation of income in accordance with tax codes so as to serve as the basis for computing income taxes. Generally differs from book income (as reported in financial statement) because of different depreciation and depletion accounting procedures.

Write Off - An accounting term for a non-cash or book expense. It is the cost of a long-term asset allocated, period-by-period, over its deemed life. Also called an "Extinguishment." For example, depreciation, depletion and amortization expenses.

ກາຄົນວັດ ຂ
POROSIMETER OPERATION

- a. Connect Helium gas supply to the port at the rear of the instrument.
- b. The instrument should be set up in a constant temperature environment. The pressure transducer should be calibrated and equipment leak checked on set up and checked periodically after that.
(See calibration section following)
- c. Turn on the electronic and allow to warm up. (5-10 minutes)
- d. Zero the digital readout.
- e. With the Helium value in the *off* position and the top value in vent position, adjust the zero potentiometer to a point where the digital readout reads 0.00.
- f. Turn on the Helium supply at the bottle and the Porosimeter. (red toggle value)
- g. Warm up the transducer by pressuring up and down several times.
- h. Determine the Reference Volume of the reference chamber (RV')
 1. Fill the matrix cup with billets and seal the cup in the porosimeter. The matrix cup must be the same position for each reading (for reference and grain volume measurements) to ensure that there is no change in volume.
 2. Fill the reference chamber with Helium to 100.00 psig*.
Record pressure as P_{of}.
 3. Open the reference chamber to the sample chamber.
Record the equilibrated pressure as P_f.
 4. Remove the appropriate billet from the sample chamber. The volume of the billet removed should be approximately equal to the pore volume of the samples being tested. (typically billet 3 for porous sandstones)
Record the volume of the billet removed as V_{bil} (cm³).
 5. Repeat steps 2 and 3, hower, this time record the reference chamber pressure as P_{ob} and the equilibrated pressure of the sample chamber as P_b.
 6. These pressure measurements are repeated until three consecutive indentical readings are obtained. The RV is obtained at the start of each sample run and then at 20 sample intervals.

*Always use 100.00 psig for the reference pressure.

Calculations -RV

$$\text{RV} = V_{\text{bil}} / ((P_{\text{ob}}/P_b) - (P_{\text{of}}/P_f))$$

or if Pob and Pof = 100.00 psi

$$RV = Pf/100 \times ((Pb \times V_{bil}) / (Pf - Pb))$$

i. Grain Volume Determination (GV)

1. Place the clean and dried core sample in the matrix cup. If the sample is short, then fill the excess space with a billet(s).

Record the identification number of the billets left out of the cup. The volume of these billets (V_{bil}^2) is used in the calculation and are found in " Matrix Cup Billet Volumes " Seal the cup at atmospheric conditions and isolate the cup from the atmosphere.

2. Fill the reference chamber with Helium to 100.00 psig.

Record the pressure as Pos.

3. Introduce the Helium into the matrix cup and allow the pressure to stabilise.

Record the stabilised pressure as Ps.

4. Through knowledge of the previously determined RV, the Ps is used to calculate the grain volume.

$$GV (\text{ cm}^3) = V_{bil}^2 + ((Pof/Pf)RV) - ((Pos/Ps)RV)$$

V_{bil}^2 = Billet removed

j. Sample Weight Determination

After measurement of grain volume, the sample is weighed to 2 decimal places (grams), with care being taken with friable to ensure that there is no grain loss between the porosimeter and the electronic balance.

Record the weight as Dry Weight (Dry Wt) on the work sheet.

k. Bulk volume determination (BV)

Bulk volume is calculated from the relationship of length and diameter following this:

$$BV = (D/2)^2 \times L \times \pi$$

l. Pore volume determination

$$PV = BV - GV$$

Porosity Calculations

Grain Volume

$$RV = V_{bil} / ((Pob/Pb) - (Pof/Pf))$$

or if P_{ob} and $P_{of} = 100 \text{ psi}$

$$RV = Pf/100 \times ((Pb \times V_{bil}) / (Pf - Pb))$$

$$GV = V_{bil}^2 + ((Pof/Pf)RV) - ((Pos/Ps)RV))$$

Pore Volume

$$PV = BV - GV$$

Bulk Volume

$$BV = (D/2)^2 \times L \times \pi - \text{for whole core samples, } (\pi=3.1416)$$

Porosity

$$\phi\% = PV/BV \times 100$$

Matrix Cup Billet Volumes

1" Billets	Billet Number	Volume (cm ³)
	1	4.63
	2	4.59
	3	9.22
	4	18.49
1 1/2 " Billets	Billet Number	Volume (cm ³)
	1	10.18
	2	10.2
	3	20.39
	4	40.74

ภาคผนวก ๑

OVERBURDEN PORO-PERM CELL OPERATION

- a) The Overburden Poro-Perm Cell should be set up in a constant temperature environment. The pressure transducers should be calibrated and the equipment leak checked on installation. The transducers calibration should be checked from time to time and re-calibrated as need be.
- b) Connect external helium, air and water supplies to the entry ports at the rear of the instrument.
- c) Connect the water drain port to an external drain line.

Sample Loading and Cell Pressuring.

- a) Place thick walled rubber sleeve over the platen end of the down stream end piece and secure with retaining ring.
- b) Insert right cylinder sample into the thick walled rubber sleeve, ensuring the sample is butted neatly up against the platen.
- c) Insert upstream platen into the rubber sleeve end, ensuring the platen is butted neatly up against the sample, and secure with retaining ring.
- d) The sample holder is then inserted into the hydrostatic cell, to a point where the base of the downstream end platen is flush with the lip of the cell.
- e) Secure the cell by screwing on the end cap.
- f) Pressure up hydrostatic cell.
 1. Open "OB DRAIN" valve and turn on "WATER" supply valve (blue toggle valve).
 2. Close the drain valve at the bottom of the hydrostatic cell.
 3. When the cell is full close the "OB DRAIN" valve. A full cell will be evidenced by the noise of water draining though the drain hose at the back of the equipment.
 4. Turn on "AIR SUPPLY" valve (black toggle valve).
 5. Select the correct "CELL PRESSURE CONTROL" gauge to cover the pressure you intend to go up to.
 6. Turn the "CELL PRESSURE CONTROL" air supply regulator in a clockwise direction until the desired pressure is obtained.
 7. The cell is now pressured up and you are ready to perform your porosity or permeability tests.

Cell Depressuring and Sample Unloading

- a) De-pressure the hydrostatic cell
 1. Completely back off the "CELL PRESSURE CONTROL" air supply regulator in an anti-clockwise direction and turn off the "AIR" supply valve (black toggle valve).
 2. Turn off the "WATER" supply valve (blue toggle valve).
 3. Release the pressure in the cell by opening the drain valve on the bottom of the cell.
 4. Open the "OB DRAIN" valve to allow the water to drain from the cell.
- b) Once the water is completely drained from the hydrostatic cell, unscrew the cell end cap and remove the sample holder from the cell.
- c) Remove the retainer rings and the end platens from the rubber sleeve and extract the sample. It is important to have a towel handy at this point to wipe excess water from the sample holder as you remove the sample to stop the sample getting wet.

Equipment

Air and water supply plumbed into the instrument.

Overburden Poro-Perm cell - equipped with a hydrostatic cell with necessary pressure gauges, and an air driven hydraulic pump to allow permeability measurements to be made at high confining pressures. It includes the following components:

- valves to control and direct gas and water flow.
- regulator to control gas pressure.
- stainless steel hydrostatic cell to withstand 10,000 psi.
- an air driven hydraulic pump to pressure up the cell.
- pressure gauges to monitor cell pressure.
- rubber sleeve and stainless steel end pieces to hold the sample in the cell.

A series of calibrated flow tubes of different volumes to monitor the flow rate of air through the plug (unit - cm³/sec).

Stop Watch

Vernier callipers to measure the plug dimensions (unit-cm).

Thermometer.

Procedure

- a) Measure the plug sample dimensions.

The sample must be a right cylinder. Take several measurements of the length and diameter of the plug with Vernier callipers. Record the average length (l) and diameter (d) of the sample in centimetres to two decimal places.

- b) Turn on external Air and Water supply.
- c) Turn on the electronics, "POWER" switch, and allow to warm up. (5 -10 minutes)
- d) Switch "TRANSDUCER SELECT" switch to "AIR Ka"
- e) Switch "TRANSDUCER SELECT" valve to "Ka"
- f) Switch "REGULATOR SELECT" valve to "Ka"
- g) Zero the digital readout by adjusting the "AIR Ka" potentiometer.
- h) Load the sample into the sample holder assembly and load into the hydrostatic cell.
- i) Fill the hydrostatic cell with water, ensure the correct "CELL PRESSURE CONTROL" gauge is selected.
- j) Pressure up to the desired overburden pressure.
- k) Connect and tighten the supply tube to the upstream side of the cell.
- l) Open the vent valve on the down stream side of the cell.
- m) With the valves on either side of the "Ka FLOW PATH" open, turn on the air supply valve (black toggle valve).
- n) Attach the bubble tube, via a rubber hose, to the down stream end of the hydrostatic cell, that is, the downstream end of the sample. The bubble tube must be clean and wet before a measurement is made. The rubber hose must be checked regularly during testing to ensure it is not partially blocked with water from the bubble tube or sand from friable samples.
- o) Adjust the "AIR" regulator (upstream pressure $-P_1$) to obtain the desired flow rate. A very high flow rate causes turbulence in the air flow which leads to inaccurate results. Ideally the upstream pressure and flow tube should be chosen in conjunction to achieve a repeatable flow-rate measurement of around 20 second, (eg. 1 psig upstream pressure / flow volume of 100 cm^3 / flow time of 20.00 seconds).
- p) Once a stabilised flow-rate is established record the following;
 - 1. Upstream Pressure (p_1) - psig
 - 2. Flow Volume - cm^3
 - 3. Flow Time - seconds

4. Barometric Pressure - atmospheres

5. Temperature - $^{\circ}$ Celcius

- q) On completion of the test, turn off the "AIR" supply valve, disconnect the supply tube from the upstream side of the hydrostatic cell and disconnect the flow tube on the down stream side of the cell.
- r) Depressurise the hydrostatic cell, allow the cell to drain, remove the sample holder and remove the sample from the sample holder.

Overburden permeability can be determined at numerous confining pressures by increasing the confining pressure prior to each flow measurement.

Overburden Permeability Calculations

The following equation, a form of Darcy's Law is used to calculate permeability. All pressures need to be in units of atmospheres (atm):

$$K_{\text{gas}} = \frac{2000 \times BP \times \mu_{\text{gas}} \times Q \times L}{[(P_1 \times 0.06805 + BP)^2 - (BP)^2] \times A}$$

$$K_{\text{gas}} (\text{actual}) = K_{\text{gas}} (\text{apparent}) \times 0.9716^*$$

where:

$$\begin{aligned} BP &= \text{Barometric pressure (atmospheres)} \\ &\quad (\text{BP millibars} \times 0.0009869 = \text{BP atmospheres}) \end{aligned}$$

$$\mu_{\text{air}} \text{ or } \mu_{\text{N}_2} = \text{viscosity of gas (varies with temperature)* (centipoises)}$$

$$Q = \frac{\text{flow volume (cm}^3\text{)}}{\text{flow time (sec) } T} = \underline{V}$$

$$L = \text{length of plug (cm)}$$

$$P_1 = \text{upstream pressure (psig)}$$

$$0.6805 = \text{conversion factor for psi to atmospheres}$$

$$A = \text{cross sectional area of plug} = \pi \left(\frac{\text{diameter (cm)}}{2} \right)^2$$

$$*0.9716 = \text{conversion factor for the expansion of air due to saturation with}$$

water vapour in the bubble tube.

$$\mu_{\text{air}} = -8 \times 10^{-7} T^2 + 8 \times 10^{-5} T + 0.0171$$

$$\mu_{\text{N}_2} = -8 \times 10^{-7} T^2 + 8 \times 10^{-5} T + 0.0158$$

$$T = \text{temperature (} ^\circ\text{C)}$$

ภาคผนวก ง

PRESSURE DISTRIBUTION OF PROJECT KK60

Table D.1 Pressure Distribution of layer 1 of Project KK60

At 1 Year

5083	4657	3819
5035	4712	4516
4927	4387	4715
5029	4845	4944
5049	4849	4973
4933	4329	4853
5084	4809	4990
5147	4646	4998
5349	5117	5029
5404	5167	4748

At 2 Year

4062	3611	2716
4007	3666	3455
3892	3318	3662
4004	3805	3903
4034	3820	3944
3929	3287	3835
4109	3818	4001
4202	3675	4040
4434	4191	4098
4505	4257	3820

At 5 Year

2413	2128	1607
2335	2090	1987
2209	1743	2049
2298	2134	2214
2331	2173	2252
2264	1831	2176
2364	2127	2248
2386	1899	2186
2545	2283	2130
2581	2289	1722

At 10 Year

1369	1213	923
1322	1185	1125
1248	990	1153
1287	1195	1238
1296	1208	1249
1251	1015	1195
1292	1159	1220
1290	1026	1166
1360	1213	1123
1375	1216	913

At 20 Year

776	694	536
749	679	648
707	572	661
726	680	701
728	685	705
704	581	677
723	659	689
721	586	662
759	685	638
768	684	520

Table D.2 Pressure Distribution of layer 2 of Project KK60

At 1 Year

5453	5283	4998	4668
5378	5128	4702	3904
5311	5066	4730	4553
5262	4959	4399	4739
5278	5065	4855	4958
5281	5074	4858	4988
5271	4964	4340	4873
5344	5107	4819	5006
5441	5174	4657	5018
5557	5377	5133	5056
5599	5436	5192	4786

At 2 Year

4459	4276	3972	3621
4376	4110	3658	2807
4302	4040	3684	3492
4249	3926	3330	3687
4269	4042	3815	3918
4282	4060	3829	3959
4287	3962	3299	3856
4386	4134	3828	4017
4513	4230	3686	4060
4657	4463	4207	4125
4714	4539	4282	3858

At 5 Year

2707	2583	2389	2173
2633	2448	2162	1667
2554	2359	2103	2012
2494	2237	1753	2068
2505	2326	2142	2227
2519	2351	2180	2264
2527	2289	1840	2192
2591	2385	2136	2261
2674	2413	1911	2207
2775	2576	2301	2160
2810	2618	2316	1766

At 10 Year

1532	1464	1360	1242
1488	1389	1233	957
1439	1335	1193	1139
1400	1263	995	1163
1399	1303	1200	1245
1397	1308	1212	1255
1391	1265	1020	1204
1414	1303	1164	1227
1447	1306	1032	1178
1490	1378	1225	1140
1505	1396	1231	937

At 20 Year

871	831	772	708
844	787	704	555
814	756	683	655
791	715	575	666
787	734	683	704
784	735	687	708
779	712	584	681
791	730	662	692
808	730	589	668
831	769	690	647
840	779	692	534

Table D.3 Pressure Distribution of layer 3 of Project KK60

At 1 Year

5471	5302	5024	4721	4960
5395	5165	4747	4010	4734
5325	5091	4754	4618	4912
5271	4982	4418	4785	5033
5287	5087	4866	4981	5131
5293	5092	4868	5014	5188
5283	4985	4349	4909	5197
5360	5126	4829	5039	5263
5452	5192	4667	5055	5297
5570	5398	5155	5104	5291
5619	5471	5232	4865	5247
5723	5621	5423	5343	5432

At 2 Year

4479	4296	4000	3676	3922
4394	4148	3706	2919	3681
4316	4067	3708	3560	3864
4260	3952	3349	3734	3990
4279	4065	3826	3942	4096
4295	4080	3839	3986	4165
4301	3984	3308	3894	4192
4402	4155	3839	4052	4283
4526	4250	3697	4098	4346
4671	4486	4229	4174	4364
4735	4576	4324	3940	4332
4845	4721	4550	4387	4523

At 5 Year

2722	2598	2408	2210	2361
2646	2477	2196	1739	2192
2565	2380	2120	2058	2263
2504	2259	1769	2106	2311
2514	2346	2153	2248	2373
2529	2368	2189	2285	2417
2538	2308	1849	2221	2429
2605	2403	2146	2291	2469
2686	2434	1924	2246	2468
2789	2602	2329	2218	2425
2832	2658	2364	1865	2350
2950	2929	2645	2467	2580

At 10 Year

1541	1473	1371	1262	1342
1496	1404	1252	997	1246
1446	1347	1202	1165	1277
1406	1275	1004	1184	1295
1404	1314	1207	1257	1321
1403	1317	1219	1267	1333
1397	1275	1025	1220	1326
1422	1314	1171	1243	1333
1454	1318	1040	1200	1316
1499	1394	1242	1173	1281
1518	1419	1258	990	1238
1595	1512	1403	1305	1351

At 20 Year

876	837	778	718	760
849	796	714	577	708
818	762	688	668	721
794	721	579	676	728
791	740	686	710	740
788	740	690	713	745
783	716	586	689	740
795	736	665	700	741
812	737	594	678	732
836	778	699	663	714
847	792	706	564	694
886	844	784	727	751

Table D.4 Pressure Distribution of layer 4 of Project KK60

At 1 Year

5736	5649	5516	5363	5257	5309
5676	5503	5333	5068	4790	5002
5606	5421	5197	4792	4089	4773
5537	5345	5112	4777	4678	4941
5477	5281	4997	4437	4816	5044
5464	5296	5097	4873	4991	5134
5480	5311	5106	4876	5031	5198
5510	5304	5000	4358	4933	5211
5566	5376	5137	4837	5060	5273
5620	5467	5202	4672	5078	5311
5705	5586	5411	5173	5143	5315
5785	5653	5511	5286	4947	5293
5845	5746	5638	5492	5367	5465

At 2 Year

4729	4634	4494	4309	4160	4221
4665	4514	4330	4046	3748	3965
4585	4423	4183	3752	3000	3721
4512	4339	4090	3733	3622	3893
4451	4271	3968	3370	3766	4001
4441	4289	4076	3834	3952	4099
4470	4315	4096	3847	4004	4175
4504	4324	4001	3319	3919	4206
4583	4422	4169	3849	4075	4293
4669	4543	4261	3703	4122	4360
4778	4689	4501	4248	4214	4387
4885	4773	4621	4382	4026	4380
4962	4883	4766	4608	4473	4571

At 5 Year

2950	2882	2780	2667	2587	2613
2895	2749	2624	2441	2259	2391
2823	2669	2503	2228	1791	2219
2749	2583	2397	2136	2098	2240
2689	2514	2274	1788	2132	2319
2676	2524	2356	2162	2259	2377
2708	2547	2381	2197	2301	2429
2739	2558	2323	1859	2241	2440
2995	2623	2416	2156	2312	2477
2859	2704	2449	1935	2276	2484
2944	2810	2623	2357	2267	2451
3029	2871	2706	2428	1966	2402
3094	2976	2847	2665	2493	2606

At 10 Year

1674	1635	1579	1513	1469	1482
1640	1557	1488	1389	1289	1358
1597	1509	1419	1270	1025	1260
1549	1455	1356	1212	1187	1287
1507	1412	1283	1014	1198	1299
1494	1410	1321	1213	1263	1323
1502	1413	1325	1224	1275	1338
1509	1408	1284	1030	1231	1332
1532	1433	1322	1177	1254	1337
1558	1466	1328	1047	1219	1325
1598	1514	1408	1260	1201	1296
1639	1542	1446	1294	1043	1266
1670	1600	1522	1415	1318	1370

At 20 Year

954	933	900	863	834	841
935	887	846	789	733	770
909	856	805	723	593	715
878	824	768	693	679	726
853	798	726	584	682	731
843	795	744	689	712	741
841	794	744	693	716	747
848	790	721	589	694	742
859	802	741	668	705	744
873	820	743	598	687	737
894	846	787	708	677	722
920	861	808	724	593	708
935	895	850	790	735	762

Table D.5 Pressure Distribution of layer 5 of Project KK60

At 1 Year

5741	5656	5524	5373	5269	5320	5395
5684	5549	5374	5127	4880	5079	5281
5614	5458	5227	4835	4155	4839	5170
5548	5381	5134	4804	4720	4984	5190
5492	5312	5012	4454	4836	5070	5226
5479	5323	5109	4882	5002	5155	5277
5496	5338	5116	4880	5042	5217	5340
5513	5332	5009	4361	4946	5232	5381
5568	5402	5145	4839	5072	5291	5428
5629	5483	5203	4668	5086	5327	5463
5714	5598	5410	5176	5172	5352	5507
5798	5687	5537	5320	4998	5349	5550
5859	5769	5655	5511	5391	5498	5623
5946	5896	5816	5731	5682	5718	5760

At 2 Year

4780	4685	4539	4372	4254	4301	4376		2955	2887	2786	2674	2596	2621	2667
4716	4565	4375	4109	3842	4045	4253		2900	2790	2659	2488	2325	2446	2576
4636	4464	4215	3797	3066	3788	4132		2829	2701	2529	2262	1835	2265	2479
4563	4378	4114	3761	3665	3938	4150		2758	2615	2417	2159	2129	2314	2460
4502	4306	3985	3387	3787	4028	4188		2701	2543	2289	1803	2149	2340	2462
4492	4320	4089	3844	3964	4121	4246		2689	2550	2368	2172	2270	2394	2490
4521	4346	4108	3853	4016	4195	4322		2713	2574	2393	2205	2313	2441	2537
4555	4357	4013	3324	3934	4228	4382		2742	2586	2335	1866	2255	2457	2571
4634	4452	4179	3852	4089	4313	4454		2801	2649	2426	2160	2324	2494	2608
4720	4561	4264	3699	4131	4376	4516		2865	2722	2455	1936	2291	2503	2633
4829	4702	4500	4251	4242	4424	4582		2953	2828	2629	2371	2308	2495	2664
4936	4810	4649	4418	4079	4438	4645		3042	2911	2739	2471	2026	2467	2702
5013	4909	4784	4628	4498	4605	4732		3111	3002	2865	2685	2519	2642	2784
5110	5025	4931	4824	4754	4788	4865		3220	3159	3054	2941	2867	2904	2950

At 10 Year

1676	1638	1582	1518	1474	1486	1509
1643	1581	1508	1415	1325	1388	1457
1600	1527	1433	1288	1048	1285	1397
1554	1474	1368	1226	1204	1304	1380
1515	1428	1291	1023	1208	1310	1373
1501	1425	1327	1219	1269	1332	1380
1505	1428	1332	1228	1282	1346	1392
1511	1425	1291	1034	1238	1341	1395
1534	1449	1328	1180	1261	1345	1400
1562	1479	1333	1048	1230	1336	1400
1602	1527	1415	1271	1226	1321	1406
1646	1567	1466	1318	1074	1300	1420
1680	1615	1532	1427	1331	1389	1461
1736	1700	1646	1577	1520	1530	1556

At 20 Year

956	935	902	865	838	844	858
937	901	858	804	754	787	826
911	868	814	733	606	728	790
882	835	775	699	688	736	776
857	807	731	589	687	737	770
847	803	748	691	715	746	772
845	805	749	695	719	751	777
849	799	725	591	697	747	777
860	812	745	669	708	749	778
875	827	747	598	691	743	777
898	854	791	713	689	735	780
923	876	819	737	610	725	789
942	904	856	796	743	773	811
973	953	915	874	848	852	861

Table D.6 Pressure Distribution of layer 6 of Project KK60

At 1 Year								At 2 Year								At 5 Year							
5889	5842	5775	5689	5610	5555	5560	5626	4911	4862	4788	4679	4564	4488	4492	4523	3090	3061	2992	2929	2856	2800	2804	2820
5847	5747	5663	5532	5383	5281	5331	5403	4861	4787	4692	4547	4382	4267	4312	4384	3048	2960	2892	2792	2681	2605	2629	2673
5796	5692	5575	5399	5164	4936	5123	5289	4799	4723	4594	4402	4148	3901	4091	4262	2994	2905	2812	2681	2516	2366	2477	2582
5743	5622	5481	5247	4866	4204	4880	5177	4736	4644	4489	4237	3830	3117	3831	4140	2935	2835	2722	2547	2287	1871	2294	2484
5697	5559	5403	5150	4826	4741	5005	5195	4685	4573	4403	4131	3784	3687	3959	4155	2888	2767	2636	2434	2180	2148	2332	2463
5670	5507	5338	5030	4474	4851	5089	5237	4654	4518	4334	4004	3409	3802	4048	4199	2856	2713	2567	2307	1823	2163	2357	2470
5654	5494	5346	5121	4891	5015	5175	5290	4640	4508	4345	4103	3854	3978	4141	4259	2841	2702	2571	2381	2183	2282	2409	2499
5646	5502	5352	5119	4878	5047	5228	5345	4643	4527	4363	4113	3852	4022	4207	4327	2844	2718	2589	2401	2209	2320	2451	2540
5657	5516	5344	5009	4355	4948	5239	5382	4669	4558	4371	4014	3317	3937	4236	4383	2867	2745	2599	2340	1866	2260	2464	2572
5698	5567	5409	5140	4833	5071	5296	5428	4731	4632	4460	4175	3847	4089	4317	4452	2919	2800	2658	2427	2162	2328	2500	2607
5763	5637	5490	5206	4674	5094	5338	5472	4822	4727	4569	4267	3705	4138	4385	4522	2996	2871	2731	2460	1946	2303	2515	2639
5840	5725	5609	5416	5184	5194	5379	5520	4928	4840	4714	4506	4259	4264	4451	4594	3085	2962	2840	2638	2384	2337	2526	2676
5917	5811	5711	5560	5348	5034	5389	5566	5030	4950	4838	4674	4447	4117	4480	4661	3177	3055	2940	2766	2505	2066	2511	2718
5984	5875	5795	5681	5542	5428	5536	5644	5117	5031	4939	4812	4661	4537	4645	4754	3254	3128	3031	2893	2719	2560	2685	2806
5631	5962	5908	5828	5745	5697	5732	5777	5180	5128	5055	4959	4857	4793	4828	4887	3318	3235	3168	3065	2955	2883	2903	2965
At 10 Year								At 20 Year															
1752	1730	1700	1663	1622	1594	1590	1598	1000	989	971	948	925	909	906	912	984	958	937	904	867	842	847	860
1727	1678	1641	1585	1523	1479	1490	1513	964	939	909	865	814	766	797	828	947	913	875	820	741	616	737	792
1793	1646	1594	1521	1430	1347	1405	1460	925	886	843	780	706	693	741	778	912	861	815	737	593	691	741	772
1658	1603	1539	1444	1302	1067	1301	1401	898	851	810	752	694	717	750	774	892	849	808	751	696	721	754	777
1626	1559	1487	1377	1238	1215	1314	1383	895	850	805	727	591	698	749	777	902	861	816	746	670	710	751	779
1604	1522	1442	1301	1034	1216	1319	1378	922	877	831	750	602	695	747	780	945	902	859	795	717	698	744	784
1588	1508	1436	1334	1225	1275	1339	1385	968	927	887	828	748	621	738	793	989	947	914	865	807	756	785	818
1579	1508	1437	1336	1230	1285	1351	1393	1004	978	956	919	879	852	856	867	1004	978	956	919	879	852	856	867
1583	1513	1433	1294	1035	1241	1344	1396	1000	989	971	948	925	909	906	912	984	958	937	904	867	842	847	860
1603	1536	1455	1330	1182	1264	1349	1401	964	939	909	865	814	766	797	828	947	913	875	820	741	616	737	792
1638	1566	1485	1337	1055	1238	1343	1404	925	886	843	780	706	693	741	778	912	861	815	737	593	691	741	772
1682	1608	1536	1421	1279	1244	1338	1413	898	851	810	752	694	717	750	774	989	947	914	865	807	756	785	818
1725	1653	1585	1483	1337	1097	1325	1429	968	927	887	828	748	621	738	793	1004	978	956	919	879	852	856	867
1760	1690	1632	1549	1446	1354	1412	1473	922	877	831	750	602	695	747	780	945	902	859	795	717	698	744	784
1790	1745	1706	1648	1580	1527	1539	1562	968	927	887	828	748	621	738	793	989	947	914	865	807	756	785	818

Table D.7 Pressure Distribution of layer 7 of Project KK60

At 1 Year										At 2 Year										At 5 Year									
5894	5850	5782	5695	5612	5557	5562	5594	5632		4935	4886	4810	4704	4594	4524	4525	4554	4597		3094	3062	2996	2930	2858	2804	2805	2821	2848	
5852	5769	5684	5555	5412	5315	5362	5433	5540		4885	4811	4714	4572	4412	4303	4345	4415	4494		3052	2978	2909	2811	2703	2630	2652	2695	2752	
5801	5711	5597	5422	5193	4975	5157	5313	5442		4823	4743	4617	4427	4179	3941	4126	4286	4387		2998	2921	2831	2700	2539	2393	2501	2599	2675	
5748	5641	5500	5266	4890	4236	4910	5201	5370		4760	4665	4511	4258	3855	3148	3861	4163	4305		2940	2850	2739	2563	2305	1892	2315	2500	2600	
5702	5580	5423	5167	4841	4765	5029	5216	5359		4709	4595	4425	4150	3800	3711	3983	4176	4290		2892	2785	2655	2449	2193	2165	2350	2479	2561	
5675	5530	5360	5044	4480	4865	5107	5255	5381		4678	4542	4358	4018	3414	3816	4066	4217	4314		2860	2733	2587	2319	1827	2174	2371	2483	2571	
5659	5516	5366	5134	4900	5029	5193	5308	5425		4664	4532	4367	4118	3863	3992	4159	4277	4366		2845	2721	2590	2394	2191	2294	2423	2512	2595	
5651	5517	5364	5126	4883	5054	5238	5357	5463		4667	4543	4377	4121	3857	4030	4218	4339	4416		2848	2731	2601	2408	2215	2327	2460	2549	2520	
5662	5529	5354	5013	4357	4953	5247	5391	5498		4693	4572	4382	4019	3319	3941	4244	4392	4471		2871	2755	2609	2345	1820	2265	2471	2579	2652	
5703	5578	5416	5141	4835	5075	5302	5436	5547		4755	4642	4468	4175	3848	4092	4323	4460	4540		2923	2809	2666	2430	2165	2333	2506	2614	2703	
5768	5650	5499	5210	4681	5103	5349	5485	5603		4846	4740	4578	4271	3711	4146	4395	4535	4624		3000	2884	2740	2466	1954	2314	2526	2651	2762	
5845	5740	5621	5423	5195	5212	5401	5538	5668		4952	4856	4727	4514	4269	4282	4472	4612	4709		3090	2978	2853	2648	2397	2359	2550	2693	2824	
5922	5829	5732	5580	5372	5062	5421	5589	5729		5054	4970	4861	4696	4472	4145	4513	4685	4794		3181	3074	2963	2789	2532	2096	2546	2741	2890	
5989	5902	5826	5715	5584	5478	5583	5680	5805		5141	5062	4975	4851	4708	4592	4695	4793	4890		3259	3158	3066	2931	2767	2619	2737	2845	2983	
6036	5978	5920	5840	5759	5712	5746	5794	5927		5204	5159	5091	4998	4904	4848	4878	4926	4981		3320	3250	3178	3076	2969	2899	2929	2981	3075	
6076	6044	5994	5933	5878	5849	5861	5893	5927		5257	5231	5174	5100	5032	4994	5002	5030	5045		3370	3330	3264	3185	3110	3064	3068	3100	3138	

At 10 Year

1753	1733	1702	1664	1623	1595	1591	1600	1616	1001	990	972	949	926	910	907	913	923
1729	1689	1651	1596	1535	1493	1504	1526	1562	986	964	942	910	875	850	855	868	891
1696	1655	1605	1532	1443	1362	1418	1469	1507	967	944	915	872	821	775	805	834	877
1661	1612	1549	1453	1312	1079	1312	1409	1462	948	918	881	825	746	622	744	797	828
1629	1570	1497	1386	1245	1226	1323	1390	1437	927	892	849	785	709	698	746	782	808
1606	1533	1453	1308	1036	1223	1327	1384	1426	913	868	822	741	596	694	745	776	801
1590	1518	1446	1341	1229	1281	1346	1390	1429	900	857	816	756	696	720	754	777	799
1582	1515	1444	1340	1234	1289	1355	1398	1433	894	853	812	754	697	723	756	780	798
1587	1519	1439	1297	1037	1244	1348	1400	1439	896	854	808	730	592	699	751	779	797
1606	1540	1460	1332	1185	1267	1353	1405	1450	904	864	819	748	671	711	753	781	803
1641	1573	1491	1342	1061	1244	1350	1411	1468	923	882	835	752	605	698	751	783	815
1684	1618	1545	1428	1288	1257	1352	1423	1491	946	907	865	799	721	705	751	789	825
1727	1664	1599	1497	1353	1114	1344	1442	1522	969	933	895	836	756	630	748	801	844
1764	1706	1652	1571	1473	1385	1440	1495	1570	990	956	925	878	822	773	801	831	873
1794	1754	1712	1650	1583	1534	1544	1570	1601	1005	983	959	923	884	856	860	873	890
1822	1792	1754	1706	1656	1621	1620	1634	1652	1016	1002	980	953	925	905	903	911	924

Table D.8 Pressure Distribution of layer 8 of Project KK60

At 1 Year

5928	5896	5841	5773	5709	5668	5662	5676	5695
5899	5858	5789	5701	5614	5559	5564	5596	5638
5857	5794	5705	5582	5446	5354	5398	5468	5545
5806	5731	5614	5440	5216	5001	5182	5338	5447
5753	5663	5516	5281	4908	4252	4930	5225	5375
5708	5604	5439	5182	4857	4774	5042	5237	5364
5680	5560	5380	5057	4499	4874	5121	5277	5386
5663	5546	5383	5147	4909	5039	5208	5332	5430
5656	5542	5378	5134	4890	5062	5250	5377	5468
5667	5552	5364	5018	4361	4958	5255	5407	5504
5708	5598	5425	5141	4838	5080	5310	5452	5552
5773	5671	5508	5215	4685	5110	5359	5503	5610
5850	5763	5634	5429	5205	5227	5419	5560	5671
5927	5852	5749	5596	5390	5082	5445	5617	5732
5993	5927	5847	5738	5612	5511	5614	5711	5806
6041	5994	5932	5852	5773	5727	5760	5811	5879
6081	6049	5999	5938	5883	5854	5866	5898	5931

At 2 Year

4998	4960	4894	4813	4736	4684	4669	4680	4698
4963	4914	4834	4732	4631	4565	4563	4592	4635
4913	4839	4738	4600	4449	4344	4383	4453	4532
4851	4765	4636	4445	4202	3967	4152	4311	4425
4788	4688	4527	4273	3873	3164	3882	4188	4343
4737	4622	4443	4165	3815	3720	3996	4197	4328
4706	4575	4379	4033	3424	3825	4080	4239	4352
4692	4563	4386	4131	3873	4003	4175	4302	4404
4695	4570	4391	4130	3865	4038	4230	4359	4454
4721	4595	4392	4024	3324	3947	4252	4408	4509
4783	4664	4477	4175	3851	4097	4330	4476	4578
4874	4763	4587	4275	3715	4153	4405	4553	4662
4980	4881	4740	4519	4281	4297	4490	4634	4747
5082	4995	4880	4714	4492	4167	4538	4713	4832
5169	5092	5000	4877	4738	4627	4729	4827	4928
5232	5175	5103	5011	4919	4864	4893	4944	5019
5285	5247	5186	5113	5047	5010	5017	5048	5083

At 5 Year

3128	3100	3051	2992	2935	2895	2882	2886	2897
3098	3063	3000	2931	2859	2809	2806	2823	2841
3056	3000	2928	2832	2730	2660	2680	2722	2774
3002	2938	2845	2715	2556	2412	2520	2617	2698
2945	2868	2752	2576	2320	1905	2331	2517	2648
2896	2806	2670	2463	2208	2175	2361	2496	2580
2864	2759	2605	2332	1837	2183	2382	2501	2598
2849	2746	2606	2406	2199	2303	2435	2531	2610
2852	2753	2613	2416	2221	2334	2469	2564	2637
2875	2774	2618	2351	1824	2271	2477	2591	2670
2927	2827	2674	2431	2169	2339	2513	2628	2711
3004	2904	2749	2471	1960	2322	2537	2668	2748
3095	3000	2866	2654	2409	2375	2569	2715	2828
3185	3098	2982	2807	2553	2118	2572	2770	2897
3264	3186	3090	2957	2798	2656	2771	2879	2964
3324	3265	3188	3087	2963	2914	2943	2997	3076
3375	3335	3269	3190	3114	3068	3073	3105	3141

At 10 Year

1771	1756	1731	1699	1668	1646	1637	1639	1645
1754	1735	1704	1665	1624	1596	1592	1601	1617
1731	1701	1661	1608	1551	1510	1519	1541	1571
1699	1664	1613	1540	1453	1373	1429	1479	1518
1664	1622	1557	1460	1320	1087	1320	1419	1472
1632	1582	1506	1393	1254	1232	1330	1399	1446
1608	1548	1463	1316	1042	1229	1333	1393	1436
1592	1533	1455	1348	1234	1286	1352	1399	1439
1585	1527	1451	1345	1237	1292	1359	1405	1441
1589	1531	1444	1301	1040	1247	1351	1406	1445
1609	1551	1465	1334	1187	1271	1357	1412	1455
1643	1586	1497	1346	1063	1250	1357	1420	1472
1686	1631	1553	1433	1295	1267	1363	1435	1495
1729	1678	1610	1508	1365	1127	1358	1458	1526
1767	1722	1665	1586	1490	1405	1459	1514	1573
1798	1763	1718	1652	1586	1540	1550	1576	1602
1826	1800	1760	1711	1661	1628	1625	1639	1657

At 20 Year

1011	1003	989	971	953	941	936	937	941
1002	991	973	950	927	911	908	914	924
988	971	948	918	884	860	865	877	896
969	949	920	877	827	781	811	839	862
949	924	886	830	751	626	748	802	832
929	899	854	790	713	700	750	788	814
914	877	828	745	599	696	749	781	806
902	866	821	759	699	723	757	782	804
896	861	816	756	699	724	759	784	803
897	861	812	732	594	701	753	783	802
906	871	822	749	673	713	755	785	808
924	890	839	755	607	701	754	788	817
947	915	869	802	725	709	757	796	829
970	941	902	843	763	636	756	809	847
991	965	933	887	832	784	812	841	874
1006	988	962	927	889	860	864	879	892
1021	1007	985	958	930	910	908	916	927

Table D.9 Pressure Distribution of layer 9 of Project KK60

At 1 Year										At 2 Year										At 5 Year										
5923	5902	5846	5780	5714	5672	5669	5681	5700	5725	5001	4964	4895	4814	4734	4687	4671	4683	4701	4719	3132	3104	3054	2996	2939	2897	2886	2889	2900	2916	
5903	5862	5792	5702	5613	5558	5563	5594	5645	5689	4966	4918	4835	4733	4629	4568	4565	4595	4638	4656	3100	3064	3004	2932	2860	2810	2807	2824	2854	2867	
5865	5808	5719	5597	5464	5374	5417	5482	5579	5620	4920	4854	4752	4616	4467	4364	4402	4467	4535	4553	3061	3012	2938	2843	2743	2674	2693	2732	2792	2801	
5814	5744	5626	5452	5231	5018	5199	5348	5482	5531	4858	4779	4648	4459	4217	3985	4169	4321	4428	4446	3007	2948	2854	2724	2567	2425	2531	2624	2705	2723	
5760	5676	5528	5293	4922	4269	4946	5233	5406	5460	4795	4701	4539	4285	3886	3181	3897	4195	4346	4364	2949	2879	2761	2584	2329	1916	2341	2523	2638	2653	
5716	5619	5451	5192	4866	4787	5054	5246	5390	5442	4744	4638	4455	4175	3825	3732	4008	4205	4331	4349	2900	2818	2679	2471	2215	2184	2370	2502	2605	2621	
5687	5580	5394	5067	4492	4883	5136	5292	5418	5468	4713	4595	4394	4042	3426	3834	4094	4253	4355	4373	2868	2775	2617	2340	1838	2189	2393	2511	2602	2618	
5670	5565	5397	5157	4917	5051	5223	5347	5453	5501	4699	4584	4401	4142	3881	4014	4189	4316	4407	4425	2854	2762	2618	2414	2206	2312	2446	2542	2625	2641	
5665	5561	5390	5144	4899	5071	5262	5388	5482	5532	4703	4589	4404	4139	3874	4048	4241	4371	4457	4475	2857	2767	2624	2424	2229	2342	2477	2573	2652	2662	
5674	5567	5373	5025	4367	4965	5263	5415	5518	5569	4727	4611	4402	4031	3329	3954	4259	4415	4512	4530	2879	2787	2626	2357	1879	2276	2483	2597	2690	2723	
5714	5613	5433	5151	4844	5085	5317	5459	5563	5614	4789	4679	4486	4185	3856	4102	4338	4482	4581	4599	2931	2839	2681	2439	2174	2344	2519	2633	2722	2745	
5779	5685	5516	5219	4688	5115	5367	5510	5618	5669	4880	4777	4595	4280	3716	4158	4412	4559	4665	4683	3008	2916	2756	2476	1963	2327	2544	2673	2774	2791	
5857	5778	5645	5442	5216	5237	5431	5570	5678	5729	4987	4897	4751	4534	4291	4307	4502	4644	4750	4768	3100	3015	2877	2668	2419	2385	2581	2724	2834	2852	
5933	5866	5762	5609	5404	5096	5463	5630	5642	5693	5088	5011	4894	4726	4506	4182	4556	4726	4835	4853	3189	3113	2994	2819	2567	2132	2590	2782	2905	2923	
5999	5943	5862	5754	5630	5532	5634	5726	5813	5862	5175	5109	5017	4894	4757	4649	4750	4842	4931	4949	3269	3202	3105	2973	2816	2678	2791	2893	2989	2997	
6044	6000	5936	5854	5774	5728	5762	5812	5882	5930	5233	5181	5106	5012	4920	4865	4894	4945	5022	5040	3324	3270	3190	3087	2981	2911	2942	2994	3077	3093	
6086	6053	6005	5943	5888	5859	5871	5903	5936	5985	5286	5253	5189	5114	5048	5011	5018	5049	5086	5104	3380	3340	3273	3195	3118	3072	3078	3110	3145	3168	
6145	6099	6046	5983	5929	5899	5920	5946	5978	6029	5339	5325	5272	5216	5176	5157	5142	5153	5150	5168	3430	3390	3321	3241	3169	3115	3121	3161	3193	3217	
At 10 Year										At 20 Year										At 50 Year										
1772	1758	1732	1700	1669	1647	1638	1640	1646	1654	1013	1006	992	975	954	942	937	938	942	950	1003	992	974	951	928	912	909	915	925	935	
1755	1736	1705	1666	1625	1597	1593	1602	1618	1629	989	974	951	921	889	865	870	881	901	922	971	952	923	880	830	785	815	842	869	887	
1733	1707	1667	1615	1558	1519	1527	1547	1580	1600	950	927	889	833	754	629	752	804	838	865	931	903	857	792	715	703	752	790	820	854	
1702	1670	1618	1546	1459	1379	1435	1483	1529	1580	915	883	832	747	593	698	752	784	811	851	904	871	825	762	700	725	759	785	809	849	
1667	1628	1563	1465	1326	1093	1326	1422	1482	1540	898	866	820	759	701	726	761	786	808	848	898	865	814	734	595	702	755	785	807	847	
1635	1589	1511	1397	1258	1237	1334	1402	1455	1509	908	875	825	752	674	714	757	786	811	851	925	875	806	735	683	604	703	756	790	820	854
1610	1557	1470	1320	1043	1232	1339	1398	1446	1500	925	894	842	757	604	703	756	790	819	860	948	920	873	806	728	712	761	799	831	879	
1594	1542	1462	1352	1237	1290	1358	1404	1444	1494	971	946	906	847	767	840	761	813	850	895	992	970	938	893	838	791	818	846	875	915	
1588	1536	1456	1349	1241	1296	1364	1409	1449	1498	1007	989	962	927	888	859	864	877	894	924	1026	1012	994	962	935	915	913	921	930	953	
1591	1538	1449	1304	1042	1250	1355	1409	1451	1501	1038	1027	1010	987	954	930	928	936	940	961	1038	1021	984	954	930	915	911	921	931	953	
1612	1559	1470	1338	1190	1274	1360	1415	1460	1510	1688	1640	1560	1441	1302	1273	1370	1440	1499	1549	1731	1687	1618	1516	1374	1136	1368	1465	1530	1580	
1645	1593	1502	1349	1067	1253	1361	1424	1476	1526	1700	1669	1566	1441	1302	1273	1370	1440	1499	1549	1779	1747	1695	1667	1662	1675	1692	1717	1747	1787	
1688	1640	1560	1441	1302	1273	1370	1440	1499	1549	1731	1687	1618	1516	1374	1136	1368	1465	1530	1580	1770	1731	1674	1595	1501	1417	1470	1522	1575	1620	
1731	1687	1618	1516	1374	1136	1368	1465	1530	1580	1802	1766	1719	1656	1589	1541	1551	1578	1603	1651	1830	1806	1766	1716	1666	1635	1630	1645	1662	1692	1717
1770	1731	1674	1595	1501	1417	1470	1522	1575	1620	1802	1766	1719	1656	1589	1541	1551	1578	1603	1651	1830	1806	1766	1716	1666	1635	1630	1645	1662	1692	1717
1802	1766	1719	1656	1589	1541	1551	1578	1603	1651	1830	1766	1719	1656	1589	1541	1551	1578	1603	1651	1830	1806	1766	1716	1666	1635	1630	1645	1662	1692	1717
1830	1806	1766	1716	1666	1635	1630	1645	1662	1692	1830	1766	1719	1656	1589	1541	1551	1578	1603	1651	1830	1806	1766	1716	1666	1635	1630	1645	1662	1692	1717
1861	1840	1797	1747	1695	1667	1662	1675	1692	1718	1861	1840	1797	1747	1695	1667	1662	1675	1692	1718	1861	1840	1797	1747	1695	1667	1662	1675	1692	1718	1787

Table D.10 Pressure Distribution of layer 10 of Project KK60

At 1 Year

5972	5951	5897	5836	5779	5719	5716	5727	5750	5776
5938	5907	5851	5785	5720	5678	5675	5686	5705	5730
5910	5869	5799	5709	5619	5563	5569	5603	5655	5699
5873	5819	5729	5608	5476	5388	5430	5500	5593	5633
5822	5755	5637	5463	5243	5036	5213	5368	5506	5547
5768	5686	5537	5302	4936	4291	4964	5255	5437	5490
5724	5631	5461	5200	4873	4808	5069	5269	5426	5478
5694	5592	5404	5073	4492	4892	5148	5313	5443	5491
5677	5577	5407	5165	4925	5059	5234	5366	5476	5524
5672	5572	5399	5152	4908	5079	5271	5405	5508	5562
5680	5577	5381	5034	4376	4973	5270	5429	5533	5584
5721	5623	5441	5158	4851	5091	5324	5473	5574	5625
5785	5694	5523	5226	4694	5121	5374	5524	5625	5678
5863	5788	5653	5451	5224	5245	5440	5585	5687	5738
5939	5876	5771	5617	5413	5106	5474	5647	5752	5704
6006	5954	5873	5764	5642	5545	5647	5742	5819	5868
6048	6006	5941	5859	5779	5732	5767	5819	5865	5935
6092	6059	6012	5949	5894	5863	5878	5907	5940	5989
6156	6120	6059	5994	5936	5902	5929	5958	5986	6034

At 2 Year

5043	5016	4962	4900	4844	4807	4778	4793	4828	4861
5008	4970	4902	4819	4739	4688	4672	4695	4738	4771
4973	4924	4842	4738	4634	4569	4566	4597	4648	4681
4928	4865	4763	4627	4480	4378	4415	4485	4579	4614
4867	4790	4659	4469	4230	4002	4182	4341	4483	4518
4803	4712	4549	4294	3900	3211	3914	4217	4405	4446
4752	4649	4465	4183	3830	3753	4022	4228	4389	4424
4719	4607	4403	4048	3425	3842	4106	4274	4409	4444
4706	4596	4410	4149	3888	4022	4200	4335	4450	4485
4710	4601	4413	4147	3883	4055	4250	4387	4494	4529
4733	4621	4409	4039	3338	3961	4266	4429	4537	4572
4795	4688	4493	4192	3863	4107	4344	4496	4600	4635
4885	4786	4602	4286	3723	4163	4419	4573	4676	4711
4992	4907	4760	4543	4299	4315	4511	4659	4762	4791
5093	5021	4903	4735	4515	4192	4568	4743	4851	4886
5181	5120	5027	4905	4769	4662	4762	4858	4937	4972
5237	5187	5111	5016	4922	4866	4897	4949	4995	5030
5290	5259	5194	5118	5050	5012	5021	5053	5053	5088
5343	5331	5277	5220	5178	5158	5145	5157	5111	5146

At 5 Year

3180	3143	3095	3046	2986	2947	2932	2937	2949	2962
3136	3108	3059	3000	2943	2901	2890	2895	2905	2924
3104	3069	3009	2934	2861	2813	2808	2825	2857	2871
3066	3020	2946	2851	2752	2683	2702	2744	2805	2823
3013	2956	2862	2732	2575	2436	2540	2637	2729	2745
2955	2886	2768	2591	2337	1934	2352	2537	2659	2671
2906	2826	2686	2475	2216	2195	2379	2517	2628	2649
2873	2784	2624	2344	1836	2194	2401	2526	2625	2644
2859	2771	2625	2420	2211	2318	2453	2555	2643	2665
2862	2776	2630	2430	2235	2347	2484	2585	2667	2689
2883	2794	2632	2363	1885	2281	2488	2607	2691	2717
2936	2847	2687	2445	2179	2348	2524	2644	2730	2751
3012	2924	2762	2481	1967	2332	2550	2685	2780	2798
3104	3023	2884	2675	2426	2392	2589	2737	2841	2863
3193	3121	3002	2827	2575	2141	2600	2798	2913	2931
3273	3211	3114	2982	2826	2689	2802	2908	2992	3002
3326	3274	3193	3089	2982	2913	2944	2999	3078	3091
3385	3345	3277	3200	3122	3076	3083	3115	3149	3167
3435	3395	3326	3247	3173	3119	3127	3166	3198	3209

At 10 Year

1776	1763	1737	1704	1673	1651	1642	1644	1651	1662
1773	1760	1734	1701	1670	1648	1639	1641	1648	1656
1758	1739	1707	1667	1626	1598	1594	1603	1620	1631
1736	1712	1672	1619	1563	1524	1532	1554	1588	1608
1706	1674	1623	1550	1464	1386	1440	1490	1540	1591
1670	1632	1566	1468	1330	1103	1332	1429	1493	1551
1638	1593	1515	1400	1259	1243	1339	1410	1467	1521
1613	1563	1474	1322	1041	1235	1343	1406	1456	1510
1597	1547	1466	1355	1240	1293	1361	1411	1455	1504
1590	1541	1460	1352	1244	1299	1367	1415	1456	1503
1594	1542	1452	1307	1046	1253	1357	1415	1457	1505
1614	1563	1473	1341	1193	1276	1363	1421	1465	1515
1648	1597	1505	1352	1070	1256	1364	1430	1479	1529
1691	1644	1564	1445	1306	1277	1374	1448	1503	1553
1733	1692	1622	1520	1378	1141	1374	1474	1535	1585
1772	1736	1679	1601	1506	1423	1476	1530	1576	1521
1799	1768	1720	1657	1590	1542	1552	1580	1606	1554
1835	1811	1772	1721	1671	1642	1639	1652	1667	1694
1891	1872	1825	1779	1723	1694	1689	1705	1720	1749

1042	1036	1023	1001	987	976	965	970	976	972
1015	1007	995	979	955	943	938	943	952	
1004	993	975	952	929	913	910	916	926	939
991	977	954	924	892	868	872	886	906	926
973	955	925	883	833	789	818	846	875	895
952	930	892	834	756	631	755	808	844	870
932	906	859	794	715	706	755	794	825	859
916	886	834	748	598	699	754	789	816	856
905	874	827	764	702	726	761	789	813	854
900	869	822	760	702	728	763	789	812	853
899	868	816	735	597	704	757	788	811	852
909	878	827	753	676	715	758	790	814	856
927	897	844	758	609	704	758	794	821	862
950	923	875	808	730	714	763	803	834	884
972	949	909	850	770	643	764	818	852	899
994	973	941	896	841	794	821	850	876	918
1008	991	963	927	889	859	864	879	896	927
1031	1017	995	965	939	919	918	925	933	956
1039	1030	1012	989	957	934	930	939	943	965

Table D.11 Pressure Distribution of layer 1 of Project KK65**At 1 Year**

5161	4761	3978
5118	4817	4631
5020	4520	4821
5115	4946	5036
5135	4950	5063
5028	4467	4953
5170	4914	5080
5229	4762	5086
5415	5198	5113
5464	5243	4851

At 2 Year

4192	3771	2942
4144	3826	3627
4039	3511	3824
4144	3961	4050
4174	3976	4089
4078	3488	3990
4247	3978	4145
4334	3849	4182
4549	4322	4234
4612	4382	3975

At 5 Year

2506	2222	1699
2431	2187	2082
2310	1846	2150
2401	2240	2322
2439	2284	2363
2377	1948	2294
2480	2249	2374
2511	2032	2329
2680	2432	2300
2722	2451	1939

At 10 Year

1549	1378	1057
1499	1353	1288
1418	1139	1320
1465	1367	1410
1476	1382	1424
1428	1173	1371
1475	1335	1396
1474	1188	1342
1554	1389	1293
1569	1387	1053

At 20 Year

808	722	566
781	709	678
739	603	691
759	711	730
761	714	734
736	613	707
757	690	717
755	617	692
792	714	669
800	712	554

Table D.12 Pressure Distribution of layer 2 of Project KK65**At 1 Year**

5510	5350	5081	4770
5440	5206	4806	4062
5379	5149	4836	4667
5334	5051	4532	4845
5350	5151	4956	5050
5353	5160	4960	5079
5344	5059	4479	4973
5413	5193	4925	5095
5503	5256	4773	5106
5612	5442	5215	5140
5650	5496	5268	4888

At 2 Year

4566	4393	4109	3780
4489	4240	3818	3031
4420	4176	3845	3665
4373	4073	3524	3849
4393	4182	3971	4065
4406	4200	3986	4105
4412	4111	3501	4011
4505	4272	3989	4161
4625	4362	3860	4203
4759	4578	4339	4261
4810	4647	4407	4013

At 5 Year

2801	2677	2481	
2729	2544	2258	
2653	2458	2201	
2597	2340	1858	
2610	2432	2249	
2627	2460	2292	
2639	2403	1938	
2707	2503	2259	
2794	2539	2048	
2901	2711	2450	
2939	2759	2478	

At 10 Year

1730	1657	1538	1406
1685	1574	1399	1097
1635	1515	1361	1304
1594	1437	1146	1333
1594	1483	1373	1418
1594	1490	1387	1431
1590	1445	1179	1380
1617	1490	1341	1405
1654	1494	1196	1356
1701	1576	1402	1313
1715	1594	1406	1082

At 20 Year

908	866	805	738
881	821	734	586
850	789	713	685
826	748	606	696
823	768	713	734
820	768	717	738
816	744	616	712
827	764	693	721
844	764	621	698
867	803	719	678
875	813	721	567

Table D.13 Pressure Distribution of layer3 of Project KK65

At 1 Year					At 2 Year					At 5 Year				
5528	5369	5108	4824	5047	4585	4414	4137	3835	4062	2817	2693	2502	2305	2455
5457	5243	4852	4167	4839	4507	4278	3866	3140	3842	2743	2574	2294	1837	2291
5392	5175	4861	4732	5006	4435	4204	3871	3732	4013	2664	2479	2221	2158	2365
5343	5075	4551	4891	5120	4384	4099	3544	3896	4133	2606	2363	1875	2211	2416
5358	5173	4967	5074	5214	4403	4205	3984	4089	4233	2619	2452	2262	2357	2481
5365	5179	4970	5105	5267	4418	4221	3997	4132	4298	2638	2477	2302	2399	2529
5356	5079	4489	5009	5277	4425	4133	3510	4049	4324	2651	2422	1967	2341	2547
5428	5212	4935	5129	5338	4522	4293	4000	4197	4410	2721	2522	2270	2418	2596
5515	5274	4785	5143	5369	4638	4383	3872	4240	4470	2807	2560	2057	2389	2608
5625	5464	5238	5189	5362	4773	4602	4363	4310	4486	2915	2737	2477	2386	2580
5670	5531	5308	4966	5321	4832	4684	4449	4093	4455	2962	2799	2526	2077	2518
5756	5617	5394	5052	5407	4935	4820	4665	4207	4633	3065	2936	2750	2563	2711
At 10 Year					At 20 Year									
1740	1668	1552	1430	1520	913	872	811	750	794					
1694	1593	1422	1145	1416	886	831	745	609	740					
1642	1529	1373	1333	1452	854	796	718	699	755					
1600	1451	1157	1356	1474	830	755	611	707	763					
1600	1497	1381	1433	1505	827	775	717	741	776					
1601	1501	1393	1445	1521	824	774	720	744	781					
1597	1457	1186	1397	1516	820	751	619	719	775					
1627	1503	1349	1424	1524	832	771	697	730	777					
1663	1509	1207	1381	1506	849	772	626	710	767					
1711	1595	1423	1350	1467	873	813	729	695	748					
1730	1622	1439	1146	1419	884	827	737	597	725					
1793	1705	1579	1447	1539	901	858	796	741	783					

Table D.14 Pressure Distribution of layer 4 of Project KK65

At 1 Year

5740	5661	5502	5253	4993	5189
5639	5560	5401	5152	4892	5088
5563	5484	5275	4897	4245	4878
5492	5413	5196	4885	4792	5035
5432	5353	5089	4571	4921	5132
5446	5367	5183	4975	5083	5217
5462	5383	5193	4979	5122	5278
5455	5376	5094	4499	5032	5290
5524	5445	5224	4945	5150	5348
5610	5531	5284	4792	5167	5384
5721	5642	5478	5257	5228	5387
5783	5704	5571	5361	5047	5366
5869	5790	5690	5553	5437	5527

At 2 Year

4822	4733	4602	4429	4287	4344
4762	4620	4448	4183	3905	4106
4687	4536	4313	3913	3221	3882
4618	4458	4227	3896	3793	4042
4562	4396	4115	3565	3928	4144
4553	4413	4216	3993	4100	4236
4580	4438	4236	4006	4150	4308
4614	4449	4151	3522	4074	4339
4689	4542	4307	4011	4220	4421
4770	4656	4395	3879	4265	4484
4872	4791	4618	4383	4350	4509
4972	4870	4728	4506	4177	4503
5044	4973	4864	4717	4591	4681

At 5 Year

3010	2942	2847	2723	2626	2661
2956	2845	2721	2538	2356	2486
2895	2767	2602	2328	1893	2319
2825	2683	2498	2239	2201	2385
2773	2617	2379	1895	2238	2425
2768	2630	2463	2272	2369	2485
2793	2656	2491	2310	2414	2538
2825	2671	2438	1978	2362	2559
2889	2740	2536	2281	2440	2605
2965	2825	2575	2068	2418	2624
3057	2937	2758	2505	2433	2606
3125	3001	2846	2590	2174	2570
3207	3104	2983	2814	2660	2763

At 10 Year

1862	1821	1767	1689	1628	1648
1827	1759	1685	1574	1462	1540
1780	1709	1610	1443	1179	1433
1732	1653	1541	1384	1358	1464
1691	1607	1461	170	1372	1480
1679	1607	1504	1387	1440	1508
1685	1613	1511	1399	1455	1527
1694	1610	1468	1193	1410	1523
1719	1639	1513	1357	1437	1530
1749	1676	1522	1219	1402	1518
1794	1728	1613	1445	1383	1485
1843	1757	1654	1482	1212	1453
1883	1820	1737	1622	1513	1573

At 20 Year

976	955	924	898	854	865
958	923	882	823	767	805
923	894	840	756	625	749
898	860	802	723	710	761
875	834	761	617	714	766
866	831	779	720	745	777
867	831	779	723	749	784
869	827	756	622	725	779
880	839	776	701	737	780
893	857	779	631	718	773
914	884	823	740	710	757
936	899	844	758	627	741
954	931	888	826	771	799

Table D.15 Pressure Distribution of layer 5 of Project KK65

At 1 Year

5786	5707	5583	5442	5342	5390	5459
5733	5606	5442	5212	4980	5165	5354
5668	5521	5306	4940	4309	4943	5252
5606	5449	5219	4912	4834	5078	5271
5553	5385	5105	4588	4942	5159	5304
5541	5395	5196	4985	5095	5238	5351
5557	5409	5203	4983	5133	5297	5411
5574	5404	5103	4504	5045	5311	5448
5626	5470	5232	4947	5163	5367	5493
5683	5547	5286	4788	5177	5400	5528
5762	5654	5478	5261	5257	5424	5569
5840	5737	5598	5395	5097	5422	5609
5897	5813	5707	5573	5460	5560	5677
6008	6000	5946	5872	5756	5783	5827

At 2 Year

4874	4785	4648	4492	4380	4424	4494
4814	4672	4494	4246	3998	4186	4380
4739	4578	4346	3958	3286	3949	4268
4670	4498	4252	3925	3836	4087	4284
4614	4430	4133	3583	3949	4172	4320
4605	4444	4230	4003	4113	4258	4374
4632	4469	4249	4013	4163	4328	4446
4666	4481	4163	3529	4089	4361	4504
4741	4572	4318	4016	4234	4441	4573
4822	4674	4399	3876	4274	4501	4631
4924	4806	4618	4387	4378	4546	4693
5024	4907	4757	4542	4330	4560	4752
5096	4999	4882	4737	4616	4715	4834
5187	5090	4973	4828	4707	4806	4925

At 5 Year

3053	2985	2884	2772	2694	2720	2766
2999	2888	2758	2587	2424	2545	2677
2929	2801	2629	2363	1940	2367	2582
2860	2718	2520	2264	2235	2420	2565
2804	2648	2395	1912	2257	2448	2570
2795	2657	2476	2282	2381	2503	2601
2821	2684	2504	2319	2427	2556	2653
2854	2700	2451	1986	2376	2578	2693
2917	2768	2547	2285	2452	2623	2737
2984	2844	2581	2068	2432	2643	2769
3074	2954	2763	2517	2471	2649	2808
3165	3041	2878	2632	2233	2633	2851
3233	3130	3002	2835	2685	2799	2932
3325	3240	3142	3029	2948	2982	3062

At 10 Year

1888	1847	1786	1720	1671	1685	1712
1853	1785	1708	1605	1505	1577	1656
1806	1729	1627	1465	1209	1463	1592
1758	1674	1555	1398	1378	1485	1574
1719	1625	1471	1180	1383	1494	1567
1707	1623	1512	1393	1447	1519	1577
1713	1630	1519	1404	1463	1537	1595
1722	1629	1477	1198	1419	1534	1602
1747	1657	1521	1361	1446	1542	1609
1777	1690	1528	1222	1414	1533	1610
1822	1743	1621	1459	1411	1516	1618
1871	1785	1678	1512	1251	1495	1633
1911	1838	1749	1636	1530	1596	1678
1968	1907	1812	1754	1692	1707	1757

At 20 Year

990	969	938	902	876	884	899
972	937	895	840	789	824	865
947	906	850	767	638	764	828
920	872	810	731	719	771	814
897	844	766	621	719	772	808
888	841	783	723	748	782	810
889	841	784	726	753	789	816
891	838	761	623	730	785	817
902	850	781	702	741	786	818
915	866	783	632	724	780	817
936	893	828	747	722	771	820
958	914	856	773	644	761	828
976	940	894	833	779	811	852
999	972	936	898	870	876	886

Table D.16 Pressure Distribution of layer 6 of Project KK65

At 1 Year

5900	5887	5824	5741	5662	5610	5614	5645
5853	5793	5714	5591	5452	5355	5401	5468
5806	5741	5632	5467	5248	5035	5209	5363
5742	5676	5544	5326	4972	4358	4983	5260
5706	5617	5471	5236	4934	4855	5099	5276
5674	5568	5410	5124	4609	4957	5178	5315
5663	5556	5417	5208	4994	5108	5258	5365
5654	5563	5423	5207	4982	5138	5307	5416
5666	5577	5416	5104	4498	5048	5318	5450
5704	5625	5477	5228	4942	5163	5371	5494
5762	5691	5554	5289	4795	5186	5411	5536
5841	5773	5666	5485	5270	5280	5451	5582
5910	5853	5761	5620	5423	5132	5461	5626
5970	5914	5839	5733	5603	5496	5598	5698
6013	6007	5951	5877	5801	5760	5790	5832

At 2 Year

4964	4928	4839	4703	4549	4440	4482	4549
4917	4881	4792	4656	4502	4393	4435	4502
4857	4821	4700	4521	4285	4055	4231	4388
4783	4747	4603	4368	3991	3337	3991	4276
4717	4681	4522	4270	3948	3859	4109	4290
4665	4629	4458	4153	3605	3965	4191	4331
4656	4620	4469	4245	4014	4127	4278	4387
4675	4639	4486	4255	4014	4169	4340	4452
4706	4670	4496	4165	3523	4092	4369	4506
4775	4739	4580	4315	4011	4234	4446	4572
4864	4828	4682	4402	3883	4282	4510	4638
4971	4935	4818	4625	4395	4400	4573	4706
5074	5038	4934	4782	4571	4266	4601	4769
5150	5114	5029	4911	4770	4654	4755	4856
5241	5205	5120	5002	4861	4745	4846	4947

At 5 Year

3147	3119	3066	2989	2909	2855	2833	2833
3106	3058	2991	2890	2780	2703	2728	2728
3056	3005	2912	2781	2617	2466	2578	2578
2999	2935	2823	2649	2390	1978	2398	2398
2950	2869	2740	2538	2287	2255	2408	2408
2918	2817	2673	2413	1933	2272	2468	2468
2907	2808	2679	2489	2294	2394	2538	2538
2918	2827	2700	2512	2323	2435	2566	2566
2946	2857	2714	2455	1985	2381	2588	2588
3005	2915	2776	2548	2287	2456	2620	2620
3078	2990	2852	2586	2078	2443	2644	2644
3167	3084	2967	2772	2528	2498	2680	2680
3255	3178	3069	2905	2664	2217	2678	2678
3292	3251	3159	3030	2869	2726	2841	2841
3352	3343	3269	3170	3063	2989	3024	3024

At 10 Year

1932	1910	1874	1829	1785	1755	1745	1747
1904	1892	1851	1790	1724	1677	1690	1716
1868	1856	1800	1723	1624	1531	1598	1660
1849	1810	1743	1639	1482	1233	1482	1596
1814	1764	1688	1567	1413	1390	1497	1577
1789	1727	1641	1483	1193	1392	1504	1573
1773	1714	1637	1520	1399	1455	1528	1583
1767	1716	1640	1524	1407	1468	1543	1597
1773	1724	1638	1481	1199	1423	1539	1603
1798	1747	1663	1523	1364	1451	1547	1610
1838	1782	1697	1534	1231	1424	1543	1615
1888	1829	1753	1629	1470	1432	1538	1626
1939	1880	1806	1697	1536	1277	1524	1644
1985	1923	1858	1768	1658	1557	1623	1693
2020	1980	1927	1831	1776	1719	1734	1772

At 20 Year

1011	1010	993	973	947	929	930	935
997	991	971	940	905	879	887	901
981	973	944	903	850	802	835	867
973	949	913	856	776	649	774	830
953	924	881	816	738	725	777	816
936	902	853	772	628	723	778	811
926	892	848	788	726	752	787	813
923	891	847	787	728	756	792	817
924	892	843	764	625	732	787	818
934	902	854	783	704	743	789	819
948	917	870	786	736	728	785	820
969	939	899	832	752	732	782	824
991	963	925	866	784	656	776	834
1008	982	950	904	845	793	825	860
1020	1005	982	946	910	884	890	904

Table D.17 Pressure Distribution of layer 7 of Project KK65

At 1 Year

5933	5894	5830	5748	5668	5616	5620	5650	5680
5893	5814	5735	5615	5481	5388	5432	5498	5980
5849	5760	5654	5491	5277	5071	5242	5387	5500
5796	5695	5564	5345	4995	4388	5013	5283	5431
5753	5637	5491	5253	4950	4879	5123	5297	5420
5727	5590	5432	5137	4614	4971	5196	5333	5430
5711	5578	5437	5222	5003	5122	5275	5382	5483
5705	5579	5436	5214	4987	5145	5318	5428	5518
5713	5590	5426	5108	4501	5053	5326	5460	5553
5752	5636	5485	5229	4944	5167	5378	5502	5598
5814	5704	5563	5294	4802	5194	5422	5549	5653
5887	5789	5678	5493	5281	5298	5472	5600	5710
5960	5872	5782	5640	5446	5159	5492	5649	5768
6021	5941	5869	5766	5645	5546	5644	5733	5837
6067	6013	5959	5884	5809	5765	5796	5840	5905
6102	6072	6028	5971	5920	5892	5902	5931	5960

At 2 Year

4988	4952	4861	4729	4580	4475	4515	4580	4619
4941	4905	4814	4682	4533	4428	4468	4533	4572
4878	4842	4724	4546	4315	4092	4265	4413	4452
4804	4768	4625	4389	4016	3368	4021	4299	4338
4739	4703	4545	4289	3965	3883	4133	4311	4350
4689	4653	4482	4167	3610	3979	4210	4349	4388
4680	4644	4491	4260	4024	4142	4296	4405	4444
4691	4655	4500	4263	4019	4178	4351	4464	4503
4719	4683	4507	4170	3526	4098	4377	4515	4554
4786	4750	4588	4316	4013	4238	4452	4580	4619
4878	4842	4691	4406	3889	4290	4521	4650	4689
4988	4952	4831	4633	4406	4418	4594	4724	4830
5095	5059	4958	4804	4597	4293	4634	4793	4904
5182	5146	5064	4949	4816	4709	4805	4895	4996
5273	5237	5174	5087	5000	4948	4976	5020	5092
5340	5304	5252	5184	5120	5084	5091	5119	5152

At 5 Year

3166	3138	3084	3009	2932	2882	2880	2896	2907
3125	3077	3009	2910	2803	2730	2753	2795	2830
3072	3021	2931	2801	2640	2493	2603	2702	2748
3016	2952	2841	2666	2409	2000	2420	2605	2679
2969	2888	2759	2554	2300	2273	2456	2586	2650
2939	2838	2694	2426	1938	2285	2480	2593	2651
2927	2828	2699	2504	2303	2406	2535	2625	2679
2932	2841	2713	2520	2330	2442	2576	2666	2710
2957	2868	2724	2461	1989	2386	2593	2701	2747
3012	2925	2784	2550	2290	2461	2635	2743	2795
3091	3003	2862	2592	2086	2453	2666	2787	2856
3183	3100	2980	2781	2542	2519	2702	2837	2923
3275	3198	3093	2928	2692	2303	2712	2891	2995
3354	3281	3195	3070	2918	2785	2894	2994	3083
3414	3373	3305	3210	3112	3048	3077	3124	3170
3464	3441	3384	3309	3238	3194	3200	3226	3233

At 10 Year

1952	1930	1894	1849	1805	1775	1765	1767	1773
1924	1905	1862	1803	1738	1693	1705	1729	1735
1888	1867	1813	1735	1639	1549	1613	1671	1713
1869	1820	1754	1650	1494	1247	1496	1606	1667
1834	1776	1700	1577	1421	1401	1508	1587	1641
1809	1739	1653	1492	1197	1399	1514	1581	1633
1793	1726	1648	1529	1405	1462	1537	1590	1638
1787	1724	1647	1529	1411	1472	1549	1602	1643
1793	1730	1644	1485	1202	1427	1544	1607	1650
1818	1753	1669	1526	1367	1455	1552	1615	1663
1858	1791	1704	1539	1237	1432	1552	1623	1683
1908	1840	1763	1636	1480	1447	1555	1637	1709
1959	1894	1822	1713	1555	1297	1548	1659	1739
2005	1943	1882	1794	1690	1595	1657	1717	1789
2040	2000	1951	1881	1808	1757	1769	1796	1842
2069	2042	2000	1944	1886	1849	1846	1861	1883

At 20 Year

1017	1016	1001	979	955	939	938	942	951
1003	997	977	946	913	889	895	908	925
986	978	951	910	858	811	843	873	897
978	954	919	862	782	656	781	836	867
959	930	888	822	742	730	783	821	849
942	908	860	777	629	727	782	815	840
933	899	854	792	729	755	791	817	841
927	895	851	790	730	758	795	820	842
928	896	847	766	626	733	790	820	843
937	905	858	784	705	745	791	821	847
953	922	874	789	639	732	789	824	855
975	945	904	836	757	739	790	831	867
997	969	933	875	793	666	787	842	884
1017	991	961	917	861	813	842	874	918
1032	1017	994	960	924	898	904	918	941
1048	1035	1017	989	963	985	943	950	961

Table D.18 Pressure Distribution of layer 8 of Project KK65

At 1 Year

5965	5936	5884	5821	5761	5723	5716	5730	5747
5938	5899	5835	5753	5672	5621	5625	5655	5694
5899	5839	5756	5641	5514	5427	5468	5534	5606
5850	5780	5671	5508	5299	5098	5267	5412	5514
5801	5716	5580	5361	5013	4405	5033	5307	5446
5759	5662	5508	5268	4965	4888	5136	5318	5435
5732	5621	5452	5151	4625	4981	5210	5355	5456
5717	5607	5454	5234	5012	5133	5291	5406	5498
5711	5604	5449	5222	4995	5154	5329	5447	5533
5720	5612	5436	5114	4506	5059	5334	5476	5568
5759	5656	5493	5229	4948	5172	5386	5519	5613
5820	5725	5573	5299	4807	5202	5433	5568	5668
5893	5811	5690	5499	5292	5312	5490	5623	5725
5966	5895	5799	5657	5465	5179	5516	5676	5783
6028	5966	5891	5790	5673	5579	5675	5765	5852
6073	6028	5971	5896	5823	5780	5810	5857	5920
6110	6080	6034	5977	5926	5899	5910	5939	5970

At 2 Year

5083	5047	4985	4909	4836	4787	4773	4783	4799
5050	5004	4929	4833	4739	4677	4675	4702	4741
5003	4933	4838	4710	4569	4470	4506	4571	4645
4945	4864	4743	4565	4339	4120	4291	4438	4544
4886	4791	4642	4405	4034	3384	4041	4324	4468
4838	4730	4563	4305	3981	3892	4146	4332	4453
4809	4686	4503	4182	3622	3989	4224	4371	4475
4796	4676	4510	4273	4033	4153	4312	4430	4525
4799	4682	4515	4272	4027	4187	4364	4484	4573
4824	4706	4517	4176	3531	4104	4385	4531	4625
4883	4771	4597	4317	4017	4243	4460	4595	4691
4969	4865	4701	4411	3894	4297	4531	4669	4770
5069	4976	4844	4639	4418	4433	4612	4746	4852
5165	5084	4977	4821	4617	4316	4659	4821	4932
5247	5175	5089	4975	4846	4743	4838	4929	5022
5307	5254	5186	5100	5015	4964	4991	5038	5108
5357	5321	5264	5197	5135	5100	5107	5135	5168

At 5 Year

3226	3198	3150	3091	3035	2996	2983	2987	2998
3197	3162	3103	3031	2960	2913	2908	2924	2952
3156	3101	3028	2932	2831	2761	2781	2823	2875
3103	3039	2946	2816	2659	2514	2623	2720	2793
3047	2971	2855	2680	2424	2014	2436	2623	2724
3000	2911	2775	2569	2316	2284	2468	2604	2695
2970	2866	2712	2440	1949	2294	2492	2611	2696
2958	2855	2715	2516	2312	2416	2548	2645	2724
2963	2863	2725	2529	2337	2450	2586	2682	2755
2988	2888	2733	2466	1994	2392	2600	2714	2792
3043	2944	2792	2552	2294	2466	2642	2757	2840
3122	3024	2871	2598	2091	2461	2676	2804	2901
3214	3123	2993	2788	2554	2535	2721	2860	2968
3306	3222	3112	2947	2712	2324	2738	2920	3040
3385	3310	3219	3096	2949	2821	2928	3028	3128
3445	3388	3316	3222	3125	3063	3091	3142	3215
3495	3456	3395	3321	3251	3209	3214	3244	3278

At 10 Year

2001	1984	1954	1917	1881	1856	1846	1848	1854
1982	1960	1924	1879	1835	1805	1800	1809	1825
1954	1920	1875	1817	1755	1713	1723	1746	1777
1918	1878	1822	1744	1650	1563	1625	1682	1724
1879	1832	1763	1659	1504	1256	1506	1618	1677
1844	1790	1710	1586	1431	1408	1516	1597	1651
1819	1756	1665	1500	1204	1405	1521	1593	1643
1803	1741	1658	1536	1410	1468	1545	1602	1648
1797	1737	1655	1535	1416	1477	1555	1611	1653
1803	1743	1650	1489	1206	1431	1549	1615	1660
1828	1766	1674	1528	1371	1459	1558	1624	1673
1868	1805	1711	1544	1242	1438	1560	1635	1693
1918	1856	1772	1642	1489	1459	1568	1652	1719
1969	1911	1836	1725	1570	1312	1565	1678	1751
2015	1962	1898	1811	1709	1619	1679	1738	1800
2050	2010	1958	1888	1816	1767	1778	1807	1853
2079	2052	2007	1951	1896	1859	1855	1872	1894

At 20 Year

1043	1035	1021	1004	988	976	972	973	977
1034	1023	1007	985	964	949	948	952	961
1020	1004	983	954	922	899	905	918	935
1003	984	955	915	864	818	850	879	903
984	960	924	867	787	660	786	842	873
965	937	894	827	747	734	787	827	855
951	917	866	781	633	730	786	821	847
941	907	860	796	732	758	795	823	847
935	903	855	793	732	760	797	825	846
936	903	851	768	628	735	792	824	847
945	912	861	786	707	747	794	826	852
961	929	878	792	641	735	793	830	861
983	952	909	840	761	744	796	838	874
1005	977	940	882	801	672	796	852	894
1025	1000	969	926	871	824	854	886	920
1040	1022	997	964	928	903	909	924	947
1053	1040	1020	993	967	950	948	956	967

Table D.19 Pressure Distribution of layer 9 of Project KK65

At 1 Year

5969	5941	5886	5822	5762	5724	5718	5734	5755	5762
5942	5904	5837	5754	5673	5623	5626	5658	5705	5712
5906	5853	5770	5656	5532	5447	5486	5549	5627	5634
5858	5793	5683	5521	5315	5116	5283	5423	5553	5560
5808	5730	5591	5372	5027	4422	5049	5315	5486	5493
5767	5677	5520	5278	4975	4901	5148	5326	5467	5474
5740	5640	5466	5161	4628	4989	5225	5370	5482	5489
5724	5626	5468	5244	5021	5144	5305	5421	5519	5526
5719	5621	5461	5232	5004	5164	5341	5459	5558	5565
5727	5628	5446	5122	4512	5066	5342	5483	5581	5588
5765	5671	5502	5239	4954	5178	5394	5526	5627	5634
5826	5738	5581	5304	4810	5208	5441	5575	5674	5681
5900	5826	5702	5512	5302	5322	5502	5632	5738	5745
5972	5909	5811	5669	5478	5193	5533	5690	5797	5804
6034	5982	5906	5805	5691	5600	5695	5780	5859	5866
6076	6035	5975	5899	5824	5781	5813	5858	5922	5929
6116	6085	6039	5982	5931	5904	5915	5944	5973	5982
6189	6152	6092	6061	6008	5983	6001	6047	6058	6065

At 2 Year

5086	5051	4987	4910	4840	4788	4775	4785	4801	4812
5053	5008	4931	4834	4742	4675	4674	4699	4738	4777
5010	4948	4852	4725	4587	4490	4525	4586	4660	4699
4952	4878	4756	4579	4354	4139	4307	4449	4559	4598
4893	4805	4654	4417	4048	3401	4057	4332	4483	4522
4845	4746	4575	4315	3990	3904	4157	4340	4468	4507
4816	4707	4519	4192	3624	3998	4238	4386	4490	4529
4803	4696	4525	4284	4042	4165	4327	4444	4540	4579
4807	4701	4527	4282	4036	4197	4376	4495	4588	4627
4830	4722	4527	4184	3537	4111	4393	4538	4640	4679
4889	4786	4606	4327	4023	4249	4467	4602	4706	4745
4975	4879	4709	4416	3897	4303	4539	4675	4785	4824
5076	4992	4856	4653	4428	4443	4625	4756	4867	4900
5171	5099	4990	4834	4630	4330	4677	4835	4947	4986
5253	5192	5106	4992	4865	4765	4859	4944	5037	5076
5308	5260	5189	5102	5015	4965	4992	5039	5117	5156
5358	5327	5267	5199	5135	5101	5108	5136	5206	5276
5408	5394	5345	5296	5255	5236	5243	5233	5266	5299

At 5 Year

3228	3200	3151	3092	3033	2994	2981	2984	2995	3106
3199	3164	3104	3032	2958	2911	2906	2921	2949	2977
3161	3112	3039	2944	2844	2776	2795	2834	2872	2910
3109	3050	2956	2826	2670	2528	2635	2728	2790	2852
3053	2982	2864	2689	2434	2025	2447	2629	2721	2813
3005	2923	2785	2577	2323	2293	2477	2610	2692	2774
2975	2883	2725	2448	1951	2301	2503	2622	2693	2764
2963	2871	2728	2525	2319	2425	2559	2656	2721	2786
2969	2879	2735	2537	2344	2458	2595	2691	2752	2813
2993	2901	2741	2473	1999	2397	2606	2720	2789	2858
3048	2957	2800	2560	2300	2471	2648	2762	2837	2912
3126	3036	2878	2603	1093	2466	2683	2810	2898	2986
3219	3138	3004	2802	2564	2545	2733	2868	2965	3062
3310	3237	3125	2959	2726	2338	2755	2933	3037	3141
3390	3326	3235	3112	2967	2842	2948	3042	3125	3208
3444	3393	3318	3223	3124	3061	3090	3139	3212	3285
3494	3461	3397	3322	3250	3207	3213	3241	3275	3309
3544	3529	3476	3421	3376	3353	3336	3343	3338	3333

At 10 Year

2002	1985	1955	1918	1883	1857	1847	1849	1855	1863
1983	1961	1924	1878	1836	1806	1801	1811	1827	1834
1957	1927	1882	1824	1764	1722	1731	1753	1785	1802
1922	1885	1828	1751	1658	1571	1633	1686	1736	1784
1882	1839	1769	1664	1510	1263	1513	1621	1689	1741
1847	1797	1716	1591	1435	1414	1522	1601	1669	1723
1822	1766	1673	1506	1205	1409	1528	1599	1655	1619
1806	1751	1666	1542	1415	1473	1551	1608	1647	1689
1801	1746	1661	1540	1421	1482	1561	1616	1661	1716
1806	1751	1655	1493	1209	1434	1554	1619	1667	1721
1830	1774	1680	1533	1374	1463	1562	1627	1679	1733
1870	1813	1716	1548	1244	1443	1565	1639	1697	1751
1921	1866	1780	1651	1497	1466	1576	1658	1723	1787
1971	1921	1845	1734	1579	1321	1577	1686	1756	1810
2018	1973	1909	1821	1721	1632	1692	1747	1802	1856
2050	2013	1959	1888	1818	1769	1779	1809	1859	1903
2085	2056	2012	1956	1901	1892	1899	1886	1897	1959
2179	2142	2107	2054	2001	1997	2001	2010	2015	2020

At 20 Year

1046	1040	1026	1011	989	977	973	977	987	1005
1034	1024	1007	985	963	949	947	951	962	979
1022	1008	986	957	926	904	910	922	944	962
1005	987	959	918	868	823	854	882	913	935
985	963	927	870	790	664	789	844	884	907
967	941	897	830	750	737	790	829	864	887
953	923	871	784	633	732	790	825	856	882
942	913	864	799	734	761	798	826	853	879
937	908	859	796	734	763	800	827	852	878
937	907	854	771	630	737	794	826	851	876
946	916	864	789	709	749	796	828	854	880
963	933	880	794	642	737	796	832	862	891
984	957	913	844	765	748	801	841	875	900
1006	982	944	887	805	677	802	857	895	935
1026	1005	974	931	877	831	861	891	921	931
1040	1023	998	964	927	902	908	923	949	953
1054	1041	1021	994	968	952	950	958	969	975
1066	1050	1026	996	987	962	968	986	985	1000

Table D.20 Pressure Distribution of layer 10 of Project KK65

At 1 Year

6003	5985	5942	5897	5855	5829	5813	5812	5817	5824
5976	5948	5893	5829	5766	5727	5722	5737	5764	5771
5949	5911	5844	5761	5677	5625	5631	5662	5711	5718
5915	5864	5780	5668	5545	5461	5500	5566	5653	5660
5867	5804	5694	5532	5327	5133	5297	5442	5572	5579
5816	5740	5601	5382	5041	4450	5066	5337	5507	5514
5775	5688	5530	5286	4982	4922	5162	5349	5498	5505
5747	5652	5475	5167	4628	4998	5237	5391	5513	5520
5731	5638	5478	5252	5029	5153	5316	5440	5544	5551
5726	5633	5470	5240	5013	5172	5351	5475	5573	5590
5734	5638	5454	5130	4521	5074	5350	5498	5596	5613
5772	5681	5510	5247	4961	5185	5401	5540	5636	5653
5832	5748	5588	5311	4816	5214	5449	5589	5684	5701
5906	5835	5710	5521	5311	5331	5511	5647	5742	5759
5978	5919	5820	5678	5487	5204	5545	5707	5803	5820
6041	5992	5916	5816	5702	5612	5707	5795	5865	5882
6080	6042	5980	5904	5829	5785	5818	5866	5929	5946
6119	6089	6043	5985	5934	5907	5919	5948	5979	5996
6193	6155	6097	6069	6016	5989	6008	6056	6063	6080

At 2 Year

5120	5100	5049	4991	4937	4899	4875	4869	4885	4901
5090	5057	4993	4915	4841	4789	4777	4788	4804	4820
5060	5014	4937	4839	4743	4679	4679	4707	4755	4794
5018	4959	4863	4737	4600	4504	4538	4603	4691	4730
4961	4889	4766	4590	4367	4156	4321	4468	4601	4629
4901	4816	4664	4426	4062	3430	4074	4353	4529	4553
4853	4757	4585	4323	3996	3925	4172	4362	4516	4538
4822	4718	4528	4198	3624	4006	4250	4407	4533	4555
4809	4708	4535	4292	4049	4173	4337	4463	4571	4593
4814	4712	4537	4290	4045	4204	4385	4512	4612	4634
4836	4732	4535	4192	3546	4118	4401	4552	4653	4675
4895	4796	4613	4334	4030	4255	4474	4616	4713	4735
4981	4888	4717	4422	3903	4308	4546	4689	4785	4807
5082	5002	4865	4663	4436	4451	4634	4771	4867	4889
5176	5109	4999	4843	4639	4340	4689	4852	4951	4973
5259	5203	5116	5002	4876	4777	4871	4960	5033	5055
5312	5266	5194	5106	5019	4967	4996	5044	5087	5109
5362	5333	5272	5203	5139	5103	5110	5141	5211	5281
5412	5400	5350	5300	5259	5239	5246	5238	5271	5304

At 5 Year

3262	3240	3203	3154	3112	3080	3059	3053	3051	3049
3233	3204	3156	3094	3037	2997	2984	2990	3005	3160
3204	3168	3109	3034	2962	2914	2909	2927	2959	3031
3167	3121	3047	2953	2854	2785	2804	2846	2907	2964
3115	3058	2964	2834	2679	2539	2644	2741	2833	2906
3058	2990	2871	2695	2443	2044	2458	2644	2766	2867
3011	2932	2792	2582	2325	2305	2486	2626	2739	2828
2980	2892	2732	2452	1949	2306	2512	2638	2738	2818
2968	2881	2735	2531	2325	2431	2567	2671	2758	2840
2974	2888	2743	2543	2351	2464	2602	2704	2785	2867
2998	2909	2747	2479	2006	2403	2611	2731	2814	2912
3052	2964	2806	2566	2305	2476	2654	2773	2858	2966
3130	3044	2884	2608	2099	2471	2689	2822	2914	3040
3224	3146	3011	2810	2571	2552	2741	2882	2981	3116
3314	3246	3132	2967	2734	2347	2766	2949	3056	3195
3395	3336	3244	3121	2977	2853	2959	3057	3135	3262
3446	3397	3321	3224	3126	3064	3092	3144	3189	3339
3496	3465	3400	3323	3252	3210	3215	3246	3252	3363
3546	3533	3479	3422	3378	3356	3338	3348	3315	3387

At 10 Year

2020	2010	1987	1959	1933	1911	1897	1890	1886	1899
2003	1987	1957	1920	1885	1860	1850	1852	1857	1867
1986	1964	1927	1881	1837	1809	1803	1814	1828	1835
1961	1932	1887	1829	1769	1728	1736	1760	1795	1812
1925	1890	1833	1755	1663	1578	1639	1695	1747	1795
1885	1844	1773	1668	1516	1274	1520	1630	1701	1753
1850	1802	1720	1594	1436	1421	1527	1610	1676	1730
1824	1771	1677	1508	1203	1412	1533	1608	1666	1630
1809	1757	1670	1545	1418	1477	1556	1617	1667	1709
1804	1752	1666	1544	1424	1486	1565	1624	1670	1725
1809	1755	1659	1497	1215	1438	1557	1625	1673	1728
1833	1779	1683	1537	1378	1466	1566	1634	1684	1738
1873	1818	1720	1551	1247	1446	1569	1646	1701	1755
1924	1872	1784	1657	1502	1471	1582	1666	1726	1790
1974	1927	1850	1739	1585	1327	1584	1696	1761	1815
2021	1979	1915	1827	1727	1639	1699	1756	1804	1858
2051	2016	1961	1889	1819	1770	1780	1810	1865	1909
2088	2059	2015	1958	1903	1895	1902	1894	1902	1964
2180	2145	2109	2056	2003	2000	2004	2015	2020	2025

At 20 Year

1060	1058	1046	1036	1014	999	998	1003	1013	1031
1048	1042	1027	1012	990	975	974	979	989	1007
1036	1026	1008	986	964	949	948	953	963	981
1024	1010	989	960	929	908	913	926	945	963
1007	990	961	921	870	826	857	887	918	940
987	966	929	872	793	669	793	849	889	911
969	944	899	831	750	740	793	834	869	891
954	926	873	785	632	733	792	829	860	886
944	916	866	801	735	763	801	830	857	883
939	910	861	797	736	764	802	831	856	882
938	909	856	772	632	739	796	829	855	881
947	919	866	790	710	751	798	832	858	884
964	936	882	795	644	739	798	836	866	896
986	960	915	847	767	750	803	846	879	905
1007	985	947	890	808	680	805	862	900	938
1028	1008	977	934	880	835	864	897	923	936
1041	1025	999	965	928	903	909	925	940	955
1055	1042	1022	996	970	954	952	960	971	977
1067	1052	1027	998	989	965	970	988	987	1002

Table D.21 Pressure Distribution of layer 1 of Project KKME

At 1 year			At 2 year			Ay 5 year		
5059	4623	3366	4027	3569	2602	2387	2103	1579
5009	4680	4480	3970	3622	3410	2308	2063	1960
4898	4345	4683	3850	3262	3617	2182	1745	2022
5002	4814	4915	3965	3760	3861	2269	2105	2185
5023	4818	4944	3994	3774	3902	2301	2142	2221
4904	4284	4822	3885	3225	3789	2233	1798	2144
5059	4777	4963	4070	3771	3960	2332	2095	2215
5123	4610	4972	4165	3625	4001	2354	1864	2151
5331	5094	5005	4403	4154	4061	2512	2248	2094
5387	5146	4720	4475	4223	3777	2548	2254	1657
At 10 year			At 20 year					
1408	1249	943	768	686	527			
1360	1220	1157	741	672	640			
1283	1015	1185	700	563	653			
1325	1231	1274	718	673	694			
1334	1244	1286	720	678	698			
1287	1039	1231	697	573	670			
1330	1192	1256	715	651	682			
1328	1049	1201	713	577	654			
1402	1251	1157	751	677	631			
1419	1253	936	759	676	512			

Table D.22 Pressure Distribution of layer 2 of Project KKME

At 1 year				At 2 year				At 5 year			
5434	5261	4971	4634	4430	4243	3936	3580	2681	2557	2363	2147
5359	5104	4668	3852	4345	4075	3616	3753	2606	2422	2136	639
5290	5040	4697	4517	4268	4002	3640	3447	2527	2332	2075	1985
5239	4930	4338	4707	4214	3884	3274	3642	2467	2209	1724	2041
5256	5039	4824	4930	4234	4002	3770	3876	2477	2298	2113	2197
5259	5048	4827	4960	4247	4021	3783	3917	2490	2322	2149	2233
5249	4935	4295	4842	4252	3918	3237	3810	2497	2258	1804	2160
5324	5082	4787	4978	4353	4095	3781	3976	2560	2353	2103	2228
5423	5150	4521	4992	4482	4193	3635	4021	2642	2381	1975	2171
5541	5358	5110	5032	4629	4432	4171	4088	2743	2542	2266	2124
5585	5419	5170	4737	4687	4509	4248	3816	2778	2584	2281	1751
At 10 year				At 20 year							
1583	1510	1398	1276	861	822	763	700				
1535	1429	1268	970	835	779	696	647				
1484	1374	1228	1171	806	748	675	647				
1443	1299	1018	1196	782	708	566	658				
1442	1341	1236	1281	779	726	675	697				
1440	1346	1248	1292	775	726	680	701				
1434	1301	1044	1240	771	704	575	674				
1459	1342	1197	1263	782	722	654	685				
1494	1344	1056	1214	799	721	581	660				
1540	1421	1262	1175	822	760	683	639				
1558	1441	1269	901	830	771	684	620				

Table D.23 Pressure Distribution of layer 3 of Project KKME

At 1 year					At 2 year					At 5 year				
5453	5280	4997	4688	4932	4449	4264	3963	3635	3884	2696	2572	2382	2183	2334
5375	5140	4714	3959	4700	4363	4113	3664	2869	3640	2620	2450	2169	1710	2165
5303	5065	4721	4582	4883	4283	4029	3664	3515	3824	2537	2353	2092	2030	2235
5249	4954	4376	4752	5006	4224	3910	3293	3689	3951	2475	2231	1740	2078	2282
5265	5060	4835	4953	5106	4244	4026	3781	3900	4058	2485	2317	2124	2219	2344
5271	5066	4837	4986	5163	4260	4041	3793	3944	4127	2500	2338	2158	2255	2387
5261	4956	4304	4879	5173	4265	3940	3246	3849	4154	2508	2277	1916	2189	2397
5339	5100	4796	5012	5241	4369	4115	3792	4012	4247	2574	2371	2113	2258	2436
5434	5168	4633	5029	5276	4495	4213	3364	4058	4312	2654	2401	1889	2210	2433
5554	5379	5131	5080	5270	4642	4454	4193	4137	4330	2756	2568	2294	2181	2388
5605	5453	5210	4837	5226	4709	4547	4290	3893	4298	2800	2624	2328	1819	2314
5748	5546	5304	5263	5248	4794	4635	4387	4309	4315	2849	2685	2394	2246	2351
At 10 year					At 20 year									
1591	1519	1409	1297	1380	867	827	769	711	752					
1543	1446	1287	1019	1281	839	788	706	569	700					
1490	1386	1237	1197	1313	809	754	680	660	714					
1449	1311	1022	1219	1332	785	714	571	668	720					
1447	1353	1242	1293	1359	782	732	678	702	732					
1446	1356	1253	1304	1373	779	732	682	706	736					
1441	1312	1048	1255	1366	775	709	578	681	731					
1468	1353	1203	1280	1373	786	727	657	692	733					
1502	1358	1065	1237	1356	803	728	585	670	724					
1550	1438	1279	1208	1320	827	769	691	655	707					
1571	1465	1296	1015	1276	838	783	698	556	686					
1575	1470	1300	1289	1295	845	795	706	694	699					

Table D.24 Pressure Distribution of layer 4 of Project KKME

At 1 year						At 2 year						At 5 year					
5700	5535	5294	4890	4759	4899	4592	4543	4371	4306	4218	4345	2989	2849	2672	2625	2452	2576
5695	5526	5283	4861	4725	4873	4504	4484	4297	4009	3706	3928	2815	2723	2597	2414	2232	2363
5581	5401	5172	4758	4033	4739	4419	4392	4147	3710	3946	3679	2723	2642	2475	2201	1761	2191
5472	5324	5085	4744	4642	4911	4338	4305	4051	3688	3577	3853	2674	2555	2369	2108	2069	2253
5364	5259	4968	4397	4783	5016	4263	4236	3926	3313	3721	3962	2569	2486	2246	1759	2103	2290
5381	5274	5070	4842	4962	5109	4285	4254	4036	3789	3910	4061	2576	2495	2327	2133	2230	2347
5399	5289	5080	4844	5003	5174	4210	4280	4056	3802	3962	4138	2609	2517	2351	2166	2270	2395
5392	5282	4971	4311	4903	5187	4218	4289	3958	3358	3874	4169	2620	2527	2292	1826	2209	2408
5467	5356	5112	4805	5033	5251	4429	4389	4129	3802	4034	4257	2694	2592	2384	2123	2278	2444
5578	5449	5177	4657	5052	5290	4654	4512	4224	3653	4082	4326	2775	2672	2416	1901	2240	2449
5642	5570	5391	5149	5119	5294	4739	4660	4469	4211	4177	4354	2819	2777	2589	2322	2230	2415
5769	5639	5494	5264	4919	5272	4865	4747	4591	4347	3984	4346	2906	2838	2671	2392	1949	2366
5824	5733	5623	5474	5348	5447	4976	4859	4739	4578	4441	4541	3017	2943	2813	2629	2457	2570
At 10 year						At 20 year											
1863	1749	1675	1504	1399	1458	973	924	889	831	775	812						
1752	1607	1534	1429	1324	1397	925	876	836	780	724	761						
1648	1556	1461	1305	1048	1295	895	847	796	714	593	707						
1601	1501	1395	1247	1221	1323	862	815	759	685	671	718						
1576	1455	1319	1038	1233	1336	830	789	718	576	674	722						
1568	1454	1359	1248	1299	1361	827	786	736	681	705	733						
1572	1457	1364	1258	1312	1377	825	785	736	685	710	739						
1569	1453	1321	1053	1266	1371	821	781	714	531	686	734						
1591	1479	1362	1211	1291	1377	834	793	732	660	697	735						
1642	1515	1368	1077	1255	1365	859	810	734	589	679	729						
1689	1566	1453	1298	1238	1335	881	836	778	700	669	714						
1726	1595	1494	1333	1070	1304	914	851	798	716	535	700						
1805	1654	1574	1462	1358	1413	921	884	840	781	727	754						

Table D.25 Pressure Distribution of layer 5 of Project KKME

At 1 year

5726	5639	5505	5351	5243	5296	5373
5669	5530	5352	5100	4846	5050	5256
5597	5438	5202	4801	4104	4805	5143
5530	5359	5107	4770	4684	4955	5164
5473	5290	4984	4413	4803	5043	5202
5460	5301	5082	4851	4974	5130	5254
5477	5316	5089	4848	5014	5193	5319
5494	5310	4980	5119	4916	5208	5360
5550	5382	5119	4807	5045	5269	5408
5613	5464	5179	5652	5061	5306	5445
5700	5582	5390	5151	5148	5332	5489
5786	5672	5520	5299	4973	5328	5533
5847	5756	5640	5494	5372	5481	5608
5893	5791	5685	5603	5512	5542	5641

At 2 year

4754	4657	4509	4340	4218	4267	4343
4688	4535	4342	4072	3800	4007	4218
4607	4432	4179	3755	3013	3746	4095
4532	4345	4075	3716	3620	3897	4113
4470	4270	3943	3332	3742	3989	4152
4460	4285	4050	3799	3922	4082	4210
4489	4311	4068	3807	3975	4158	4287
4524	4321	3970	3264	3890	4191	4349
4604	4419	4139	3806	4048	4277	4421
4692	4530	4227	3619	4091	4341	4484
4803	4674	4467	4213	4204	4390	4551
4911	4784	4620	4384	4038	4405	4615
4990	4885	4758	4599	4465	4575	4705
5046	4974	4836	4717	4682	4725	4781

At 5 year

2928	2859	2758	2646	2567	2593	2639
2873	2762	2632	2460	2296	2417	2548
2801	2674	2501	2233	1805	2236	2450
2730	2587	2389	2130	2100	2285	2430
2673	2515	2260	174	2119	2311	2432
2661	2521	2339	2142	2240	2364	2460
2683	2544	2363	2174	2282	2411	2506
2712	2555	2304	1833	2223	2425	2539
2770	2618	2394	2127	2291	2460	2574
2834	2690	2422	1902	2256	2468	2597
2921	2795	2595	2336	2271	2459	2628
3010	2878	2704	2435	1989	2429	2665
3079	2969	2830	2650	2482	2605	2748
3105	3057	2946	2803	2638	2762	2819

At 10 year

1728	1689	1632	1567	1519	1532	1558
1695	1631	1555	1456	1361	1428	1501
1650	1576	1476	1324	1073	1321	1439
1604	1520	1406	1260	1239	1341	1419
1564	1472	1328	1045	1242	1348	1412
1550	1469	1366	1253	1305	1370	1420
1555	1473	1371	1262	1318	1385	1434
1562	1470	1328	1058	1273	1380	1438
1586	1495	1368	1214	1298	1385	1444
1614	1527	1374	1077	1266	1376	1444
1656	1579	1460	1309	1263	1361	1451
1701	1620	1514	1358	1104	1340	1467
1735	1669	1585	1474	1373	1434	1511
1789	1751	1685	1529	1484	1505	1548

At 20 year

947	925	892	854	828	834	847
928	891	848	794	744	777	815
901	858	804	724	697	720	780
872	826	766	691	679	727	767
847	798	722	580	679	728	761
837	794	740	684	708	737	763
837	794	740	687	713	743	767
839	790	717	583	689	739	768
850	802	736	661	700	740	769
865	818	738	590	683	734	768
889	844	782	705	681	727	771
913	866	809	728	697	716	779
932	894	846	787	734	764	802
961	927	892	836	784	796	827

Table D.26 Pressure Distribution of layer 6 of Project KKME

Table D.27 Pressure Distribution of layer 7 of Project KKME

At 1 year

5984	5858	5724	5641	5596	5554	5586	5609	5687
5869	5754	5667	5536	5390	5289	5338	5411	5574
5745	5695	5578	5400	5165	4939	5128	5289	5405
5703	5624	5480	5241	4856	4186	4876	5174	5281
5681	5561	5402	5141	4808	4730	4999	5190	5317
5624	5511	5338	5015	4439	4832	5080	5231	5423
5576	5497	5344	5108	4869	5000	5167	5285	5409
5591	5499	5343	5099	4851	5026	5214	5336	5518
5624	5511	5332	4984	4151	4923	5223	5371	5541
5682	5560	5396	5115	4803	5048	5280	5416	5617
5734	5634	5480	5185	4648	5077	5327	5466	5683
5853	5726	5605	5403	5170	5188	5380	5520	5739
5964	5817	5718	5563	5350	5034	5401	5573	5772
5993	5891	5813	5700	5566	5459	5566	5665	6794
6031	5968	5909	5827	5745	5697	5731	5780	5862
6063	6032	5971	5912	5829	5784	5846	5882	5903

At 2 year

4917	4852	4773	4686	4573	4497	4508	4537	4579
4861	4784	4686	4541	4380	4266	4310	4382	4476
4804	4716	4587	4394	4141	3896	4087	4250	4371
4748	4635	4479	4221	3812	3093	3819	4123	4278
4674	4565	4392	4111	3755	3666	3942	4138	4279
4642	4510	4322	3976	3338	3771	4026	4180	4293
4638	4500	4332	4078	3818	3950	4121	4241	4354
4645	4511	4342	4080	3812	3988	4180	4305	4403
4671	4540	4347	3976	3260	3897	4206	4358	4459
4735	4612	4435	4136	3801	4051	4287	4428	4523
4828	4712	4546	4233	3669	4106	4361	4503	4612
4936	4830	4698	4481	4232	4245	4438	4581	4697
5029	4946	4835	4666	4438	4440	4479	4655	4774
5127	5040	4950	4824	4678	4560	4666	4766	4878
5197	5138	5068	4974	4878	4821	4851	4900	4924
5249	5207	5149	5061	5002	4974	4986	5014	5056

At 5 year

3061	3013	2951	2874	2800	2746	2745	2770	2798
3009	2951	2881	2783	2676	2601	2624	2666	2713
2953	2893	2802	2672	2510	2362	2472	2570	2651
2900	2822	2710	2534	2276	1862	2286	2471	2563
2843	2756	2626	2420	2164	2135	2320	2450	2542
2806	2704	2558	2290	1797	2144	2341	2453	2536
2792	2691	2560	2365	2161	2264	2393	2482	2554
2800	2701	2571	2378	2184	2296	2429	2518	2585
2823	2725	2578	2314	1923	2233	2439	2547	2629
2871	2778	2634	2398	2133	2300	2472	2581	2647
2956	2852	2708	2433	1921	2279	2491	2616	2720
3041	2946	2820	2614	2362	2322	2513	2657	2771
3137	3042	2930	2754	2496	2039	2508	2704	2835
3204	3125	3032	2897	2731	2582	2699	2808	2917
3273	3218	3144	3042	2934	2862	2892	2944	3021
3321	3281	3225	3099	3008	2944	2968	3037	3082

At 10 year

1795	1777	1735	1708	1672	1640	1639	1645	1665
1772	1741	1702	1646	1584	1539	1550	1575	1605
1742	1707	1655	1580	1486	1399	1460	1515	1557
1706	1663	1598	1496	1349	1110	1349	1451	1508
1670	1619	1543	1425	1279	1259	1361	1431	1482
1644	1583	1498	1345	1039	1257	1364	1424	1471
1628	1568	1492	1380	1263	1317	1385	1431	1474
1624	1566	1489	1379	1267	1325	1393	1440	1483
1629	1571	1485	1334	1061	1279	1387	1443	1485
1650	1592	1507	1372	1220	1305	1392	1449	1496
1685	1625	1539	1382	1090	1281	1390	1456	1512
1728	1671	1596	1473	1326	1295	1392	1468	1522
1774	1719	1652	1546	1394	1146	1384	1490	1563
1816	1763	1707	1624	1521	1429	1488	1546	1607
1852	1815	1769	1705	1636	1588	1598	1624	1668
1885	1858	1815	1862	1710	1675	1672	1685	1704

At 20 year

985	974	957	934	909	892	889	894	903
971	954	932	900	864	839	844	856	873
955	934	905	862	811	764	795	823	845
933	908	871	816	737	613	734	787	816
911	881	839	776	701	689	737	773	799
895	858	812	732	587	686	737	767	791
883	847	806	747	688	713	745	768	790
878	843	803	745	689	715	748	771	791
879	844	799	721	584	692	743	770	791
889	854	809	739	663	703	744	772	795
907	872	825	743	593	690	742	774	802
929	897	854	789	713	696	742	780	812
952	923	884	826	747	623	739	791	828
972	946	915	867	812	764	792	821	854
992	973	948	913	872	845	849	863	890
1006	992	971	944	915	896	894	901	912

Table D.28 Pressure Distribution of layer 8 of Project KKME

At 1 year

5915	5883	5826	5758	5692	5650	5643	5658	5678
5886	5844	5774	5684	5595	5538	5544	5576	5619
5844	5779	5689	5562	5424	5329	5374	5446	5524
5792	5715	5595	5418	5188	4967	5154	5313	5425
5737	5645	5496	5256	4874	4203	4897	5198	5352
5692	5586	5418	5155	4823	4739	5012	5211	5340
5663	5542	5358	5029	4450	4842	5094	5253	5365
5646	5527	5361	5120	4877	5011	5183	5310	5411
5640	5524	5356	5108	4859	5035	5226	5355	5448
5651	5533	5342	4990	4320	4929	5231	5386	5486
5692	5581	5404	5115	4806	5053	5288	5432	5534
5759	5655	5489	5190	4650	5084	5338	5484	5593
5838	5748	5617	5408	5181	5203	5398	5542	5655
5916	5839	5735	5579	5369	5055	5425	5600	5717
5983	5916	5835	5724	5595	5492	5597	5696	5793
6032	5983	5920	5839	5759	5712	5745	5797	5866
6072	6040	5989	5927	5871	5841	5854	5886	5920

At 2 year

4973	4935	4867	4785	4706	4653	4639	4650	4668
4937	4889	4807	4703	4600	4533	4531	4560	4604
4887	4812	4710	4569	4416	4308	4348	4419	4500
4825	4738	4605	4412	4164	3925	4114	4275	4391
4761	4658	4495	4237	3830	3111	3840	4150	4308
4709	4592	4409	4126	3770	3675	3955	4159	4292
4677	4543	4344	3991	3369	3780	4040	4202	4317
4663	4532	4351	4091	3827	3961	4137	4266	4370
4666	4538	4356	4089	3819	3997	4192	4324	4421
4692	4564	4357	3982	3265	3903	4214	4374	4477
4755	4634	4443	4136	3804	4056	4295	4443	4548
4848	4735	4556	4238	3553	4112	4371	4521	4632
4955	4854	4711	4486	4243	4259	4457	4604	4719
5059	4971	4854	4684	4458	4125	4505	4684	4805
5148	5069	4976	4850	4709	4595	4699	4799	4902
5212	5154	5081	4986	4893	4836	4866	4918	4995
5266	5227	5165	5091	5023	4985	4993	5024	5060

At 5 year

3100	3072	3023	2963	2906	2867	2853	2858	2869
3070	3035	2976	2902	2831	2783	2778	2794	2822
3028	2972	2900	2804	2701	2630	2650	2693	2745
2974	2910	2816	2686	2527	2382	2490	2587	2660
2916	2840	2723	2547	2290	1875	2301	2488	2588
2867	2777	2641	2434	2178	2145	2331	2466	2556
2834	2730	2575	2303	1807	2153	2352	2470	2555
2819	2717	2576	2376	2169	2273	2405	2500	2579
2822	2722	2583	2386	2191	2303	2438	2533	2605
2844	2744	2587	2320	1842	2238	2445	2559	2638
2896	2796	2642	2399	2137	2305	2479	2594	2680
2973	2872	2717	2439	1926	2287	2501	2633	2733
3063	2968	2833	2621	2374	2338	2532	2679	2793
3153	3066	2948	2772	2516	2080	2534	2733	2861
3232	3153	3056	2922	2761	2618	2733	2841	2949
3292	3233	3155	3053	2947	2877	2906	2961	3040
3344	3302	3237	3156	3079	3032	3037	3069	3105

1828	1811	1784	1750	1719	1696	1688	1689	1695
1809	1789	1756	1716	1675	1647	1643	1652	1667
1784	1753	1713	1658	1599	1556	1567	1590	1620
1751	1716	1663	1588	1496	1410	1471	1525	1567
1716	1673	1606	1504	1357	1111	1358	1461	1518
1683	1632	1553	1433	1288	1265	1367	1440	1491
1659	1598	1508	1352	1053	1262	1371	1434	1481
1643	1583	1501	1386	1267	1322	1391	1441	1484
1636	1578	1496	1384	1271	1329	1398	1448	1487
1641	1582	1490	1338	1063	1282	1390	1450	1492
1662	1603	1512	1374	1223	1308	1396	1456	1503
1697	1638	1545	1386	1094	1286	1396	1465	1521
1740	1684	1605	1479	1334	1305	1403	1481	1545
1786	1733	1664	1558	1406	1159	1399	1506	1579
1828	1779	1721	1639	1539	1450	1507	1566	1627
1861	1824	1775	1711	1643	1596	1606	1633	1677
1891	1864	1821	1768	1717	1683	1679	1694	1713

At 10 year

1002	993	979	961	943	930	926	927	930
992	981	963	941	918	902	899	904	913
978	961	938	907	873	849	854	866	883
960	939	909	867	817	771	801	828	850
939	914	875	820	742	6181	739	792	821
919	889	844	781	705	692	741	778	804
904	867	818	736	590	688	740	772	796
892	856	811	751	691	715	748	773	795
886	851	807	747	691	716	750	774	794
886	851	802	723	555	693	745	774	795
896	861	812	740	664	705	746	776	799
914	879	829	745	598	693	745	779	807
937	905	859	792	716	701	748	787	819
960	931	891	832	753	697	746	800	837
981	955	922	875	821	774	802	831	864
997	978	952	916	876	849	853	868	895
1011	997	975	947	919	900	898	906	917

Table D.29 Pressure Distribution of layer 9 of Project KKME.

Table D.30 Pressure Distribution of layer 10 of Project KKME.

At 1 year

5943	5931	5857	5815	5781	5748	5735	5763	5789	5797
5915	5896	5809	5763	5726	5614	5653	5672	5694	5705
5897	5855	5783	5691	5600	5543	5549	5583	5636	5684
5859	5804	5713	5589	5454	5363	5406	5478	5573	5615
5808	5739	5618	5441	5216	5003	5184	5343	5485	5563
5753	5669	5517	5277	4902	4749	4930	5229	5416	5534
5708	5613	5440	5173	4839	4772	5039	5244	5404	5509
5677	5573	5382	5044	4328	4859	5121	5289	5422	5473
5661	5559	5385	5138	4894	5031	5208	5343	5456	5494
5656	5554	5378	5125	4877	5053	5247	5384	5489	5529
5664	5559	5359	5005	3355	4944	5247	5409	5514	5538
5706	5605	5420	5132	4819	5065	5302	5453	5556	5572
5771	5679	5504	5201	3659	5095	5353	5505	5608	5649
5851	5773	5637	5431	5199	5221	5420	5567	5671	5683
5928	5863	5756	5600	5392	5093	5454	5630	5737	5798
5996	5943	5860	5750	5625	5526	5630	5727	5805	5846
6039	5996	5930	5846	5764	5717	5752	5806	5852	5891
6094	6049	5983	5942	5849	5748	5798	5847	5893	5906
6128	6092	6011	5993	5917	5819	5826	5881	5904	5917

At 5 year

3168	3121	3098	3076	3021	2997	2974	2925	2941	3054
3116	3102	3059	3025	2945	2869	2883	2876	2883	2957
3077	3041	2981	2906	2832	2784	2779	2797	2828	2856
3038	2991	2918	2823	2723	2654	2672	2715	2776	2715
2985	2927	2833	2703	2546	2406	2510	2607	2700	2796
2926	2857	2739	2561	2308	1963	2322	2507	2629	2745
2877	2797	2657	2446	2187	2165	2349	2486	2598	2692
2843	2755	2594	2314	2066	2164	2371	2495	2594	2687
2829	2742	2595	2390	2181	2287	2422	2524	2611	2704
2832	2746	2600	2399	2203	2315	2452	2553	2635	2726
2853	2764	2601	2331	2249	2456	2575	2659	2749	
2905	2815	2655	2413	2147	2314	2490	2610	2697	2793
2980	2892	2729	2448	2233	2297	2514	2650	2745	2836
3072	2991	2851	2641	2391	2355	2552	2701	2806	2897
3161	3088	2969	2792	2538	2303	2562	2761	2876	2906
3241	3178	3080	2947	2790	2651	2765	2870	2955	3048
3294	3241	3160	3055	2946	2875	2907	2962	3011	3099
3342	3319	3235	3146	3087	3042	3019	3080	3135	3176
3389	3245	3278	3192	3125	3116	3103	3176	3204	3251

At 10 year

1024	1021	1001	996	993	991	987	990	997	1008
1006	1002	987	979	972	953	951	956	964	975
994	983	965	942	918	902	900	905	915	925
981	967	944	914	880	857	861	873	895	914
963	945	915	872	823	778	807	835	864	893
942	920	880	824	747	693	745	798	834	857
922	896	849	784	708	698	746	784	815	852
906	875	824	739	691	691	745	779	807	836
895	864	817	755	694	718	752	780	804	833
889	858	812	751	694	719	754	780	802	831
889	857	806	726	693	696	748	778	801	830
899	867	817	744	667	708	750	780	804	835
916	886	833	749	690	696	749	784	811	843
940	912	865	799	721	706	754	794	824	855
963	939	898	839	760	654	755	808	842	872
984	963	930	883	830	784	811	840	866	896
998	981	953	916	876	848	853	868	886	904
1015	1012	980	968	913	906	897	883	907	920
1027	1025	1015	991	950	942	935	910	929	936

At 20 year

5027	4983	4968	4989	4894	4796	4809	4856	4875	4903
4986	4929	4914	4857	4726	4624	4675	4708	4726	4768
4947	4898	4814	4709	4603	4535	4534	4565	4617	4742
4902	4838	4734	4596	4447	4342	4380	4451	4547	4629
4840	4762	4629	4436	4192	3960	4143	4304	4450	4572
4775	4682	4517	4258	3858	3813	3872	4179	4371	4516
4723	4618	4431	4144	3785	3708	3982	4190	4355	4503
4690	4576	4368	4066	3369	3797	4066	4238	4376	4509
4676	4564	4376	4109	3843	3981	4161	4299	4417	4614
4680	4569	4378	4107	3837	4014	4213	4352	4461	4675
4704	4590	4375	3997	3279	3917	4229	4395	4505	4719
4767	4658	4459	4152	3817	4067	4308	4463	4569	4772
4859	4758	4571	4248	3675	4123	4385	4541	4646	4816
4968	4881	4731	4509	4261	4277	4478	4628	4734	4871
5070	4996	4876	4705	4481	4150	4535	4714	4823	4929
5160	5098	5003	4878	4740	4630	4733	4831	4911	4958
5217	5166	5088	4992	4896	4839	4870	4923	4970	4999
5301	5256	5174	5049	4918	4902	4914	4956	4992	5049
5397	5308	5261	5165	5067	5013	5054	5063	5073	5087

At 10 year

1895	1879	1826	1803	1785	1762	1745	1714	1791	1798
1848	1835	1797	1751	1726	1689	1675	1668	1687	1696
1813	1793	1759	1718	1676	1648	1644	1653	1670	1684
1790	1764	1723	1669	1612	1571	1580	1603	1638	1653
1757	1726	1673	1598	1507	1424	1482	1536	1589	1594
1722	1683	1615	1512	1367	1311	1369	1472	1540	1576
1689	1643	1562	1440	1293	1277	1377	1452	1513	1542
1664	1612	1519	1359	1085	1268	1381	1448	1502	1524
1648	1598	1511	1393	1274	1329	1399	1454	1501	1517
1642	1592	1506	1390	1278	1335	1405	1458	1503	1523
1646	1594	1498	1345	1020	1288	1396	1459	1504	1526
1667	1614	1520	1382	1229	1314	1403	1465	1513	1530
1701	1649	1553	1391	1099	1293	1404	1476	1529	1542
1745	1698	1615	1491	1345	1315	1415	1495	1555	1568
1790	1747	1676	1570	1420	1174	1416	1523	1589	1600
1833	1794	1734	1654	1556	1469	1525	1583	1630	1649
1862	1829	1777	1713	1643	1595	1606	1634	1661	1673
1883	1872	1793	1759	1685	1649	1627	1668	1679	1684
1898	1864	1842	1817	1736	1701	1681	1673	1683	1698

Table D.31 Pressure Distribution of layer 1 of Project KKNEW

At 1 Year

0	0	6777	6731	6620	6567	6673	6858	0	0
0	0	6586	6535	6396	6369	6547	0	0	0
0	0	6345	6202	6225	6176	6264	0	0	0
0	6441	6274	5927	6021	5868	6077	0	0	0
0	0	6299	6092	5939	5335	5856	0	0	0
0	6480	6333	6178	6066	5895	6051	0	0	0
0	6484	6352	6259	6139	6135	6211	0	0	0
6596	6499	6363	6227	6081	6197	6322	0	0	0
6585	6503	6385	6185	5801	6195	6376	0	0	0
6395	6521	0	6256	6156	6305	6425	6546	0	0
6681	6636	0	6370	6340	6393	6469	6555	0	0
6720	6694	6522	6454	6426	6413	6466	6547	0	0
6697	6658	6566	6474	6348	6305	6410	6524	6603	6637
6668	6632	6588	6470	6409	5042	6331	6483	6594	6633
6661	6633	6577	6506	6414	6296	6386	6501	6603	6638
6665	6643	6597	6539	6478	6423	6452	6560	6624	6649
6666	6651	6634	6596	6543	6518	6562	6613	6645	6659
6664	6657	6650	6633	6614	6606	6620	6639	6656	6663
0	6659	6657	6651	6645	6641	6645	6652	6663	6669
0	0	6659	6658	6655	6653	6655	6659	6665	6670

At 2 Year

0	0	6539	6463	6307	6253	6408	6699	0	0
0	0	6278	6189	5964	5927	6169	0	0	0
0	0	5921	5746	5761	5693	5756	0	0	0
0	6025	5836	5437	5530	5351	5530	0	0	0
0	0	5846	5614	5444	4781	5267	0	0	0
0	6013	5856	5697	5582	5379	5489	0	0	0
0	6032	5820	5764	5677	5660	5702	0	0	0
6278	6055	5701	5749	5642	5766	5882	0	0	0
6278	6114	5878	5761	5390	5808	5997	0	0	0
6299	6149	0	5889	5798	5966	6099	6275	0	0
6482	6398	0	6050	6028	6097	6190	6301	0	0
6570	6506	6216	6166	6147	6144	6210	6303	0	0
6581	6506	6323	6215	6096	6047	6157	6286	6436	6516
6575	6502	6392	6226	6147	5764	6075	6245	6431	6516
6577	6511	6388	6280	6174	6047	6133	6270	6452	6530
6595	6542	6422	6324	6248	6183	6209	6375	6500	6557
6614	6585	6521	6432	6335	6303	6383	6480	6551	6588
6624	6612	6584	6531	6482	6469	6503	6550	6590	6613
0	6625	6612	6586	6563	6555	6568	6591	6615	6630
0	0	6623	6609	6595	6590	6597	6612	6628	6638

At 5 Year

0	0	5407	5302	5116	5075	5289	5730	0	0
0	0	5092	4974	4698	4655	4943	0	0	0
0	0	4656	4457	4473	4392	4431	0	0	0
0	4750	4562	4119	4229	4020	4185	0	0	0
0	0	4576	4327	4146	3393	3892	0	0	0
0	4737	4598	4426	4313	4073	4159	0	0	0
0	4780	4577	4329	4446	4419	4435	0	0	0
5123	4857	4472	4550	4453	4585	4696	0	0	0
5130	4936	4683	4614	4237	4690	4889	0	0	0
5161	4974	0	4806	4726	4923	5070	5355	0	0
5474	5365	0	5031	5029	5127	5246	5405	0	0
5677	5580	5194	5198	5263	5235	5322	5436	0	0
5816	5697	5429	5321	5211	5183	5302	5454	5720	5878
5947	5841	5632	5378	5251	4936	5237	5435	5738	5901
6035	5888	5641	5478	5362	5229	5315	5486	5801	5952
6111	5988	5712	5552	5463	5391	5418	5689	5918	6034
6196	6138	5965	5777	5599	5563	5720	5905	6052	6131
6248	6236	6157	6017	5906	5888	5970	6075	6166	6219
0	6287	6248	6167	6101	6086	6125	6184	6245	6282
0	0	6284	6232	6187	6174	6197	6241	6286	6316

0	0	3637	3557	3427	3409	3580	3966	0	0
0	0	3357	3265	3081	3062	3297	0	0	0
0	0	2968	2760	2844	2823	2852	0	0	0
0	3077	2845	2331	2586	2503	2616	0	0	0
0	0	2817	2568	2480	2010	2309	0	0	0
0	2946	2776	2545	2486	2249	2380	0	0	0
0	2995	2684	2392	2445	2078	2477	0	0	0
3466	3129	2615	2628	2518	2582	2808	0	0	0
3479	3241	2899	2808	2339	2855	3115	0	0	0
3519	3288	0	3076	2975	3213	3403	3842	0	0
3841	3723	0	3347	3331	3489	3667	3891	0	0
4083	3973	3337	3507	3444	3609	3782	3938	0	0
4312	4169	3817	3587	3165	3518	3768	3980	4317	4523
4577	4466	4186	3738	3535	3313	3708	3978	4358	4570
4768	4555	4207	3942	3797	3693	3818	4055	4462	4658
4905	4730	4327	4084	3975	3913	3970	4334	4637	4792
5061	4997	4727	4457	4196	4169	4386	4642	4843	4950
5160	5169	5047	4821	4650	4627	4747	4896	5023	5097
0	5262	5197	5058	4945	4920	4977	5064	5151	5204
0	0	5253	5158	5077	5052	5086	5150	5218	5261

At 20 Year

0	0	1812	1786	1726	1734	1822	2049	0	0
0	0	1621	1603	1521	1528	1688	0	0	0
0	0	1372	1282	1373	1396	1423	0	0	0
0	1412	1284	1033	1216	1219	1285	0	0	0
0	0	1237	1142	1148	974	1111	0	0	0
0	1222	1176	1109	1137	1070	1136	0	0	0
0	1247	1090	978	1113	992	1185	0	0	0
1557	1328	977	1126	1148	1228	1362	0	0	0
1570	1413	1200	1252	1094	1373	1514	0	0	0
1607	1450	0	1418	1402	1543	1638	1918	0	0
1789	1718	0	1550	1558	1665	1786	1921	0	0
1942	1884	1625	1605	1571	1681	1809	1919	0	0
2108	2016	1826	1623	1352	1542	1739	1906	2104	2235
2341	2276	2069	1707	1543	1314	1647	1870	2114	2252
2547	2361	2068	1843	1719	1614	1716	1915	2178	2309
2693	2358	2188	1942	1844	1783	1830	2094	2302	2409
2871	2866	2588	2293	2029	1998	2140	2317	2458	2535
2993	3048	2917	2629	2410	2350	2414	2513	2603	2656
0	3150	3059	2855	2662	2587	2602	2649	2709	2748
0	0	3088	2926	2774	2697	2690	2721	2766	2796

Table D.32 Pressure Distribution of layer 2 of Project KKN EW

At 1 Year

0	0	0	0	0	0	0	0	0	0
0	0	0	0	0	0	0	0	0	0
0	0	6233	6043	6068	6010	0	0	0	0
0	6443	6188	5823	5849	5658	5914	0	0	0
0	0	6249	6033	5833	5174	5845	0	0	0
0	6481	6302	6178	6000	5763	6049	0	0	0
0	6487	6350	6243	6101	6049	6208	0	0	0
6597	6494	6353	6232	6060	6146	6324	0	0	0
6587	6500	6383	6191	5791	6160	6379	0	0	0
6596	6521	6424	6271	6141	6280	6429	6547	0	0
0	0	0	6366	6318	6380	6466	6556	0	0
0	0	6523	6459	6418	6408	6467	6548	0	0
0	0	6567	6480	6354	6309	6415	6525	6605	6639
0	6634	6590	6474	6414	6049	6335	6485	6597	6636
6662	6635	6579	6509	6419	6301	6388	6502	6605	6640
6666	6645	6598	6541	6480	6425	6453	6562	6626	6650
6667	6654	6636	6597	6544	6519	6564	6614	6646	6660
6666	6658	6652	6636	6616	6608	6622	6641	6658	6666
0	6660	6658	6653	6647	6643	6647	6655	6664	6670
0	0	6661	6660	6657	6655	6657	6661	6667	6671

At 2 Year

0	0	0	0	0	0	0	0	0	0
0	0	0	0	0	0	0	0	0	0
0	0	5690	5463	5465	5385	0	0	0	0
0	6026	5665	5258	5262	5043	5292	0	0	0
0	0	5740	5505	5277	4569	5251	0	0	0
0	6014	5800	5693	5477	5202	5485	0	0	0
0	6034	5822	5767	5612	5541	5696	0	0	0
6279	6038	5702	5753	5603	5690	5884	0	0	0
6280	6104	5897	5761	5367	5754	6000	0	0	0
6300	6146	6017	5884	5762	5922	6102	6276	0	0
0	0	0	6023	5980	6066	6179	6302	0	0
0	0	6216	6169	6125	6126	6203	6304	0	0
0	0	6324	6221	6101	6045	6161	6287	6439	6518
0	6504	6394	6228	6152	5790	6078	6246	6433	6518
6578	6513	6390	6282	6178	6051	6135	6271	6454	6532
6597	6544	6423	6325	6250	6185	6210	6377	6501	6559
6616	6587	6523	6434	6336	6304	6385	6482	6553	6589
6626	6613	6586	6533	6484	6471	6506	6552	6592	6614
0	6625	6613	6588	6565	6557	6571	6593	6617	6631
0	0	6624	6611	6597	6592	6599	6614	6629	6640

At 5 Year

0	0	0	0	0	0	0	0	0	0
0	0	4318	4071	4062	3964	0	0	0	0
0	4749	4316	3778	3880	3634	3888	0	0	0
0	0	4417	4176	3928	3159	3870	0	0	0
0	4737	4511	4418	4176	3862	4153	0	0	0
0	4782	4565	4330	4360	4273	4428	0	0	0
5123	4815	4603	4552	4397	4487	4696	0	0	0
5130	4915	4702	4598	4197	4613	4891	0	0	0
5162	4969	4859	4768	4660	4852	5071	5355	0	0
0	0	0	4967	4943	5070	5220	5405	0	0
0	0	5193	5197	5266	5197	5304	5437	0	0
0	0	5429	5325	5167	5173	5305	5455	5723	5879
0	5843	5633	5379	5254	4940	5237	5436	5740	5903
6036	5890	5643	5479	5365	5232	5316	5487	5803	5954
6112	5990	5713	5553	5464	5393	5419	5691	5919	6036
6197	6138	5967	5780	5600	5564	5722	5907	6053	6132
6250	6237	6157	6020	5908	5890	5973	6077	6167	6220
0	6287	6248	6169	6103	6088	6127	6187	6247	6284
0	0	6285	6234	6189	6176	6199	6243	6288	6317

At 10 Year

0	0	0	0	0	0	0	0	0	0
0	0	0	0	0	0	0	0	0	0
0	0	2594	2347	2414	2387	0	0	0	0
0	3075	2568	2076	2232	2122	2322	0	0	0
0	0	2629	2408	2262	1769	2287	0	0	0
0	2946	2668	2535	2349	2042	2373	0	0	0
0	2996	2678	2291	2359	1949	2468	0	0	0
3467	3061	2601	2627	2456	2471	2806	0	0	0
3479	3209	2927	2786	2266	2759	3114	0	0	0
3520	3280	3134	3025	2884	3118	3401	3840	0	0
0	0	0	3259	3212	3409	3628	3891	0	0
0	0	3356	3503	3386	3555	3754	3939	0	0
0	0	3817	3589	3164	3501	3768	3981	4320	4525
0	4468	4185	3734	3532	3315	3704	3978	4360	4572
4769	4558	4208	3939	3796	3693	3816	4056	4464	4660
4906	4732	4329	4084	3975	3913	3971	4336	4639	4793
5063	4995	4729	4459	4197	4170	4388	4644	4844	4952
5162	5169	5045	4823	4652	4629	4749	4898	5025	5098
0	5262	5197	5060	4947	4922	4979	5066	5153	5205
0	0	5254	5160	5079	5055	5088	5152	5219	5262

At 20 Year

0	0	0	0	0	0	0	0	0	0
0	0	0	0	0	0	0	0	0	0
0	0	1103	1001	1069	1091	0	0	0	0
0	1411	1089	854	987	977	1103	0	0	0
0	0	1108	1037	1012	819	1097	0	0	0
0	1222	1111	1101	1058	951	1132	0	0	0
0	1247	1084	974	1064	917	1180	0	0	0
1558	1281	973	1124	1112	1163	1360	0	0	0
1569	1396	1227	1230	1056	1311	1513	0	0	0
1607	1444	1377	1365	1334	1483	1655	1918	0	0
0	0	0	1485	1475	1610	1758	1921	0	0
0	0	1624	1601	1532	1643	1788	1919	0	0
0	0	1827	1624	1350	1529	1738	1906	2106	2237
0	2279	2068	1704	1540	1512	1642	1871	2116	2254
2548	2363	2068	1840	1717	1613	1713	1916	2180	2311
2694	2559	2193	1942	1843	1782	1831	2097	2304	2411
2873	2865	2588	2295	2030	1999	2143	2319	2460	2536
2995	3048	2916	2630	2412	2352	2416	2515	2604	2657
0	3151	3059	2854	2664	2589	2604	2651	2711	2749
0	0	3088	2927	2776	2699	2692	2723	2767	2798

Table D.33 Pressure Distribution of layer 3 of Project KKNEW

At 1 Year

0	0	0	0	0	0	0	0	0	0
0	0	0	0	0	0	0	0	0	0
0	0	6234	6041	6071	6013	6153	0	0	0
0	6443	6192	5824	5848	5653	5917	0	0	0
0	0	6254	6027	5789	5163	5837	0	0	0
0	6482	6303	6154	5973	5757	6048	0	0	0
0	6491	6337	6226	6085	6020	6201	0	0	0
6598	6499	6358	6215	6041	6149	6327	0	0	0
6589	6505	6388	6189	5778	6164	6383	0	0	0
6597	6520	6427	6276	6145	6284	6433	6548	0	0
0	0	6461	6371	6320	6379	6471	6557	0	0
0	0	6523	6464	6422	6413	6472	6549	0	0
0	0	6569	6485	6360	6314	6420	6526	6607	6641
6668	6636	6591	6476	6420	6057	6338	6486	6599	6638
6663	6637	6581	6510	6423	6306	6389	6503	6607	6642
6667	6647	6599	6542	6482	6426	6455	6565	6628	6652
6669	6656	6638	6600	6545	6520	6566	6616	6647	6661
6668	6660	6655	6638	6618	6610	6624	6643	6659	6668
0	6662	6661	6656	6649	6645	6649	6657	6666	6671
0	0	6664	6662	6659	6657	6659	6663	6669	6673

At 2 Year

0	0	0	0	0	0	0	0	0	0
0	0	5690	5460	5469	5388	5510	0	0	0
0	6026	5668	5258	5259	5037	5294	0	0	0
0	0	5745	5487	5215	4556	5239	0	0	0
0	6012	5799	5643	5438	5194	5483	0	0	0
0	6038	5804	5731	5583	5540	5687	0	0	0
6279	6041	5707	5718	5575	5692	5886	0	0	0
6280	6107	5901	5751	5551	5756	6003	0	0	0
6301	6139	6020	5889	5766	5925	6105	6277	0	0
0	0	6093	6026	5981	6061	6183	6303	0	0
0	0	6215	6172	6129	6132	6209	6305	0	0
0	0	6326	6225	6103	6050	6165	6289	6441	6520
6580	6506	6396	6229	6156	5796	6078	6247	6435	6521
6579	6516	6391	6282	6181	6055	6136	6272	6456	6534
6598	6546	6424	6326	6251	6187	6212	6380	6503	6560
6617	6589	6525	6437	6338	6306	6387	6483	6554	6590
6628	6615	6588	6536	6486	6473	6508	6554	6594	6615
0	6627	6616	6591	6567	6539	6573	6596	6619	6632
0	0	6627	6613	6599	6594	6601	6616	6631	6641

At 5 Year

0	0	0	0	0	0	0	0	0	0
0	0	0	0	0	0	0	0	0	0
0	0	4318	4067	4064	3967	4060	0	0	0
0	4749	4317	3873	3875	3627	3889	0	0	0
0	0	4421	4150	3854	3123	3855	0	0	0
0	4736	4508	4344	4124	3851	4149	0	0	0
0	4784	4538	4471	4319	3770	4416	0	0	0
5124	4817	4665	4496	4362	4498	4697	0	0	0
5130	4918	4705	4581	4180	4614	4893	0	0	0
5162	4960	4863	4772	4662	4853	5073	5353	0	0
0	0	4983	4967	4941	5058	5224	5406	0	0
0	0	5191	5197	5269	5201	5309	5437	0	0
0	0	5431	5328	5170	5177	5307	5456	5725	5881
6014	5845	5634	5375	5253	5084	5234	5437	5742	5906
6037	5893	5644	5477	5166	5234	5314	5488	5805	5956
6113	5992	5716	5554	5464	5393	5421	5693	5921	6037
6199	6139	5969	5784	5602	5566	5725	5909	6054	6133
6252	6237	6158	6022	5910	5892	5975	6079	6169	6221
0	6288	6250	6171	6105	6090	6129	6189	6248	6285
0	0	6287	6236	6191	6178	6202	6245	6289	6318

At 10 Year

0	0	0	0	0	0	0	0	0	0
0	0	2593	2341	2415	2388	2457	0	0	0
0	3075	2566	2068	2226	2114	2322	0	0	0
0	0	2628	2346	2180	1733	2273	0	0	0
0	2944	2659	2439	2258	2027	2368	0	0	0
0	2997	2624	2222	2260	1939	2456	0	0	0
3467	3061	2606	2533	2388	2466	2805	0	0	0
3478	3209	2927	2756	2714	2755	3115	0	0	0
3520	3267	3136	3026	2883	3115	3401	3835	0	0
0	0	3282	3255	3205	3389	3631	3892	0	0
0	0	3532	3501	3388	3558	3757	3938	0	0
0	0	3817	3590	3166	3504	3768	3982	4322	4527
4716	4471	4184	3724	3523	3310	3694	3979	4363	4575
4770	4560	4208	3932	3792	3691	3811	4058	4466	4662
4907	4735	4342	4084	3972	3911	3973	4339	4641	4795
5064	4995	4732	4462	4201	4176	4391	4646	4845	4953
5164	5168	5045	4825	4654	4631	4751	4900	5026	5099
0	5262	5197	5061	4949	4924	4981	5068	5154	5207
0	0	5255	5162	5081	5057	5090	5154	5221	5263

At 20 Year

0	0	0	0	0	0	0	0	0	0
0	0	0	0	0	0	0	0	0	0
0	0	1102	998	1070	1092	1162	0	0	0
0	1411	1087	949	983	972	1102	0	0	0
0	0	1107	996	965	810	1088	0	0	0
0	1220	1106	1040	1005	942	1130	0	0	0
0	1246	1060	924	1008	911	1172	0	0	0
1558	1280	972	1070	1077	1160	1360	0	0	0
1568	1395	1226	1211	1041	1308	1513	0	0	0
1607	1436	1378	1365	1332	1481	1654	1917	0	0
0	0	1470	1481	1473	1598	1759	1921	0	0
0	0	1622	1599	1532	1644	1789	1919	0	0
0	0	1825	1624	1349	1530	1737	1907	2108	2238
2476	2281	2068	1697	1534	1308	1634	1871	2118	2256
2549	2365	2068	1833	1713	1609	1709	1920	2182	2313
2695	2561	2213	1942	1840	1781	1832	2099	2305	2412
2874	2861	2589	2296	2046	2014	2145	2321	2461	2538
2996	3047	2913	2631	2414	2354	2419	2517	2606	2658
0	3151	3057	2854	2666	2591	2606	2654	2712	2750
0	0	3086	2929	2778	2701	2694	2725	2769	2799

Table D.34 Pressure Distribution of layer 4 of Project KKNEW

At 1 Year

0	0	0	0	0	0	0	0	0	0
0	0	0	0	0	0	0	0	0	0
0	0	6234	6029	6074	6018	0	0	0	0
0	6444	6195	5821	5846	5641	5920	0	0	0
0	0	6260	6033	5783	5145	5831	0	0	0
0	6481	6303	6156	5979	5745	6048	0	0	0
0	6496	6339	6214	6089	6048	6180	0	0	0
6599	6504	6360	6219	6044	6151	6331	0	0	0
6590	6509	6394	6194	5780	5166	6387	0	0	0
6599	6514	6431	6280	6150	6287	6437	6549	0	0
0	0	6461	6373	6320	6383	6476	6558	0	0
0	0	6524	6468	6427	6419	6478	6550	0	0
0	0	6571	6490	6426	6319	6425	6528	6609	6643
0	6628	6593	6477	6366	6046	6341	6487	6601	6640
6663	6640	6583	6511	6427	6311	6389	6505	6609	6644
6667	6649	6604	6543	6483	6427	6456	6567	6629	6654
6670	6658	6640	6603	6547	6525	6568	6618	6649	6663
6670	6663	6657	6641	6620	6612	6626	6645	6661	6669
0	6665	6663	6658	6651	6648	6652	6659	6667	6672
0	0	6666	6664	6661	6660	6661	6666	6670	6674

At 5 Year

0	0	0	0	0	0	0	0	0	0
0	0	4316	4050	4066	3970	0	0	0	0
0	4749	4318	3868	3870	3613	3890	0	0	0
0	0	4425	4155	3847	3098	3843	0	0	0
0	4731	4503	4341	4128	3834	4145	0	0	0
0	4787	4358	4044	4322	3865	4384	0	0	0
5125	4819	4471	4495	4364	4487	4699	0	0	0
5129	4919	4706	4584	4182	4613	4897	0	0	0
5164	4937	4864	4776	4665	4852	5076	5350	0	0
0	0	4977	4963	4933	5059	5228	5407	0	0
0	0	5188	5198	5272	5205	5314	5437	0	0
0	0	5433	5332	4171	5181	5311	5457	5727	5883
0	5848	5634	5366	5249	4946	5226	5437	5745	5908
6037	5895	5645	5472	5366	5236	5311	5498	5807	5958
6113	5994	5738	5554	5463	5393	5423	5696	5923	6039
6200	6140	5972	5787	5614	5584	5727	5910	6056	6134
6254	6239	6159	6024	5912	5894	5977	6081	6171	6222
0	6290	6252	6173	6107	6092	6131	6191	6250	6286
0	0	6289	6238	6193	6180	6204	6247	6291	6319

At 10 Year

0	0	0	0	0	0	0	0	0	0
0	0	0	0	0	0	0	0	0	0
0	0	2591	2322	2416	2390	0	0	0	0
0	3075	2563	2035	2219	2099	2322	0	0	0
0	0	2628	2346	2173	1731	2262	0	0	0
0	2938	2649	2382	2257	2006	2363	0	0	0
0	2997	2619	2138	2255	1925	2422	0	0	0
3469	3061	2603	2521	2388	2459	2805	0	0	0
3475	3208	2926	2758	2261	2750	3118	0	0	0
3521	3237	3134	3028	2882	3109	3402	3826	0	0
0	0	3272	3245	3190	3387	3633	3892	0	0
0	0	3528	3500	3388	3560	3761	3938	0	0
0	0	3818	3592	3163	3507	3770	3983	4324	4528
0	4473	4182	3701	3505	3305	3675	3980	4365	4577
4770	4562	4209	3918	3785	3688	3803	4079	4468	4664
4907	4737	4371	4085	3969	3910	3975	4341	4642	4796
5065	4995	4734	4465	4225	4197	4394	4647	4847	4954
5165	5168	5045	4827	4657	4633	4753	4902	5028	5100
0	5262	5198	5063	4951	4926	4983	5070	5156	5208
0	0	5256	5164	5083	5059	5092	5156	5222	5264

At 20 Year

0	0	0	0	0	0	0	0	0	0
0	0	0	0	0	0	0	0	0	0
0	0	1101	988	1070	1093	0	0	0	0
0	1411	1085	841	979	963	1101	0	0	0
0	0	1106	995	962	999	1081	0	0	0
0	1216	1101	1008	1004	930	1127	0	0	0
0	1246	1058	878	1005	903	1151	0	0	0
1562	1279	976	1063	1077	1156	1359	0	0	0
1566	1393	1224	1211	1044	1304	1514	0	0	0
1609	1416	1375	1365	1330	1477	1654	1915	0	0
0	0	1464	1474	1463	1597	1760	1921	0	0
0	0	1620	1597	1532	1645	1791	1918	0	0
0	0	1825	1624	1350	1531	1737	1907	2111	2240
0	2284	2066	1681	1523	1305	1618	1872	2120	2259
2530	2368	2049	1821	1706	1605	1703	1932	2184	2315
2695	2562	2234	1944	1838	1780	1834	2101	2307	2414
2875	2855	2590	2298	2063	2026	2148	2323	2462	2539
2997	3042	2907	2633	2416	2356	2421	2519	2607	2660
0	3147	3053	2855	2668	2593	2608	2656	2714	2751
0	0	3086	2931	2780	2703	2696	2727	2770	2800

Table D.35 Pressure Distribution of layer 5 of Project KKNEW

Table D.36 Pressure Distribution of layer 6 of Project KKNEW

At 1 Year

0	0	0	0	0	0	0	0	0	0
0	0	0	0	0	0	0	0	0	0
0	0	6235	6004	5981	5914	0	0	0	0
0	6444	6098	5739	5789	5567	5722	0	0	0
0	0	6169	5924	5769	5145	5651	0	0	0
0	6482	6272	6153	5892	5707	5874	0	0	0
0	6473	6339	6226	5988	5957	6150	0	0	0
6603	6474	6354	6219	5977	6060	6236	0	0	0
6579	6479	6373	6164	5763	6096	6289	0	0	0
6605	6509	6418	6262	6125	6228	6347	6552	0	0
0	0	6458	6341	6285	6324	6389	6560	0	0
0	0	6525	6422	6383	6367	6404	6553	0	0
0	0	6576	6455	6380	6318	6382	6532	6613	6647
0	6642	6596	6478	6401	6116	6345	6493	6605	6645
6663	6644	6585	6513	6434	6322	6391	6515	6613	6648
6669	6653	6612	6552	6486	6432	6469	6572	6632	6656
6672	6663	6644	6608	6558	6536	6573	6621	6652	6665
6673	6668	6662	6645	6624	6616	6631	6650	6664	6671
0	6670	6669	6662	6655	6652	6656	6664	6671	6675
0	0	6671	6669	6665	6664	6666	6670	6674	6676

At 5 Year

0	0	0	0	0	0	0	0	0	0
0	0	0	0	0	0	0	0	0	0
0	0	4316	4019	3966	3879	0	0	0	0
0	4733	4174	3732	3783	3505	3642	0	0	0
0	0	4256	3990	3816	3087	3592	0	0	0
0	4725	4408	4323	4000	3750	3908	0	0	0
0	4685	4472	4447	4171	4108	4341	0	0	0
5111	4692	4402	4481	4240	4315	4530	0	0	0
5066	4785	4616	4509	4105	4451	4699	0	0	0
5166	4908	4806	4693	4568	4689	4859	5347	0	0
0	0	4958	4858	4814	4889	4994	5407	0	0
0	0	5187	5069	5164	5042	5099	5438	0	0
0	0	5437	5214	5063	5086	5162	5462	5731	5887
0	5852	5636	5350	5244	4963	5210	5449	5749	5912
6039	5899	5648	5465	5366	5239	5306	5515	5811	5962
6115	5998	5753	5576	5464	5396	5449	5701	5926	6041
6202	6144	5976	5794	5633	5602	5732	5914	6059	6137
6257	6243	6163	6028	5917	5898	5981	6085	6173	6224
0	6295	6256	6177	6110	6096	6136	6195	6253	6288
0	0	6293	6242	6197	6184	6208	6251	6294	6321

At 10 Year

0	0	0	0	0	0	0	0	0	0
0	0	0	0	0	0	0	0	0	0
0	0	5690	5417	5371	5290	0	0	0	0
0	6019	5538	5149	5181	4932	5066	0	0	0
0	0	5608	5354	5186	4818	5009	0	0	0
0	6003	5725	5630	5332	5116	5273	0	0	0
0	5959	5757	5716	5458	5410	5621	0	0	0
6275	5946	5683	5710	5481	5558	5754	0	0	0
6238	6010	5840	5700	5306	5639	5856	0	0	0
6306	6100	5982	5841	5709	5815	5955	6278	0	0
0	0	6079	5958	5903	5953	6033	6305	0	0
0	0	6214	6089	6105	6037	6080	6308	0	0
0	0	6332	6160	6040	6018	6086	6295	6447	6525
0	6512	6400	6220	6115	5842	6075	6256	6442	6527
6582	6522	6396	6280	6190	6068	6134	6289	6462	6540
6600	6552	6445	6340	6254	6192	6231	6387	6508	6565
6621	6595	6531	6446	6355	6328	6394	6488	6558	6594
6633	6622	6594	6542	6492	6479	6514	6561	6598	6619
0	6635	6623	6597	6572	6565	6580	6602	6623	6636
0	0	6634	6620	6605	6600	6608	6622	6636	6645

At 2 Year

0	0	0	0	0	0	0	0	0	0
0	0	0	0	0	0	0	0	0	0
0	0	2589	2287	2300	2275	0	0	0	0
0	3059	2400	1936	2119	1974	2084	0	0	0
0	0	2470	2226	2139	1668	2022	0	0	0
0	2929	2567	2386	2157	1903	2152	0	0	0
0	2881	2609	2172	2162	1765	2380	0	0	0
3451	2907	2529	2522	2269	2271	2608	0	0	0
3396	3035	2818	2673	2145	2553	2871	0	0	0
3514	3196	3057	2918	2753	2890	3105	3812	0	0
0	0	3245	3104	3032	3138	3290	3891	0	0
0	0	3252	3293	3185	3296	3426	3938	0	0
0	0	3823	3395	3105	3319	3519	3984	4328	4532
0	4477	4179	3665	3473	3279	3637	3992	4369	4581
4772	4567	4214	3898	3771	3679	3792	4096	4472	4668
4909	4741	4388	4116	3969	3912	4012	4347	4646	4799
5067	4997	4738	4471	4246	4217	4399	4651	4849	4956
5168	5170	5046	4831	4661	4638	4758	4906	5031	5102
0	5265	5201	5067	4954	4930	4987	5074	5159	5210
0	0	5260	5168	5087	5063	5096	5160	5225	5267

At 20 Year

0	0	0	0	0	0	0	0	0	0
0	0	0	0	0	0	0	0	0	0
0	0	1101	971	1003	1025	0	0	0	0
0	1407	995	775	914	885	966	0	0	0
0	0	1014	930	940	737	940	0	0	0
0	1210	1039	1008	959	862	1009	0	0	0
0	1154	1014	892	963	813	1124	0	0	0
1559	1163	901	1057	1011	1037	1220	0	0	0
1509	1264	1141	1151	974	1161	1335	0	0	0
1605	1389	1318	1283	1233	1310	1432	1913	0	0
0	0	1446	1382	1356	1413	1500	1921	0	0
0	0	1618	1466	1400	1457	1540	1918	0	0
0	0	1828	1502	1246	1412	1533	1908	2115	2244
0	2288	2064	1657	1504	1293	1589	1881	2125	2263
2552	2372	2081	1805	1692	1595	1696	1943	2188	2319
2697	2566	2247	1988	1843	1785	1879	2107	2310	2416
2878	2855	2593	2304	2080	2040	2153	2326	2465	2541
3000	3041	2906	2637	2421	2360	2425	2523	2610	2662
0	3147	3054	2857	2671	2597	2612	2660	2717	2753
0	0	3089	2935	2784	2707	2700	2731	2774	2802

Table D.37 Pressure Distribution of layer 7 of Project KNEW

At 1 Year

0	0	0	0	0	0	0	0	0	0	0	0
0	0	0	0	0	0	0	0	0	0	0	0
0	0	6242	6004	5984	5936	5906	0	0	0	0	0
0	6447	6097	5732	5793	5568	5723	0	0	0	0	0
0	0	6174	5989	5763	5143	5648	0	0	0	0	0
0	6483	6274	6146	5961	5710	5872	0	0	0	0	0
0	6476	6329	6211	6066	5956	6181	0	0	0	0	0
6607	6477	6359	6222	6025	6063	6241	0	0	0	0	0
6585	6482	6378	6193	5772	6099	6293	0	0	0	0	0
6608	6311	6419	6269	6133	6231	6351	6553	0	0	0	0
0	0	6460	6342	6287	6329	6393	6563	0	0	0	0
0	0	6527	6424	6387	6372	6408	6557	0	0	0	0
0	0	6578	6459	6336	6324	6387	6537	6615	6649	0	0
6665	6645	6598	6481	6408	6125	6550	6500	6608	6647	0	0
6667	6646	6590	6517	6439	6325	6394	6520	6615	6650	0	0
6670	6655	6616	6561	6503	6456	6478	6574	6634	6658	0	0
6674	6665	6646	6611	6564	6542	6575	6623	6653	6666	0	0
6675	6671	6664	6647	6626	6618	6633	6652	6666	6672	0	0
0	6673	6671	6665	6657	6654	6659	6666	6672	6676	0	0
0	0	6674	6671	6668	6666	6668	6672	6675	6678	0	0

At 2 Year

0	0	0	0	0	0	0	0	0	0	0	0
0	0	0	0	0	0	0	0	0	0	0	0
0	0	5698	5415	5374	5316	5241	0	0	0	0	0
0	6021	5535	5141	5183	4933	5066	0	0	0	0	0
0	0	5611	5422	5166	4516	5004	0	0	0	0	0
0	6004	5726	5601	5396	5119	5269	0	0	0	0	0
0	5961	5764	5677	5531	5407	5656	0	0	0	0	0
6277	5948	5677	5692	5525	5559	5758	0	0	0	0	0
6246	6008	5843	5718	5315	5641	5860	0	0	0	0	0
6309	6101	5978	5849	5716	5818	5960	6279	0	0	0	0
0	0	6079	5957	5903	5957	6037	6307	0	0	0	0
0	0	6218	6090	6111	6040	6084	6312	0	0	0	0
0	0	6335	6164	6050	6024	6091	6300	6449	6527	0	0
6569	6514	6402	6222	6121	5850	6076	6263	6444	6529	0	0
6583	6525	6401	6284	6194	6070	6137	6294	6464	6542	0	0
6601	6554	6449	6350	6274	6218	6241	6390	6509	6566	0	0
6622	6597	6533	6449	6362	6334	6397	6490	6560	6595	0	0
6635	6625	6596	6545	6494	6481	6517	6563	6600	6620	0	0
0	6638	6626	6599	6574	6567	6582	6604	6625	6637	0	0
0	0	6637	6622	6607	6603	6610	6624	6637	6646	0	0

At 5 Year

0	0	0	0	0	0	0	0	0	0	0	0
0	0	0	0	0	0	0	0	0	0	0	0
0	0	4323	4018	3969	3919	3789	0	0	0	0	0
0	4734	4169	3343	3784	3506	3640	0	0	0	0	0
0	0	4258	4062	3785	3361	3584	0	0	0	0	0
0	4726	4407	4279	4059	3751	3902	0	0	0	0	0
0	4685	4472	4385	4238	4103	4380	0	0	0	0	0
5113	4691	4413	4437	4281	4314	4534	0	0	0	0	0
5074	4781	4616	4515	4113	4451	4705	0	0	0	0	0
5169	4908	4798	4700	4575	4690	4864	5347	0	0	0	0
0	0	4957	4855	4811	4892	4997	5407	0	0	0	0
0	0	5191	5067	5168	5044	5102	5442	0	0	0	0
0	0	5440	5215	5033	5090	5166	5467	5733	5888	0	0
5989	5854	5637	5350	5247	4968	5211	5457	5751	5914	0	0
6040	5902	5656	5470	5370	5240	5308	5521	5814	5964	0	0
6116	6000	5759	5589	5493	5431	5463	5704	5926	6043	0	0
6204	6146	5978	5798	5642	5611	5735	5916	6060	6138	0	0
6259	6245	6164	6031	5919	5901	5984	6087	6175	6226	0	0
0	6297	6259	6179	6112	6098	6138	6197	6255	6290	0	0
0	0	6295	6244	6199	6186	6210	6253	6296	6323	0	0

At 10 Year

0	0	0	0	0	0	0	0	0	0	0	0
0	0	0	0	0	0	0	0	0	0	0	0
0	0	2594	2285	2301	2302	2209	0	0	0	0	0
0	3055	2396	1922	2117	1974	2082	0	0	0	0	0
0	0	2471	2230	2094	1651	2017	0	0	0	0	0
0	2930	2559	2283	2150	1900	2149	0	0	0	0	0
0	2880	2517	2031	2123	1770	2419	0	0	0	0	0
3451	2905	2535	2404	2268	2265	2611	0	0	0	0	0
3403	3029	2817	2655	2171	2549	2883	0	0	0	0	0
3516	3196	3045	2923	2759	2888	3109	3810	0	0	0	0
0	0	3242	3098	3028	3139	3292	3886	0	0	0	0
0	0	3527	3289	3185	3297	3428	3937	0	0	0	0
0	0	3826	3394	3013	3322	3520	3987	4330	4534	0	0
4683	4479	4179	3660	3470	3280	3633	4000	4372	4583	0	0
4773	4569	4222	3911	3773	3678	3795	4102	4474	4670	0	0
4910	4743	4394	4131	4010	3959	4026	4350	4647	4801	0	0
5069	4998	4740	4474	4256	4226	4402	4653	4851	4958	0	0
5170	5172	5048	4834	4663	4640	4760	4908	5032	5104	0	0
0	5267	5203	5069	4956	4932	4989	5076	5161	5211	0	0
0	0	5262	5170	5089	5065	5098	5162	5227	5268	0	0

At 20 Year

0	0	0	0	0	0	0	0	0	0	0	0
0	0	0	0	0	0	0	0	0	0	0	0
0	0	1108	970	1004	1043	1041	0	0	0	0	0
0	1405	992	768	912	885	964	0	0	0	0	0
0	0	1013	914	902	715	937	0	0	0	0	0
0	1211	1036	915	926	860	1007	0	0	0	0	0
0	1152	997	810	915	805	1137	0	0	0	0	0
1557	1160	909	986	996	1033	1223	0	0	0	0	0
1515	1258	1138	1133	976	1159	1341	0	0	0	0	0
1606	1389	1308	1285	1236	1309	1433	1912	0	0	0	0
0	0	1444	1379	1354	1413	1500	1920	0	0	0	0
0	0	1624	1464	1400	1457	1541	1917	0	0	0	0
0	0	1831	1500	1249	1414	1554	1909	2117	2246	0	0
2461	2290	2063	1655	1503	1292	1585	1886	2127	2265	0	0
2553	2375	2089	1835	1695	1595	1707	1948	2190	2321	0	0
2698	2568	2253	2001	1878	1821	1888	2109	2312	2418	0	0
2879	2855	2595	2307	2088	2046	2155	2328	2467	2542	0	0
3002	3042	2907	2639	2423	2363	2427	2525	2612	2663	0	0
0	3148	3056	2859	2673	2599	2614	2662	2719	2755	0	0
0	0	3090	2937	2786	2709	2702	2733	2775	2804	0	0

Table D.38 Pressure Distribution of layer 8 of Project KKNEW

Table D.39 Pressure Distribution of layer 9 of Project KKNW

At 1 Year

0	0	0	0	0	0	0	0	0	0
0	0	6426	6384	6301	6221	0	0	0	0
0	6551	6298	6135	6105	5998	6106	0	0	0
0	6473	6376	5702	5664	5434	5962	0	0	0
0	6482	6201	5862	5631	5037	5932	6349	0	0
0	6516	6284	6100	5811	5625	6051	0	0	0
0	6562	6334	6202	5930	5898	6210	0	0	0
6631	6592	6337	6173	5925	5991	6341	6532	0	0
6626	6582	6321	6124	5722	6022	6395	6541	0	0
6630	6584	6529	6222	6086	6165	6443	6568	0	0
6675	6608	6508	6337	6282	6276	6491	6587	6690	6715
0	6558	6363	6533	6529	6542	6585	6653	6677	
6706	6667	6599	6574	6439	6431	6504	6564	6634	6666
6681	6662	6615	6533	6522	6194	6411	6532	6626	6665
6682	6664	6625	6566	6495	6395	6452	6547	6633	6668
6683	6672	6639	6593	6543	6497	6513	6593	6651	6674
6690	6683	6663	6631	6589	6567	6595	6640	6669	6682
6692	6690	6682	6665	6644	6636	6651	6669	6682	6688
0	6692	6690	6682	6674	6671	6676	6683	6689	6692
0	0	6692	6689	6685	6684	6686	6689	6692	6694

At 2 Year

0	0	0	0	0	0	0	0	0	0
0	0	5912	5874	5711	5597	0	0	0	0
0	6168	5763	5557	5490	5367	5441	0	0	0
0	6045	5897	5106	5038	4791	5312	0	0	0
0	6005	5611	5261	5008	4401	5324	5878	0	0
0	6024	5683	5512	5205	5018	5456	0	0	0
0	6071	5679	5625	5353	5120	5677	0	0	0
6301	6168	5571	5593	5382	5450	5874	6176	0	0
6296	6224	5673	5599	5329	5524	5981	6208	0	0
6334	6220	6146	5772	5643	5709	6078	6290	0	0
6441	6301	6142	5943	5888	5857	6169	6332	6530	6596
0	0	6253	6298	6260	6255	6271	6342	6489	6555
6599	6523	6359	6333	6198	6175	6247	6329	6468	6544
6586	6532	6419	6309	6269	5932	6141	6299	6463	6547
6598	6544	6440	6339	6251	6142	6199	6325	6482	6559
6616	6572	6477	6387	6317	6262	6281	6410	6526	6583
6638	6615	6551	6471	6391	6363	6417	6507	6576	6611
6651	6643	6613	6563	6512	6499	6534	6580	6616	6636
0	6657	6644	6617	6591	6585	6600	6622	6642	6653
0	0	6655	6639	6625	6620	6628	6641	6654	6662

At 5 Year

0	0	0	0	0	0	0	0	0	0
0	0	4514	4487	4266	4133	0	0	0	0
0	4869	4388	4158	4066	3946	3983	0	0	0
0	4753	4565	3708	3642	3381	3892	0	0	0
0	4691	4251	3883	3630	2961	3974	4777	0	0
0	4742	4342	4159	3856	3648	4111	0	0	0
0	4780	4356	4307	4035	3696	4393	0	0	0
5133	4956	4277	4320	4102	4168	4671	5113	0	0
5126	5054	4391	4360	3990	4290	4839	5169	0	0
5196	5047	4981	4596	4471	4524	5005	5351	0	0
5405	5186	5030	4830	4780	4721	5160	5430	5798	5942
0	0	5232	5341	5375	5309	5344	5475	5757	5898
5954	5812	5471	5437	5301	5296	5372	5499	5752	5905
5989	5871	5652	5458	5331	5070	5281	5496	5771	5931
6055	5922	5703	5533	5430	5316	5382	5558	5833	5981
6131	6019	5794	5633	5539	5479	5511	5727	5945	6059
6219	6161	5997	5823	5679	5647	5758	5933	6076	6154
6275	6262	6179	6048	5939	5920	6001	6104	6191	6241
0	6315	6275	6196	6129	6115	6155	6215	6271	6305
0	0	6312	6262	6216	6203	6227	6270	6312	6338

At 10 Year

0	0	0	0	0	0	0	0	0	0
0	0	2759	2740	2548	2449	0	0	0	0
0	3079	2661	2421	2385	2331	2332	0	0	0
0	3064	2872	1903	2003	1890	2300	0	0	0
0	2949	2515	2174	2005	1599	2393	3318	0	0
0	2960	2564	2164	2059	1818	2319	0	0	0
0	3018	2532	2209	2071	1722	2433	0	0	0
3470	3319	2415	2441	2155	2132	2785	3398	0	0
3458	3441	2569	2527	2043	2375	3037	3489	0	0
3541	3360	3302	2812	2644	2699	3292	3803	0	0
3766	3508	3339	3071	2999	2963	3509	3904	4370	4573
0	0	3574	3696	3564	3685	3749	3969	4335	4525
4616	4387	3863	3703	3247	3599	3793	4017	4349	4549
4674	4496	4186	3813	3566	3402	3726	4039	4392	4600
4788	4591	4272	3985	3837	3761	3888	4141	4494	4687
4925	4762	4434	4182	4059	4009	4080	4375	4665	4817
5083	5010	4760	4501	4298	4267	4427	4670	4867	4973
5186	5186	5060	4851	4684	4661	4777	4925	5048	5119
0	5283	5218	5084	4973	4949	5006	5094	5177	5227
0	0	5278	5186	5106	5081	5116	5179	5243	5283

At 20 Year

0	0	0	0	0	0	0	0	0	0
0	0	1232	1261	1168	1121	0	0	0	0
0	1348	1174	1065	1104	1101	1161	0	0	0
0	1402	1248	723	864	846	1185	0	0	0
0	1294	1028	920	887	732	1355	2623	0	0
0	1258	1007	993	917	830	1202	0	0	0
0	1342	933	880	917	784	1203	0	0	0
1576	1525	801	988	948	966	1403	1854	0	0
1563	1597	1002	1069	901	1077	1500	1792	0	0
1626	1511	1459	1227	1175	1222	1593	1901	0	0
1777	1598	1518	1367	1344	1363	1683	1937	2333	2491
0	0	1676	1740	1695	1765	1790	1943	2187	2303
2503	2251	1861	1754	1590	1724	1782	1934	2137	2263
2485	2309	2072	1779	1615	1370	1684	1918	2146	2282
2567	2396	2133	1895	1758	1679	1791	1978	2209	2338
2713	2585	2288	2047	1922	1866	1929	2132	2329	2435
2893	2863	2612	2332	2124	2079	2178	2345	2483	2558
3016	3053	2915	2655	2444	2382	2444	2542	2628	2678
0	3160	3067	2872	2690	2615	2631	2679	2735	2770
0	0	3104	2953	2803	2726	2719	2750	2791	2819

Table D.40 Pressure Distribution of layer 10 of Project KKNEW

At 1 Year

6897	6816	6732	6677	6665	6667	6749	6844	6957	5706
6827	6703	6566	6420	6412	6419	6579	6758	6935	5706
6768	6574	6458	6199	6147	6114	6353	6647	6883	5706
6737	6571	6315	5590	5587	5324	6093	6477	6815	5706
6727	6583	6313	5865	5628	4980	5957	6382	6772	5706
6729	6611	6333	6110	5815	5524	6128	6475	6792	6981
6697	6628	6342	6211	5937	5842	6301	6524	6789	6932
6695	6617	6344	6183	5930	5970	6392	6562	6767	6878
6696	6598	6338	6130	5722	6005	6439	6602	6747	6825
6696	6645	6491	6178	6048	6123	6482	6633	6727	6775
6698	6668	6559	6254	6198	6355	6550	6659	6707	6730
6726	6698	6633	6506	6511	6493	6594	6676	6716	6732
6729	6715	6680	6612	6438	6485	6594	6680	6719	6733
6736	6726	6704	6654	6555	6285	6569	6679	6721	6735
6741	6735	6722	6687	6626	6542	6632	6698	6727	6738
6744	6740	6732	6713	6683	6655	6687	6718	6735	6741
6746	6743	6739	6730	6717	6708	6719	6732	6740	6744
6746	6745	6743	6739	6734	6731	6735	6740	6744	6746
5707	6746	6745	6744	6742	6741	6742	6744	6746	6747
5707	6707	6746	6745	6744	6744	6744	6746	6747	6747

At 2 Year

6670	6540	6384	6252	6224	6247	6387	6550	6709	5683
6578	6391	6174	5919	5913	5944	6170	6431	6666	5675
6486	6197	6009	5661	5576	5556	5874	6269	6586	5655
6436	6183	5810	4986	4950	4676	5552	6051	6512	5634
6414	6172	5741	5263	5003	4236	5395	5918	6547	5633
6409	6187	5743	5522	5208	4903	5581	6053	6519	6772
6373	6191	5689	5233	5359	5740	5792	6138	6525	6734
6374	6164	5576	5603	5186	5409	5926	6209	6527	6699
6397	6183	5711	5601	5228	5476	6019	6299	6538	6667
6435	6308	6025	5688	5558	5620	6110	6373	6547	6639
6468	6403	6198	5781	5724	5950	6243	6442	6549	6612
6565	6503	6372	6175	6298	6181	6350	6501	6592	6637
6622	6579	6497	6381	6111	6244	6401	6540	6621	6657
6660	6632	6578	6492	6369	6088	6416	6568	6644	6675
6688	6670	6636	6375	6494	6405	6518	6614	6668	6691
6708	6696	6674	6637	6593	6562	6606	6657	6691	6706
6720	6714	6700	6680	6658	6647	6665	6690	6709	6719
6727	6724	6717	6707	6697	6692	6700	6712	6722	6728
5707	6729	6727	6722	6717	6713	6718	6724	6730	6734
5707	5707	6731	6728	6725	6724	6726	6730	6734	6737

At 5 Year

5482	5307	5090	4911	4911	5025	5333	5752	6297	5391
5369	5133	4856	4538	4580	4695	5085	5609	6281	5379
5248	4900	4672	4296	4231	4267	4738	5399	6248	5357
5179	4878	4463	4021	3587	3333	4354	5092	6206	5330
5146	4859	4385	3885	3626	2823	4149	4832	6146	5301
5144	4884	4397	4167	3859	3555	4343	5000	5777	6208
5125	4907	4564	4313	4040	3931	4576	5085	5683	6018
5158	4911	4279	4326	4105	4115	4739	5153	5657	5934
5229	4969	4425	4360	3979	4205	4882	5310	5696	5912
5334	5174	4829	4451	4315	4386	5044	5458	5756	5924
5440	5383	5108	4564	4505	4851	5286	5618	5820	5957
5734	5645	5449	5180	5479	5242	5522	5786	5968	6068
5974	5888	5748	5577	5103	5455	5702	5936	6093	6173
6144	6085	5985	5855	5707	5405	5833	6068	6206	6272
6284	6243	6174	6079	5978	5889	6054	6209	6312	6362
6398	6368	6319	6256	6197	6169	6246	6338	6406	6441
6491	6464	6429	6389	6356	6349	6388	6440	6483	6506
6578	6535	6506	6481	6464	6462	6483	6513	6540	6555
5664	6581	6553	6537	6528	6528	6541	6560	6578	6588
5667	5663	6571	6563	6537	6559	6568	6582	6596	6604

At 10 Year

3594	3443	3263	3146	3237	3461	3900	4495	5542	4722
3495	3291	3049	2792	2931	3152	3649	4328	5524	4708
3394	3104	2895	2587	2634	2782	3301	4074	5489	4681
3333	3071	2709	1945	2048	1974	2912	3722	5437	4643
3307	3055	2640	2179	2007	1518	2648	3387	5344	4596
3312	3081	2631	2373	2062	1795	2657	3460	4509	5402
3302	3094	2540	2213	2071	1683	2705	3440	4258	4751
3353	3101	2413	2446	2155	2062	2868	3445	4150	4544
3460	3190	2622	2525	2024	2231	3067	3647	4177	4479
3622	3450	3074	2642	2448	2582	3324	3860	4269	4506
3804	3744	3423	2820	2730	3114	3653	4101	4393	4590
4240	4126	3858	3471	3335	3542	3975	4366	4640	4790
4637	4519	4284	3919	3236	3897	4255	4629	4876	5001
4990	4892	4706	4435	4111	3782	4529	4890	5108	5212
5317	5238	5096	4906	4722	4664	4929	5173	5336	5416
5621	5551	5436	5300	5186	5164	5289	5436	5545	5602
5909	5831	5725	5615	5532	5514	5572	5654	5723	5760
6286	6079	5959	5853	5779	5753	5775	5818	5860	5884
5412	6300	6138	6016	5937	5902	5905	5927	5952	5968
5421	5413	6290	6105	6016	5975	5968	5981	5999	6010

At 20 Year

1645	1574	1522	1556	1751	2053	2532	3219	4336	3656
1571	1467	1367	1307	1531	1830	2351	3150	4315	3639
1505	1365	1301	1241	1382	1638	2126	3085	4273	3607
1452	1323	1191	876	959	1115	1880	2975	4207	3559
1418	1291	1082	925	891	740	1728	2707	4080	3503
1409	1296	1028	996	919	856	1595	2354	3614	4153
1383	1288	936	881	917	801	1540	2102	2830	3379
1418	1282	796	989	948	950	1543	1909	2528	2871
1510	1364	1041	1067	839	1021	1613	1991	2404	2650
1647	1573	1390	1136	1064	1346	1752	2082	2363	2543
1811	1813	1656	1306	1260	1567	1911	2200	2359	2510
2185	2140	1987	1743	1625	1787	2094	2376	2566	2680
2533	2506	2350	2077	1388	1927	2279	2581	2777	2877
2979	2914	2759	2519	2216	1904	2502	2818	3005	3094
3416	3338	3189	2985	2779	2671	2894	3107	3250	3321
3856	3769	3613	3428	3264	3192	3278	3399	3493	3542
4357	4201	4019	3826	3669	3589	3605	3659	3712	3742
5253	4649	4389	4159	3985	3885	3855	3866	3889	3905
4493	5271	4713	4409	4204	4081	4024	4009	4013	4019
4507	4492	5249	4550	4317	4180	4109	4082	4077	4079

ກາຄົມນວກ ຈ

PRESSURE DISTRIBUTION GRAPH OF PROJECT KK60

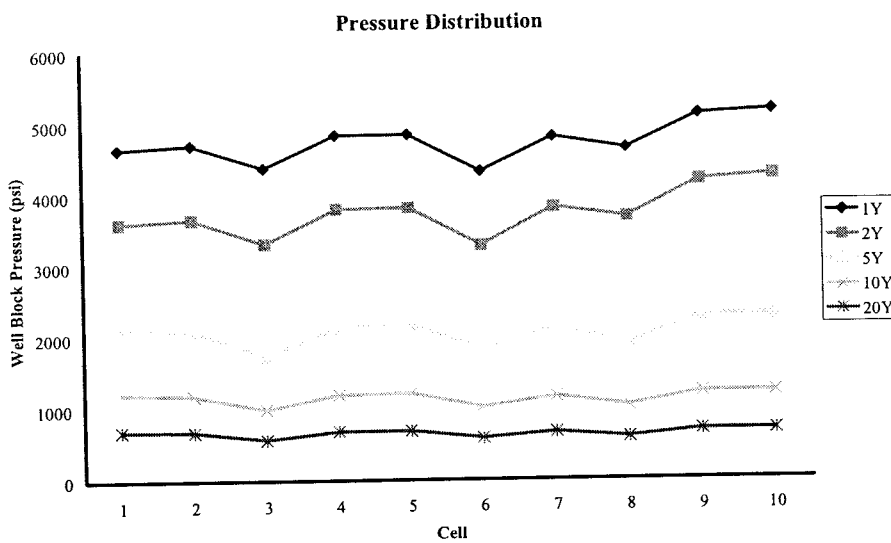


Figure E.1a. Graph Pressure distribution of layer 1 in project kk60 (3 wells)

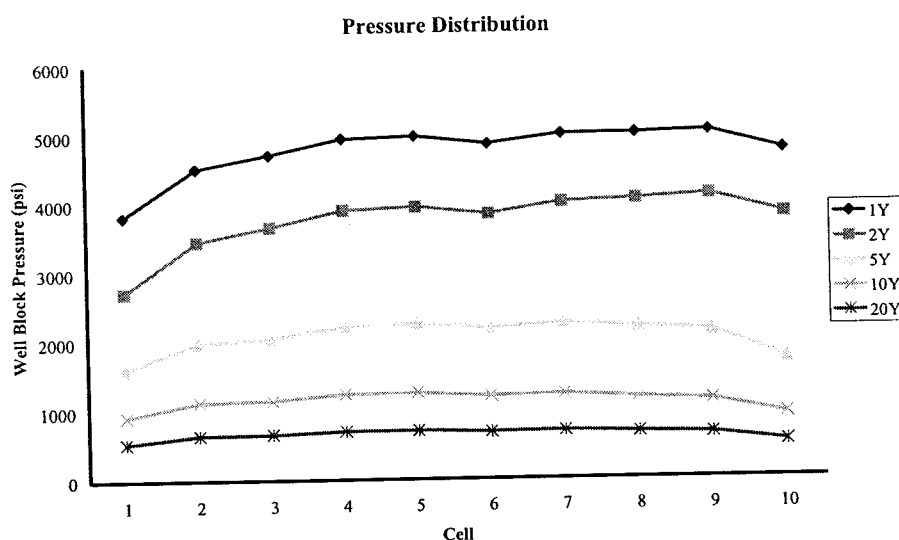


Figure E.1b. Graph Pressure distribution of layer 1 in project kk60 (2 wells)

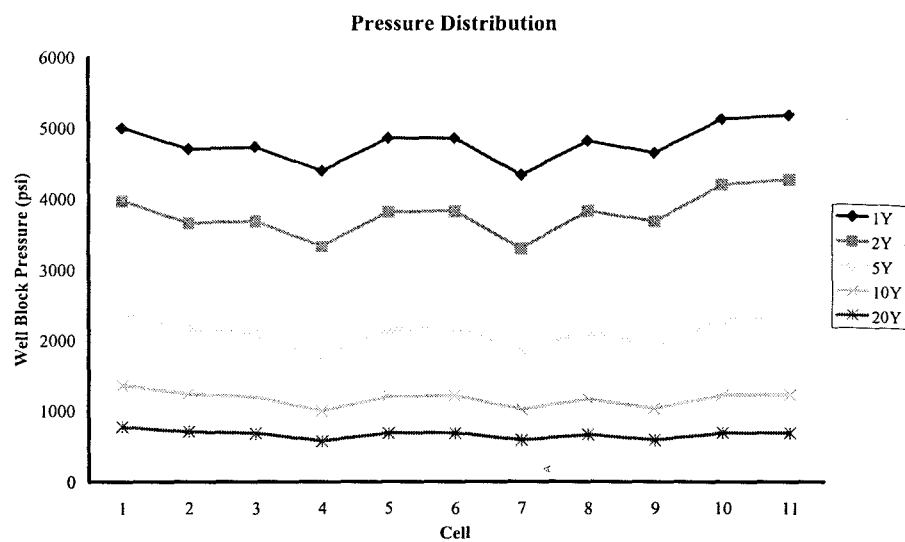


Figure E.2a. Graph Pressure distribution of layer 2 in project kk60 (3 wells)

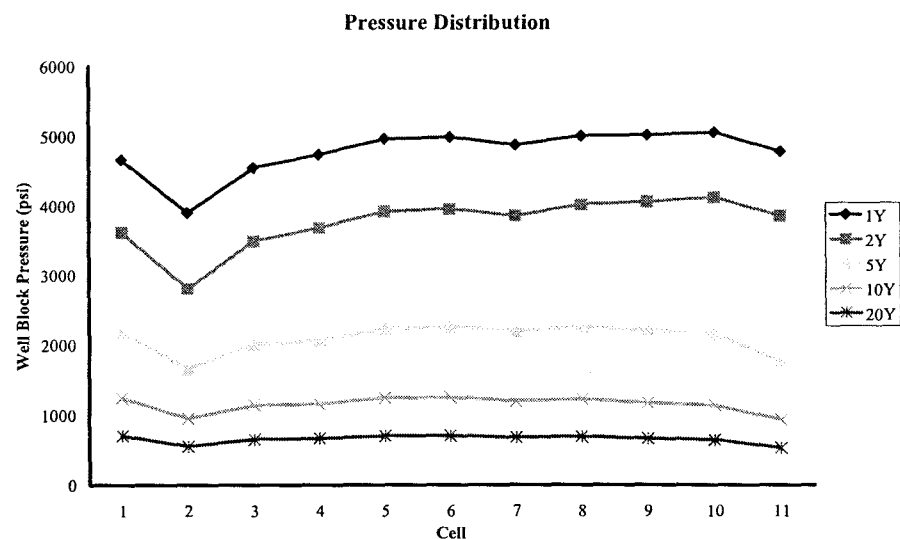


Figure E.2b. Graph Pressure distribution of layer 2 in project kk60 (2 wells)

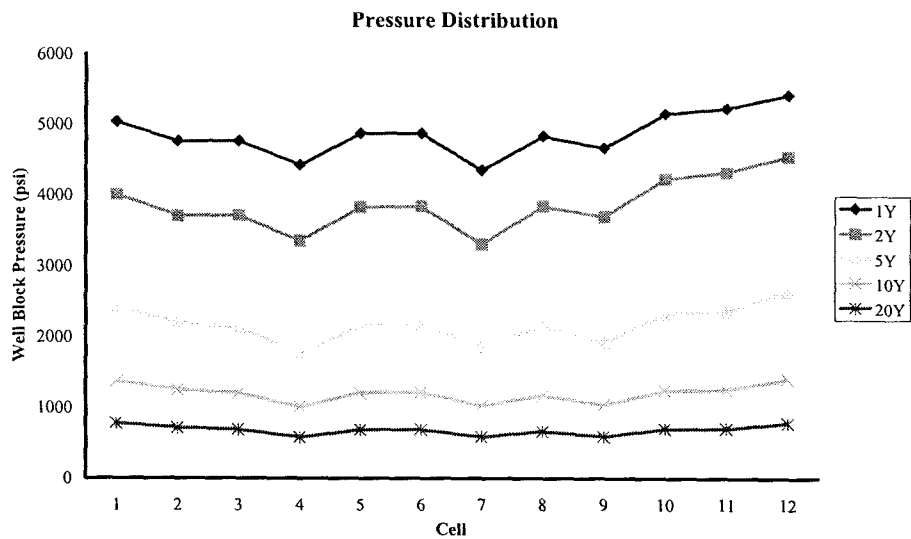


Figure E.3a. Graph Pressure distribution of layer 3 in project kk60 (3 wells)

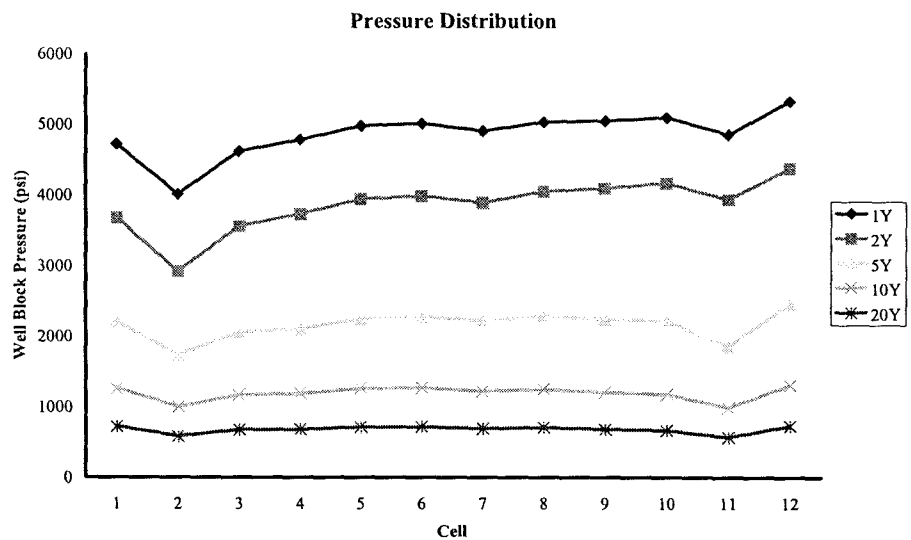


Figure E.3b. Graph Pressure distribution of layer 3 in project kk60 (2 wells)

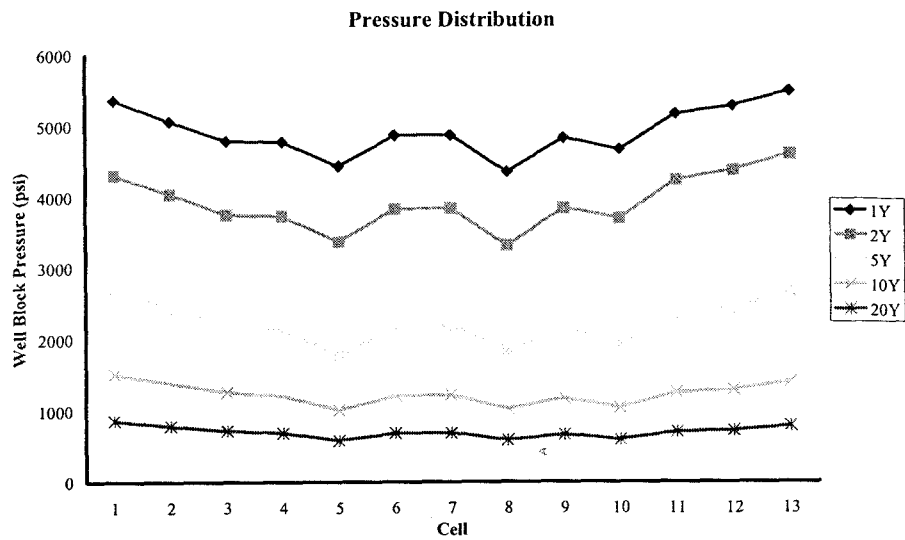


Figure E.4a. Graph Pressure distribution of layer 4 in project kk60 (3 wells)

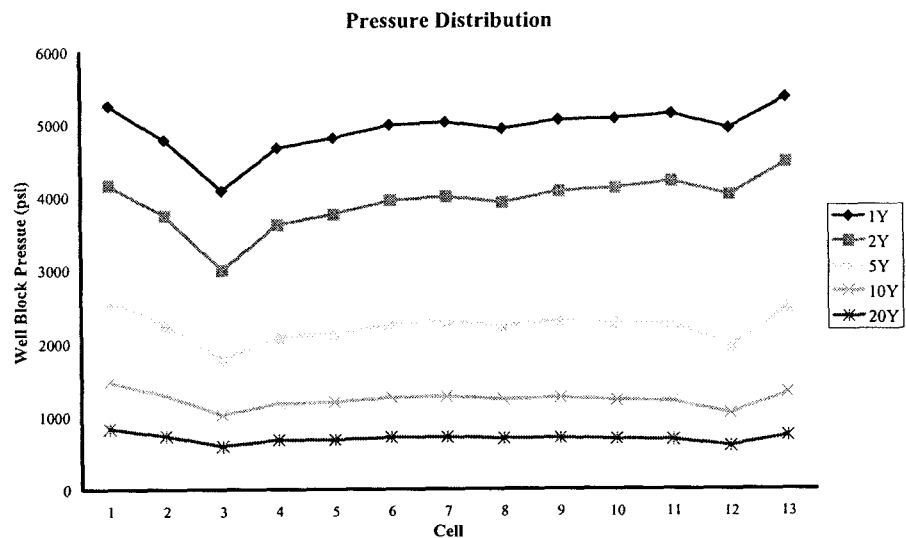


Figure E.4b. Graph Pressure distribution of layer 4 in project kk60 (2 wells)

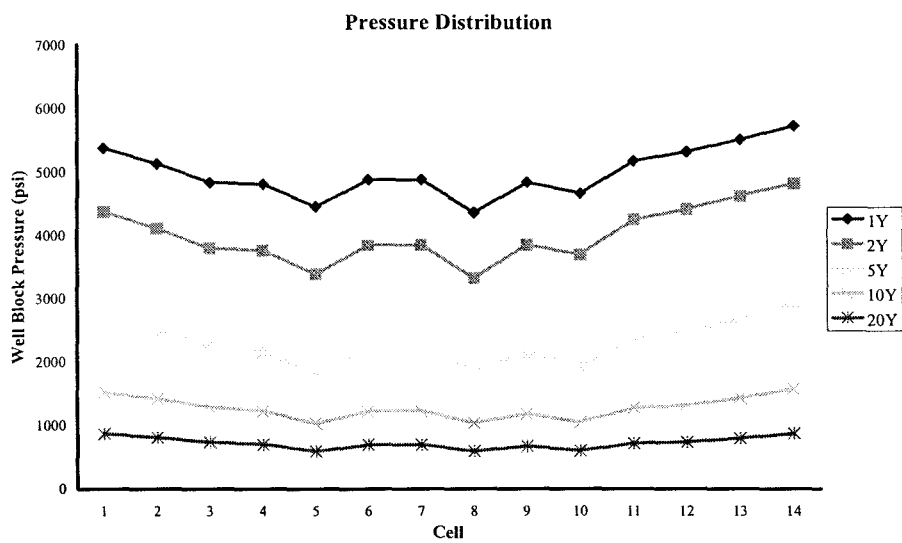


Figure E.5a. Graph Pressure distribution of layer 5 in project kk60 (3 wells)

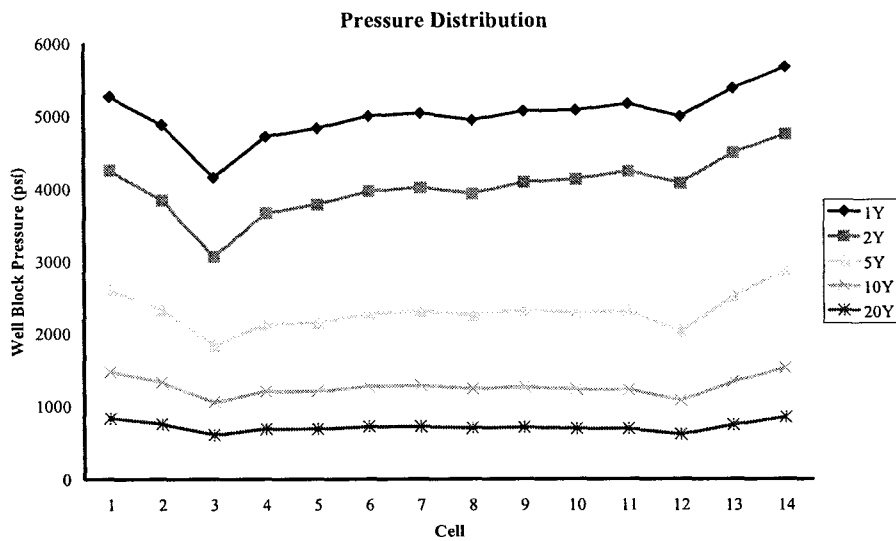


Figure E.5b. Graph Pressure distribution of layer 5 in project kk60 (2 wells)

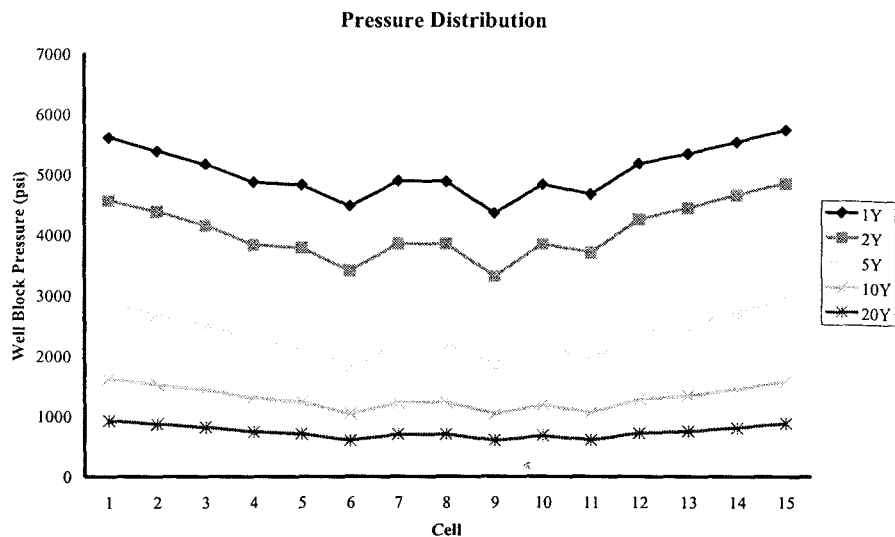


Figure E.6a. Graph Pressure distribution of layer 6 in project kk60 (3 wells)

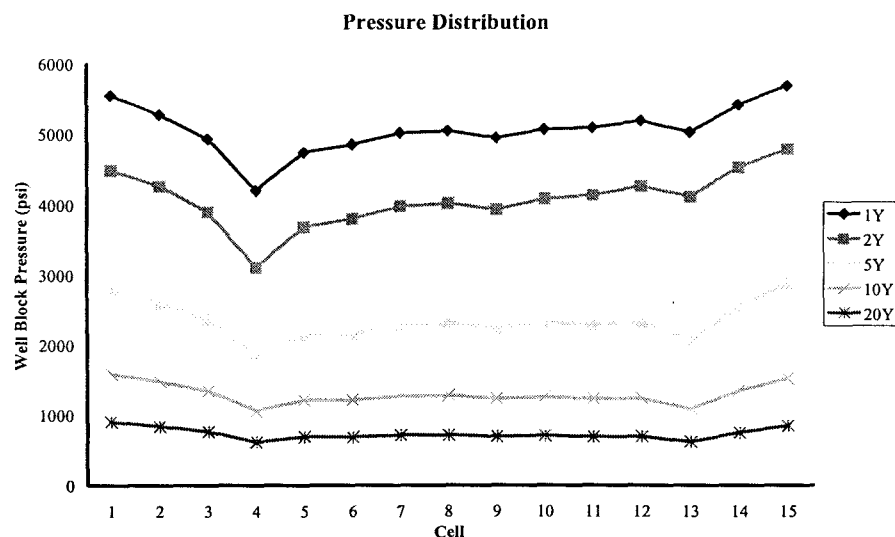


Figure E.6b. Graph Pressure distribution of layer 6 in project kk60 (2 wells)

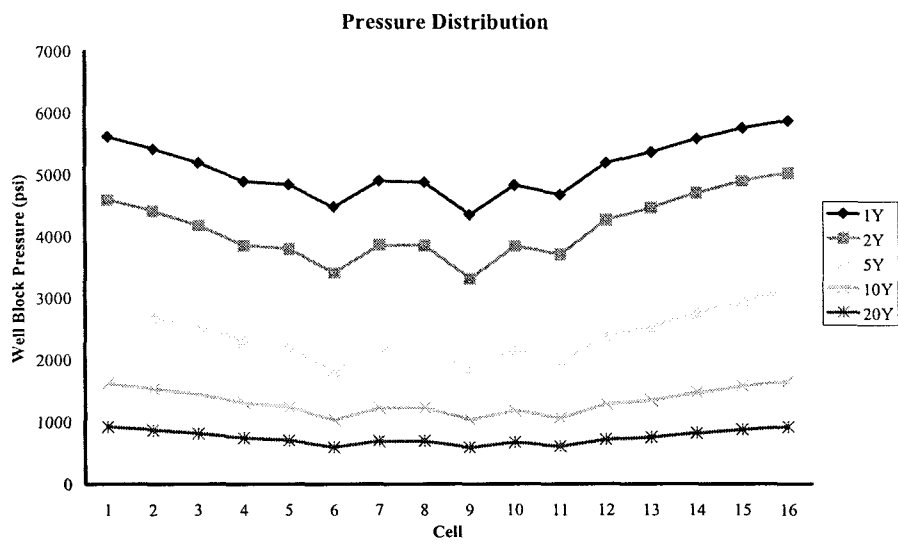


Figure E.7a. Graph Pressure distribution of layer 7 in project kk60 (3 wells)

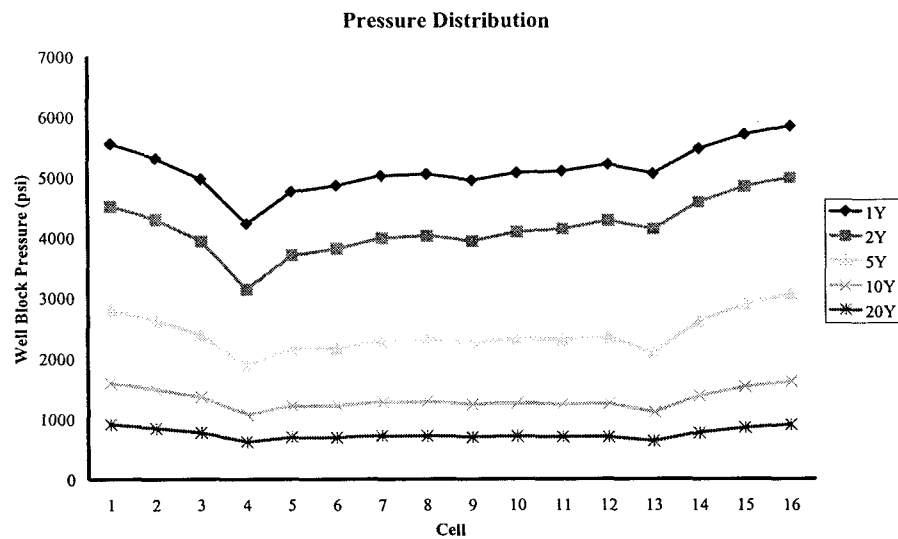


Figure E.7b. Graph Pressure distribution of layer 7 in project kk60 (2 wells)

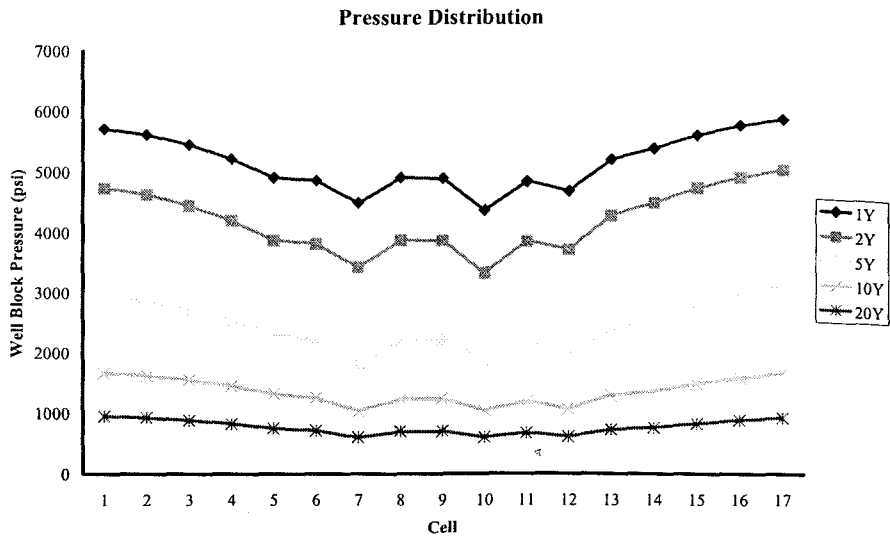


Figure E.8a. Graph Pressure distribution of layer 8 in project kk60 (3 wells)

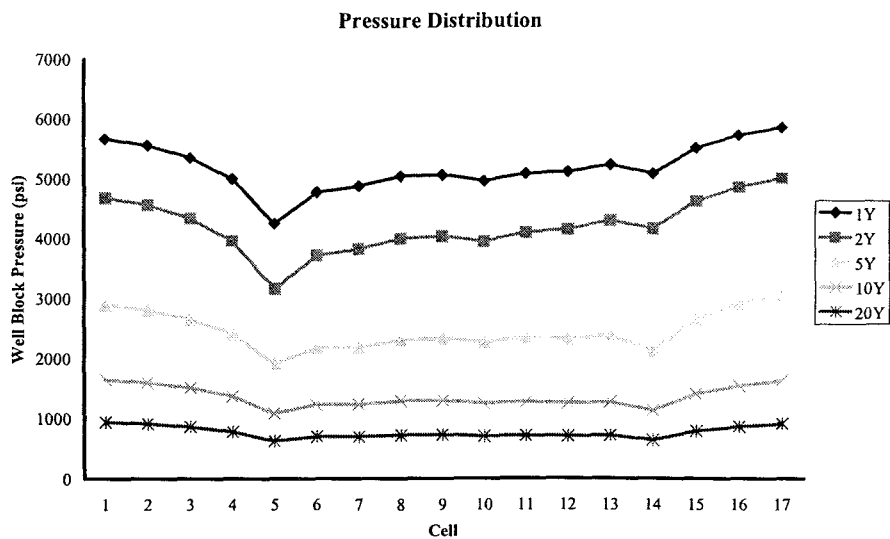


Figure E.8b. Graph Pressure distribution of layer 8 in project kk60 (2 wells)

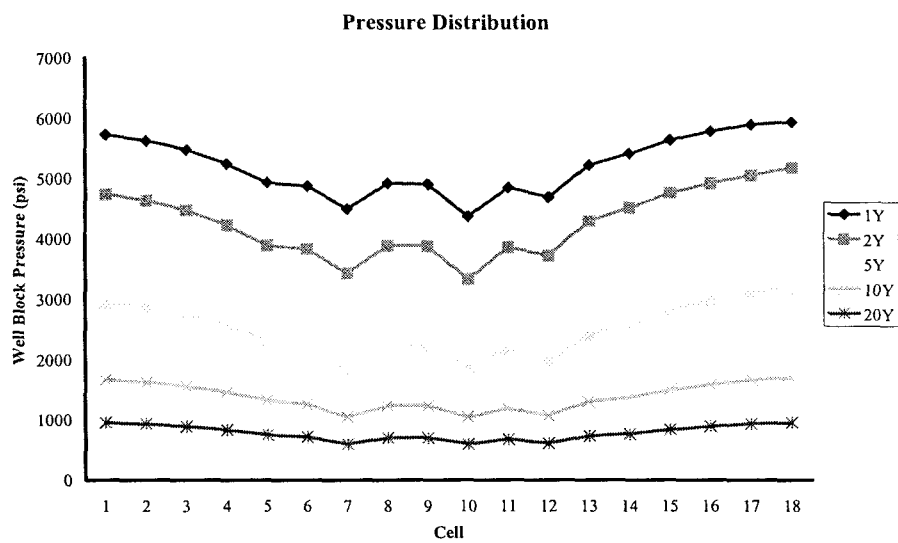


Figure E.9a. Graph Pressure distribution of layer 9 in project kk60 (3 wells)

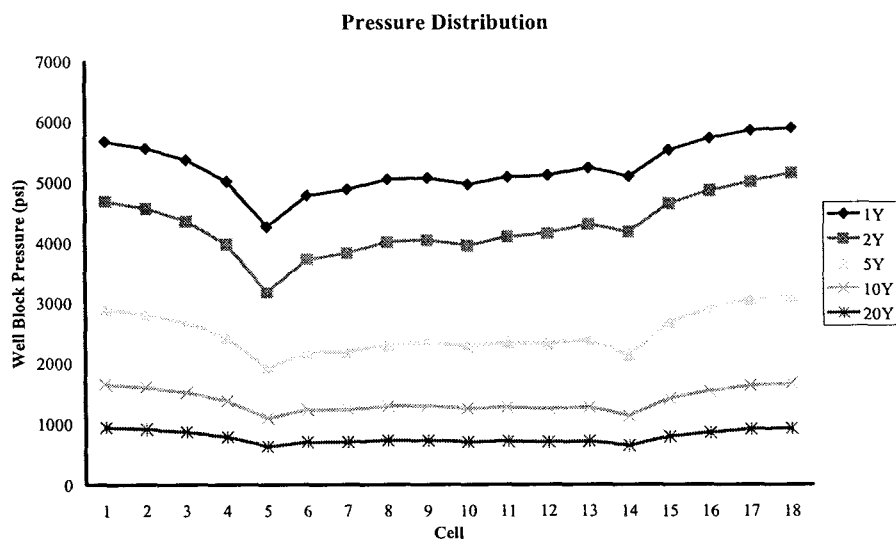


Figure E.9b. Graph Pressure distribution of layer 9 in project kk60 (2 wells)

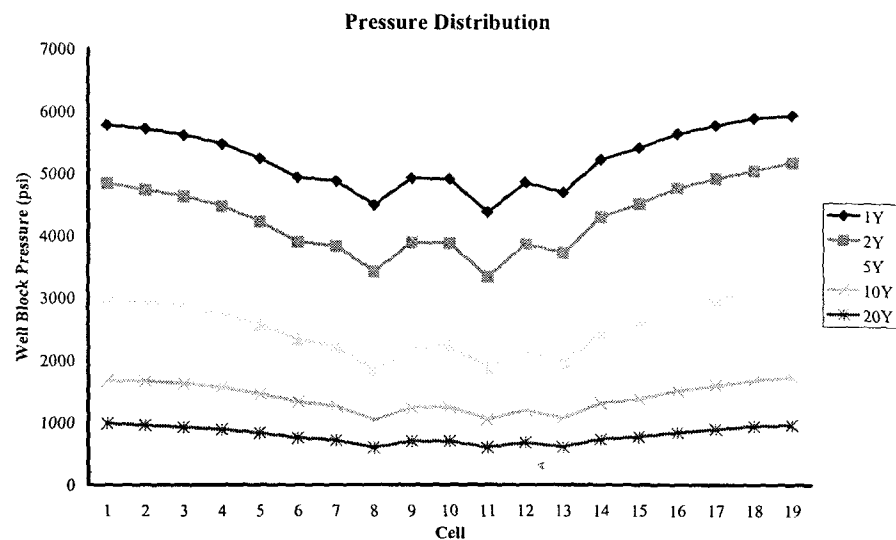


Figure E.10a. Graph Pressure distribution of layer 10 in project kk60 (3 wells)

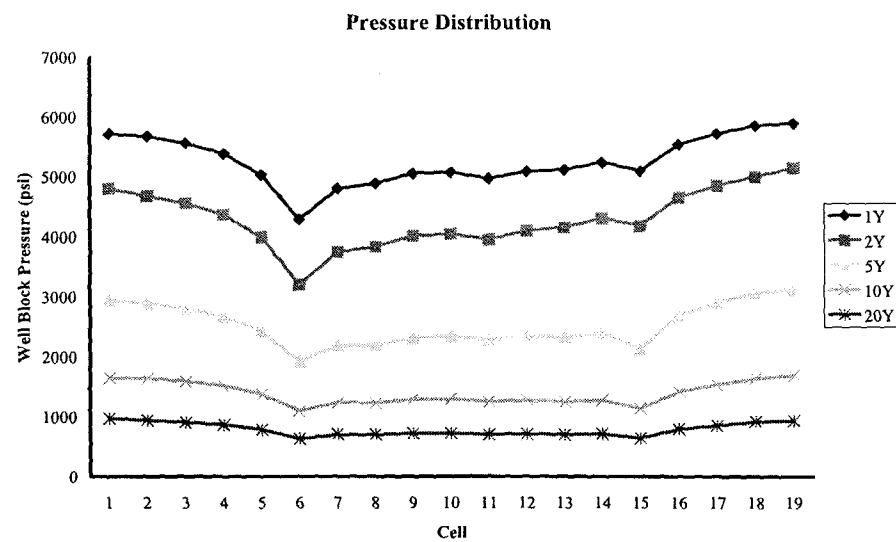


Figure E.10b. Graph Pressure distribution of layer 10 in project kk60 (2 wells)

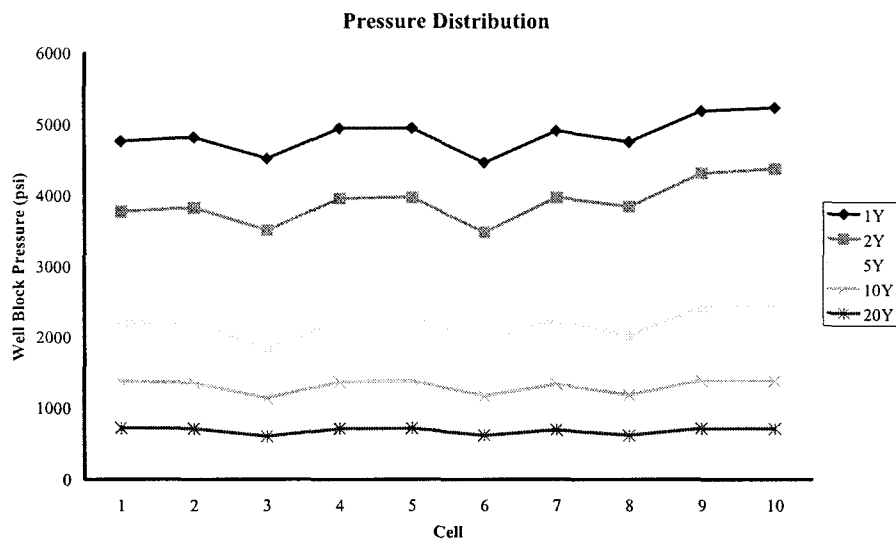


Figure E.11a. Graph Pressure distribution of layer 1 (3 wells)

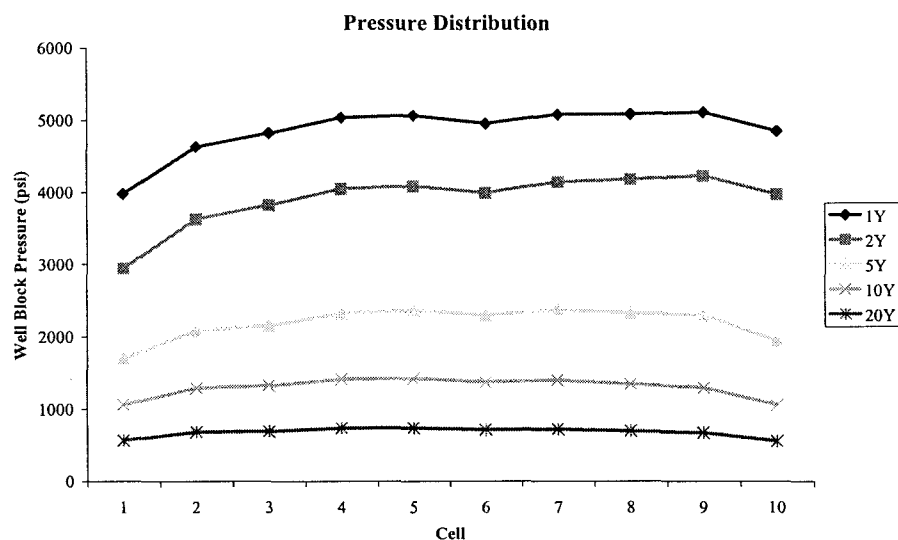


Figure E.11b. Graph Pressure distribution of layer 1 (2 wells)

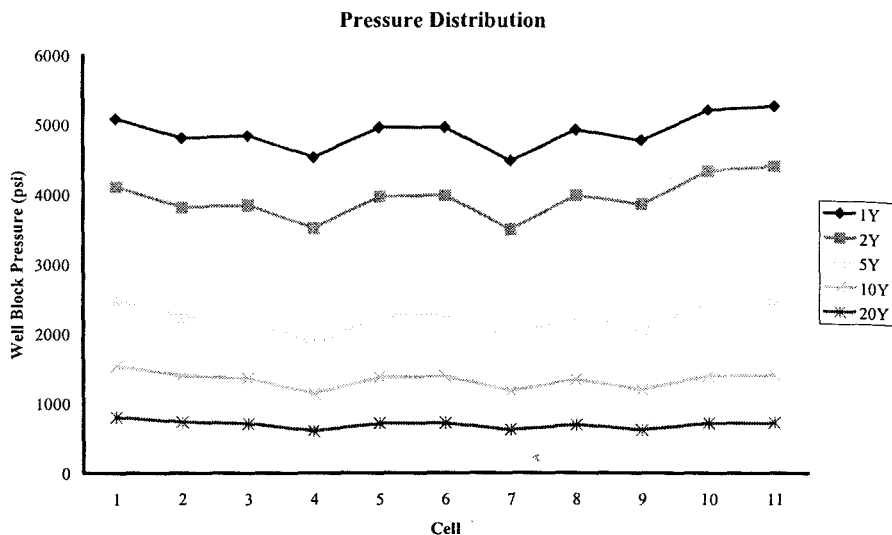


Figure E.12a. Graph Pressure distribution of layer 2 (3 wells)

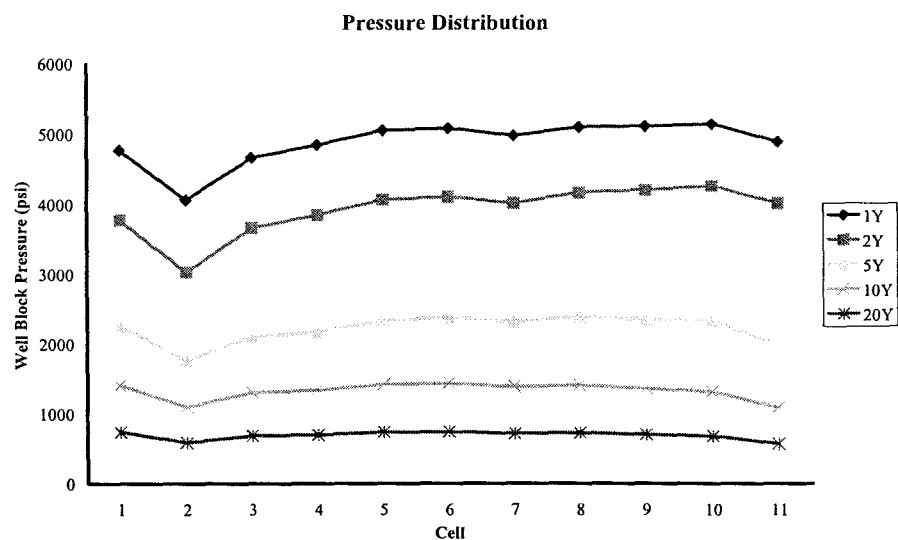


Figure E.12b. Graph Pressure distribution of layer 2 (2 wells)

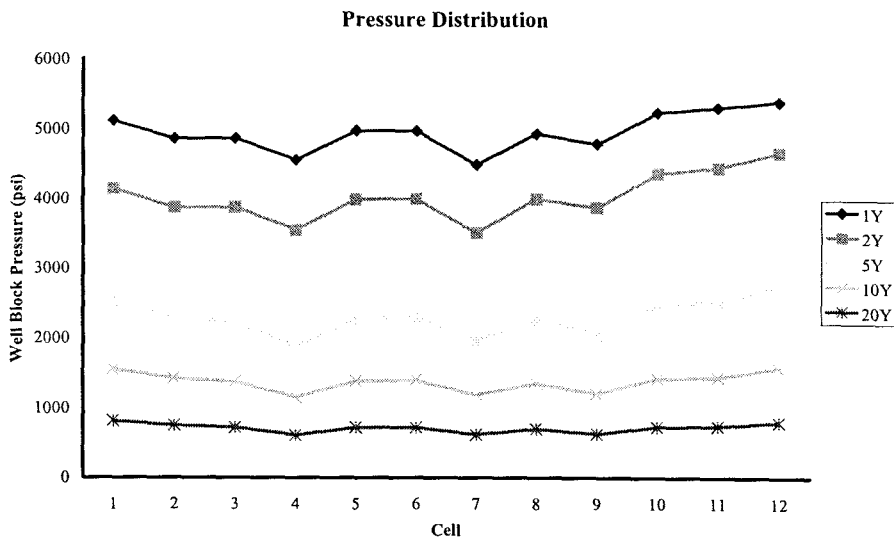


Figure E.13a. Graph Pressure distribution of layer 3 (3 wells)

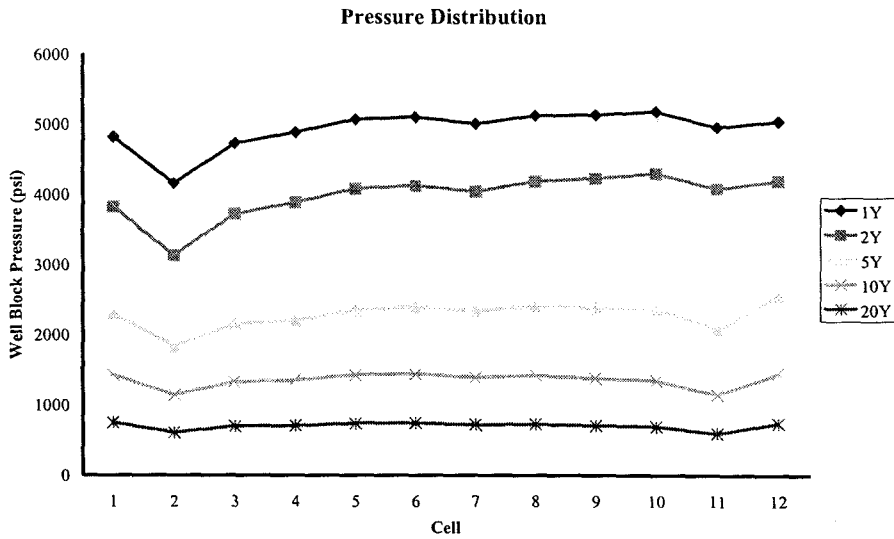


Figure E.13b. Graph Pressure distribution of layer 3 (2 wells)

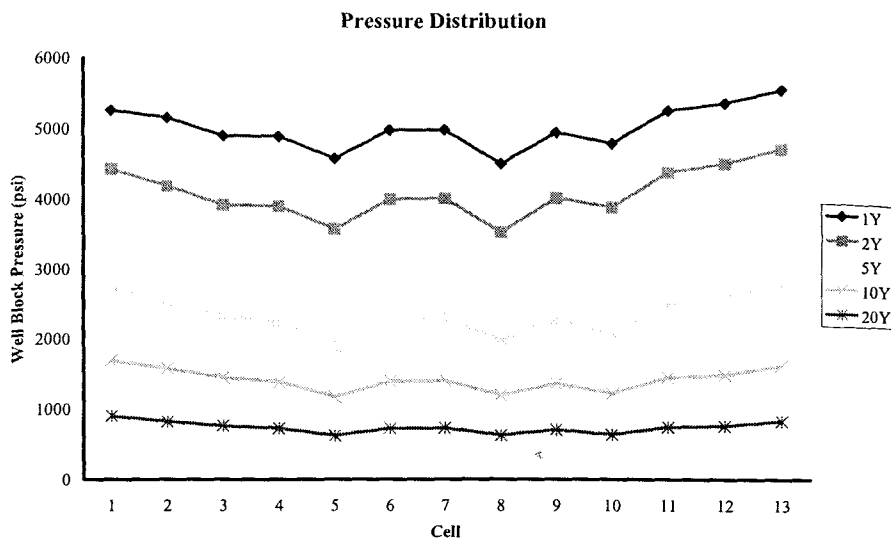


Figure E.14a. Graph Pressure distribution of layer 4 (3 wells)

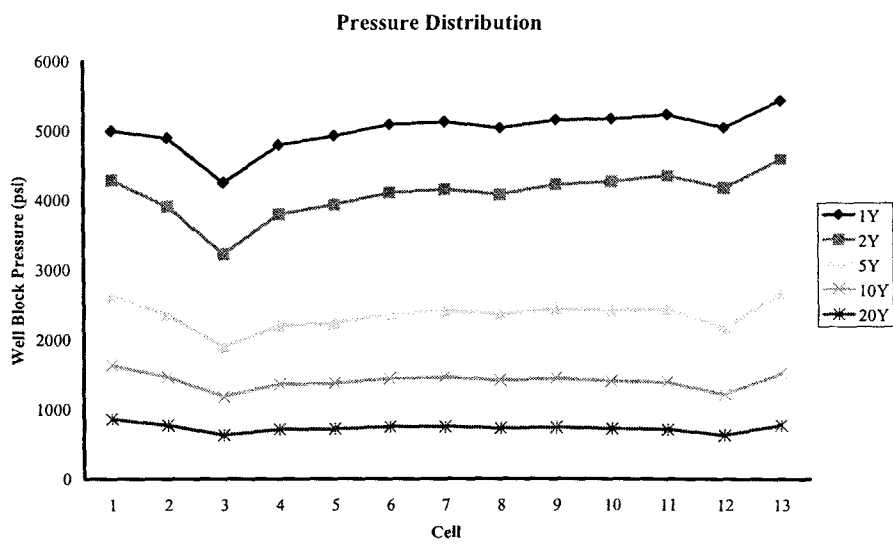


Figure E.14b. Graph Pressure distribution of layer 4 (2 wells)

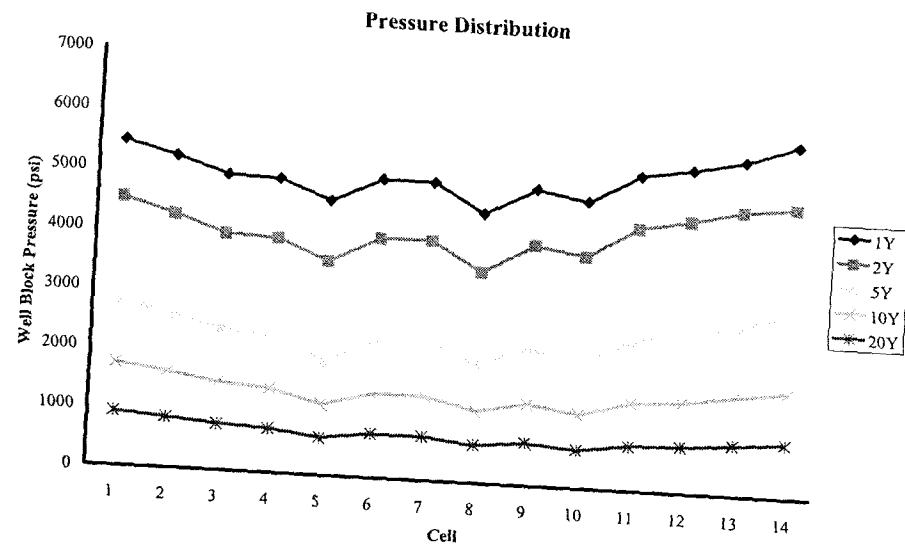


Figure E.15a. Graph Pressure distribution of layer 5 (3 wells)

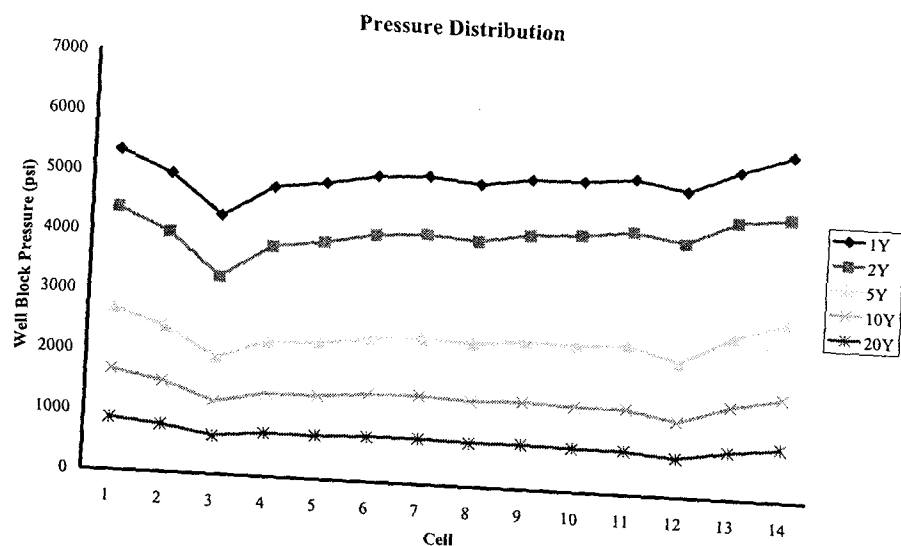


Figure E.15b. Graph Pressure distribution of layer 5 (2 wells)

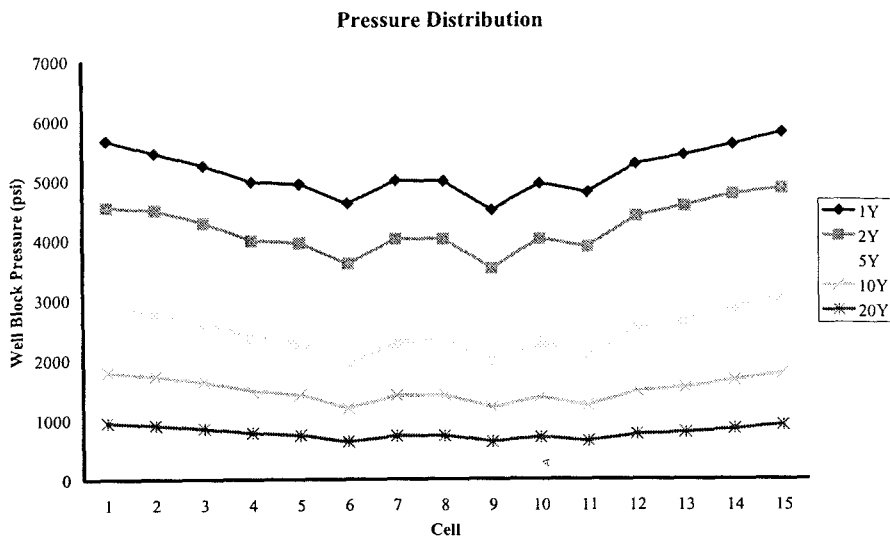


Figure E.16a. Graph Pressure distribution of layer 6 (3 wells)

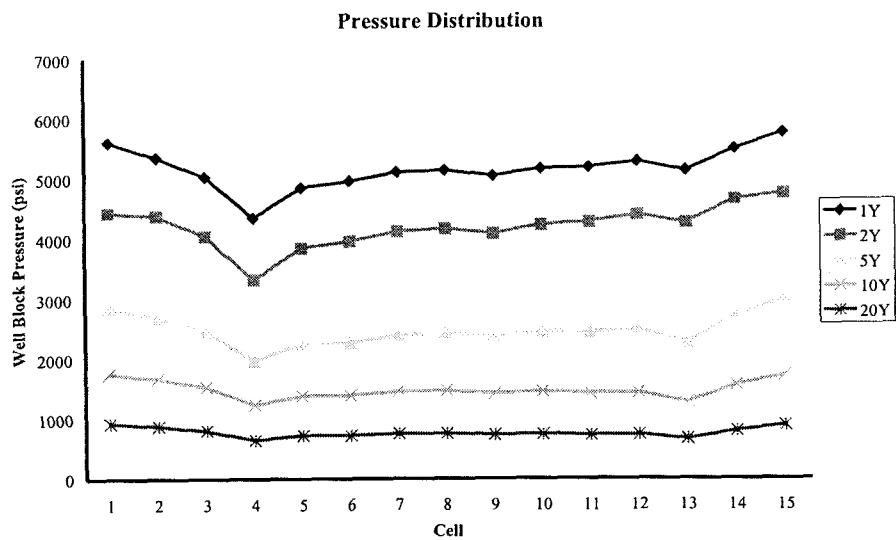


Figure E.16b. Graph Pressure distribution of layer 6 (2 wells)

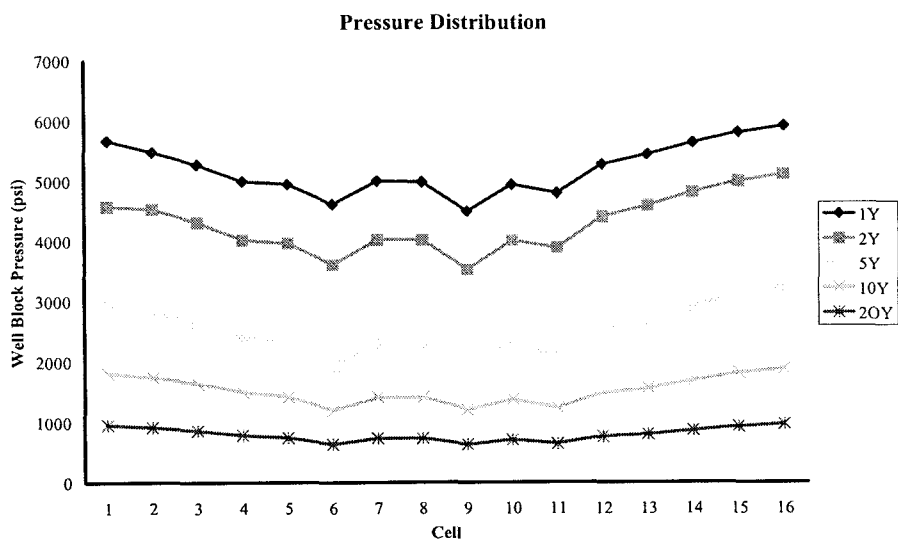


Figure E.17a. Graph Pressure distribution of layer 7 (3 wells)

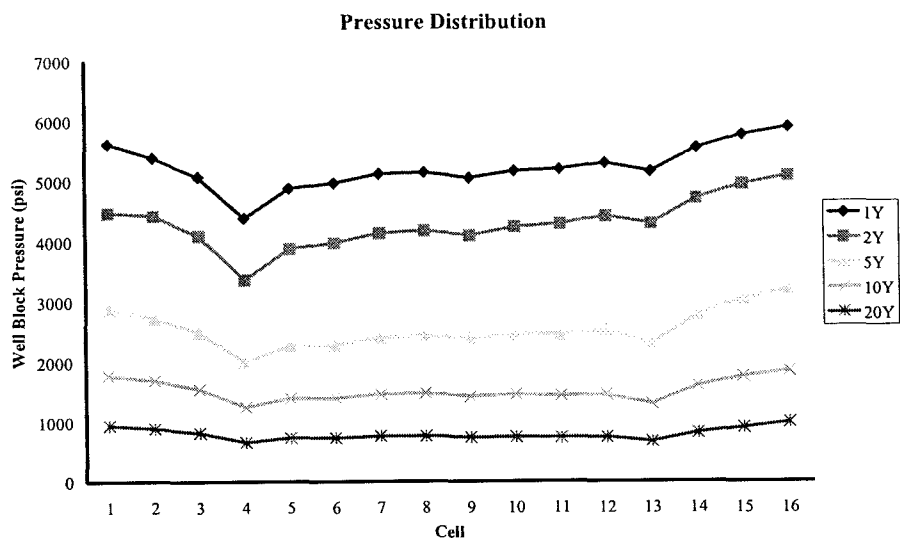


Figure E.17b. Graph Pressure distribution of layer 7 (2 wells)

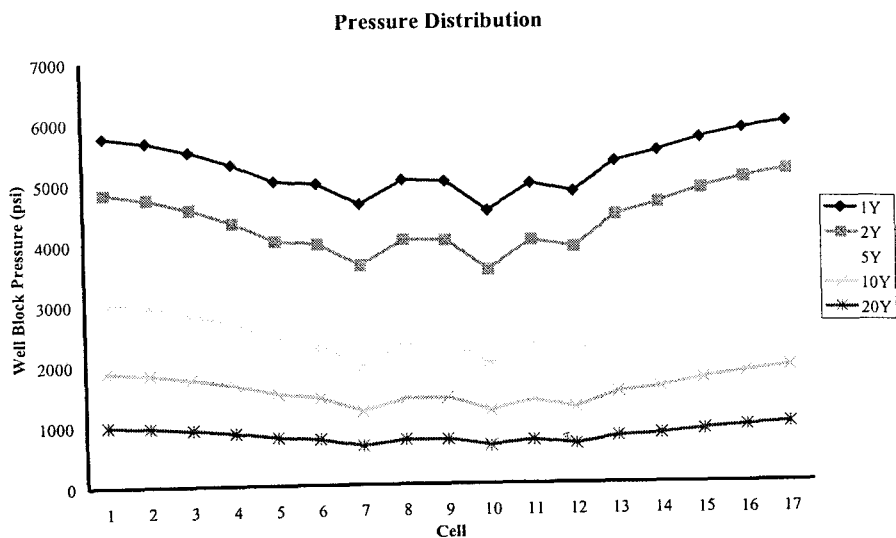


Figure E.18a. Graph Pressure distribution of layer 8 (3 wells)

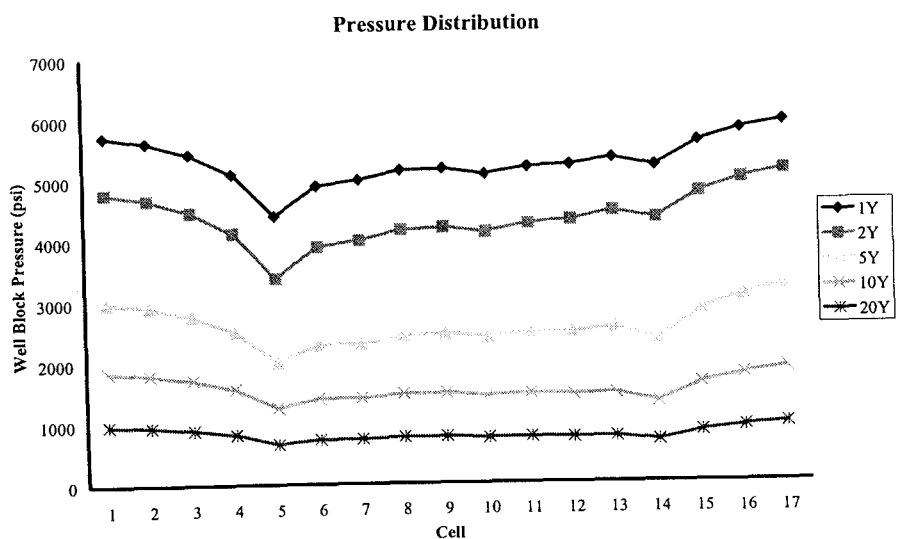


Figure E.18b. Graph Pressure distribution of layer 8 (2 wells)

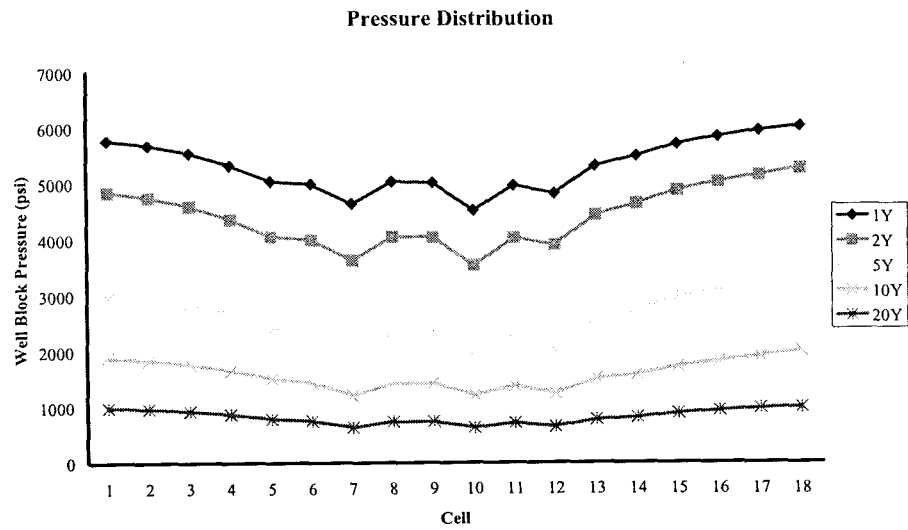


Figure E.19a. Graph Pressure distribution of layer 9 (3 wells)

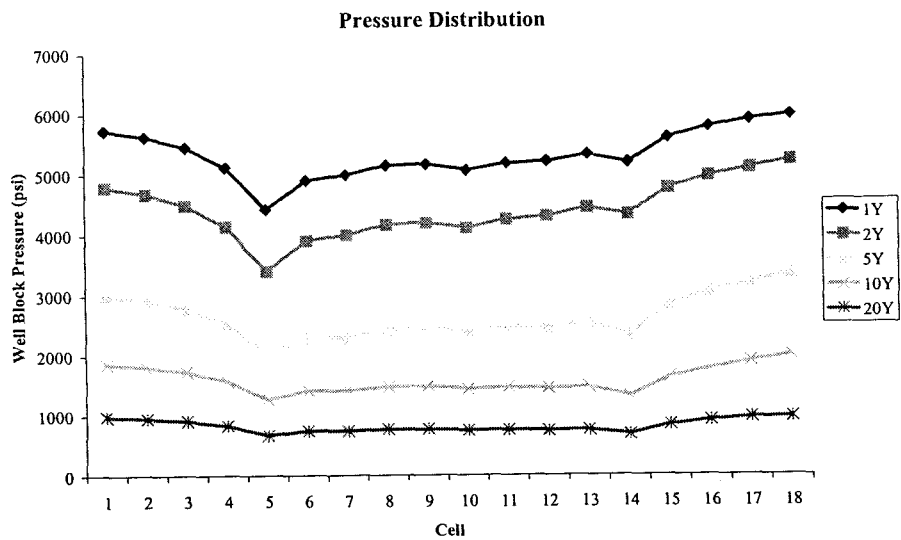


Figure E.19b. Graph Pressure distribution of layer 9 (2 wells)

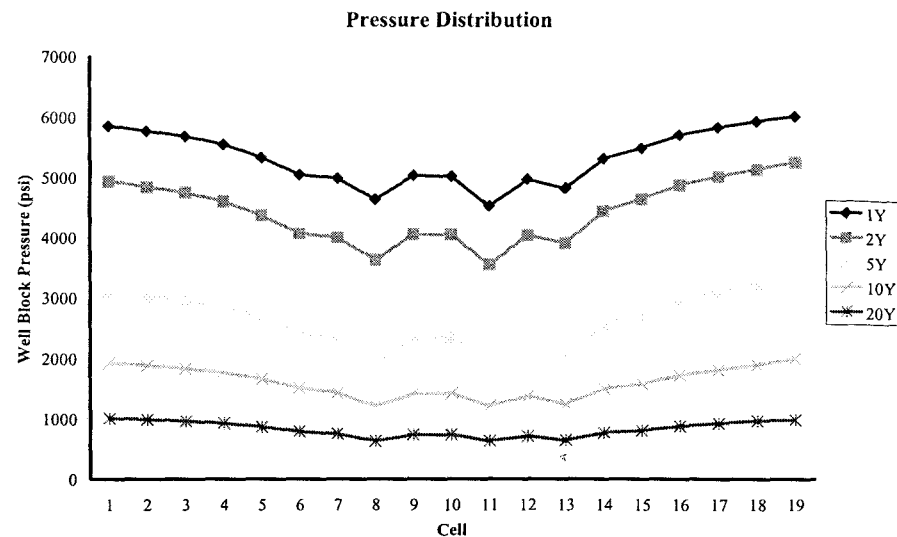


Figure E.20a. Graph Pressure distribution of layer 10 (3 wells)

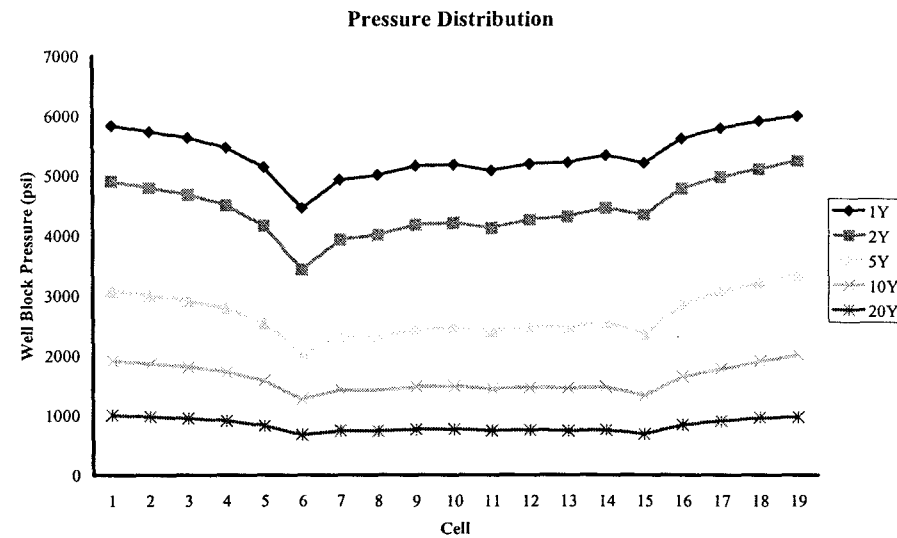


Figure E.20b. Graph Pressure distribution of layer 10 (2 wells)

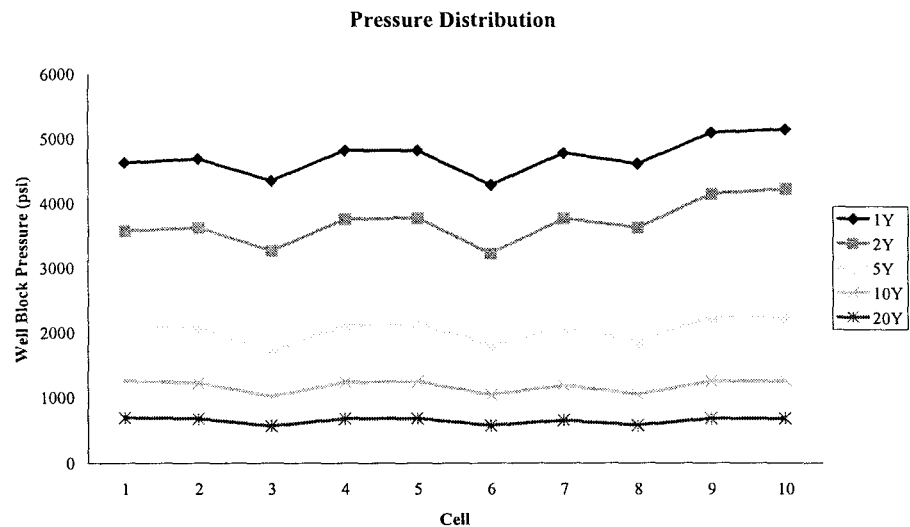


Figure E.21a Pressure distribution of layer 1 (3 wells) at various times.

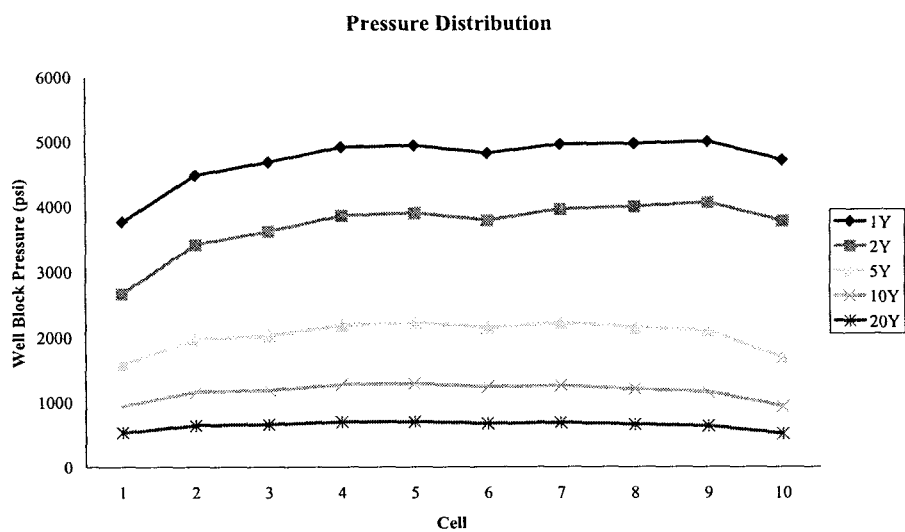


Figure E.21b Pressure distribution of layer 1 (2 wells) at various times.

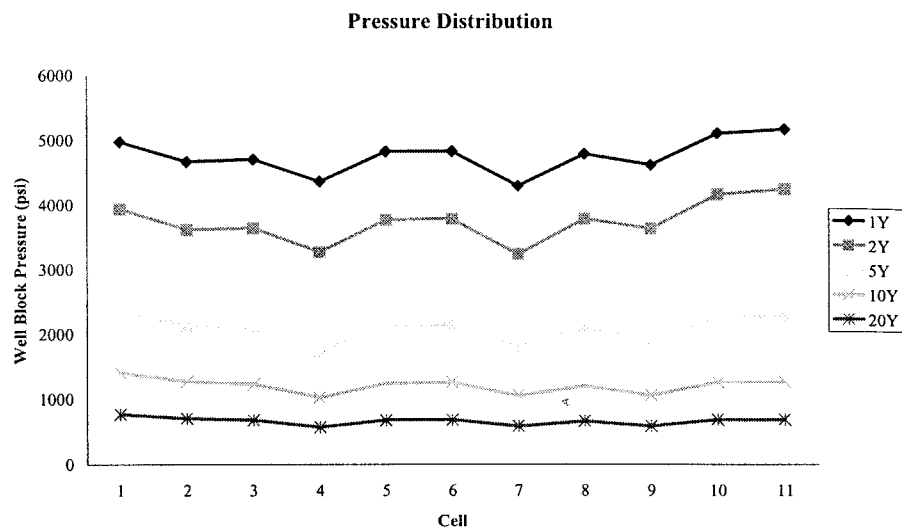


Figure E.22a Pressure distribution of layer 2 (3 wells) at various times.

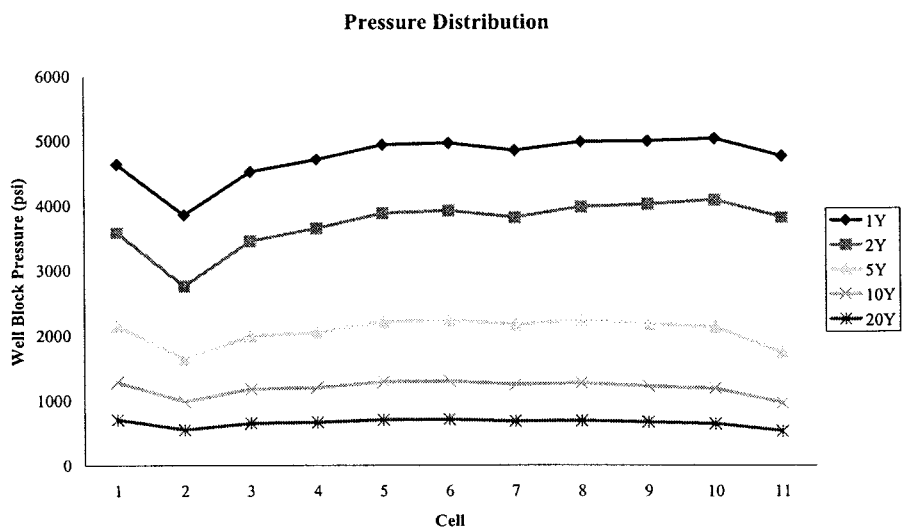


Figure E.22b Pressure distribution of layer 2 (2 wells) at various times.

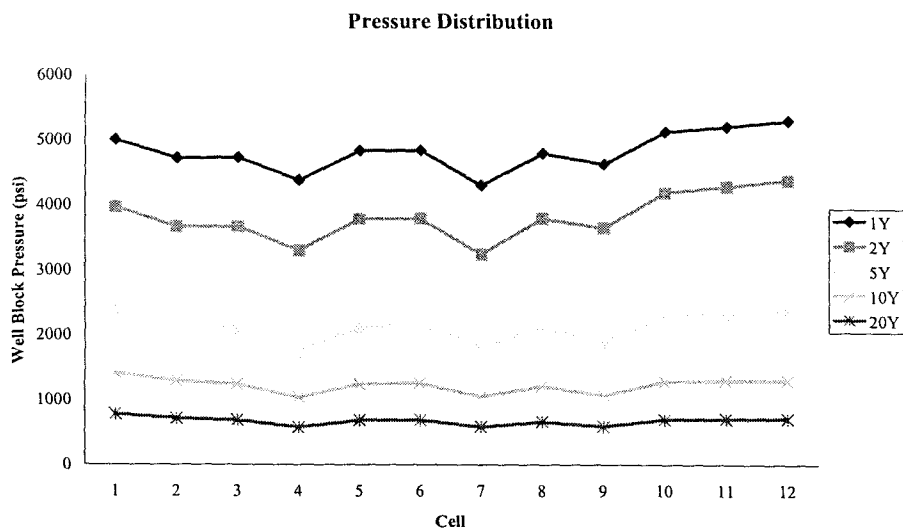


Figure E.23a Pressure distribution of layer 3 (3 wells) at various times.

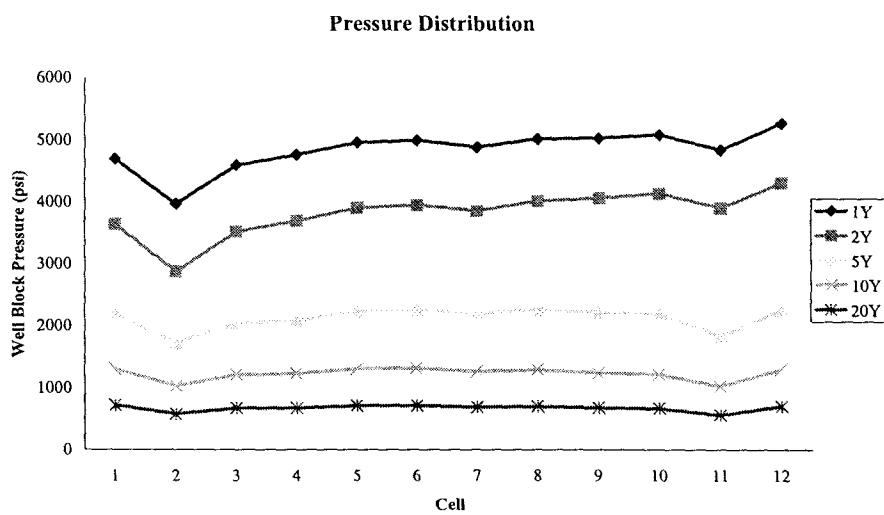


Figure E.23b Pressure distribution of layer 3 (2 wells) at various times.

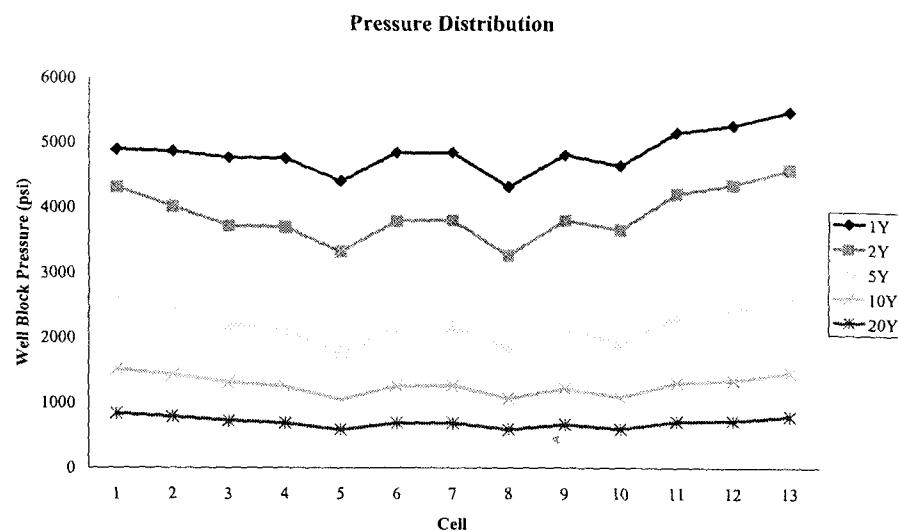


Figure E.24a Pressure distribution of 4 (3 wells) at various times.

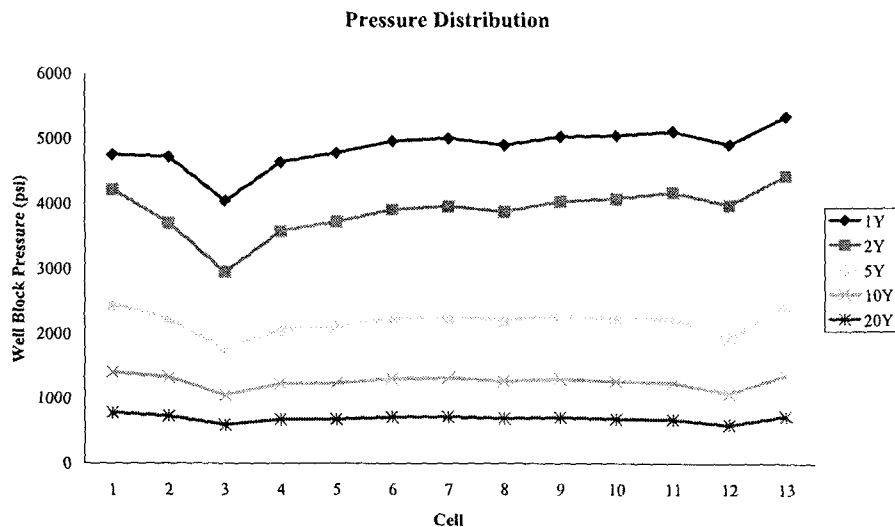


Figure E.24b Pressure distribution of 4 (2 wells) at various times.

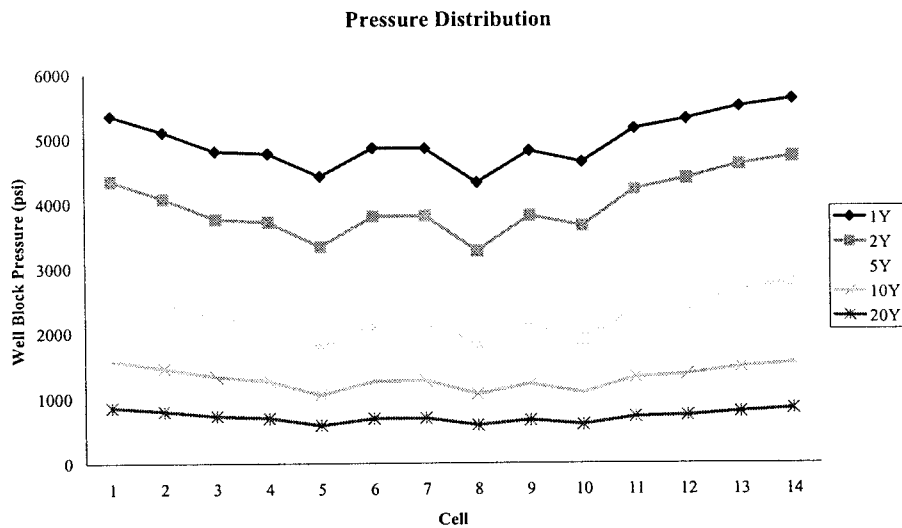


Figure E.25a Pressure distribution of layer 5 (3 wells) at various times.

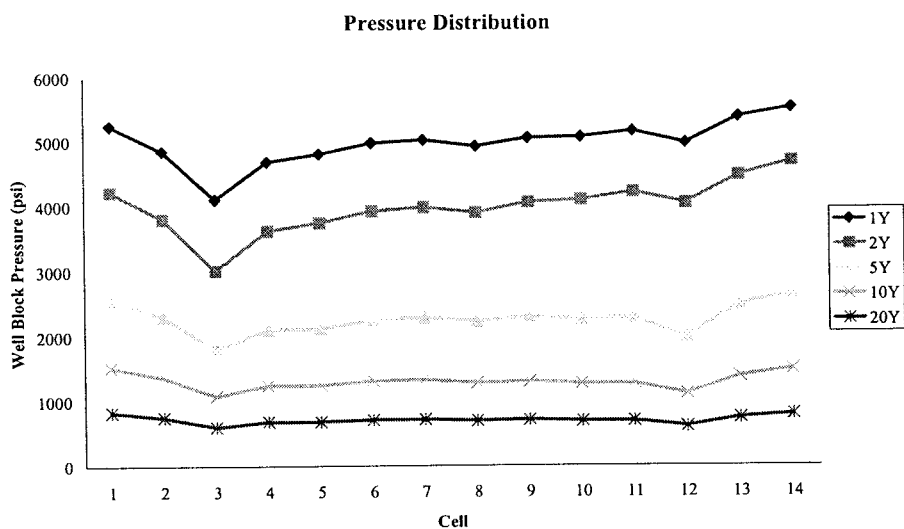


Figure E.25b Pressure distribution of layer 5 (2 wells) at various times.

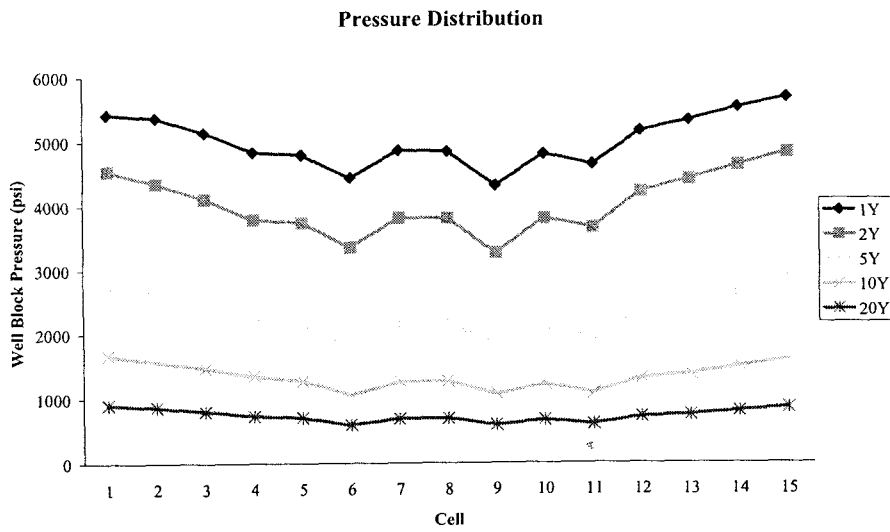


Figure E.26a Pressure distribution of layer 6 (3 wells) at various times.

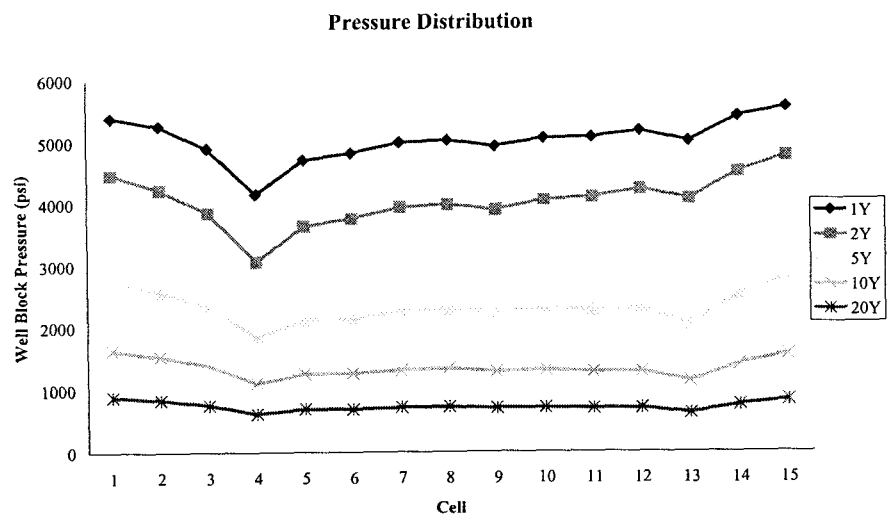


Figure E.26b Pressure distribution of layer 6 (2 wells) at various times.

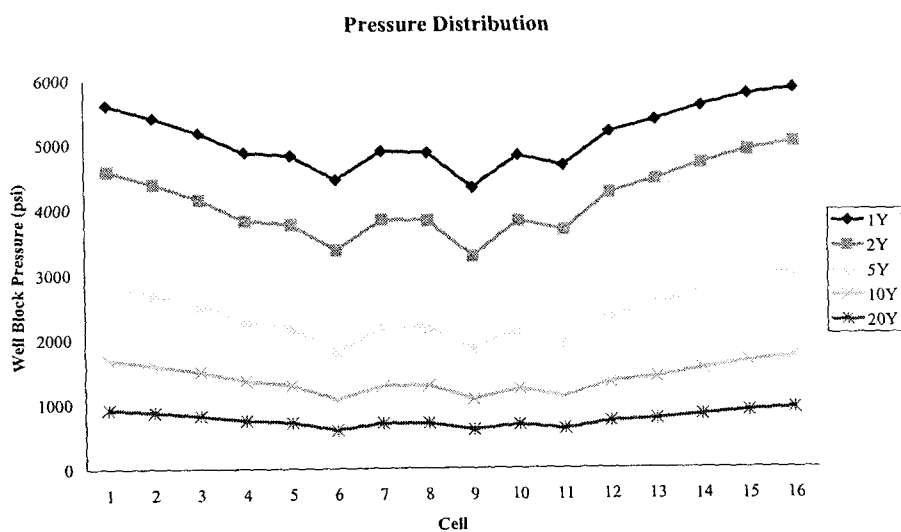


Figure E.27a Pressure distribution of layer 7 (3 wells) at various times.

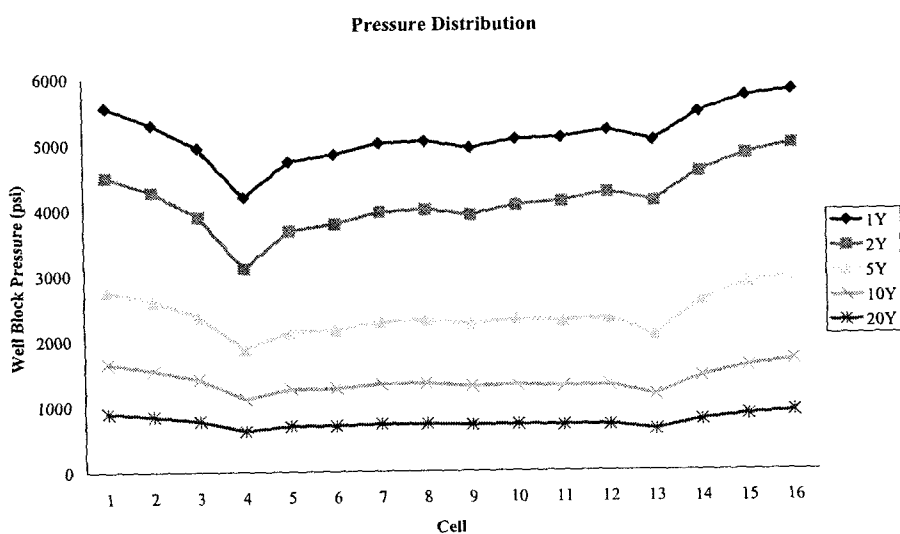


Figure E.27b Pressure distribution of layer 7 (2 wells) at various times.

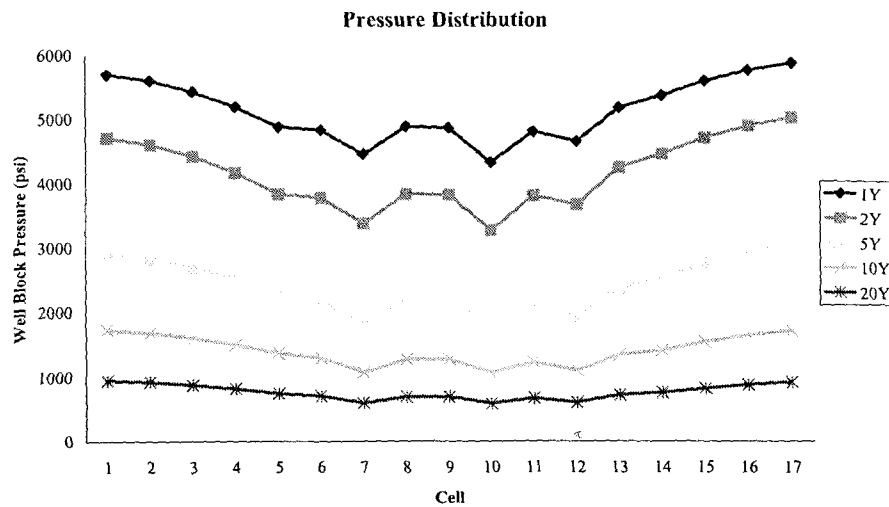


Figure E.28a Pressure distribution of layer 8 (3 wells) at various times.

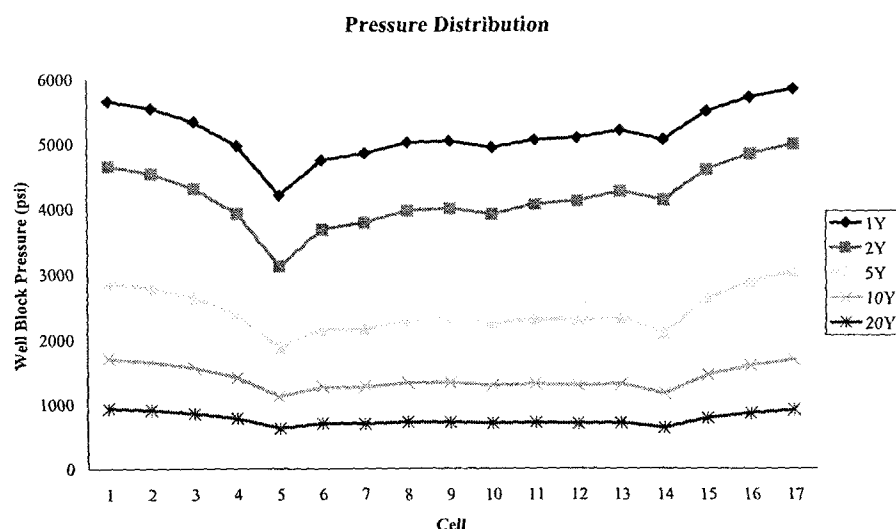


Figure E.28b Pressure distribution of layer 8 (2 wells) at various times.

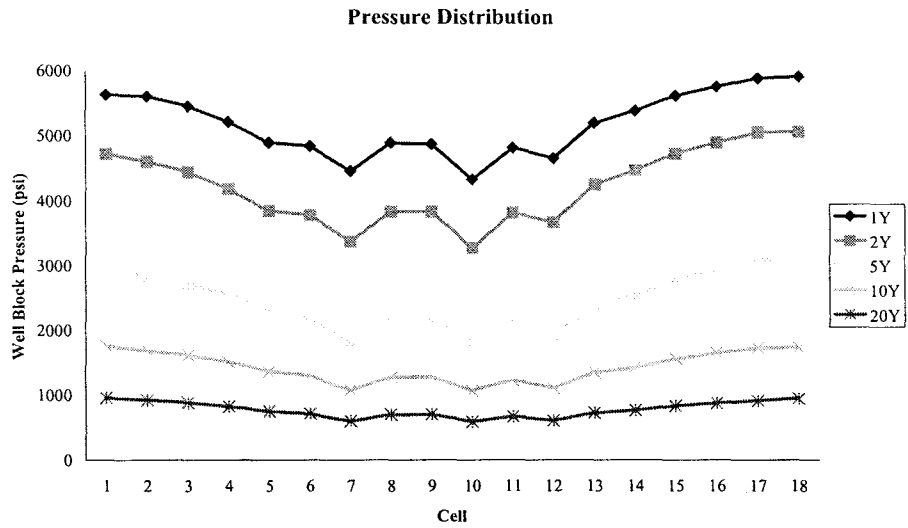


Figure E.29a Pressure distribution of layer 9 (3 wells) at various times.

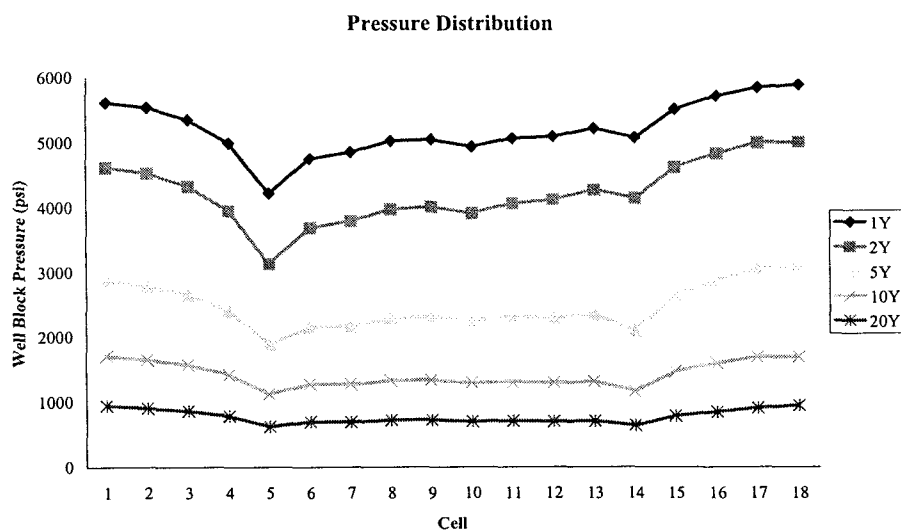


Figure E.29b Pressure distribution of layer 9 (2 wells) at various times.

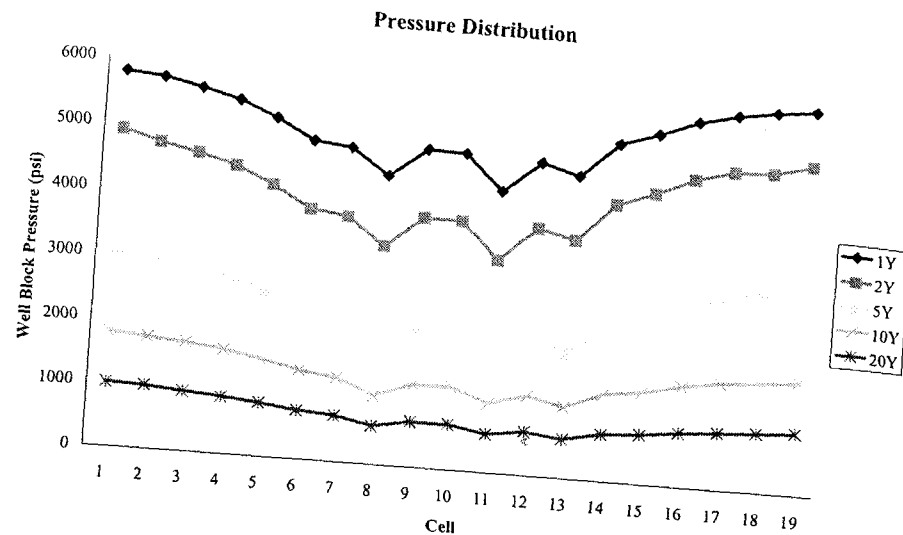


Figure E.30a Pressure distribution of layer 10 (3 wells) at various times.

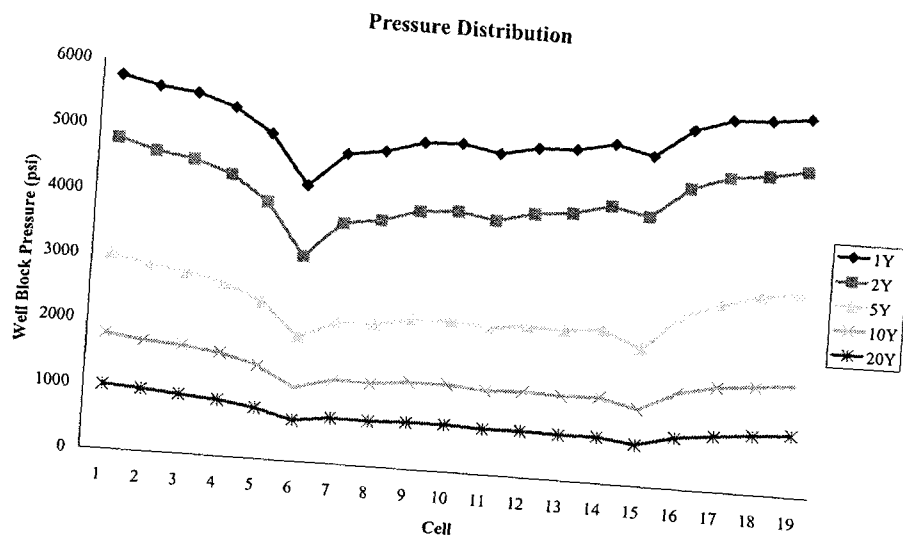


Figure E.30b Pressure distribution of layer 10 (2 wells) at various times.

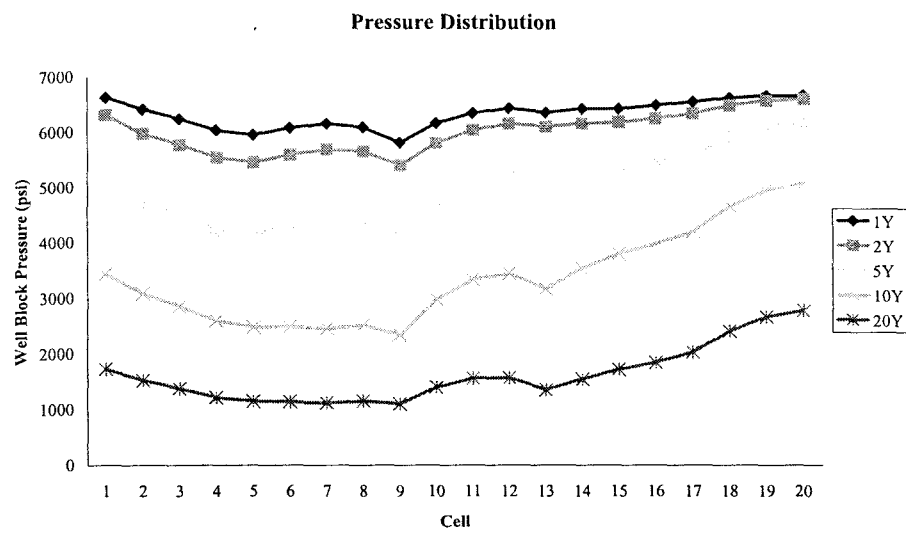


Figure E.31a Pressure distribution of layer 1 (2 wells) at various times.

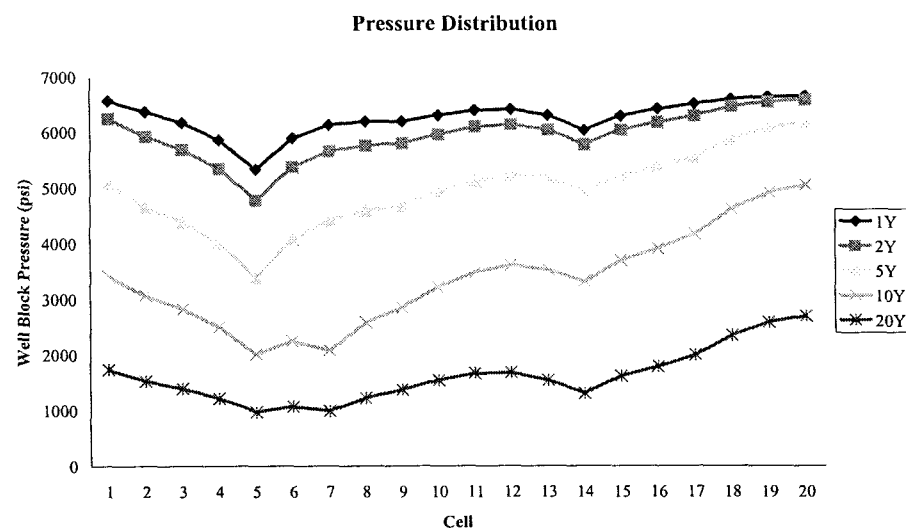


Figure E.31b Pressure distribution of layer 1 (3 wells) at various times.

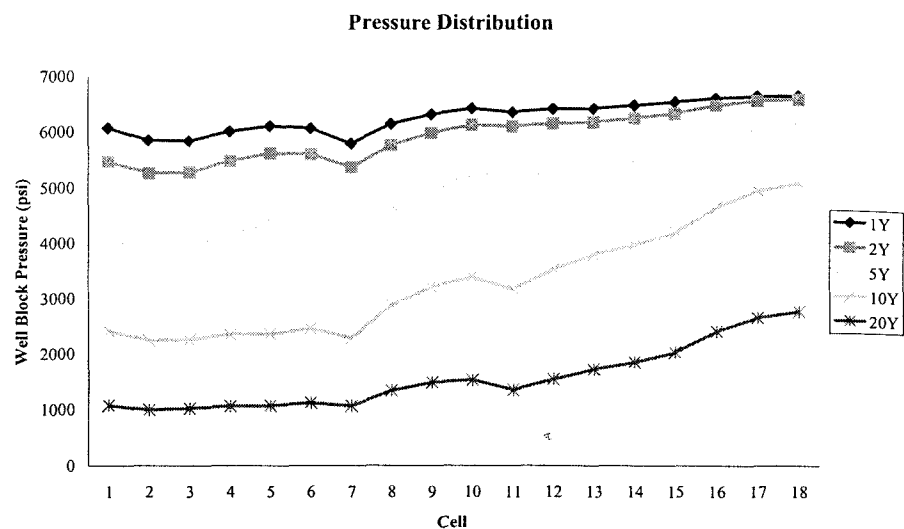


Figure E.32a Pressure distribution of layer 2 (3 wells) at various times.

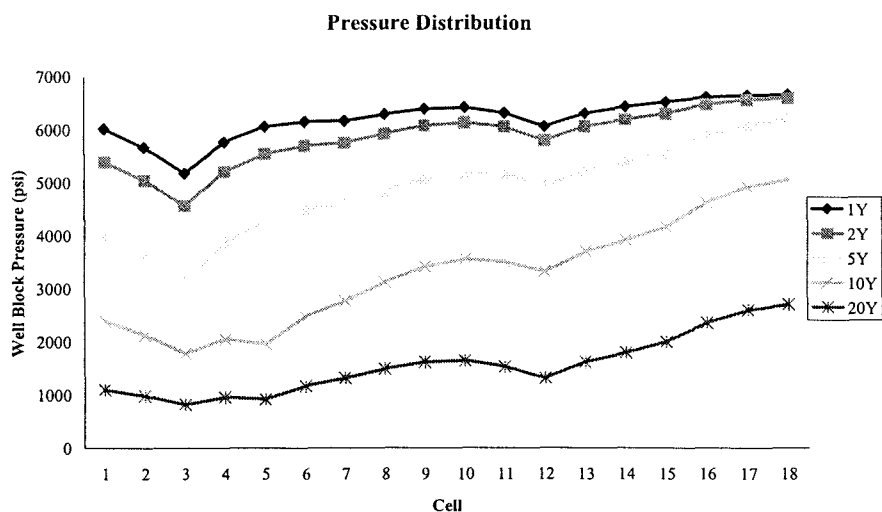


Figure E.32b Pressure distribution of layer 2 (2 wells) at various times.

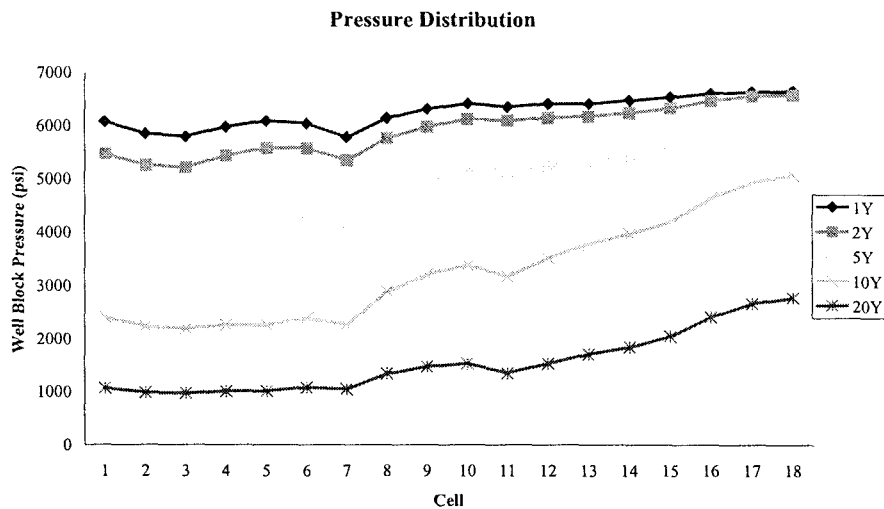


Figure E.33a Pressure distribution of layer 3 (3 wells) at various times.

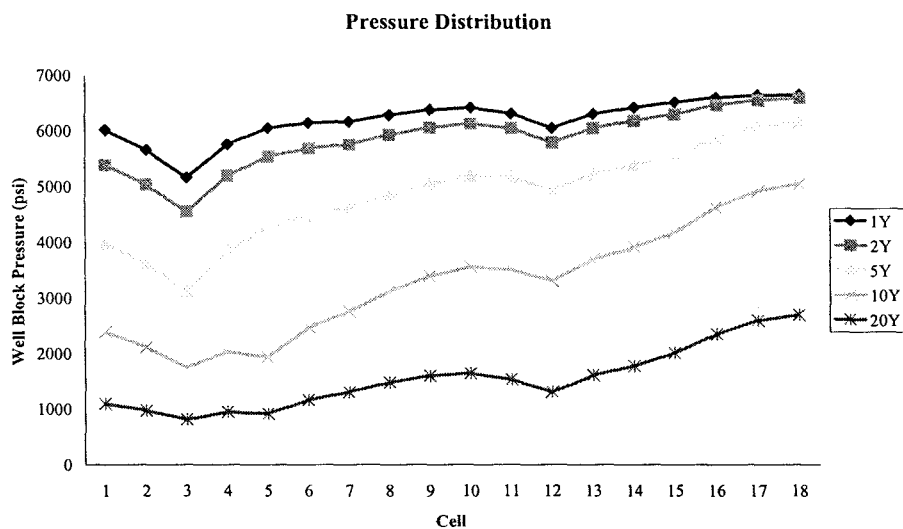


Figure E.33b Pressure distribution of layer 3 (2 wells) at various times.

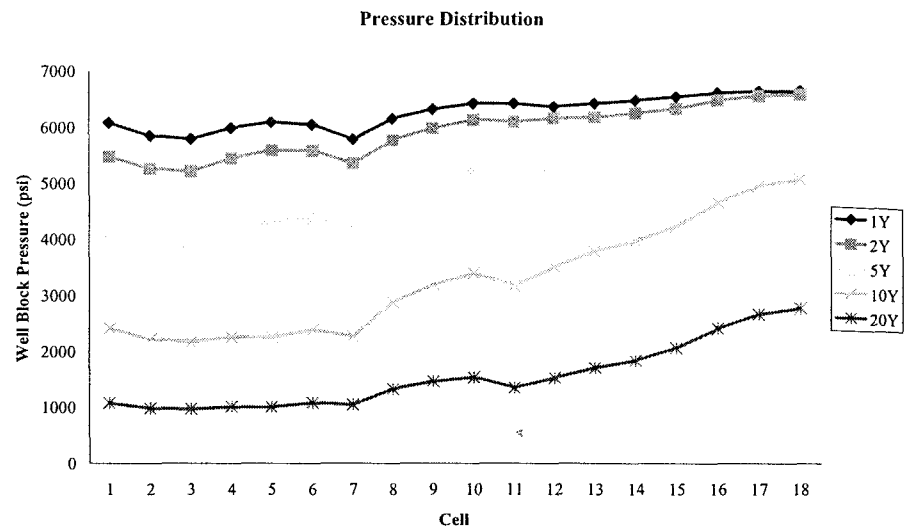


Figure E.34a Pressure distribution of layer 4 (3 wells) at various times.

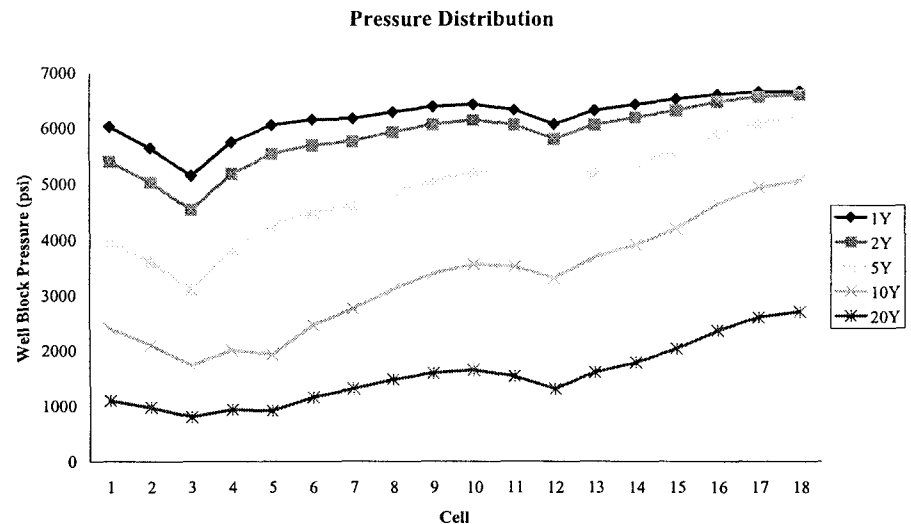


Figure E.34b Pressure distribution of layer 4 (2 wells) at various times.

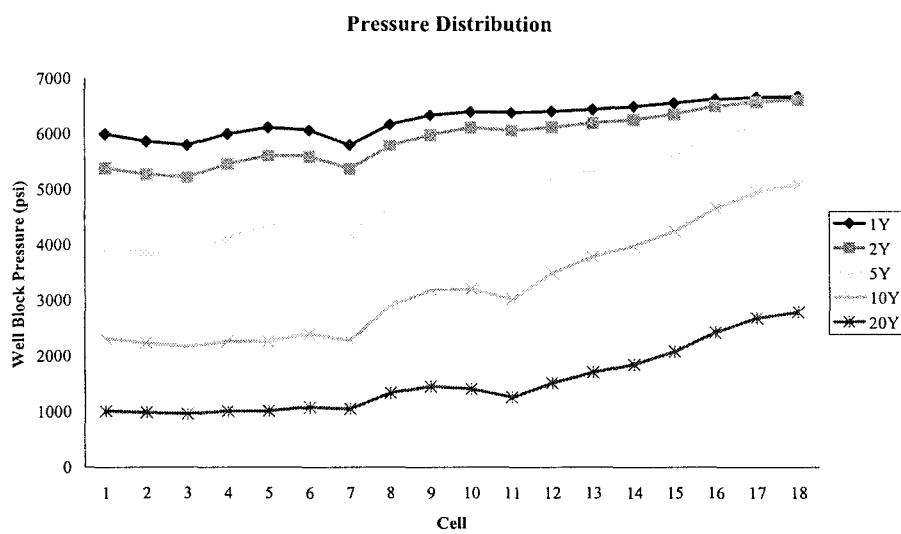


Figure E.35a Pressure distribution of layer 5 (3 wells) at various times.

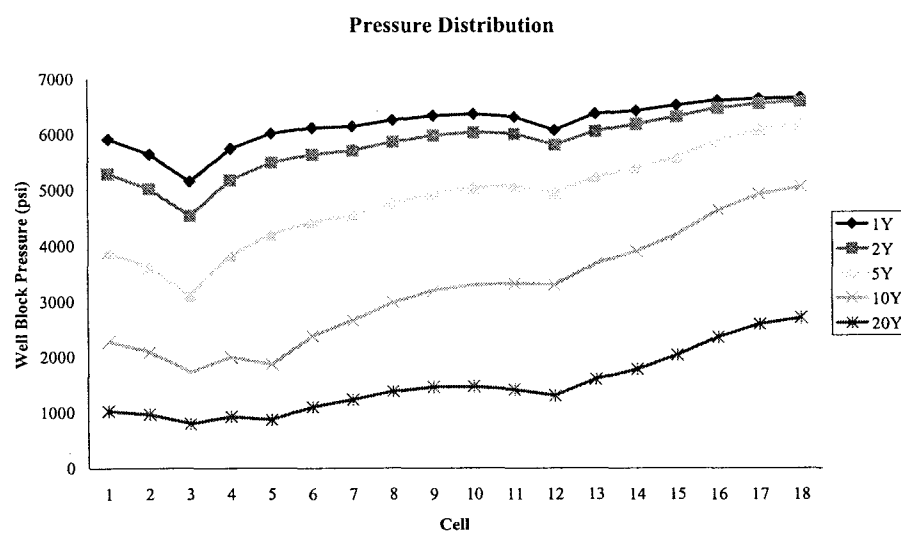


Figure E.35b Pressure distribution of layer 5 (2 wells) at various times.

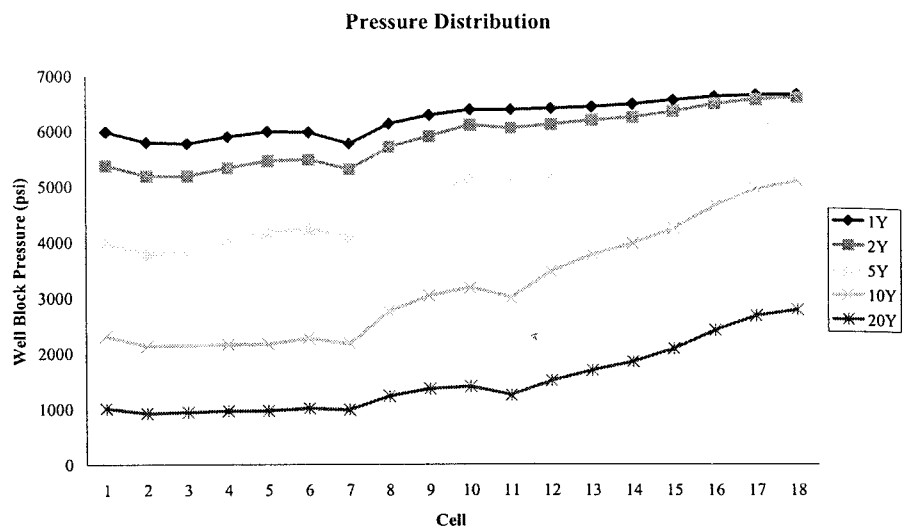


Figure E.36a Pressure distribution of layer 6 (3 wells) at various times.

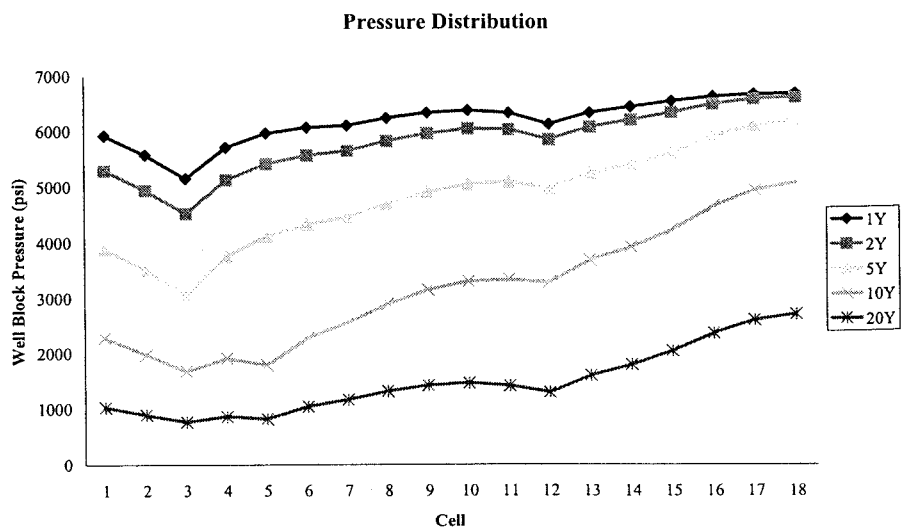


Figure E.36b Pressure distribution of layer 6 (2 wells) at various times.

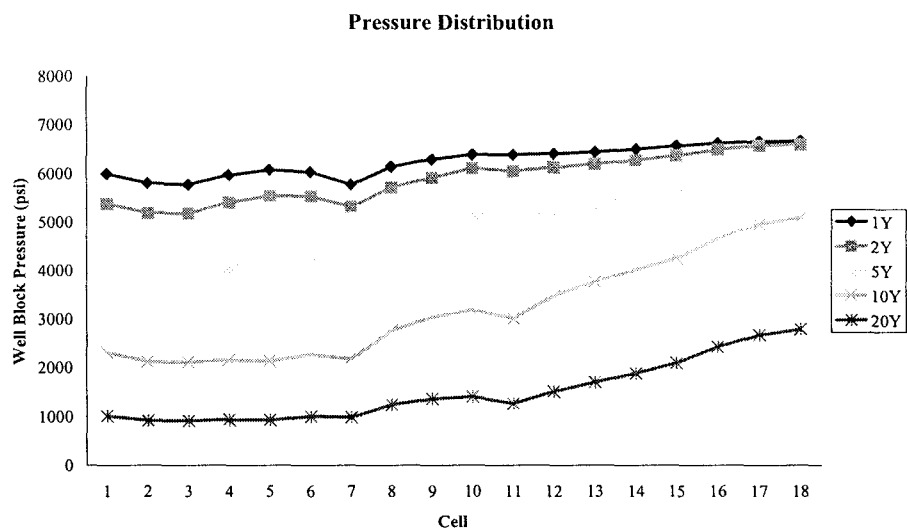


Figure E.37a Pressure distribution of layer 7 (3 wells) at various times.

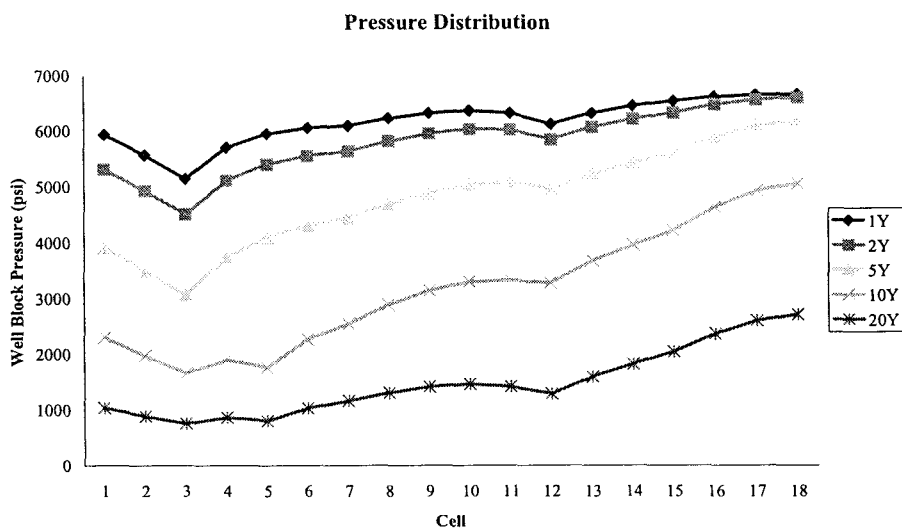


Figure E.37b Pressure distribution of layer 7 (2 wells) at various times.

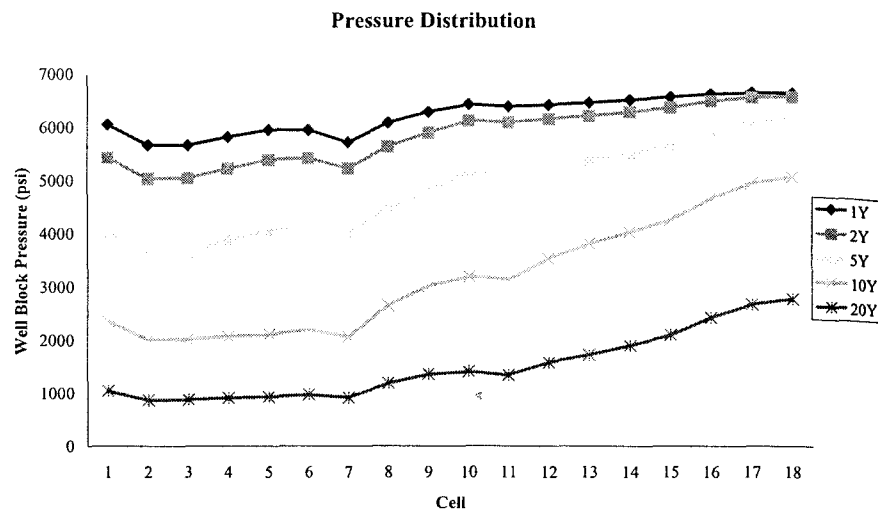


Figure E.38a Pressure distribution of layer 8 (3 wells) at various times.

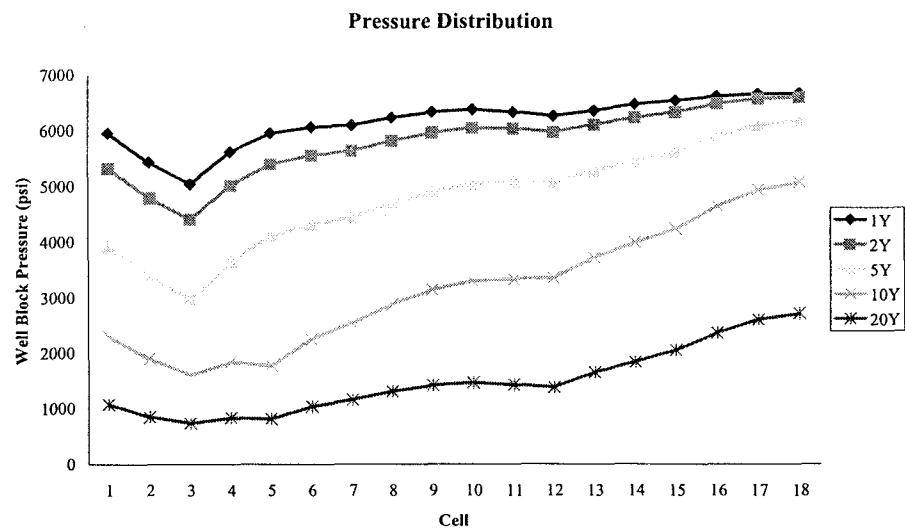


Figure E.38b Pressure distribution of layer 8 (2 wells) at various times.

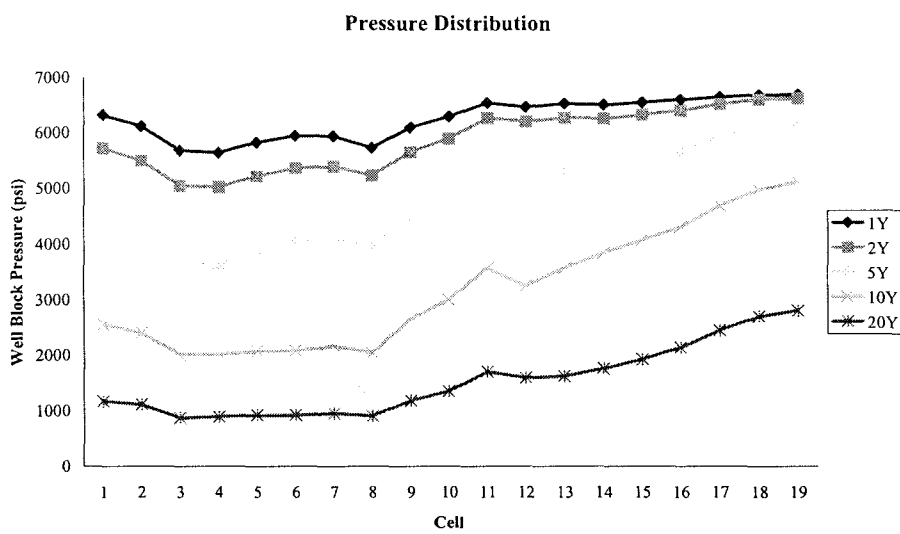


Figure E.39a Pressure distribution of layer 9 (3 wells) at various times.

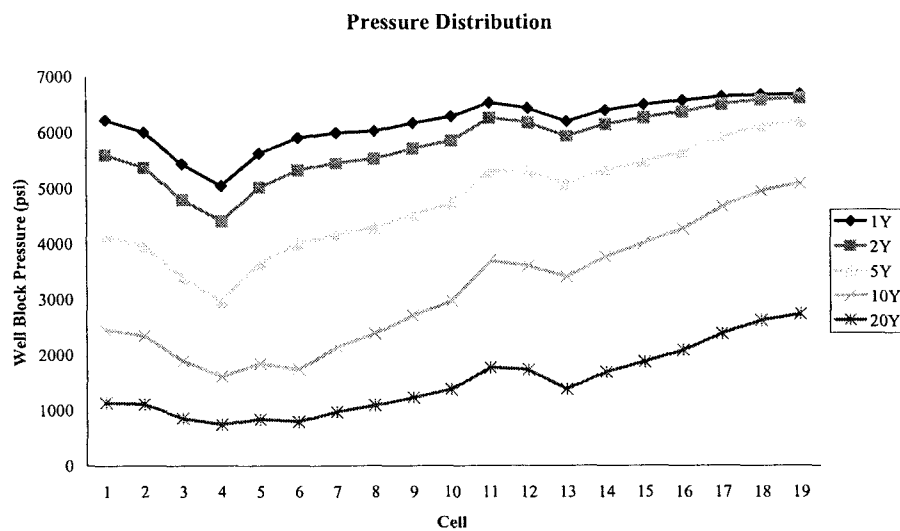


Figure E.39b Pressure distribution of layer 9 (2 wells) at various times.

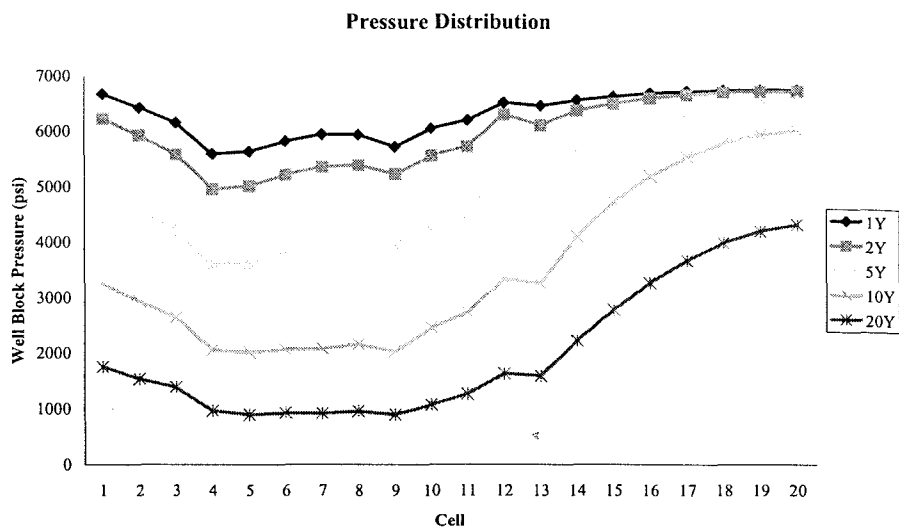


Figure E.40a Pressure distribution of layer 10 (3 wells) at various times.

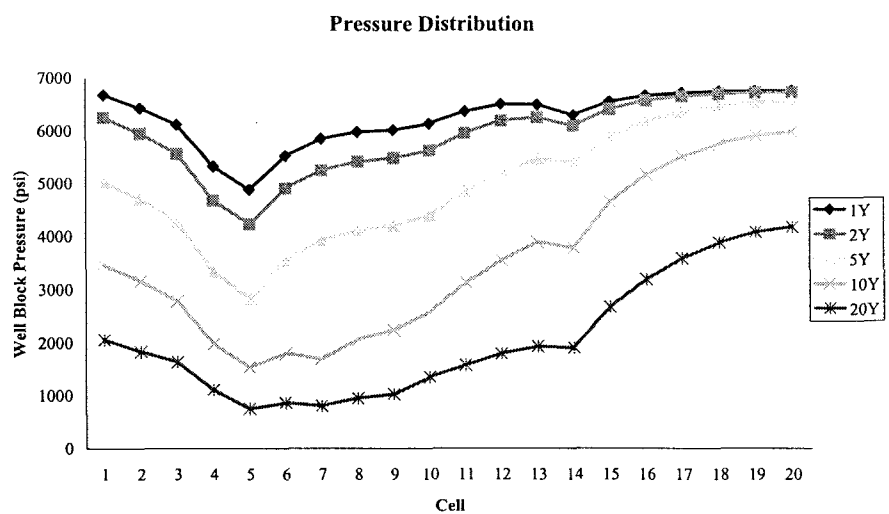


Figure E.40b Pressure distribution of layer 10 (2 wells) at various times.

ກາຄພນວກ ປ

PERMEABILITY DISTRIBUTION OF EACH LAYER

.70	.50	.40	.40	.40	.40	.30	.30	.70	.75
.50	.50	.60	.40	.40	.43	.30	.35	.30	.70
.50	.50	.40	.40	.40	.40	.30	.30	.30	.70

a

.48	.68	.48	.39	.39	.39	.39	.38	.29	.69	.73
.48	.48	.48	.59	.39	.39	.42	.38	.34	.29	.69
.48	.48	.48	.39	.39	.39	.39	.38	.29	.29	.69
.48	.48	.48	.39	.39	.39	.39	.38	.29	.29	.69

b

.47	.47	.47	.38	.38	.38	.38	.28	.28	.68	.68	.68
.47	.66	.47	.38	.38	.38	.38	.28	.28	.68	.71	.68
.47	.47	.47	.58	.38	.38	.41	.28	.32	.28	.68	.68
.47	.47	.47	.38	.38	.38	.38	.28	.28	.28	.68	.68
.47	.47	.47	.38	.38	.38	.38	.28	.28	.28	.68	.68

c

.45	.45	.45	.45	.80	.80	.36	.36	.36	.26	.65	.65	.65
.45	.45	.64	.45	.80	.80	.36	.36	.36	.26	.65	.71	.65
.45	.45	.45	.45	.90	.80	.36	.40	.36	.30	.26	.65	.65
.45	.45	.45	.45	.80	.80	.36	.36	.36	.26	.26	.65	.65
.45	.45	.45	.45	.80	.80	.36	.36	.36	.26	.26	.65	.65
.45	.45	.45	.45	.80	.80	.36	.36	.36	.26	.26	.65	.65

d

.44	.44	.44	.44	.80	.80	.34	.34	.33	.63	.63	.63	.63
.44	.44	.44	.44	.80	.80	.34	.34	.33	.63	.63	.63	.63
.44	.44	.62	.44	.80	.80	.34	.34	.33	.63	.63	.68	.63
.44	.44	.44	.44	.85	.71	.34	.38	.33	.67	.63	.63	.63
.44	.44	.44	.44	.71	.71	.34	.34	.33	.63	.63	.63	.63
.44	.44	.44	.44	.71	.71	.34	.34	.33	.63	.63	.63	.63
.44	.44	.44	.44	.71	.71	.34	.34	.33	.63	.63	.63	.63

e

Figure F.1 The permeability values distribute in each grid block from the 1st layer until the 10th layer that showed in figure a to j.

.78	.78	.78	.78	.78	.78	.78	.62	.62	.62	.62	.62	.62	.62	.62
.78	.78	.78	.78	.78	.78	.78	.62	.62	.62	.62	.62	.62	.62	.62
.78	.78	.78	.78	.90	.78	.78	.62	.62	.62	.62	.62	.62	.62	.62
.78	.78	.78	.78	.78	.82	.78	.62	.70	.62	.65	.62	.62	.62	.62
.78	.78	.78	.78	.78	.70	.70	.62	.62	.62	.62	.62	.62	.62	.62
.78	.78	.78	.78	.70	.70	.70	.62	.62	.62	.62	.62	.62	.62	.62
.78	.78	.78	.78	.70	.70	.70	.62	.62	.62	.62	.62	.62	.62	.62
.78	.78	.78	.78	.70	.70	.70	.62	.62	.62	.62	.62	.62	.62	.62

f

.48	.48	.48	.48	.48	.76	.76	.61	.61	.61	.60	.60	.60	.60	.60
.48	.48	.48	.48	.48	.76	.76	.61	.61	.61	.60	.60	.60	.60	.60
.48	.48	.48	.48	.48	.76	.76	.61	.61	.61	.60	.60	.60	.60	.60
.48	.48	.48	.48	.58	.48	.76	.62	.61	.61	.61	.60	.65	.60	.60
.48	.48	.48	.48	.48	.80	.62	.61	.68	.61	.63	.60	.60	.60	.60
.48	.48	.48	.48	.48	.62	.62	.61	.61	.61	.60	.60	.60	.60	.60
.48	.48	.48	.48	.48	.62	.62	.61	.61 ^a	.61	.61	.60	.60	.60	.60
.48	.48	.48	.48	.48	.62	.62	.61	.61	.61	.60	.60	.60	.60	.60
.48	.48	.48	.48	.48	.62	.62	.61	.61	.61	.60	.60	.60	.60	.60

g

.76	.76	.76	.76	.76	.75	.75	.60	.60	.60	.57	.57	.59	.59	.59
.76	.76	.76	.76	.76	.75	.75	.60	.60	.60	.57	.57	.59	.59	.59
.76	.76	.76	.76	.76	.75	.75	.60	.60	.60	.57	.57	.59	.59	.59
.76	.76	.76	.76	.76	.92	.75	.75	.60	.60	.57	.57	.57	.64	.59
.76	.76	.76	.76	.76	.75	.78	.60	.60	.66	.57	.60	.57	.59	.59
.76	.76	.76	.76	.76	.75	.60	.60	.60	.60	.57	.57	.57	.59	.59
.76	.76	.76	.76	.76	.75	.60	.60	.60	.60	.57	.57	.57	.59	.59
.76	.76	.76	.76	.76	.75	.60	.60	.60	.60	.57	.57	.57	.59	.59
.76	.76	.76	.76	.76	.75	.60	.60	.60	.60	.57	.57	.57	.59	.59
.76	.76	.76	.76	.76	.75	.60	.60	.60	.60	.57	.57	.57	.59	.59

h

.72	.72	.72	.72	.72	.72	.58	.58	.58	.58	.54	.54	.54	.58	.58
.72	.72	.72	.72	.72	.72	.58	.58	.58	.58	.54	.54	.54	.58	.58
.72	.72	.72	.72	.72	.72	.58	.58	.58	.58	.54	.54	.54	.58	.58
.72	.72	.72	.72	.72	.72	.58	.58	.58	.58	.54	.54	.54	.58	.58
.72	.72	.72	.72	.72	.88	.72	.58	.58	.58	.54	.54	.54	.62	.58
.72	.72	.72	.72	.72	.72	.76	.58	.58	.64	.54	.58	.54	.58	.58
.72	.72	.72	.72	.72	.72	.58	.58	.58	.58	.54	.54	.54	.58	.58
.72	.72	.72	.72	.72	.72	.58	.58	.58	.58	.54	.54	.54	.58	.58
.72	.72	.72	.72	.72	.72	.58	.58	.58	.58	.54	.54	.54	.58	.58
.72	.72	.72	.72	.72	.72	.58	.58	.58	.58	.54	.54	.54	.58	.58
.72	.72	.72	.72	.72	.72	.58	.58	.58	.58	.54	.54	.54	.58	.58
.72	.72	.72	.72	.72	.72	.58	.58	.58	.58	.54	.54	.54	.58	.58

i

Figure F.1 The permeability values distribute in each grid block from the 1st layer until the 10¹ layer that showed in figure a to j. (continued)

.50	.50	.50	.50	.50	.50	.50	.56	.56	.56	.56	.52	.52	.56	.56	.56	.56	.56	.56
.50	.50	.50	.50	.50	.50	.50	.56	.56	.56	.56	.52	.52	.56	.56	.56	.56	.56	.56
.50	.50	.50	.50	.50	.50	.50	.56	.56	.56	.56	.52	.52	.56	.56	.56	.56	.56	.56
.50	.50	.50	.50	.50	.50	.50	.56	.56	.56	.56	.52	.52	.56	.56	.56	.56	.56	.56
.50	.50	.50	.50	.50	.50	.52	.50	.56	.56	.56	.52	.52	.56	.60	.56	.56	.56	.56
.50	.50	.50	.50	.50	.50	.50	.74	.56	.56	.58	.52	.56	.56	.56	.56	.56	.56	.56
.50	.50	.50	.50	.50	.50	.50	.56	.56	.56	.56	.52	.52	.56	.56	.56	.56	.56	.56
.50	.50	.50	.50	.50	.50	.50	.56	.56	.56	.56	.52	.52	.56	.56	.56	.56	.56	.56
.50	.50	.50	.50	.50	.50	.50	.56	.56	.56	.56	.52	.52	.56	.56	.56	.56	.56	.56
.50	.50	.50	.50	.50	.50	.50	.56	.56	.56	.56	.52	.52	.56	.56	.56	.56	.56	.56
.50	.50	.50	.50	.50	.50	.50	.56	.56	.56	.56	.52	.52	.56	.56	.56	.56	.56	.56

j

Figure F.1 The permeability values distribute in each grid block from the 1st layer until the 10th layer that showed in figure a to j. (continued)

.055	.052	.052	.052	.045	.045	.045	.045	.060	.069
.052	.052	.060	.052	.045	.050	.045	.047	.045	.060
.052	.052	.052	.052	.045	.045	.045	.045	.045	.060

a

.051	.054	.051	.051	.051	.044	.044	.044	.044	.059	.069
.051	.051	.051	.059	.051	.044	.044	.044	.044	.044	.059
.051	.051	.051	.051	.051	.044	.044	.044	.044	.044	.059
.051	.051	.051	.051	.051	.044	.044	.044	.044	.044	.059

b

.050	.050	.050	.050	.050	.043	.043	.043	.043	.058	.058
.050	.052	.050	.050	.050	.043	.043	.043	.043	.058	.069
.050	.050	.050	.059	.050	.043	.049	.043	.049	.043	.058
.050	.050	.050	.050	.050	.043	.043	.043	.043	.058	.058
.050	.050	.050	.050	.050	.043	.043	.043	.043	.058	.058

c

.049	.049	.049	.049	.049	.049	.049	.042	.042	.042	.042	.057	.069	.057
.049	.049	.052	.049	.049	.049	.049	.042	.042	.042	.042	.057	.069	.057
.049	.049	.049	.049	.057	.049	.042	.047	.042	.042	.042	.042	.057	.057
.049	.049	.049	.049	.049	.049	.049	.042	.042	.042	.042	.057	.057	.057
.049	.049	.049	.049	.049	.049	.049	.042	.042	.042	.042	.042	.057	.057
.049	.049	.049	.049	.049	.049	.049	.042	.042	.042	.042	.042	.057	.057

d

.048	.048	.048	.048	.048	.048	.048	.041	.041	.041	.049	.056	.056	.056
.048	.048	.048	.048	.048	.048	.048	.041	.041	.041	.049	.056	.056	.056
.048	.048	.051	.048	.048	.048	.048	.041	.041	.041	.049	.056	.069	.056
.048	.048	.048	.048	.059	.048	.048	.041	.046	.041	.053	.049	.056	.056
.048	.048	.048	.048	.048	.048	.048	.041	.041	.041	.049	.049	.056	.056
.048	.048	.048	.048	.048	.048	.048	.041	.041	.041	.049	.049	.056	.056
.048	.048	.048	.048	.048	.048	.048	.041	.041	.041	.049	.049	.056	.056
.048	.048	.048	.048	.048	.048	.048	.041	.041	.041	.049	.049	.056	.056

e

Figure F.2 The porosity values distribute in each grid block from the 1st layer until the 10th layer that showed in figure a to j.

.047	.047	.047	.047	.047	.047	.047	.040	.040	.040	.048	.055	.055	.055	.055
.047	.047	.047	.047	.047	.047	.047	.040	.040	.040	.048	.055	.055	.055	.055
.047	.047	.047	.050	.047	.047	.047	.040	.040	.040	.048	.055	.060	.055	.055
.047	.047	.047	.047	.047	.051	.047	.040	.041	.040	.052	.048	.055	.055	.055
.047	.047	.047	.047	.047	.047	.047	.040	.040	.040	.048	.048	.055	.055	.055
.047	.047	.047	.047	.047	.047	.047	.040	.040	.040	.048	.048	.055	.055	.055
.047	.047	.047	.047	.047	.047	.047	.040	.040	.040	.048	.048	.055	.055	.055
.047	.047	.047	.047	.047	.047	.047	.040	.040	.040	.048	.048	.055	.055	.055
.047	.047	.047	.047	.047	.047	.047	.040	.040	.040	.048	.048	.055	.055	.055

f

.046	.046	.046	.046	.046	.046	.046	.039	.039	.039	.047	.054	.054	.054	.054
.046	.046	.046	.046	.046	.046	.046	.039	.039	.039	.047	.047	.054	.054	.054
.046	.046	.046	.046	.046	.046	.046	.039	.039	.039	.047	.054	.054	.054	.054
.046	.046	.046	.049	.046	.046	.046	.039	.039	.039	.047	.054	.059	.054	.054
.046	.046	.046	.046	.051	.046	.039	.044	.039	.055	.047	.054	.054	.054	.054
.046	.046	.046	.046	.046	.046	.046	.039	.039	.039	.047	.047	.054	.054	.054
.046	.046	.046	.046	.046	.046	.046	.039	.039	.039	.047	.047	.054	.054	.054
.046	.046	.046	.046	.046	.046	.046	.039	.039	.039	.047	.047	.054	.054	.054
.046	.046	.046	.046	.046	.046	.046	.039	.039	.039	.047	.047	.054	.054	.054
.046	.046	.046	.046	.046	.046	.046	.039	.039	.039	.047	.047	.054	.054	.054

g

.045	.045	.045	.045	.045	.045	.045	.045	.038	.038	.038	.046	.053	.053	.053
.045	.045	.045	.045	.045	.045	.045	.045	.038	.038	.038	.046	.053	.053	.053
.045	.045	.045	.045	.045	.045	.045	.045	.038	.038	.038	.046	.053	.053	.053
.045	.045	.045	.048	.045	.045	.045	.038	.038	.038	.046	.053	.058	.053	.053
.045	.045	.045	.045	.051	.045	.038	.043	.038	.054	.046	.053	.053	.053	.053
.045	.045	.045	.045	.045	.045	.045	.038	.038	.038	.046	.046	.053	.053	.053
.045	.045	.045	.045	.045	.045	.045	.038	.038	.038	.046	.046	.053	.053	.053
.045	.045	.045	.045	.045	.045	.045	.038	.038	.038	.046	.046	.053	.053	.053
.045	.045	.045	.045	.045	.045	.045	.038	.038	.038	.046	.046	.053	.053	.053
.045	.045	.045	.045	.045	.045	.045	.038	.038	.038	.046	.046	.053	.053	.053

h

.044	.044	.044	.044	.044	.044	.044	.044	.037	.037	.037	.045	.052	.052	.052
.044	.044	.044	.044	.044	.044	.044	.044	.037	.037	.037	.045	.052	.052	.052
.044	.044	.044	.044	.044	.044	.044	.044	.037	.037	.037	.045	.052	.052	.052
.044	.044	.044	.044	.044	.044	.044	.044	.037	.037	.037	.045	.052	.052	.052
.044	.044	.044	.044	.047	.044	.044	.044	.037	.037	.037	.045	.052	.052	.052
.044	.044	.044	.044	.044	.051	.044	.044	.037	.042	.037	.045	.052	.052	.052
.044	.044	.044	.044	.044	.044	.044	.044	.037	.037	.037	.045	.045	.052	.052
.044	.044	.044	.044	.044	.044	.044	.044	.037	.037	.037	.045	.045	.052	.052
.044	.044	.044	.044	.044	.044	.044	.044	.037	.037	.037	.045	.045	.052	.052
.044	.044	.044	.044	.044	.044	.044	.044	.037	.037	.037	.045	.045	.052	.052

i

Figure F.2 The porosity values distribute in each grid block from the 1st layer until the 10th layer that showed in figure a to j. (continued)

.043	.043	.043	.043	.043	.043	.043	.043	.043	.036	.036	.036	.044	.051	.051	.051	.051	.051	.051
.043	.043	.043	.043	.043	.043	.043	.043	.043	.036	.036	.036	.044	.051	.051	.051	.051	.051	.051
.043	.043	.043	.043	.043	.043	.043	.043	.043	.036	.036	.036	.044	.051	.051	.051	.051	.051	.051
.043	.043	.043	.043	.043	.043	.043	.043	.043	.036	.036	.036	.044	.051	.051	.051	.051	.051	.051
.043	.043	.043	.043	.043	.043	.043	.043	.043	.036	.036	.036	.044	.051	.051	.051	.051	.051	.051
.043	.043	.043	.043	.043	.043	.043	.043	.043	.036	.036	.036	.044	.051	.051	.051	.051	.051	.051
.043	.043	.043	.043	.043	.043	.043	.043	.043	.036	.036	.036	.044	.044	.051	.051	.051	.051	.051
.043	.043	.043	.043	.043	.043	.043	.043	.043	.036	.036	.036	.044	.044	.051	.051	.051	.051	.051
.043	.043	.043	.043	.043	.043	.043	.043	.043	.036	.036	.036	.044	.044	.051	.051	.051	.051	.051
.043	.043	.043	.043	.043	.043	.043	.043	.043	.036	.036	.036	.044	.044	.051	.051	.051	.051	.051

j

Figure F.2 The porosity values distribute in each grid block from the 1st layer until the 10th layer
that showed in figure a to j. (continued)

ກາຄົມວາກ ທ່ (1)

TOPS STRUCTURE OF EACH LAYER IN PROJECT PPNEW

Tops Structure of Layer2

1	-10116.	-10182.	-10207.	-10255.	-10271.	-10249.	-10276.	-10276.	-10255.	-10159.
2	-10129.	-10251.	-10116.	-10127.	-10113.	-10084.	-10297.	-10419.	-10392.	-10214.
3	-10149.	-10177.	-9459.7	-9725.8	-9722.6	-9811.4	-10286.	-10593.	-10406.	-10253.
4	-10159.	-10113.	-9468.4	-9207.9	-9000.5	-9174.2	-9595.4	-10235.	-10562.	-10228.
5	-10169.	-10155.	-9310.7	-8638.2	-8683.6	-8955.9	-9498.8	-10157.	-10534.	-10221.
6	-10201.	-9901.7	-9014.1	-8562.8	-8758.2	-9217.	-9720.9	-10251.	-10346.	-10224.
7	-10165.	-9624.9	-8885.3	-8550.8	-8837.	-79221.8	-9791.1	-10185.	-10518.	-10221.
8	-10114.	-9526.2	-1598899.6	-8634.5	-8824.1	-9173.8	-9739.9	-10114.	-10271.	-10212.
9	-9924.1	-8495.	-9235.1	-8766.3	-8889.1	-9258.9	-9730.5	-10098.	-10245.	-10222.
10	-10022.	-9746.4	-9550.2	-8845.0	-9055.8	-9259.5	-9809.1	-10046.	-10222.	-10184.
11	-10152.	-10098.	-9815.6	-9245.8	-9278.3	-9525.5	-9542.	-9962.5	-10180.	-10145.
12	-10178.	-10222.	-9955.6	-9505.3	-9500.4	-9435.5	-9525.4	-9975.8	-10099.	-10086.
13	-10125.	-10114.	-10035.	-9579.4	-9571.	-9524.2	-9585.2	-9988.	-10044.	-10049.
14	-10079.	-10052.	-10042.	-9684.1	-9606.8	-9569.9	-9673.5	-9964.1	-10044.	-10041.
15	-10075.	-10050.	-9924.1	-9615.3	-9716.5	-9696.	-9814.2	-10006.	-10047.	-10048.
16	-10085.	-10053.	-10009.	-9949.2	-9890.7	-9877.2	-9466.2	-10042.	-10053.	-10067.
17	-10092.	-10068.	-10047.	-10054.	-10008.	-10012.	-10044.	-10051.	-10063.	-10084.
18	-10100.	-10061.	-10040.	-10041.	-10047.	-10048.	-10042.	-10046.	-10070.	-10095.
19	-10104.	-10101.	-10046.	-10045.	-10045.	-10045.	-10045.	-10056.	-10082.	-10101.
20	-10105.	-10104.	-10072.	-10063.	-10046.	-10054.	-10063.	-10077.	-10075.	-10105.

1 0 1 0 5 . 0

1 2 3 4 5 6 7 8 9 10

Tops Structure of Layer1

1	-10104.	-10169.	-10185.	-10169.	-10098.	-10037.	-10149.	-10276.	-10255.	-10159.	
2	-10299.	-10251.	-10092.	-10049.	-9858.2	-9767.1	-10140.	-10419.	-10382.	-10214.	
3	-10105.	-10177.	-9662.	-9482.4	-9342.1	-9243.8	-9824.	-10393.	-10406.	-10255.	
4	-10122.	-9951.	-9342.4	-9081.6	-8922.6	-8965.8	-9410.6	-10235.	-10562.	-10228.	
5	-10147.	-10135.	-9203.	-8737.4	-8587.6	-8584.5	-9491.3	-10157.	-10534.	-10221.	
6	-10181.	-9401.4	-8920.6	-8485.2	-8660.2	-9128.6	-9685.6	-10251.	-10346.	-10224.	
7	-10157.	-9625.9	-8780.9	-8482.8	-8735.4	-9146.4	-9763.	-10105.	-10318.	-10221.	
8	-9698.5	-9396.5	-9188.2	-8512.	-8549.1	-8927.9	-9093.2	-9706.9	-10114.	-10271.	-10212.
9	-9902.5	-9421.7	-9162.8	-8587.0	-8786.8	-9159.3	-9697.1	-10398.	-10245.	-10202.	
10	-10017.	-9755.4	-9550.2	-8849.8	-8959.	-9181.5	-9564.5	-10044.	-10222.	-10184.	
11	-10120.	-10083.	-9815.6	-9167.2	-9202.4	-9254.	-9463.5	-9971.8	-10180.	-10145.	
12	-10165.	-10144.	-9950.3	-9451.9	-9448.8	-9361.4	-9473.3	-9964.4	-10099.	-10085.	
13	-10109.	-10097.	-10052.	-9531.5	-9507.5	-9482.4	-9538.	-9977.4	-10039.	-10044.	
14	-10064.	-10042.	-10042.	-9641.5	-9535.4	-95185.5	-9630.5	-9951.5	-10039.	-10036.	
15	-10061.	-10041.	-9913.5	-9784.2	-9660.2	-9638.7	-9781.6	-9998.7	-10042.	-10043.	
16	-10071.	-10049.	-10026.	-9935.5	-9850.5	-9846.5	-9950.5	-10037.	-10049.	-10063.	
17	-10080.	-10059.	-10043.	-10229.	-9997.8	-10022.	-10031.	-10046.	-10058.	-10079.	
18	-10048.	-10020.	-10054.	-10036.4	-10043.	-10044.	-10036.	-10043.	-10022.	-10087.	
19	-10097.	-10092.	-10035.	-10039.	-10040.	-10040.	-10039.	-10048.	-10070.	-10091.	
20	-10100.	-10098.	-10051.	-10049.	-10048.	-10046.	-10057.	-10070.	-10085.	-10096.	

1 2 3 4 5 6 7 8 9 10

Tops Structure of Layer3

1	-10116.	-10182.	-10207.	-10255.	-10271.	-10249.	-10278.	-10276.	-10255.	-10159.	
2	-10126.	-10251.	-10116.	-10127.	-10115.	-10264.	-10297.	-10419.	-10582.	-10214.	
3	-10149.	-10177.	-9955.4	-9762.1	-9759.9	-9841.8	-10088.	-10393.	-10436.	-10253.	
4	-10159.	-10021.	-9524.2	-9276.3	-9200.6	-9245.6	-9641.9	-10235.	-10362.	-10228.	
5	-10169.	-10135.	-9376.9	-9118.2	-8764.6	-9014.6	-9555.	-10137.	-10354.	-10221.	
6	-10201.	-9918.5	-9095.6	-9642.6	-8839.5	-9290.5	-9756.5	-10231.	-10346.	-10224.	
7	-10165.	-9644.2	-8465.2	-8637.6	-8116.2	-7929.8	-8821.2	-10185.	-10318.	-10221.	
8	-10221.	-9575.7	-9677.8	-980.2	-8715.1	-8408.9	-9248.	-9774.4	-10114.	-10271.	-10212.
9	-9938.2	-9549.1	-9501.2	-8865.9	-8970.6	-9309.2	-9765.6	-10098.	-10245.	-10202.	
10	-10029.	-9779.6	-9550.2	-9033.1	-9153.8	-9528.9	-9654.1	-10055.	-10222.	-10184.	
11	-10132.	-10098.	-9815.6	-9315.2	-9345.5	-9388.	-9574.3	-9993.5	-10182.	-10145.	
12	-10178.	-10222.	-9969.	-9557.6	-9552.2	-9488.4	-9577.5	-9987.5	-10099.	-12287.	
13	-10125.	-10114.	-10041.	-9628.9	-9634.5	-9566.3	-9632.5	-9998.5	-10049.	-12055.	
14	-10074.	-10052.	-10053.	-9728.9	-9680.1	-9650.6	-9716.3	-9976.7	-10049.	-12046.	
15	-10075.	-10051.	-9939.	-9849.5	-9773.7	-9752.9	-9846.4	-10017.	-10051.	-12053.	
16	-10083.	-10059.	-10018.	-9967.9	-9912.7	-9908.5	-9981.5	-10047.	-10058.	-10071.	
17	-10092.	-10064.	-10052.	-10041.	-10021.	-10024.	-10044.	-10055.	-10067.	-10089.	
18	-10100.	-10091.	-10045.	-10047.	-10053.	-10054.	-10047.	-10052.	-10075.	-10099.	
19	-10107.	-10102.	-10047.	-10049.	-10050.	-10050.	-10050.	-10063.	-10288.	-10106.	
20	-10110.	-10108.	-10072.	-10065.	-10050.	-10056.	-10064.	-10084.	-10101.	-10110.	

1 2 3 4 5 6 7 8 9 10

Tops Structure of Layer4

-10116.	-10182.	-10207.	-10255.	-10271.	-10249.	-10278.	-10276.	-10255.	-10159.
-10129.	-10261.	-10116.	-10127.	-10113.	-10084.	-10297.	-10419.	-10382.	-10214.
-10149.	-10177.	-9970.7.	-9979.9.	-9796.9.	-9623.	-10089.	-10396.	-10406.	-10255.
-10159.	-10029.	-9680.6.	-9541. ² .	-9150.5.	-9510.5.	-9687.9.	-10235.	-10362.	-10228.
-10169.	-10135.	-9439.	-8996.	-8856.	-9146.	-9607.	-10137.	-10354.	-10221.
-10201.	-9636.7.	-9163.	-8725.9.	-8409.2.	-9557.	-9745.	-10251.	-10546.	-10226.
-10165.	-9689.6.	-9032.	-8717.8.	-8484.4.	-9364.1.	-9951.9.	-10185.	-10518.	-10235.
-10230.	-9624.9.	-7598.50.4.	-8727.	-8776.	-9155.	-9809.3.	-10114.	-10271.	-10225.
-9954.5.	-9602.7.	-9564.5.	-8935. ⁶⁰ .	-9041. ⁷⁰ .	-9375.1.	-9801.4.	-10098.	-10245.	-10202.
-10036.	-9812.7.	-9581.4.	-9103.8.	-9202.4.	-9394.3.	-9699.2.	-10058.	-10222.	-10184.
-10152.	-10098.	-9815.6.	-9574.7.	-9405.5.	-9458.5.	-9626.7.	-10004.	-10189.	-10145.
-10178.	-10222.	-9982.1.	-9609.1.	-9603.	-9541.4.	-9624.5.	-9998.7.	-10099.	-10089.
-10123.	-10114.	-10047.	-9678.1.	-9697.2. ⁹ .	-9608.8.	-9679.7.	-10008.	-10054.	-10058.
-10079.	-10057.	-10058.	-9773.5.	-9752.4.	-9719.48.	-9758.9.	-9989.2.	-10054.	-10052.
-10078.	-10056.	-9953.1.	-9882.7.	-9829.6.	-9808.8.	-9878.5.	-10026.	-10056.	-10058.
-10088.	-10060.	-10026.	-9985.3.	-9943.2.	-9958.4.	-9996.7.	-10025.	-10061.	-10075.
-10095.	-10074.	-10057.	-10048.	-10032.	-10054.	-10054.	-10059.	-10069.	-10090.
-10105.	-10045.	-10051.	-10052.	-10057.	-10059.	-10052.	-10055.	-10075.	-10099.
-10112.	-10107.	-10054.	-10055.	-10054.	-10055.	-10055.	-10064.	-10088.	-10106.
-10115.	-10115.	-10072.	-10065.	-10055.	-10062.	-10073.	-10086.	-10101.	-10111.

1 2 3 4 5 6 7 8 9 10

10115.0

Tops Structure of Layer5

-10120.	-10182.	-10207.	-10255.	-10271.	-10249.	-10278.	-10276.	-10255.	-10159.	
-10120.	-10251.	-10116.	-10127.	-10113.	-10084.	-10297.	-10419.	-10382.	-10214.	
-10149.	-10177.	9999.6	-9824.1	-9875.4	-9949.5	-10289.	-10395.	-10406.	-10235.	
-10159.	-10042.	-9886.6	-9412.5	-9208.1	-9374.1	-9780.2	-10235.	-10362.	-10228.	
-10169.	-10135.	-9522.7	-9054.	-8915.3	-9147.2	-9712.8	-10187.	-10334.	-10221.	
-10201.	-9969.6	-9243.9	-8804.2	-8982.4	-9420.8	-9872.7	-10251.	-10346.	-10226.	
-10165.	-9780.6	-9035.1	-8790.8	-9249.4	-79453.5	-9924.4	-10185.	-10318.	-10235.	
-10044.	-9724.5	-9329.0	-8872.5	-9412.9	-9402.9	-9890.9	-10114.	-10271.	-10225.	
-9986.8	-7705.9	-9446.9	-8085.0	0	-9094.5	-9458.5	-9881.9	-10096.	-10245.	-10202.
-10046.	-9881.6	-9688.6	-9154.8	0	-9254.4	-9488.9	-9740.8	-10062.	-10222.	-10184.
-10152.	-10246.	-9875.7	-9445.5	-9480.2	-9565.2	-9751.5	-10022.	-10186.	-10145.	
-10178.	-10222.	-10004.	0	-9704.7	-9700.8	-9662.8	-9734.3	-10017.	-10099.	-10089.
-10123.	-10114.	-10054.	-9775.4	-9785.2	-9722.2	0	-10024.	-10059.	-10062.	
-10065.	-10062.	-10062.	-9850.4	-9820.1	-97892.6	-9826.7	-10009.	-10059.	-10057.	
-10082.	-10062.	-9992.	-9929.6	-9876.3	-9852.6	-9915.7	-10037.	-10061.	-10062.	
-10091.	-10067.	-10048.	-10005.	-9966.2	-9960.4	-10011.	-10038.	-10066.	-10080.	
-10100.	-10074.	-10061.	-10054.	-10059.	-10042.	-10051.	-10065.	-10075.	-10097.	
-10110.	-10100.	-10057.	0	-10058.	-10062.	-10063.	-10058.	-10062.	-10084.	-10128.
-10116.	-10112.	-10061.	-10063.	-10059.	-10060.	-10061.	-10074.	-10097.	-10116.	
-10120.	-10118.	-10076.	-10070.	-10060.	-10067.	-10079.	-10095.	-10112.	-10120.	

- 1 0 1 2 0 . 0

1 2 3 4 5 6 7 8 9 10

Tops Structure of Layer 6

1	-10125.	-10162.	-10207.	-10255.	-10271.	-10249.	-10276.	-10276.	-10255.	-10159.	
2	-10129.	-10251.	-10116.	-10127.	-10115.	-10084.	-10297.	-10419.	-10322.	-10214.	
3	-10149.	-10177.	-10225.	-9934.	-9937.	-10022.	-10289.	-10393.	-10400.	-10388.	
4	-10159.	-10052.	-978.1	-9500.3	-9500.	-9476.5	-9655.5	-10255.	-10362.	-10228.	
5	-10169.	-10135.	-9621.5	-9157.6	-8985.3	-9247.	-9801.2	-2157.	-10354.	-10221.	
6	-10201.	-9971.1	-9373.7	-8873.0	-9055.2	-9527.7	-9432.	-10231.	-10346.	-10226.	
7	-10185.	-9854.7	-9161.9	-8865.8	-9152.9	-7-9544.	-9978.6	-10185.	-10258.	-10235.	
8	-10056.	-9837.6	-9985.98.1	-8947.	-8945.6	-9125.3	-9493.9	-9952.5	-10114.	-10271.	-10225.
9	-10012.	-9793.2	-9545.3	-9086.5	-9185.57	-9558.4	-9941.9	-10098.	-10245.	-10202.	
10	-10054.	-9935.8	-9779.5	-9252.5	-9356.5	-9594.8	-9864.7	-10266.	-10222.	-10184.	
11	-10152.	-10098.	-9926.4	-9538.1	-9577.9	-9669.8	-9817.4	-10237.	-10180.	-10145.	
12	-10178.	-10222.	-10025.	-9789.	-9786.4	-9760.6	-9820.	-10035.	-10099.	-10089.	
13	-10125.	-10114.	-10061.	-9855.8	-9862.8	-9827.7	-9849.1	-10038.	-10065.	-10067.	
14	-10086.	-10067.	-10057.	-9914.4	-9896.1	-9879.8	-9894.8	-10028.	-10065.	-10062.	
15	-10089.	-10067.	-10017.	-9974.4	-9939.2	-9924.5	-9963.7	-10049.	-10065.	-10067.	
16	-10096.	-10070.	-10052.	-10028.	-10002.	-9998.3	-10032.	-10064.	-10069.	-10065.	
17	-10105.	-10084.	-10066.	-10061.	-10052.	-10053.	-10065.	-10067.	-10276.	-10099.	
18	-10115.	-10105.	-10063.	-10063.	-10066.	-10267.	-10063.	-10066.	-10084.	-10108.	
19	-10121.	-10117.	-10067.	-10066.	-10063.	-10065.	-10066.	-10075.	-10297.	-10116.	
20	-10125.	-10125.	-10082.	-10075.	-10065.	-10072.	-10084.	-10296.	-10112.	-10120.	

- 1 0 1 2 5 . 0

Tops Structure of Layer7

1	-10153.	-10182.	-10207.	-10255.	-10271.	-10249.	-10278.	-10276.	-10255.	-10159.
2	-10136.	-10251.	-10116.	-10127.	-10115.	-10084.	-10297.	-10419.	-10382.	-10214.
3	-10149.	-10177.	10043.	-9984.4	-9987.6	-10050.	-10089.	-10395.	-10406.	-10233.
4	-10159.	-10062.	-9851.1	-9562.9	7359.7	-9539.7	-9418.2	-10235.	-10362.	-10228.
5	-10164.	-10135.	-9684.8	-9250.8	-9185.5	-9156.4	-9875.6	-10137.	-10334.	-10221.
6	-10201.	-10021.	-9374.5	-8948.7	-9164.2	-9579.3	-9984.9	-10231.	-10346.	-10226.
7	-10165.	-9916.	-9275.	-8948.6	-9227.8	7-9617.	-10025.	-10185.	-10318.	-10235.
8	-10267.	-9875.	-9984.275.	-9231.9	-9220.2	-9564.5	-10005.	-10114.	-10271.	-10223.
9	-10236.	-9864.5	-9612.6	-9189.	-9262.6	-9625.8	-9994.6	-10098.	-10245.	-10202.
10	-10263.	-9981.9	-9856.7	-9317.8	-9412.7	-9666.2	-9926.7	-10071.	-10222.	-10184.
11	-10132.	-10098.	-9969.7	-9597.6	-9638.3	-9747.7	-9889.5	-10050.	-10180.	-10145.
12	-10178.	-10222.	-10039.	6-9855.5	-9853.3	-9838.	-9891.1	-10047.	-10099.	-10089.
13	-10123.	-10114.	-10066.	-9920.4	-9933.6	-9876.1	-9912.7	-10051.	-10370.	-10072.
14	-10102.	-10077.	-10067.	-9970.4	-9966.2	-99459.65	-9948.3	-10043.	-10070.	-10068.
15	-10103.	-10077.	-10039.	-10012.	-9992.4	-9979.2	-10000.	-10059.	-10070.	-10072.
16	-10109.	-10077.	-10061.	-10046.	-10030.	-10027.	-10048.	-10089.	-10073.	-10087.
17	-10116.	-10092.	-10070.	-10066.	-10061.	-10065.	-10070.	-10071.	-10079.	-10102.
18	-10125.	-10116.	-10070.	-10069.	-10070.	-10071.	-10069.	-10070.	-10086.	-10112.
19	-10129.	-10126.	-10078.	-10072.	-10066.	-10078.	-10072.	-10079.	-10097.	-10118.
20	-10150.	-10129.	-10101.	-10089.	-10071.	-10079.	-10089.	-10098.	-10112.	-10125.

-10130.0

Tops Structure of Layer8

-10135.	-10182.	-10237.	-10255.	-10271.	-10249.	-10278.	-10276.	-10255.	-10159.
-10136.	-10251.	-10116.	-10127.	-10113.	-10084.	-10297.	-10419.	-10382.	-10214.
-10141.	-10177.	-10058.	-10021.	-10025.	-10081.	-10089.	-10345.	-10406.	-10255.
-10154.	-10070.	-906.9.	-962.1.	-9420.7.	-9604.5.	-9964.3.	-10255.	-10562.	-10228.
-10168.	-10135.	-9746.9.	-9300.8.	-9174.5.	-9427.5.	-9927.6.	-10137.	-10334.	-10221.
-10201.	-10039.	-9444.2.	-9018.5.	-9234.4.	-9645.9.	-10021.	-10251.	-10346.	-10226.
-10165.	-9960.5.	-9543.	-9018.9.	-9296.3.	-99665.5.	-10056.	-10185.	-10318.	-10285.
-10074.	-9924.4.	-10050.545.2.	-9103.1.	-9689.4.	-9633.9.	-10041.	-10114.	-10271.	-10228.
-10058.	-9918.2.	-9675.8.	-9258.7.	-9333.1.	-9491.4.	-10031.	-10298.	-10245.	-10202.
-10078.	-10015.	-9909.4.	-9388.5.	-9481.4.	-9731.7.	-9971.9.	-10275.	-10222.	-10184.
-10132.	-10098.	-10002.	-9659.2.	-9698.7.	-9810.6.	-9940.8.	-10069.	-10180.	-10145.
-10178.	-10222.	-10052.	-9927.	-9904.4.	-9891.9.	-9945.2.	-10258.	-10099.	-10089.
-10125.	-10114.	-10073.	-9969.5.	-9994.5.	-9919.9.	-9959.8.	-10061.	-10275.	-10276.
-10102.	-10077.	-10077.	-10015.	-10055.	-1002026.	-9990.3.	-10055.	-10075.	-10075.
-10103.	-10078.	-10055.	-10046.	-10046.	-10035.	-10031.	-10068.	-10075.	-10077.
-10109.	-10089.	-10070.	-10064.	-10060.	-10056.	-10065.	-10075.	-10077.	-10091.
-10116.	-10094.	-10075.	-10074.	-10075.	-10074.	-10075.	-10075.	-10085.	-10105.
-10125.	-10116.	-10075.	-10075.	-10076.	-10077.	-10074.	-10076.	-10091.	-10115.
-10131.	-10127.	-10080.	-10076.	-10072.	-10075.	-10077.	-10086.	-10105.	-10125.
-10135.	-10133.	-10101.	-10089.	-10075.	-10082.	-10094.	-10106.	-10119.	-10130.

1 2 3 4 5 6 7 8 9 10

Tops Structure of Layer9

1	-10159.	-10182.	-10207.	-10255.	-10271.	-10249.	-10278.	-10276.	-10255.	-10159.
2	-10159.	-10251.	-10116.	-10127.	-10113.	-10084.	-10297.	-10419.	-10382.	-10214.
3	-10149.	-10177.	-10075.	-10057.	-10062.	-10115.	-10089.	-10395.	-10406.	-10253.
4	-10159.	-10078.	-9663.	-9688. ⁷	-9499. ⁷	-9659.6	-10010.	-10255.	-10562.	-10228.
5	-10169.	-10135.	-9810.6	-9361.9	-9231.6	-9493.	-9981.5	-10137.	-10334.	-10221.
6	-10201.	-10057.	-9513.1	-9113.5	-9294.4	-9716.	-10058.	-10251.	-10546.	-10226.
7	-10165.	-10005.	-9422.2	-9104. ⁸	-9555.5	-9754.1	-10087.	-10185.	-10318.	-10235.
8	-10083.	-9973.9	10132.8	-9104.6	-9649.9	-9703.4	-10076.	-10114.	-10271.	-10223.
9	-10266.	-9711.8	-9738.	-9518.6	-9398.6	-9757.6	-10067.	-10098.	-10245.	-10202.
10	-10077.	-10049.	-9963.6	-9457. ⁹	-9551.	-9796.	-10017.	-10280.	-10222.	-10184.
11	-10132.	-10098.	-10054.	-9721.6	-9757.8	-9869.2	-9992.9	-10070.	-10180.	-10145.
12	-10178.	-10222.	-10065.	-9958.6	-9954.6	-9943.6	-9955.1	-10069.	-10099.	-10091.
13	-10123.	-10114.	-10079.	-10018.	-10055. ⁹	-9963.9	-10007.	-10071.	-10080.	-10081.
14	-10107.	-10085.	-10081.	-10056.	-10103.	-100295.	-10052.	-10068.	-10080.	-10078.
15	-10128.	-10084.	-10065.	-10078.	-10102.	-10087.	-10061.	-10077.	-10080.	-10082.
16	-10114.	-10063.	-10077.	-10092.	-10093.	-10086.	-10077.	-10080.	-10082.	-10095.
17	-10121.	-10099.	-10090.	-10081.	-10085.	-10085.	-10090.	-10080.	-10089.	-10109.
18	-10130.	-10119.	-10090.	-10080.	-10081.	-10082.	-10079.	-10083.	-10098.	-10120.
19	-10136.	-10131.	-10086.	-10081.	-10077.	-10060.	-10083.	-10045.	-10110.	-10129.
20	-10159.	-10157.	-10101.	-10090.	-10080.	-10087.	-10099.	-10112.	-10125.	-10136.

- 1 0 1 4 0 . 0

1 2 3 4 5 6 7 8 9 10

Tops Structure of Layer10

1	-10159.	-10182.	-10207.	-10255.	-10271.	-10249.	-10278.	-10276.	-10259.	-10159.
2	-10159.	-10251.	-10118.	-10127.	-10115.	-10284.	-10297.	-10419.	-10582.	-10214.
3	-10149.	-10177.	10075.	-10057.	-10062.	-10115.	-10099.	-10345.	-10405.	-10253.
4	-10159.	-10078.	-9644.9	-9712.6	9499.0	9669.6	-10010.	-10235.	-10362.	-10228.
5	-10169.	-10185.	-9813.	-9561.9	-9284.8	-9505.9	-9981.6	-10137.	-10254.	-10221.
6	-10201.	-10057.	-9513.1	1115.3	-9294.8	-9716.	-10058.	-10251.	-10346.	-10226.
7	-10165.	-10005.	-9400.2	-9104.8	-9355.5	79790.4	-10087.	-10185.	-10318.	-10255.
8	-10083.	-9975.9	10209454.1	-9184.6	-9649.9	-9739.3	-10076.	-10114.	-10271.	-10223.
9	-10066.	-9976.1	-9768.	-9518.8	-9403.6	-9768.4	-10067.	-10098.	-10245.	-10202.
10	-10077.	-10063.	-9963.6	59457.9	4557.5	-9825.8	-10017.	-10080.	-10222.	-10184.
11	-10152.	-10098.	-10073.	-9811.	-9784.8	-9879.2	-9995.2	-10071.	-10180.	-10145.
12	-10178.	-10222.	-10072.	10	-9961.	-9945.6	-9995.1	-10064.	-10044.	-10041.
13	-10123.	-10114.	-10079.	-10022.	-10269.	9963.9	-10008.	-10071.	-10080.	-10081.
14	-10109.	-10085.	-10061.	-10073.	-10165.	-1010963.	-10042.	-10068.	-10081.	-10079.
15	-10108.	-10084.	-10081.	-10094.	-10148.	-10154.	-10077.	-10078.	-10080.	-10082.
16	-10114.	-10083.	-10082.	-10090.	-10116.	-10111.	-10085.	-10080.	-10082.	-10095.
17	-10121.	-10099.	-10080.	-10082.	-10092.	-10091.	-10091.	-10080.	-10089.	-10109.
18	-10130.	-10119.	10200.	-10082.	-10081.	-10082.	-10080.	-10083.	-10098.	-10120.
19	-10136.	-10131.	-10094.	-10083.	-10077.	-10080.	-10083.	-10093.	-10110.	-10129.
20	-10139.	-10137.	-10111.	-10093.	-10080.	-10087.	-10100.	-10112.	-10125.	-10136.

-10250.

1 2 3 4 5 6 7 8 9 10

ການພັນວັດ ທ (2)

VERTICAL GROSS THICKNESS OF EACH LAYER IN PROJECT PPNEW

Vertical Gross Thickness of Layer1

1	11.527	12.345	41.755	62.918	63.458	64.039	65.151	0.	0.	0.	
2	50.429	0.	25.501	63.969	64.418	64.94	65.587	0.	0.	0.	
3	46.59	0.	65.251	66.105	67.647	68.389	69.751	0.	2.	3.	
4	36.689	65.901	67.514	70.174	73.962	74.289	66.05	0.	0.	0.	
5	22.781	0.	70.541	77.585	79.466	76.455	17.605	0.	0.	0.	
6	18.197	3623	75.679	77.591	78.589	72.199	65.512	0.	2.	3.	
7	8.0527	0.	77.117	76.786	76.563	77.5429	28.044	0.	0.	0.	
8	12.458	66.631	8026.851	82.746	77.04	76.287	32.971	0.	0.	0.	
9	21.598	66.772	70.289	78.274	77.386	71.789	33.354	21.777	0.	0.	
10	4.6418	11.582	0.	08.167	14.786	69.484	44.594	4.7119	2.	0.	
11	12.515	16.176	0.	69.948	69.482	66.824	52.487	10.715	0.	3.	
12	15.132	27.892	5.2607	55.405	53.544	53.93	52.04	11.34	.0332	1.5479	
13	15.815	16.415	22.2385	48.362	63.486	41.751	47.263	10.145	5.1123	4.627	
14	14.457	9.6494	1.0498	42.566	73.456	70.488	43.009	12.637	5.2559	5.3906	
15	14.528	6.707	10.655	31.081	56.294	57.253	32.646	9.2109	4.6611	4.7996	
16	12.439	6.5615	6.8781	15.688	50.203	50.742	15.694	5.3965	3.9873	4.1475	
17	11.215	8.5774	5.8779	5.5547	18.674	18.565	5.2979	4.2832	4.8311	5.0889	
18	10.877	10.526	6.2251	0.00	5.7715	4.1641	4.0596	5.3115	6.4785	8.2764	7.7119
19	7.5176	8.5591	11.117	6.7744	2.5964	4.8965	5.7998	8.0088	11.52	9.8242	
20	5.2607	6.2217	20.305	14.411	5.2925	7.6172	5.9307	6.8691	10.046	8.7956	
					62.000						

1 2 3 4 5 6 7 8 9 10

Vertical Gross Thickness of Layer2

	0.	0.	0.	0.	0.	0.	0.	0.	0.	0.	
1	0.	0.	0.	0.	0.	0.	0.	0.	0.	0.	
2	0.	0.	0.	0.	0.	0.	0.	0.	0.	0.	
3	0.	0.	15.678	56.277	57.541	50.453	1.2566	0.	0.	0.	
4	0.	8.2041	56.265	68.425	74.706	71.453	45.951	0.	0.	0.	
5	0.	0.	66.185	76.544	79.264	75.999	54.196	0.	0.	0.	
6	0.	16.802	74.615	79.228	77.585	71.187	55.558	0.	0.	0.	
7	0.	19.287	78.09	78.028	73.562	772.005	30.074	0.	0.	0.	
8	7.5049	49.521	75.855	79.758	76.037	74.191	34.559	0.	0.	0.	
9	14.075	54.11	66.174	77.000	76.388	70.364	35.194	0.	0.	0.	
10	7.3049	32.634	0.	76.46	73.777	68.469	43.817	4.6826	0.	0.	
11	0.	15234	0.	67.596	65.226	64.549	52.342	10.955	0.	0.	
12	0.	0.	15.429	52.356	51.267	53.093	52.051	11.572	0.	.4707	
13	0.	0.	6.8936	49.845	63.305	42.104	47.3	10.227	5.2534	4.5547	
14	0.	0.	10.44	44.874	73.507	69.683	42.851	12.687	5.2891	5.25	
15	0.	.89453	14.866	34.195	57.222	56.895	32.195	8.9893	4.7593	4.8408	
16	0.	3.3184	8.8511	18.778	51.979	51.852	15.505	5.3467	4.165	4.1768	
17	0.	1.5811	5.1689	7.415	12.278	11.448	5.2305	4.3936	4.0703	4.252	
18	0.	0.	0.00	5.1143	5.1475	5.5215	5.6709	5.3008	5.6182	4.9526	4.7891
19	2.5215	1.5029	.65547	3.8057	6.9336	5.0752	5.7129	6.7666	6.0518	5.3154	
20	4.7529	3.8205	0.	0.	4.7147	2.6152	5.6264	7.6084	6.7959	5.4219	
					61.0000						

1 2 3 4 5 6 7 8 9 10

Vertical Gross Thickness of Layer3

1	0.	0.	0.	0.	0.	0.	0.	0.	0.	0.
2	0.	0.	0.	0.	0.	0.	0.	0.	0.	0.
3	0.	0.	15.29	55.777	56.954	51.189	11.2441	0.	0.	0.
4	0.	8.1856	55.865	64.664	69.967	64.75	46.051	0.	0.	0.
5	0.	62.074	69.901	71.41	71.562	53.86	0.	0.	0.	0.
6	0.	18.157	69.429	78.051	70.696	66.589	56.458	0.	0.	2.5511
7	0.	44.481	68.772	77.028	68.159	70.213	30.76	0.	0.	13.762
8	0.4141	49.248	78.70.177	78.129	69.075	70.843	34.904	0.	0.	10.868
9	16.096	55.616	65.109	70.056	70.277	65.851	35.728	.9238	0.	0.
10	6.9844	55.149	51.208	70.746	68.629	65.355	45.061	4.8943	0.	0.
11	0.	.05711	0.	61.468	59.979	62.456	52.334	10.715	0.	0.
12	0.	0.	15.089	51.45	50.896	53.021	52.08	11.4	0.	2.8936
13	0.	0.	5.9082	49.166	62.912	42.486	47.222	10.152	5.1509	4.7657
14	0.	4.8215	5.0264	44.59	72.301	68.884	42.6	12.459	5.1982	5.3975
15	.62287	5.3799	14.108	53.154	55.899	55.936	31.875	8.8662	4.7793	4.8379
16	2.585	5.1172	7.6643	17.366	50.546	30.157	15.119	5.3545	3.915	3.7412
17	5.832	5.1029	4.5439	6.4707	11.197	10.568	5.1845	4.0078	2.1162	1.8975
18	4.9795	4.5654	5.6945	0.00	5.46	4.7363	4.5986	5.4551	3.624	0.
19	5.001	5.0615	6.7422	5.3945	4.4326	4.3795	5.0957	1.7275	0.	0.
20	4.9961	5.0469	0.	1.4727	5.0371	5.2715	4.4795	1.2715	0.	.53027

60.0000

1 2 3 4 5 6 7 8 9 10

Vertical Gross Thickness of Layer4

-	4.5554	0.	0.	0.	0.	0.	0.	0.	0.	0.	0.
2	0.	0.	0.	0.	0.	0.	0.	0.	0.	0.	0.
5	0.	0.	28.952	62.025	61.689	68.606	0.	0.	0.	0.	0.
4	0.	12.274	65.736	66.515	47.05	68.754	62.765	0.	0.	0.	0.
5	0.	0.	66.964	65.966	77.034	51.226	65.108	0.	0.	0.	0.
6	0.	52.875	50.421	77.031	75.261	63.736	61.787	0.	0.	0.	0.
7	0.	62.475	63.115	76.056	64.974	77.126	60.224	0.	0.	0.	0.
8	14.544	62.627	77.59.512	77.761	64.945	73.287	60.501	0.	0.	0.	0.
9	32.529	60.594	69.561	72.465	53.817	68.768	61.426	0.	0.	0.	0.
10	13.136	61.462	65.476	60.744	51.996	66.464	62.65	4.208	0.	0.	0.
11	0.	0.	60.265	66.815	66.453	63.929	63.106	17.397	0.	0.	0.
12	0.	0.	21.962	63.539	63.003	60.817	63.05	18.212	0.	0.	0.
13	0.	0.	6.853	63.42	69.364	58.778	63.01	15.755	5.1445	4.4551	
14	4.6348	4.9277	4.6768	65.234	67.733	61.688	63.796	19.665	5.0918	5.3262	
15	6.5262	5.7607	38.942	47.105	46.685	43.75	37.55	11.118	4.748	4.6066	
16	5.3711	5.1006	14.462	28.102	22.945	21.979	14.551	5.4229	4.1846	4.3828	
17	4.9551	4.8975	4.6494	5.8115	7.458	7.3511	5.1181	4.4688	5.2109	6.0068	
18	4.6828	4.8301	6.0566	5.8027	4.2681	4.5519	5.2563	6.7949	8.5215	8.7715	
19	4.9229	4.8467	6.8271	5.3867	4.6748	4.9222	5.9141	9.252	9.6309	9.5762	
20	4.9902	4.8877	5.9277	5.2666	5.0024	5.0752	6.2119	9.4062	10.168	9.4492	
					5.9.000						

1 2 3 4 5 6 7 8 9 10

Vertical Gross Thickness of Layer5

1	4.7959	0.	0.	0.	0.	0.	0.	0.	0.	0.
2	0.	0.	0.	0.	0.	0.	0.	0.	0.	0.
3	0.	0.	22.97	59.905	60.687	52.579	0.	0.	0.	0.
4	0.	10.539	62.738	65.7	71.486	68.574	61.764	0.	0.	0.
5	0.	0.	65.967	73.544	69.964	72.599	62.498	0.	0.	0.
6	0.	67.56	71.815	69.625	74.595	68.187	59.297	0.	0.	0.
7	0.	61.464	73.89	67.258	72.562	772.126	54.202	0.	0.	0.
8	17.566	61.594	76.32.654	73.376	74.037	72.288	59.501	0.	0.	0.
9	24.968	62.595	68.559	74.18	73.589	67.769	59.983	0.	0.	0.
10	9.6855	54.195	64.427	73.45	72.777	65.465	61.65	4.4346	0.	0.
11	0.	0.	51.234	65.813	65.453	62.95	62.186	14.874	0.	0.
12	0.	0.	18.796	62.534	62.003	59.817	62.05	15.802	0.	0.
13	0.	0.	6.4895	62.42	68.564	57.778	62.01	14.102	5.1611	4.5381
14	4.9561	4.9473	4.7539	64.037	73.537	70.526	62.796	18.69	5.2568	5.499
15	6.1084	5.6074	25.397	44.632	62.842	69.002	49.278	11.973	4.6416	4.7754
16	5.5584	5.005	11.229	22.628	35.913	37.92	20.533	5.6104	5.3916	5.5352
17	5.3513	4.9531	4.5957	7.1895	12.54	11.815	5.2699	3.4102	1.3564	2.0576
18	4.959	4.9131	0.00	5.9834	5.6982	4.5264	4.3955	5.6279	3.4375	0.
19	4.9805	4.9561	6.7275	5.5809	4.5761	4.9854	5.208	1.4561	0.	0.
20	4.9951	5.002	6.3105	5.2158	4.9883	5.843	4.4121	.875	0.	.18848
					58.000					

1 2 3 4 5 6 7 8 9 10

Vertical Gross Thickness of Layer 6

1	8.3887	0.	0.	0.	0.	0.	0.	0.	0.	0.
2	6.5781	0.	0.	0.	0.	0.	0.	0.	0.	0.
3	0.	0.	20.155	58.456	50.505	47.756	3.	0.	0.	0.
4	0.	9.5459	61.651	60.508	53.692	63.255	60.772	0.	0.	0.
5	0.	65.54	72.417	62.5	75.544	59.459	61.379	0.	0.	0.
6	0.	23.825	68.829	74.817	75.768	51.609	52.931	0.	0.	0.
7	0.	60.482	71.729	74.818	71.434	770.908	46.584	0.	0.	0.
8	11.084	60.654	75.81437	76.209	77.868	70.603	52.608	0.	0.	0.
9	24.672	61.528	66.518	73.555	71.748	66.21	52.672	0.	0.	0.
10	8.3691	46.146	65.169	65.333	60.452	63.95	60.672	4.9068	0.	0.
11	0.	2.	42.863	59.488	60.404	61.631	61.099	15.195	0.	0.
12	0.	2.	15.86	61.5	60.912	58.76	61.048	15.847	0.	0.
13	0.	2.	5.0479	61.426	67.374	66.778	61.01	12.251	5.126	4.6455
14	13.655	9.9072	0.	56.026	78.066	69.367	55.435	15.448	5.1807	5.5496
15	14.472	9.4863	21.913	57.797	53.268	54.938	56.22	10.113	4.7129	4.8125
16	12.044	6.54	9.2168	17.658	28.166	28.83	16.057	5.4464	3.8467	3.9473
17	11.018	8.3252	3.9453	5.4619	9.4297	9.3828	5.2189	3.9551	5.2148	3.6582
18	10.115	10.608	6.3584	0.00	5.9463	3.8857	5.7764	5.4229	4.7129	3.8857
19	7.5762	8.6318	10.73	6.6855	2.416	4.8084	5.3408	3.9111	0.	2.5752
20	5.2646	6.2686	18.525	13.524	5.252	7.6094	5.127	2.3721	2.	4.1211
					5.7.000					

1 2 3 4 5 6 7 8 9 10

Vertical Gross Thickness of Layer7

1.	1.5542	0.	0.	0.	0.	0.	0.	2.	0.	0.	
2.	2.	0.	0.	0.	0.	0.	0.	0.	0.	0.	
3.	0.	0.	15.462	36.317	57.459	31.648	0.	0.	0.	0.	
4.	0.	8.1885	55.815	63.219	60.49	64.742	46.024	2.	0.	0.	
5.	2.	62.824	69.966	71.032	70.019	53.94	0.	0.	0.	0.	
6.	0.	7.683	68.649	69.526	70.274	65.118	66.432	0.	0.	0.	
7.	0.	44.586	69.954	69.548	68.521	76.507	31.082	0.	0.	0.	
8.	7.791	49.434	74.59.21	71.142	69.209	69.418	55.493	0.	0.	0.	
9.	13.075	56.666	65.21	69.768	70.479	65.21	56.109	0.	0.	0.	
10.	6.7148	53.098	55.786	70.445	69.736	62.93	43.166	4.6287	2.	0.	
11.	0.	0.	51.991	61.547	60.398	60.631	52.134	10.725	0.	0.	
12.	0.	0.	15.465	51.537	51.157	53.949	52.04	11.523	0.	0.	
13.	0.	0.	7.0225	49.102	60.93	43.865	47.152	10.144	5.1045	4.6807	
14.	2.	.06055	9.5752	44.468	66.773	65.802	42.043	12.482	5.2021	5.5677	
15.	2.	1.3506	16.006	33.505	55.711	53.442	31.056	8.875	4.7344	4.7815	
16.	0.	3.5527	9.1553	18.364	30.165	29.255	14.741	5.3379	4.04	3.6436	
17.	0.	1.5742	5.2168	7.5535	11.756	10.924	5.2109	4.4065	3.7578	3.0166	
18.	0.	0.	5.1523	0.00	5.127	5.457	5.5801	5.292	5.6416	4.7119	3.3516
19.	2.377	1.3516	2.0571	4.0591	6.625	5.0025	5.6611	6.8672	5.4951	4.9551	
20.	4.7452	3.7998	0.	0.	4.7852	2.8545	5.3956	7.7156	6.9648	5.5918	
					56.000						

1 2 3 4 5 6 7 8 9 10

Vertical Gross Thickness of Layer8

3.8125	0.	0.	0.	0.	0.	0.	0.	0.	0.	0.
5.1611	0.	0.	0.	0.	0.	0.	0.	0.	0.	0.
0.	0.	15.5	55.865	57.309	51.124	0.	0.	0.	0.	0.
2.	8.1992	56.118	62.279	67.90	64.862	46.027	0.	0.	0.	0.
0.	0.	62.59	61.156	57.053	69.019	53.951	0.	0.	0.	0.
0.	18.217	67.649	72.972	68.003	64.118	56.345	0.	0.	0.	0.
0.	44.628	59.345	72.018	58.968	76.552	31.287	0.	0.	0.	0.
8.4395	49.488	66.278	74.009	69.496	66.905	35.644	0.	0.	0.	0.
16.563	56.602	62.171	59.394	65.496	64.21	56.168	0.	0.	0.	0.
7.1145	33.553	54.151	69.268	66.756	61.93	49.305	4.8738	0.	0.	0.
0.	0.	52.562	62.388	59.071	58.505	52.137	10.818	0.	0.	0.
0.	0.	15.059	51.604	50.154	51.672	51.914	11.362	0.	1.0848	
0.	0.	5.8569	48.203	62.662	45.964	47.159	10.143	5.082	4.8525	
4.7657	6.3428	4.5498	41.541	68.452	65.362	41.684	12.316	5.1582	5.2275	
5.0957	6.2398	9.7412	51.872	55.59	53.856	50.44	8.7119	4.8066	4.8867	
5.0742	5.4004	6.8066	19.552	32.152	29.743	14.505	5.295	4.7805	4.2805	
4.6055	5.0168	4.585	7.1348	12.297	16.924	5.2189	4.9912	5.5791	3.8926	
4.6721	3.5742	5.6582	0.0	5.4595	4.9814	4.9307	5.5458	6.9141	6.8281	4.5859
4.8125	5.71	5.8809	5.2654	4.9268	5.	5.8396	7.3916	7.2959	5.5305	
4.7607	3.8906	0.	1.5674	4.9688	4.5254	4.6113	5.9639	6.4521	5.4863	
					55.000					

1 2 3 4 5 6 7 8 9 10

Vertical Gross Thickness of Layer9

1	.41992	0.	0.	0.	0.	0.	0.	0.	0.	0.
2	0.	0.	0.	0.	0.	0.	0.	0.	0.	0.
3	0.	0.	0.	0.	0.	0.	0.	0.	0.	0.
4	0.	1.4455	23.955	27.617	0.	0.	.01758	0.	0.	0.
5	0.	2.4111	8.515	2.957	6.8174	0.	.05966	0.	0.	0.
6	0.	0.	0.	0.	0.	0.	.42578	0.	0.	0.
7	0.	0.	0.	0.	0.	756.884	0.	0.	0.	0.
8	0.	0.	0.	0.	0.	78.	0.	0.	0.	0.
9	0.	12.84592	0.	0.	0.	55.957	0.	0.	0.	0.
10	0.	4.3145	0.	0.	5.02957	10.806	0.	0.	0.	0.
11	0.	14.019	0.	6.5146	0.	9.7285	0.	.01074	0.	0.
12	0.	0.	38.687	61.388	26.997	10.097	.22259	0.	0.	0.
13	0.	0.	6.793	10.563	6.5799	0.	0.	0.	0.	0.
14	0.	0.	0.	4.5145	55.587	0.	1.126	0.	.02246	0.
15	.94141	2.0684	0.	16.964	61.838	55.368	18.195	.5625	.24414	.27246
16	0.	0.	16.076	16.615	46.34	47.294	15.968	1.5571	0.	0.
17	0.	0.	4.6592	7.5029	23.208	24.688	8.1426	.2686	0.	0.
18	0.	0.	.1123	.47266	6.6797	6.6729	.29004	0.	0.	0.
19	0.	0.	1.2524	0.00	.13184	.22559	.04688	.25293	0.	0.
20	0.	0.	8.3418	1.2988	0.	0.	.36153	0.	0.	0.
21	0.	0.	10.758	2.8682	.05125	.59781	1.1406	.03418	0.	0.
					54.000					

1 2 3 4 5 6 7 8 9 10

Vertical Gross Thickness of Layer10

1	55.406	57.411	59.656	60.521	60.252	60.181	59.168	57.624	56.235	55.308
2	57.252	60.665	64.304	64.259	64.402	64.598	62.454	60.053	57.746	55.951
3	59.45	63.964	65.614	67.544	66.637	65.546	64.735	61.828	59.012	56.542
4	60.657	65.154	68.722	67.275	76.966	74.021	67.691	63.572	59.958	56.716
5	60.825	64.851	71.597	78.544	80.436	77.144	68.44	64.576	60.378	56.885
6	61.281	66.465	76.646	81.141	79.446	75.611	66.539	63.089	60.469	56.942
7	63.133	67.625	78.51	81.258	78.791	77.045	65.809	64.226	60.805	57.14
8	65.224	68.165	71.578	80.861	76.807	73.859	66.224	64.572	61.225	57.46
9	65.705	68.559	73.925	81.218	78.536	72.642	66.468	64.657	61.665	57.852
10	65.215	66.549	70.288	80.275	76.062	71.705	67.586	64.98	62.417	58.583
11	63.487	64.777	66.879	71.708	72.008	70.188	68.187	65.331	63.435	59.62
12	61.51	63.653	65.446	68.865	68.625	68.47	68.154	65.388	64.388	61.275
13	60.972	64.22	65.16	67.589	68.855	67.578	67.756	65.306	65.127	63.926
14	61.227	64.688	65.178	68.962	69.999	67.867	66.923	65.262	65.275	67.211
15	61.524	64.922	64.948	66.205	67.711	67.164	65.945	64.94	64.979	64.297
16	61.568	64.945	64.849	65.46	66.243	65.991	65.184	64.976	64.739	61.151
17	61.259	64.914	64.995	65.157	65.548	65.211	64.983	65.117	65.72	59.427
18	59.962	63.499	64.728	64.954	65.174	65.116	65.102	64.019	61.451	57.686
19	57.293	60.136	62.599	64.455	65.065	65.042	63.697	60.725	59.055	56.049
20	55.216	57.064	59.765	62.47	64.901	62.761	54.638	56.698	55.436	55.112

55.000

1 2 3 4 5 6 7 8 9 10

ภาคผนวก ช (3)

VERTICAL NET THICKNESS OF EACH LAYER IN PROJECT PPNEW

Vertical Net Thickness of Layer2

1	3.5849	0.	0.	0.	0.	0.	0.	0.	0.	0.
2	3.5115	0.	0.	0.	0.	0.	0.	0.	0.	0.
3	0.	0.	23.824	24.505	24.518	24.087	23.9414	0.	0.	0.
4	0.	0.7148	25.266	26.451	27.05	26.527	24.806	0.	0.	0.
5	0.	0.	25.82	27.952	28.576	26.592	25.166	0.	0.	0.
6	0.	15.473	26.415	29.226	28.269	26.175	24.385	0.	0.	0.
7	0.	24.515	27.66	29.268	27.782	26.051	24.066	0.	0.	0.
8	5.7842	25.874	26.051	28.921	27.854	26.219	24.323	0.	0.	0.
9	14.895	26.252	26.246	28.218	27.495	26.097	24.376	0.	0.	0.
10	7.8477	24.176	0.	27.365	26.821	26.02	24.827	3.9072	0.	0.
11	0.	1.8760	24.118	25.968	26.128	25.645	25.04	15.413	0.	0.
12	0.	0.	0.	25.476	25.253	25.475	25.396	14.353	0.	0.
13	0.	0.	4.4785	24.718	24.848	25.123	24.853	13.668	6.7295	5.8203
14	0.	.44531	5.752	24.27	24.596	24.889	24.449	16.196	6.4238	5.6797
15	0.	0.	23.419	25.956	24.212	24.285	23.966	11.541	4.3125	4.6055
16	0.	0.	16.289	20.896	25.769	25.643	13.552	5.4248	2.1074	2.5408
17	0.	0.	7.6332	8.5376	10.556	18.03	5.4981	3.251	.71289	1.5809
18	0.	0.	4.2285	4.5713	5.6885	6.0752	4.5447	2.2227	.59766	1.6602
19	0.	0.	.26172	3.6904	8.4639	4.8242	2.9131	1.3721	1.1006	2.4775
20	1.9639	0.	0.	0.	4.2119	.11914	0.	.26465	1.7148	5.4756
					19.000					

1 2 3 4 5 6 7 8 9 10

Vertical Net Thickness of Layer1

12.517	20.859	21.622	22.156	23.05	24.052	22.711	0.	0.	0.
20.665	0.	25.669	25.945	24.972	25.598	25.969	0.	0.	0.
21.197	0.	25.449	26.004	26.515	26.74	24.982	0.	0.	0.
21.621	24.532	26.596	27.187	20.02	27.749	26.829	0.	0.	0.
21.686	8.6587	26.962	28.908	29.727	28.825	26.052	0.	0.	0.
17.964	24.761	28.005	20.175	29.207	27.117	25.362	0.	0.	0.
0.	25.761	28.126	50.5026	28.862	727.269	25.07	0.	0.	0.
14.786	26.124	26.528	29.69	28.895	27.26	25.5	0.	0.	0.
25.29	26.134	26.947	29.77	28.553	27.102	25.35	0.	0.	0.
4.8283	25.248	0.	28.944	27.77	27.064	25.788	4.3056	0.	0.
0.	4.8783	0.	26.947	27.077	27.002	26.159	13.701	0.	0.
0.	0.	15.497	26.394	26.256	26.65	26.16	15.43	0.	0.
0.	0.	9.1768	25.869	25.907	26.515	26.843	13.527	6.5408	5.4697
0.	0.	16.991	26.06	26.994	26.591	24.751	14.34	6.1445	5.4424
5.8918	2.4023	24.587	26.017	27.422	28.124	25.698	7.917	4.875	4.9541
12.666	6.8726	11.648	21.041	26.088	26.129	12.522	4.5271	5.7783	5.1084
15.578	10.873	5.957	5.9356	9.5811	6.8068	4.748	6.1567	6.0285	5.1611
13.947	15.755	6.9648	0.00	6.0069	3.9555	3.4834	5.5486	5.9541	5.3242
9.0908	11.046	14.433	7.2686	1.9619	4.8925	6.1572	4.3066	5.8672	4.3096
5.4268	7.4297	22.128	16.507	5.2471	7.5107	4.7051	2.6035	2.6631	4.8449
				20.000					
1	2	3	4	5	6	7	8	9	10

Vertical Net Thickness of Layer3

0.	0.	0.	0.	0.	0.	0.	0.	0.	0.
0.	0.	0.	0.	0.	0.	0.	0.	0.	0.
0.	0.	19.554	20.726	20.721	20.655	20.5721	0.	0.	0.
0.	8.6309	21.082	21.586	22.075	21.672	20.889	0.	0.	0.
0.	4.5049	21.546	22.747	24.615	22.035	21.089	0.	0.	0.
0.	15.386	22.113	26.478	25.385	21.19	20.701	0.	0.	0.
0.	20.91	24.899	26.448	22.763	22.101	20.397	0.	0.	0.
7.8086	20.971	25.42729	25.414	22.654	23.096	20.579	0.	0.	0.
15.144	21.077	21.555	23.25010	23.500	22.009	20.629	0.	0.	0.
7.0254	20.646	21.307	22.288	22.521	21.013	20.95	4.7104	0.	0.
0.	0.	5.6711	21.362	20.77	20.401	21.089	9.7119	0.	0.
0.	0.	9.7637	20.888	20.268	19.322	21.125	10.012	0.	2.4336
4.8018	5.1885	7.5359	21.355	25.579	18.153	21.075	8.854	5.0615	4.7312
8.5684	9.123	0.	22.196	25.054	27.8513	21.932	11.354	5.2482	5.2764
8.0234	7.8711	17.999	21.981	24.342	26.091	22.851	9.1494	4.3877	4.7988
4.8691	5.793	11.092	17.121	22.529	25.15	12.388	5.4169	3.7549	3.5947
1.5811	4.9141	6.2393	7.4892	9.5801	9.5215	5.2569	5.6738	2.9502	3.0275
1.1855	.95705	4.7031	20.000	4.7354	5.1904	5.5264	4.9434	3.376	2.5029
4.9141	2.7207	5.8418	5.1475	4.7861	4.96	4.4541	5.1465	2.666	5.3458
4.9805	4.677	0.	0.	5.0000	4.7763	5.959	5.165	5.1504	5.6281
14.000									
1	2	3	4	5	6	7	8	9	10

Vertical Net Thickness of Layer4

1	2	3	4	5	6	7	8	9	10	
0.	0.	0.	0.	0.	0.	0.	0.	0.	0.	0.
0.	0.	0.	0.	0.	0.	0.	0.	0.	0.	0.
0.	0.	24.345	28.446	28.222	27.999	0.	0.	0.	0.	0.
0.	12.219	33.247	30.816	35.466	35.248	31.125	0.	0.	0.	0.
0.	0.	54.452	56.759	57.23	35.124	32.85	0.	0.	0.	0.
0.	35.325	35.491	39.123	57.048	35.104	29.087	0.	0.	0.	0.
0.	31.108	36.825	38.168	56.88	734.858	28.045	0.	0.	0.	0.
18.392	32.541	25.36.449	37.972	36.878	55.088	29.086	0.	0.	0.	0.
25.352	30.751	54.919	37.368	56.426	34.453	29.078	0.	0.	0.	0.
12.683	28.438	33.559	36.368	35.884	35.551	30.944	4.1816	0.	0.	0.
0.	0.	27.002	35.195	35.746	35.941	32.543	17.39	0.	0.	0.
0.	0.	21.896	34.344	33.4	35.188	32.498	18.088	0.	0.	0.
0.	0.	6.5664	30.137	28.547	34.065	31.53	15.721	5.1045	4.2842	
0.	5.2744	5.2002	27.17	26.608	50.9022	30.002	19.521	5.0226	5.4365	
.39746	5.4805	22.921	25.495	26.559	28.602	27.182	10.916	4.8184	4.7646	
.18848	4.369	14.454	20.895	22.894	21.832	14.37	5.4053	4.0527	3.5029	
1.6874	6.1172	4.6426	5.8057	7.3721	7.1115	5.0625	4.291	3.3379	2.749	
3.6278	7.5479	0.000	6.0557	5.7988	4.2554	4.5457	5.3643	5.1377	3.5469	2.5781
0.	0.	8.2598	6.8511	5.3789	4.6426	4.9895	5.4355	5.1299	3.6777	2.5479
0.	0.	6.3154	5.2598	5.001	5.2801	5.1587	4.6924	3.6318	2.5107	
					17.000					

Vertical Net Thickness of Layer5

Vertical Net Thickness of Layer6

1	0.	0.	0.	0.	0.	0.	0.	0.	0.	0.	0.
2	0.	0.	0.	0.	0.	0.	0.	0.	0.	0.	0.
3	0.	0.	19.42	32.455	32.228	31.785	0.	0.	0.	0.	0.
4	0.	9.5223	33.555	31.781	34.90	34.575	32.746	0.	0.	0.	0.
5	0.	0.	33.925	35.749	36.646	35.066	33.249	0.	0.	0.	0.
6	0.	0.	34.64	34.46	38.298	36.227	34.159	32.105	0.	0.	0.
7	0.	32.726	35.971	39.458	36.846	34.366	31.752	0.	0.	0.	0.
8	10.84	35.062	33.25.15	36.818	38.448	34.478	32.111	0.	0.	0.	0.
9	25.354	36.185	34.25	36.812	35.535	34.164	32.182	0.	0.	0.	0.
10	43.5047	32.002	33.627	35.271	30.00	34.77	34.091	32.734	4.5254	2.	0.
11	0.	0.	31.688	34.217	34.227	34.02	33.155	15.06	0.	0.	0.
12	0.	0.	16.262	33.715	33.339	33.622	33.756	15.687	0.	0.	0.
13	0.	0.	6.0459	32.485	33.027	33.104	32.745	12.217	5.0732	4.4844	0.
14	0.	5.2041	5.8291	31.56	32.75	32.1524	31.896	15.398	5.1494	5.4045	0.
15	2.0695	5.5125	20.769	30.827	31.822	31.589	30.817	10.036	4.7266	4.7598	0.
16	11.9199	4.6016	9.6426	18.438	29.116	29.336	16.005	5.4169	3.8926	3.4883	0.
17	2.8125	5.7021	4.5898	6.4277	10.457	10.021	5.2031	4.1445	5.2822	2.7861	0.
18	4.285	6.6025	5.7852	0.00	5.5615	4.6328	4.6289	5.5945	5.1504	3.6064	2.7148
19	0.	7.0254	6.4092	5.533	4.6152	4.9885	5.5186	5.2529	3.8477	2.292	0.
20	0.	0.	6.0889	5.2725	5.0035	5.1125	5.2217	4.832	3.8613	2.8516	0.

15.000

1 2 3 4 5 6 7 8 9 10

Vertical Net Thickness of Layer7

	0.	0.	0.	0.	0.	0.	0.	0.	0.	0.	0.
1	0.	0.	0.	0.	0.	0.	0.	0.	0.	0.	0.
2	0.	0.	0.	0.	0.	0.	0.	0.	0.	0.	0.
3	0.	0.	14.635	29.001	28.857	26.796	24.835	0.	0.	0.	0.
4	0.	7.8711	50.523	50.026	52.967	52.116	29.649	0.	0.	0.	0.
5	0.	0.	51.285	34.618	55.614	52.588	50.355	0.	0.	0.	0.
6	0.	19.287	52.98	36.033	35.285	31.648	28.745	0.	0.	0.	0.
7	0.	29.563	34.215	36.058	54.67	752.647	28.119	0.	0.	0.	0.
8	8.4282	29.763	32.83.997	36.243	34.664	32.715	28.611	0.	0.	0.	0.
9	17.694	30.3	31.63	35.502	35.954	31.798	28.79	0.	0.	0.	0.
10	7.7109	20.565	30.87	33.514	32.567	31.486	29.608	4.6885	0.	0.	0.
11	0.	0.	26.252	31.697	31.556	31.187	30.204	10.644	0.	0.	0.
12	0.	0.	15.071	30.927	30.348	30.426	30.114	11.21	0.	0.	0.
13	0.	0.	9.749	29.452	30.92	29.45	29.722	10.121	5.8527	4.6123	
14	1.37505	5.1553	4.1016	28.757	31.578	31.031	29.867	12.49	5.1611	5.3389	
15	2.9785	5.2178	12.822	27.938	30.184	29.972	27.946	8.9199	4.749	4.7959	
16	2.6701	4.7217	7.4346	16.436	28.093	27.915	14.858	5.3555	4.0244	3.7168	
17	3.4766	5.4814	4.5703	6.5828	10.892	10.396	5.2189	4.2666	3.5469	3.1390	
18	4.3535	6.0408	5.625	5.4297	4.8174	4.7795	5.08457	5.1777	3.874	3.1084	
19	0.	6.5867	6.1367	5.2959	4.6572	4.9834	5.4844	5.2822	4.0908	3.1992	
20	0.	0.	5.8965	5.2412	5.0029	5.1074	5.2275	4.9092	4.1128	3.2744	

14.000

1 2 3 4 5 6 7 8 9 10

Vertical Net Thickness of Layer8

1	0.	0.	0.	0.	0.	0.	0.	0.	0.	0.
2	0.	0.	0.	0.	0.	0.	0.	0.	0.	0.
3	0.	0.	27.228	29.819	29.659	29.896	0.	0.	0.	0.
4	0.	12.112	31.556	30.192	32.474	32.4	30.575	0.	0.	0.
5	0.	0.	51.969	34.595	36.128	35.104	51.402	0.	0.	0.
6	0.	27.642	35.026	16.9	35.343	31.922	29.6	0.	0.	0.
7	0.	30.445	34.256	16.4018	35.658	755.51	28.896	0.	0.	0.
8	16.359	31.201	32.35.958	35.425	35.247	33.27	29.46	0.	0.	0.
9	27.867	31.31	31.965	35.622	33.952	32.407	29.624	0.	0.	0.
10	12.658	29.332	31.69	33.358	32.679	32.299	30.529	4.1669	0.	0.
11	0.	0.	28.942	32.529	32.405	32.576	31.254	17.452	0.	0.
12	0.	0.	21.899	32.146	31.466	31.85	31.246	18.138	0.	0.
13	0.	0.	6.5635	30.23	31.205	30.915	30.642	15.953	5.1055	4.2793
14	0.	5.5625	3.165	29.112	31.324	31.355	29.789	20.453	5.1074	5.5025
15	66682	5.5498	26.115	28.1	30.864	30.161	28.319	11.855	4.7134	4.7041
16	40918	4.4102	13.129	22.387	28.182	27.977	17.504	5.5254	3.6787	3.1055
17	1.7217	6.1543	4.6074	6.7725	9.9555	9.2187	5.1621	3.9697	2.8125	2.1914
18	3.6747	7.5859	6.1191	5.8223	4.5369	4.3887	5.4648	5.1155	3.1445	2.042
19	0.	8.2334	6.9775	5.4258	4.5527	4.9854	5.5752	5.1816	3.3994	2.0654
20	0.	0.	6.4865	5.3232	5.0039	5.1094	5.2041	4.6758	5.4014	2.0742
					13.000					

Vertical Net Thickness of Layer9

	0. 0.									
1										
2	0.	0.	19.438	19.702	19.716	19.877	0.	0.	0.	0.
3	0.	19.536	20.503	21.128	21.366	21.082	20.155	0.	0.	0.
4	0.	20.191	22.744	25.574	22.997	23.407	21.727	0.	0.	0.
5	0.	19.895	25.561	20.5	21.275	24.061	22.226	19.814	0.	0.
6	0.	20.457	22.188	29.2%	20.927	24.511	21.134	8.8672	0.	0.
7	7.5098	21.612	26.521	29.158	21.154	728.088	20.602	19.524	0.	0.
8	20.156	21.948	32.2409	25.68	21.006	26.28	20.967	19.762	0.	0.
9	20.604	20.378	25.854	28.473	23.6687	24.803	21.03	18.795	0.	0.
10	20.144	20.929	0.	24.035	25.541	22.748	21.799	19.983	0.	0.
11	19.586	19.754	21.215	25.044	22.085	21.285	22.156	20.239	19.417	18.876
12	.64355	4.289	20.475	21.585	20.389	19.514	22.21	20.248	19.704	19.214
13	18.666	19.1	22.463	22.979	27.753	18.148	21.944	20.189	20.041	19.797
14	18.828	19.551	21.021	24.259	29.064	27.689%	22.068	20.558	20.184	20.8
15	19.205	19.739	20.689	23.266	26.388	26.229	22.461	20.677	19.84	19.876
16	19.123	19.892	20.536	21.456	22.981	22.998	21.071	20.079	19.541	18.979
17	19.076	19.844	20.118	20.179	20.648	20.867	20.082	19.633	19.174	18.557
18	18.862	19.535	16.925	0.00	19.994	20.105	20.196	18.949	19.396	18.849
19	0.	19.15	19.561	19.851	20.206	20.203	19.635	19.054	18.555	18.188
20	0.	0.	19.387	19.442	19.921	19.468	18.938	18.498	18.23	18.077

12.000

1 2 3 4 5 6 7 8 9 10

Vertical Net Thickness of Layer10

1	12.06	15.118	18.754	20.1	20.662	21.185	19.566	16.111	13.328	11.51
2	15.872	20.945	25.598	25.989	26.168	26.48	24.31	20.501	16.467	12.766
3	18.681	25.658	27.772	29.272	29.276	28.971	26.729	23.42	18.946	15.825
4	21.849	27.184	30.297	30.577	30.49	30.667	29.755	25.455	20.538	14.49
5	21.694	26.654	30.576	32.026	34.844	31.624	30.218	26.264	20.682	14.725
6	22.522	27.954	31.81	34.016	33.551	30.094	29.213	25.526	20.519	14.781
7	24.612	29.74	32.233	34.048	32.684	30.456	28.987	25.674	20.669	14.857
8	27.494	30.004	31.971	34.24	33.664	30.53	29.369	26.233	21.153	15.216
9	28.306	30.114	30.166	33.343	31.831	30.527	29.315	26.484	21.987	15.8
10	27.402	29.118	30.516	31.283	30.745	30.596	29.76	26.167	23.294	16.859
11	24.451	26.658	28.783	30.796	30.664	30.75	30.147	27.304	25.825	18.635
12	21.653	25.525	27.572	30.68	30.269	30.574	30.151	27.54	26.307	21.152
13	20.975	26.221	27.14	29.475	29.865	30.125	29.775	27.324	27.281	25.27
14	21.561	26.617	26.968	28.585	29.684	29.967	29.195	27.245	27.422	30.586
15	21.714	27.072	26.73	27.971	29.115	29.254	28.212	26.854	26.965	25.875
16	21.652	26.956	26.652	27.421	28.147	28.018	27.206	26.561	26.628	20.864
17	21.105	26.874	26.975	27.169	27.331	27.113	26.977	27.248	25.121	18.215
18	19.897	24.742	26.581	26.908	27.235	27.091	27.171	25.628	21.558	15.515
19	14.602	19.187	25.186	26.145	26.318	27.065	24.985	20.1	16.888	12.799
20	11.197	14.147	18.661	23.857	26.841	25.949	18.729	15.653	11.6	11.289
						11.000				
	1	2	3	4	5	6	7	8	9	10

ภาคผนวก ๔

DATA INPUT IN SIMULATION MODEL

Data input of project PPnew in simulation model

1. Field data

- Production area = 30km^2 = 7800 acres.
- Depth to top of structure = -8,500 feet.
- Initial pressure = 6,570 psia.
- Initial temperature = 213 $^{\circ}\text{F}$
- Base data for simulation @ 01-01-91 (DD-MM-YY).

Input unit : English - SPE Standard.

Output unit: English - SPE Standard.

2. Rock properties data

- Gross thickness = 82 feet.
- Net thickness = 28 feet.
- Irreducible water saturation = 0.1 fraction.
- Critical Gas Saturation = 0.05 fraction.
- Relative Permeability to gas @ Irreducible water saturation = 1.0 fraction
- Pore Size Distribution Index = 0.8
- Capillary Entry Pressure - G/W = 1.0 psia.
- Constant compressibility for matrix Rock = $0.6 \text{ E-5 } \text{ psi}^{-1}$

3. Fluid data

3.1 Gas property

- Gas gravity = 0.59

3.2 Water property

- Density @ standard conditions = 62.4 lb/cu.ft.
- Compressibility = $3.0 \text{ E-6 } 1/\text{psi}$.
- Viscosity = 0.5 cp.
- Formation volume factor @ initial reservoir pressure = 1.001 RB/STB
- Standard pressure = 14.65 psia.
- Standard temperature = 60 $^{\circ}\text{F}$
- Maximum pressure current = 7,000 psia.

4. Grid

Number of layers to model	=	10	layers.
x-origin on map	=	1,561,703.5	
y-origin on map	=	6,067,974.5	
Grid angle (x-axis)	=	0	
Number of x-increments	=	10	cells.
Size of x-increments	=	1,870.5	feet.
Number of y-increments	=	20	cells.
Size of y-increments	=	1,536.0	feet.

5. Equilibrium

Reference Elevation	=	-9,000	feet.
Pressure @ Reference elevation	=	6,570	psia.
Elevation of G-W contact	=	-10,040	feet.
G-W Capillary pressure @ constant elevation	=	0	psia

Data input of project KKME in simulation model

1. Field data

- Production area	=	19.22km ²	=	4,750 acres.
- Depth to top of structure	=		=	-8,500 feet.
- Initial pressure	=		=	6,500 psia.
- Initial temperature	=		=	213 °F
- Base data for simulation	@	01-01-91 (DD-MM-YY).		

Input unit : English - SPE Standard.

Output unit: English - SPE Standard.

2. Rock properties data

- Gross thickness	=	65	feet.
- Net thickness	=	20	feet.
- Irreducible water saturation	=	0.1	fraction.
- Critical Gas Saturation	=	0.05	fraction.
- Relative Permeability to gas @ Irreducible water saturation = 1.0	fraction		

- Pore Size Distribution Index = 0.8
- Capillary Entry Pressure - G/W = 1.0 psia.
- Constant compressibility for matrix Rock = 0.6 E-5 psi^{-1}

3. Fluid data

3.1 Gas property

- Gas gravity = 0.59

3.2 Water property

- Density @ standard conditions = 62.4 lb/cu.ft.
- Compressibility = 3.0 E-6 1/psi.
- Viscosity = 0.5 cp.
- Formation volume factor @ initial reservoir pressure = 1.001 RB/STB
- Standard pressure = 14.65 psia.
- Standard temperature = 60 °F
- Maximum pressure current = 7,000 psia.

4. Grid

- Number of layers to model = 10 layers.
- x-origin on map = 0
- y-origin on map = 0
- Grid angle (x-axis) = 0
- Number of x-increments = 10 cells.
- Size of x-increments = 1,017.05 feet.
- Number of y-increments = 20 cells.
- Size of y-increments = 1,017.05 feet.

5. Equilibrium

- Reference Elevation = -9,000 feet.
- Pressure @ Reference elevation = 6,500 psia.
- Elevation of G-W contact = 10,000 feet.
- G-W Capillary pressure @ constant elevation = 0 psia

Data input of project KK65 in simulation model

1. Field data

- Production area = 19.22km² = 4,750 acres.
- Depth to top of structure = -8,500 feet.
- Initial pressure = 6,500 psia.
- Initial temperature = 213 °F
- Base data for simulation @ 01-01-91 (DD-MM-YY).

Input unit : English - SPE Standard.

Output unit: English - SPE Standard.

2. Rock properties data

- Gross thickness = 60 feet.
- Net thickness = 20 feet.
- Irreducible water saturation = 0.1 fraction.
- Critical Gas Saturation = 0.05 fraction.
- Relative Permeability to gas @ Irreducible water saturation = 1.0 fraction
- Pore Size Distribution Index = 0.8
- Capillary Entry Pressure - G/W = 1.0 psia.
- Constant compressibility for matrix Rock = 0.6 E-5 psi⁻¹

3. Fluid data

3.1 Gas property

- Gas gravity = 0.59

3.2 Water property

- Density @ standard conditions = 62.4 lb/cu.ft.
- Compressibility = 3.0 E-6 1/psi.
- Viscosity = 0.5 cp.
- Formation volume factor @ initial reservoir pressure = 1.001 RB/STB
- Standard pressure = 14.65 psia.
- Standard temperature = 60 °F
- Maximum pressure current = 7,000 psia.

4. Grid

Number of layers to model	=	10	layers.
x-origin on map	=	0	
y-origin on map	=	0	
Grid angle (x-axis)	=	0	
Number of x-increments	=	10	cells.
Size of x-increments	=	1,017.05	feet.
Number of y-increments	=	20	cells.
Size of y-increments	=	1,017.05	feet.

5. Equilibrium

Reference Elevation	=	-9,000	feet.
Pressure @ Reference elevation	=	6,500	psia.
Elevation of G-W contact	=	10,000	feet.
G-W Capillary pressure @ constant elevation	=	0	psia

ການພັນວັດ ລ

THE WORK PLAN AND BASIC COSTS

The exploration work plan of project PPnew is following this

- 1st year @ 2000 : 2-D seismic investigation 600 kilometers
: Geological survey
- 2nd year @ 2001 : 3-D seismic investigation 120 square-kilometers
: Drill one exploration well
- 3rd year @ 2002 : First phase gas pipeline (8 kilometers)
: Drill three appraisal wells
- 4th year @ 2003 : Drill three development wells
: Second phase gas pipeline (6 kilometers)
: Installing processing facility
- 5th year @ 2004 : Starting economic production and stop at the end of 32th year.
- 6th year @ 2004 : Drill two development wells

The exploration work plan of project KKME is following this

- 1st year @ 2000 : 2-D seismic investigation 300 kilometers
: Geological survey
- 2nd year @ 2001 : 3-D seismic investigation 60 square-kilometers
: Drill one exploration well
- 3rd year @ 2002 : First phase gas pipeline (four kilometers)
: Drill three appraisal wells
- 4th year @ 2003 : Drill two development wells
: Second phase gas pipeline (three kilometers)
: Installing processing facility
- 5th year @ 2004 : Starting economic production and stop at the end of 24th year.

The exploration work plan of project KK65 is following this

- 1st year @ 2000 : 2-D seismic investigation 300 kilometers
: Geological survey
- 2nd year @ 2001 : 3-D seismic investigation 60 square-kilometers
: Drill one exploration well

3 rd year @ 2002	: First phase gas pipeline (four kilometers)
	: Drill three appraisal wells
4 th year @ 2003	: Drill two development wells
	: Second phase gas pipeline (three kilometers)
	: Installing processing facility
5 th year @ 2004	: Starting economic production and stop at the end of 24 th year.

Basic cost assumptions of project PPnew

a. Number of exploration well	1
Number of appraisal well	3
Number of development well	5
b. Sale gas reserve (BCF)	558
c. Gas heating value (BTU/SCF)	1,000
d. Exchange rate (Bath to US\$)	40
e. Sliding scale royalty (%)	10
f. Income tax (%)	50
g. Escalation factor (%)	2
h. Discount rate (%)	7.25
i. Tangible cost (%)	80
j. Intangible cost (%)	20
k. Depreciation of Tangible cost (%)	2

Basic cost assumptions of project KKME

a. Number of exploration well	1
Number of appraisal well	3
Number of development well	2
b. Sale gas reserve (BCF)	239
c. Gas heating value (BTU/SCF)	1,000
d. Exchange rate (Bath to US\$)	40
e. Sliding scale royalty (%)	10

f.	Income tax (%)	50
g.	Escalation factor (%)	2
h.	Discount rate (%)	7.25
i.	Tangible cost (%)	80
j.	Intangible cost (%)	20
k.	Depreciation of Tangible cost (%)	2

Basic cost assumptions of project KK65

a.	Number of exploration well	1
	Number of appraisal well	3
	Number of development well	2
b.	Sale gas reserve (BCF)	260
c.	Gas heating value (BTU/SCF)	1,000
d.	Exchange rate (Bath to US\$)	40
e.	Sliding scale royalty (%)	10
f.	Income tax (%)	50
g.	Escalation factor (%)	2
h.	Discount rate (%)	7.25
i.	Tangible cost (%)	80
j.	Intangible cost (%)	20
k.	Depreciation of Tangible cost (%)	2

ການພັນວັດ ລູ

TANK MODEL CALCULATION FORM BY USING VISUAL BASIC 6.0

'Calculate z at reservoir condition.

Function calculate_Zr(P1 As Double) As Double

Dim Zrs As Double

If 100 < P1 And P1 <= 1000 Then

Zrs = 0.97 + (-0.00006 * (P1 - 500))

ElseIf 1000 < P1 And P1 <= 1500 Then

Zrs = 0.94 + (-0.00002 * (P1 - 1000))

ElseIf 1500 < P1 And P1 <= 2000 Then

Zrs = 0.93 + (-0.00002 * (P1 - 1500))

ElseIf 2000 < P1 And P1 <= 2400 Then

Zrs = 0.92 + (-0.000075 * (P1 - 2000))

ElseIf 2400 < P1 And P1 <= 3000 Then

Zrs = 0.917 + (0.0000117 * (P1 - 2400))

ElseIf 3000 < P1 And P1 <= 4000 Then

Zrs = 0.924 + (0.00004 * (P1 - 3000))

ElseIf 4000 < P1 And P1 <= 5000 Then

Zrs = 0.964 + (0.000056 * (P1 - 4000))

ElseIf 5000 < P1 And P1 <= 6000 Then

Zrs = 1.02 + (0.000067 * (P1 - 5000))

ElseIf 6000 < P1 And P1 < 7000 Then

Zrs = 1.087 + (0.000068 * (P1 - 6000))

Else

End If

calculate_Zr = Zrs

End Function

'Calculate viscosity at reservoir condition.

Function calculate_Mr(P1 As Double) As Double

Dim Mrs As Double

Mrs = 0.012 + (0.0000027 * (P1 - 800))

```

calculate_Mr = Mrs

End Function

'Calculate z at Flowing in Pipe.

Function calculate_Zf(P As Double) As Double

Dim Zfs As Double

If 100 < P And P <= 1000 Then

Zfs = 0.955 + (-0.00005 * (P - 500))

ElseIf 1000 < P And P <= 1500 Then

Zfs = 0.933 + (-0.000092 * (P - 1000))

ElseIf 1500 < P And P <= 2000 Then

Zfs = 0.884 + (-0.000038 * (P - 1500))

ElseIf 2000 < P And P <= 2400 Then

Zfs = 0.865 + (-0.00002 * (P - 2000))

ElseIf 2400 < P And P <= 3000 Then

Zfs = 0.855 + (0.000008 * (P - 2400))

ElseIf 3000 < P And P <= 4000 Then

Zfs = 0.86 + (0.000055 * (P - 3000))

ElseIf 4000 < P And P <= 5000 Then

Zfs = 0.915 + (0.000075 * (P - 4000))

ElseIf 5000 < P And P <= 6000 Then

Zfs = 0.99 + (0.00008 * (P - 5000))

ElseIf 6000 < P And P <= 7000 Then

Zfs = 1.07 + (0.00008 * (P - 6000))

Else

End If

calculate_Zf = Zfs

End Function

'Calculate viscosity at Flowing in Pipe.

Function calculate_Mf(P As Double) As Double

Dim Mfs As Double

```

```

Mfs = 0.012 + (0.0000029 * (P - 500))

calculate_Mf = Mfs

End Function

Private Sub Calculateqmax_Click()
Dim q As Double
Dim qmax, qmaxnew As Double

q = 0
qmax = calculate_Qmax(q)
Showqmax.Text = qmax
qmaxnew = qmax / 1000
PrintE ("Maximum Production Rate ( MMSCF/D ) = " & qmaxnew & vbCrLf)
PrintE (vbCrLf &
"*****" & vbCrLf)

End Sub

Function calculate_Qmax(q As Double) As Double
Dim Pres As Double
Dim Tres As Double
Dim re As Double
Dim ra As Double
Dim rw As Double
Dim k As Double
Dim ka As Double
Dim Tf As Double
Dim rg As Double
Dim Ls As Double
Dim Ds As Double
Dim Psepm, Psep, P As Double
Dim L As Double

```

Dim D As Double
 Dim h As Double
 Dim qmaxs As Double
 Dim Zfl, Mfl As Double
 Dim Zr, Mr As Double
 Dim Nre1, Nre2 As Double
 Dim Ff1, f1, f2, f3, f4 As Double
 Dim Ff2, f5, f6, f7, f8 As Double
 Dim Pwh, Pwh1, Pwh2, Pwh3, Pwh4, Pwh5 As Double
 Dim Pwf, Pwf1, Pwf2, Pwf3, Pwf4, Pwf5, Pwf6 As Double
 Dim T As Double
 Dim kavg, kavg1, kavg2 As Double
 Dim P1 As Double
 Dim Pr, Pr1, Pr2, Pr3, Pr4, Pr5 As Double

Pres = Respressure.Text
 Tres = Restemp.Text
 re = Resradius.Text
 ra = Acidradius.Text
 rw = Wellradius.Text
 k = Oridesperm.Text
 ka = Acidperm.Text
 Tf = Avgflowtemp.Text
 rg = Gasgravity.Text
 Ls = Surpeleng.Text
 Ds = Surpedia.Text
 Psepm = Minseppress.Text
 L = Tubleng.Text
 D = Tubdia.Text
 h = Resthick.Text

e = 0.001 'Pipe Relative Roughness

Do

Psep = Psepm

P = Psep

q = q + 1000

```

Zf1 = calculate_Zf(P)        'Calculate Z (Flow in Pipe)
Mf1 = calculate_Mf(P)        'Calculate Viscosity
Nre1 = ((20.09 * rg * q) / (Ds * Mf1))    'Calculate Nre
f1 = ((0.001 ^ 1.1098) / 2.8257) + ((7.149 / Nre1) ^ 0.8981)
f2 = (5.0452 / Nre1) * Log(f1)
f3 = -4 * (Log((0.001 / 3.7065) - f2))
f4 = 1 / (f3 ^ 2)
Ff1 = f4                    'Calculate Ff
Pwh1 = (rg * Ff1 * Zf1 * Tf * (q ^ 2) * Ls) 'Calculate Pwh
Pwh2 = (1.007 * (10 ^ -4)) * Pwh1
Pwh3 = Pwh2 / (Ds ^ 5)
Pwh4 = (P ^ 2) + Pwh3
Pwh5 = Pwh4 ^ 0.5
Pwh = Pwh5

```

If 100 < Pwh And Pwh <= 1000 Then 'Calculate Z

Zf2 = 0.955 + (-0.00005 * (Pwh - 500))

ElseIf 1000 < Pwh And Pwh <= 1500 Then

Zf2 = 0.933 + (-0.000092 * (Pwh - 1000))

ElseIf 1500 < Pwh And Pwh <= 2000 Then

Zf2 = 0.884 + (-0.000038 * (Pwh - 1500))

ElseIf 2000 < Pwh And Pwh <= 2400 Then

Zf2 = 0.865 + (-0.00002 * (Pwh - 2000))

```

ElseIf 2400 < Pwh And Pwh <= 3000 Then
    Zf2 = 0.855 + (0.000008 * (Pwh - 2400))
ElseIf 3000 < Pwh And Pwh <= 4000 Then
    Zf2 = 0.86 + (0.000055 * (Pwh - 3000))
ElseIf 4000 < Pwh And Pwh <= 5000 Then
    Zf2 = 0.915 + (0.000075 * (Pwh - 4000))
ElseIf 5000 < Pwh And Pwh <= 6000 Then
    Zf2 = 0.99 + (0.00008 * (Pwh - 5000))
ElseIf 6000 < Pwh And Pwh <= 7000 Then
    Zf2 = 1.07 + (0.00008 * (Pwh - 6000))
Else
End If
Mf2 = 0.012 + (0.0000029 * (Pwh - 500)) 'Calculate Viscosity
s = -((0.0375 * rg * L) / (Zf2 * Tf)) 'Calculate s
Nre2 = ((20.09 * rg * q) / (D * Mf2)) 'Calculate Nre
f5 = ((0.001 ^ 1.1098) / 2.8257) + ((7.149 / Nre2) ^ 0.8981)
f6 = (5.0452 / Nre2) * Log(f5)
f7 = -4 * (Log((0.001 / 3.7065) - f6))
f8 = 1 / (f7 ^ 2)
Ff2 = f8           'Calculate Ff
Pwf1 = 1 - (Exp(-s))
Pwf2 = (Ff2 * ((Zf2 * Tf * q) ^ 2)) / (D ^ 5)
Pwf3 = Pwf2 * Pwf1
Pwf4 = (2.685 * (10 ^ -3)) * Pwf3
Pwf5 = (Exp(-s)) * (Pwh ^ 2)
Pwf6 = Pwf5 - Pwf4
Pwf = Pwf6 ^ 0.5      'Calculate Pwf

P1 = Pwf
T = Tres

```

```

Zr = calculate_Zr(P1)      'Calculate Z (Flow in Reservoir)
Mr = calculate_Mr(P1)      'Calculate Viscosity
kavg1 = k * ka * Log(re / rw)
kavg2 = (ka * Log(re / ra)) + (k * Log(ra / rw))
kavg = kavg1 / kavg2      'Calculate kavg
Pr1 = (1424 * q * Mr * Zr * T) / (kavg * h)
Pr2 = (0.472 * ((re * 1) / (rw * 1)))
Pr3 = Log(Pr2)
Pr4 = Pr3 * 2.30258509299
Pr5 = Pr1 * Pr4
Pr6 = (P ^ 2) + Pr5
Pr = Pr6 ^ 0.5            'Calculate Pr
If (Pr > Pres) Then Exit Do
Loop
'MsgBox "Z = " & Str(Zf1), , "Compressibility Factor"
'MsgBox "Viscosity = " & Str(Mf1), , "Viscosity (cp)"
'MsgBox "Nre = " & Str(Nre1), , "Reynold Number"
'MsgBox "Ff = " & Str(Ff1), , "Friction Factor"
'MsgBox "Pwh = " & Str(Pwh), , "Pwh (Psia)"
'MsgBox "Z = " & Str(Zf2), , "Compressibility Factor"
'MsgBox "Viscosity = " & Str(Mf2), , "Viscosity (cp)"
'MsgBox "s = " & Str(s), , "s"
'MsgBox "Nre = " & Str(Nre2), , "Reynold Number"
'MsgBox "Ff = " & Str(Ff2), , "Friction Factor"
'MsgBox "Pwf = " & Str(Pwf), , "Pwf (Psia)"
'MsgBox "Z = " & Str(Zr), , "Compressibility Factor"
'MsgBox "Viscosity = " & Str(Mr), , "Viscosity (cp)"
'MsgBox "kavg = " & Str(kavg), , "Average Permeability (md)"
'MsgBox "Pr=" & Str(Pr), , "Pr (Psia)"

```

```
qmaxs = q
(MsgBox "Qmax = " & Str(qmaxs), , "Qmax (MSCF/D)"
calculate_Qmax = qmaxs

End Function

Private Sub Calculateyear_Click()
    Dim Pres As Double
    Dim Tres As Double
    Dim re As Double
    Dim ra As Double
    Dim rw As Double
    Dim k As Double
    Dim ka As Double
    Dim Tf As Double
    Dim rg As Double
    Dim Ls As Double
    Dim Ds As Double
    Dim Psepm, Psep, P As Double
    Dim L As Double
    Dim D As Double
    Dim h As Double
    Dim Zf1, Mf1, Zf2, Mf2 As Double
    Dim Zr, Mr, Zr1 As Double
    Dim Nre1, Nre2 As Double
    Dim Ff1, f1, f2, f3, f4 As Double
    Dim Ff2, f5, f6, f7, f8 As Double
    Dim Pwh, Pwh1, Pwh2, Pwh3, Pwh4, Pwh5 As Double
    Dim Pwf, Pwf1, Pwf2, Pwf3, Pwf4, Pwf5, Pwf6 As Double
    Dim T As Double
    Dim kavg, kavg1, kavg2 As Double
```

Dim P1 As Double

Dim Pr, Pr1, Pr2, Pr3, Pr4, Pr5, Pr6 As Double

Dim q, qmax, qconstraint As Double

Dim Pi, Zi, Gp, G, Zf, Pf, Pf1, Pf2 As Double

Dim n, Yr As Double

Pres = Respressure.Text

Tres = Restemp.Text

re = Resradius.Text

ra = Acidradius.Text

rw = Wellradius.Text

k = Orirespert.Text

ka = Acidperm.Text

Tf = Avgflowtemp.Text

rg = Gasgravity.Text

Ls = Surpeleng.Text

Ds = Surpedia.Text

Psepm = Minseppress.Text

L = Tubleng.Text

D = Tubdia.Text

h = Resthick.Text

e = 0.001 'Pipe Relative Roughness

G = Gasinplace.Text

qmax = Showqmax.Text

qconstraint = qmax * 0.4

'MsgBox "Qconstraint = " & Str(qconstraint), , "Qconstraint (MSCF/D)"

q = qconstraint

'MsgBox "Q = " & Str(q), , "Q (MSCF/D)"

P = Psepm

```

Zf1 = calculate_Zf(P)      'Calculate Z (Flow in Pipe)
Mf1 = calculate_Mf(P)      'Calculate Viscosity
Nre1 = ((20.09 * rg * q) / (Ds * Mf1)) 'Calculate Nre
f1 = ((0.001 ^ 1.1098) / 2.8257) + ((7.149 / Nre1) ^ 0.8981)
f2 = (5.0452 / Nre1) * Log(f1)
f3 = -4 * (Log((0.001 / 3.7065) - f2))
f4 = 1 / (f3 ^ 2)
Ff1 = f4                  'Calculate Ff
Pwh1 = (rg * Ff1 * Zf1 * Tf * (q ^ 2) * Ls)
Pwh2 = (1.007 * (10 ^ -4)) * Pwh1
Pwh3 = Pwh2 / (Ds ^ 5)
Pwh4 = (P ^ 2) + Pwh3
Pwh5 = Pwh4 ^ 0.5
Pwh = Pwh5                'Calculate Pwh

```

```

If 100 < Pwh And Pwh <= 1000 Then
  Zf2 = 0.955 + (-0.00005 * (Pwh - 500))
ElseIf 1000 < Pwh And Pwh <= 1500 Then
  Zf2 = 0.933 + (-0.000092 * (Pwh - 1000))
ElseIf 1500 < Pwh And Pwh <= 2000 Then
  Zf2 = 0.884 + (-0.000038 * (Pwh - 1500))
ElseIf 2000 < Pwh And Pwh <= 2400 Then
  Zf2 = 0.865 + (-0.00002 * (Pwh - 2000))
ElseIf 2400 < Pwh And Pwh <= 3000 Then
  Zf2 = 0.855 + (0.000008 * (Pwh - 2400))
ElseIf 3000 < Pwh And Pwh <= 4000 Then
  Zf2 = 0.86 + (0.000055 * (Pwh - 3000))
ElseIf 4000 < Pwh And Pwh <= 5000 Then
  Zf2 = 0.915 + (0.000075 * (Pwh - 4000))
ElseIf 5000 < Pwh And Pwh <= 6000 Then

```

```

Zf2 = 0.99 + (0.00008 * (Pwh - 5000))

ElseIf 6000 < Pwh And Pwh <= 7000 Then
    Zf2 = 1.07 + (0.00008 * (Pwh - 6000))

Else
End If

Mf2 = 0.012 + (0.0000029 * (Pwh - 500))
s = -((0.0375 * rg * L) / (Zf2 * Tf)) 'Calculate s
Nre2 = ((20.09 * rg * q) / (D * Mf2)) 'Calculate Nre
f5 = ((0.001 ^ 1.1098) / 2.8257) + ((7.149 / Nre2) ^ 0.8981)
f6 = (5.0452 / Nre2) * Log(f5)
f7 = -4 * (Log((0.001 / 3.7065) - f6))
f8 = 1 / (f7 ^ 2)

Ff2 = f8           'Calculate Ff
Pwf1 = 1 - (Exp(-s))
Pwf2 = (Ff2 * ((Zf2 * Tf * q) ^ 2)) / (D ^ 5)
Pwf3 = Pwf2 * Pwf1
Pwf4 = (2.685 * (10 ^ -3)) * Pwf3
Pwf5 = (Exp(-s)) * (Pwh ^ 2)
Pwf6 = Pwf5 - Pwf4
Pwf = Pwf6 ^ 0.5      'Calculate Pwf

P1 = Pwf
T = Tres
Zr = calculate_Zr(P1)      'Calculate Z (Flow in Reservoir)
Mr = calculate_Mr(P1)      'Calculate Viscosity
kavg1 = k * ka * Log(re / rw) 'Calculate kavg
kavg2 = (ka * Log(re / ra)) + (k * Log(ra / rw))
kavg = kavg1 / kavg2
Pr1 = (1424 * q * Mr * Zr * T) / (kavg * h)
Pr2 = (0.472 * ((re * 1) / (rw * 1)))

```

```

Pr3 = Log(Pr2)

Pr4 = Pr3 * 2.30258509299

Pr5 = Pr1 * Pr4

Pr6 = (P ^ 2) + Pr5

Pr = Pr6 ^ 0.5      'Calculate Pr

```

```

If 100 < Pr And Pr <= 1000 Then
    Zr1 = 0.97 + (-0.00006 * (Pr - 500))

ElseIf 1000 < Pr And Pr <= 1500 Then
    Zr1 = 0.94 + (-0.00002 * (Pr - 1000))

ElseIf 1500 < Pr And Pr <= 2000 Then
    Zr1 = 0.93 + (-0.00002 * (Pr - 1500))

ElseIf 2000 < Pr And Pr <= 2400 Then
    Zr1 = 0.92 + (-0.000075 * (Pr - 2000))

ElseIf 2400 < Pr And Pr <= 3000 Then
    Zr1 = 0.917 + (0.0000117 * (Pr - 2400))

ElseIf 3000 < Pr And Pr <= 4000 Then
    Zr1 = 0.924 + (0.00004 * (Pr - 3000))

ElseIf 4000 < Pr And Pr <= 5000 Then
    Zr1 = 0.964 + (0.000056 * (Pr - 4000))

ElseIf 5000 < Pr And Pr <= 6000 Then
    Zr1 = 1.02 + (0.000067 * (Pr - 5000))

ElseIf 6000 < Pr And Pr < 7000 Then
    Zr1 = 1.087 + (0.000068 * (Pr - 6000))

Else
End If

```

```

Pi = Pres

If 100 < Pi And Pi <= 1000 Then
    Zi = 0.97 + (-0.00006 * (Pi - 500))

```

```

ElseIf 1000 < Pi And Pi <= 1500 Then
    Zi = 0.94 + (-0.00002 * (Pi - 1000))

ElseIf 1500 < Pi And Pi <= 2000 Then
    Zi = 0.93 + (-0.00002 * (Pi - 1500))

ElseIf 2000 < Pi And Pi <= 2400 Then
    Zi = 0.92 + (-0.000075 * (Pi - 2000))

ElseIf 2400 < Pi And Pi <= 3000 Then
    Zi = 0.917 + (0.0000117 * (Pi - 2400))

ElseIf 3000 < Pi And Pi <= 4000 Then
    Zi = 0.924 + (0.00004 * (Pi - 3000))

ElseIf 4000 < Pi And Pi <= 5000 Then
    Zi = 0.964 + (0.000056 * (Pi - 4000))

ElseIf 5000 < Pi And Pi <= 6000 Then
    Zi = 1.02 + (0.000067 * (Pi - 5000))

ElseIf 6000 < Pi And Pi < 7000 Then
    Zi = 1.087 + (0.000068 * (Pi - 6000))

Else
End If

PrintE (" Month" & " Gas Production Rate (MMSCF/D )" & " Pressure ( Psia )" & vbCrLf)

```

```

Zf = Zi
Dt = 30
n = 0
Gpi = 0
Do
    n = n + 1
    Gp2 = (n * q * Dt)
    Pf1 = (Pi / Zi) * (Gp2 / G)
    Pf2 = (Pi / Zi) - Pf1
    Pf = Zf * Pf2

```

```

qnew = q / 1000

PrintE ("    " & n & "          " & qnew & "          " & Pf & vbCrLf)

If 100 < Pf And Pf <= 1000 Then
  Zf = 0.955 + (-0.00005 * (Pf - 500))

ElseIf 1000 < Pf And Pf <= 1500 Then
  Zf = 0.933 + (-0.000092 * (Pf - 1000))

ElseIf 1500 < Pf And Pf <= 2000 Then
  Zf = 0.884 + (-0.000038 * (Pf - 1500))

ElseIf 2000 < Pf And Pf <= 2400 Then
  Zf = 0.865 + (-0.00002 * (Pf - 2000))

ElseIf 2400 < Pf And Pf <= 3000 Then
  Zf = 0.855 + (0.000008 * (Pf - 2400))

ElseIf 3000 < Pf And Pf <= 4000 Then
  Zf = 0.86 + (0.000055 * (Pf - 3000))

ElseIf 4000 < Pf And Pf <= 5000 Then
  Zf = 0.915 + (0.000075 * (Pf - 4000))

ElseIf 5000 < Pf And Pf <= 6000 Then
  Zf = 0.99 + (0.00008 * (Pf - 5000))

ElseIf 6000 < Pf And Pf <= 7000 Then
  Zf = 1.07 + (0.00008 * (Pf - 6000))

Else
End If

Listq.AddItem "i = " & Str(n) & "      Q = " & Str(q)

If (Pf < Pr) Then Exit Do

Loop

' MsgBox "Z = " & Str(Zf1), , "Compressibility Factor"
' MsgBox "Viscosity = " & Str(Mf1), , "Viscosity (cp)"
' MsgBox "Nre = " & Str(Nre1), , "Reynold Number"

```

```

'MsgBox "Ff = " & Str(Ff1), , "Friction Factor"
'MsgBox "Pwh = " & Str(Pwh), , "Pwh (Psia)"
' MsgBox "Z = " & Str(Zf2), , "Compressibility Factor"
' MsgBox "Viscosity = " & Str(Mf2), , "Viscosity (cp)"
' MsgBox "s = " & Str(s), , "s"
' MsgBox "Nre = " & Str(Nre2), , "Reynold Number"
' MsgBox "Ff = " & Str(Ff2), , "Friction Factor"
' MsgBox "Pwf = " & Str(Pwf), , "Pwf (Psia)"
' MsgBox "Z = " & Str(Zr), , "Compressibility Factor"
' MsgBox "Viscosity = " & Str(Mr), , "Viscosity (cp)"
' MsgBox "kavg = " & Str(kavg), , "Average Permeability (md)"
' MsgBox "Pr=" & Str(Pr), , "Pr (Psia)"
' MsgBox "Pf = " & Str(Pf), , "Pf (Psia)"

Showpf.Text = Pf
Yr = n / 12
' MsgBox "Year = " & Str(Yr), , "Total Year at q = Qconstraint"
Showyear.Text = Yr

End Sub

Private Sub Report_Click()
frmoutput.Show
tankmodel.Hide
End Sub

Public Sub PrintE(Str As String)
    frmoutput.txtReport.Text = frmoutput.txtReport.Text & Str
    frmoutput.txtReport.SelStart = Len(frmoutput.txtReport.Text)
End Sub

Public Sub cmdExit_Click()

If MsgBox("Are you sure to exit a program", vbQuestion + vbYesNo) = vbYes Then

```

```
End

End If

End Sub

Private Sub Showqdecline_Click()

Dim Pres As Double

Dim Tres As Double

Dim re As Double

Dim ra As Double

Dim rw As Double

Dim k As Double

Dim ka As Double

Dim Tf As Double

Dim rg As Double

Dim Ls As Double

Dim Ds As Double

Dim Psepm, Psep, P As Double

Dim L As Double

Dim D As Double

Dim h As Double

Dim qmaxs, qnew As Double

Dim Zf1, Mf1 As Double

Dim Zr, Mr As Double

Dim Nre1, Nre2 As Double

Dim Ff1, f1, f2, f3, f4 As Double

Dim Ff2, f5, f6, f7, f8 As Double

Dim Pwh, Pwh1, Pwh2, Pwh3, Pwh4, Pwh5 As Double

Dim Pwf, Pwf1, Pwf2, Pwf3, Pwf4, Pwf5, Pwf6 As Double

Dim T As Double

Dim kavg, kavg1, kavg2 As Double
```

```

Dim P1 As Double
Dim Pr, Pr1, Pr2, Pr3, Pr4, Pr5 As Double
Dim i, inew As Integer
Pres = Respressure.Text
Tres = Restemp.Text
re = Resradius.Text
ra = Acidradius.Text
rw = Wellradius.Text
k = Oridesperm.Text
ka = Acidperm.Text
Tf = Avgflowtemp.Text
rg = Gasgravity.Text
Ls = Surpipeleng.Text
Ds = Surpipedia.Text
Psepm = Minseppress.Text
L = Tubleng.Text
D = Tubdia.Text
h = Resthick.Text
e = 0.001           'Pipe Relative Roughness
Pf = (Showpf.Text * 1)
MsgBox "Please wait...", vbInformation + vbOKOnly, "Show Q (MSCF/D)"
i = 0
q = (Showqmax.Text * 0.4)
yearcon = Showyear.Text
G = Gasinplace.Text
Gp1 = q * yearcon * 365
Pi = Respressure.Text
If 100 < Pi And Pi <= 1000 Then
Zi = 0.97 + (-0.00006 * (Pi - 500))
ElseIf 1000 < Pi And Pi <= 1500 Then

```

```

Zi = 0.94 + (-0.00002 * (Pi - 1000))

ElseIf 1500 < Pi And Pi <= 2000 Then
    Zi = 0.93 + (-0.00002 * (Pi - 1500))

ElseIf 2000 < Pi And Pi <= 2400 Then
    Zi = 0.92 + (-0.000075 * (Pi - 2000))

ElseIf 2400 < Pi And Pi <= 3000 Then
    Zi = 0.917 + (0.0000117 * (Pi - 2400))

ElseIf 3000 < Pi And Pi <= 4000 Then
    Zi = 0.924 + (0.00004 * (Pi - 3000))

ElseIf 4000 < Pi And Pi <= 5000 Then
    Zi = 0.964 + (0.000056 * (Pi - 4000))

ElseIf 5000 < Pi And Pi <= 6000 Then
    Zi = 1.02 + (0.000067 * (Pi - 5000))

ElseIf 6000 < Pi And Pi < 7000 Then
    Zi = 1.087 + (0.000068 * (Pi - 6000))

Else
End If

Do
    i = i + 1

    If 100 < Pf And Pf <= 1000 Then
        Zf = 0.955 + (-0.00005 * (Pf - 500))

    ElseIf 1000 < Pf And Pf <= 1500 Then
        Zf = 0.933 + (-0.000092 * (Pf - 1000))

    ElseIf 1500 < Pf And Pf <= 2000 Then
        Zf = 0.884 + (-0.000038 * (Pf - 1500))

    ElseIf 2000 < Pf And Pf <= 2400 Then
        Zf = 0.865 + (-0.00002 * (Pf - 2000))

    ElseIf 2400 < Pf And Pf <= 3000 Then
        Zf = 0.855 + (0.000008 * (Pf - 2400))

```

```

ElseIf 3000 < Pf And Pf <= 4000 Then
    Zf = 0.86 + (0.000055 * (Pf - 3000))
ElseIf 4000 < Pf And Pf <= 5000 Then
    Zf = 0.915 + (0.000075 * (Pf - 4000))
ElseIf 5000 < Pf And Pf <= 6000 Then
    Zf = 0.99 + (0.00008 * (Pf - 5000))
ElseIf 6000 < Pf And Pf <= 7000 Then
    Zf = 1.07 + (0.00008 * (Pf - 6000))
Else
End If

Gp2 = Gp1 + (q * 30)
Pf1 = (Pi / Zi) * (Gp2 / G)
Pf2 = (Pi / Zi) - Pf1
Pf = Zf * Pf2
q = 300

```

```

Do
    Psep = Psepm
    P = Psep
    q = q + 2

    Zf1 = calculate_Zf(P)      'Calculate Z (Flow in Pipe)
    Mf1 = calculate_Mf(P)      'Calculate Viscosity
    Nre1 = ((20.09 * rg * q) / (Ds * Mf1)) 'Calculate Nre
    f1 = ((0.001 ^ 1.1098) / 2.8257) + ((7.149 / Nre1) ^ 0.8981)
    f2 = (5.0452 / Nre1) * Log(f1)
    f3 = -4 * (Log((0.001 / 3.7065) - f2))
    f4 = 1 / (f3 ^ 2)
    Ff1 = f4                  'Calculate Ff
    Pwh1 = (rg * Ff1 * Zf1 * Tf * (q ^ 2) * Ls)

```

```

Pwh2 = (1.007 * (10 ^ -4)) * Pwh1
Pwh3 = Pwh2 / (Ds ^ 5)
Pwh4 = (P ^ 2) + Pwh3
Pwh5 = Pwh4 ^ 0.5
Pwh = Pwh5           'Calculate Pwh

If 100 < Pwh And Pwh <= 1000 Then
Zf2 = 0.955 + (-0.00005 * (Pwh - 500))
ElseIf 1000 < Pwh And Pwh <= 1500 Then
Zf2 = 0.933 + (-0.000092 * (Pwh - 1000))
ElseIf 1500 < Pwh And Pwh <= 2000 Then
Zf2 = 0.884 + (-0.000038 * (Pwh - 1500))
ElseIf 2000 < Pwh And Pwh <= 2400 Then
Zf2 = 0.865 + (-0.00002 * (Pwh - 2000))
ElseIf 2400 < Pwh And Pwh <= 3000 Then
Zf2 = 0.855 + (0.000008 * (Pwh - 2400))
ElseIf 3000 < Pwh And Pwh <= 4000 Then
Zf2 = 0.86 + (0.000055 * (Pwh - 3000))
ElseIf 4000 < Pwh And Pwh <= 5000 Then
Zf2 = 0.915 + (0.000075 * (Pwh - 4000))
ElseIf 5000 < Pwh And Pwh <= 6000 Then
Zf2 = 0.99 + (0.00008 * (Pwh - 5000))
ElseIf 6000 < Pwh And Pwh <= 7000 Then
Zf2 = 1.07 + (0.00008 * (Pwh - 6000))
Else
End If
Mf2 = 0.012 + (0.0000029 * (Pwh - 500))

s = -((0.0375 * rg * L) / (Zf2 * Tf)) 'Calculate s

```

```

Nre2 = ((20.09 * rg * q) / (D * Mf2)) 'Calculate Nre

f5 = ((0.001 ^ 1.1098) / 2.8257) + ((7.149 / Nre2) ^ 0.8981)
f6 = (5.0452 / Nre2) * Log(f5)
f7 = -4 * (Log((0.001 / 3.7065) - f6))
f8 = 1 / (f7 ^ 2)
Ff2 = f8           'Calculate Ff
Pwf1 = 1 - (Exp(-s))
Pwf2 = (Ff2 * ((Zf2 * Tf * q) ^ 2)) / (D ^ 5)
Pwf3 = Pwf2 * Pwf1
Pwf4 = (2.685 * (10 ^ -3)) * Pwf3
Pwf5 = (Exp(-s)) * (Pwh ^ 2)
Pwf6 = Pwf5 - Pwf4
Pwf = Pwf6 ^ 0.5      'Calculate Pwf

P1 = Pwf
T = Tres

Zr = calculate_Zr(P1)    'Calculate Z (Flow in Reservoir)
Mr = calculate_Mr(P1)    'Calculate Viscosity
kavg1 = k * ka * Log(re / rw)
kavg2 = (ka * Log(re / ra)) + (k * Log(ra / rw))
kavg = kavg1 / kavg2     'Calculate kavg
Pr1 = (1424 * q * Mr * Zr * T) / (kavg * h)
Pr2 = (0.472 * ((re * 1) / (rw * 1)))
Pr3 = Log(Pr2)
Pr4 = Pr3 * 2.30258509299
Pr5 = Pr1 * Pr4
Pr6 = (P ^ 2) + Pr5
Pr = Pr6 ^ 0.5          'Calculate Pr

```

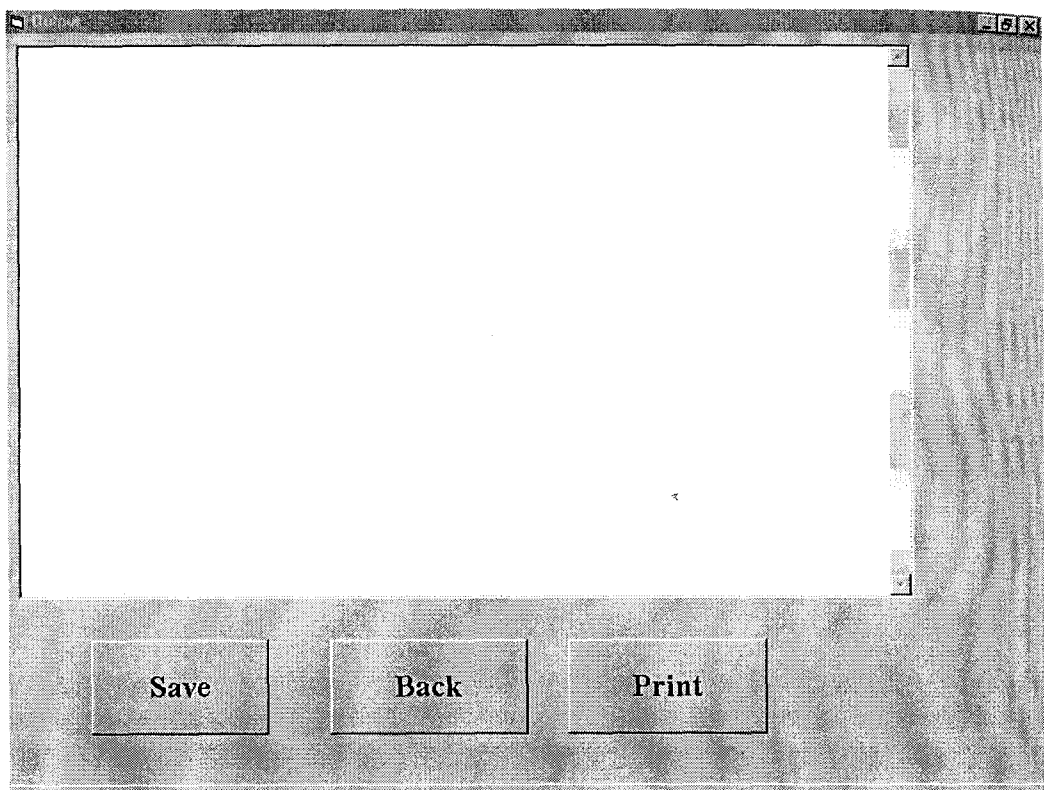
```
If (Pr >= Pf) Then Exit Do  
Loop  
Gp1 = Gp2  
inew = (yearcon * 12) + i  
Listq.AddItem "i = " & Str(inew) & "      Q = " & Str(q)  
qnew = q / 1000  
PrintE ("Production Rate ( MMSCF/D )at " & inew & " month = " & qnew & vbCrLf)  
PrintE ("    " & inew & "                      " & qnew & "                      " & Pf & vbCrLf)  
  
If (q <= 500) Then Exit Do  
Loop  
MsgBox "    OK"  
PrintE (vbCrLf &  
"*****" &  
vbCrLf)  
End Sub
```

Input Data

Reservoir Pressure (Psia)	<input type="text"/>	Reservoir Temp. (Rankin)	<input type="text"/>
Reservoir Radius, r_e (ft)	<input type="text"/>	Acidizing Zone Radius, r_a (ft)	<input type="text"/>
Well Radius, r_w (ft)	<input type="text"/>	Gas in place, G (MSCF)	<input type="text"/>
Original Reservoir Permeability, k (md)	<input type="text"/>	Surface Pipe Diameter, D_s (in)	<input type="text"/>
Acidizing Zone Permeability, k_a (md)	<input type="text"/>	Minimum Separator Pressure, P_{sep} (Psia)	<input type="text"/>
Average Flowing Temp., T_f (Rankine)	<input type="text"/>	Tubing Length, L (ft)	<input type="text"/>
Gas Gravity	<input type="text"/>	Tubing Diameter, D (in)	<input type="text"/>
Surface Pipe Length, L_s (ft)	<input type="text"/>	Reservoir Thickness, h (ft)	<input type="text"/>
Pipe Relative Roughness, $e=0.001$	Proportion of initial production/max rate = $Q_{constraint}/Q_{max} = 0.4$		

Calculation Result

Q_{max}	<input type="text"/>	Q_{decline}	<input type="text"/>	Report
Year	<input type="text"/>			Exit

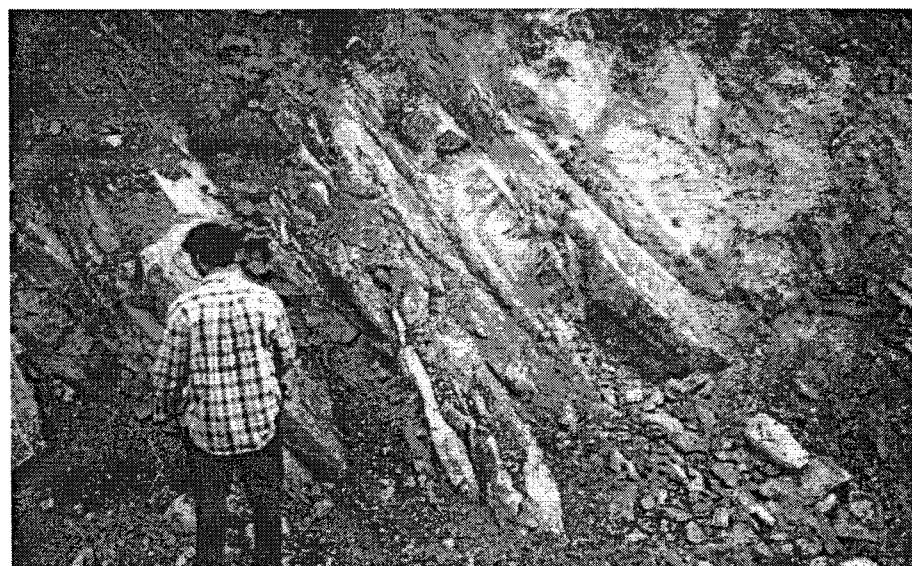


ກາຄພນວກ ປູ້

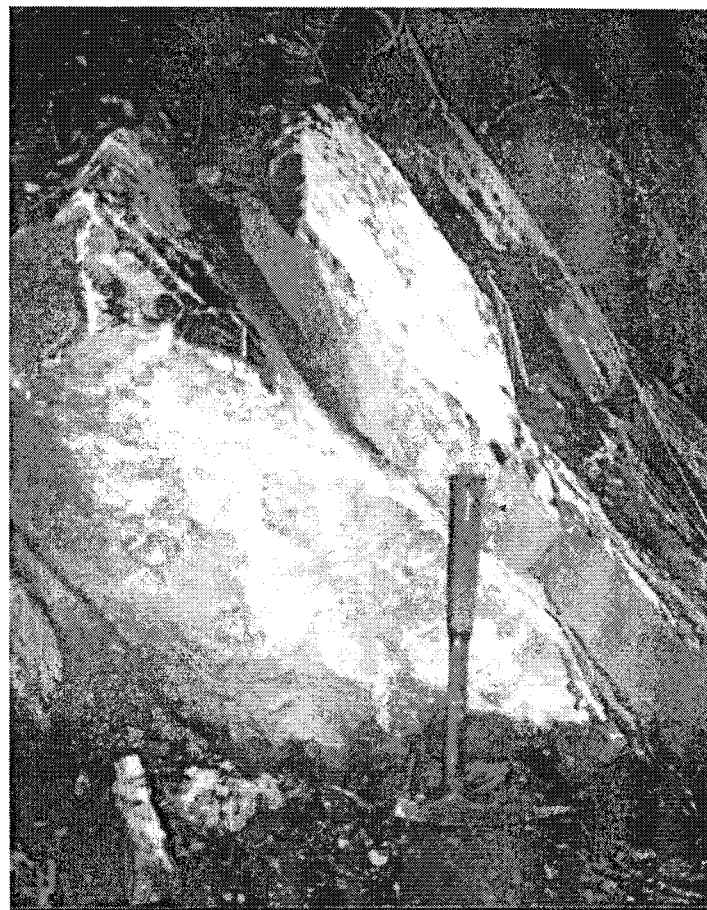
THE LOCATIONS OF ROCK SAMPLES



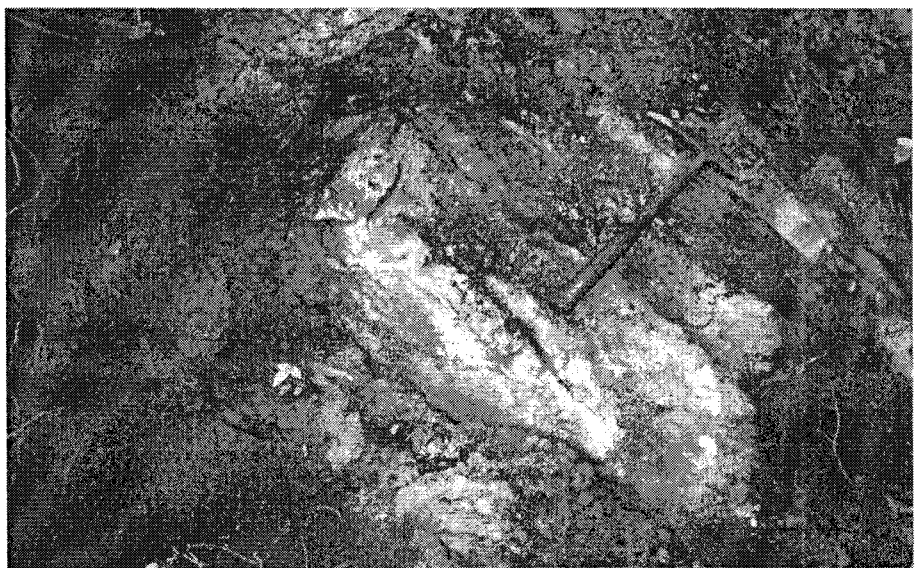
Stop 1 Picture from Kaeng Khoi, Saraburi province.



Stop 2 Picture from Khao Kho, Saraburi province.



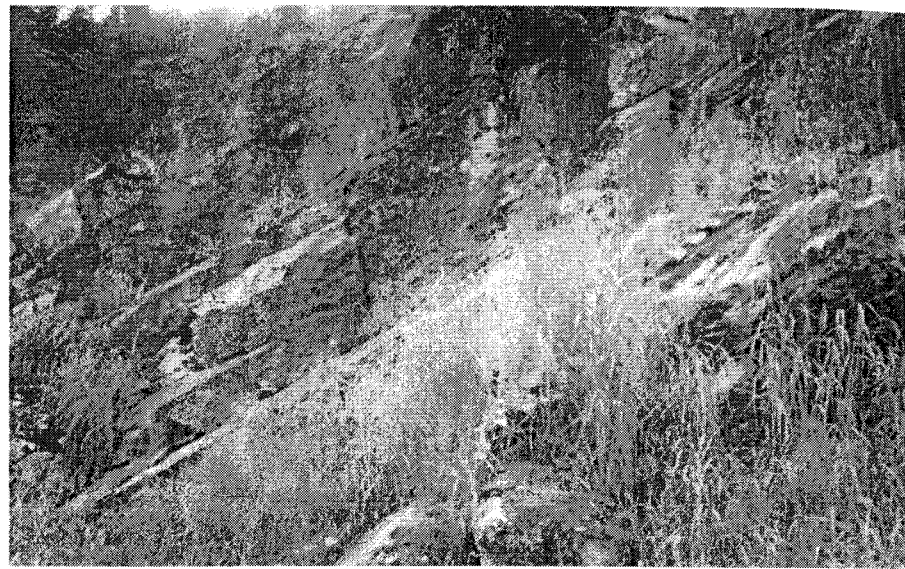
Stop 3 Picture from Kaeng Khoi, Saraburi province.



Stop 4 Picture from Khao Kho, Saraburi province.



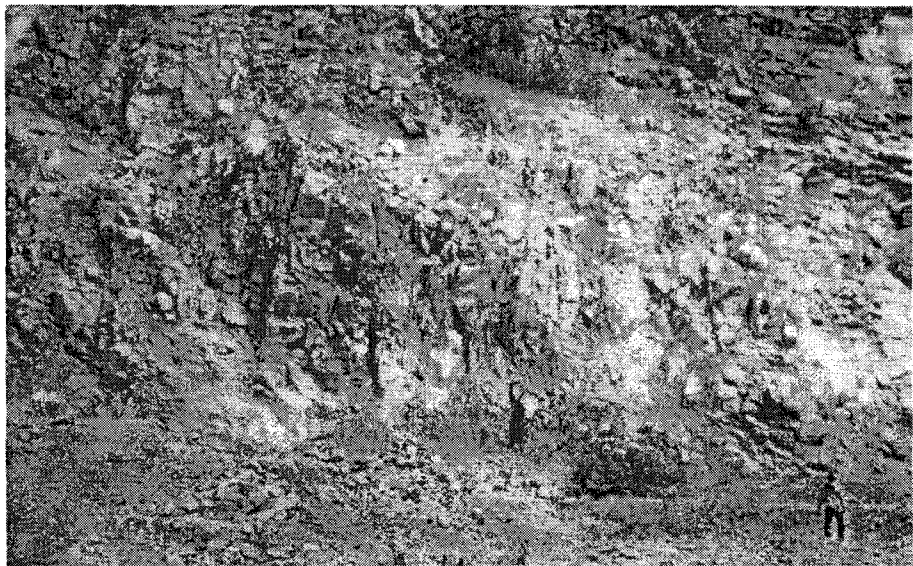
Stop 5 Picture from Khao Kho, Saraburi province



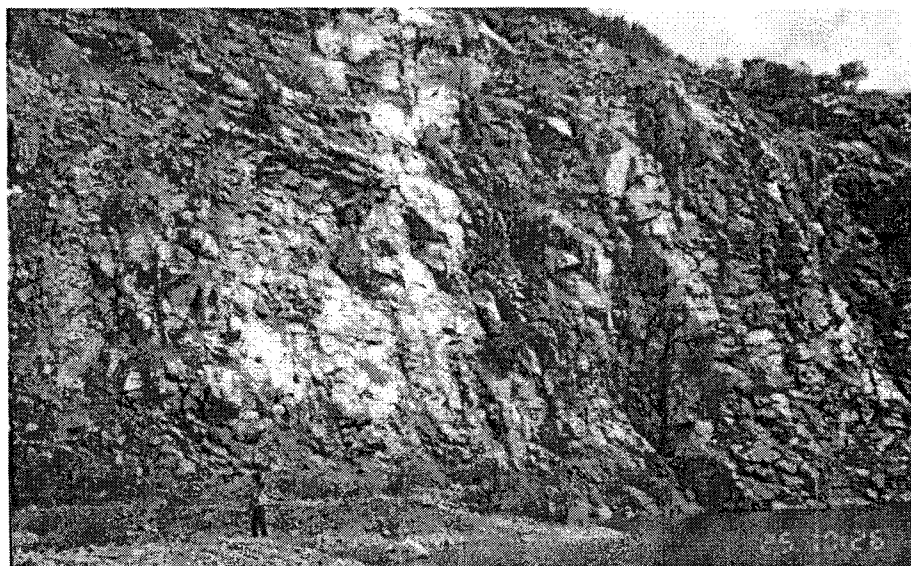
Stop 6 Picture from Kaeng Khoi, Saraburi province



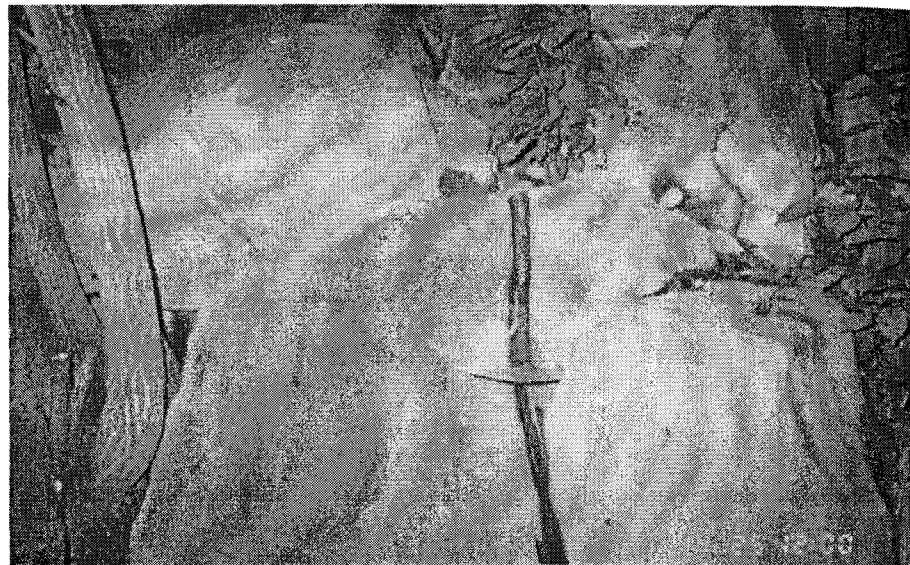
Stop 7 Picture from Muaklek, saraburi province



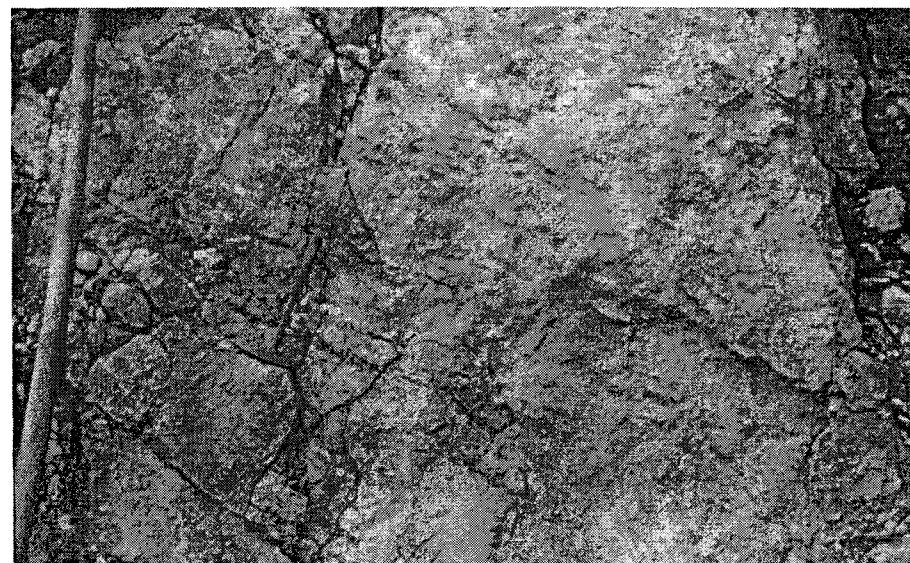
Stop 8 Picture from Pak Chong, Nakhon Ratchasima province.



Stop 9 Picture from Pak Chong, Nakhon Ratchasima province.



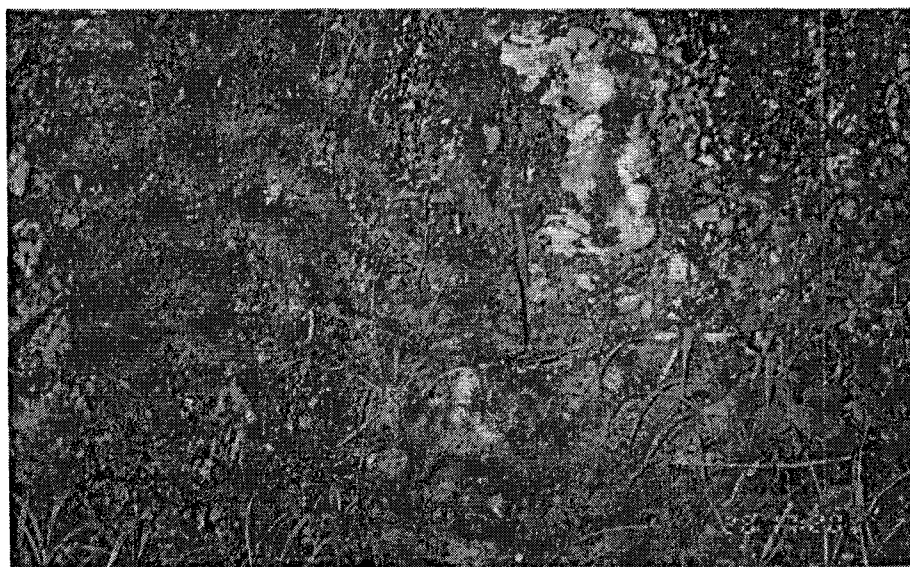
Stop 10 Picture from Kaeng Khoi, Saraburi province.



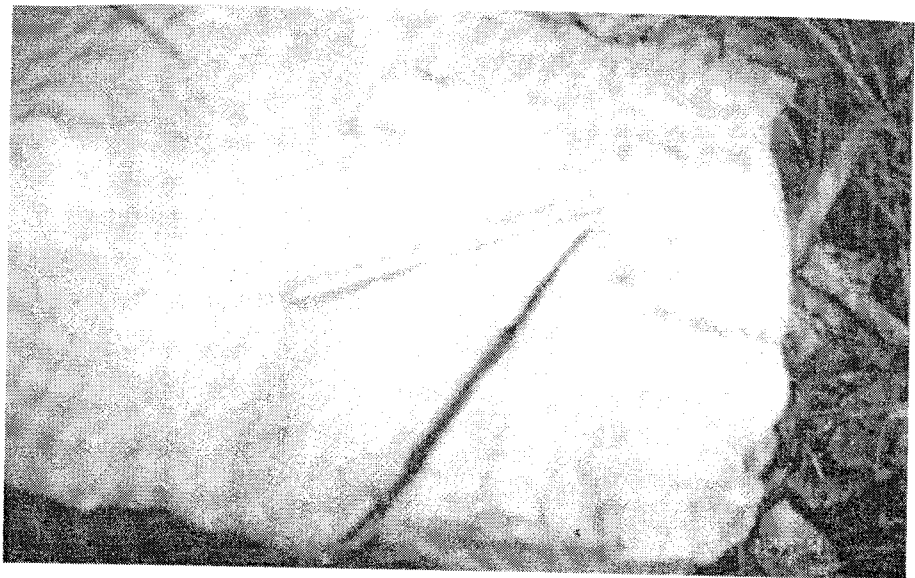
Stop 11 Picture from Muang, Loei province.



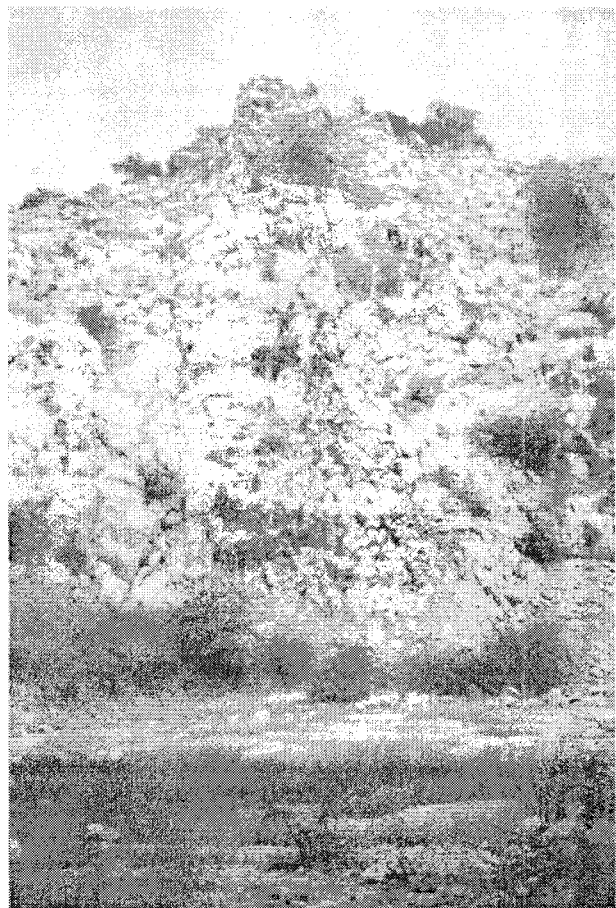
Stop 12 Picture from Arawan, Loei province.



Stop 13 Picture from 78 km Chompae-Loamsak, Phetchabun province.



Stop 14 Picture from 39 km Chompae-Loamsak, Phetchabun province.



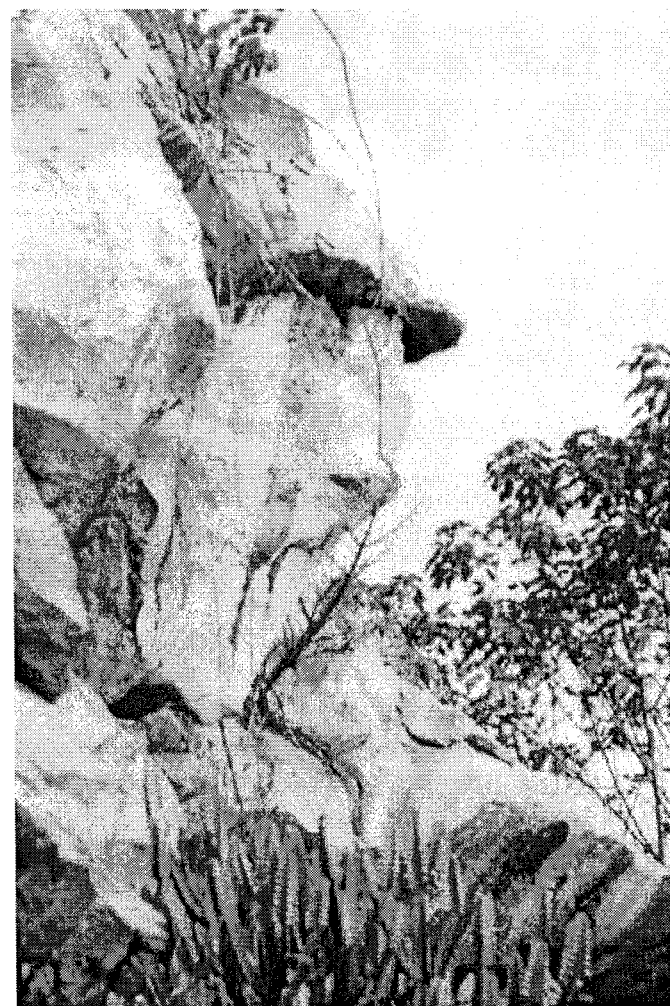
Stop 15 Picture from Khao Somposhn, Chaibadal, Lopburi.



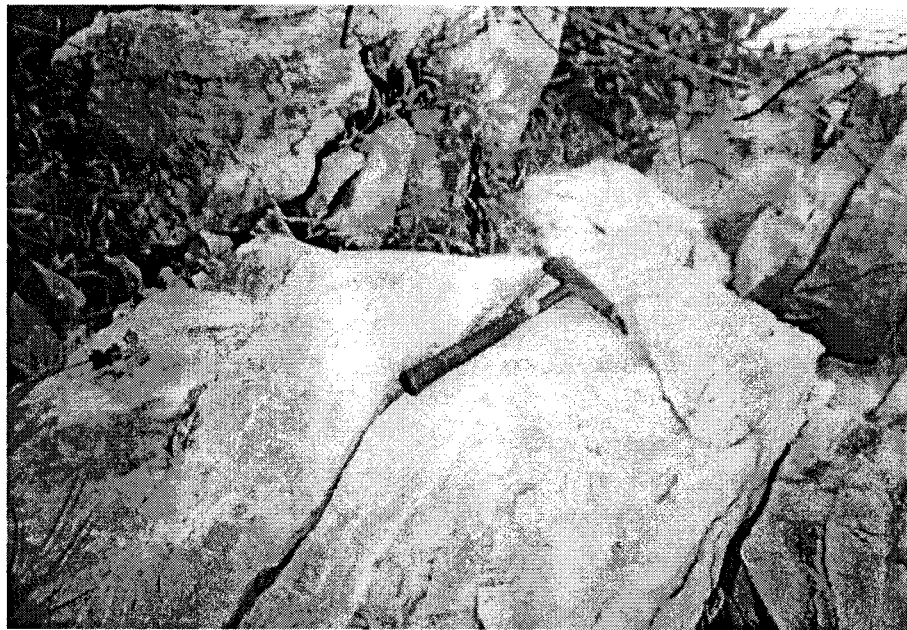
Stop 16 Picture from Muaklek, saraburi province.



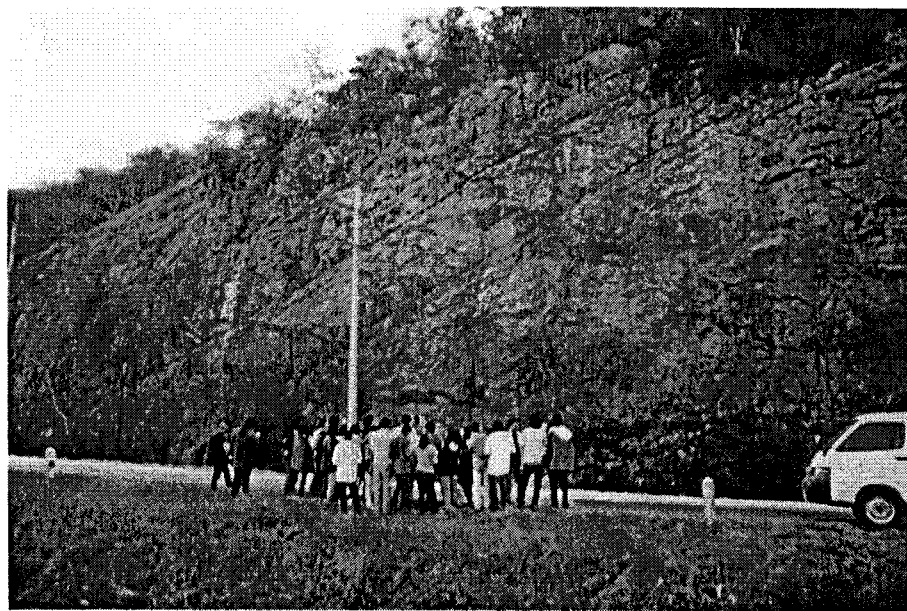
Stop 17 Picture from Muaklek, saraburi province.



Stop 18 Picture from Muaklek, saraburi province.



Stop 19 Picture from Muaklek, saraburi province.



Stop 20 Picture from Phetchabun province.



Stop 21 Picture from Muaklek, saraburi province.



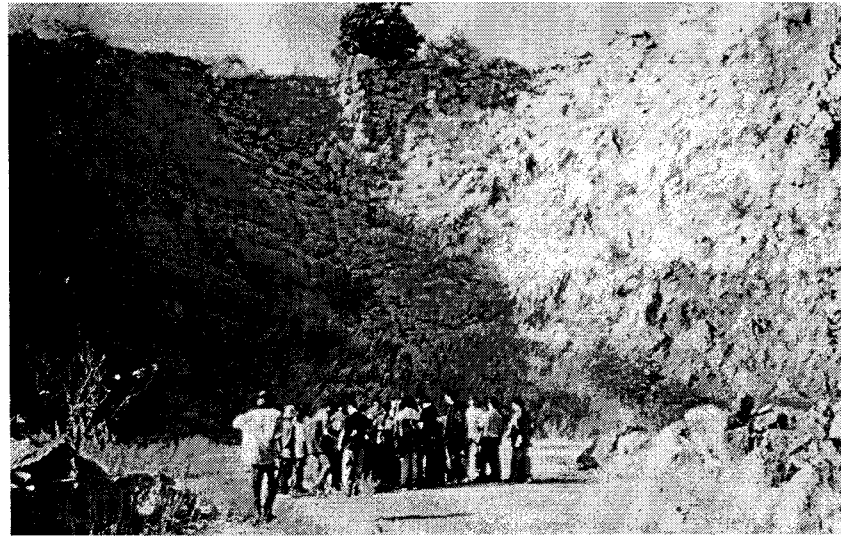
Stop 22 Picture from Muaklek, saraburi province.



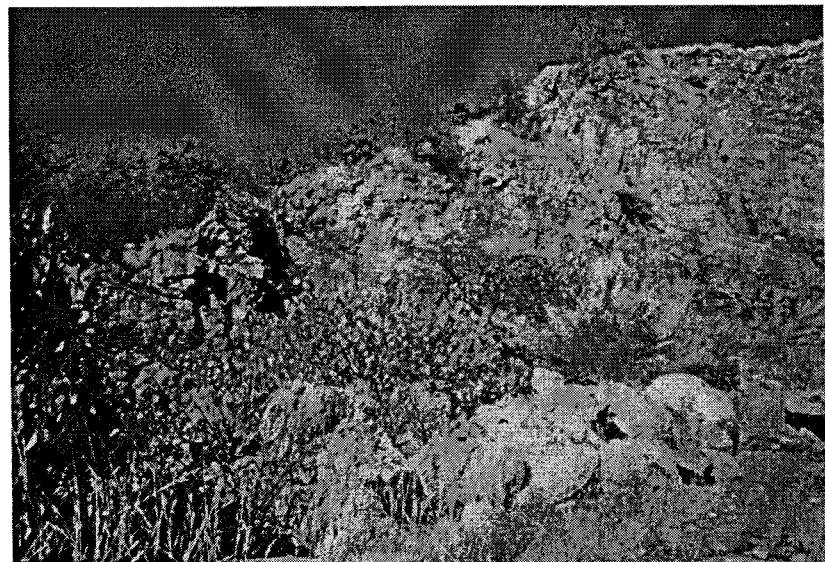
Stop 23 Picture from Muaklek, saraburi province.



Stop 24 Picture from Chompae-Loamsak, Phetchabun province.



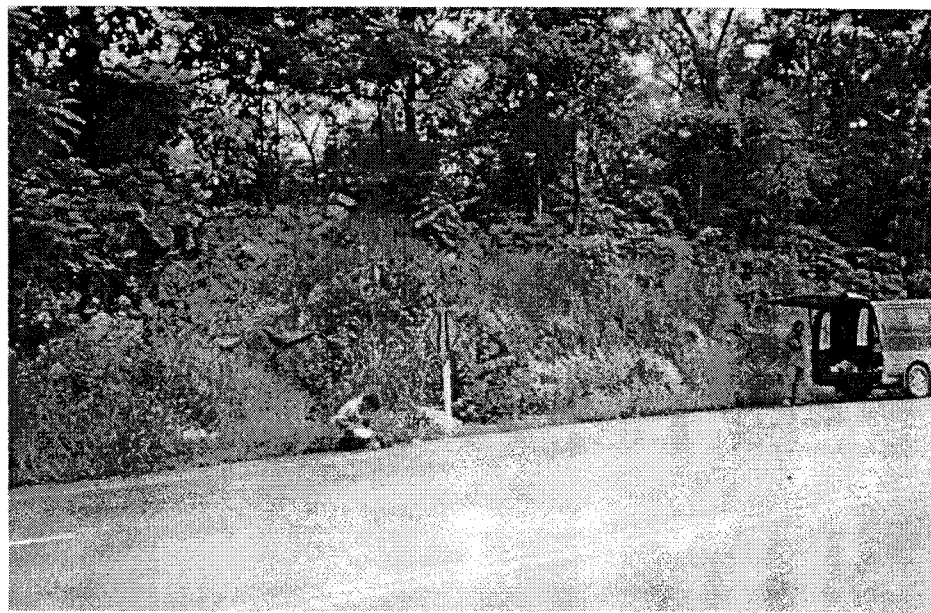
Stop 25 Picture from Khao Somposhn, Chaibadal, Lopburi.



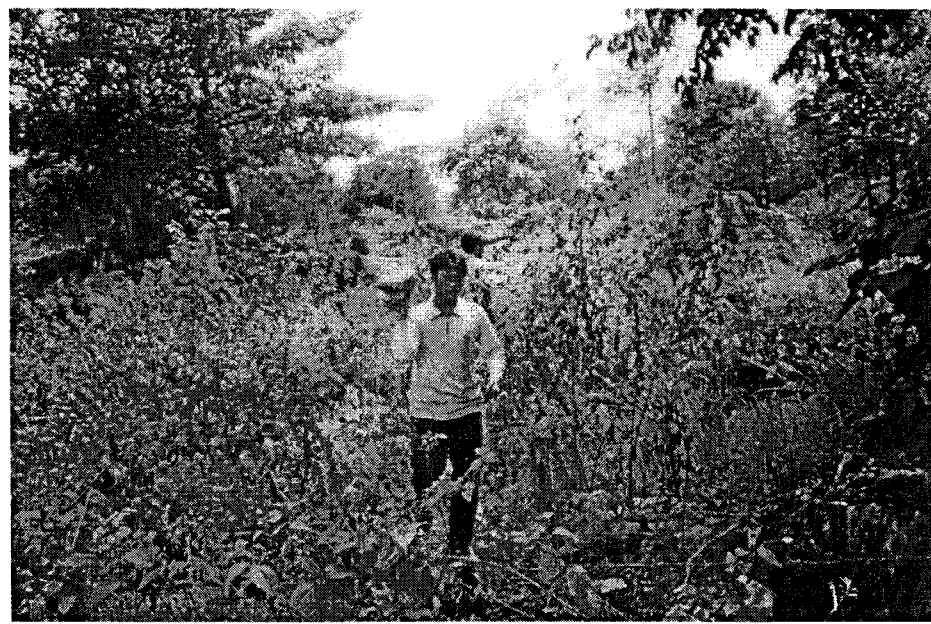
Stop 26 Picture from Khao Somposhn, Chaibadal, Lopburi.



Stop 27 Picture from Chompae-Loamsak, Phetchabun province.



Stop 28 Picture from near Khao Somposhn, Chaibadal, Lopburi.



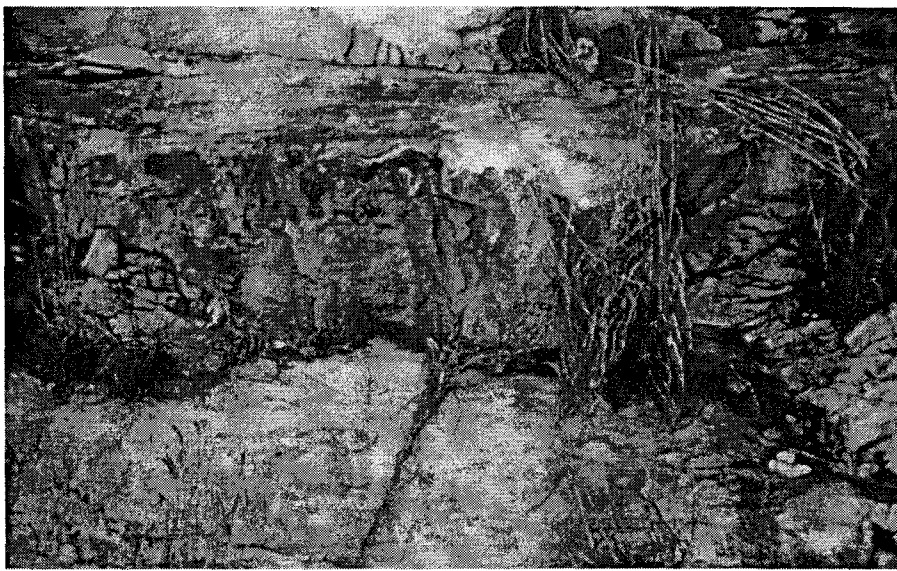
Stop 29 Picture from near Khao Somposhn, Chaibadal, Lopburi.



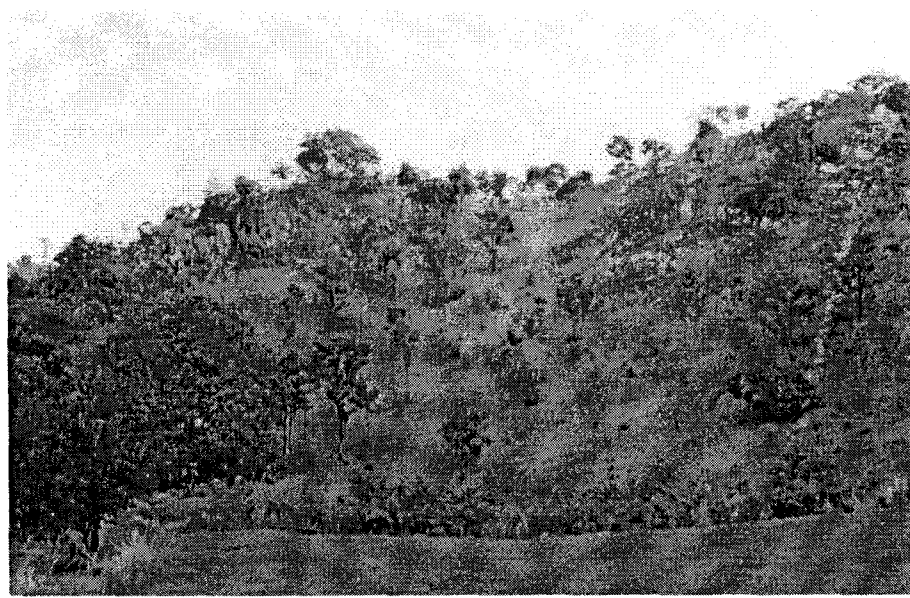
Stop 30 Picture from near Khao Somposhn, Chaibadal, Lopburi.



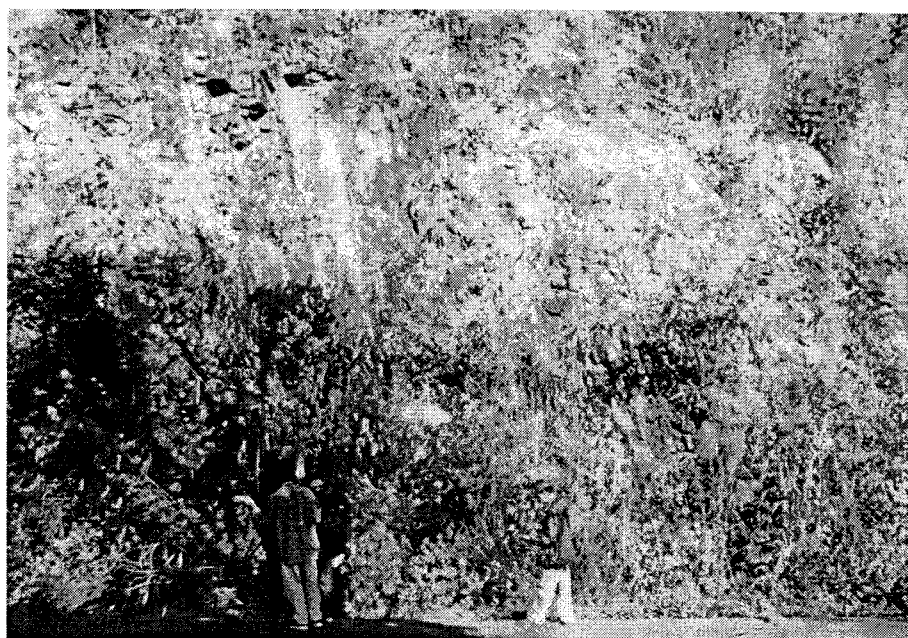
Stop 31 Picture from near Khao Somposhn, Chaibadal, Lopburi.



Stop 32 Picture from near Khao Somposhn, Chaibadal, Lopburi.



Stop 33 Picture from near Khao Somposhn, Chaibadal, Lopburi.



Stop 34 Picture from near Khao Somposhn, Chaibadal, Lopburi.



Stop 35 Picture from near Khao Somposhn, Chaibadal, Lopburi.

ການພະວັດ ໝີ

ECONOMIC ANALYSIS

SUMMARY ECONOMIC OF PROJECT KK65

One Platform 5 Wells	Conversion Ratio (\$/Baht)	\$0.025
Development Forward	Init Gas Price (\$/MMBTU)	2.52
260BCF of Reserve & 303BCF of Gas In Place	Avg Heat Val (Mmbtu/Mcf)	1.00
Drainage 500 acre	Gas Fuel Usage (%)	1%
	Ann Gas Price Esc (%)	2%
	Post SRB	Post Tax
Corporate Tax (%)	50.00%	R.O.R. 23.10% 15.20%
Government Royalty (%)	6.25%	Royalty: \$127.1 9%
Init Year of Capex Esc	2000	SRB: \$52.3 4%
Capex Ann Inflation%	7.25%	Corp Tax: \$149.7 11%
LOE Ann Inflation%	7.25%	Thailand: \$329.1 24%

PRODUCTION & REVENUE

YEAR	GROSS DAILY RATE	NET ANNUAL SALES GAS	GAS PRICE	PRODUCT PRICE GAS	NET PRODUCT REVENUE GAS
	MMSCF/D	BCF	US\$/MMBTU	US\$/MMSCF	MM US\$
2000	0.00	0.00	2.52	2.52	0.00
2001	0.00	0.00	2.52	2.52	0.00
2002	0.00	0.00	2.52	2.52	0.00
2003	0.00	0.00	2.52	2.52	0.00
2004	92.00	33.58	2.52	2.52	84.62
2005	92.00	33.58	2.52	2.52	84.62
2006	82.00	29.93	2.52	2.52	75.42
2007	72.00	26.28	2.52	2.52	66.23
2008	60.00	21.90	2.52	2.52	55.19
2009	51.00	18.62	2.52	2.52	46.91
2010	44.00	16.06	2.52	2.52	40.47
2011	37.50	13.69	2.52	2.52	34.49
2012	31.50	11.50	2.52	2.52	28.97
2013	27.00	9.86	2.52	2.52	24.83
2014	22.00	8.03	2.52	2.52	20.24
2015	18.00	6.57	2.52	2.52	16.56
2016	15.40	5.62	2.52	2.52	14.16
2017	13.40	4.89	2.52	2.52	12.33
2018	11.80	4.31	2.52	2.52	10.85
2019	11.00	4.02	2.52	2.52	10.12
2020	9.20	3.36	2.52	2.52	8.46
2021	8.00	2.92	2.52	2.52	7.36
2022	7.20	2.63	2.52	2.52	6.62
2023	6.40	2.34	2.52	2.52	5.89
Total	711.40	259.66		60.48	654.35

A		B		C		D		E		F		G		H		I		J		K		L		M		N		O		P		Q		R		S		T		U		V	

YEAR	GAS PRODUCTION MMSCF/D	GAS PRICE US\$/MMBTU	CASH FLOW SUMMARY										DISCOUNTED CASH FLOW (NPV@7.25%)	DISCOUNTED CASH FLOW (NPV@7.25%) FACTOR	
			GROSS REVENUE			CAPEX			GOVERNMENT TAKE			ANNUAL CASH FLOW			
			MM US\$	MM US\$	MM US\$	MM US\$	MM US\$	MM US\$	MM US\$	MM US\$	MM US\$	MM US\$	MM US\$	MM US\$	
2000	0.00	0.00	2.52	0.00	2.40	0.00	0.00	0.00	0.00	0.00	0.00	-2.40	-2.40	1.0000	
2001	0.00	0.00	2.52	0.00	10.51	0.00	0.00	0.00	0.00	0.00	0.00	-10.51	-9.80	0.9324	
2002	0.00	0.00	2.52	0.00	31.29	0.00	0.00	0.00	0.00	0.00	0.00	-33.29	-28.94	0.8694	
2003	0.00	0.00	2.52	0.00	97.10	0.00	0.00	0.00	0.00	0.00	0.00	-97.10	-78.71	0.8106	
2004	92.00	315380.00	2.52	84.62	0.00	13.43	5.29	0.00	65.90	0.00	0.00	49.81	0.7558		
2005	92.00	315800.00	2.52	84.62	0.00	13.70	5.29	13.57	52.07	0.00	0.00	36.69	0.7047		
2006	82.00	299300.00	2.52	75.42	0.00	12.46	4.71	20.78	37.48	0.00	0.00	24.63	0.6571		
2007	72.00	26280.00	2.52	66.23	0.00	11.16	4.14	17.32	33.02	0.00	0.00	20.23	0.6127		
2008	60.00	219000.00	2.52	55.19	0.00	9.48	3.45	21.13	21.13	0.00	0.00	12.07	0.5712		
2009	51.00	186150.00	2.52	46.91	0.00	8.22	2.35	18.17	18.17	0.00	0.00	9.68	0.5326		
2010	44.00	160600.00	2.52	40.47	0.00	7.23	2.02	15.61	15.61	0.00	0.00	7.75	0.4966		
2011	37.50	136875.00	2.52	34.49	0.00	6.39	1.72	13.24	13.24	0.00	0.00	6.13	0.4631		
2012	31.50	11497.50	2.52	28.97	0.00	5.39	1.45	11.07	11.07	0.00	0.00	4.78	0.4318		
2013	27.00	98535.00	2.52	24.83	0.00	4.71	1.24	9.44	9.44	0.00	0.00	3.80	0.4026		
2014	22.00	80300.00	2.52	20.24	0.00	3.92	1.01	7.65	7.65	0.00	0.00	2.87	0.3754		
2015	18.00	65700.00	2.52	16.56	0.00	3.27	0.83	6.23	6.23	0.00	0.00	2.18	0.3500		
2016	15.40	5621.00	2.52	14.16	0.00	2.85	0.71	5.30	5.30	0.00	0.00	1.73	0.3263		
2017	13.40	4891.00	2.52	12.33	0.00	2.53	0.62	4.59	4.59	0.00	0.00	1.40	0.3043		
2018	11.80	4307.00	2.52	10.85	0.00	2.27	0.54	4.02	4.02	0.00	0.00	1.14	0.2837		
2019	11.00	4015.00	2.52	10.12	0.00	2.16	0.51	3.73	3.73	0.00	0.00	0.99	0.2645		
2020	9.20	3358.00	2.52	8.46	0.00	1.84	0.42	3.10	3.10	0.00	0.00	0.76	0.2466		
2021	8.00	2920.00	2.52	7.36	0.00	1.64	0.37	2.68	2.68	0.00	0.00	0.62	0.2300		
2022	7.20	2628.00	2.52	6.62	0.00	1.50	0.33	2.40	2.40	0.00	0.00	0.51	0.2144		
2023	6.40	2336.00	2.52	5.89	0.00	1.36	0.29	2.12	2.12	0.00	0.00	0.42	0.1999		
Total	711.40	259616.00		654.35	143.50	115.41	37.79	182.72	175.62	0.00	0.00	68.33			
										PIR=	1.23	IRR=	20.32%		

SUMMARY ECONOMIC OF PROJECT PPNEW2.1

One Platform 8Wells	Conversion Ratio (\$/Baht)	\$0.025		
Development Forward	Init Gas Price (\$/MMBTU)	2.52		
533BCF of Reserve & 622BCF of Gas In Place	Avg Heat Val (Mmbtu/Mcf)	1.00		
Drainage 640 acre	Gas Fuel Usage (%)	1%		
	Ann Gas Price Esc (%)	2%		
			Post SRB	Post Tax
Corporate Tax (%)	50.00%		R.O.R.	23.10%
Government Royalty (%)	6.25%		Royalty:	\$127.1
Init Year of Capex Esc	2000		SRB:	\$52.3
Capex Ann Inflation%	7.25%		Corp Tax:	\$149.7
LOE Ann Inflation%	7.25%		Thailand:	\$329.1

353

PRODUCTION & REVENUE

YEAR	GROSS DAILY RATE	NET ANNUAL SALES GAS	GAS PRICE	PRODUCT PRICE GAS	NET PRODUCT REVENUE GAS
	MMSCF/D	BCF	US\$/MMBTU	US\$/MMSCF	MM US\$
2000	0.00	0.00	2.52	2.52	0.00
2001	0.00	0.00	2.52	2.52	0.00
2002	0.00	0.00	2.52	2.52	0.00
2003	0.00	0.00	2.52	2.52	0.00
2004	80.00	29.20	2.52	2.52	73.58
2005	80.00	29.20	2.52	2.52	73.58
2006	100.00	36.50	2.52	2.52	91.98
2007	100.00	36.50	2.52	2.52	91.98
2008	100.00	36.50	2.52	2.52	91.98
2009	100.00	36.50	2.52	2.52	91.98
2010	100.00	36.50	2.52	2.52	91.98
2011	90.00	32.85	2.52	2.52	82.78
2012	81.00	29.57	2.52	2.52	74.50
2013	72.90	26.61	2.52	2.52	67.05
2014	65.61	23.95	2.52	2.52	60.35
2015	59.05	21.55	2.52	2.52	54.31
2016	53.14	19.40	2.52	2.52	48.88
2017	47.83	17.46	2.52	2.52	43.99
2018	43.05	15.71	2.52	2.52	39.59
2019	38.74	14.14	2.52	2.52	35.63
2020	34.87	12.73	2.52	2.52	32.07
2021	31.38	11.45	2.52	2.52	28.86
2022	28.24	10.31	2.52	2.52	25.98
2023	25.42	9.28	2.52	2.52	23.38
2024	22.88	8.35	2.52	2.52	21.04
2025	20.59	7.52	2.52	2.52	18.94
2026	18.53	6.76	2.52	2.52	17.04
2027	16.68	6.09	2.52	2.52	15.34
2028	15.01	5.48	2.52	2.52	13.81
2029	13.51	4.93	2.52	2.52	12.43
2030	12.16	4.44	2.52	2.52	11.18
2031	10.94	3.99	2.52	2.52	10.06
Total	1461.52	533.46		80.64	1344.31

T	U	V	W	X	Y	Z	AA	AB	AC	AD	AE	AF	AG	AH			
CUMULATIVE														CASH FLOW SUMMARY			
TAXABLE INCOME	INCOME TAX(50%)	YEAR	GAS PRODUCTION	GAS PRICE	GROSS REVENUE	CAPEX	OPEX	GOVERNMENT TAKE	ANNUAL CASH FLOW	DISC (NPV@7.25%)	DISC FACTOR	DISCOUNTED CASH FLOW	MM US\$				
MM US\$	MM US\$	MM US\$	MMSCFD	MMSCF/D	MM US\$	MM US\$	MM US\$	MM US\$	MM US\$	MM US\$	MM US\$	MM US\$	MM US\$				
-2.70	-2.70	0.00	2000	0.00	2.52	0.00	2.70	0.00	0.00	0.00	-2.70	-2.70	1.0000				
-9.00	-11.70	0.00	2001	0.00	2.52	0.00	10.81	0.00	0.00	0.00	-10.81	-10.81	0.9324				
-26.40	-38.10	0.00	2002	0.00	2.52	0.00	35.37	0.00	0.00	0.00	-35.37	-30.75	0.8694				
-54.20	-92.30	0.00	2003	0.00	2.52	0.00	172.98	0.00	0.00	0.00	-172.98	-140.22	0.8106				
27.11	-65.20	0.00	2004	80.00	29200.00	2.52	75.58	0.00	11.68	4.60	0.00	57.31	43.31	0.7558			
10.07	-55.12	0.00	2005	80.00	29200.00	2.52	75.58	22.08	11.91	4.60	0.00	34.99	24.66	0.7047			
40.44	-14.68	0.00	2006	100.00	36500.00	2.52	91.98	0.00	15.19	5.75	0.00	71.04	46.98	0.6571			
42.14	27.46	13.73	2007	100.00	36500.00	2.52	91.98	0.00	15.49	5.75	13.73	57.01	34.93	0.6127			
69.63	97.08	34.81	2008	100.00	36500.00	2.52	91.98	0.00	15.80	5.75	34.81	35.61	20.34	0.5712			
69.31	166.39	34.66	2009	100.00	36500.00	2.52	91.98	0.00	16.12	4.60	34.66	36.61	19.50	0.5326			
69.79	236.18	34.89	2010	100.00	36500.00	2.52	91.98	0.00	16.44	4.60	34.89	36.04	17.90	0.4966			
62.11	298.70	31.26	2011	90.00	32650.00	2.52	82.78	0.00	15.09	4.14	31.26	32.29	14.95	0.4651			
53.59	354.69	28.00	2012	\$1.00	29365.00	2.52	74.50	0.00	13.86	3.73	28.00	28.93	12.49	0.4318			
50.14	404.83	23.07	2013	72.90	26608.50	2.52	67.05	0.00	12.72	3.35	25.07	25.91	10.43	0.4026			
44.90	449.73	22.45	2014	65.61	23947.45	2.52	60.33	0.00	11.68	3.02	22.45	23.20	8.71	0.3754			
40.20	489.93	20.10	2015	59.03	21952.89	2.52	54.31	0.00	10.72	2.72	20.10	20.73	7.27	0.3500			
35.99	525.92	17.99	2016	53.14	19397.60	2.52	48.88	0.00	9.34	2.44	17.99	18.60	6.07	0.3263			
32.21	558.13	16.11	2017	47.83	17457.84	2.52	43.99	0.00	9.03	2.20	16.11	16.66	5.07	0.3043			
29.31	587.45	14.66	2018	43.05	15712.05	2.52	39.59	0.00	8.29	1.98	14.66	14.66	4.16	0.2837			
26.24	613.69	13.12	2019	38.74	14140.83	2.52	35.63	0.00	7.61	1.78	12.12	13.12	3.47	0.2643			
23.46	637.12	11.74	2020	34.87	12725.76	2.52	32.07	0.00	6.99	1.60	11.74	11.74	2.90	0.2466			
21.01	658.18	10.50	2021	31.38	11454.09	2.52	28.86	0.00	6.42	1.44	10.50	10.50	2.42	0.2300			
18.79	676.97	9.39	2022	28.24	10308.68	2.52	25.98	0.00	5.89	1.30	9.39	9.39	2.01	0.2144			
16.80	693.77	8.40	2023	25.42	9277.81	2.52	23.38	0.00	5.41	1.17	8.40	8.40	1.68	0.1959			
15.03	708.80	7.51	2024	22.88	8350.03	2.52	21.04	0.00	4.96	1.03	7.51	7.51	1.40	0.1864			
13.43	722.23	6.72	2025	20.59	7515.03	2.52	18.94	0.00	4.56	0.95	6.72	6.72	1.17	0.1738			
12.01	734.24	6.00	2026	18.53	6763.52	2.52	17.04	0.00	4.18	0.85	6.00	6.00	0.97	0.1621			
10.73	744.97	5.37	2027	16.68	6087.17	2.52	15.34	0.00	3.84	0.77	5.37	5.37	0.81	0.1511			
9.59	754.57	4.80	2028	15.01	5478.45	2.51	13.81	0.00	3.52	0.69	4.80	4.80	0.68	0.1409			
8.57	763.13	4.26	2029	13.51	4930.61	2.52	12.43	0.00	3.24	0.62	4.28	4.28	0.56	0.1314			
7.65	770.79	3.83	2030	12.16	4437.55	2.52	11.18	0.00	2.97	0.56	3.83	3.83	0.47	0.1225			
6.83	777.52	3.42	2031	10.94	3993.79	2.52	10.06	0.00	2.73	0.50	3.42	3.42	0.39	0.1142			
771.62	388.81	Total	1461.52	53345.86	1244.31	243.94	256.19	72.50	388.81	382.86	111.65			1.57	IRR= 16.72%		

SUMMARY ECONOMIC OF PROJECT KKME

One Platform 5 Wells	Conversion Ratio (\$Baht)	\$0.025
Development Forward	Init Gas Price (\$/MMBTU)	2.52
225BCF of Reserve & 250BCF of Gas In Place	Avg Heat Val (Mmbtu/Mcf)	1.00
Drainage 500 acre	Gas Fuel Usage (%)	1%
	Ann Gas Price Esc (%)	7%
		Post Tax After Tax
Corporate Tax (%)	50.00%	R.O.R 23.10% 15.20%
Government Royalty (%)	6.25%	Royalty: \$127.1 9%
Init Year of Capex Esc	2000	SRB: \$52.3 4%
Capex Ann Inflation%	7.25%	Corp Tax: \$149.7 11%
LOE Ann Inflation%	7.25%	Thailand: \$329.1 24%

PRODUCTION & REVENUE

YEAR	GROSS DAILY RATE	NET ANNUAL SALES GAS	PRODUCT GAS PRICE	PRICE GAS	NET PRODUCT REVENUE GAS
	MMSCFD	BCF	USS/MMBTU	USS/MMSCF	MMUSS
2000	0.00	0.00	2.52	2.52	0.00
2001	0.00	0.00	2.52	2.52	0.00
2002	0.00	0.00	2.52	2.52	0.00
2003	0.00	0.00	2.52	2.52	0.00
2004	92.00	33.58	2.52	2.52	84.62
2005	92.00	33.58	2.52	2.52	84.62
2006	80.00	29.20	2.52	2.52	73.58
2007	68.00	24.82	2.52	2.52	62.55
2008	55.50	20.26	2.52	2.52	51.05
2009	46.00	16.79	2.52	2.52	42.31
2010	36.00	13.14	2.52	2.52	33.11
2011	27.00	9.86	2.52	2.52	24.83
2012	22.00	8.03	2.52	2.52	20.24
2013	17.50	6.39	2.52	2.52	16.10
2014	14.60	5.33	2.52	2.52	13.43
2015	12.50	4.56	2.52	2.52	11.50
2016	10.50	3.83	2.52	2.52	9.66
2017	8.80	3.21	2.52	2.52	8.09
2018	7.55	2.76	2.52	2.52	6.94
2019	6.50	2.37	2.52	2.52	5.98
2020	5.75	2.10	2.52	2.52	5.29
2021	5.20	1.90	2.52	2.52	4.78
2022	4.70	1.72	2.52	2.52	4.32
2023	4.30	1.57	2.52	2.52	3.96
Total	616.40	224.99		60.48	566.96

V	W	X	Y	Z	AA	AB	AC	AD	AE	AF	AG	AH	
INCOME TAXATION	YEAR	GAS PRODUCTION		GAS PRICE	CASH FLOW SUMMARY						DISCOUNTED CASH FLOW	DISC FACTOR	DCF%
					GROSS REVENUE	CAPEX	OPEx	GOVERNMENT TAKE	ANNUAL CASH FLOW	MM US\$	MM US\$	MM US\$	
		MMSCFD	MMSCTP/US\$/MMBTU	MM US\$	MM US\$	MM US\$	MM US\$	MM US\$	MM US\$	MM US\$	MM US\$	MM US\$	
0.00	2000	0.00	0.00	2.52	0.00	2.40	0.00	0.00	0.00	-2.40	-2.40	1.0000	
0.00	2001	0.00	0.00	2.52	0.00	10.35	0.00	0.00	0.00	-10.35	-10.35	0.9324	
0.00	2002	0.00	0.00	2.52	0.00	31.20	0.00	0.00	0.00	-31.20	-31.20	0.8644	
0.00	2003	0.00	0.00	2.52	0.00	47.16	0.00	0.00	0.00	-47.16	-47.16	0.8000	
0.00	2004	42.00	33580.00	2.52	84.61	0.00	12.43	1.29	0.00	63.70	49.81	0.7558	
0.00	2005	47.00	33580.00	2.52	84.62	0.00	13.76	3.29	13.64	51.97	36.64	0.7047	
20.01	2006	80.00	29500.00	2.52	73.58	0.00	12.15	4.60	20.07	36.77	24.16	0.6531	
16.56	2007	64.00	24820.00	2.52	62.55	0.00	10.34	3.91	16.30	31.68	19.36	0.6127	
19.54	2008	55.50	30257.50	2.52	51.05	0.00	8.72	3.19	19.54	19.54	11.16	0.5783	
46.30	2009	46.00	16750.00	2.52	42.31	0.00	7.42	2.12	16.39	16.39	8.31	0.5434	
12.77	2010	36.00	17180.00	2.52	33.11	0.00	5.92	1.00	12.19	12.19	4.34	0.4964	
0.53	2011	27.00	9835.00	2.52	24.81	0.00	4.53	1.34	9.20	9.20	4.01	0.4623	
2.33	2012	32.00	8630.00	2.52	20.24	0.00	3.70	1.01	7.73	7.73	3.34	0.4318	
4.17	2013	17.50	6282.50	2.52	16.10	0.00	3.09	0.89	4.32	4.32	2.46	0.4024	
5.00	2014	14.00	3370.00	2.52	13.43	0.00	2.66	0.67	3.08	3.08	1.80	0.3754	
4.33	2015	12.30	4562.50	2.52	11.30	0.00	2.37	0.57	4.33	4.33	1.31	0.3500	
3.62	2016	10.50	3632.50	2.52	9.46	0.00	1.94	0.48	3.62	3.62	1.13	0.3261	
3.01	2017	8.00	3212.00	2.52	8.09	0.00	1.66	0.40	1.01	1.01	0.43	0.3045	
2.37	2018	7.35	2335.35	2.52	6.94	0.00	1.45	0.35	2.37	2.37	0.73	0.2837	
2.35	2019	6.50	2312.50	2.52	5.98	0.00	1.28	0.30	2.20	2.20	0.58	0.2643	
1.94	2020	5.75	2076.25	2.52	5.29	0.00	1.13	0.25	1.94	1.94	0.48	0.2466	
1.74	2021	5.30	1898.00	2.52	4.78	0.00	1.00	0.20	1.74	1.74	0.46	0.2306	
1.56	2022	4.70	1815.50	2.52	4.32	0.00	0.98	0.17	1.56	1.56	0.34	0.2144	
1.42	2023	4.20	1569.50	2.52	3.96	0.00	0.91	0.16	1.42	1.42	0.28	0.1999	
149.16	Total	616.40	234986.00		566.95	143.13	98.59	32.00	149.16	142.67	51.04		
									PER-	1.00	1.00	-18.90%	

SUMMARY ECONOMIC OF PROJECT KK60

One Platform 5 Wells	Conversion Ratio (\$/Baht)	\$0.025
Development Forward	Init Gas Price (\$/MMBTU)	2.52
239BCF of Reserve & 276BCF of Gas In Place	Avg Heat Val (Nmbtu/Mcf)	1,00
Drainage 500 acre	Gas Fuel Usage (%)	1%
	Ann Gas Price Esc (%)	2%
	Post SRB	Post Tax
Corporate Tax (%)	50.00%	R.O.R. 23.10% 15.20%
Government Royalty (%)	6.25%	Royalty \$127.1 9%
Init Year of Capex Esc	2000	SRB. \$52.3 4%
Capex Ann Inflated %	7.25%	Corp Tax: \$149.7 11%
LOE Ann Inflated %	7.25%	Thailand \$329.1 24%

PRODUCTION & REVENUE

YEAR	GROSS DAILY RATE	NET ANNUAL SALES GAS	GAS PRICE	PRODUCT PRICE GAS	NET PRODUCT REVENUE GAS
	MMSCFD	BCF		USS/MMBTU	USS/MMSCF
2000	0.00	0.00	2.52	2.52	0.00
2001	0.00	0.00	2.52	2.52	0.00
2002	0.00	0.00	2.52	2.52	0.00
2003	0.00	0.00	2.52	-2.52	0.00
2004	92.00	33.58	2.52	-2.52	84.62
2005	92.00	33.58	2.52	-2.52	84.62
2006	78.00	23.47	2.52	2.52	71.74
2007	66.00	24.09	2.52	2.52	60.71
2008	55.00	20.03	2.52	2.52	50.59
2009	48.00	17.52	2.52	2.52	44.15
2010	40.00	14.60	2.52	2.52	36.79
2011	34.00	12.41	2.52	2.52	31.27
2012	27.00	9.86	2.52	2.52	24.83
2013	22.00	8.03	2.52	2.52	20.24
2014	18.00	6.57	2.52	2.52	16.56
2015	13.00	5.48	2.52	2.52	13.80
2016	13.00	4.75	2.52	2.52	11.96
2017	11.00	4.02	2.52	2.52	10.12
2018	10.00	3.65	2.52	2.52	9.20
2019	8.45	3.08	2.52	2.52	7.77
2020	7.10	2.59	2.52	2.52	6.53
2021	6.60	2.41	2.52	2.52	6.07
2022	6.00	2.19	2.52	2.52	5.52
2023	5.40	1.97	2.52	2.52	4.97
Total	654.35	238.91		60.48	602.06

ประวัติผู้วิจัย

นายเกรียงไกร ไตรสาร เกิดเมื่อวันที่ 10 กันยายน 2496 ที่จังหวัดอุบลราชธานี สำเร็จการศึกษา มัธยมศึกษาตอนปลายที่โรงเรียนเบญจมหาราชชั้นหัวดูนราษฎร์ สำเร็จการศึกษาวิศวกรรมศาสตร์ บัณฑิตวิศวกรรมโยธาที่มหาวิทยาลัยขอนแก่นในปี พ.ศ. 2518 ได้สอบซึ่งทุนกรทัพยากรธารณ์ไปศึกษา ต่อในสาขาวิศวกรรมปีโทรัฐเมียนในปี พ.ศ. 2519 ที่มหาวิทยาลัย New Mexico Tech. ประเทศสหรัฐอเมริกา และเข้าการศึกษาไปที่มหาวิทยาลัย The University of Oklahoma สำเร็จการศึกษาวิศวกรรมปีโทรัฐเมียน มหาบัณฑิตในปี พ.ศ. 2520 เริ่มปฏิบัติราชการที่กองเชื้อเพลิงธรรมาธิ กรมทัพยากรธารณ์ ตั้งแต่ พ.ศ. 2521 โดยดำรงตำแหน่งวิศวกรปีโทรัฐเมียน 3-7 ผู้อำนวยการ และผู้อำนวยการพิเศษ มีหน้าที่รับผิดชอบ ติดตามความคุ้มภัยสำรวจน้ำและผลิตปีโทรัฐเมียนทั่วประเทศ คำนวณปริมาณสำรองและคาดการณ์อัตราการ ผลิตของแหล่งปีโทรัฐเมียนทั่วประเทศ คำนวณเกี่ยวกับวิศวกรรมปีโทรัฐเมียนอื่น ๆ ในปี พ.ศ. 2538 ดำรง ตำแหน่งหัวหน้าฝ่ายระบบและกลั่นกรองการลงทุนในกิจกรรมปีโทรัฐเมียน กรมเชื้อเพลิงธรรมาธิ มีหน้าที่ รับผิดชอบ กลั่นกรอง ยกเว้นภัย การนำเข้า อุปกรณ์สำรวจน้ำและผลิตปีโทรัฐเมียน กลั่นกรองอนุญาตให้ ชาวต่างชาติเข้ามาปฏิบัติงานในราชอาณาจักร ติดตามและดูแลความคุ้มภัยการลงทุนสำรวจน้ำและผลิตปีโทรัฐเมียน ในประเทศไทย ปี พ.ศ. 2540 เริ่มปฏิบัติหน้าที่เป็นอาจารย์ที่สาขาวิชาเทคโนโลยีในโลยีธารณ์ มหาวิทยาลัย เทคโนโลยีสุรนารี ดำรงตำแหน่ง ผู้ช่วยศาสตราจารย์ และตั้งแต่ พ.ศ. 2543 ดำรงตำแหน่งรองผู้อำนวยการ ศูนย์เครื่องมือวิชาศาสตร์และเทคโนโลยี ตั้งแต่ พ.ศ. 2544 ถึงปัจจุบัน

สถานที่ติดต่อ สาขาวิชาเทคโนโลยี สำนักวิชาชีวกรรมศาสตร์ มหาวิทยาลัย เทคโนโลยีสุรนารี 111 ถนนมหาวิทยาลัย ตำบลสุรนารี อำเภอเมือง จังหวัดนครราชสีมา 30000 โทรศัพท์ (044) 224310, 224441 โทรสาร (044) 224445 E-mail : kriangkr@ccs.sut.ac.th